FAUNE DE MADAGASCAR

Publiée sous les auspices du Gouvernement de la République Malgache

XXVI

INSECTES
ORTHOPTÈRES ACRIDOIDEA
PYRGOMORPHIDAE ET ACRIDIDAE

par

V. M. DIRSH et M. DESCAMPS



O.R.S.T.O.M. C.N.R.S.

Paris
1968



*La plus grande partie des figures illustrant ce volume, ainsi que leurs clichés, a été gracieusement mise à la disposition de la « Faune de Madagascar » par l'*Anti-Locust Research Centre *de Londres. Les hautes autorités de cet organisme, et plus spécialement le Dr V. M. Dirsh, doivent être remerciées pour leur aide généreuse.*

INTRODUCTION

La faune des *Acridoidea* de Madagascar constitue l'un des éléments les plus intéressants du sous-ordre des *Acridomorpha*. Isolée dans ce sanctuaire insulaire, cette faune a conservé beaucoup de formes anciennes qui ont une extrême importance pour la connaissance du groupe et de sa systématique.

L'actif développement agricole de l'île et principalement les feux de brousse et de forêt menacent de faire disparaitre les éléments faunistiques les plus primitifs et certains ont déjà sans doute disparu. Ceci donne à l'étude de la faune un caractère d'extrême urgence. Dans les quelques décennies prochaines, il est possible de prévoir la disparition de nombreuses formes à faible pouvoir d'adaptation écologique.

L'étude de la faune malgache, pour la préparation de ce volume, a débuté en 1956 quand M. le Recteur R. Paulian alors Directeur-adjoint de l'Institut de Recherches scientifiques de Madagascar (I.R.S.M.) (aujourd'hui le centre ORSTOM de Tananarive) proposa à l'un de nous d'étudier le matériel accumulé à l'Institut et en grande partie récolté par lui-même. Nous exprimons notre très sincère gratitude au Dr Paulian dont l'aide constante a rendu possible la réalisation de ce travail.

De 1962 à 1967 un très important matériel nous a été confié pour étude par MM. J.P. Têtefort et D. Wintrebert. Nos collègues du Service de Recherches acridiennes de Betioky Sud ont ainsi fortement contribué à notre connaissance de la faune malgache. Nous leur adressons nos plus vifs remerciements pour leur inappréciable collaboration.

Nous exprimons également toute notre reconnaissance à Madame Descamps et au Dr P. Viette pour la part très importante qu'ils ont bien voulu prendre à la réalisation de ce travail.

Nous nous limitons ici à la faune de Madagascar, sans y faire figurer les Comores et les îles plus ou moins éloignées.

COMPOSITION ET AFFINITÉS DE LA FAUNE

Les *Acridoidea* de Madagascar comprennent deux familles : *Pyrgomorphidae* et *Acrididae*.

Les *Eumastacidae* [1] si abondamment représentés dans la Grande Ile ne sont pas étroitement apparentés aux *Acridoidea* et ont été classés récemment dans une autre superfamille : *Eumastacoidea*. Nous nous limiterons ici à l'étude des *Acridoidea sensu stricto*.

Aucune des familles endémiques d'Afrique du Sud (*Pneumoridae*, *Lathiceridae* et *Lentulidae*) n'a été trouvée à Madagascar. Il est étonnant que la famille des *Pamphagidae* n'y ait pas non plus été trouvée bien qu'elle soit largement répandue à travers toute l'Afrique, l'Europe méridionale et l'Asie paléarctique.

La faune actuellement connue d'*Acridoidea* de Madagascar comprend 89 genres et 149 espèces (tableau I); la famille des *Pyrgomorphidae* renferme 19 genres et 41 espèces, celle des *Acrididae* 10 sous-familles, 70 genres et 108 espèces.

TABLEAU I

COMPOSITION NUMÉRIQUE DES FAMILLES ET SOUS-FAMILLES

Familles et sous-familles	Nombre de genres	Nombre de espèces
ACRIDIDAE		
HEMIACRIDINAE	18	29
OXYINAE	1	1
COPTACRIDINAE	1	4
TROPIDOPOLINAE	1	1
CALLIPTAMINAE	1	1
EYPREPOCNEMIDINAE	5	12
CATANTOPINAE	16	23
CYRTACANTHACRIDINAE	4	6
ACRIDINAE	20	24
TRUXALINAE	3	7
Total	70	108
PYRGOMORPHIDAE	19	41
Total général	89	149

---

[1] Plusieurs travaux récents ont été consacrés aux *Eumastacidae* et notamment aux 42 genres et 134 espèces actuellement connus de Madagascar.

DESCAMPS (M.), 1964. — Révision préliminaire des *Euschmidtiinae* (*Mém. Mus. nat. Hist. nat.*, (n. s.), A, Zool., 30, 321 p., 586 fig.).

DESCAMPS (M.), 1965. — Révision des *Miraculinae* (*ibid.*, 34, pp. 1-57).

DESCAMPS (M.) et WINTREBERT (D.). — *Pseudoschmidtiinae*, notes biologiques et espèces nouvelles (*ibid.*, 34, pp. 59-187).

Considérant le nombre total de genres et d'espèces connu d'un pays d'environ 580 000 km², à conditions écologiques très diversifiées, il paraît vraisemblable que la faune des *Acridoidea* n'a pas encore été suffisamment étudiée et que de futures recherches amèneront la découverte de nombreuses formes nouvelles. Ceci doit être tout particulièrement vrai pour certaines des sous-familles connues par une seule espèce (tableau I). Le nombre de genres et d'espèces endémiques augmentera aussi sans doute.

Il n'y a actuellement ni famille, ni sous-famille d'*Acridoidea* endémique de Madagascar. Toutes celles qui sont représentées dans l'île ont une vaste distribution sur l'Ancien Monde et certaines se retrouvent aussi dans le Nouveau Monde.

Au niveau générique et spécifique, par contre, il y a 62 genres et 140 espèces endémiques contre 27 genres et 9 espèces non endémiques.

Genres et espèces peuvent être divisés en quatre groupes :

— Le premier groupe (tableau II) comprend 6 espèces à vaste répartition couvrant, outre Madagascar, les régions éthiopienne, paléarctique, orientale et australienne. Elles représentent moins de 7 % des genres d'*Acridoidea* (*sensu stricto*) de Madagascar.

TABLEAU II

ESPÈCES MALGACHES A VASTE DISTRIBUTION

Espèces	Répartition en dehors de Madagascar
Atractomorpha acutipennis	Toute la région éthiopienne et l'Asie du Sud-Ouest.
Cyrtacanthacris tatarica	Toute l'Afrique tropicale, l'Asie tropicale et subtropicale, les Philippines, Sumatra.
Paracinema tricolor	Toute l'Afrique et la Méditerranée.
Gastrimargus africanus	Toute l'Afrique tropicale, Inde, Ceylan
Locusta migratoria	Tout l'Ancien Monde sauf l'Arctique.
Acrotylus patruelis	Toute l'Afrique, l'Europe méridionale et l'Asie occidentale.

— Le second groupe (tableau III) qui est bien plus nombreux renferme 16 genres à vaste distribution dans l'Ancien Monde, représentés par des espèces endémiques à Madagascar. Ce groupe représente, en gros, 18 % des genres malgaches.

— Le troisième groupe (tableau IV) comprend des genres strictement africains, représentés à Madagascar par des espèces africaines ou endémiques. Ce groupe, peu nombreux, ne comprend que 6 genres avec 4 espèces endémiques et 3 non endémiques : il constitue environ 7 % des genres malgaches.

TABLEAU III

Genres a vaste distribution représentés par des endémiques malgaches

Espèces endémiques	Distribution des genres en dehors de Madagascar			
	région éthiopienne	région orientale	région australienne	région paléarctique
PYRGOMORPHIDAE				
Pyrgomorphella madecassa	+			+
» *dicrostachyae*	+			+
» *minuta*	+			+
» *tulearensis*	+			+
ACRIDIDAE				
Hemiacridinae				
Leptacris hova	+	+		
Spathosternum malagassum	+	+		
Oxyinae				
Oxya humeralis	+	+	+	+
Calliptaminae				
Caloptenopsis decisa	+	+		frange S.O. de la paléarctide
Eyprepocnemidinae				
Eyprepocnemis brachyptera	+	+		+
» *smaragdipes*	+	+		+
Heteracris finoti	+	+		+
» *sikorai*	+	+		+
» *zolotarevskyi*	+	+		+
» *nobilis*	+	+		+
» *reducta*	+	+		+
» *concinnicrus*	+	+		+
Catantopinae				
Calantops sacalava	+	+		S.O. de la paléarctide
» *stenocrobyloides*	+	+		+
» *malagassus*	+	+		+
Acridinae				
Acrida madecassa	+	+	+	+
» *subtilis*	+	+	+	+
Gelastorhinus edax	+	+		
Gymnobothrus madacassus	+			+
» *variabilis*	+			+
*Aiolopus rodericensis**	+	+	+	+
Trilophidia cinnabarina	+	+		
Oedaleus virgula	+	+		+
Acrotylus aberrans	+	+		+
Calephorus ornatus	+	+		+

(*) *Aiolopus rodericensis* n'est pas endémique de Madagascar mais de l'ensemble des îles de la région malgache.

TABLEAU IV

GENRES PUREMENT AFRICAINS REPRÉSENTÉS A MADAGASCAR PAR DES ESPÈCES ENDÉMIQUES OU AFRICAINES

Genres et espèces	Endémiques malgaches	Espèces africaines
Phymateus saxosus	+	
» *madagassus*	+	
Paraspathosternum andringitra	+	
Nomadacris septemfasciata		+
Duronia chloronota		+
Paralobopoma tananarive	+	
Pternoscirtus calcaratus		+

— Le dernier groupe, le plus nombreux (tableau V) ne comprend que des endémiques malgaches avec un total de 62 genres et 107 espèces. Cela représente à peu près 69 % des genres malgaches.

TABLEAU V

Genres endémiques de Madagascar

Genres	Nombre d'espèces
PYRGOMORPHIDAE	
1. *Rubellia*	1
2. *Pseudorubellia*	2
3. *Caprorhinus*	8
4. *Malagasphena*	1
5. *Gymnohippus*	2
6. *Aeropyrgus*	1
7. *Pseudosphena*	1
8. *Dyscolorhinus*	2
9. *Ambositracris*	1
10. *Sagittacris*	1
11. *Pyrgohippus*	1
12. *Acanthopyrgus*	2
13. *Geloius*	2
14. *Pseudogeloius*	6
15. *Schulthessia*	1
16. *Uhagonia*	2
Total	34
ACRIDIDAE	
Hemiacridinae	
17. *Xenippacris*	1
18. *Aculacris*	2
19. *Xenippoides*	1
20. *Galideus*	2
21. *Pseudoserpusia*	2
22. *Cylindracris*	1
23. *Paulianiobia*	1
24. *Oneles*	3
25. *Euthymia*	3
26. *Proeuthymia*	1
27. *Lopheuthymia*	1
28. *Pachyceracris*	2
29. *Malagasacris*	2
30. *Gergis*	2
31. *Morondavia*	2
Total	26
Coptacridinae	
32. *Pamphagella*	4
Tropidopolinae	
33. *Tristriella*	1
Eyprepocnemidinae	
34. *Malagacetrus*	1
35. *Tenebracris*	1
36. *Horaeocerus*	2
Total	4
Catantopinae	
37. *Segrigacris*	1
38. *Vohemara*	1
39. *Pseudofinotina*	1
40. *Dendrocatantops*	1
41. *Perineta*	1
42. *Paraperineta*	1
43. *Mananara*	1
44. *Ambrea*	1
45. *Paraserpusilla*	1
46. *Calderonia*	1
47. *Serpusiacris*	1
48. *Serpusiformia*	1
49. *Serpusilla*	4
50. *Hysiella*	2
51. *Pseudohysiella*	2
Total	20
Cyrtacanthacridinae	
52. *Rhadinacris*	1
53. *Finotina*	3
Acridinae	
54. *Chromacrida*	2
55. *Pseudopargaella*	1
56. *Lemuracris*	1
57. *Paracoryphosima*	1
58. *Vietteacris*	1
59. *Pycnocrania*	1
Total	7
Truxalinae	
60. *Malagasippus*	5
61. *Tanalanacris*	1
62. *Salariacris*	1
Total	7

Ce groupement des espèces aboutit au tableau suivant :

— genres à distribution étendue 24 %
— genres africains 7 %
— genres endémiques 69 %

ce qui fait ressortir le caractère essentiellement endémique des *Acridoidea* malgaches.

L'endémisme très élevé de la faune malgache a été signalé par les premiers chercheurs (Wallace, 1876, 1880) et confirmé par les études récentes de Paulian (1952) et de Millot (1952). Paulian (1952) analysant l'entomofaune malgache estimait que l'endémisme variait entre 35 % (pour les *Culicidae*) et 92,5 % (pour les *Caraboidea*). L'endémisme spécifique moyen de tous les groupes étudiés par lui, s'établit aux environs de 76 %.

Les *Acridoidea* montrent un endémisme spécifique de 94 % et un endémisme générique d'environ 70 %. Les sous-familles les plus importantes de ce point de vue sont celles des :

Pyrgomorphidae avec 16 genres et 40 espèces endémiques,
Hemiacridinae avec 15 genres et 29 espèces endémiques,
Calantopinae avec 15 genres et 23 espèces endémiques.

Les autres sous-familles réunissent de 1 à 6 genres et de 1 à 12 espèces. Ainsi, les *Pyrgomorphidae* et les *Hemiacridinae* constituent la partie essentielle des *Acridoidea* malgaches endémiques.

La famille des *Pyrgomorphidae* a une répartition mondiale. L'Afrique compte 41 genres et 248 espèces (Uvarov et Johnston, 1957). Il y en a sans doute encore plus dans la région orientale; il existe quelques genres dans la Paléarctide, quelques genres dans la région australienne et plusieurs dans le Nouveau Monde.

La sous-famille des *Hemiacridinae* est représentée dans la région éthiopienne par 23 genres et 56 espèces. Ils sont sans doute plus nombreux dans la région orientale, mais un calcul exact est impossible car les genitalia de plusieurs genres décrits ne sont pas connus et ils sont essentiels pour l'étude de la sous-famille. Il y a aussi quelques *Hemiacridinae* dans la région australienne et deux genres en Amérique du Sud.

A Madagascar, les *Pyrgomorphidae* et les *Hemiacridinae* sont sans doute des reliques de l'ancienne faune de l'île. Il est possible que certains endémiques des autres sous-familles représentées dans l'île soient aussi des reliques de la faune ancienne d'*Acridoidea*. Ces insectes peuvent également être parvenus à Madagascar plus tard.

Il n'y a que quelques processus par lesquels l'île a pu être peuplée d'*Acridoidea*, en excluant l'hypothèse d'une origine autochtone à partir d'ancêtres plus primitifs.

La première possibilité nous est offerte par un vol direct, aidé par le vent. Toutes les espèces du premier groupe de la faune (tableau II) ont pu arriver de la sorte. La traversée des 420 km du Canal de Mozambique par d'aussi bons voiliers que les *Locusta*, *Cyrtacanthacris* et *Nomadacris* ne présente aucune difficulté. Il n'est cependant pas certain qu'ils aient adopté ce mode de passage car *Schistocerca gregaria*, insecte nuisible bien connu en Afrique et en Asie du Sud-Ouest, est inconnu à Madagascar bien qu'excellent voilier. Le canal de Mozambique n'aurait pu être un obstacle car on le retrouve à Sainte-Hélène qui est à peu près à 1 870 km de la côte africaine et il a été rencontré dans l'Atlantique à 2 300 km de la côte d'Afrique (Waloff, 1960). Les *Anacridium* ne sont pas non plus représentés à Madagascar bien que tous soient bons voiliers et que le genre soit représenté sur toute l'Afrique, l'Europe méridionale, l'Asie occidentale et centrale, toute l'Inde et Ceylan. Il y a bien d'autres genres ou espèces bons voiliers qui auraient aisément pu atteindre Madagascar au vol et qui ne

s'y trouvent pas. Il est difficile d'invoquer des obstacles écologiques car Madagascar offre une gamme de milieux écologiques presque aussi variée que celle de l'Afrique continentale au Sud du Sahara.

Il est bien entendu possible qu'à certaines époques géologiques, la direction du vent ait facilité le vol dans le sens Afrique-Madagascar. Ceci aurait pu intéresser des espèces à distribution africaine ancienne. Un changement ultérieur éventuel dans la direction du vent aurait empêché le passage des espèces plus tardivement africaines. Des changements saisonniers dans la direction des vents pourraient aussi intervenir.

La seconde voie d'accès à Madagascar est fournie par les « radeaux », ce que Darlington (1957) définit comme la dispersion d'animaux terrestres à travers l'eau; grâce à des objets flottants. Quelques-unes des espèces aptères ou « médiocres voiliers » aussi bien que les espèces « bons voiliers », peuvent être parvenues dans l'île sur des radeaux poussés par les courants. Ces radeaux peuvent transporter des oothèques, des larves à tous les stades, ou même des ailés. Cette possibilité est particulièrement importante pour les pontes que certaines espèces déposent dans les tiges des plantes. Certaines des espèces du groupe 2 (tableau III) et du groupe 3 (tableau IV) ont pu être transportées de la sorte.

La troisième hypothèse, la plus vraisemblable, est que l'île a été, à certaines époques, réunie aux continents. Cela simplifierait fort le problème, le ramenant au problème banal de la dispersion des espèces sur terre. Cela expliquerait aussi les chemins pris par la migration et l'origine des genres endémiques. Il semble que tous les géologues admettent une liaison entre Madagascar et l'Afrique au Permien, au Trias, au Jurassique et pendant une partie du Crétacé. Blandford (1890) et Wegener (1915) ont supposé une liaison au tertiaire. Furon (1941) admet que jusqu'au Pliocène un pont étroit réunissait Madagascar à l'Afrique. Du Toit (1937) signale qu'une liaison temporaire existait entre Madagascar et l'Afrique à l'Oligocène. Millot (1952) a suggéré que les liaisons entre Madagascar et l'Afrique ont pu être obtenues par une série de petites îles séparées par d'étroits chenaux aisément franchis au vol ou sur des radeaux.

Une autre liaison continentale possible qui semble largement admise par les géologues, se serait établie avec l'Inde. Sclater (1875) et plus tard Wallace (1876, 1880) l'ont appelée Lémurie. On l'a considérée comme un continent faisant partie de l'hypothétique continent de Gondwana. Blandford (1890) a écrit qu'il existait « une liaison entre l'Inde et l'Afrique du Sud pendant le Crétacé supérieur, liaison qui s'est brisée en îles séparées au début du Tertiaire ». Schuster (1932) estime que « la Lémurie, intacte au moins jusqu'à la fin du Permien commença à s'enfoncer et à se séparer de l'Afrique au Trias inférieur, et fut complètement isolée de l'Afrique à la fin du Mésozoïque. Cet enfoncement débuta au Nord-Ouest de Madagascar à la fin du Trias et l'île fut complètement isolée au Sénonien ».

Willis (1932) pense que « l'existence ancienne d'un continent de Gondwana semble en opposition avec l'équilibre isostatique ». Il rejette par suite la Lémurie en tant que continent mais propose d'étroites liaisons continentales en isthmes. Il souligne que « le tracé de l'isthme ancien entre l'Afrique et l'Inde est sinueux mais bien marqué ». L'élément subsistant le plus important de cet isthme hypothétique serait Madagascar et une chaîne de groupes de petites îles de l'Océan Indien : Laquedives, Maldives, Chagos, haut fond à peine submergé de Saya de Melha et Séchelles.

Selon la théorie de la dérive des continents de WEGENER (1915) l'Inde, Ceylan, Madagascar et l'Afrique ont été réunis jusqu'au début du Tertiaire où les premières fentes se sont manifestées.

Ainsi, les géologues sont d'accord pour admettre que Madagascar a été réuni à l'Afrique et à l'Inde. Mais la date de ces liaisons est discutable. Beaucoup de géologues basent leur argumentation sur la distribution des espèces actuelles et fossiles (WEGENER, 1915; DU TOIT, 1937) mais cela n'est pas entièrement valable.

En ce qui concerne la date de formation de la faune des *Acridoidea* de Madagascar on ne peut faire appel qu'à des preuves indirectes et des déductions logiques, étant donné l'absence de tout *Acridoidea* fossile connu de l'île.

Le schéma que nous proposons est le suivant :

L'absence de *Pamphagidae* est difficile à expliquer. Il n'existe pas de fossiles de la famille et sa distribution est limitée à l'Afrique, l'Asie paléarctique méridionale et le Sud de l'Europe. Cette distribution semble indiquer que la famille est relativement récente et n'a, par suite, pas pu pénétrer à Madagascar par voie de terre. Mais du point de vue morphologique, les *Pamphagidae* présentent de nombreux caractères primitifs, en particulier dans les genitalia, et il paraît peu probable qu'ils puissent constituer une famille récente. Il convient de noter que les *Pamphagidae* s'observent en montagne, dans les déserts, les régions semi-désertiques et les steppes, mais font défaut en forêt.

Les *Truxalinae* tout récemment découverts par D. WINTREBERT présentent un intérêt particulier. DIRSH (1956) suggère que cette sous-famille constitue le rameau le plus récent des *Acrididae* apparu entre l'Eocène et le Pléistocène. Il base cette opinion sur le fait que les *Truxalinae* sont essentiellement graminivores et écologiquement et morphologiquement étroitement liés aux formations herbacées et aux prairies. Le développement des formations graminéennes et des prairies a débuté à l'Eocène et a été très important au Miocène et au Pliocène (OSBORN, 1910; ELIAS, 1942), il a atteint son maximum au Pléistocène (KOMAROV, 1943; WOLF, 1944). Il est logique d'y associer le développement des *Truxalinae* dont peu de fossiles sont connus, appartenant tous à des genres actuels et datant du Pléistocène (ZEUNER, 1942). Il est plus que possible que l'île était alors déjà isolée des deux continents voisins. Cependant et bien qu'ils soient en général d'assez mauvais voiliers, les *Truxalinae* ont eu la possibilité d'atteindre Madagascar.

Comme nous l'avons déjà dit, la majorité des *Hemiacridinae* malgaches sont endémiques. Les membres de cette sous-famille sont largement frondicoles, à vaste distribution tropicale. Les genres endémiques sont assez particuliers et très distincts taxonomiquement des autres genres de la sous-famille dans leur ensemble et, presque toujours, éloignés les uns des autres. Ils n'ont que peu d'affinités avec les genres africains mais une nette — bien que lointaine — affinité avec les genres de la région orientale. Le groupe *Gergis* peut être relié au groupe *Tarbaleus*. Le groupe *Euthymia* a de nettes affinités avec les genres orientaux *Pareuthymia* Willemse 1930, *Perakia* Ramme, 1930, *Clonacris* Uvarov, 1943 et *Thymiacris* Willemse, 1937.

En général, les *Hemiacridinae* sont plus diversifiés dans la région orientale que partout ailleurs. Ceci amène à supposer qu'ils arrivèrent à Madagascar, surtout, sinon

uniquement, à partir de cette région. Il est même possible que les représentants de la sous-famille soient parvenus en Afrique par l'étape malgache. Ils auraient certainement pu atteindre Madagascar à partir de l'Inde en utilisant une liaison continentale. Celle-ci doit très probablement avoir existé au Crétacé et, moins vraisemblablement, au milieu du Tertiaire pendant la période temporaire géocratique générale du Pliocène. Il faut souligner que les *Hemiacridinae* malgaches montrent quelques caractères primitifs qui permettent d'y voir des formes reliques. Le faible développement des nervures stridulatoires des élytres peut être considéré comme le point de départ de la tendance évolutive qui s'est exprimée pleinement plus tard chez des espèces continentales contemporaines.

Martynov (1938), il est vrai, a indiqué que les *Acridoidea* étaient inconnus du Mésozoïque, bien que « sans doute déjà présents au Mésozoïque supérieur ». Il a estimé qu'ils dérivent de quelques *Locustopsidae* primitifs ou de l'ancêtre commun à ces groupes au Mésozoïque inférieur. L'origine plus lointaine remonte sans doute au début du Permien (Martynov, 1938). Chopard (1949) estime que les *Acridoidea* ne débutent pas avant l'Eocène.

Il est possible que les *Hemiacridinae* aient occupé Madagascar à partir de la zone forestière de la région orientale au début du Tertiaire ou à la fin du Crétacé. Ceci est plus tôt que ce que suggèrent Martynov (1938) et Chopard (1949), mais on ne doit pas oublier que les documents fossiles sur les *Acridoidea* sont presque inexistants et que nous ne connaissons pas du tout les caractères morphologiques des *Acridoidea* primitifs.

Les *Pyrgomorphidae* malgaches ont un degré d'endémisme comparable à celui des *Hemiacridinae*. C'est là, sans doute, l'un des plus anciens groupes d'*Acridoidea*. On considère leurs caractères morphologiques comme primitifs. Ils n'ont pas d'appareil stridulatoire (pour ce que nous en connaissons actuellement). La nervation alaire est simple, avec surtout des nervures principales rectilignes. Le complexe phallique est simple et, peut-être, primitif. Ils ont une distribution mondiale dans les zones tropicales et subtropicales. A Madagascar, les genres endémiques, très différents les uns des autres, sont aussi très nettement différents des genres connus des autres régions. Aucun lien ne peut être établi avec les formes des régions orientale et éthiopienne. La séparation a sans doute été trop profonde et trop ancienne pour permettre d'en retrouver les traces. Il peut se faire cependant que lorsque la région orientale sera complètement explorée on découvre des affinités. Pour le moment, on peut admettre que les *Pyrgomorphidae* ont été les plus anciens *Acridoidea* de Madagascar. Il est raisonnable de les considérer comme antérieurs aux *Hemiacridinae* à cause des affinités certaines de ceux-ci avec certains genres orientaux alors que les *Pyrgomorphidae* ne montrent aucun lien de parenté avec des genres extérieurs. Ils ont pu peupler Madagascar dès le Crétacé.

La sous-famille des *Eyprepocnemidinae* à vaste distribution dans l'ancien monde est assez bien représentée en genres endémiques à Madagascar (tableau V), montrant autant de liens avec l'Afrique qu'avec la région orientale. Cependant *Eyprepocnemis smaragdipes* Bruner, 1910 est très proche de *E. kalkudensis* Henry, 1937, de Ceylan, bien plus proche que de n'importe quelle espèce africaine du genre.

Il est donc possible que l'essentiel de la faune d'*Acridoidea* de Madagascar soit d'origine orientale (au sens actuel du terme) et ait pénétré à Madagascar au début du

Tertiaire ou au Crétacé. Les autres parties de cette faune, moins importantes, ont pu provenir, à une date bien plus tardive, de la région éthiopienne ou même de la région orientale et pour partie de la paléarctide.

Une revue des *Acridoidea* malgaches montre leur caractère hautement particulier et la diversité de leurs formes sans parenté entre elles. Ils sont fondamentalement arboricoles avec une adaptation ultérieure à l'habitat montagnard dans certaines parties de l'île. Les arrivants plus tardifs ont trouvé par la suite des niches écologiques convenables. Selon Rand (1936) la forêt vierge de Madagascar ne recouvre actuellement que 1/8 de la surface de l'île. La déforestation a dû débuter très tôt avec l'occupation humaine, mais a dû revêtir une importance particulière au cours du dernier siècle et pendant celui-ci. Il est possible que certains *Acridoidea* endémiques se soient éteints tout récemment. Quelques-unes des espèces endémiques actuelles sont très rares et peuvent être sur le point de disparaître. Il est donc de première importance d'étudier la faune actuelle avant qu'elle ne soit encore plus appauvrie et perdue pour toujours, par suite d'une destruction inconsidérée des formations végétales naturelles malgaches.

SYSTÉMATIQUE

Super-famille **ACRIDOIDEA**

Famille **PYRGOMORPHIDAE**

Corps de taille et de forme très variables. Tête allongée, conique. Fastigium du vertex sillonné. Une saillie prosternale. Élytres et ailes entièrement développés, réduits ou absents. Tympan normalement présent. Lobe basal inférieur des fémurs postérieurs normalement plus long que le lobe supérieur. Organe de Brunner présent, sauf dans quelques genres à pattes grêles, presque du type marcheur. Épine apicale externe des tibias postérieurs, présente ou absente. Ectophalle différencié; cingulum en forme de capsule; valves du pénis paires, non divisées; sac spermatophore en position dorsale. Épiphalle en pont, à appendices dorso-latéraux; ancorae absentes; lophi en forme de crochet; pas de sclérites ovales. Pas d'appareil stridulatoire.

Genre type : *Pyrgomorpha* Serville, 1838.

La famille est bien représentée à Madagascar, la plupart des genres et des espèces sont purement endémiques et taxonomiquement remarquables.

Les relations entre nombre de ces genres et les autres genres ou espèces de la famille sont obscures. Il semble probable que nous connaissions moins de la moitié des genres et du quart des espèces des *Pyrgomorphidae* malgaches. Des études plus approfondies sont nécessaires pour nous apporter les renseignements indispensables à la compréhension des affinités de la famille.

Clé des genres malgaches

1 (32) Base des antennes située derrière les ocelles latéraux (dans les cas douteux, insectes allongés, aptères ou subaptères); aire inféro-externe des fémurs postérieurs non déplacée ventralement vers l'aire médiane externe 2

2 (3) Pronotum fortement tuberculé et denté, le disque aplati, les lobes latéraux formant un angle droit avec le disque (fig. 1, 2) . **Phymateus** (p. 14)

3 (2) Pronotum non tuberculé, ou avec de petits tubercules, et non denté, le disque cylindrique ou subcylindrique 4

4 (27) Tête conique, sans processus formé par le fastigium du vertex et la partie supérieure du front, dans les cas douteux, insectes aptères, l'extrémité abdominale ♂ non renflée. 5

5 (14) Élytres pleinement développés, réduits ou vestigiaux. 6

6 (7) Carènes latérales du pronotum présentes (fig. 3-6) . **Pyrgomorphella** (p. 18)

7 (6) Pronotum sans carènes latérales 8

8 (11) Élytres réduits, se touchant dorsalement ou lobiformes et couvrant le tympan, parfois pleinement développés (dans la f. macroptère) . . . 9

9 (10) Tête fortement conique; fastigium du vertex plus de 2 fois plus long que large; élytres lobiformes, latéraux, ou entiers dans la f. macroptère (fig. 7). . . . . **Rubellia** (p. 27)
10 (9) Tête moins nettement conique; fastigium du vertex un peu plus long que large; brachyptère ou microptère (fig. 8, 9) . . . . . **Pseudorubellia** (p. 29)
11 (8) Élytres vestigiaux ne couvrant pas le tympan lorsqu'il existe 12
12 (13) Tarses postérieurs plus courts que la moitié des tibias correspondants; arolium plus grand ou égal aux griffes; présence d'un tympan (fig. 10-17). . . . . **Caprorhinus** (p. 33)
13 (12) Tarses postérieurs de longueur subégale à la moitié des tibias correspondants; arolium plus court que les griffes; pas de tympan. **Malagasphena** (p. 46)
14 (5) Élytres totalement absents 15
15 (24) Côte frontale, de profil, non entaillée avant sa rencontre avec le fastigium du vertex; dans le cas contraire, cerques du ♂ longs et fortement amincis à la partie postérieure 16
16 (19) Tête courte, conique ou subconique; fastigium du vertex plus large que long; cerques ♂ comprimés latéralement à la base 17
17 (18) Cerques ♂ dépassant l'extrémité de la plaque susanale, la moitié postérieure fortement amincie; bord postérieur du pronotum de la ♀ droit (fig. 18, 19) . . . . **Gymnohippus** (p. 47)
18 (17) Cerques ♂ pas plus longs que larges à la base, triangulaires de profil; bord postérieur du pronotum de la ♀ en angle aigu (fig. 20). **Acropyrgus** (p. 52)
19 (16) Tête allongée, conique; fastigium du vertex plus long que large; cerques ♂ simples, coniques ou subconiques. 20
20 (23) Plaque sous-génitale ♂ simple, un peu comprimée, à apex arrondi de profil. 21
21 (22) Corps allongé et subcylindrique chez le ♂, légèrement fusiforme chez la ♀; côtés de l'espace mésosternal légèrement incurvés ou droits (fig. 21) . . . . **Pseudosphena** (p. 55)
22 (21) Corps cylindrique et très allongé dans les 2 sexes; côtés de l'espace mésosternal fortement incurvés (fig. 22) . . . . **Dyscolorhinus** (p. 57)
23 (20) Plaque sous-génitale ♂ trilobée en vision dorsale, les lobes formés par 2 carinules latérales et 1 carinule médiane (fig. 23). . **Ambositracris** (p. 60)
24 (15) Côte frontale, de profil, entaillée avant sa rencontre avec le fastigium du vertex. 25
25 (26) Corps très grêle, allongé, cylindrique; fastigium du vertex fortement allongé, anguleux, plus de 2 fois plus long que large; antennes plus longues que tête et pronotum réunis (fig. 24) . . . . . . **Sagittacris** (p. 62)
26 (25) Corps cylindrique ou légèrement fusiforme; fastigium du vertex parabolique, plus court ou moins de 2 fois plus long que large; antennes plus courtes que tête et pronotum réunis (fig. 25) . . . . . **Pyrgohippus** (p. 64)
27 (4) Tête conique à saillie formée par le fastigium du vertex et la partie supérieure du front. 28
28 (29) Tarses postérieurs au moins égaux à la moitié des tibias correspondants:

fémurs antérieurs des ♂ renflés et armés d'une rangée de fortes épines sur le bord externe (fig. 26-28) . . . . **Acanthopyrgus** (p. 66)

29 (28) Tarses postérieurs plus courts que la moitié des tibias correspondants; fémurs antérieurs des ♂ non renflés, inermes. 30

30 (31) Extrémité abdominale des ♂ non renflée; insectes microptères (fig. 29-31). . . . . **Geloius** (p. 71)

31 (30) Extrémité abdominale des ♂ fortement dilatée; insectes aptères ou subaptères (fig. 32-36) . . . . **Pseudogeloius** (p. 76)

32 (1) Base des antennes située devant les ocelles latéraux; aire inféro-externe des fémurs postérieurs déplacée ventralement vers l'aire médiane externe. 33

33 (36) Macroptère; côte frontale basse sur toute la longueur, non saillante ni échancrée à l'apex 34

34 (35) Aire inféro-externe des fémurs postérieurs fortement élargie et déplacée ventralement vers l'aire médiane externe (fig. 37) . . . **Schulthessia** (p. 85)

35 (34) Aire inféro-externe des fémurs postérieurs étroite, peu déplacée vers l'aire médiane externe (fig. 38) . . . . **Atractomorpha** (p. 87)

36 (33) Microptère ou aptère; côte frontale comprimée et saillante vers l'extrémité, échancrée de profil, à l'apex (fig. 39-41). . . . . . . **Uhagonia** (p. 90)

Genre **Phymateus** Thunberg

Phymateus Thunberg, 1815 : 216; Dirsh, 1963 *b* : 52.
Phymateus (*Maphyteus*) I. Bolivar, 1904 : 403.
Maphyteus I. Bolivar, 1904; Kirby, 1910 : 312; Dirsh, 1958 : 51.

Grand et fort. Tégument ruguenx et tuberculé. Antennes épaisses, filiformes. Fastigium du vertex court, convexe, anguleux, les aréoles apicales peu développées, convexes; sillon du fastigium court et profond; tête conique; front oblique et incurvé; côte frontale étroite, sillonnée, pourvue d'épaisses carinules latérales. Disque du pronotum aplati, couvert de tubercules et de dents; carène médiane basse, largement interrompue par 3 sillons; métazone plus courte que la prozone; bord postérieur arrondi, à rebord tuberculé ou denté; lobes latéraux raccordés au disque à angle droit. Processus prosternal grand, conique; espace mésosternal plus long que large, éloigné de l'espace métasternal; ce dernier transverse. Elytres et ailes pleinement développés; ailes brillamment colorées, à dessin quadrillé. Organe tympanal bien développé. Fémur postérieur étroit; une épine apicale externe aux tibias postérieurs. Arolium grand. Plaque sus-anale du ♂ allongée, anguleuse; cerques coniques; plaque sous-génitale subconique, obtuse. Oviscapte court, robuste, à valves courbées.

Complexe phallique : cingulum très sclérifié, à valves courtes. Pénis droit à apex légèrement courbé; valves basales moyennement élargies; valves apicales aiguës ou subaiguës. Épiphalle robuste, le pont assez court; lophi courts, à crochets grands et forts; appendices dorso-latéraux courts et épais.

Extrémité de la spermathèque irrégulièrement contournée, vermiculaire, à un seul diverticule; parfois un renflement évoquant un second diverticule.

Espèce type : *Gryllus Locusta morbillosus* Linné, 1758.

Clé des espèces malgaches

1 (2) Élytres bleu d'acier à vert olive, le dessin quadrillé jaune; ailes rouge vif . . . . 1. **P. saxosus**

2 (1) Élytres orange brunâtre à vert olive, le dessin quadrillé orange ou absent; ailes orange à rouge orangé . . . . 2. **P. madagassus**

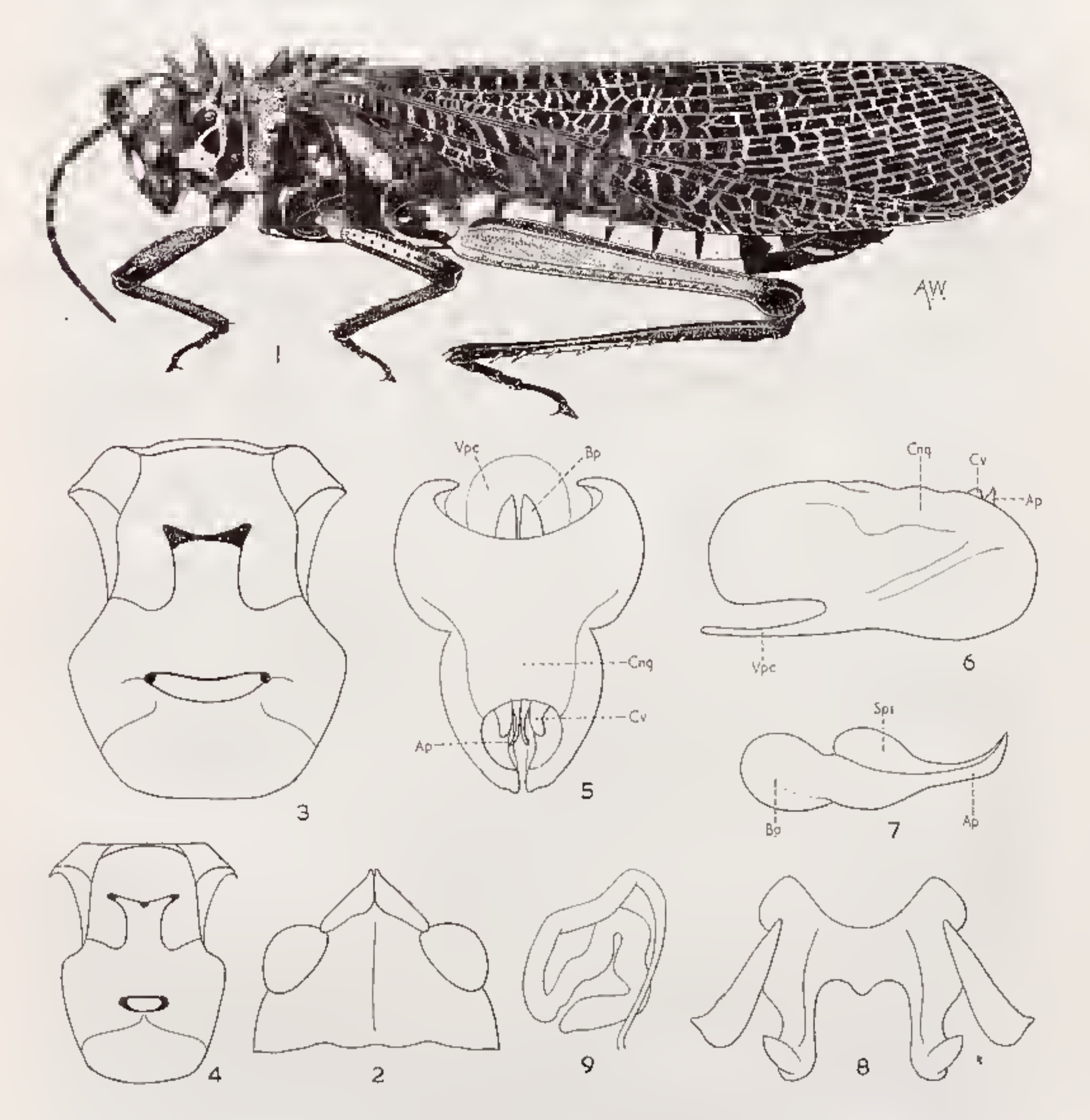


Fig. 1. — *Phymateus saxosus* Coquerel, 1861. — 1, ♀. — 2, Tête dorsalement. — 3, Méso- et métasternum ♀. — 4, *id.* ♂. — 5, Complexe phallique dorsalement, épiphalle et membrane ectophallique enlevés. — 6, *id.*, vue latérale. — 7, Pénis et sac spermatophore. — 8, Épiphalle. — 9, Spermathèque.

1. Phymateus saxosus Coquerel (loc. typ. : Madagascar, baie de Baly; type ♂, Muséum Paris).

Phymateus saxosus Coquerel, 1861 : 500; DIRSH, 1963 *b* : 53; DESCAMPS et WINTREBERT, 1966 *b* : 73.
Phymateus buyssoni I. Bolivar, 1903 : 190; DIRSH, 1963 *b* : 53.
Phymateus puniceus I. Bolivar, 1904 : 415; DIRSH, 1963 *b* : 53.
Phymateus buyssoni var. *spinosus* I. Bolivar, 1904 : 416; DIRSH, 1963 *b* : 53.
Phymateus cardinalis I. Bolivar, 1904 : 416; DIRSH, 1963 *b* : 53.

Fig. 1. — Long. ♂ 43 à 55 mm, ♀ 64 à 73 mm; pronotum ♂ 10,5 à 13,6 mm, ♀ 12,8 à 17,3 mm; élytre ♂ 41,3 à 52,4 mm, ♀ 50,4 à 63,2 mm; fémur postérieur ♂ 21 à 27 mm, ♀ 24,5 à 31,2 mm.

♂. Antennes de 19 articles, plus longues que la tête et le pronotum réunis. vertex carinulé.

Coloration d'ensemble bleu d'acier; antennes noires; disque du pronotum soit rouge, à épines et tubercules rouges, soit vert olive ou brun foncé à épines et tubercules rouges, soit vert olive à épines et tubercules orange; lobes latéraux du pronotum et pleures à taches orange; élytres bleu d'acier foncé, bleu olive ou vert olive, à dessin quadrillé jaune plus ou moins large; ailes rouge pâle chez les exemplaires ayant récemment mué lors de leur capture, rouge très vif chez les individus sexuellement mûrs; carènes des fémurs postérieurs jaunes; tibias postérieurs vert olive à épines jaunes; abdomen à anneaux noirâtres et jaunâtres en alternance.

♀. Comme le ♂ mais plus grande et plus robuste. Antennes de 18 articles. Plaque sous-génitale à saillie triangulaire, étroite, au milieu du bord postérieur.

MADAGASCAR SAMBIRANO : Contreforts du Tsaratanana, entre Tananjao et Ampanompia, VIII-1951 (*J. Dietrich*).

MADAGASCAR EST : Moramanga (*Gruvel*); Perinet (*E. Razafimandimby*). — Mahanoro, 50 km à l'Ouest, Ambinanindrano (*G.K. Kestell-Cornish*). — Andevorante (*A. Mathiau*). — Ambatondrazaka, station agricole du lac Alaotra, XI-1947 (*J. Doucet*); environs de Nosivola, Réserve naturelle intégrale III, XI-1954 (*P. Viette et E. Razafimandimby*). — Farafangana, forêt du col d'Ivohibe, XI-1950 (*A. Robinson*). — Ifanadiana, 25 km au Nord, Sandralely, I-1948 (*G.V.*).— Maroantsetra, 1897. — 20 km S. Vondrozo, VIII-1964 (*D. Wintrebert*).

MADAGASCAR CENTRE : Tananarive 1913, 1916 (*Waterlot*); parc de Tsimbazaza, IX-1958 (*A. Robinson*). — Ankazobe, tampoketsa d'Ambohitantely, XII-1947 (*R. Paulian*); route de Majunga, km 132, IX-1957 (*J. Elie*). — Miarinarivo, Fidasiana, VIII-1958 (*A. Robinson*). — Arivonimamo, X-1948 (*E. Razafimandimby*). — Manjakandriana, Ankadimanga, XII-1957 (*J. Elie*). Forêt Manjakandriana, 1910 (*A. Mathiau*). — Ambositra, route du Sud, km 303, forêt d'Ambatofitorahana, III-1955 (*P. Viette*). — Betroka, VI-1948 (*J. de Dieu*). — Amborompotsy, VII-1962 (*D. Wintrebert*). — Horombe, VIII-1964 (*D. Wintrebert*). — Région de Betafo, d'Ambositra et de Miandrivazo, 1905 (*Bouet*). — Antsirabe, 1922 (*G. Petit*).

MADAGASCAR OUEST : Maevatanana, forêt de l'Ankarafantsika, XI-1951 (*P. Viette*). — Soalala, baie de Baly (*Coquerel*); Antsingy de Bekopaka, VII-1949 (*R. Paulian*). —

Ankavandra, 20 km au Sud, lambeau forestier (*R. Paulian*). — Mahatsinjo, X-1964 (*D. Wintrebert*). — Marovoay, I-1934.

Madagascar Sud : Pays Mahafaly (*A. Grandidier*). — Morombe, lac Ihotry, VII-1957 (*A. Robinson*). — Fort-Dauphin, poste administratif de Tsivory, Marotsiraka, XI-1959 (*Randriamasy*). — Pays Androy (*Ch. Alluaud*). — Ankiliarivo, I-1962 (*D. Wintrebert*). — Route Ambovombe-Tsihombe V-1947 (*A. Mallamaire*); route Tsihombe-Antanimora, V-1947 (*A. Mallamaire*); Antanimora, 1926 (*R. Decary*).

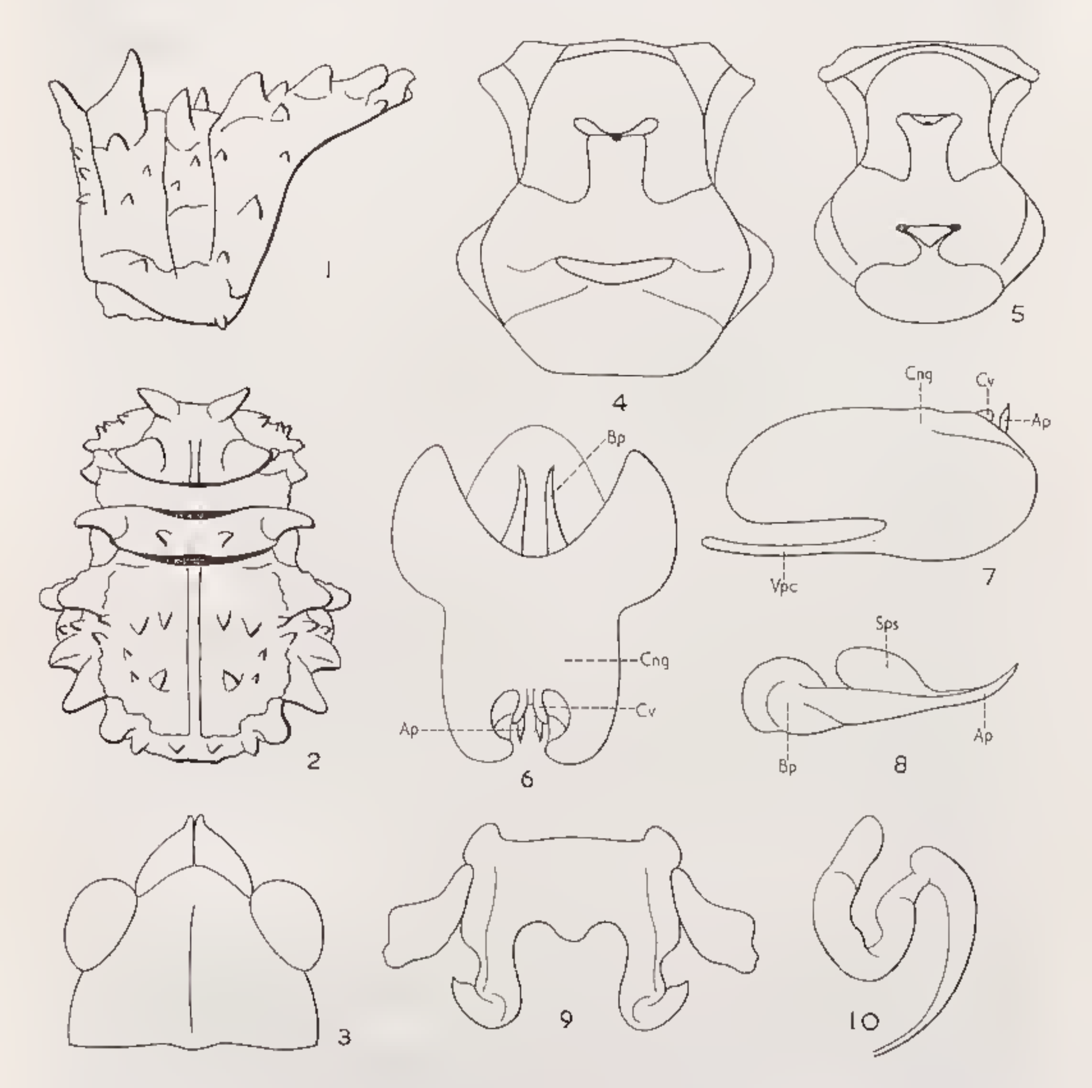


Fig. 2. — *Phymateus madagassus* Karsch, 1888. — 1, Pronotum latéralement (type). — 2, *id.*, dorsalement. — 3, Tête dorsalement. — 4, Méso- et métasternum ♀. — 5, *id.*, ♂. — 6, Complexe phallique dorsalement, épiphalle et membrane ectophallique enlevés. — 7, *id.*, latéralement. — 8, Pénis et sac spermatophore. — 9, Épiphalle. — 10, Spermathèque.

2. Phymateus madagassus Karsch, 1888 (loc. typ. : Madagascar septentrional occidental; type ♀, Musée de Berlin).

Phymateus madagassus Karsch, 1888 : 357, 361; Dirsh, 1963 *b* : 56; Descamps et Wintrebert, 1966 *b* : 75.

Phymateus grandidieri I. Bolivar, 1903 : 190; Dirsh, 1963 *b* : 56.

Fig. 2. — Long. ♂ 43 à 51 mm, ♀ 55 à 75 mm; pronotum ♂ 11,4 à 12,5 mm, ♀ 14 à 18 mm; élytre ♂ 42 à 44 mm, ♀ 49,8 à 58,5 mm; fémur postérieur ♂ 24 à 25,2 mm, ♀ 27,3 à 30,2 mm.

♂. Antennes de 19 articles, plus longues que la tête et le pronotum réunis. Vertex carinulé.

Coloration générale orange brunâtre; disque du pronotum brun orange, vert olive ou brun, les épines et tubercules orange, jaunâtre brun ou rougeâtres; lobes latéraux du pronotum et pleures à taches jaunes et orange; élytres orange brunâtre ou vert olive, à quadrillage étroit, orange, souvent absent; ailes orange pâle à orange ou rouge orangé, à quadrillage brunâtre; fémurs postérieurs vert olive ou brunâtres à carinules jaunes; tibias postérieurs bleuâtres, les épines orange ou jaunes; abdomen à anneaux jaunes et bleuâtres ou brunâtres en alternance.

♀. Comme le ♂ mais plus grande et plus robuste. Antennes de 18 ou 19 articles. Plaque sous-génitale à étroite projection triangulaire au milieu du bord postérieur.

Madagascar Nord : Diégo-Suarez, montagne des Français, II-1959 (*A. Robinson*).

Madagascar Ouest : « Madag. septr. occid. » (*Hildebrandt*). — Sakaraha, forêt de Lambomakandro, III-1956 (*A. Robinson*). — Ankazoaho, Besalampy.

Madagascar Sud : Tuléar, Amholisatra (*A. Grandidier*). — Tsivory, VIII-1948 (*R. Paulian*). — Ankiliarivo, IV, V, IX et X-1964 (*D. Wintrebert*). — Ankazoabo, VII-1964 (*D. Wintrebert*). — Efoetsy, IV-1966 (*J. Têtefort*).

Espèce variable quant à la taille et à la sculpture du pronotum qui peut être représentée par de longues épines très aiguës et de nombreux tubercules ou par des épines assez obtuses et des tubercules moins saillants. Coloration variable signalée ci-dessus.

La différence entre les deux espèces de *Phymateus* tient surtout à la coloration, mais en partie au dessin qui est plus défini chez *saxosus*. Il n'y a pas entre elles de différences morphologiques dépassant la limite de variabilité. Il ne s'agit peut-être que de deux populations.

Genre **Pyrgomorphella** I. Bolivar

Pyrgomorphella I. Bolivar, 1904 : 456; Dirsh, 1963 *b* : 57.

Taille faible ou submoyenne; corps légèrement fusiforme. Tégument rugueux. Antennes épaisses, filiformes, comprimées à la base, plus courtes que la tête et le pronotum réunis. Fastigium du vertex horizontal ou ascendant, un peu convexe, à apex anguleux ou parabolique; aréoles apicales bien développées, à carinules marginales bien nettes; vertex carinulé; front fortement oblique et incurvé; côte frontale étroite, comprimée entre les antennes, à sillon étroit et carinules vives à la partie supérieure, à sillon superficiel et carinules basses et obtuses à la partie inférieure; rangée de callo-

sités postoculaires bien développée. Pronotum subcylindrique, fortement tuberculé; carène médiane forte dans la prozone, parfois effacée dans la métazone; carènes latérales bien marquées, irrégulières; disque traversé par 2 sillons; métazone à peu près égale au 1/4 ou au 1/3 de la longueur de la prozone, son bord postérieur droit ou incurvé. Processus prosternal largement conique chez le ♂, en collier chez la ♀. Espace mésosternal proche de l'espace métasternal et réuni à ce dernier par des sutures latérales. Élytres vestigiaux ou lobiformes. Organe tympanal présent ou absent. Fémurs postérieurs grêles. Épine apicale externe des tibias postérieurs présente ou absente. Arolium grand. Plaque sus-anale du ♂ allongée, anguleuse. Cerques coniques à l'apex, un peu courbés vers le bas. Plaque sous-génitale à apex arrondi. Oviscapte moyennement long, à valves courbées; valves inférieures à saillie basale externe.

Espèce type : *Pyrgomorphella sphenarioides* I. Bolivar, 1904.

Clé des espèces malgaches

1 (4) Insectes microptères; valves inférieures de l'oviscapte en vision ventrale, nettement plus longues que larges à la base 2

2 (3) Bord postérieur du pronotum nettement concave; vertex et fastigium horizontaux; fastigium de la ♀ un peu plus court que large à la base, celui du ♂ de longueur subégale à la largeur de base; face droite de profil au-dessous des yeux; élytres de la ♀ 2 fois plus longs que larges; carène abdominale non renflée sur le bord postérieur de chaque segment (fig. 3) . 1. **P. madecassa**

3 (2) Bord postérieur du pronotum droit, la carène médiane surélevée à l'arrière et légèrement incisée; vertex et fastigium ascendants; fastigium un peu plus long que large à la base; face subanguleuse de profil au-dessous des yeux; élytres de la ♀ 1,5 fois plus longs que larges; carène abdominale renflée sur le bord postérieur de chaque segment (fig. 4). . 2. **P. dicrostachyae**

4 (1) Insectes subaptères (vestiges élytraux bien nets, pas de vestiges alaires); valves inférieures de l'oviscapte, en vision ventrale, nettement plus larges à la base que longues. 5

5 (6) Vestiges élytraux n'atteignant pas le bord postérieur du mésonotum, soudés sur toute leur longueur; yeux fortement saillants; métazone de la ♀ égalant 1/4 de la longueur totale du pronotum, le bord postérieur concave; espace mésosternal ♂ et ♀ 1,5 fois plus large, à la partie antérieure, que long (fig. 5) . . . . 3. **P. minuta**

6 (5) Vestiges élytraux dépassant le bord postérieur du mésonotum, l'extrémité libre; yeux très allongés, peu saillants; métazone de la ♀ égalant 1/3 de la longueur totale du pronotum, le bord postérieur droit, l'extrémité de la carène médiane incisée; espace mésosternal ♂ et ♀ 2 fois plus large, à la partie antérieure, que long (fig. 6). . . . . 4. **P. tulearensis**

1. Pyrgomorphella madecassa I. Bolivar (loc. typ. : Madagascar; lectotype ♀, paralectotype ♂, Muséum Paris).

Pyrgomorphella madecassa I. Bolivar, 1904 : 457; Dirsh, 1963 *b* : 60; Descamps et Wintrebert, 1966 *a* : 25; 1966 *b* : 77.

Fig. 3. — Long. ♂ 12,5 à 12,8 mm, ♀ 18,5 à 20,5 mm; pronotum ♂ 2,2 à 2,3 mm, ♀ 3,3 à 3,5 mm; élytres 1 à 1,2 mm; fémur postérieur ♂ 5,6 à 6,1 mm, ♀ 7,8 à 8 mm.

Taille moyenne. Tégument modérément rugueux. Antennes de 13-14 articles. Fastigium à peu près aussi long que large à la base chez le ♂, l'apex parabolique.

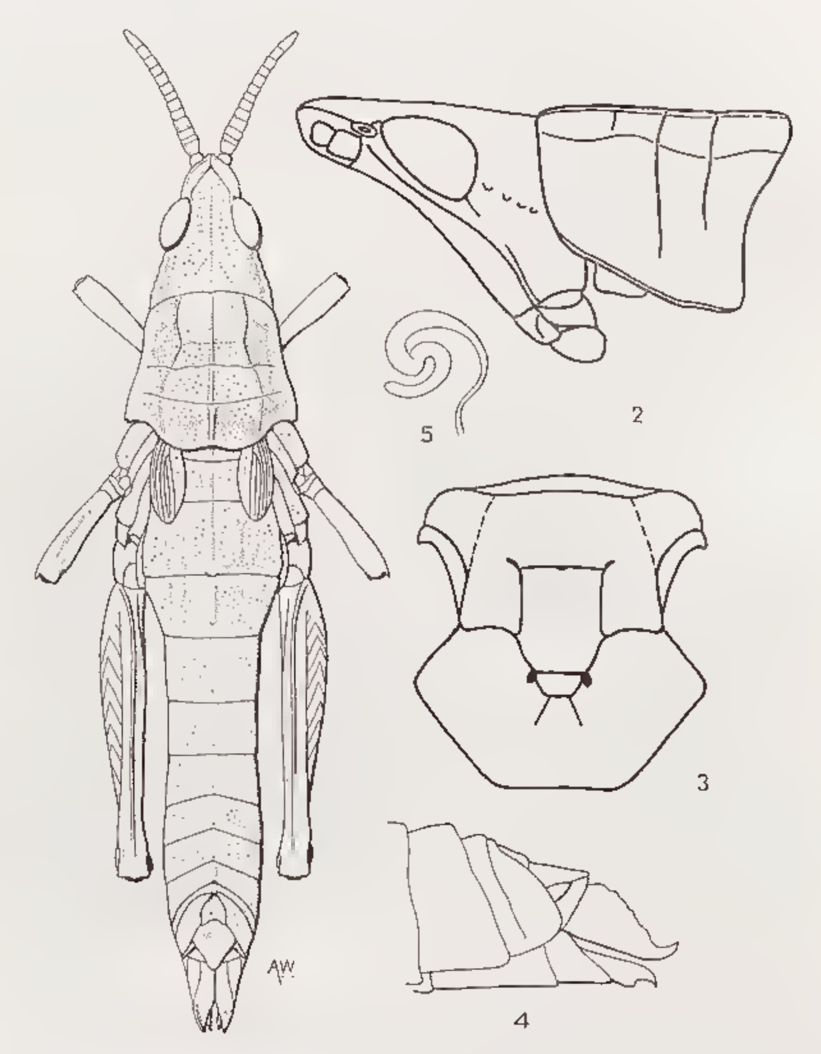


Fig. 3. — *Pyrgomorphella madecassa* I. Bolivar, 1904. — 1, ♀. — 2, Tête et pronotum ♀ latéralement. — 3, Méso- et métasternum ♂. — 4, Extrémité abdominale ♀ latéralement. — 5, Spermathèque.

Carinule vertico-occipitale bien nette. Partie supérieure de la tête horizontale de profil, exactement située dans le prolongement du pronotum. Disque du pronotum rugueux; carène médiane forte dans la prozone, faible dans la métazone, ni renflée, ni surélevée, ni incisée à l'extrémité postérieure; carènes latérales sinuées dans la prozone, excurvées dans la métazone; métazone égalant à peu près le 1/3 de la prozone, le bord

postérieur arqué latéralement et incurvé au milieu. Espace mésosternal du ♂ pas plus de 1,5 fois plus large à la partie antérieure que long; espace métasternal relativement distant du précédent, pas plus de 2 fois plus large que long. Élytres atteignant le 1er tergite abdominal, arrondis à l'apex; ailes dépassant un peu les élytres. Pas de tympan. Pas d'épine apicale externe aux tibias postérieurs. Bord postérieur de la plaque sous-génitale de la ♀ légèrement excurvé; une saillie triangulaire au milieu. Ampoule terminale de la spermathèque simple, étroite, en forme de S.

Coloration générale vert olive ou brune. Callosités postoculaires ocre. Ailes rougeâtres. Carène abdominale parfois rougeâtre.

MADAGASCAR EST : Ambatondrazaka, Réserve naturelle intégrale III, Ambatovositra, Andranomalaza, III et XII-1956 (*P. Soga*).

MADAGASCAR CENTRE : Ambohimanga, III-1921 (*R. Decary*). — Ankazobe, Tampoketsa d'Ambohitantely, II-1948 (*P. Cachan*). — Massif de l'Andringitra, plateau Soaindrana, 2 090 m, I-1958 (*R. Paulian*).

2. Pyrgomorphella dicrostachyae Descamps et Wintrebert (loc. typ. : Cap Ste Marie; holotype ♂, allotype ♀, Muséum Paris).

Pyrgomorphella dicrostachyae Descamps et Wintrebert, 1966 *a* : 25; 1966 *b* : 79.

Fig. 4. — Pronotum ♂ 2 mm, ♀ 3,4 à 4 mm; élytres ♂ 0,8 à 0,9 mm, ♀ 1,5 à 2 mm; fémur postérieur ♂ 5,5 à 5,9 mm, ♀ 7,6 à 8,8 mm.

♂. Tégument très fortement rugueux. Tête plus longue que le pronotum, nettement ascendante. Côte frontale nettement rétrécie un peu au-dessous de l'ocelle médian, les carinules épaissies autour de ce dernier. Carènes latérales de la face bien nettes, coudées au-dessous des yeux, la moitié supérieure épaissie. Bords latéraux du fastigium ondulés sur la moitié basale, fortement convergents sur la moitié apicale. Une carinule médiane partant du sillon fastigial, bien marquée entre les yeux et s'estompant vers l'arrière (parfois complète). Yeux allongés, plus saillants que chez *P. madecassa;* distance infra-oculaire un peu plus grande que le plus grand diamètre de l'œil. Antennes de 16 articles, tous transverses de profil sauf le dernier de longueur subégale à celle des 2 précédents réunis; longueur totale égale à la distance comprise entre l'extrémité du fastigium et le 2e sillon du pronotum. Pronotum à carènes latérales bien nettes et convergentes vers l'arrière en avant du 1er sillon seulement. Carène médiane coupée par 2 sillons, sinuée de profil; métazone subégale à l'espace compris entre le sillon 2 et le sillon typique. Bord inférieur des lobes latéraux non nettement rebordé, l'angle postérieur droit, arrondi, marqué de quelques granulations. Espace mésosternal trapézoïdal, nettement rétréci vers l'arrière, sa plus grande largeur égalant environ 2 fois sa longueur; espace métasternal rapproché du précédent, plus de 4 fois plus large que long. Microptère; élytres elliptiques un peu moins de 2 fois plus longs que larges, dépassant le métanotum mais n'atteignant pas le milieu du 1er tergite abdominal. Fémurs antérieurs et médians épais. Lobes géniculaires supérieurs des fémurs postérieurs bien saillants. Pas d'épine apicale externe aux tibias postérieurs; arolium subégal à la longueur des griffes. Abdomen à carène médiane forte, renflée et redressée à la partie postérieure des segments 1 à 7, ne faisant pas saillie au-dessus du tergite sui-

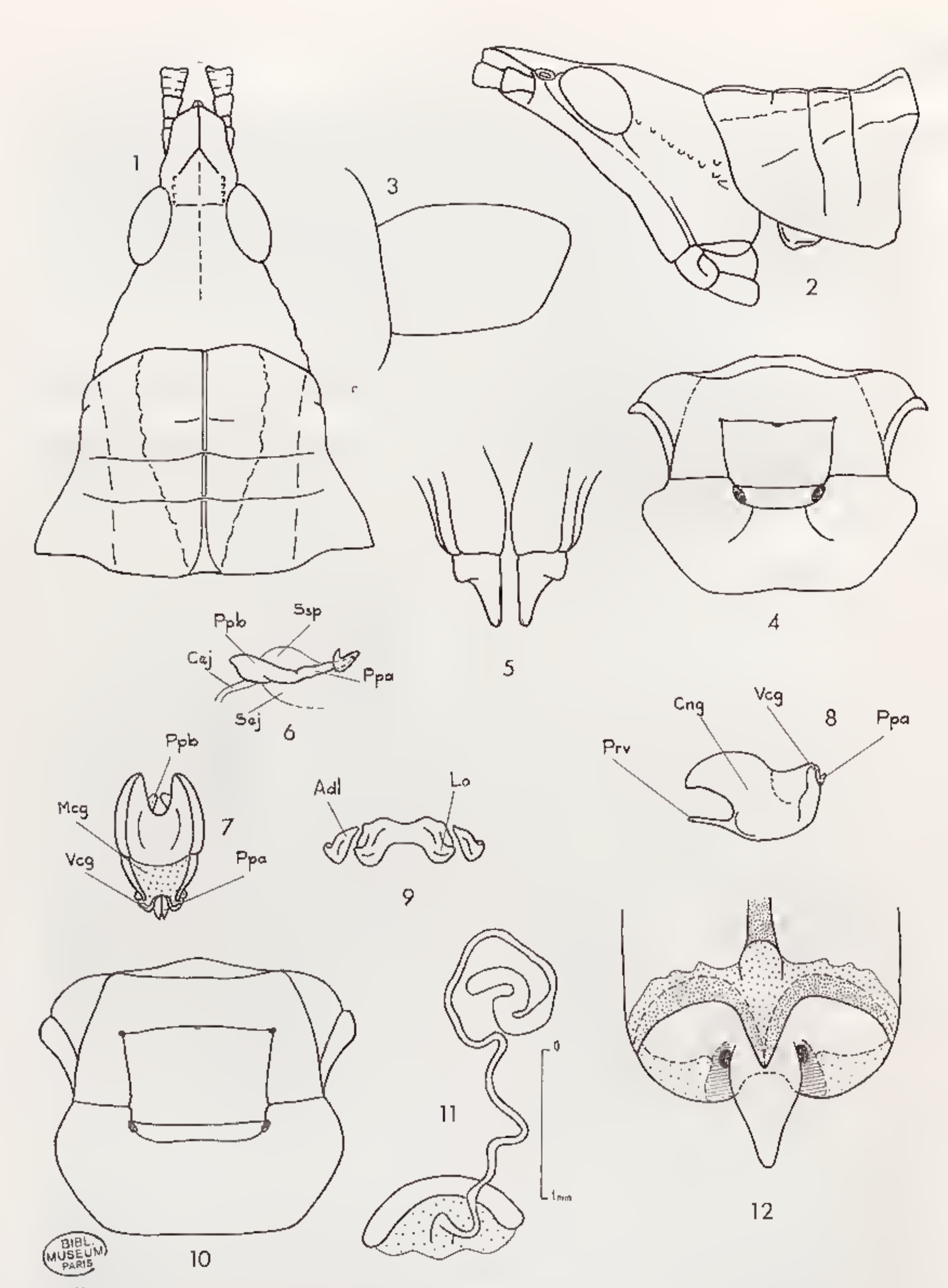


FIG. 4. — *Pyrgomorphella dicrostachyae* Descamps et Wintrebert, 1966. — 1, Tête et pronotum ♀ dorsalement. — 2, *id.*, latéralement. — 3, Élytre ♀. — 4, Méso- et métasternum ♂. — 5. Valves inférieures de l'oviscapte ventralement. — 6, Endophalle latéralement. — 7, Ectophalle dorsalement. — 8, *id.*, latéralement. — 9, Épiphalle. — 10, Méso- et métasternum ♀. — 11, Spermathèque. — 12, Plaque sous-génitale ♀, face dorsale.

vant sauf sur le segment 1. Bord postérieur du dernier tergite pourvu d'une découpure peu profonde en V très ouvert avec angle rentrant tronqué. Cerques subcylindriques un peu comprimés latéralement, l'extrémité aiguë, atteignant l'apex de la plaque sus-anale. Plaque sous-génitale convexe de profil, ne dépassant guère l'extrémité de la plaque sus-anale.

Teinte générale brunâtre, les granulations et les côtes de la face ainsi que le 1/3 inférieur des lobes latéraux du pronotum crème. Ailes rouges. Abdomen varié de gris, de brun clair, de brun sombre et de crème. Face ventrale brunâtre, mouchetée de brun plus sombre sur le thorax. Face externe des fémurs postérieurs marquée de blanc sur la moitié basale.

Épiphalle à disque relativement étroit, les lophi courts, très larges avec crochets très épais recourbés dorsalement; appendices dorso-latéraux épais, de longueur subégale à celle de l'épiphalle. Ectophalle en forme de navette avec face dorsale plane; extrémité antérieure excisée; valves du cingulum étroites, recourbées vers l'extérieur; membrane centrale du cingulum bien différenciée; processus ventral bien saillant. Partie basale du pénis comprimée latéralement mais peu élargie; sac spermatophore grand.

♀. Forme générale trapue, thorax élargi. Antennes de 16 articles transverses de profil, l'angle apical inférieur des articles 3-11 nettement saillant; longueur totale égale à la distance comprise entre l'extrémité du fastigium et le 1/3 de la prozone. Espace interoculaire déprimé transversalement au milieu. Espace mésosternal 2,2 fois plus large que long. Fémurs antérieurs épais. Plaque sous-génitale à projection triangulaire médiane limitée latéralement par 2 petites convexités.

Coloration comme chez les ♂ mais teinte générale très variable; quelques exemplaires brun foncé, d'autres verdâtres.

Madagascar Sud : Ambovombe, Faux Cap, XII-1951 (*R. Paulian et P. Viette*). — Ankalirano, sur *Rauwolfia confertifolia* (Apocynacées), III et IV-1962 (*G. Cadet*). — Fort-Dauphin, sur Rubiacées, XII-1963 (*J. Têtefort, M. Balmat et D. Wintrebert*). — Cap Ste Marie, sur *Dicrostachys* sp., III-1964 (*J. Têtefort et D. Wintrebert*). — Tanandava, larve, VIII-1964 (*D. Wintrebert*).

3. **Pyrgomorphella minuta** Dirsh (loc. typ. : Beloha; type ♂, Muséum Paris).

Pyrgomorphella minuta Dirsh, 1963 *b* : 60; Descamps et Wintrebert, 1966 *a* : 25; 1966 *b* : 82.

Fig. 5. — Long. ♂ 10,3 à 10,4 mm, ♀ 16 mm; pronotum ♂ 1,8 à 1,9 mm, ♀ 3 mm; fémur postérieur ♂ 5 mm, ♀ 7 mm.

♂. Petit; tégument très rugueux. Antennes de 14 articles. Fastigium du vertex de moitié plus long que large; carinule du vertex forte; tête étroitement conique, à apex anguleux; front incurvé de profil; yeux et ocelles relativement grands. Carène médiane du pronotum forte sur toute sa longueur; carènes latérales irrégulières; bord inférieur des lobes latéraux oblique et sinueux. Processus prosternal en collier. Espace mésosternal s'élargissant vers l'avant; espace métasternal petit, proche du précédent. Élytres vestigiaux. Ailes et organe tympanal absents. Lobes inférieurs des genoux postérieurs anguleux. Pas d'épine apicale externe aux tibias postérieurs.

Complexe phallique : cingulum à profonde échancrure à l'extrémité proximale; valves du cingulum absentes; valves basales du pénis légèrement élargies; valves apicales courtes, aiguës; sac spermatophore grand. Épiphalle à pont large; lophi courts à grands crochets obtus; appendices dorso-latéraux courts, épais, élargis à l'apex.

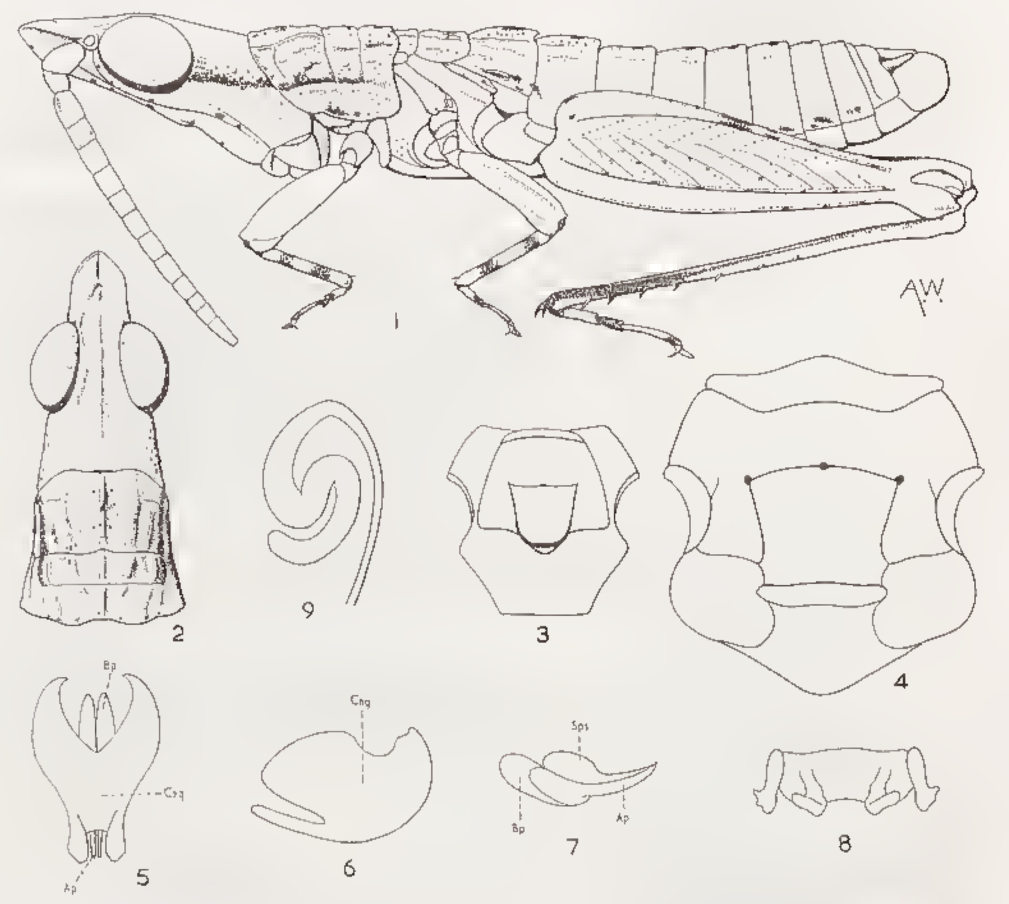


Fig. 5. — *Pyrgomorphella minuta* Dirsh, 1963. — 1, ♂. — 2, Tête et pronotum dorsalement. — 3. Méso- et métasternum ♂. — 4, *id.*, ♀. — 5, Complexe phallique dorsalement, épiphalle et membrane ectophallique enlevés. — 6, *id.*, latéralement. — 7, Pénis et sac spermatophore. — 8. Épiphalle. — 9, Spermathèque.

Coloration générale gris brunâtre; face, partie inférieure des lobes latéraux du pronotum et pleures ocre sale; tibias postérieurs noirâtres sur la moitié apicale.

♀. Plus grande que le ♂. Antennes de 14 articles. Fastigium du vertex plus allongé que chez le ♂. Espace mésosternal relativement plus large; espace métasternal court, transverse, aussi large que le précédent. Oviscapte relativement robuste; plaque sous-génitale à saillie médiane étroite et anguleuse. Ampoule terminale de la spermathèque simple, en forme de S.

Madagascar Sud : Beloha, 100 m, VI-1957 (*P. Griveaud et A. Robinson*); sur

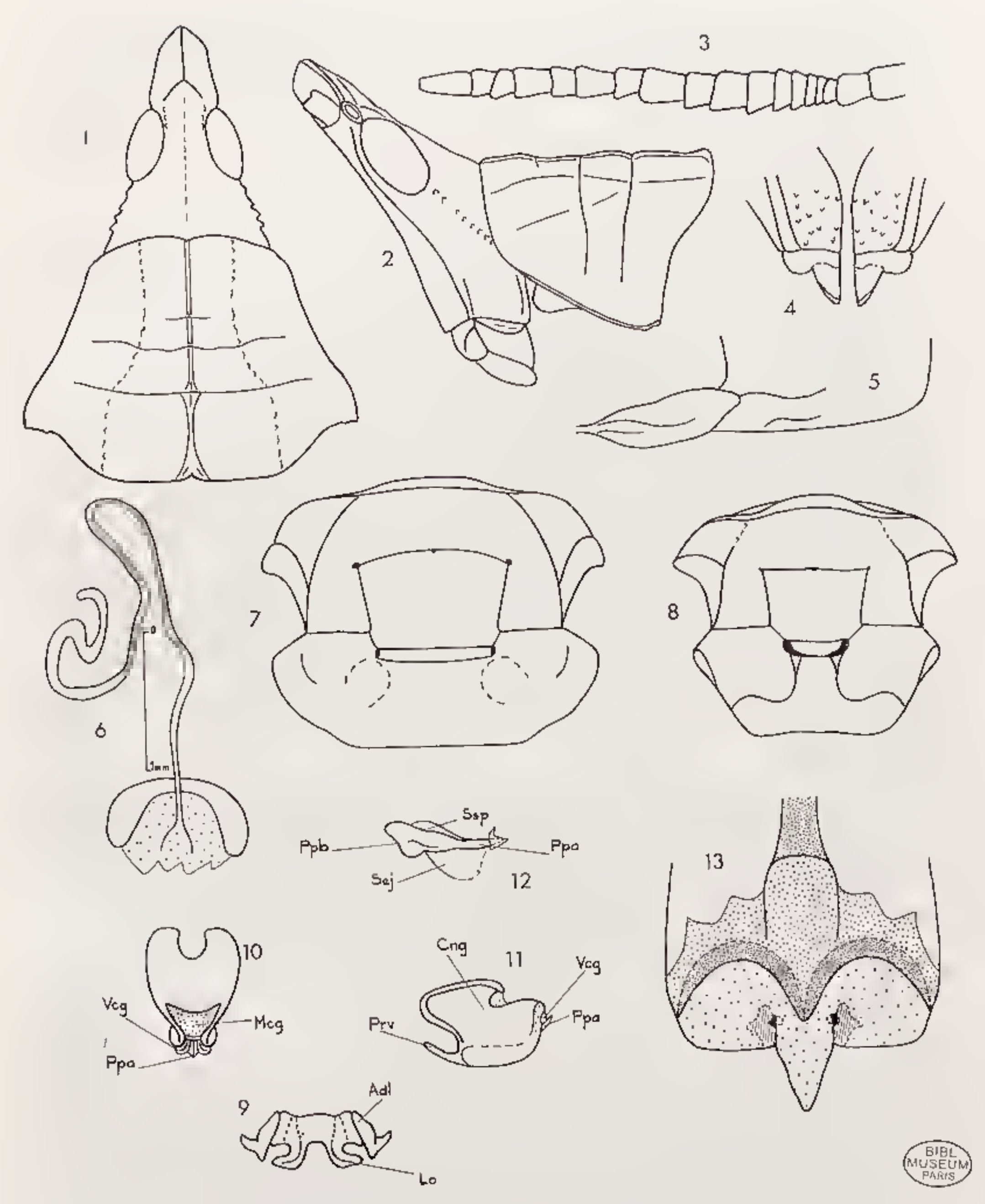


FIG. 6. — *Pyrgomorphella tulearensis* Descamps et Wintrebert, 1966. — 1, Tête et pronotum ♀ dorsalement. — 2, *id.*, latéralement. — 3, Antenne ♀ latéralement. — 4, Valves inférieures de l'oviscapte ventralement. — 5, Vestiges des organes du vol ♀. — 6, Spermathèque. — 7, Méso- et métasternum ♀. — 8, *id.*, ♂. — 9, Épiphalle. — 10, Ectophalle dorsalement. — 11, *id.*, latéralement. — 12, Endophalle — 13, Plaque sous-génitale ♀, face dorsale.

Graminées et Pervenches de Madagascar, V-1962, VIII et X-1963 (*P. Dechappe*). — Ambovombe, Amboasary, 220 m, VI-1957 (*P. Griveaud*). — Barabay (10 km Sud Beloha), I-1964 (*P. Dechappe*).

4. **Pyrgomorphella tulearensis** Descamps et Wintrebert (loc. typ. : Andranomena, 8 km S.-E. Tuléar; holotype ♂, allotype ♀, Muséum Paris).

Pyrgomorphella tulearensis Descamps et Wintrebert, 1966 *a* : 25; 1966 *b* : 83.

Fig. 6. — Pronotum ♂ 2,1 à 2,2 mm, ♀ 3,7 à 4,3 mm; fémur postérieur ♂ 6,5 à 6,6 mm, ♀ 8,7 à 10,3 mm.

♂. Taille nettement plus grande que celle de *P. minuta*. Tégument rugueux mais non régulièrement granuleux comme chez la ♀. Face concave et subanguleuse au milieu, de profil. Yeux allongés, peu saillants. Carènes latérales de la face bien nettes, sinuées au-dessous des yeux. Ocelles latéraux de grande taille, occupant presque la totalité des fossettes ocellaires. Antennes de 17 articles, les unités médianes nettement plus longues que larges de profil; longueur totale égale à la distance comprise entre l'extrémité du fastigium et le milieu du 1er tergite abdominal. Carène médiane du pronotum bien nette sur toute la longueur; carènes latérales incurvées dans la prozone, droites dans la métazone; métazone égale à 0,37 fois la longueur totale du pronotum. Angle postérieur des lobes latéraux tronqué, granuleux. Espace métasternal fortement transverse, environ 4 fois plus large que long. Pas d'épine apicale externe aux tibias postérieurs. Griffes des tarses longues, acérées, fortement recourbées. Arolium ne dépassant pas les 2/3 de la longueur des griffes. Carène médiane de l'abdomen renflée à l'arrière de chaque segment, celle du 1er segment faisant légèrement saillie au-dessus du 2e.

Teinte générale brune avec semis de petites taches noires. Tête et pronotum plus foncés que l'ensemble. Une bande claire le long du bord inférieur des lobes latéraux du pronotum (paratype de teinte générale moins sombre).

Épiphalle à disque relativement large, les lophi en forme d'épais crochet, très fortement courbés vers l'extérieur; appendices dorso-latéraux épais, l'extrémité triangulaire, fortement saillante latéralement. Ectophalle élargi d'arrière en avant, l'extrémité antérieure excisée; valves du cingulum étroites et recourbées vers l'extérieur (en vision dorsale); membrane centrale du cingulum bien différenciée, peu étendue.

♀. Tégument très finement et régulièrement granuleux, particulièrement sur la tête et le pronotum. Capsule céphalique plus fortement ascendante que chez le ♂; face relativement peu déclive. Œil très allongé, environ 1,5 fois plus long que large. Fastigium, vu de profil, subégal à la longueur de l'œil; ocelle latéral très gros. Antennes de 17-18 articles, quelques articles du flagelle nettement plus longs que larges; longueur totale égale à la distance comprise entre l'extrémité du fastigium et le milieu de la métazone. Métazone égale au 1/3 de la longueur totale du pronotum, nettement plus longue que l'espace compris entre les sillons 2 et 3. Espace métasternal 9 fois plus large que long. Tergites abdominaux finement granuleux. Face dorsale des valves supérieures de l'oviscapte très rugueuse. Plaque sous-génitale à projection médiane triangulaire, encadrée de 2 petits lobes.

Teinte générale marron rougeâtre; une fine bande claire partant du bord inférieur de l'œil et atteignant l'angle postérieur des lobes latéraux du pronotum.

MADAGASCAR SUD : Andranomena, 8 km S.E. Tuléar, sur Graminées, VII-1962 (*D. Wintrebert*).

Genre **Rubellia** Stål

Rubellia Stål, 1875 : 24; DIRSH, 1963 *b* : 62.

Taille moyenne; corps fusiforme. Tégument rugueux et tuberculé. Antennes filiformes, plus courtes que la tête et le pronotum réunis. Tête étroite, conique; vertex finement carinulé; fastigium du vertex plus de 2 fois plus long que large, se rétrécissant vers l'avant, l'apex arrondi; aréoles fastigiales à peine indiquées; front fortement incurvé; côte frontale basse, étroite, faiblement sillonnée; comprimée à la partie supérieure. Yeux moyens, fortement convexes, presque hémisphériques. Ocelles grands. Pronotum s'élargissant vers l'arrière, tuberculé; disque un peu aplati, traversé par 4 sillons; carène médiane basse, obtuse; pas de carènes latérales; métazone un peu plus courte que la prozone, son bord postérieur largement arrondi. Processus prosternal court, tubériforme. Espace métasternal éloigné de l'espace mésosternal. Élytres et ailes très raccourcis, latéraux, ou entièrement développés. Organe tympanal bien développé. Fémurs postérieurs étroits, dépassant l'extrémité de l'abdomen. Une épine apicale externe aux tibias postérieurs. Arolium grand. Premier tergite abdominal de la ♀ un peu renflé à la partie postérieure; une saillie tuberculiforme sur le bord postérieur. Chez le ♂ une invagination transverse sur le bord antérieur du 2e tergite abdominal. Bord postérieur du dernier tergite abdominal du ♂ profondément échancré. Plaque sus-anale petite, un peu plus longue que les cerques. Cerques petits, droits, comprimés, anguleux; plaque sous-génitale courte à apex atténué et relevé. Oviscapte court, robuste, à valves courbées.

Complexe phallique : cingulum large, piriforme, à valves courtes. Valves du pénis courbées; valves basales moyennement élargies; valves apicales droites. Sac spermatophore grand. Épiphalle à pont court et projections antérieures arrondies; lophi courts, à grands crochets; appendices dorso-latéraux courts, fortement élargis vers l'apex. Extrémité de la spermathèque simple, en S.

Espèce type : *Rubellia nigrosignata* Stål, 1875.

1. **Rubellia nigrosignata** Stål (loc. typ. : Madagascar; lectotype ♂, Muséum Paris).

Rubellia nigrosignata Stål, 1875 : 25; DIRSH, 1963 *b* : 62; DESCAMPS et WINTREBERT, 1966 *b* : 86.

Fig. 7. — Long. ♂ 17,7 à 25 mm, ♀ 27 à 28,5 mm; pronotum ♂ 4,2 à 6,3 mm, ♀ 7 à 7,3 mm; élytre (microptère) ♂ 3,5 à 5,2 mm, ♀ 7 à 8 mm; fémur postérieur ♂ 9,3 à 13 mm, ♀ 12,7 à 13 mm.

♂. Antennes de 17 à 18 articles. Tégument luisant. Fastigium du vertex largement arrondi à l'apex, à côtés ondulés; carinules latérales de la côte frontale basses. Espace mésosternal plus long que large, à profondes fossettes apicales et côtés légèrement incurvés; espace métasternal petit, ovale. Élytres lobiformes, latéraux, dépassant

un peu le 1er tergite abdominal et couvrant le tympan; apex étroit et légèrement relevé; nervation fortement réduite; réticulation dense; ailes plus courtes que les élytres. Lobes inférieurs des genoux postérieurs à apex anguleux. Plaque sus-anale courte, triangulaire, arrondie à l'apex.

Coloration générale jaune ou jaune olive à points noirs épars; antennes jaunes à anneaux noirs; une bande noire partant du bord postérieur des yeux, traversant

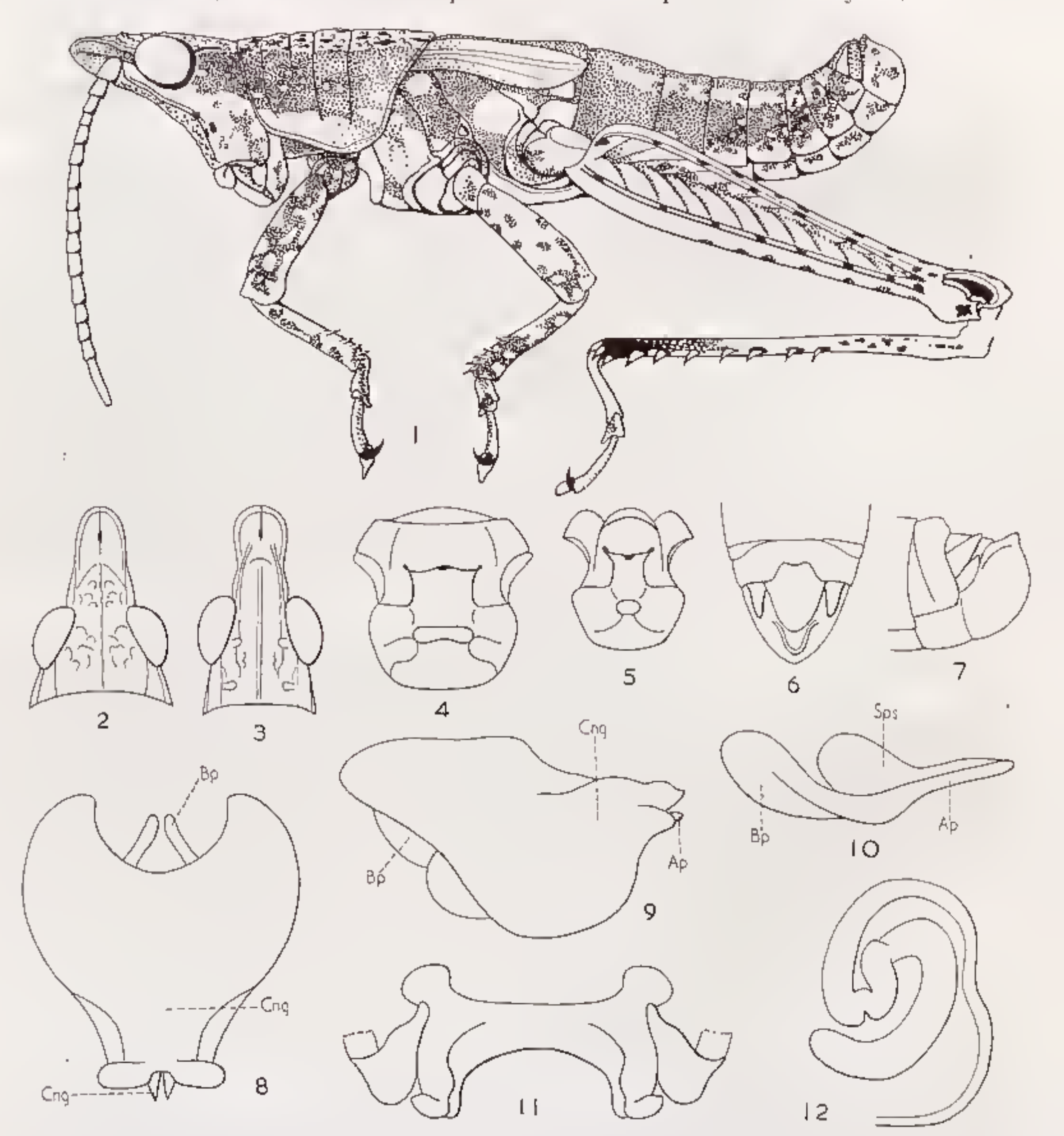


Fig. 7. — *Rubellia nigrosignata* Stal, 1875. — 1, ♂. — 2, Tête ♀ dorsalement. — 3, *id.*, ♂. — 4, Méso- et métasternum ♀. — 5, *id.*, ♂. — 6, Apex de l'abdomen ♂ dorsalement. — 7, *id.*, latéralement. — 8, Complexe phallique dorsalement, épiphalle et membrane ectophallique enlevés. — 9, *id.*, latéralement. — 10, Pénis et sac spermatophore. — 11, Épiphalle. — 12, Spermathèque.

le milieu des lobes latéraux du pronotum, atteignant la base des fémurs postérieurs, interrompue par des taches rondes de coloration jaune, plus grandes au bord postérieur des lobes latéraux du pronotum et à la base des fémurs postérieurs; disque du pronotum à petits points noirs épars; élytres rosâtres ou verdâtres, ailes rouge vif, toutes les pattes jaunes à nombreux points noirs.

♀. Plus grande que le ♂. Antennes de 15 à 16 articles. Apex du fastigium du vertex arrondi, ses côtés légèrement convergents vers l'avant. Espace mésosternal plus large que long, à fossettes profondes; espace métasternal large, transverse. Élytres atteignant le milieu du 3e tergite abdominal. Bord externe des valves supérieures de l'oviscapte faiblement et irrégulièrement serrulé; valves inférieures à saillie latérale anguleuse. Bord postérieur de la plaque sous-génitale à saillie médiane en angle aigu. Pour le reste, comme chez le ♂.

FORME *macroptera* : Diffère par les élytres et les ailes pleinement développés, dépassant l'extrémité de l'abdomen. Cette forme que n'isole aucun autre caractère morphologique, s'observe parfois chez les 2 sexes, dans les séries de la forme type.

MADAGASCAR EST : Massif du Marojejy, Réserve naturelle intégrale XII, Andrakata, II-1959 (*P. Soga*). — Moramanga, Perinet, IV-1948 (*R. Paulian*). — Ile Ste-Marie, Ambatoroa, V-1959 (*E. Razafimandimby*). — Ifanadiana, Ranomafana, III-1955 (*P. Vielle*). — Fort-Dauphin (*R. Paulian*); Sakavondro, VI-1957 (*A. Robinson*). — Massif de l'Andohahelo, Réserve naturelle intégrale XI, Beroanga, I-1954 (*R. Paulian*). — Tamatave, I-1964 (*M. Bonnet*). — Sud de Vangaindrano, VI-1964 (*D. Wintrebert*).

MADAGASCAR CENTRE : Arivonimamo, X-1948 (*E. Razafimandimby*). — Tananarive, route de Tamatave, km 26, X-1948 (*P. Cachan*). — Manjakandriana, La Mandraka, III-1954 (*R. Paulian*). — Sud d'Ambositra ,VI-1962 (*D. Wintrebert*). — Col des Tapias septentrional, III-1964 (*E. Raharizonina*). — Ankazomivady, III-1964 (*P. Malzy, E. Raharizonina*).

MADAGASCAR OUEST : Maevatanana, poste d'Ampijoroa, Nord de Maintirano, X-1961 (*D. Wintrebert*).

MADAGASCAR SUD : Amboasary, Tranomaro, II-1954 (*R. Paulian*). — Ambovombe, IV-1954 (*R. Paulian*). — Ampanihy, V-1951 (*R. Paulian*). — Régions de Betioky Sud, Manombo, Salary, lac Ihotry, Beheloka, 1962-1964 (*D. Wintrebert*). — Région de Beloha, III-1964 (*P. Dechappe*).

Espèce à grande variabilité de taille (on trouve parfois des ♂ plus grands que les ♀) et de coloration (certains exemplaires peuvent être vert olive à dessin noir peu marqué).

Genre **Pseudorubellia** Dirsh

Pseudorubellia Dirsh, 1963 *b* : 64.

Taille moyenne, corps un peu fusiforme. Tégument finement rugueux. Antennes filiformes, plus longues que la tête et le pronotum réunis. Tête conique; vertex carinulé; fastigium du vertex un peu plus long que large, rétréci vers l'apex; aréoles fastigiales à peine distinctes; front moyennement incurvé; côte frontale basse, étroite, superficiellement sillonnée. Yeux assez petits, fortement convexes, presque hémisphériques. Ocelles moyens. Pronotum s'élargissant en arrière, le disque convexe, traversé par

3 sillons; carène médiane basse sur toute la longueur, ou relevée sur la métazone; carènes latérales faibles ou nulles; métazone plus courte que la prozone, un peu relevée et renflée à l'arrière; bord postérieur arrondi ou en angle obtus. Processus prosternal bas, pyramidal. Espace métasternal éloigné de l'espace mésosternal. Élytres et ailes lobiformes ou raccourcis. Organe tympanal bien développé. Fémurs postérieurs moyennement étroits. Une épine apicale externe aux tibias postérieurs. Arolium grand. Oviscapte court, grêle, à valves faiblement courbées à l'apex.

Espèce type : *Rubellia brancsiki* I. Bolivar, 1904.

Clé des espèces

1 (2) ♂. Métazone du pronotum un peu relevée; carène médiane basse sur toute sa longueur; angle postérieur des lobes latéraux arrondi; élytres lobiformes, latéraux (fig. 8) . . . . 1. **P. brancsiki**

2 (1) Métazone du pronotum renflée, la carène médiane relevée ou non; angle postérieur des lobes latéraux anguleux, atténué et un peu excurvé; élytres abrégés, se croisant sur le dos, (fig. 9) . . . . 2. **P. thoracica**

- a (b) Face interne et face inférieure des fémurs postérieurs vert jaune: fémurs antérieurs et médians monochromes. . . . . ***P. t. thoracica***
- b (a) Face interne et face inférieure des fémurs postérieurs rouges; fémurs antérieurs et médians noirs à l'extrémité . . ***P. t. geniculata***

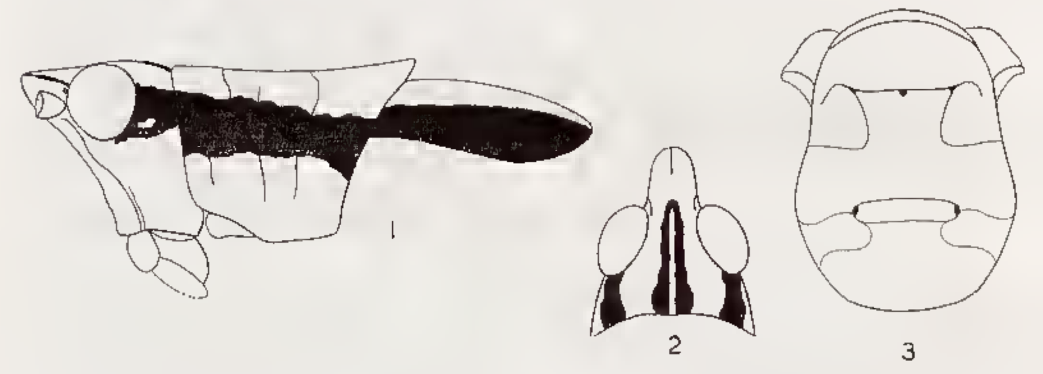


Fig. 8. — *Pseudorubellia brancsiki* (I. Bolivar, 1904), type. — 1, Tête, pronotum et élytres, latéralement. — 2, Tête dorsalement. — 3, Méso- et métasternum.

1. Pseudorubellia brancsiki (I. Bolivar) (loc. typ. : Diégo-Suarez; type ♂, Musée de Madrid).

Rubellia brancsiki I. Bolivar, 1904 : 437.
Pseudorubellia brancsiki (I. Bolivar, 1904); Dirsh, 1963 *b* : 66.

Fig. 8. — Long. 27 mm; pronotum 6,5 mm; élytre 6 mm; fémur postérieur 14 mm.

♂. Taille moyenne. Tégument luisant. Antennes de 18 articles. Fastigium du vertex à apex parabolique; sillon fastigial court; carinules latérales de la côte frontale basses. Carène médiane du pronotum basse sur toute sa longueur; métazone un peu relevée; angles des lobes latéraux arrondis. Espace mésosternal plus large que long,

un peu élargi en avant; espace métasternal court, fortement élargi, transverse. Élytres latéraux, lobiformes, recouvrant le tympan, dépassant un peu le 1er tergite abdominal et rétrécis vers l'extrémité; apex subaign. Ailes vestigiales. Lobes inférieurs des genoux postérieurs anguleux.

Coloration générale vert olive; antennes brunâtres. Tête jaune orangé, avec une bande supérieure longitudinale noirâtre; une bande postoculaire noire, marquée d'une petite tache jaune; labre noir, ponctué de petites taches jaunes. Pronotum vert olive; partie supérieure des lobes latéraux à bande longitudinale noirâtre; thorax á taches jaunes et noires; moitié antérieure des élytres noirâtre, moitié postérieure verdâtre. Abdomen avec une étroite bande dorso-médiane plus claire que l'ensemble; pattes vert olive; genoux postérieurs noirâtres; tibias postérieurs noirâtres ainsi que les épines.

♀ inconnue.

MADAGASCAR NORD : Diégo-Suarez. — Montagne d'Ambre (ex coll. R. du Buysson).

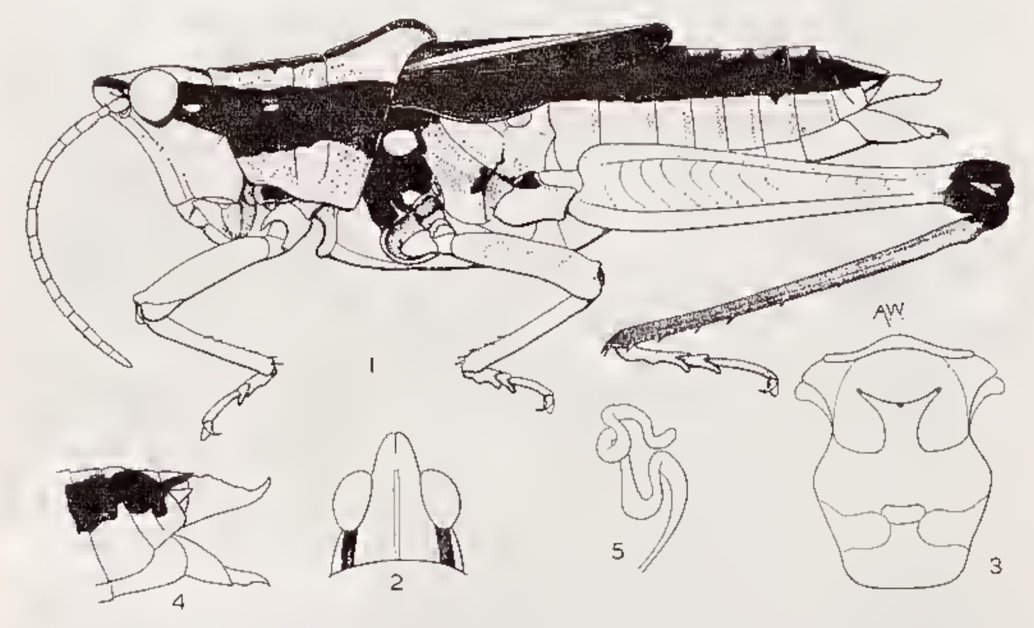


FIG. 9. — *Pseudorubellia thoracica* Dirsh, 1963. — 1, ♀, type. — 2, Tête dorsalement. — 3, Méso- et métasternum. — 4, Apex de l'abdomen. — 5, Spermathèque.

2. Pseudorubellia thoracica Dirsh (loc. typ. : Ampijoroa; type ♀, Muséum Paris).

Pseudorubellia thoracica Dirsh, 1963 *b* : 66.

P. t. thoracica

Fig. 9. — Long. ♂ 16,9 à 21,3 mm, ♀ 25,6 à 28 mm; pronotum ♂ 4,5 à 5,4 mm, ♀ 6,2 à 6,8 mm; élytre ♂ 9,9 à 10,5 mm, ♀ 8,5 à 9,3 mm; fémur postérieur ♂ 10,5 à 12,5 mm, ♀ 14 à 15 mm.

♂. Taille moyenne. Tégument luisant. Antennes de 18 articles. Apex du fastigium du vertex anguleux; sillon fastigial court. Carinules de la côte frontale basses, obtuses. Carène médiane du pronotum parfois plus élevée dans la métazone que dans la prozone et formant une convexité bien nette de profil, parfois basse sur toute la longueur. Angle postérieur des lobes latéraux du pronotum faiblement atténué et excurvé; bord postérieur du disque saillant en angle obtus. Espace mésosternal plus long que large, rétréci vers l'arrière; espace métasternal court, plus ou moins ovale. Élytres raccourcis ne dépassant pas le milieu des fémurs postérieurs; nervation et réticulation grossières. Ailes au repos atteignant l'extrémité des élytres. Plaque sus-anale triangulaire; cerques courts, triangulaires de profil, l'extrémité arrondie. Dernier tergite découpé en triangle au milieu. Plaque sous-génitale courte, l'extrémité très largement arrondie de profil.

Coloration générale jaune verdâtre (brunissant au séchage); antennes brunâtres; tête verte. Une bande latérale noire partant de l'extrémité du fastigium, traversant la joue en arrière des yeux et recouvrant la moitié des lobes latéraux du pronotum; moitié inférieure de ces lobes jaune. Une bande dorso-médiane noire allant de l'extrémité du fastigium au bord postérieur du pronotum; 2 bandes dorso-latérales vert jaune longeant la précédente. Pleures de coloration verte, noire et jaune. Élytres noir bleuâtre à ligne ocre dans le pli vanal; ailes bleuâtres. Pattes antérieures entièrement vert jaune. Fémurs postérieurs vert jaune, les genoux noirs; tibias postérieurs bleu violacé.

♀. Nettement plus grande que le ♂, les élytres proportionnellement plus courts, atteignant le 4e tergite abdominal. Métazone du pronotum renflée à la partie postérieure, la carène médiane formant, à l'arrière, une saillie toujours très nette; bord postérieur du disque fortement convexe. Cerques comprimés, l'extrémité aiguë. Bord postérieur de la plaque sous-génitale à saillie médiane triangulaire. Bord externe des valves supérieures de l'oviscapte serrulé. Spermathèque à extrémité simple, contournée. Un triangle occipital noir; disque du pronotum vert, traversé par une ligne longitudinale noire, parfois fragmentée.

MADAGASCAR OUEST : Maevatanana, forêt de l'Ankarafantsika, poste d'Ampijoroa, I-1957 (*E. Razafimandimby*). — Forêt de l'Ankarafantsika, I-1967 (*D. Wintrebert*).

P. t. geniculata n. subsp. (loc. typ. : Sakaraha; holotype ♂, allotype ♀, Muséum Paris).

Long. ♂ 22,4 mm, ♀ 29,5 mm; pronotum ♂ 5,8 mm, ♀ 8,2 mm; élytre ♂ 14,9 mm, ♀ 12,3 mm; fémur postérieur ♂ 12,5 mm, ♀ 14,3 mm.

Diffère de la sous-espèce type par les fémurs postérieurs de coloration rouge à la face interne et à la face inférieure, la face externe étant ocre rouge; par les genoux antérieurs et médians noirs. Les élytres sont plus longs que chez *P. t. thoracica* atteignant l'extrémité de l'abdomen chez le ♂ et le milieu des fémurs postérieurs chez la ♀; la stabilité de ce caractère, souvent variable chez les *Pyrgomorphidae*, reste à démontrer.

MADAGASCAR OUEST : Sakaraha, III-1961 (*A. Robinson*). — Morondava, forêt au Sud de Befasy, I-1956 (*R. Paulian*).

Genre **Caprorhinus** Saussure

Caprorhinus Saussure, 1899 : 641; Dirsh, 1963 *b* : 67.

Taille moyenne, corps fusiforme. Tégument finement rugueux. Antennes épaisses et filiformes, ou un peu élargies vers la base, plus courtes ou plus longues que la tête et le pronotum réunis. Tête conique; fastigium du vertex allongé, à apex parabolique ou anguleux; aréoles fastigiales peu développées; carinule du vertex faible; front fortement incurvé de profil; côte frontale étroite, basse, faiblement sillonnée et bordée de carinules basses, lamelliforme et profondément sillonnée à la partie supérieure. Yeux petits, ovales, fortement convexes. Pronotum subcylindrique, un peu étranglé au milieu et s'élargissant légèrement vers l'arrière; carène médiane faible; pas de carènes latérales; disque traversé par 1 ou 2 sillons; métazone bien plus courte que la prozone, son bord postérieur plus ou moins incurvé; bord inférieur des lobes latéraux oblique. Processus prosternal court, pyramidal. Espace mésosternal étroit, 2 fois plus long que large chez le ♂. Élytres vestigiaux, squamiformes. Organe tympanal petit, ouvert ou vestigial chez le ♂, vestigial chez la ♀. Abdomen du ♂ avec une étroite fente entre le 1er et le 2e tergite. Métanotum et 1er tergite abdominal ♀ renflés, avec une grande saillie médiane mloutiforme, peu sclérifiée, dirigée vers le haut et en partie vers l'arrière. Fémurs postérieurs moyennement étroits; lobes inférieurs des genoux postérieurs un peu atténués, anguleux. Une épine apicale externe aux tibias postérieurs. Arolium grand. Plaque sus-anale petite et étroite chez le ♂, grande et anguleuse chez la ♀. Cerques ♂ moyennement longs, comprimés, courbés vers le dedans et le bas dans la moitié apicale; cerques ♀ courts, comprimés, anguleux. Plaque sous-génitale ♂ courte, à apex arrondi ou droit de profil; partie supérieure un peu saillante, avec 2 tubercules latéraux, parfois trilobée; plaque sous-génitale ♀ légèrement trilobée, à lobe médian aigu. Oviscapte court, robuste, à valves courbées à l'apex.

Complexe phallique : cingulum fortement sclérifié, piriforme; valves du cingulum moyennes; valves basales du pénis dilatées, courbées vers le haut et l'extérieur; valves apicales étroites, simples, à apex subaigu; sac spermatophore grand. Épiphalle de forme variable. Spermathèque à diverticule unique, vermiculaire.

Espèce type : *Caprorhinus fusiformis* Saussure, 1899.

Huit espèces sont connues, 7 de Madagascar et 1 des Comores. Les ♂ sont connus pour toutes les espèces mais seulement 4 couples spécifiques sont constitués. Tous ces insectes ont un même aspect général, mais diffèrent par la forme du fastigium du vertex, par les genitalia externes et parfois par le complexe phallique. La plupart des ♀ connues sont si semblables d'aspect qu'elles peuvent aisément être confondues.

La structure particulière du 1er tergite abdominal de la ♀ isole le genre *Caprorhinus* au sein de la famille. Il existe cependant certaines ressemblances dans l'aspect général (sauf la saillie du 1er tergite abdominal ♀) et la structure du complexe phallique entre *Caprorhinus* et le genre indien *Colemania* I. Bolivar, 1910 ce qui peut faire penser à quelque lointaine parenté ou, tout au moins, à des affinités plus étroites qu'entre *Caprorhinus* et les autres genres.

CLÉ DES ESPÈCES (♂)

1 (2) Côtés de la face dorsale du fastigium fortement excurvés à la partie basale (fig. 10,11). . . . . 1. **C. zolotarevskyi**

2 (1) Côtés de la face dorsale du fastigium modérément ou légèrement excurvés à la partie basale. 3

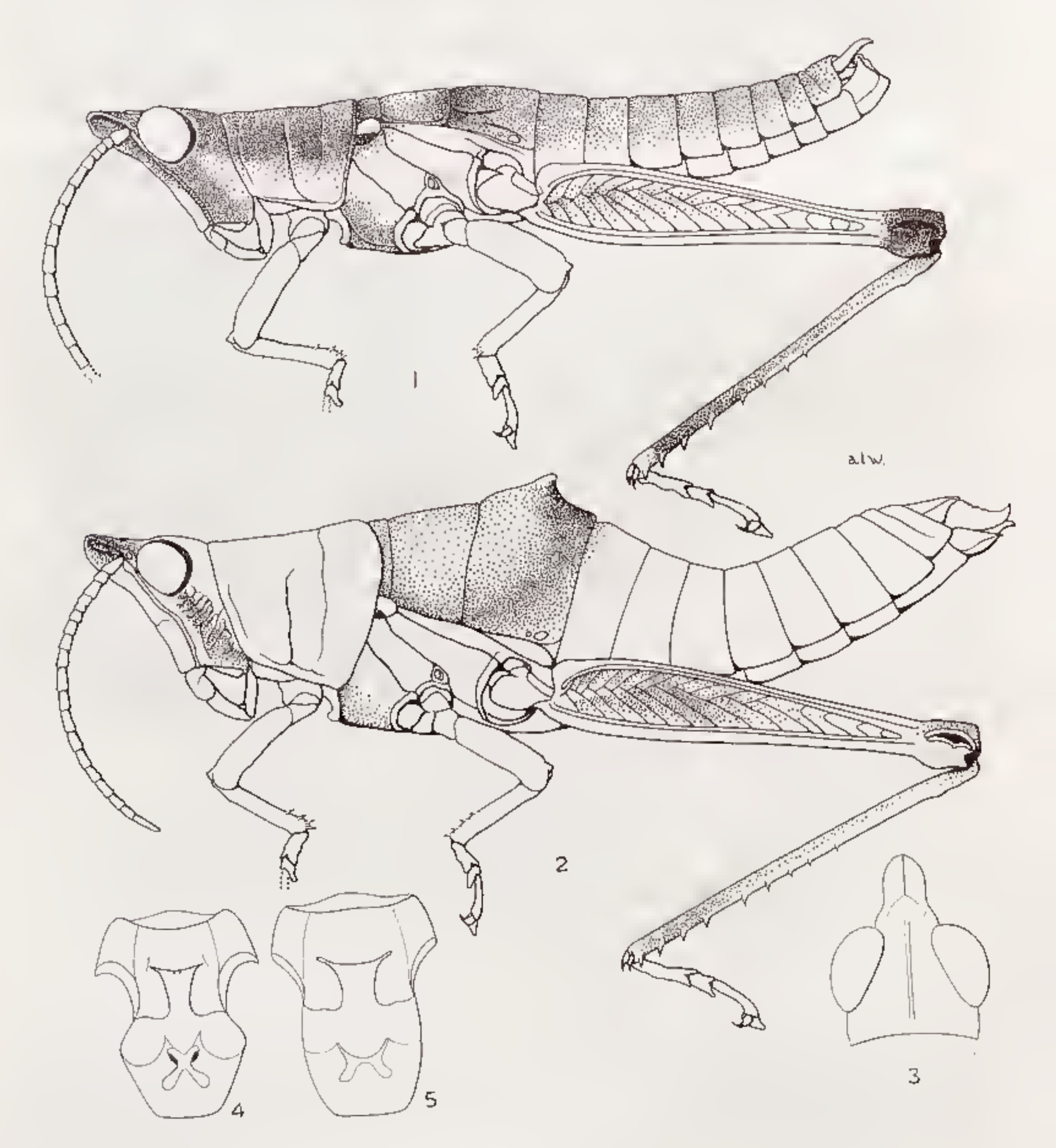


FIG. 10. — *Caprorhinus zolotarevskyi* Uvarov, 1929. — 1, ♂. — 2, ♀. — 3, Tête ♂ dorsalement. — 4, Méso- et métasternum ♂. — 5, *id.*, ♀.

3 (4) Allure élancée; face très fortement déclive; disque du pronotum dépourvu de sillons transverses (fig. 12) . . . . 2. **C. kevani**
4 (3) Habitus plus trapu; face moins fortement déclive; disque du pronotum traversé par 2 sillons transverses. 5
5 (6) Cerques longs, dépassant l'extrémité de l'abdomen; bord postérieur de la plaque sous-génitale, considéré dorsalement, formant 3 lobes de longueur subégale (fig. 13). . . . . 3. **C. dechappei**
6 (5) Cerques ne dépassant pas l'extrémité de l'abdomen; bord postérieur de la plaque sous-génitale, considéré dorsalement, non trilobé ou pourvu de 2 saillies latérales plus courtes que la saillie médiane. 7
7 (8) Fastigium long et étroit, les bords parallèles sur les 2/3 apicaux; bord postérieur du pronotum à profonde échancrure arrondie (fig. 14). (♀ *inconnue*). . . . . 4. **C. rostratus**
8 (7) Fastigium plus court et moins étroit; bord postérieur du pronotum largement et peu profondément échancré. 9
9 (10) Plaque sous-génitale considérée latéralement, faisant saillie vers l'arrière en angle aigu (fig. 15). (♀ *inconnue*) . . . . 5. **C. fusiformis**
10 (9) Plaque sous-génitale coudée à angle droit largement arrondi (vision latérale) 11
11 (12) Plaque sus-anale longue, étroite, en forme de langue, cerques atteignant presque l'extrémité de la plaque sous-génitale (fig. 16) . 6. **C. squamipennis**
12 (11) Plaque sus-anale moins longue, cerques n'atteignant pas l'extrémité de la plaque sous-génitale. 13
13 (14) Épiphalle en forme de disque, les lophi fusionnés avec le pont (fig. 17). (♀ *inconnue*) . . . . 7. **C. minor**
14 (13) Épiphalle à lophi très nettement différenciés comme chez *C. kevani* et *C. dechappei* (fig. 12, 13). (♀ *inconnue*). . . . . 8. **C. ranohirae**

1. Caprorhinus zolotarevskyi Uvarov (loc. typ. : entre Bezaha et Tongobory; type ♂, British Museum, N.H.).

Caprorhinus zolotarevskyi Uvarov, 1929 : 285; Dirsh, 1963 *b* : 69; Kevan, 1963 : 150.

Fig. 10, 11. — Long. ♂ 29 mm, ♀ 33 mm; pronotum ♂ 4,5 mm, ♀ 5 mm; fémur postérieur ♂ 14,5 mm, ♀ 14 mm.

♂. Assez grand. Tégument moyennement rugueux. Fastigium du vertex 2 fois plus long que large au milieu, les côtés fortement excurvés à la base, parallèles vers l'extrémité; apex parabolique; partie supérieure de la côte frontale étroite, formant un angle avec le fastigium du vertex. Carène médiane du pronotum faible; métazone subégale au 1/3 de la prozone, son bord postérieur échancré au milieu. Saillie prosternale à apex subaigu. Partie découverte des élytres à peu près aussi large que longue. Organe tympanal petit, ouvert. Dernier tergite abdominal grand, le bord postérieur un peu saillant, incurvé au milieu. Plaque sus-anale petite, anguleuse, plus courte que les cerques; cerques comprimés, élargis vers la base, rétrécis vers l'extrémité, l'apex aigu, courbé vers l'intérieur et le bas; plaque sous-génitale à repli cariniforme latéral se terminant vers le haut par un petit tubercule.

Complexe phallique : valves du cingulum moyennes; valves du pénis presque droites; valves basales élargies et légèrement excurvées; valves apicales un peu courbées vers le haut, grêles. Épiphalle à pont large et projections antérieures moyennes; lophi courts et robustes à crochets forts; appendices dorso-latéraux aussi longs que l'épiphalle, à apex claviforme.

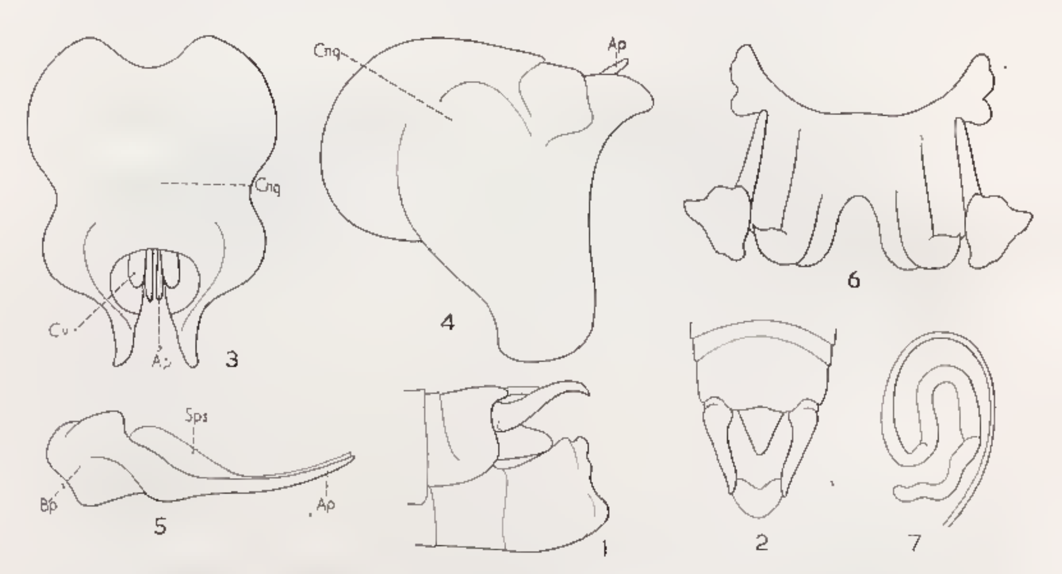


Fig. 11. — *Caprorhinus zolotarevskyi* Uvarov, 1929. — 1, Extrémité abdominale ♂ latéralement. — 2, *id.*, dorsalement. — 3, Ectophalle dorsalement. — 4, *id.*, latéralement. — 5, Pénis et sac spermatophore. — 6, Épiphalle. — 7, Spermathèque.

Coloration générale brune; face ocre, tête à bande postoculaire; tête et pronotum à bande dorso-médiane ocre; partie inférieure des lobes latéraux ocre; élytres rouge vif et noir; genoux postérieurs bruns; tibias postérieurs bruns à teinte pourpre, les épines ocre à apex brun.

♀. Plus grande et plus robuste que le ♂. Métanotum et 1er tergite abdominal renflés; saillie du 1er tergite abdominal grande, comprimée, à apex anguleux. Organe tympanal vestigial. Valves de l'oviscapte courtes, robustes; bord externe des valves supérieures grossièrement crénelé. Spermathèque vermiculaire à un seul diverticule. Coloration générale brun olive. Pour le reste, semblable au ♂.

Madagascar Sud : Betioky, entre Bezaha et Tongobory (*Zolotarevsky*).

2. Caprorhinus kevani Descamps et Wintrebert (loc. typ. : Ranohira; holotype ♂, allotype ♀, Muséum Paris).

Caprorhinus kevani Descamps et Wintrebert, 1966 *b* : 91.

Fig. 12. — Pronotum ♂ 2,5 mm, ♀ 4,5 mm; fémur postérieur ♂ 7,7 mm, ♀ 12,7 mm.

♂. Taille petite; forme générale très élancée; tégument ponctué. Face très fortement déclive (plus que chez aucune autre espèce connue). Fastigium horizontal, un

peu en contrebas du plan formé par le disque du pronotum et le vertex, un peu plus de 2 fois plus long que large, de largeur presque constante; un très léger élargissement basal; ocelles latéraux absolument invisibles du dessus. Espace interoculaire un peu plus étroit que la plus petite largeur du fastigium, parcouru par une forte carinule se

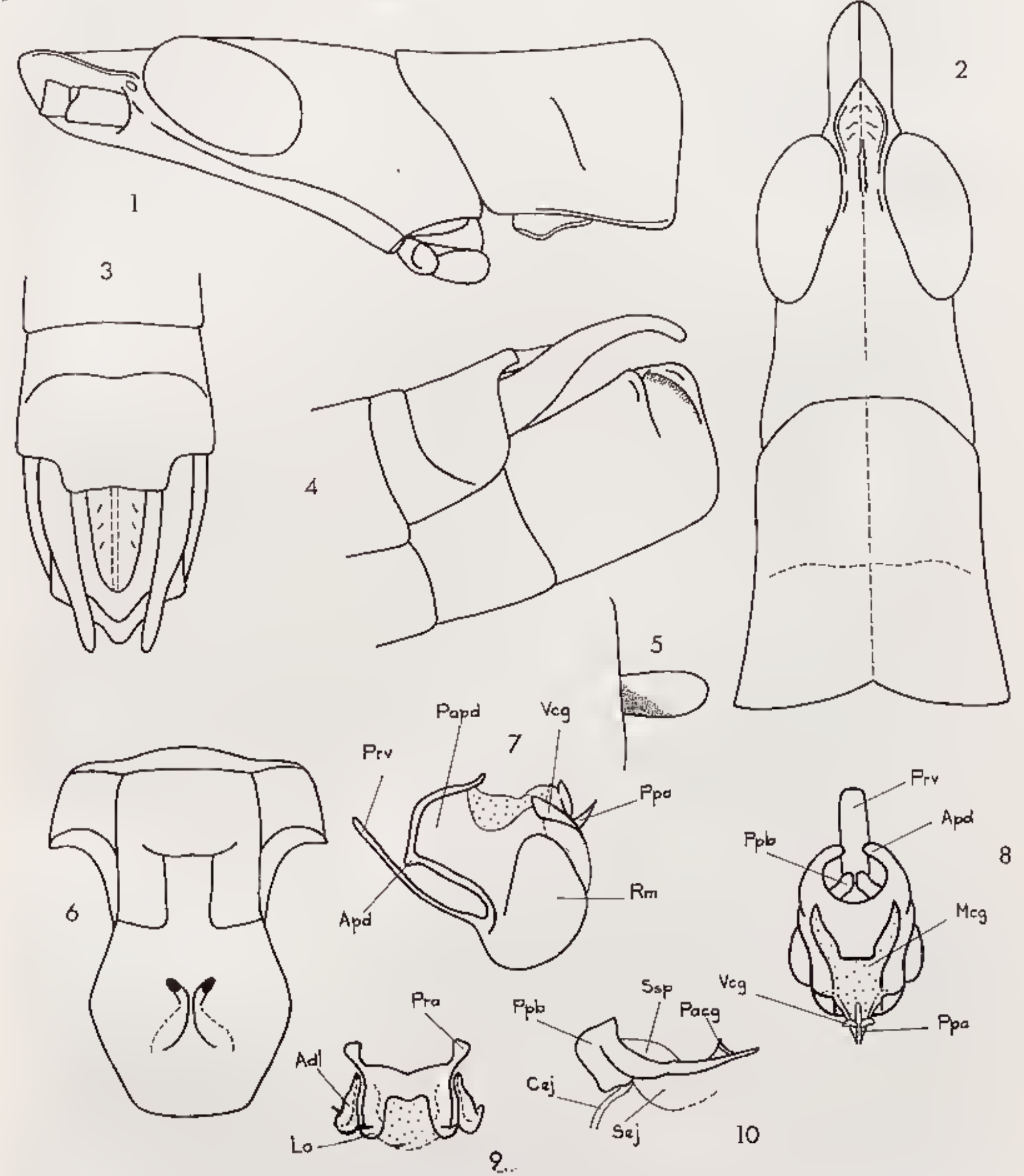


Fig. 12. — *Caprorhinus kevani* Descamps et Wintrebert, 1966. — 1, Tête et pronotum ♂ latéralement. — 2, *id.*, dorsalement. — 3, Extrémité abdominale ♂ dorsalement. — 4, *id.*, latéralement. — 5, Élytre ♂. — 6, Méso- et métasternum ♂. — 7, Ectophalle latéralement. — 8, *id.*, dorsalement. — 9, Épiphalle. — 10, Endophalle latéralement.

prolongeant en arrière en s'amincissant considérablement. Yeux moyennement saillants, allongés, environ 1,7 fois plus longs que larges. Distance infra-oculaire un peu plus petite que le plus grand diamètre de l'œil. Carènes latérales de la face fines et fortement saillantes. Carène médiane du pronotum faiblement indiquée sur toute la longueur; aucun sillon transversal bien net sur le disque, seul le 2e très faiblement indiqué et devenant bien net sur les bords latéraux; bord postérieur du disque formant un angle rentrant fortement obtus; angle postérieur des lobes latéraux égalant un peu moins de 90°, arrondi. Saillie prosternale transverse. Espace mésosternal allongé, un peu rétréci vers l'arrière, la longueur égalant environ 1,5 fois la plus petite largeur. Angle postéro-interne des lobes mésosternaux arrondi, non saillant vers l'arrière. Tympan auditif vestigial. Projection du dernier tergite abdominal courte, le bord postérieur formant un angle rentrant obtus, les angles postéro-externes droits et arrondis. Plaque sus-anale très allongée, étroite, subtriangulaire, sillonnée longitudinalement, arrondie à l'extrémité. Cerques ne dépassant pas l'extrémité de la plaque sous-génitale, la moitié postérieure bien recourbée ventralement, l'extrémité arrondie. Plaque sous-génitale coudée à angle droit, la coudure très largement arrondie, non saillante vers l'arrière, le bord postérieur droit en vision latérale; bord postérieur considéré dorsalement nettement trilobé, les lobes latéraux beaucoup moins saillants vers l'arrière que le lobe médian.

Teinte générale marron foncé. Face brun jaunâtre; une traînée ocre jaune terne partant du bord inférieur de l'œil et atteignant les hanches postérieures; face dorsale monochrome. Pattes des 2 premières paires brunâtres, l'extrémité des fémurs et les articulations tibio-fémorales noires. Fémurs postérieurs brun jaunâtre, les lobes géniculaires noirs sauf le lobe inféro-externe varié de clair. Tibias postérieurs bleu foncé, la face supérieure rougeâtre à la base, grisâtre vers l'extrémité. Cerques noirs.

Complexe phallique : projections antérieures de l'épiphalle longues et étroites, séparées des aires latérales par un étranglement bien net; lophi en forme de crochet aigu, orientés vers l'extérieur; appendices dorso-latéraux en massue pourvue d'un crochet terminal étroit; ectophalle à processus ventral allongé, les rami fortement saillants ventralement, semi-circulaires; plaque apodémale un peu plus courte que haute; valves du cingulum en partie visibles latéralement. Partie basale du pénis subrectangulaire; partie apicale rectiligne, l'extrémité aiguë.

♀. Allure générale comme chez le ♂ et de ce fait, différant très nettement de toutes les autres espèces connues. Face un peu moins déclive que chez le ♂. Fastigium légèrement proclive, 1,5 fois plus long que large au milieu. Antennes de 21 articles. Pas de sillon transverse sur le disque du pronotum mais seulement 2 petites fossettes situées à mi-longueur de part et d'autre de la carène médiane. Espace mésosternal fortement rétréci vers l'arrière, la longueur égalant environ 2,5 fois la plus petite largeur. Élytres un peu plus larges que chez le ♂. Métanotum et 1er tergite abdominal beaucoup moins renflés que chez les autres espèces. Bord externe des valves supérieures de l'oviscapte, considéré de profil, très fortement déclive sur les 2/5 basaux, légèrement serrulé.

Coloration comme chez le ♂; une bande dorso-médiane un peu plus claire que la teinte générale.

Madagascar Centre : Ranohira, massif de l'Isalo, II-1963 (*P. Malzy et E. Raharizonina*).

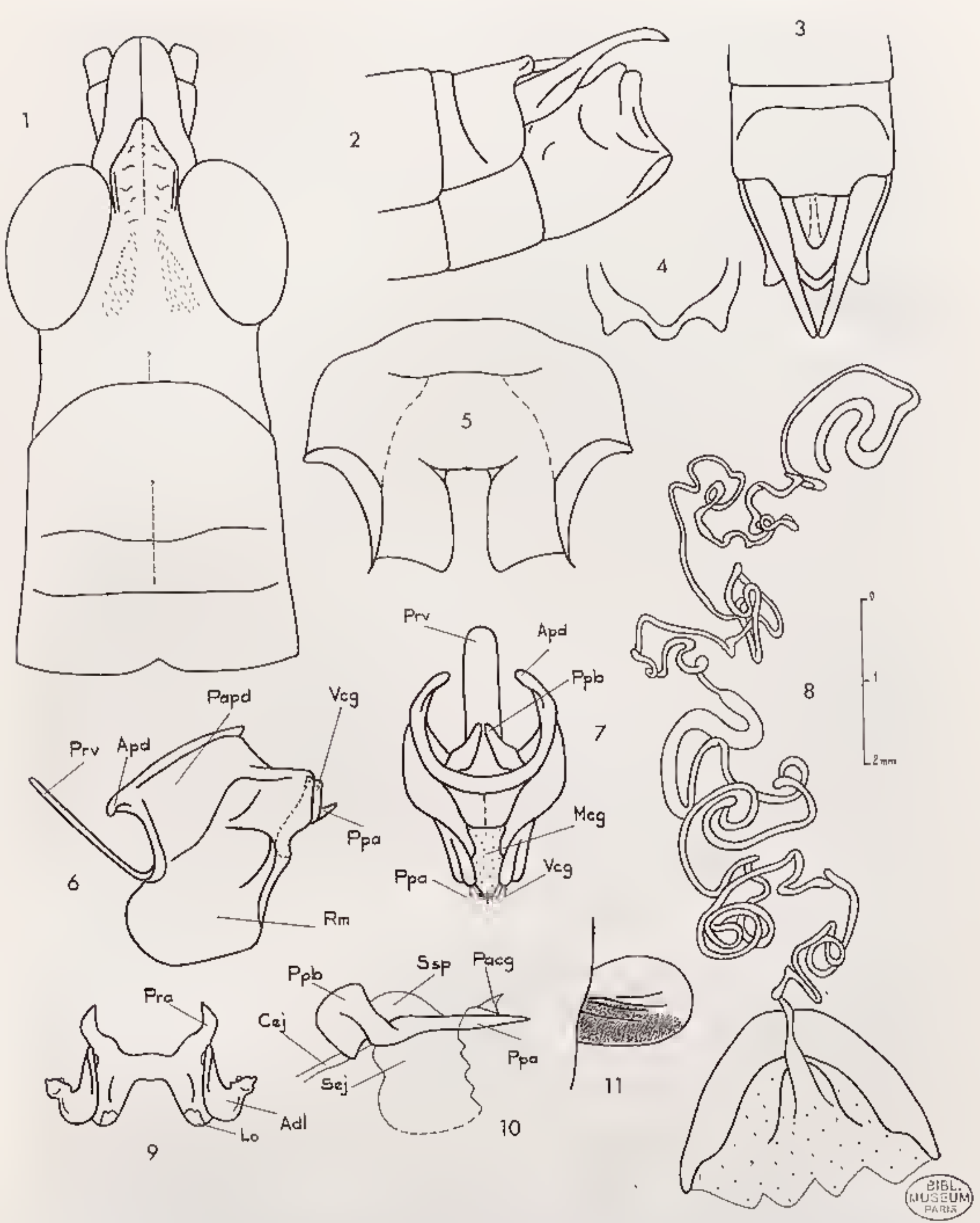


FIG. 13. — *Caprorhinus dechappei* Descamps et Winterbert, 1966. — 1, Tête et pronotum ♂ dorsalement. — 2, Extrémité abdominale ♂ latéralement. — 3, *id.*, dorsalement. — 4, Bord postérieur de la plaque sous-génitale ♂ dorsalement. — 5, Mésosternum ♂. — 6, Ectophalle latéralement. — 7, *id.*, dorsalement. — 8, Spermathèque. — 9, Épiphalle. — 10, Endophalle latéralement. — 11, Élytre ♂.

3. Caprorhinus dechappei Descamps et Wintrebert (loc. typ. : Mahatsola; holotype ♂, allotype ♀, Muséum Paris).

Caprorhinus dechappei Descamps et Wintrebert, 1966 *b* : 88.

Fig. 13. — Pronotum ♂ 2,5 à 3,2 mm, ♀ 5 à 5,4 mm; fémur postérieur ♂ 9 à 10,2 mm, ♀ 13,4 à 14,9 mm.

♂. Taille plutôt petite pour le genre; forme générale élancée, thorax peu dilaté. Tégument rugueux, creusé de petites cupules. Face très fortement déclive de profil (plus déclive que chez toutes les autres espèces connues, mais cependant moins que chez *C. kevani*). Fastigium très légèrement ascendant, environ 1,6 fois plus long que large au milieu, les côtés légèrement convexes à la base puis parallèles, l'extrémité arrondie. Ocelles latéraux absolument invisibles du dessus. Yeux fortement saillants latéralement, larges; distance infra-oculaire égale à 1,2 fois le plus petit diamètre de l'œil. Antennes longues, composées de 19 articles. Carène médiane du pronotum faiblement indiquée vers le milieu seulement; disque traversé par 2 sillons fins et bien nets; métazone égalant 0,3 fois la prozone, plus longue que la distance comprise entre les 2 sillons. Bord postérieur incisé en angle obtus au milieu. Saillie prosternale conique, l'extrémité en pointe mousse. Espace mésosternal très étroit, la longueur égalant 1 fois 1/2 la plus grande largeur; angle postéro-interne des lobes mésosternaux nettement saillant vers l'arrière, arrondi. Fémurs antérieurs et médians relativement longs et minces. Fémurs postérieurs grêles, rapport de leur longueur sur leur largeur maximale = 5,6. Élytres larges, la partie découverte un peu plus longue que large. Tympan auditif semi-circulaire, bien délimité. Projection médiane du dernier tergite abdominal courte, le bord postérieur rectiligne. Plaque sus-anale triangulaire, l'extrémité arrondie. Cerques longs et relativement grêles, dépassant nettement l'extrémité de la plaque sous-génitale, à peu près 4 fois plus longs que larges à la base en vision latérale, inclinés vers la ligne médiane, la moitié postérieure fortement courbée vers le bas. Plaque sous-génitale coudée à angle droit, la coudure saillante vers l'arrière, le bord postérieur concave en vision latérale; bord postérieur considéré dorsalement, nettement trilobé; lobes latéraux presque aussi saillants vers l'arrière que l'unité médiane, un peu comprimés frontalement.

Teinte généralement brune avec plages et bandes vert jaunâtre. Face verdâtre; une bande de même couleur partant du bord inférieur de l'œil et recouvrant les 2/3 des lobes latéraux du pronotum ainsi que les pleures thoraciques; une bande dorso-médiane (plus ou moins nette) d'un vert moins vif, partant du vertex et atteignant le bord postérieur du métanotum. Pattes des 2 premières paires vertes. Fémurs postérieurs verts, 1 croissant génieulaire noir à la face externe, les lobes génieulaires internes noirs, les articulations tibio-fémorales marquées de brun latéralement. Tibias postérieurs bleus, la face supérieure teintée de rose. Abdomen marron teinté de jaunâtre latéralement et vers l'extrémité.

Complexe phallique : projections antérieures de l'épiphalle longues et étroites; appendices dorso-latéraux du type classique, en forme de massue très épaisse; ectophalle à processus ventral très allongé, les rami fortement saillants ventralement et à la partie antérieure; plaque apodémale à peu près 2 fois plus longue que haute; valves du cingu-

lum orientées dorso-ventralement, peu visibles latéralement et dorsalement; partie basale du pénis subcarrée; partie apicale rectiligne.

♀. Extrêmement proche d'allure de l'ensemble des autres ♀ connues sauf celle de *C. kevani*. Fusiforme, trapue, le métanotum et le 1er tergite abdominal fortement dilatés. Profil de la face peu déclive; fastigium ascendant, à peu près aussi long que large à la base. Espace mésosternal de même structure que chez les ♂ mais beaucoup moins étroit; longueur égalant moins de 2 fois la plus petite largeur. Rapport de la longueur des fémurs postérieurs à leur largeur maximale = 6,2. Valves de l'oviscapte aiguës et bien recourbées à l'extrémité; bord externe des unités supérieures serrulé.

Coloration verte. Une ligne brune partant de l'extrémité du fastigium, traversant les joues et atteignant les cavités coxales antérieures sans passer sur les lobes latéraux du pronotum; longeant la précédente à la partie supérieure, une ligne jaune atteignant le bord postérieur des lobes latéraux du pronotum. Fémurs et tibias postérieurs entièrement verts.

MADAGASCAR SUD : Mahatsola, I-1964 (*D. Wintrebert*).

4. Caprorhinus rostratus Uvarov (loc. typ. : Tongobory; type ♂, British Museum, N.H.).

Caprorhinus rostratus Uvarov, 1929 : 286; DIRSH, 1963 *b* : 70; KEVAN, 1963 : 150.

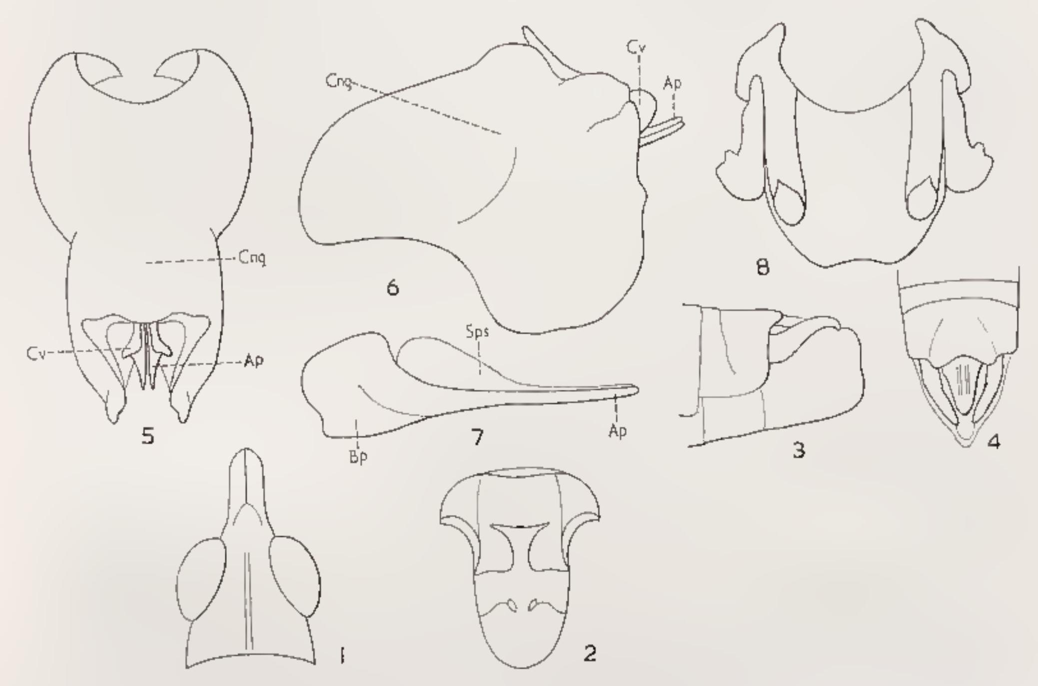


FIG. 14. — *Caprorhinus rostratus* Uvarov, 1929, ♂, type. — 1, Tête dorsalement. — 2, Méso- et métasternum. — 3, Extrémité abdominale latéralement. — 4, *id.*, dorsalement. — 5, Complexe phallique dorsalement, épiphalle et membrane ectophallique enlevés. — 6, *id.*, latéralement. — 7, Pénis et sac spermatophore. — 8, Épiphalle.

Fig. 14. — Long. 28 mm, pronotum 4 mm, fémur postérieur 14 mm.

♂. Assez grand. Tégument finement rugueux. Antennes de 21 articles; dernier article légèrement incisé à l'apex. Fastigium du vertex étroit, allongé, 3 fois plus long que large au milieu, ses côtés légèrement excurvés dans la région basale, parallèles sur les 2/3 apicaux; apex parabolique. Partie supérieure de la côte frontale étroite, formant un angle avec le fastigium du vertex. Carène médiane du pronotum à peine distincte; métazone égale au 1/4 de la prozone, son bord postérieur à profonde échancrure ronde en son milieu. Saillie prosternale courte à apex subaigu. Partie saillante des élytres plus longue que large. Organe tympanal petit, ouvert. Dernier tergite abdominal grand, son bord postérieur légèrement trilobé. Plaque sus-anale petite, étroite, plus courte que les cerques, à apex obtus; cerques comprimés, élargis dans la partie basale, un peu courbés vers le dedans et le bas dans la partie apicale; apex aigu; plaque sous-génitale un peu comprimée, presque carrée de profil.

Complexe phallique : valves du cingulum grandes; valves du pénis droites; valves basales élargies; valves apicales droites, grêles. Épiphalle à très grand pont et projections antérieures moyennes; lophi plus courts que le pont, relativement étroits, à grands crochets; appendices dorso-latéraux courts, à apex claviforme.

Coloration générale brun ocre; élytres rouges, leur partie antéro-externe noire; croissant des genoux postérieurs brun; tibias postérieurs verdâtres à la face inférieure, brunâtres à la face supérieure; épines ocre, à pointes brunes.

♀. Inconnue.

Madagascar Sud : Betioky, Tongobory, Vohimarina (*Zolotarevsky*).

Seul le type ♂ est connu.

Fig. 15. — *Caprorhinus fusiformis* Saussure, 1899, ♂, type. — 1, Tête dorsalement. — 2, Méso- et métasternum. — 3, Extrémité abdominale latéralement. — 4, *id.*, dorsalement. — 5, Complexe phallique dorsalement, épiphalle et membrane ectophallique enlevés. — 6, *id.*, latéralement. — 7, Pénis et sac spermatophore. — 8, Épiphalle.

5. Caprorhinus fusiformis Saussure (loc. typ. : Madagascar, type ♂, Muséum Paris).

Caprorhinus fusiformis Saussure, 1899 : 642; Dirsh, 1963 *b* : 71; Kevan, 1963 : 149.

Fig. 15. — Long. 28 mm, pronotum 5,5 mm, élytre 1,1 mm, fémur postérieur 15,2 mm.

♂. Assez grand. Tégument rugueux. Fastigium du vertex 2 fois plus long que large en son milieu, les côtés moyennement excurvés à la base, parallèles sur les 2/3 apicaux, l'apex parabolique. Partie supérieure de la côte frontale moyennement élevée, formant un angle avec le fastigium du vertex. Carène médiane du pronotum à peine distincte; métazone plus courte que la moitié de la prozone, son bord postérieur à concavité large et peu marquée. Saillie prosternale à apex subaigu. Partie découverte des élytres arrondie, un peu plus large que longue. Organe tympanal petit, ouvert. Dernier tergite abdominal grand, son bord postérieur superficiellement trilobé et légèrement échancré; plaque sus-anale petite, subtriangulaire, plus courte que les cerques; cerques comprimés, à partie basale relativement large, rétrécis vers l'extrémité, l'apex fortement courbé en dedans et faiblement vers le bas. Plaque sous-génitale à repli latéral cariniforme terminé vers le haut en petit tubercule.

Complexe phallique : valves du cingulum relativement grandes, valves du pénis coudées au milieu; valves basales élargies et un peu excurvées; valves apicales courbées et relativement robustes. Épiphalle à pont relativement large et projections antérieures grandes, presque carrées; lophi larges, courts, à grands crochets; appendices dorso-latéraux courts, robustes, courbés, à apex claviforme.

Coloration générale brunâtre (exemplaire décoloré, ayant été conservé en alcool); partie basale des élytres noire, le reste sans doute rouge; croissants interne et externe des genoux postérieurs noirâtres.

Madagascar. Le type ♂ seul nous est connu, sans précision.

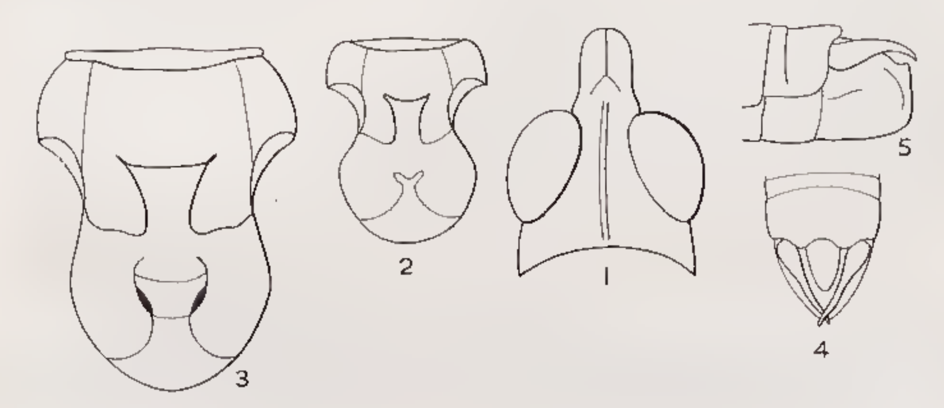


Fig. 16. — *Caprorhinus squamipennis* Bruner, 1910, ♂, type. — 1, Tête dorsalement. — 2, Méso- et métasternum ♂. — 3, *id.*, ♀. — 4, Extrémité abdominale ♂ dorsalement. — 5, *id.*, latéralement.

6. Caprorhinus squamipennis Bruner (loc. typ. : Comores, Anjouan; type ♂, Musée de Berlin).

Caprorhinus squamipennis Bruner, 1910 : 628; Dirsh, 1963 *b* : 74; Kevan, 1963 : 147.

Fig. 16. — Long. ♂ 16 mm, ♀ 25 mm; pronotum ♂ 2,4 mm, ♀ 5,1 mm; fémur postérieur ♂ 9 mm, ♀ 12,5 mm.

♂. Petit. Tégument finement rugueux. Antennes de 18 articles, bien plus longues que la tête et le pronotum réunis. Fastigium du vertex 2 fois plus long que large au milieu, ses côtés légèrement excurvés dans la partie basale, presque parallèles dans la partie apicale; apex parabolique; partie supérieure de la côte frontale excurvée, formant un angle avec le fastigium du vertex. Carène médiane du pronotum à peine distincte; métazone subégale au 1/3 de la prozone, son bord postérieur très légèrement concave, presque droit. Saillie prosternale à apex obtus. Partie découverte des élytres à peu près 2 fois aussi longue que large. Organe tympanal vestigial. Dernier tergite abdominal grand, faiblement bilobé. Plaque sus-anale petite, parabolique, plus courte que les cerques; cerques relativement grêles, un peu élargis dans la région basale, un peu courbés en dedans et vers le bas à l'extrémité; plaque sous-génitale à apex arrondi et repli cariniforme se terminant, vers le haut, par un petit tubercule.

Coloration générale brun olive; bande ocre de la moitié inférieure des lobes latéraux du pronotum atteignant la base des fémurs postérieurs. Une bande médio-dorsale de même

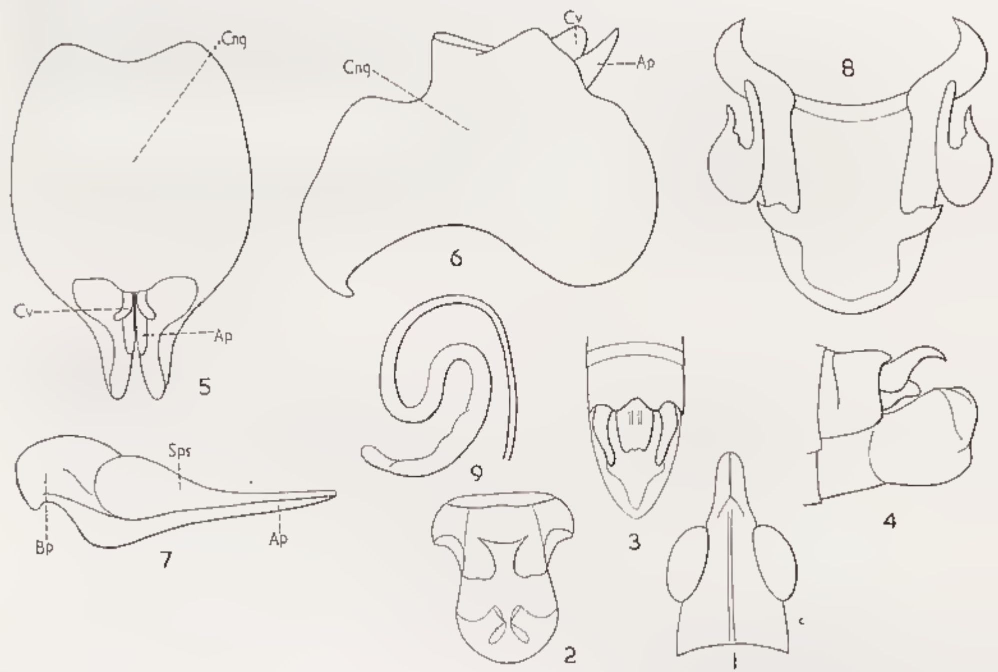


Fig. 17. — *Caprorhinus minor* Uvarov, 1929, ♂, type. — 1, Tête dorsalement. — 2, Méso- et métasternum. — 3, Extrémité abdominale dorsalement. — 4, *id.*, latéralement. — 5, Complexe phallique dorsalement, épiphalle et membrane ectophallique enlevés. — 6, *id.*, latéralement. — 7, Pénis et sac spermatophore. — 8, Épiphalle. — 9, Spermathèque.

couleur partant de la tête et atteignant le 2e tergite abominal; élytres rouge vif à partie externe basale noire; genoux postérieurs brunâtres; tibias postérieurs vert olive.

♀. Plus grande que le ♂. Fastigium du vertex relativement plus court. Élytres dépassant de peu le bord postérieur du pronotum. Métanotum et 1er tergite abdominal un peu renflés; saillie du 1er tergite abdominal à apex arrondi. Oviscapte court, robuste les valves à apex aigu et courbé; bord externe des valves supérieures grossièrement, crénelé. Plaque sous-génitale légèrement trilobée, le lobe médian anguleux, les lobes latéraux larges. Pour le reste, semblable au ♂.

ARCHIPEL DES COMORES : Anjouan, Cercle de Bambao (l'étiquette originale porte : Bombas), 500 m (*A. Voeltzkow*).

7. Caprorhinus minor Uvarov (loc. typ. : Tongobory; type ♂, British Museum, N.H.).

Caprorhinus minor Uvarov, 1929 : 287; DIRSH, 1963 *b* : 72; KEVAN, 1963 : 150.

Fig. 17. — Long. ♂ 24 mm, ♀ 30 à 31 mm; pronotum ♂ 3,5 mm, ♀ 4,6 à 5 mm; fémur postérieur ♂ 12,5 mm, ♀ 13,5 à 13,6 mm.

♂. Assez grand. Tégument rugueux. Fastigium du vertex 3 fois plus long que large au milieu; côtés moyennement excurvés sur le 1/3 basal, légèrement convergents sur les 2/3 apicaux; apex anguleux. Partie supérieure de la côte frontale étroite, formant un angle aigu avec le fastigium du vertex. Carène médiane du pronotum faible; métazone plus courte que le 1/3 de la prozone, son bord postérieur légèrement concave. Processus prosternal à apex subaigu. Partie découverte des élytres plus large que longue. Organe tympanal petit, ouvert. Dernier tergite grand, son bord postérieur bilobé, profondément concave au milieu; plaque sus-anale petite, plus courte que les cerques, à apex sinué. Cerques comprimés, élargis dans la partie basale, rétrécis et un peu courbés en dedans et vers le bas à l'extrémité; apex subaigu; plaque sous-génitale à formation latérale cariniforme.

Complexe phallique : valves du cingulum grandes; valves du pénis droites; valves basales élargies et excurvées; valves apicales droites et grêles. Épiphalle à pont large, faiblement sclérifié au milieu, les projections antérieures courbées, grandes, étroites; lophi fusionnés avec le pont, à grands crochets étroits; appendices dorso-latéraux courts, étroits, à extrémité claviforme.

Coloration générale brun olive, tête, pronotum, mésonotum, métanotum et 1er tergite abdominal à bande médiane ocre; face ocre; une bande ocre partant des yeux et atteignant la base des fémurs postérieurs; élytres rouges, la partie antéro-externe noire; croissants des genoux postérieurs noirâtres; tibias postérieurs à face inférieure vert olive et face supérieure brunâtre; épines ocre à apex brun.

MADAGASCAR SUD : Betioky, Tongobory (*Zolotarevsky*). — Ambovoko (Grotte des Portugais), IV-1962 (*J. Têtefort*).

L'espèce n'est connue que par 2 ♂, les signalisations de DIRSH (1963 *b*) sont erronées.

8. Caprorhinus ranohirae Kevan (loc. typ. : Ranohira; holotype ♂, Académie des Sciences de Californie).

Caprorhinus ranohirae Kevan, 1963 : 150.

Long. 23 mm; pronotum 4,1 mm; fémur postérieur 10 mm.

♂. Très voisin de *C. minor* mais différant du type de cette espèce par le profil de la face plus oblique, par le fastigium du vertex légèrement plus large, par le bord postérieur du pronotum plus profondément excisé, par l'angle postérieur des lobes latéraux du pronotum légèrement obtus et non arrondi, par le bord postérieur du 10e tergite abdominal moins sinueux, par la plaque sus-anale plus longue, plus étroite, par les cerques plus longs, moins incurvés vers l'intérieur, par la plaque sous-génitale plus simple. Épiphalle moins spécialisé, à lophi bien différenciés; pont étroit.

Teinte générale olive testacé; antennes et yeux brunâtres; élytres rouge brique, la partie costale noire; genoux postérieurs à croissant brunâtre; tibias postérieurs gris au-dessus, brunâtres au-dessous.

MADAGASCAR CENTRE : 20 km Nord-Ouest de Ranohira, massif de l'Isalo, 900 m, XII-1959 (*E.S. Ross*).

Seul le ♂ type est connu.

Genre **Malagasphena** Kevan, Akbar et Singh

Malagasphena Kevan et *al.*, 1964 : 111.

Taille petite; forme élancée. Antennes filiformes, le dernier article allongé, incisé à l'apex; yeux ovales, moyennement saillants; pas d'ocelle médian; vertex horizontal; fastigium parabolique, pas plus long que large; côte frontale déprimée et indistincte sauf entre les antennes, pourvue d'une découpure arrondie juste au-dessous du fastigium du vertex (vision latérale); carènes latérales de la face indistinctes. Pronotum cylindrique ou subcylindrique, dépourvu de carène médiane, les carènes latérales visibles seulement dans la prozone, légèrement divergentes; saillie prosternale pyramidale; espace mésosternal transverse. Élytres rudimentaires n'atteignant pas le bord postérieur du métanotum; ailes nulles. Pattes des 2 premières paires plutôt grêles; fémurs postérieurs dépassant l'extrémité de l'abdomen. Tarses postérieurs longs. Pas de tympan; bord postérieur du dernier tergite abdominal ♂ largement et profondément découpé; plaque sus-anale triangulaire; cerques simples; oviscapte très long.

Complexe phallique : pont de l'épiphalle étroit; projections antérieures courtes, arrondies; appendices dorso-latéraux en massue. Émargination antérieure de l'ectophalle étroite; bord postérieur également émarginé; processus ventral large, arrondi à l'extrémité. Sac spermatophore grand, allongé.

Espèce type : *Malagasphena minor* Kevan et *al.*, 1964.

1. Malagasphena minor Kevan *et al.* (loc. typ. : forêt de Sianga; holotype ♂, allotype ♀, Académie des Sciences de Philadelphie).

Malagasphena minor Kevan, *et al.*, 1964 : 112; DESCAMPS et WINTREBERT, 1966 *b* : 132.

Long. ♂ 15 mm, ♀ 18 mm; pronotum ♂ 2,7 mm, ♀ 3,7 mm; élytre ♂ 0,25 mm, ♀ 0,15 mm; fémur postérieur ♂ 8 mm, ♀ 11,2 mm.

♂. Antennes aussi longues que la tête et le pronotum réunis, composées de 15 articles; article terminal 4 fois plus long que large. Profil de la face très oblique.

Vertex légèrement convexe de profil. Pronotum ponctué, le bord postérieur légèrement incisé au milieu; sillon médian situé à peu près à mi-longueur; métazone égalant à peu près le 1/4 de la prozone; lobes latéraux 1 fois 1/2 aussi longs que hauts, les bords postérieur et inférieur sinueux. Mésonotum et métanotum beaucoup moins ponctués que le pronotum, le 1er à peine visible, le 2e de longueur subégale à celle du 1er tergite abdominal. Saillie prosternale grande, légèrement concave à l'avant, convexe à l'arrière. Lobes mésosternaux aussi longs que larges. Élytres ne dépassant pas le 1/3 antérieur du métanotum. Une épine apicale externe aux tibias postérieurs. Article médian des tarses postérieurs égalant les 2/3 de la longueur de l'article terminal. Abdomen parcouru par une fine carène médiane. Plaque sus-anale à carène médiane bien développée; cerques aussi longs que la plaque sus-anale, un peu renflés à la base, l'extrémité appointée.

Teinte générale brunâtre testacé, plus pâle dorsalement. Antennes noirâtres. Côtés de la tête, en arrière des yeux, brun noirâtre avec une bande oblique jaune se poursuivant le long du bord inférieur des lobes latéraux du pronotum. Ces derniers marqués d'une tache noire bordée dorsalement d'une large bande brune. Partie supérieure des pleures et élytres brun noirâtre.

♀. Antennes un peu plus courtes que la tête et le pronotum réunis, l'article terminal un peu plus de 3 fois plus long que large. Yeux moins saillants que chez le ♂. Pronotum et abdomen fortement ponctués. Lobes mésosternaux plus larges que longs. Cerques un peu plus courts que la plaque sus-anale. Valves de l'oviscapte droites; face dorsale des valves supérieures rugueuse.

Teinte générale ocre, quelques pustules jaunâtres; bande jaune transjugale très étroite; pronotum monochrome; antennes brun foncé avec quelques plages jaunes.

MADAGASCAR EST : Rogez, XII-1931 (*A. Seyrig*); XII-1936 et IV-1937 (*C. Lamberton*). — Perinet III-1932 et II-1935 (*A. Seyrig*). — Forêt de Sianga, V-1947.

Genre **Gymnohippus** Bruner

Gymnohippus Bruner, 1910 : 636; DIRSH, 1963 *b* : 75.

Taille moyenne. Tégument granuleux. Antennes épaisses, filiformes, plus courtes que la tête et le pronotum réunis. Fastigium du vertex court, large, anguleux; sillon fastigial court; aréoles peu développées. Tête courte, conique; front légèrement incurvé de profil; côte frontale basse, étroite, superficiellement sillonnée, comprimée et excurvée entre les antennes. Pronotum cylindrique, sans carènes; disque traversé par 2 sillons profonds; métazone subégale au 1/3 de la longueur de la prozone, à bord postérieur droit; lobes latéraux du pronotum plus longs que hauts, le bord inférieur oblique. Saillie prosternale courte, pyramidale. Espace mésosternal plus long que large, éloigné de l'espace métasternal. Élytres, ailes et organe tympanal absents. Fémurs postérieurs moyennement larges, les lobes basaux d'égale longueur; lobes inférieurs des genoux postérieurs en angle obtus; 1 épine apicale externe aux tibias postérieurs. Arolium grand. Dernier tergite abdominal ♂ allongé, avec 2 saillies arrondies. Plaque sus-anale anguleuse chez le ♂, subégale à la moitié de la longueur des cerques; cerques allongés, élargis à la base, fortement rétrécis dans la moitié

apicale, un peu courbés vers l'intérieur et le bas; plaque sous-génitale comprimée latéralement, l'apex arrondi. Oviscapte court, robuste, à valves courbées à l'apex.

Complexe phallique : cingulum large, à renflements latéraux; pas de valves du cingulum. Pénis court; valves basales moyennement élargies; valves apicales recourbées vers le haut, à apex subaigu; sac spermatophore très grand. Épiphalle à pont court; ancorae présentes; lophi allongés, grêles, à grands crochets.

Spermathèque simple, étroite, en S.

Espèce type : *Gymnohippus marmoratus* Bruner, 1910.

Clé des espèces (♂, ♀)

1 (2) Fastigium environ 2 fois plus large que long; extrémité de la tête, vue de profil, non échancrée; cerques du ♂ comprimés latéralement à l'extrémité; plaque sous-génitale du ♂ peu saillante, l'extrémité largement arrondie de profil; taille plus petite, longueur du fémur postérieur ♂ : 7,7-10,8 (9,2); ♀ : 9,4-12,1 (10,3) (fig. 18) . . . . 1. **G. marmoratus**

2 (1) Longueur du fastigium subégale à la largeur chez le ♂, environ 1,5 fois plus large que long chez la ♀; extrémité de la tête, vue de profil, découpée en triangle; plaque sous-génitale du ♂ fortement saillante, l'extrémité étroitement arrondie de profil; taille plus grande, longueur du fémur postérieur ♂ : 10,6-11,9 (11,0); ♀ : 10,7-12,6 (11,8) (fig. 19). 2. **G. productus**

1. Gymnohippus marmoratus Bruner (loc. typ. : Tuléar; type ♀, Musée de Berlin).

Gymnohippus marmoratus Bruner, 1910 : 637; Dirsh, 1963 *b* : 76; Kevan, 1963 : 147; Descamps et Wintrebert, 1966 *a* : 25; 1966 *b* : 94.

Fig. 18. — Long. ♂ 14,5 à 19 mm, ♀ 22 à 27 mm; pronotum ♂ 2,8 à 4,0 mm, ♀ 4,0 à 5,9 mm; fémur postérieur ♂ 7,7 à 10,8 mm, ♀ 9,4 à 12,1 mm.

♂. Antennes de 15 articles. Fastigium du vertex à peu près 2 fois plus large que long, convexe et granuleux. Espace mésosternal à peu près moitié plus long que large, à côtés faiblement incurvés. Espace métasternal en triangle renversé.

Coloration générale ocre sable, parfois verdâtre ou à dessin marbré foncé; mandibules rougeâtres; mésonotum parfois à bande transverse rougeâtre, tibias postérieurs rouge carminé dans la moitié inférieure, parfois noirâtres.

♀. Plus grande que le ♂. Antennes de 14 à 15 articles. Fastigium du vertex à peu près 3 fois plus large que long. Espace mésosternal un peu plus large que chez le ♂; espace métasternal transverse. Coloration du ♂, mais tibias postérieurs ocre ou légèrement verdâtres. Pour le reste, comme le ♂.

Madagascar Sud : Tuléar, XII (*A. Voeltzkow*). — Betioky-Sud, lac Tsimanampetsotsa, V-1951 (*R. Paulian*). — Efoetsy, V-1951 (*A. Robinson*). — Ampanihy, Itampolo, V-1951 (*R. Paulian*). — Ampanihy, V-1963 (*D. Wintrebert*). — Anakao (Haut), IV-1953 (*A. Robinson*). — Beheloka, dunes du bord de mer, III-1962, sur *Zygophyllum depauperatum*, IV-1962; IV-1963 (*D. Wintrebert*). — Ankiliarivo, sur

Cedrelopsis grevei, III et IV-1962; IV-1963 (*D. Wintrebert*). — Ankalirano (*G. Cadet*). — Salary, Befandefa-Morombe, V-1963 (*D. Wintrebert*). — Lavanono, V-1962 et III-1964 (*D. Wintrebert*). — Côte Ouest entre Manombo et Salary, V-1963 (*D. Wintre-*

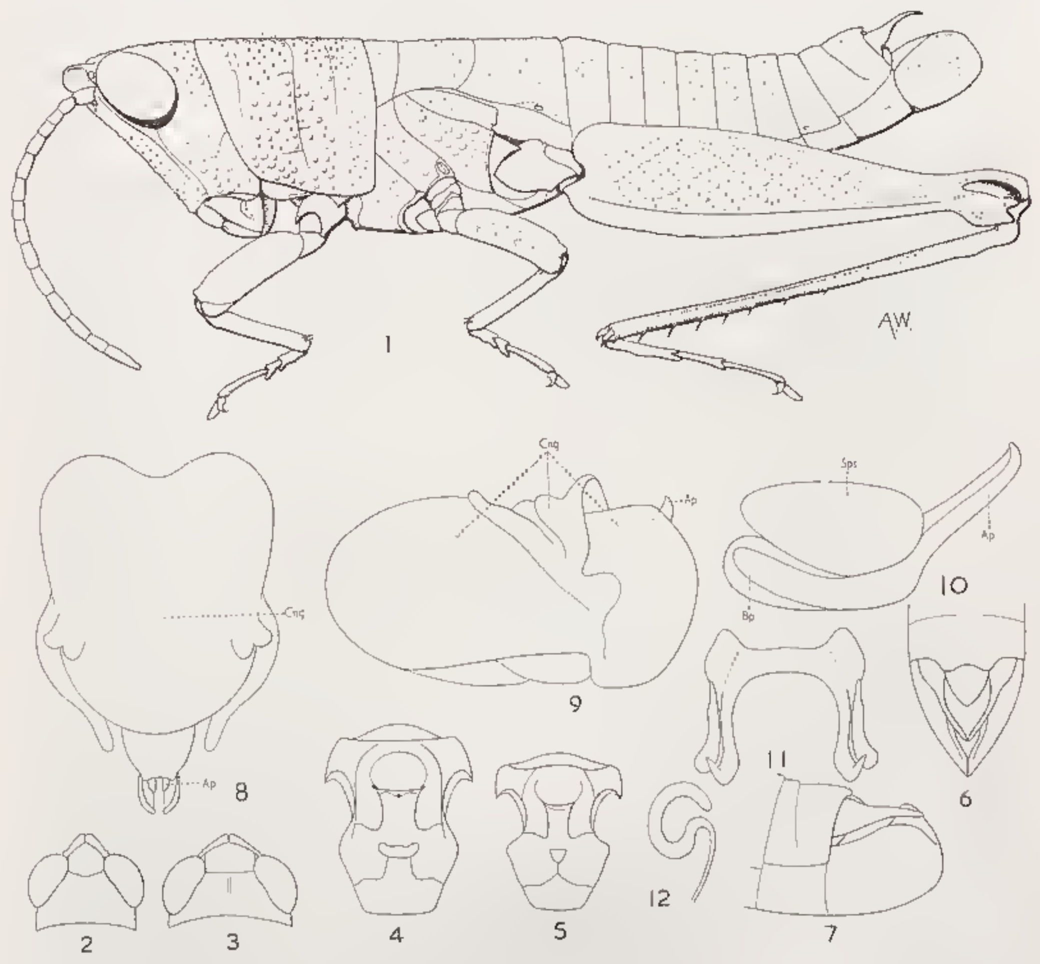


FIG. 18. — *Gymnohippus marmoratus* Bruner, 1910. — 1. ♂. — 2, Tête ♂ dorsalement. — 3, *id.*, ♀. — 4, Méso- et métasternum ♀. — 5, *id.*, ♂. — 6, extrémité abdominale ♂ dorsalement. — 7, *id.*, latéralement. — 8, Complexe phallique dorsalement, épiphalle et membrane ectophallique enlevés — 9, *id.*, latéralement. — 10, Pénis et sac spermatophore. — 11, Épiphalle. — 12, Spermathèque.

bert). — Beloha, IV-1963 (*D. Wintrebert*). — Marolinta, VIII-1964 (*D. Wintrebert*). — Betindria (Lavanono), II-1964 (*P. Dechappe*). — Ankatrafay, II-1964 (*P. Dechappe*).

Espèce de taille, de sculpture et de coloration variables.

2. Gymnophippus productus Descamps et Wintrebert (loc. typ. : Ranohira: holotype ♂, allotype ♀, Muséum de Paris).

Gymnophippus productus Descamps et Wintrebert, 1966 *a* : 25; 1966 *b* : 96.

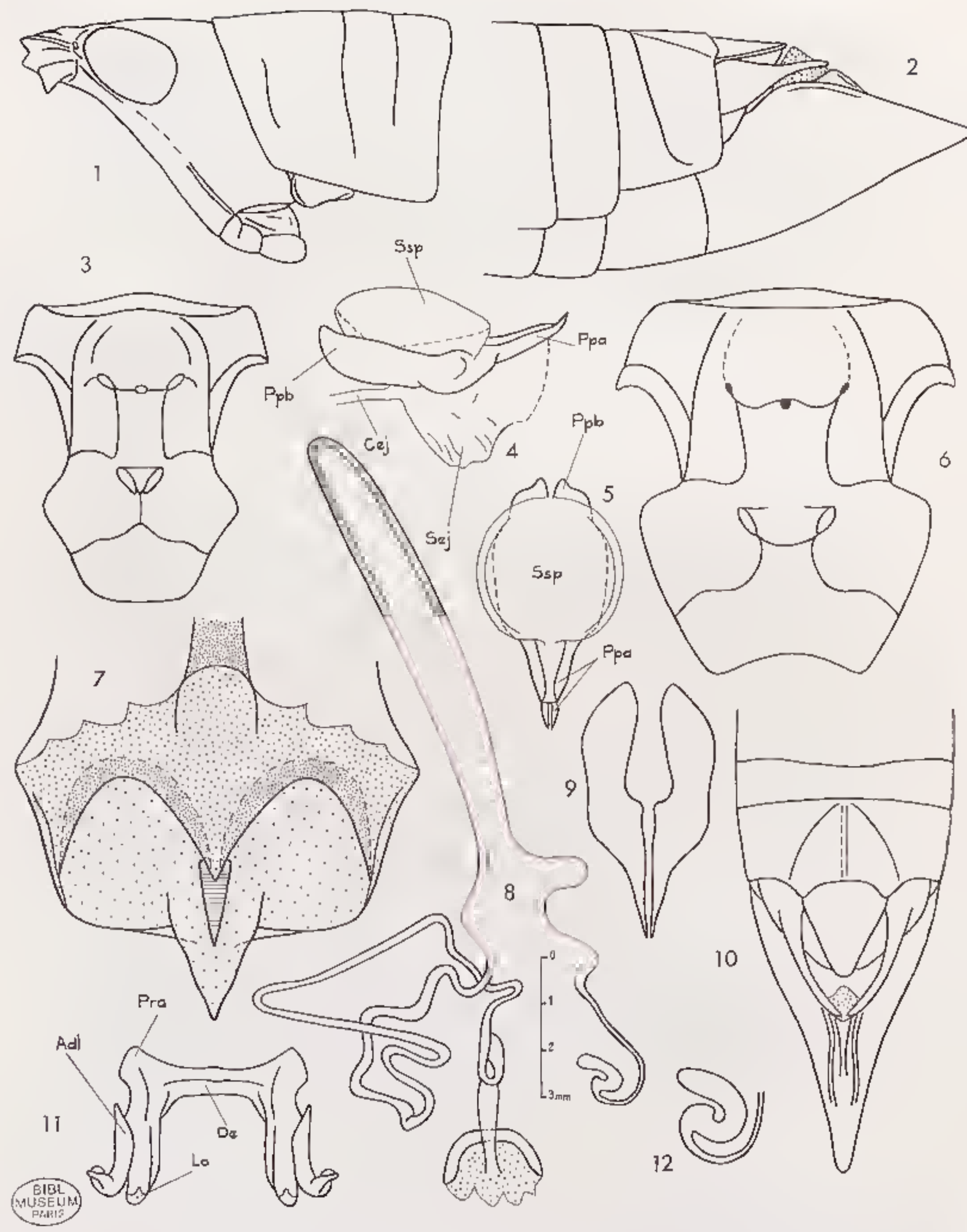


FIG. 19. — *Gymnohippus productus* Descamps et Wintrebert, 1966. — 1, Tête et pronotum ♂ latéralement. — 2, Extrémité abdominale ♂ latéralement .— 3, Méso- et métasternum ♂. — 4, Endophalle latéralement. — 5, *id.*, dorsalement. — 6, Méso- et métasternum ♀. — 7, Plaque sous-génitale ♀, face dorsale. — 8, Spermathèque. — 9, Valves du pénis ventralement. — 10, Extrémité abdominale ♂ dorsalement. — 11, Épiphalle. — 12, Ampoule terminale de la spermathèque.

Fig. 19. — Pronotum ♂ 4,1 à 4,9 mm, ♀ 5,2 à 5,7 mm; fémur postérieur ♂ 10,6 à 11,9 mm, ♀ 10,7 à 12,6 mm.

♂. Taille nettement plus grande que celle des plus grands spécimens connus de *G. marmoratus*. Légèrement fusiforme; tégument granuleux. Face déclive, de profil concave au niveau des yeux. Fastigium un peu plus court que large à la base, l'extrémité arrondie. Espace interoculaire déprimé transversalement; une faible carinule prenant naissance au niveau de la dépression et n'atteignant pas l'occiput. Antennes épaisses; articles de section subcirculaire, d'épaisseur légèrement décroissante vers l'extrémité de l'antenne. Distance infra-oculaire égalant 1,4 fois le plus grand diamètre de l'œil. Pronotum un peu comprimé latéralement à la partie inféro-antérieure; légèrement mais nettement convexe en vision latérale. Métazone à peu près égale au 1/3 de la prozone, le bord postérieur très légèrement excurvé. Espace mésosternal 1,5 fois plus long que large. Tergites abdominaux fortement granuleux. Bord postérieur du dernier tergite abdominal avec 2 petites saillies arrondies encadrant la plaque sus-anale. Cerques de même forme que chez *G. marmoratus*, longs, courbés vers l'intérieur, se joignant sur la ligne médiane; moitié basale épaisse, subconique, fortement convexe; moitié apicale filiforme, l'extrémité subaiguë, non comprimée latéralement.

Insecte d'une jolie couleur gris argenté sur le vif, parfaitement homochrome avec la plante hôte. Teinte générale brunâtre à verdâtre sur le sec avec granulations plus claires. Une étroite bande jaune partant du bord inférieur des yeux et atteignant l'angle postérieur des lobes latéraux du pronotum. Pièces buccales marquées de rouge. Sillons du pronotum bruns. Carène inféro-externe des fémurs postérieurs marquée d'une ligne brune portant quelques points noirs et surmontée d'une bande jaunâtre; reste des fémurs vert jaunâtre. Face inférieure des tibias postérieurs rouge; face supérieure verdâtre; faces latérales vertes sur la moitié basale et rouges sur la moitié apicale.

Complexe phallique : pont de l'épiphalle très court, lophi très allongés terminés par un crochet recourbé dorsalement; appendices dorso-latéraux à extrémité en massue courte, épaisse. Cingulum à membrane centrale épaisse, limitée à l'avant par une étroite sclérification transverse; valves du cingulum petites, peu saillantes; pseudoarche visible par transparence; pas de processus ventral; rami à expansion postéro-ventrale large, renforcée postérieurement. Partie basale du pénis relativement étroite de profil; partie apicale courbée dorsalement à l'extrémité. Sac spermatophore débordant latéralement les valves du pénis, subhémisphérique.

♀. Plus nettement fusiforme que le ♂. Face droite et peu déclive de profil. Fastigium ascendant, la largeur à la base égalant environ 1,5 fois la longueur; bords latéraux légèrement concaves et extrémité largement arrondie. Espace interoculaire un peu plus grand que le plus petit diamètre de l'œil; distance infra-oculaire égale à 1,5 fois le plus grand diamètre de l'œil. Antennes, rabattues vers l'arrière, n'atteignant pas le sillon typique du pronotum. Disque du pronotum dépourvu de véritable carène médiane mais finement sillonné au milieu; plus fortement convexe de profil que chez le ♂; bord inférieur des lobes latéraux droit, le bord postérieur très faiblement sinué. Un faible bombement transverse sur le prosternum. Espace mésosternal subcarré, légèrement rétréci vers l'arrière. Bord postérieur de la plaque sous-génitale droit avec une petite saillie médiane triangulaire. Face dorsale et bord externe des valves supérieures de

l'oviscapte rugueux. Pas de bande claire sur les joues et les lobes latéraux du pronotum; tibias postérieurs jaune verdâtre. Spermathèque à canal extrêmement long d'abord pelotonné près du débouché puis s'enfonçant profondément dans l'abdomen, coudé à peu près à mi-longueur et terminé par une ampoule simple en S située à peu près au niveau du peloton basal.

Madagascar Centre : Ranohira, massif de l'Isalo, sur *Dicoma incana*, VI-1963 (*D. Wintrebert*). — Ambovoko, Grotte des Portugais, IV-1966 (*J. Têtefort*).

Genre **Acropyrgus** Descamps et Wintrebert

Acropyrgus Descamps et Wintrebert, 1966 *a* : 26; 1966 *b* : 101.

Genre paraissant à première vue, voisin des *Gymnohippini* mais en différant très profondément par la structure du complexe phallique et un dimorphisme sexuel très prononcé. Ne peut être rapproché, semble-t-il, d'aucun genre actuellement connu.

♂. Taille petite (très variable au sein de l'espèce); forme subcylindrique. Tégument rugueux. Tête subconique. Côte frontale complète, basse, sillonnée, non échancrée à l'extrémité, l'angle fastigio-facial arrondi. Face droite, déclive. Fastigium court, triangulaire, anguleux à l'avant. Une carinule vertico-occipitale bien nette. Yeux allongés, bien saillants latéralement. Antennes filiformes, subégales à la longueur de la tête et du pronotum réunis. Pronotum non rebordé, longitudinalement convexe, dépourvu de carènes latérales, la carène médiane très faiblement indiquée à l'avant. Disque traversé par 2 sillons, le sillon typique bien en arrière du milieu; bord antérieur convexe; bord postérieur droit, non incisé au milieu. Saillie prosternale transverse, peu élevée. Espace mésosternal pas plus long que large; lobes métasternaux brièvement contigus. Aptère. Pattes des 2 premières paires courtes, les fémurs épais, non carénés. Lobe basal supérieur des fémurs postérieurs un peu plus long que l'unité inférieure; lobes géniculaires inférieurs fortement rétrécis d'avant en arrière, l'apex arrondi. Épines externes et internes de la moitié basale des tibias postérieurs courtes; une épine apicale externe; arolium grand. Pas de tympan auditif. Partie postérieure du dernier tergite abdominal à découpure médiane, en forme de segment circulaire, limitée latéralement par 2 petits lobes arrondis. Plaque sus-anale triangulaire à carène médiane longitudinale. Cerques très courts, fortement comprimés latéralement, triangulaires de profil. Plaque sous-génitale courte, non comprimée, encapuchonnante, l'extrémité très largement arrondie.

Épiphalle à projections antérieures saillantes; disque court; lophi longs, divergents; appendices dorso-latéraux en forme de massue. Ectophalle à processus ventral étroit, l'extrémité aiguë; membrane centrale du cingulum bien différenciée; valves du cingulum très courtes, simples; pseudoarche du cingulum visible par transparence; apodème postéro-ventral bien différencié. Valves du pénis soudées à l'extrémité postérieure; partie basale comprimée latéralement, partie apicale courbée dorsalement. Sac spermatophore ne débordant pas latéralement les valves du pénis.

♀. Fusiforme. Fastigium large, extrêmement court. Distance infra-oculaire très nettement plus grande que le plus grand diamètre de l'œil. Antennes très courtes. Pas de carène vertico-occipitale. Thorax et partie antérieure de l'abdomen très fortement

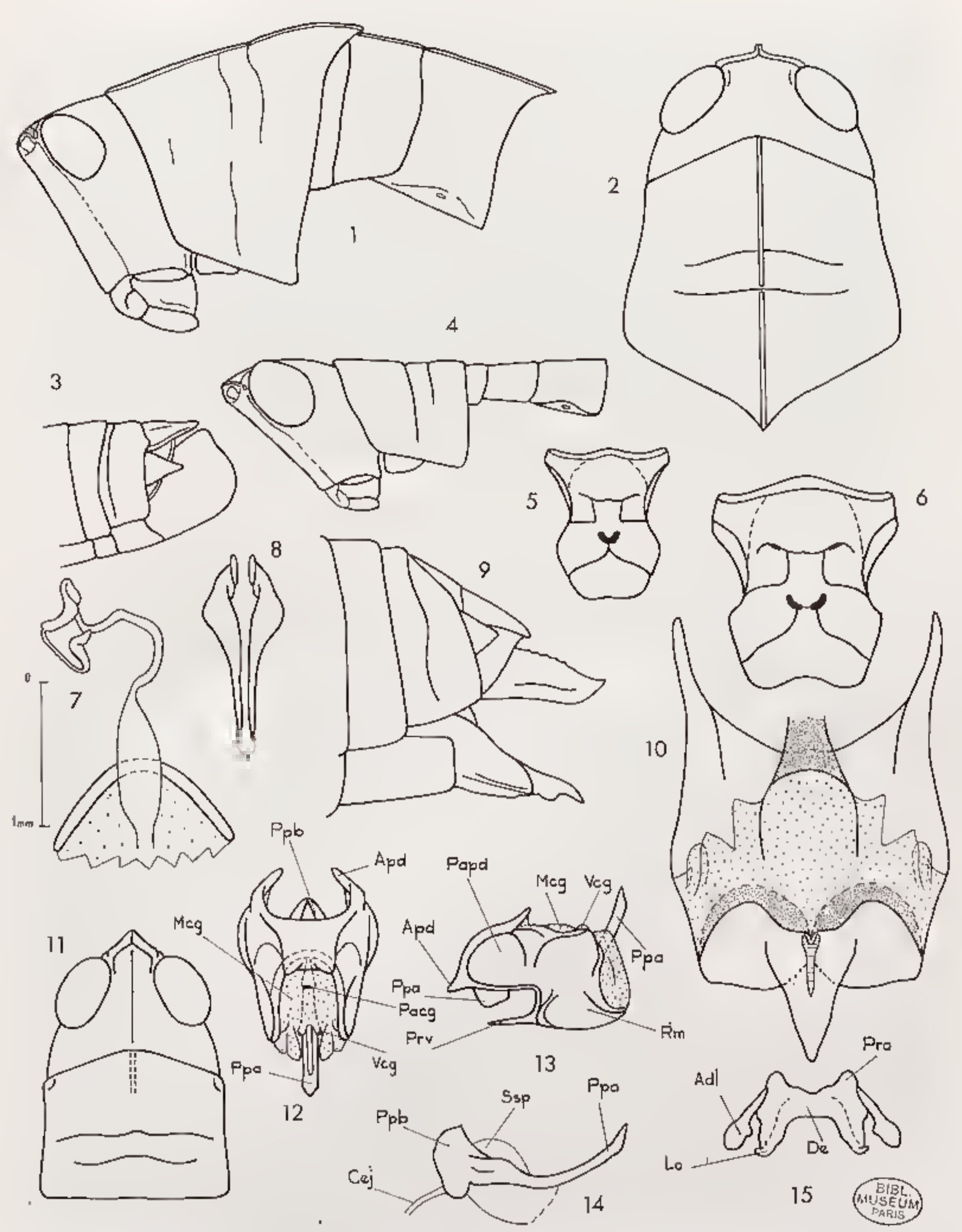


FIG. 20. — *Acropyrgus cadeti* Descamps et Wintrebert, 1966. — 1, Tête et thorax ♀ latéralement. — 2, Tête et pronotum ♀ dorsalement. — 3, Extrémité abdominale ♂ latéralement. — 4, Tête et thorax ♂ latéralement. — 5, Méso- et métasternum ♂. — 6, *id.*, ♀. — 7, Spermathèque. — 8, Pénis ventralement. — 9, Extrémité abdominale ♀ latéralement. — 10, Plaque sous-génitale ♀, face dorsale. — 11, Tête et pronotum ♂ dorsalement. — 12, Ectophalle dorsalement. — 13, *id.*, latéralement. — 14, Endophalle latéralement. — 15, Épiphalle.

arqués de profil, formant un arc de cercle très accentué s'étendant du bord antérieur du pronotum au bord postérieur du 1er tergite abdominal. Pronotum élargi d'avant en arrière, recouvrant presque complètement le mésonotum, parcouru par une carène médiane forte; sillon typique à peu près au milieu; bord antérieur saillant; bord postérieur en angle très aigu; bord inférieur des lobes latéraux droit, fortement oblique d'avant en arrière. Mésonotum, métanotum et 1er tergite abdominal fortement renflés. Bord postérieur du métanotum droit. Espace mésosternal subcarré; lobes métasternaux non contigus. Premier tergite abdominal fortement caréné, le bord postérieur saillant vers l'arrière en angle aigu. Autres tergites parcourus par une carène plus faible, fissurée. Plaque sous-génitale incisée en triangle. Bord externe des valves supérieures de l'oviscapte crénelé; un épaulement latéro-basal à la face ventrale des valves inférieures. Spermathèque très courte à canal fortement dilaté à l'extrémité postérieure, l'extrémité opposée fortement rétréeie et terminée par une petite ampoule simple coudée à angle droit.

Espèce type : *Acropyrgus cadeti* Descamps et Wintrebert, 1966.

1. Acropyrgus cadeti Descamps et Wintrebert (loc. typ. : Beheloka; holotype ♂, allotype ♀, Muséum Paris).

Acropyrgus cadeti Descamps et Wintrebert, 1966 *a* : 26; 1966 *b* : 103.

Fig. 20. — Pronotum ♂ 1,8 à 2,5 mm, ♀ 3,9 à 5,6 mm; fémur postérieur ♂ 5,2 à 6,8 mm, ♀ 6,6 à 8,0 mm.

♂. Côte frontale légèrement comprimée à la partie supérieure, faiblement convexe de profil à ce niveau; carinules latérales subparallèles sur toute la longueur. Carènes latérales de la face subobsolètes au milieu; joues presque lisses. Bords latéraux du fastigium droits, l'angle antérieur d'environ 90°. 2 petites carinules le long du bord interne des yeux. Antennes, rabattues vers l'arrière, dépassant un peu le bord postérieur du pronotum, composées de 13 articles, le dernier conique. Sillon typique traversant le disque du pronotum à peu près au 1/4 postérieur. Lobes latéraux presque lisses, le bord inférieur oblique, très légèrement sinué; angle postérieur droit, arrondi. Bord supérieur du processus prosternal avec une petite saillie médiane (plus ou moins nette). Espace mésosternal un peu plus large que long, très légèrement rétréci vers l'arrière, les bords latéraux droits. Cerques atteignant environ le 1/3 postérieur de la plaque sus-anale, à peine plus longs que larges à la base (vision latérale), l'extrémité aiguë. Lobes du bord postérieur du dernier tergite peu saillants.

Teinte générale jaune verdâtre varié de brun (aspect marbré). Une bande dorsale un peu plus claire que l'ensemble, non marbrée, partant du vertex et s'estompant vers l'extrémité de l'abdomen. Face brune avec granulation jaunâtre. Fémurs postérieurs jaunes avec une ligne rouge vermeil sur la carène inféro-externe; quelques points rouges sur la carène supéro-externe; extrémité virant au brun. Tibias postérieurs violets, la base verdâtre.

♀. Côte frontale, vue de profil, très légèrement convexe juste au-dessous du fastigium, les carinules la limitant n'atteignant pas tout à fait la suture clypéale. Angle antérieur du fastigium fortement obtus, presque plat, l'extrémité de la côte frontale

visible du dessus. Espace interoculaire un peu plus petit que le plus grand diamètre de l'œil. Vertex plat, fortement granuleux. Antennes, rabattues vers l'arrière, n'atteignant pas le milieu de la prozone. Pronotum, y compris les lobes latéraux, fortement granuleux. Cerques très courts, plus courts que larges à la base. Dent apicale des valves de l'oviscapte très peu recourbée. Épaulement latéro-basal des valves inférieures en angle droit. Suture entre les tergites 9 et 10 n'atteignant pas le bord externe. Partie postérieure du dernier tergite découpée au milieu.

Teinte générale verte, y compris la face. Face inférieure du thorax et de l'abdomen jaune. Carène médiane du pronotum brun rougeâtre. Fémurs postérieurs verts, la carène inféro-externe rouge bordée d'une bande jaune. Tibias postérieurs vert jaunâtre.

Madagascar Sud : Beheloka, IV-1962 et IV-1963 (*D. Wintrebert*). — Ankalirano (clairières du plateau calcaire Mahafaly), sur *Hippocratea* sp., III-1962 (*G. Cadet*). — Ankiliarivo, sur *Cedrelopsis grevei* et *Terminalia ulexoides*, IV-1962 (*D. Wintrebert*). — Clairières du plateau calcaire Mahafaly, II-1964 (*J. Têtefort*). — Betindria (7 km Ouest Lavanono), V-1963 (*J. Têtefort*). — Ankatrafay II-1964 (*P. Dechappe*).

Genre **Pseudosphena** Kevan

Pseudosphena Kevan, *in* Kevan et Akbar, 1964 : 1529.

Taille petite à moyenne; ♂ subcylindrique, ♀ plus fusiforme. Corps fortement granuleux, de couleur variée mais sans bandes longitudinales distinctes. Tête fortement conique; fastigium du vertex à apex parabolique, à grandes aréoles. Front assez fortement oblique et quelque peu concave de profil. Pronotum cylindrique chez le ♂, élargi vers l'arrière chez la ♀; carène médiane basse, épaisse, parfois indistincte, coupée par 2 sillons; pas de carènes latérales; bord postérieur du disque légèrement excisé. Saillie prosternale à apex aigu ou subaigu. Fovéoles métasternales grandes, subcontiguës chez le ♂, distantes chez la ♀. Élytres et ailes absents ou très petits et squamiformes. Pas de tympan. Fémurs postérieurs étroits. Tibias postérieurs cylindriques, pourvus d'une épine apicale externe; arolium grand. Plaque sus-anale triangulaire; cerques simples, coniques. Plaque sous-génitale du ♂ à apex plus ou moins arrondi de profil. Oviscapte modérément long, les valves courbées à l'apex.

Ectophalle large, piriforme, à processus ventral étroit.

Espèce type : *Parasphena dispar* Dirsh, 1963.

1. Pseudosphena dispar (Dirsh) (loc. typ. : Massif de l'Andringitra, cirque Boby, 2 500 m; type ♂, Muséum Paris).

Parasphena dispar Dirsh, 1963 *b* : 77.
Pseudosphena dispar (Dirsh, 1963); Kevan, *in* Kevan et Akbar, 1964 : 1529.

Fig. 21. — Long. ♂ 17 mm, ♀ 28 à 41 mm; pronotum ♂ 2,8 mm, ♀ 5 à 6 mm; fémur postérieur ♂ 8 mm, ♀ 13 à 15,3 mm.

♂. Petit. Corps cylindrique. Tégument rugueux et tuberculé. Antennes de 17 articles. Tête étroite, conique; fastigium du vertex allongé, à base élargie; carinule du vertex forte; 2 rangées latérales de callosités sur le dessus de la tête; tubercules de la rangée postoculaire peu saillants. Carène médiane du pronotum basse, épaisse;

pas de carènes latérales; métazone subégale au 1/4 de la longueur de la prozone, son bord postérieur un peu concave. Espace mésosternal plus long que large; espace métasternal à grandes fovéoles. Lobes inférieurs des genoux postérieurs anguleux. Plaque sus-anale étroite, en angle aigu; cerques simples, coniques, à apex légèrement incurvé; plaque sous-génitale comprimée, un peu allongée, à apex arrondi.



Fig. 21. — *Pseudosphena dispar* Dirsh, 1963, ♂, type. — 1, ♂. — 2, Tête ♂ dorsalement. — 3, Méso- et métasternum. ♂. — 4, *id.*, ♀. — 5, Complexe phallique dorsalement, épiphalle et membrane ectophallique enlevés. — 6, *id.*, latéralement. — 7, Pénis et sac spermatophore. — 8, Épiphalle. — 9, Spermathèque.

Complexe phallique : cingulum piriforme à valves courtes. Pénis moyennement grêle; valves basales un peu élargies et courbées vers le haut; valves apicales grêles à apex aigu; sac spermatophore grand. Épiphalle à pont court; lophi courts et larges, à petits crochets; appendices dorso-latéraux un peu plus courts que les lophi, élargis à l'apex, à crochets apicaux courbés vers le haut.

Coloration générale brune à dessin jaune; 2 taches jaunes sur la face près du clypéus; mandibules rouge sombre; 2 bandes dorso-latérales s'étendant du bord pos-

térieur des yeux à l'extrémité abdominale, ces bandes réduites à des taches sur l'abdomen; rangée postoculaire de tubercules, partie inférieure des lobes latéraux du pronotum et pleures jaunes; 2 premières paires de pattes rougeâtres; fémurs postérieurs rouge brunâtre à la face externe, toutes les autres faces rouge terne; croissants des genoux postérieurs bruns; tibias postérieurs brun foncé à épines blanchâtres.

♀. Bien plus grande que le ♂. Corps légèrement fusiforme. Tégument tuberculé, luisant. Antennes de 17 articles. Tête moyennement étroite, conique, fastigium du vertex moins allongé et relativement plus large que chez le ♂. Carène médiane du pronotum presque effacée; pas de carènes latérales. Saillie prosternale comme celle du ♂. Valves inférieures de l'oviscapte à petite saillie latérale arrondie. Bord postérieur de la plaque sous-génitale droit, à étroite saillie triangulaire au milieu. Extrémité de la spermathèque simple, grêle, en S.

Coloration générale vert olive à dessin jaunâtre et rougeâtre. Tête olive verdâtre à tubercules jaunâtres; fastigium du vertex et partie basale des antennes rougeâtres; mandibules rougeâtres; pronotum vert olive à tubercules jaunâtres et bande rougeâtre le long du milieu et le long du bord postérieur; abdomen jaunâtre, à bande rouge brunâtre le long de la partie dorsale et du bord postérieur des tergites; face externe des fémurs postérieurs vert olive; les autres faces rougeâtre terne; tibias postérieurs ocre, apex de l'oviscapte rougeâtre.

MADAGASCAR CENTRE : Ambalavao, massif de l'Andringitra, I-1958, plateau Soaindrana, 2 090 m (*R. Paulian*), Cirque Boby, 2 500 m (*R. Paulian*), forêt Vakoana, 1 530 m (*P. Griveaud*). — Ihosy, pic d'Ivohibe, 2 200 m, XI-1950 (*A. Robinson*).

Genre **Dyscolorhinus** Saussure

Dyscolorhinus Saussure, 1899 : 640; DIRSH, 1963 *b* : 78.

Taille moyenne. Corps allongé, grêle, en cylindre étroit. Tégument rugueux et tuberculé, luisant. Antennes un peu épaissies à la base et rétrécies vers l'apex, à peu près aussi longues que tête et thorax réunis. Fastigium du vertex plus long que large, à apex parabolique, les aréoles peu développées, le sillon moyennement long; tête étroite, conique; côte frontale basse, étroite, sillonnée, un peu élevée et élargie entre les antennes, formant un angle avec le fastigium du vertex; une rangée postoculaire de tubercules. Pronotum cylindrique; carène médiane à peine décelable; carènes latérales représentées par une rangée de tubercules bas; 1 ou 2 faibles sillons traversant le disque; métazone bien plus courte que la prozone, son bord postérieur très légèrement incurvé, presque droit. Saillie prosternale en pyramide courte. Espace mésosternal plus long que large, éloigné de l'espace métasternal. Élytres, ailes et tympan absents. Fémurs postérieurs grêles; lobes inférieurs des genoux postérieurs en angle aigu; tibias postérieurs légèrement élargis vers l'apex et pourvus d'une épine apicale externe. Arolium grand. Dernier tergite abdominal ♂ à profonde incision arrondie. Plaque sus-anale courte, anguleuse; cerques courts, coniques, plaque sous-génitale plus ou moins allongée. Oviscapte court, moyennement épais, à valves courbées à l'apex; bord postérieur de la plaque sous-génitale à parties latérales convexes; partie médiane concave, à étroite saillie triangulaire.

Complexe phallique : cingulum assez grand, dépourvu de valves; pénis fortement courbé; valves basales très élargies; valves apicales fortement rétrécies et courbées vers le haut; à apex aigu; sac spermatophore relativement petit. Épiphalle à pont court et projections antérieures grandes; lophi larges à crochets grands et forts; appendices dorso-latéraux fortement élargis à l'apex.

Espèce type : *Dyscolorhinus squalinus* Saussure, 1899.

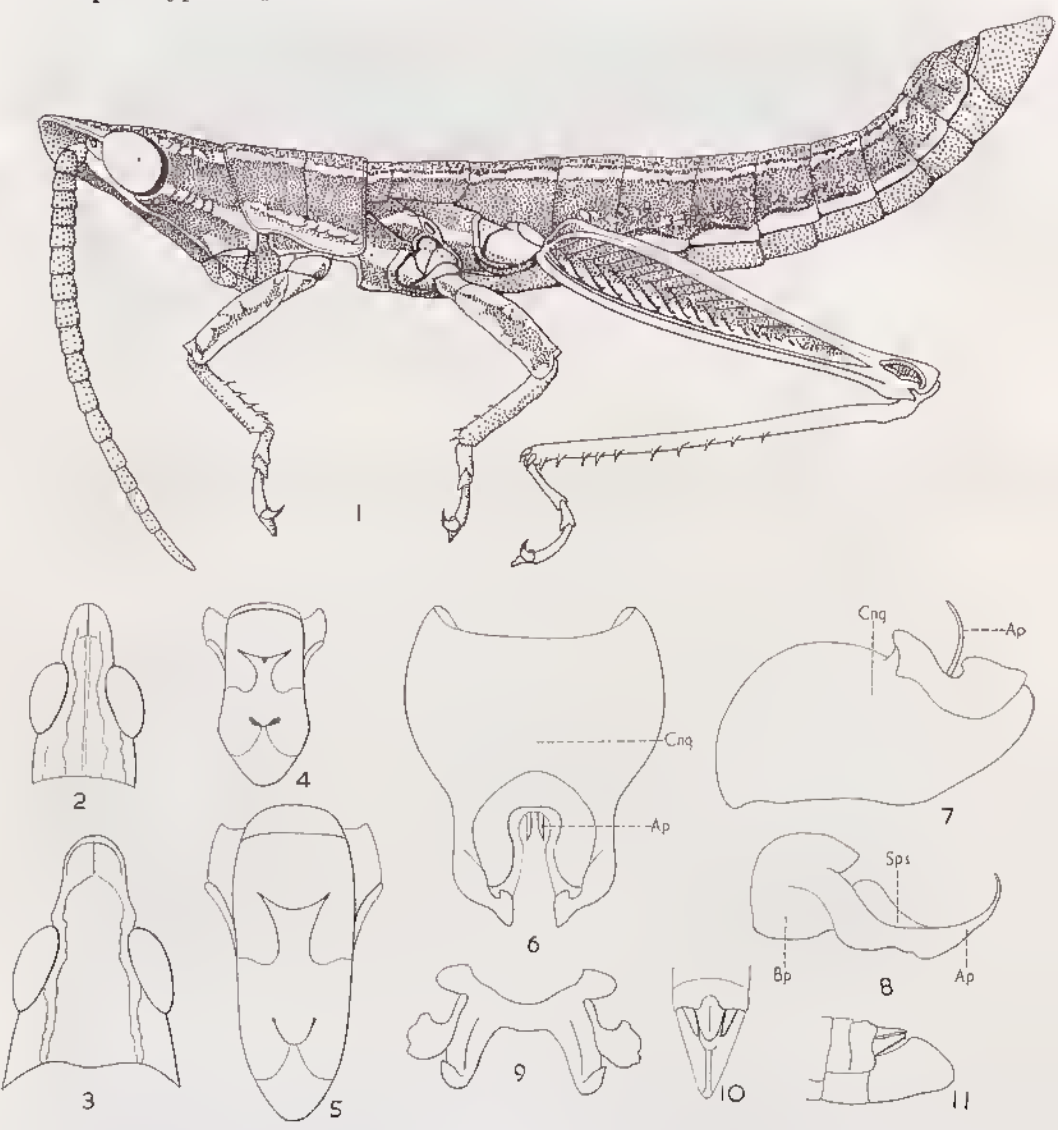


Fig. 22. — *Dyscolorhinus squalinus* Saussure, 1899. — 1, ♂. — 2, Tête ♂ dorsalement. — 3, *id.*, ♀. — 4, Méso- et métasternum ♂. — 5, *id.*, ♀. — 6, Complexe phallique dorsalement, épiphalle et membrane ectophallique enlevés. — 7, *id.*, latéralement. — 8, Pénis et sac spermatophore. — 9, Épiphalle. — 10, Extrémité abdominale ♂ dorsalement. — 11, *id.*, latéralement.

CLÉ DES ESPÈCES (♂, ♀)

1 (2) Plaque sous-génitale ♂ conique; cerques ♂ droits; espace mésosternal fortement rétréci vers l'arrière; ♀ présentant 2 bandes dorso-latérales jaune orangé (fig. 22) . . . . 1. **D. squalinus**

2 (1) Plaque sous-génitale ♂ coudée à angle droit; extrémité des cerques ♂ incurvée vers le bas et l'intérieur; espace mésosternal légèrement rétréci vers l'arrière, ♀ présentant 2 bandes dorso-latérales jaune vert. . 2. **D. vittatus**

1. Dyscolorhinus squalinus Saussure (loc. typ. : Madagascar; lectotype ♀, Musée de Genève).

Dyscolorhinus squalinus Saussure, 1899 : 641; DIRSH, 1963 *b* : 80; KEVAN et *al.*, 1964 : 117; DESCAMPS et WINTREBERT, 1966 *b* : 131.

Fig. 22. — Long. ♂ 16 à 17,5 mm, ♀ 26,6 à 38 mm; pronotum ♂ 2,3 à 2,5 mm, ♀ 4 à 5 mm; fémur postérieur ♂ 7 à 8,2 mm, ♀ 11 à 12,5 mm.

♂. Antennes de 18 articles. Vertex carinulé; tête à 2 rangées dorso-latérales de callosités; carinules de la face fortes, larges. Lobes latéraux du pronotum bien plus longs que hauts, le bord inférieur un peu oblique et sinué.

Coloration générale brun olive ou brun à dessin jaune orange; carènes, tubercules et callosités de la tête, carènes latérales du pronotum et bord inférieur des lobes latéraux jaune orangé; côtés de l'abdomen avec 2 bandes longitudinales jaune orangé. Aire médiane externe des fémurs postérieurs noirâtre varié de jaune vers le haut, jaunâtre vers le bas; aire supéro-externe orangé, aire inféro-interne et face interne rouge orange; face interne des genoux postérieurs brune; tibias postérieurs brun noirâtre.

♀. Bien plus grande que le ♂. Antennes de 18 articles; fastigium du vertex relativement plus large que chez le ♂; vertex non carinulé. Coloration semblable à celle du ♂ mais plus terne, à dessin jaune orangé moins développé.

MADAGASCAR CENTRE : Imerina (*Sikora*). — Tananarive (*Grandidier*); IX-1954 (*R. Paulian*). — 28 km au Sud de Tananarive, X-1966 (*D. Wintrebert*); 50 km, VI-1962; VI-1963, VIII-1966 (*D. Wintrebert*); 70 km, VIII-1966 (*D. Wintrebert*). — Ambatolampy, route du Sud, km 30, face Est de l'Iharanandriana, XII-1953 (*A. Robinson*). — Massif de l'Ankaratra, Manjakatompo, XII-1947 (*P. Cachan*).

2. Dyscolorhinus vittatus Kevan, Akbar et Singh (loc. typ. : Ampefy (Itasy); holotype ♂, allotype ♀, Académie des Sciences de Philadelphie).

Dyscolorhinus vittatus Kevan et *al.*, 1964 : 118.
Dyscolorhinus sp. Descamps et Wintrebert, 1966 *b* : 131.

Long. ♂ 17,7 mm, ♀ 26,5 mm; pronotum ♂ 2,9 mm, ♀ 4,5 mm; fémur postérieur ♂ 8 mm, ♀ 11 mm.

♂. Plus robuste que chez l'espèce type; tégument plus lisse, uniformément ponctué. Antennes de 16 articles plus longues que la tête et le pronotum réunis. Vertex presque droit, finement carinulé; fastigium plus long que large, l'extrémité arrondie; profil

de la face fortement oblique, presque droit; côte frontale étroitement sillonnée; carinules latérales de la face faibles, sinueuses; tubercules postoculaires faiblement développés. Bord postérieur du disque du pronotum presque droit, légèrement incurvé au milieu; sillon typique en arrière du milieu. Mésonotum à peu près aussi long que la métazone du pronotum; métanotum à peu près aussi long que le 1er tergite abdominal. Espace mésosternal à bords subparallèles, de largeur à peu près égale à celle des lobes. Aptère. Pas d'organe tympanal. Bord postérieur du dernier tergite abdominal concave au milieu. Plaque sus-anale en triangle allongé, sillonnée longitudinalement. Cerques relativement grêles, aigus, légèrement courbés vers l'intérieur, atteignant l'extrémité de la plaque sus-anale. Plaque sous-génitale comprimée, l'extrémité en angle aigu arrondi en vision dorsale, en angle droit largement arrondi en vision latérale.

Insecte pourvu de bandes longitudinales de coloration rouge, noire et jaune. Bande médio-dorsale rouge, sur toute la longueur du corps, bordée de 2 bandes noires partant du vertex, elles-mêmes bordées de 2 bandes jaunes. Une bande latérale noire bordée à la partie inférieure d'une bande jaune. Front noir à carinules jaunes. Face ventrale brunâtre. Pattes des 2 premières paires brun rouge. Aire médiane externe des fémurs postérieurs sombre vers le haut, jaune le long du bord inférieur; face supérieure brun rouge; faces inférieure et interne rouges. Tibias postérieurs noirâtres.

♀. Plus grande que le ♂; antennes de 17-18 articles; dernier tergite abdominal excisé; oviscapte court et trapu.

MADAGASCAR CENTRE : Ampefy, Prov. Itasy, I-1950 (*Olsoufieff*). — Tsiafakambo, VIII-1913 (*R. Beck*). — Col des Tapias septentrional, VII-1962 et VIII-1966 (*D. Wintrebert*). — Ambatofinandrahana, VIII-1966 (*D. Wintrebert*). — Col Itremo, IX-1966 (*D. Wintrebert*).

Genre **Ambositracris** Dirsh

Ambositracris Dirsh, 1963 *b* : 80.

Taille moyenne. Corps très allongé, grêle, étroit, cylindrique. Tégument rugueux et luisant. Antennes à peu près aussi longues que la tête et le pronotum réunis, un peu épaissies dans la partie basale; article apical un peu bilobé à l'apex. Fastigium du vertex plus long que large, parabolique, le sillon moyennement long, les aréoles bien développées; tête étroite, conique; front très oblique et légèrement incurvé; côte frontale basse, sillonnée; vertex carinulé; une rangée postoculaire de tubercules. Pronotum cylindrique; carène médiane à peine distincte; pas de carènes latérales; 2 faibles sillons traversant le disque; métazone subégale au 1/4 ou au 1/5 de la longueur de la prozone, son bord postérieur faiblement concave, presque droit. Saillie prosternale en pyramide faisant partie du collier. Espace mésosternal plus long que large en son milieu, éloigné de l'espace métasternal. Élytres, ailes et tympan absents. Fémurs postérieurs grêles, n'atteignant pas l'extrémité de l'abdomen; lobes inférieurs des genoux postérieurs aigus; tibias postérieurs s'élargissant légèrement vers l'apex, pourvus d'une épine apicale externe. Arolium grand. Dernier tergite abdominal ♂ à profonde échancrure ronde. Plaque sus-anale très petite, étroite, triangulaire; cerques subconiques, un peu incurvés, à apex obtus; plaque sous-génitale à extrémité trilobée parcourue par 3 carinules, les carinules latérales faisant saillie sur les côtés de la

plaque. Oviscapte moyennement long, à valves courbées à l'apex; plaque sous-génitale ♀ trilobée, à lobes latéraux larges et courts et lobe médian étroit et anguleux.

Complexe phallique : cingulum rétréci au milieu, pourvu de valves; processus ventral très long. Valves basales du pénis moyennement élargies; valves apicales étroites, à apex aigu. Épiphalle à pont moyennement long; lophi larges, à grands crochets; appendices dorso-latéraux s'élargissant vers l'apex.

Spermathèque étroite, à 2 diverticules, l'unité préapicale très petite.

Espèce type : *Ambositracris ornatus* Dirsh, 1963.

Très proche superficiellement par la forme du corps et la coloration de *Dyscolorhinus* Saussure, mais la structure de la plaque sous-génitale ♂ est totalement diffé-

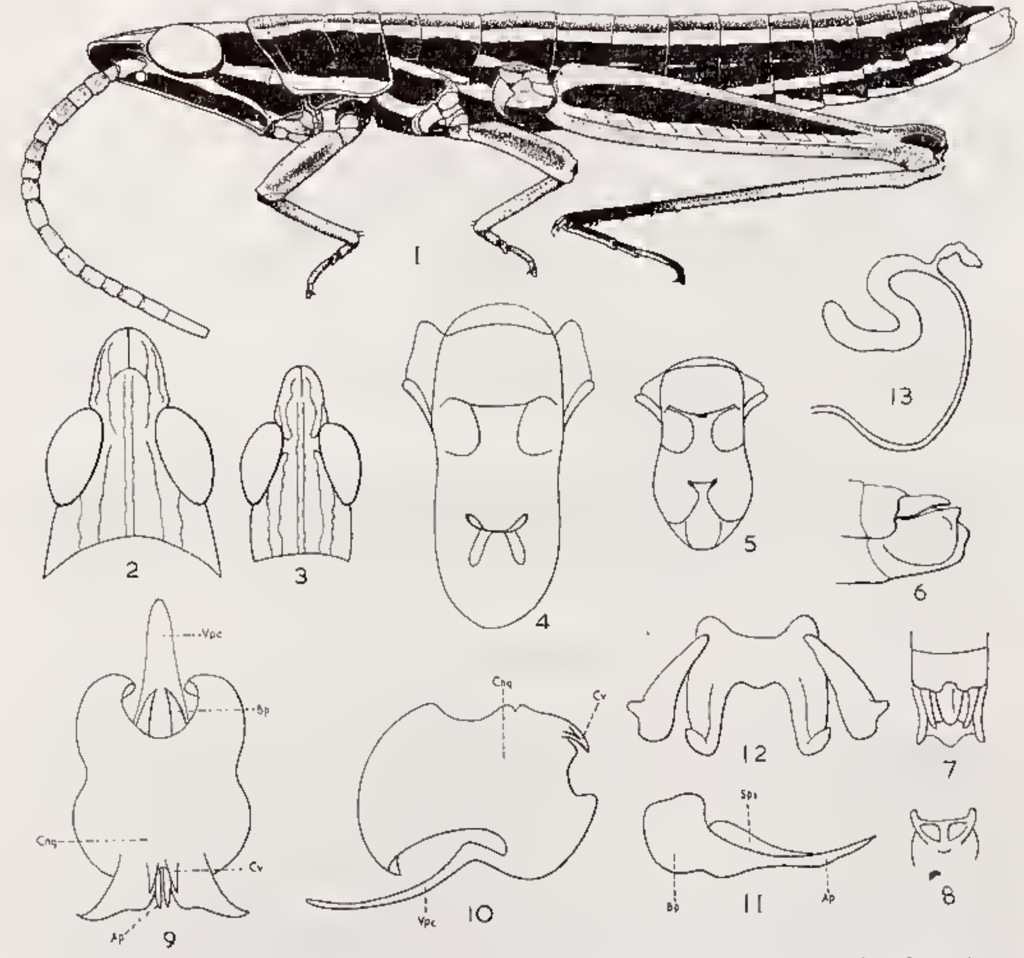


Fig. 23. — *Ambositracris ornatus* Dirsh, 1963, ♂, type. — 1, ♂. — 2, Tête ♀ dorsalement. — 3. *id.*, ♂, — 4, Méso- et métasternum. ♀. — 5, *id.*, ♂. — 6. Extrémité abdominale ♂ latéralement, — 7, *id.*, dorsalement. — 8, Plaque sous-génitale ♂ en vision apicale. — 9, Complexe phallique dorsalement, épiphalle et membrane ectophallique enlevés. — 10, *id.*, latéralement. — 11, Pénis et sac spermatophore. — 12, Épiphalle. — 13, Spermathèque.

rente. Chez *Dyscolorhinus* cette plaque est simple, tandis que chez *Ambositracris* elle a un apex et des côtés très complexes. Le complexe phallique diffère aussi dans les 2 genres (fig. 22, 23) au point qu'il n'existe aucune parenté entre eux.

1. **Ambositracris ornatus** Dirsh (loc. typ. : Ambositra, Ankazomivady; type ♂, Muséum Paris).

Ambositracris ornatus Dirsh, 1963 *b* : 82; Descamps et Wintrebert, 1966 *b* : 131.

Fig. 23. — Long. ♂ 15,3 mm, ♀ 20,6 à 23 mm; pronotum ♂ 1,9 à 2,6 mm, ♀ 3,2 à 3,9 mm; fémur postérieur ♂ 6,5 à 9 mm, ♀ 9 à 11,6 mm.

♂. Petit. Antennes de 17 articles. Fastigium du vertex et dessus de la tête avec une paire de callosités latérales longitudinales. Lobes latéraux du pronotum bien plus longs que hauts, le bord inférieur un peu oblique et sinué. Espace mésosternal à apex fortement élargi; lobes mésosternaux arrondis.

Coloration générale brune à dessins jaunes; carinules latérales du fastigium du vertex et de la tête, carènes faciales et rangée postoculaire de tubercules jaunes; disque du pronotum avec 2 bandes latérales jaunes; lobes latéraux du pronotum avec une large bande jaune le long du bord inférieur; pleures à bandes jaunes; côtés de l'abdomen avec 2 bandes longitudinales sombres séparées par des traits jaunes; aire médiane externe des fémurs postérieurs jaune à bande longitudinale noirâtre, face supérieure et face interne rouge orangé; face interne des genoux postérieurs brune; tibias postérieurs brun noirâtre.

♀. Comme le ♂ mais bien plus grande. Antennes de 17 ou 18 articles. Valves inférieures de l'oviscapte à petite saillie latérale anguleuse. Coloration générale comme chez le ♂ mais plus terne.

Madagascar Centre : Tsiroanomandidy, forêt sur l'Ambohiby, 1 600 m, V-1948 (*R. Paulian*). — Ambatolampy, massif de l'Ankaratra, col de Faratsiho, 2 000 m (*R. Paulian*). — Ambositra, Ankazomivady, 1 640 m, VII-1957 (*A. Robinson*). — Vohipotsy, sur *Helichrysum*, VI-1962 (*D. Wintrebert*). — Col des Tapias septentrional, VI-1963 (*D. Wintrebert*). — Mandalahy, X-1964 (*D. Wintrebert*).

Genre **Sagittacris** Dirsh

Sagittacris Dirsh, 1963 *b* : 82.

Taille moyenne. Corps grêle, allongé. Tégument finement rugueux. Antennes filiformes, plus longues que la tête et le pronotum réunis. Tête allongée, conique; fastigium du vertex allongé, étroitement anguleux, le sillon moyennement long, les aréoles peu développées; front, de profil, légèrement sinué; côte frontale très basse, comprimée en lamelle à la partie supérieure, sillonnée sur toute sa longueur et un peu échancrée à l'apex. Pronotum cylindrique, à trace de carène médiane et sans carènes latérales; 3 faibles sillons traversant le disque; métazone subégale au 1/5 de la prozone, son bord postérieur droit. Processus prosternal conique, à apex obtus. Espace mésosternal ouvert, éloigné de l'espace métasternal. Élytres, ailes et tympan absents. Fémurs postérieurs grêles, ne dépassant pas l'apex de l'abdomen. Une épine apicale externe aux tibias postérieurs; tarses allongés, de longueur subégale à la moitié des

tibias. Arolium grand. Plaque sus-anale ♂ simple, étroitement anguleuse; cerques simples, coniques; plaque sous-génitale courte, subconique.

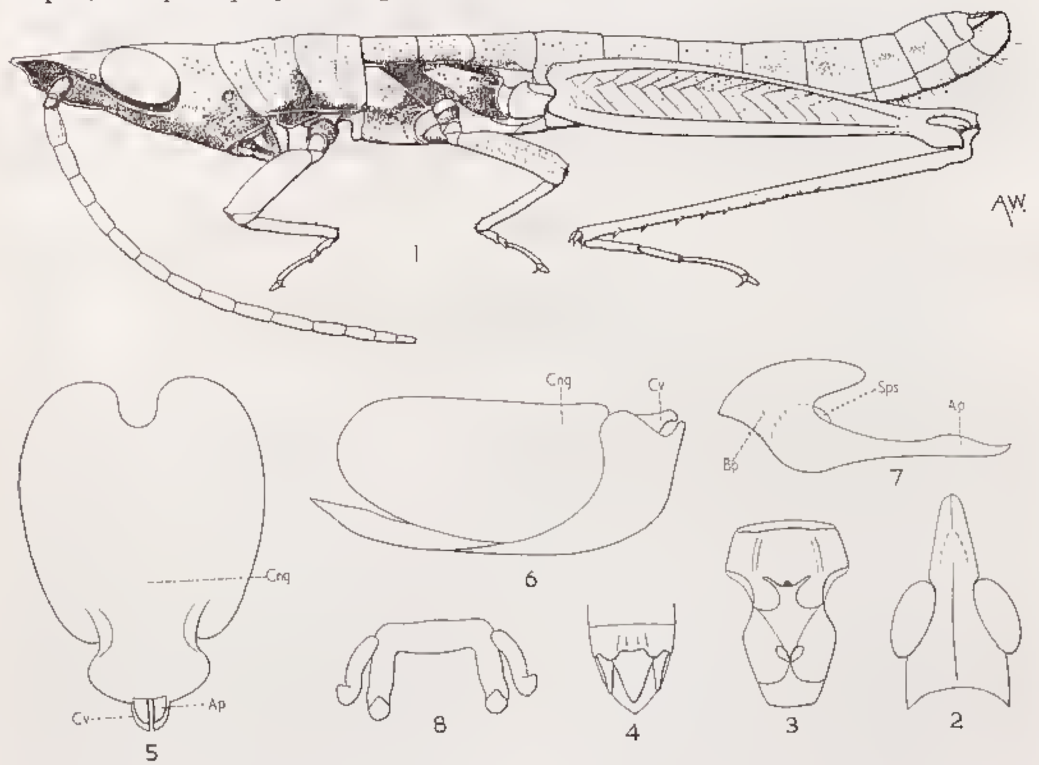


Fig. 24. — *Sagittacris malagassus* Dirsh, 1963, ♂, type. — 1, ♂. — 2, Tête dorsalement. — 3, Méso- et métasternum. — 4, Extrémité abdominale dorsalement. — 5, Complexe phallique dorsalement, épiphalle et membrane ectophallique enlevés. — 6, *id.*, latéralement. — 7, Pénis et sac spermatophore. — 8, Épiphalle.

Complexe phallique : cingulum piriforme à valves courtes; valves basales du pénis fortement courbées vers le haut et élargies; valves apicales droites, à apex aigu; sac spermatophore petit. Épiphalle à pont court; lophi robustes à crochets forts.

Espèce type : *Sagittacris malagassus* Dirsh, 1963.

Ce genre diffère beaucoup de tous les genres connus de *Pyrgomorphidae;* il est tout juste possible de le considérer comme très vaguement parent de *Parorthacris* Dirsh, 1957.

1. Sagittacris malagassus Dirsh (loc. typ. : Manambato; type ♂, Muséum Paris).

Sagittacris malagassus Dirsh, 1963 *b* : 83.

Fig. 24. — Long. 24 mm; pronotum 3,6 mm; fémur postérieur 10 mm.

♂. Antennes de 15 articles; article apical un peu échancré à l'apex. Vertex faiblement carinulé. Lobes latéraux du pronotum bien plus longs que hauts, leur

bord inférieur presque droit, l'angle antérieur largement arrondi, l'angle postérieur faiblement échancré. Espace mésosternal à partie antérieure élargie et profonde fovéole; lobes mésosternaux courts, arrondis; espace métasternal remplacé par 2 dépressions foliiformes. Lobes inférieurs des genoux postérieurs étroits, atténués, à apex obtus. Bord postérieur du dernier tergite abdominal ♂ à découpure médiane peu profonde, limitée par 2 petites saillies arrondies.

Coloration générale brunâtre; face ventrale ocre; 2 points ocre sur les pleures; tibias et tarses postérieurs rouge vif.

Madagascar Est : Fénérive, Manambato, sur l'Anove (*A. Robinson*).

Le ♂ type est seul connu.

Genre **Pyrgohippus** Dirsh

Pyrgohippus Dirsh, 1963 *b* : 84.

Petit. Corps du ♂ cylindrique, celui de la ♀ légèrement fusiforme. Tégument granuleux. Antennes épaisses, presque filiformes, épaissies à la base, bien plus courtes que la tête et le pronotum réunis. Fastigium du vertex moyennement court, à apex parabolique, le sillon court, les aréoles peu développées; tête conique; front incurvé; côte frontale basse, sillonnée, comprimée et saillante entre les antennes, échancrée à l'apex. Pronotum cylindrique, un peu élargi vers l'arrière, dépourvu de carènes; 2 sillons traversant le disque; métazone subégale au 1/3 de la prozone, le bord postérieur droit. Processus prosternal du ♂ court, pyramidal, celui de la ♀ transverse, tuberculiforme. Espace mésosternal plus long que large, écarté de l'espace métasternal. Élytres, ailes et tympan absents. Fémurs postérieurs relativement courts, leurs lobes basilaires égaux; 1 épine apicale externe aux tibias postérieurs. Arolium grand. Dernier tergite abdominal grand, avec 2 grandes saillies anguleuses. Plaque sus-anale courte; plaque sous-génitale légèrement comprimée, conique, allongée. Oviscapte court, moyennement épais, à valves presque droites. Plaque sous-génitale à saillie médiane anguleuse.

Complexe phallique : cingulum large, à grande et forte sclérification dorsale, dépourvu de valves; valves du pénis en courbe irrégulière; valves basales légèrement élargies; valves apicales en forme de jambe humaine. Épiphalle à pont large; ancorae petites, anguleuses; lophi courts, à crochets aigus, appendices dorso-latéraux à apex claviforme.

Extrémité de la spermathèque simple, en courbe irrégulière, vermiculaire.

Espèce type : *Pyrgohippus pallidus* Dirsh, 1963.

Ce genre rappelle *Gymnohippus* Bruner mais en diffère par la forme des cerques du ♂, du dernier tergite abdominal et, en particulier, par la structure du complexe phallique qui est remarquablement différent. Il ne peut être placé avec certitude dans aucun des groupes de genres connus ni à leur voisinage.

1. **Pyrgohippus pallidus** Dirsh (loc. typ. : Anakao (Bas), type ♂, Muséum Paris).

Pyrgohippus pallidus Dirsh, 1963 *b* : 84; Descamps et Wintrebert, 1966 *b* : 100.

Fig. 25. — Long. ♂ 15,5 à 19,6 mm, ♀ 22 à 26 mm; pronotum ♂ 2,5 à 3,9 mm, ♀ 3,5 à 5,6 mm; fémur postérieur ♂ 7,3 à 10,7 mm, ♀ 7,1 à 10,6 mm.

♂. Corps cylindrique. Antennes de 14 articles. Tête fortement granuleuse; fastigium du vertex plus long que large, parabolique; 1 courte carinule sur le vertex; carinules de la côte frontale basses. Lobes latéraux du pronotum plus longs que hauts, le bord inférieur un peu oblique. Espace mésosternal à peu près 2 fois plus long que large en son milieu, à côtés incurvés; espace métasternal réduit à une fente verticale,

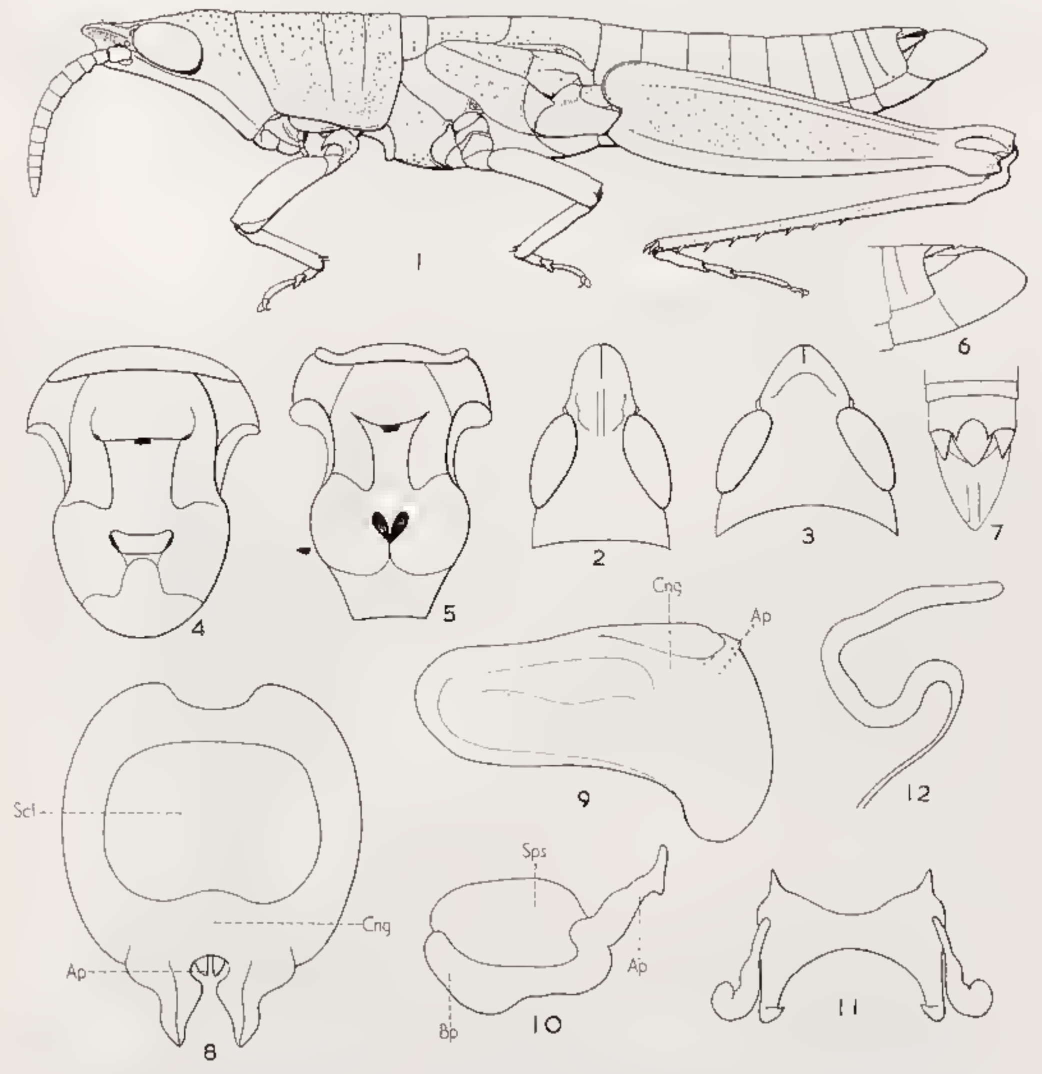


FIG. 25. — *Pyrgohippus pallidus* Dirsh, 1963, ♂, type. — 1, ♂. — 2, Tête ♂ dorsalement. — 3, *id.*, ♀. — 4, Méso- et métasternum, ♀. — 5, *id.*, ♂. — 6, Extrémité abdominale ♂ latéralement. — 7, *id.*, dorsalement. — 8, Complexe phallique dorsalement, épiphalle et membrane ectophallique enlevés. — 9, *id.*, latéralement. — 10, Pénis et sac spermatophore. — 11, Épiphalle. — 12, Spermathèque.

surmontée de fovéoles. Lobes inférieurs des genoux postérieurs anguleux. Coloration générale ocre pâle, sans aucun dessin; tibias postérieurs verdâtres.

♀. Plus grande que le ♂; corps un peu comprimé et légèrement fusiforme. Antennes de 10 ou 11 articles. Tête fortement granuleuse; fastigium du vertex moins long que large; vertex non carinulé. Pronotum un peu comprimé. Espace mésosternal un peu plus long que large, à côtés légèrement incurvés, espace métasternal transverse. Valves inférieures de l'oviscapte à saillie latérale anguleuse. Pour le reste, semblable au ♂.

Madagascar Sud : Betioky, Anakao (Bas), IV-1953 (*A. Robinson*). — Lac Tsimanampetsotsa, V-1951 (*R. Paulian*); Efoetsy, V-1951 (*A. Robinson*). — Ampanihy, Itampolo, V-1961 (*R. Paulian*). — Beheloka, sur *Zygophyllum depauperatum*, VI-1962 et XI-1963 (*D. Wintrebert*). — Lavanono, Betindria, II-1964 (*P. Dechappe*). — Betandriaka, X-1963 (*J. Téteforl*). — Beloha, III-1963 (*J. Téteforl*).

Genre **Acanthopyrgus** Descamps et Wintrebert

Acanthopyrgus Descamps et Wintrebert, 1966 *a* : 27; 1966 *b* : 127.

♂ subcylindrique, ♀ légèrement mais nettement fusiforme. Pas de carinule vertico-occipitale. Saillie prosternale taillée en biseau de bas en haut et d'avant en arrière. Fémurs antérieurs du ♂ renflés et armés, à la face externe, d'une rangée de très fortes épines odontiformes. Tarses postérieurs très longs chez les 2 sexes, égalant au moins la moitié des tibias correspondants, ces derniers non nettement comprimés frontalement sur la moitié apicale. Cerques du ♂ coniques, toujours plus courts que la plaque sus-anale. Subaptère : vestiges élytraux constitués d'un double repli tégumentaire toujours très net; pas de vestiges alaires ni d'organe tympanal. Coloration vive à plages claires bien délimitées chez le ♂, moins vive, mais non pas terne chez la ♀.

Épiphalle sans projections antérieures bien différenciées; membrane ectophallique non fortement sclérifiée à la partie dorso-médiane, ne formant pas d'évaginations latérales. Valves du cingulum recourbées vers le bas, simples; membrane centrale du cingulum non nettement différenciée. Valves basales du pénis fortement recourbées dorsalement et vers l'arrière; valves apicales sans suture subterminale. Genre connu seulement de l'Est et du Centre de Madagascar.

Espèce type : *Geloius finoti* I. Bolivar, 1905.

Clé des espèces (♂)

1 (2) Face dorsale de l'insecte brun rouille varié de petites taches brun plus foncé; antennes plus courtes que les fémurs postérieurs, subégales à la distance comprise entre l'extrémité du fastigium et le milieu du métanotum, composées d'articles de section triangulaire, les plus longs moins de 2 fois plus longs que larges . . . . 1. **A. finoti**

2 (1) Face dorsale de l'insecte uniformément noire; antennes plus longues que les fémurs postérieurs, subégales à la distance comprise entre l'extrémité du fastigium et le bord postérieur du 1er tergite abdominal, composées d'articles de section non nettement triangulaire, de nombreuses unités

3 fois plus longues que larges. Aire antéro-médiane du pronotum présentant une petite saillie particulièrement visible de profil. (♀ *inconnue*) . . . . 2. **A. longicornis**

1. Acanthopyrgus finoti (I. Bolivar), (loc. typ. : Madagascar; lectotype ♂, Muséum Paris).

Geloius finoti I. Bolivar, 1905 : 285; DIRSH, 1963 *b* : 88; KEVAN et *al.*, 1964 : 124.
Geloius nasutus (♂) Saussure, 1899 : 639; KEVAN et *al.*, 1964 : 121.
Acanthopyrgus finoti (I. Bolivar, 1905) DESCAMPS et WINTREBERT, 1966 *a* : 28; 1966 *b* : 128.

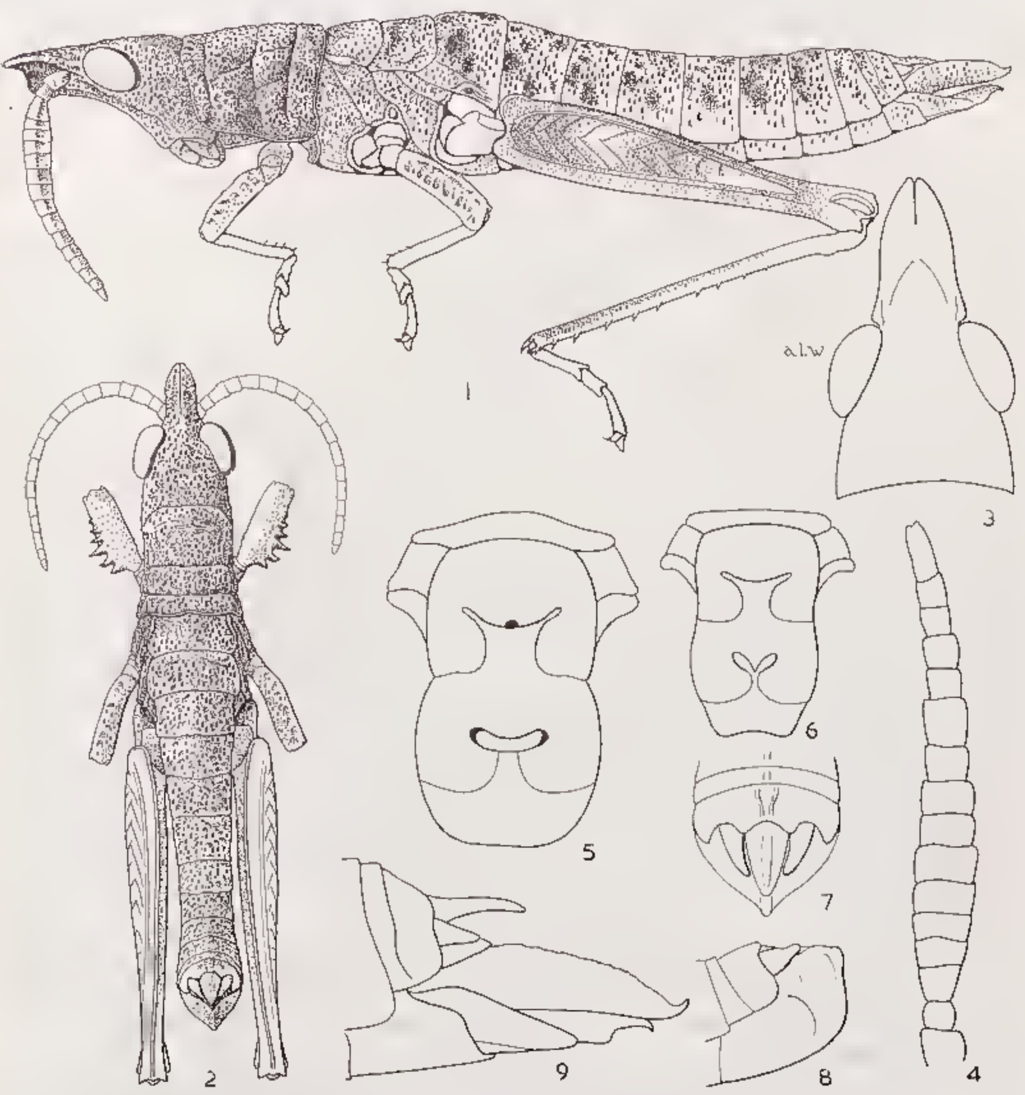


FIG. 26. — *Acanthopyrgus finoti* (I. Bolivar, 1905). — 1, ♀. — 2, ♂. — 3, Tête ♀ dorsalement. — 4, Antenne ♂. — 5, Méso- et métasternum ♀. — 6, *id.*, ♂. — 7, Extrémité abdominale ♂ dorsalement. — 8, *id.*, latéralement. — 9, Extrémité abdominale ♀ latéralement.

Fig. 26, 27. — Long. ♂ 21 à 25,7 mm, ♀ 38 à 40 mm; pronotum ♂ 3,5 à 4 mm, ♀ 5,4 à 6 mm; fémur postérieur ♂ 10,5 à 12 mm, ♀ 13,5 à 14 mm.

♂. Taille moyenne. Tégument rugueux. Antennes moyennement épaissies, de 16 articles. Fastigium du vertex allongé, en angle étroit, ses bords latéraux excurvés à la base; côte frontale fortement saillante entre les antennes; processus frontal de la tête long, à incision apicale moyennement profonde. Ocelles rudimentaires. Pronotum tuberculé et rugueux; bord postérieur droit avec une petite incision superficielle au milieu. Espace mésosternal en X, à profondes fossettes. Abdomen moyennement rugueux. Face externe des fémurs antérieurs armée de 5 grandes dents. Fémurs postérieurs moyennement étroits, l'aire médiane externe à dessin rhomboïdal indistinct;

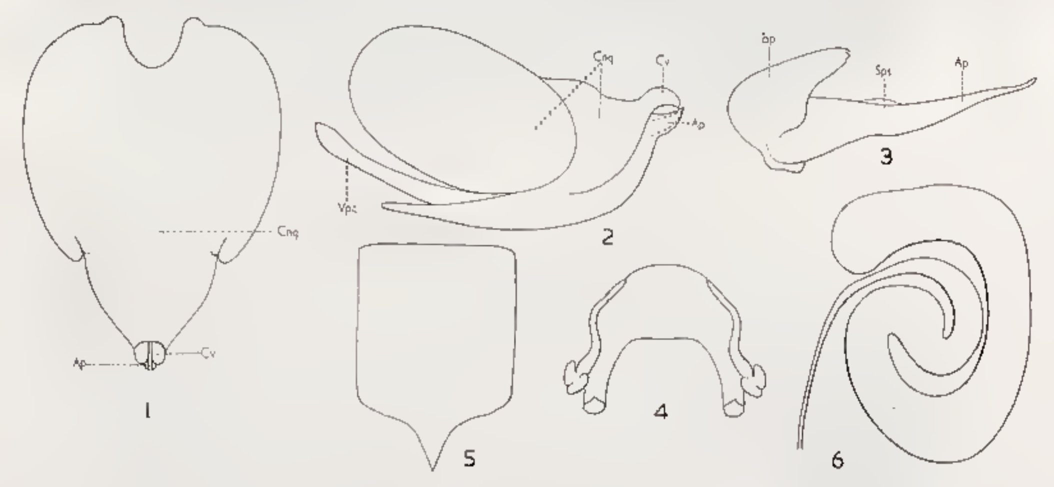


Fig. 27. — *Acanthopyrgus finoti* (I. Bolivar, 1905). — 1, Complexe phallique dorsalement, épiphalle et membrane ectophallique enlevés. — 2, *id.*, latéralement. — 3, Pénis et sac spermatophore. — 4, Épiphalle. — 5, Plaque sous-génitale ♀. — 6, Spermathèque.

lobe inférieur des genoux postérieurs anguleusement saillant. Plaque sus-anale allongée, triangulaire, traversée par un sillon longitudinal superficiel; cerques courts, coniques, un peu courbés en dedans; plaque sous-génitale courte, subconique.

Complexe phallique : cingulum piriforme, les valves grandes et un peu courbées vers le bas. Valves basales du pénis grandes, dilatées et excurvées; valves apicales étroites, aiguës à l'apex. Pont de l'épiphalle long, le bord antérieur convexe; lophi largement séparés, à crochets forts; appendices dorso-latéraux longs, courbés, à apex claviforme trilobé.

Coloration générale ocre à nombreux points brunâtres ne formant pas un dessin défini. Pronotum à points brun rougeâtre; lobes latéraux à large bande longitudinale à la partie inférieure; face externe des fémurs postérieurs ocre, face interne brune; tibias postérieurs brunâtres.

♀. Diffère du ♂ par sa taille plus grande. Antennes de 16 articles. Espace métasternal transverse, à profondes fossettes latérales. Plaque sus-anale étroite, allongée, à suture transverse au milieu; cerques courts, coniques; plaque sous-génitale à saillie

apicale en angle aigu; valves de l'oviscapte relativement grêles: valves supérieures étroites, le bord externe, de profil, excurvé et crénelé; valves inférieures à petite saillie latérale. Spermathèque à diverticule apical simple, courbé en spirale.

Coloration semblable à celle du ♂ mais la face externe des fémurs postérieurs à fascie transverse ocre; genoux postérieurs et base des tibias postérieurs orangés.

MADAGASCAR EST : Perinet, III-1935 (*A. Seyrig*); XII-1963 (*E. Raharizonina, chasseurs de l'I.R.S.M.*).

MADAGASCAR CENTRE [1] : Ambatoloana, 1907 (*Bernard*). — La Mandraka, I-1935 (*A. Seyrig*). — Ambatolampy, Andranotobaka, 1 400 m, IV-1957 (*P. Griveaud*).

2. Acanthopyrgus longicornis Descamps et Wintrebert (loc. typ. : Anjanaharibe; holotype ♂, Muséum Paris).

Acanthopyrgus longicornis Descamps et Wintrebert, 1966 *a* : 28; 1966 *b* : 128.

Fig. 28. — Pronotum ♂ 5 mm; antenne ♂ 15,4 mm; fémur postérieur ♂ 13,1 mm.

♂. Très nettement plus grand que *A. finoti*. Face concave mais non nettement anguleuse de profil. Côte frontale réduite à un fin sillon au-dessous de l'ocelle médian, plus nette mais peu saillante au-dessus, comprimée entre les antennes puis brusquement interrompue. Ocelles vestigiaux. Fastigium horizontal, triangulaire, environ 1,5 fois plus long que large à la base, les bords latéraux presque droits, l'extrémité arrondie. Espace interoculaire déprimé transversalement, parcouru par une petite carinule. Yeux fortement saillants, subhémisphériques; distance infra-oculaire subégale au plus grand diamètre de l'œil. Antennes nettement plus longues que les fémurs postérieurs, subégales à la distance comprise entre l'extrémité du fastigium et le bord postérieur du 1er tergite abdominal; 18 articles séparés par des étranglements bien nets à partir du 9e, les unités basales de section non nettement triangulaires; articles 2-5 transverses de profil; articles 10-16, 3 fois plus longs que larges; article terminal incisé à l'extrémité, 1,5 fois plus long que le précédent. Disque du pronotum rugueux, renflé au milieu, la métazone plus basse que la prozone et égale à peu près au 1/6 de la longueur totale; bord postérieur très légèrement sinueux. Lobes latéraux presque lisses sur la moitié inférieure, l'angle postérieur tronqué, le bord postérieur concave. Espace mésosternal étroit, rétréci au milieu; bord postérieur des lobes mésosternaux droit. Subaptère; vestiges élytraux constitués d'un double repli tégumentaire bien net, dépassant un peu le bord postérieur du pronotum; pas de vestiges alaires. Fémurs antérieurs très épais, le bord externe armé de 5 longues épines, la plus longue étant la médiane; 2 épines moins longues de part et d'autre de l'unité apicale; faces supérieure et interne avec quelques mamelons épais. Tarses postérieurs égalant à peu près 0,7 fois la longueur des tibias correspondants, arolium égalant la moitié des griffes. Abdomen finement caréné, les tergites creusés de cupules plus régulières et plus fines que chez *A. finoti*. Dernier tergite pourvu d'une dépression médiane bordée de 2 côtes, s'élargissant légèrement d'arrière en avant; bord postérieur à concavité médiane limitée par 2 petits lobes peu

---

[1] Le lectotype, provenant des récoltes de SIKORA et étiqueté seulement « Madagascar » provient sans doute de la région de Mantasoa dans le Centre, d'où est originaire l'essentiel du matériel de ce collecteur. — R. P.

saillants encadrant la plaque sus-anale; cette dernière très allongée, triangulaire, rugueuse, sillonnée, l'extrémité très étroite. Cerques coniques, atteignant les 2/3 de la plaque sus-anale. Plaque sous-génitale peu saillante, l'extrémité redressée, comprimée latéralement et convexe de profil.

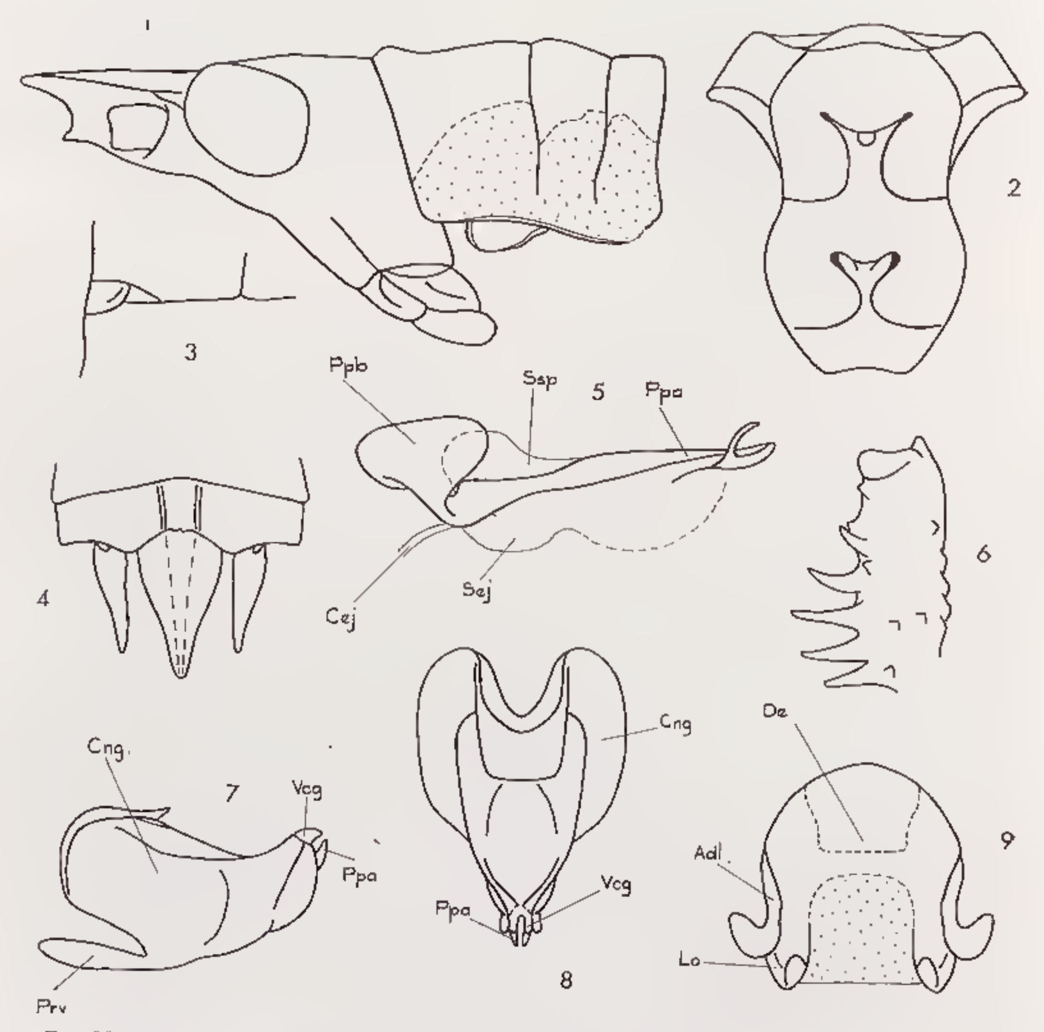


Fig. 28. — *Acanthopyrgus longicornis* Descamps et Wintrebert, 1966, ♂, type. — 1, Tête et pronotum latéralement. — 2, Méso- et métasternum. — 3, Vestige élytral. — 4, Extrémité abdominale dorsalement. — 5, Endophalle latéralement. — 6, Fémur antérieur dorsalement. — 7, Ectophalle latéralement. — 8, *id.*, dorsalement. — 9, Épiphalle.

Insecte richement coloré; plages noires, jaunes et rouges bien tranchées. Partie supérieure de la capsule céphalique, pièces buccales et face, depuis l'extrémité du fastigium jusqu'au bord inférieur des yeux, de coloration noire; reste de la tête jaune vif avec une plage rectangulaire noire au milieu de la face, le bord supérieur de cette

plage en dents de scie. Partie supérieure du pronotum noire, à reflets rougeâtres; les 2/3 inférieurs des lobes latéraux jaunes. Mésonotum, métanotum et sternites thoraciques jaunes, les pleures de coloration noire. Pattes antérieures rouges; pattes médianes et fémurs postérieurs jaunes; tibias postérieurs avec 1/3 basal jaune, le reste brun violacé. Abdomen noir virant au brun rougeâtre à l'extrémité.

Complexe phallique : ensemble peu sclérifié, sauf l'endophalle. Disque de l'épiphalle très grand, le bord antérieur convexe; appendices dorso-latéraux en forme de massue recourbée. Ectophalle fortement élargi d'arrière en avant, en forme de navette, pas de membrane du cingulum bien différenciée; valves du cingulum recourbées ventralement; processus ventral large, subrectangulaire. Partie basale du pénis fortement redressée et courbée vers l'arrière.

Seul le type est connu.

MADAGASCAR EST : Massif du Marojejy, Betsakotsako, Anjanaharibe, sous-préfecture d'Andapa, 1 030 m, XI-1961 (*P. Soga*).

Genre **Geloius** Saussure

Geloius Saussure, 1899 : 637; DIRSH, 1963 *b* : 86; DESCAMPS et WINTREBERT, 1966 *a* : 26; 1966 *b* : 108.

Corps grand, allongé, cylindrique chez les 2 sexes. Tégument rugueux. Antennes subégales à la longueur de la tête et du pronotum réunis, larges, un peu amincies vers l'extrémité; article terminal légèrement bilobé. Fastigium du vertex allongé, anguleux, les aréoles peu développées. Côte frontale comprimée entre les antennes, faiblement sillonnée, à carinules basses; front fortement concave de profil. Yeux saillants, ovales; ocelles vestigiaux. Une carinule vertico-occipitale. Pronotum cylindrique, la carène médiane faible, le disque traversé par 2 sillons, la métazone bien plus courte que la prozone. Saillie prosternale de section carrée, la partie postérieure convexe. Fémurs antérieurs du ♂ peu renflés, jamais épineux; tarses postérieurs nettement plus courts que la moitié des tibias correspondants, ces derniers comprimés frontalement vers l'extrémité. Microptère; élytres ne dépassant pas le métanotum; ailes vestigiales. Extrémité abdominale du ♂ non dilatée, les cerques allongés, dépassant un peu l'extrémité de la plaque sus-anale, courbés vers l'intérieur, jamais coudés ni foliacés. Coloration uniforme, terne, brun terreux avec semis de petites taches brunes ou noires.

Épiphalle à projections antérieures bien différenciées; membrane ectophallique fortement sclérifiée à la partie dorso-médiane et présentant 2 évaginations latérales; valves du cingulum ayant, en vision apicale, l'aspect de 2 petites lunules concaves orientées dorso-ventralement. Partie basale du pénis non fortement recourbée vers l'arrière; partie apicale à suture subterminale.

Espèce type : *Geloius nasutus* Saussure, 1899.

CLÉ DES ESPÈCES (♀)

1 (2) Valves supérieures de l'oviscapte à bord externe très légèrement sinué de profil; fastigium du vertex modérément aminci vers l'extrémité (fig. 29, 30) . . . . 1. **G. nasutus**

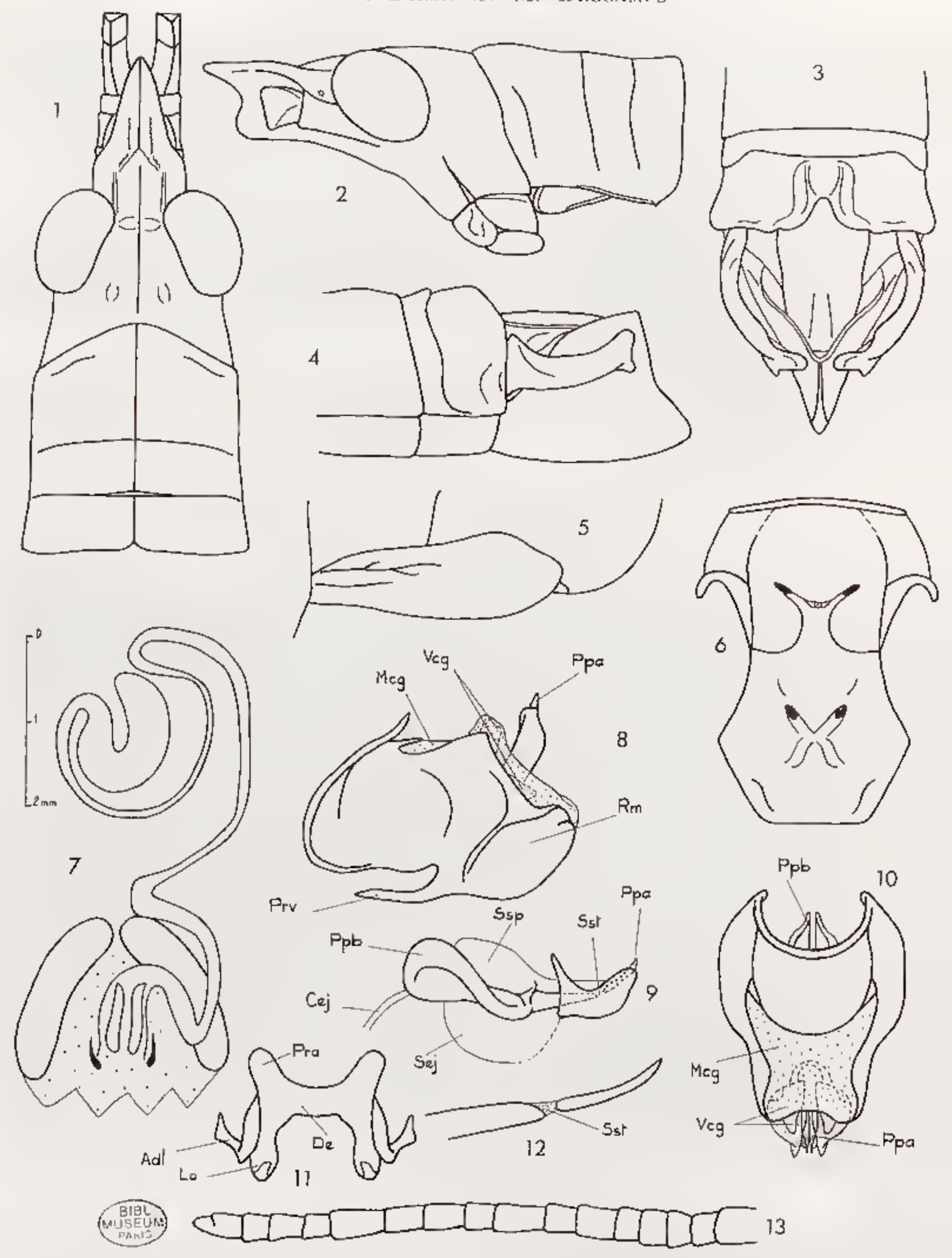


Fig. 29. — *Geloius nasutus* Saussure, 1899, ♂. néallotype. — 1, Tête et pronotum dorsalement. — 2, *id.*, latéralement. — 3, Extrémité abdominale dorsalement. — 4, *id.*, latéralement. — 5, Élytre. — 6, Méso- et métasternum. — 7, Spermathèque. — 8, Ectophalle latéralement. — 9, Endophalle latéralement. — 10, Ectophalle dorsalement. — 11, Épiphalle. — 12, Extrémité du pénis. — 13, Antenne.

2 (1) Valves supérieures de l'oviscapte à bord externe très fortement sinué de profil, s'abaissant brusquement avant la dent terminale; fastigium du vertex à moitié apicale fortement amincie (fig. 31). . 2. **G. crassicornis**

1. **Geloius nasutus** Saussure (loc. typ. : Madagascar; lectotype ♀, Musée de Genève; néallotype ♂, Muséum Paris).

Geloius nasutus Saussure, 1899 : 638 (♀); Dirsh, 1963 *b* : 89 (♀); Kevan *et al.*, 1964 : 121 (♀); Descamps et Wintrebert, 1966 *a* : 27 (♂); 1966 *b* : 111 (♂).

Fig. 29, 30. — Long. ♀ 44 à 47 mm; pronotum ♂ 3,6 mm, ♀ 6 à 6,5 mm; élytre ♂ 1,6 mm; fémur postérieur ♂ 10,4 mm, ♀ 15 à 16,5 mm.

♂. Taille moyenne. Tégument rugueux mais non granuleux. Pilosité grossière sur les pattes et à la face inférieure de l'abdomen. Extrémité de la capsule céphalique, vue de profil, concave. Côte frontale n'atteignant pas l'extrémité du fastigium, limitée par des carinules peu saillantes; ces dernières contiguës au-dessus de l'ocelle médian, un peu divergentes au-dessous. Carènes latérales de la face absentes; sillon suboculaire incomplet. Fastigium triangulaire, environ 1 fois 1/2 aussi long que large à la base, ses bords latéraux droits et parallèles sur le 1/3 basal, sinueux au niveau des fossettes antennaires, puis convergents vers l'extrémité; cette dernière étroite, arrondie; sillon fastigial long; aréoles avec 2 rugosités parallèles rejoignant, à l'arrière, 2 carènes atteignant le bord antérieur des yeux. Carinule vertico-occipitale bien nette, complète. Yeux fortement saillants, un peu allongés dorso-ventralement; espace interoculaire subégal à la largeur du fastigium en son milieu, déprimé transversalement. Antennes implantées un peu en avant de l'ocelle latéral, composées de 16 articles, aussi longues que la distance comprise entre l'extrémité du fastigium et le bord postérieur du métanotum. Pronotum court, cylindrique, ne recouvrant pas le mésonotum, dépourvu de carènes latérales, régulièrement ponctué; quelques rides longitudinales irrégulières limitant le disque dans la prozone; métazone égalant environ le 1/3 de la prozone; bord postérieur droit, très légèrement incisé au milieu; angle postérieur des lobes latéraux tronqué, l'angle antérieur de la troncature marqué d'un granule. Saillie prosternale légèrement inclinée vers l'arrière, la face antérieure subplane, le bord antérieur surélevé et régulièrement convexe; bord supérieur, vu de profil, très largement concave et déclive vers l'arrière. Espace mésosternal longitudinal, distant de l'espace métasternal. Élytres à peu près 3 fois plus longs que leur plus grande largeur, l'extrémité arrondie, atteignant le milieu du métanotum et laissant à découvert l'extrémité des vestiges alaires. Fémurs antérieurs non épineux, épais, non carénés, bosselés. Lobe basal supérieur des fémurs postérieurs arrondi, légèrement rabattu vers l'extérieur. Moitié apicale des tibias postérieurs comprimée frontalement; une épine apicale externe; tarses courts, égalant à peu près le 1/3 des tibias; arolium grand, dépassant l'extrémité des griffes. Pas de tympan auditif. Abdomen caréné dorsalement; bord postérieur du dernier tergite pourvu d'une découpure postérieure étroite, subrectangulaire, limitée par 2 petites saillies. Plaque sus-anale longue, ni sillonnée, ni carénée. Cerques allongés, courbés vers l'intérieur, la base épaisse et suivie d'un brusque rétrécissement, le reste de largeur constante, l'extrémité arrondie avec saillie subapicale sur le bord inférieur. Plaque sous-génitale longue, comprimée latéralement, l'extrémité en angle aigu bien saillant, arrondi à l'apex.

Teinte générale brun terreux avec semis de petites taches diffuses, de coloration plus foncée, notamment à la face dorsale du corps et sur la face externe des fémurs postérieurs. Face interne des fémurs postérieurs ocre foncé; tibias postérieurs bruns, la moitié basale de la face dorsale claire. Vestiges alaires d'une jolie couleur violet améthyste sur le vif, noir violacé sur l'insecte sec.

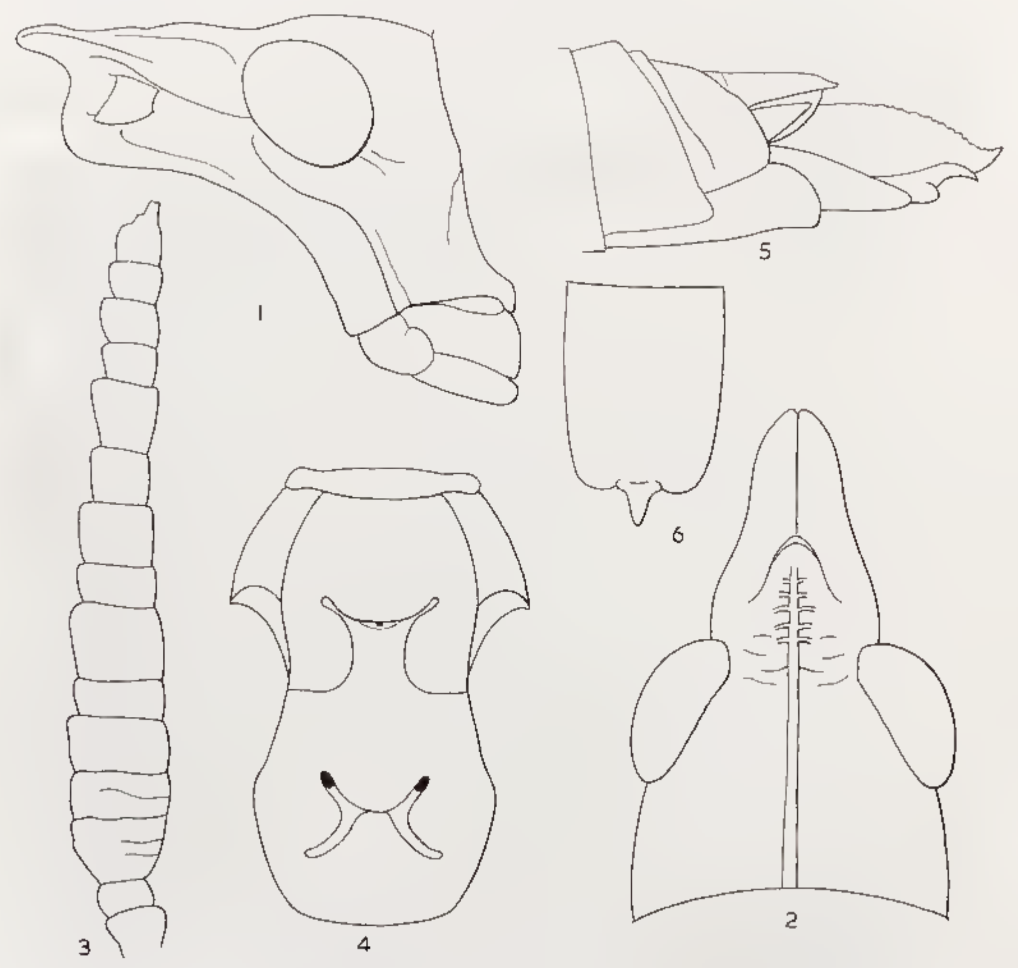


Fig. 30. — *Geloius nasutus* Saussure, 1899, ♀. — 1, Tête latéralement. — 2, *id.*, dorsalement. — 3, Antenne. — 4, Méso- et métasternum. — 5, Extrémité de l'abdomen. — 6, Plaque sous-génitale.

♀. Fastigium du vertex long, les bords un peu excurvés à la base. Pronotum fortement tuberculé, rugueux, le bord postérieur légèrement concave. Plaque sus-anale allongée, anguleuse, à suture transverse au milieu; cerques courts, larges, coniques; plaque sous-génitale à forte saillie médiane subtriangulaire. Valves de l'oviscapte moyennement longues; valves supérieures à bord externe convexe et grossièrement crénelé; valves inférieures à saillie latérale obtuse. Ampoule terminale de la spermathèque simple, en forme de S.

MADAGASCAR OUEST : Morondava, forêt au Sud de Befasy, I-1956 (*R. Paulian*). — Mikoboka (Mahatsola, Betsioky-Mandatsa), I-1964 (*D. Wintrebert*).

MADAGASCAR SUD : Plaine du Fiherenana (*F. Geay*). — Morombe, station agricole du Bas Mongoky (*A. Robinson*). — Tuléar, Sept Lacs, 100 m, II-1955 (*P. Griveaud*). — Clairières d'Enikady, I-1964 (*J. Têtefort*). — Ankalirano (*G. Cadet*).

2. Geloius crassicornis I. Bolivar (loc. typ. : Madagascar; type ♀, Muséum Paris).

Geloius crassicornis I. Bolivar, 1905 : 285; DIRSH, 1963 *b* : 91; DESCAMPS et WINTREBERT, 1966 *b* : 111.

Fig. 31. — Long. 35 mm; pronotum 5 mm; fémur postérieur 12,3 mm (mesures vérifiées sur le type).

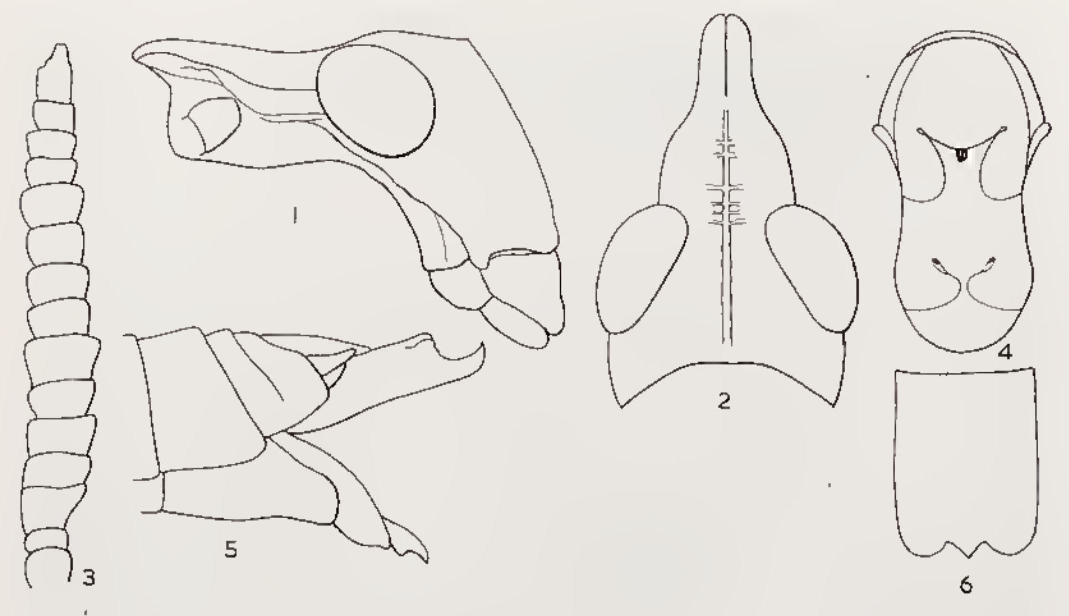


FIG. 31. — *Geloius crassicornis* I. Bolivar, 1905, ♀, type. — 1, Tête latéralement. — 2, *id.*, dorsalement. — 3, Antenne. — 4, Méso- et métasternum. — 5, Extrémité de l'abdomen. — 6, Plaque sous-génitale.

♀. Grande. Tégument fortement rugueux. Antennes fortement épaissies, de 15 articles. Fastigium du vertex long, étroit, à côtés fortement excurvés à la base; carinule du vertex forte; côte frontale bien saillante entre les antennes; processus frontal de la tête long et étroit, l'apex profondément incisé. Ocelles à peine décelables. Pronotum fortement tuberculé et rugueux à bord postérieur tronqué; lobes latéraux à angles arrondis. Espace métasternal en forme de X, les fovéoles séparées. Élytres allongés. Abdomen rugueux. Fémurs antérieurs fortement rugueux. Fémurs postérieurs moyennement étroits; aire médiane externe à dessin en forme de plume; lobe inférieur des genoux postérieurs saillant, à apex arrondi. Plaque sus-anale allongée, anguleuse,

à suture transverse au milieu; cerques courts, coniques; plaque sous-génitale trilobée, à lobes latéraux courts, largement arrondis et lobe médian triangulaire. Valves de l'oviscapte moyennement longues, bord externe des valves supérieures droit et non serrulé; valves inférieures à petite saillie latérale. Coloration générale brunâtre.

Le type seul est connu; ayant été conservé en alcool avant d'être piqué, il est contracté mais cependant intact.

Espèce très proche de *Geloius nasutus* Saussure, mais en différant par la forme de l'oviscapte et de la plaque sous-génitale.

Madagascar : (*Grandidier*).

Genre **Pseudogeloius** Dirsh

Pseudogeloius Dirsh, 1963 *b* : 92; Kevan, 1965 : 515; Descamps et Wintrebert, 1966 *a* : 27; 1966 *b* : 109.

Taille grande; corps allongé, cylindrique. Tégument rugueux. Antennes plus courtes que la tête et le pronotum réunis, de section triangulaire à la base, épaissies; articles perliformes, bien séparés; dernier article légèrement bilobé à l'apex. Fastigium du vertex allongé, anguleux, formant une grande saillie avec la partie supérieure, frontale, de la tête; aréoles du fastigium peu développées; côte frontale comprimée et saillante à la partie supérieure, basse à la partie inférieure, sillonnée sur toute sa longueur, à carinules latérales basses; front de profil fortement concave; yeux petits, fortement convexes, un peu ovales; ocelles vestigiaux; vertex carinulé. Pronotum cylindrique; carène médiane faible, linéaire; carènes latérales à peine décelables, en rides irrégulières; 2 sillons traversant le disque; métazone bien plus courte que la prozone, à bord postérieur droit, ne couvrant pas le mésonotum. Saillie prosternale courte, presque carrée, à apex arrondi et bord antérieur légèrement relevé. Espace métasternal éloigné de l'espace mésosternal. Élytres, ailes et tympan absents. Pattes antérieures et moyennes courtes. Fémurs postérieurs moyennement étroits, comprimés. Une épine apicale externe aux tibias postérieurs. Arolium grand. Apex de l'abdomen ♂ renflé; dernier tergite abdominal très grand, son bord postérieur échancré, plus ou moins bilobé au milieu; plaque sus-anale petite, triangulaire, plus courte que les cerques; ces derniers comprimés et fortement élargis vers l'apex, coudés à angle droit. Plaque sous-génitale courte, subconique, à apex obtus. Plaque sus-anale ♀ anguleuse, à apex obtus; cerques simples, courts, comprimés, anguleux; plaque sous-génitale trilobée; oviscapte moyennement grêle, à valves courbées à l'apex.

Complexe phallique : partie dorsale de la membrane ectophallique et poches latérales additionnelles saillantes vers le haut; valves du cingulum grandes, de forme tourmentée, trilobées; valves du pénis courbées; valves basales fortement élargies, formant une grande projection latérale; valves apicales grêles, à apex aigu. Épiphalle à disque très large, presque carré, peu sclérifié; lophi faisant corps avec le disque, à forts crochets apicaux; appendices dorso-latéraux grêles, plus courts que le disque, à apex courbé et aigu. Spermathèque à extrémité simple, sacculiforme, mais assez grêle.

Espèce type : *Pseudogeloius relictus* Dirsh, 1963.

Proche de *Geloius;* en diffère beaucoup par la structure du dernier tergite abdominal et la structure spéciale des cerques du ♂.

CLÉ DES ESPÈCES (♂) [1]

1 (4) Cerques bifides au niveau de la condure médiane en vision apicale; moitié postérieure très large, foliacée; aire terminale de la plaque sous-génitale divisée en 2 lobes par une profonde découpure médiane 2

2 (3) Concavité du bord postérieur du dernier tergite avec 2 lobes médians peu saillants, nettement moins longs que larges, et séparés jusqu'à la base; bord postérieur des cerques concave (fig. 32, 33) . . . . 2. **P. relictus**

3 (2) Concavité du bord postérieur du dernier tergite avec 2 lobes médians bien saillants, au moins aussi longs que larges, non séparés jusqu'à la base ou subcontigus à ce niveau; bord postérieur des cerques convexe ou droit (fig. 34) . . . . 3. **P. mahafalensis**

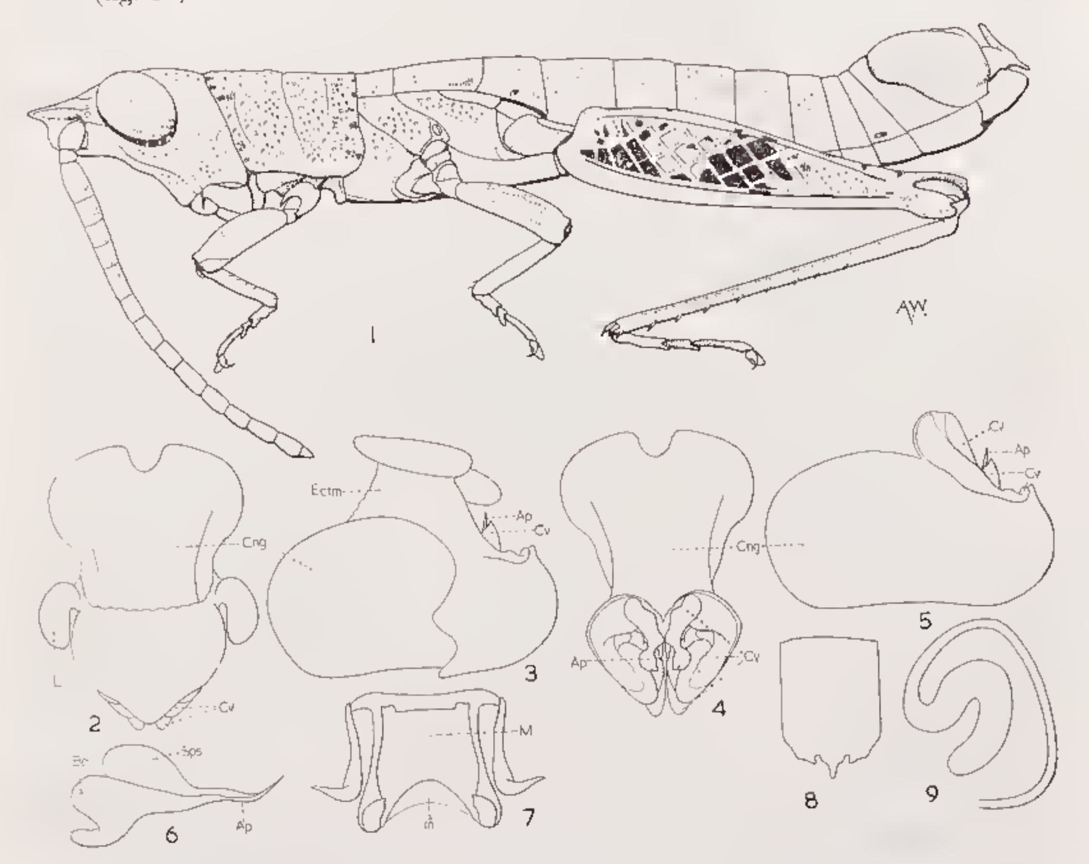


FIG. 32. — *Pseudogeloius relictus*, Dirsh, 1963, ♂, type. — 1, ♂. — 2, Complexe phallique dorsalement, épiphalle et membrane ectophallique enlevés (L. lobes latéraux de la membrane ectophallique). — 3, *id.*, latéralement. — 4, Complexe phallique dorsalement, toute la membrane ectophallique enlevée. — 5, *id.*, latéralement. — 6, Pénis et sac spermatophore. — 7, Épiphalle (*M.* partie membraneuse épaissie; *m.* partie membraneuse plus mince). — 8, Plaque sous-génitale ♀. — 9, Spermathèque.

[1] Sauf *Pseudogeloius decorsei* (I. Bolivar, 1905) dont le type est perdu.

4 (1) Cerques non bifides au niveau de la coudure médiane en vision apicale; moitié postérieure plus étroite que la moitié antérieure, non foliacée; aire terminale de la plaque sous-génitale divisée en 2 lobes par une découpure large et peu profonde 5

5 (6) Concavité du bord postérieur du dernier tergite relativement étroite, limitée par 2 angles bien nets. A la partie médiane, 2 lobes bien saillants, à peu près aussi longs que larges; cerques avec coudure médiane en angle droit, la moitié postérieure de largeur subconstante, très étroite, avec bord postérieur très largement concave (fig. 35) . . . . . . 4. **P. fotadrevae**

6 (5) Concavité du bord postérieur du dernier tergite occupant tout l'espace compris entre les 2 cerques. 7

7 (8) Plaque sous-génitale en angle droit de profil (fig. 36) . . . 5. **P. marolintae**

8 (7) Plaque sous-génitale en angle aigu de profil. . . . . 6. **P. affinis**

1. Pseudogeloius decorsei I. Bolivar (loc. typ. : Ambovombe; type perdu; néotype ♀, Muséum Berlin).

Geloius decorsei I. Bolivar, 1905 : 286; Dirsh, 1963 *b* : 92; Kevan et *al.*, 1964 : 122; Descamps et Wintrebert, 1966 *b* : 115.
Pseudogeloius decorsei (I. Bolivar, 1905); Kevan, 1965 : 516.

Long. ♂ 21 mm, ♀ 42 à 50 mm; pronotum ♂ 2,8 mm, ♀ 4,9 à 5,6 mm; antenne ♀ 9,5 à 10,5 mm; fémur postérieur ♂ 8,5 mm, ♀ 13 à 13,5 mm.

Espèce basée sur 1 ♂ et 1 ♀ déposés, selon la description originale au Muséum de Paris. Ils n'ont pu y être retrouvés, non plus que dans aucun des Musées européens avec lesquels I. Bolivar travaillait. Ils sont donc, sans doute, perdus.

Nous reproduisons ci-dessous la description de I. Bolivar :

« Terreus, ochraceus, rugosus. Capite supra inter oculos rugis auriculatis retrorsum in carinas productis; fastigium medio subcoarctatum, antice rotundatum, a latere visum oculo vix longius; ocelli perspicui minuti; frons arcuato-sinuato. Pronotum rugulosum impressopunctatum, punctis nigris in ♂ praeditum. Femora postica intus extusque fascia arcuata nigra geniculari. Abdomen in longitudinem costulatum, punctis stigmaticis nigris. »

Madagascar Sud : Ambovombe (*Dr. Decorse*). — Andranohinaly, ♀ néallotype, II-1904 (*Voeltzkow*). — Bekily, XII-1933 (*A. Seyrig*).

2. Pseudogeloius relictus Dirsh (loc. typ. : Behara; type ♂, Muséum Paris).

Pseudogeloius relictus Dirsh, 1963 *b* : 94; Kevan, 1965 : 515; Descamps et Wintrebert, 1966 *b* : 118.

Fig. 32, 33. — Long. ♂ 25 à 25,5 mm, ♀ 39 à 45,5 mm; pronotum ♂ 3,6 à 3,9 mm, ♀ 5,6 à 5,8 mm; fémur postérieur ♂ 10,4 à 10,5 mm, ♀ 14,5 à 15 mm.

♂. Antennes de 16 articles. Fastigium du vertex anguleux, ses côtés excurvés à la base; suture du fastigium longue; côte frontale saillante, excurvée entre les antennes. Lobes latéraux du pronotum plus longs que hauts, à angles arrondis. Espace

mésosternal plus long que large, ses côtés fortement incurvés, les fossettes latérales longues et profondes. Espace métasternal en X. Abdomen rugueux. Aire médiane externe des fémurs postérieurs à dessin en losanges. Lobes inférieurs des genoux postérieurs rétrécis vers l'apex arrondi.

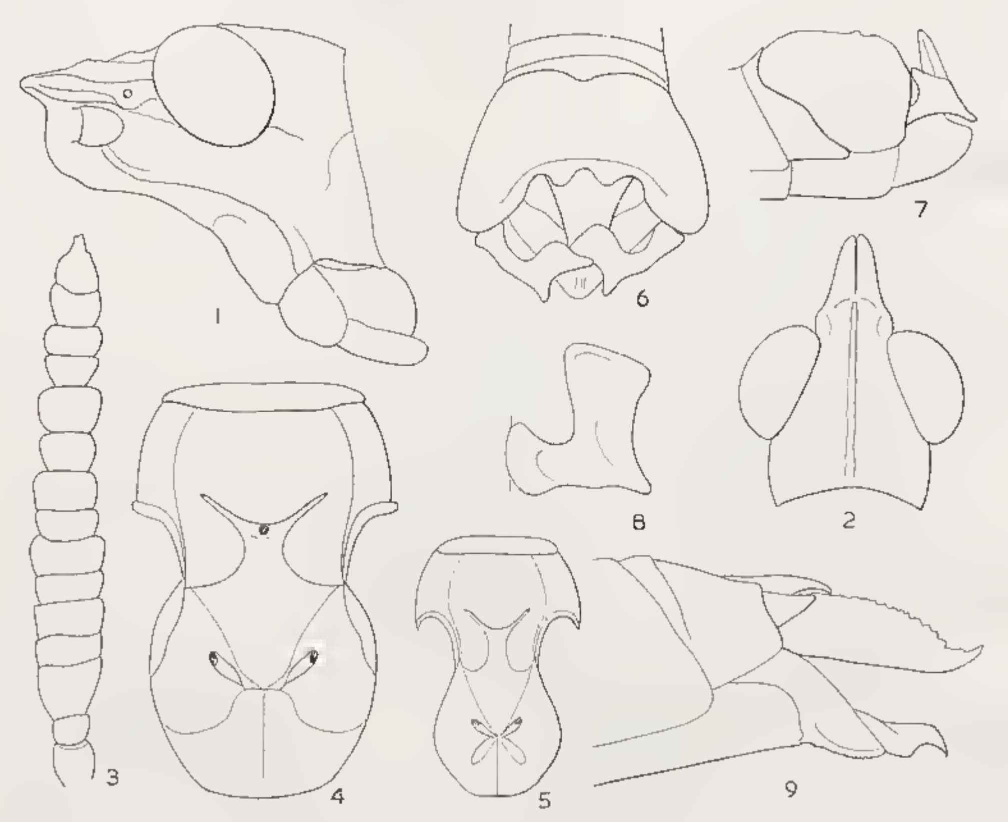


FIG. 33. — *Pseudogeloius relictus* Dirsh, 1963. — 1, Tête ♀ latéralement. — 2, Tête ♂ dorsalement. — 3, Antenne (*Pseudogeloius* sp.) ♀. — 4, Méso- et métasternum ♀. — 5, *id.*, ♂. — 6, Extrémité de l'abdomen dorsalement. — 7, *id.*, latéralement. — 8, Cerque ♂, vision latéroapicale. — 9, Extrémité de l'abdomen ♀.

Coloration générale brunâtre, à petits points bruns épars; face externe des fémurs postérieurs à dessin noir irrégulier; tibias postérieurs brunâtres. Stigmates entourés individuellement de noir.

Valves du cingulum inclinées d'avant en arrière et de haut en bas, réunis à l'expansion postéro-ventrale des rami par un processus sclérifié visible par transparence. Partie du pénis située postérieurement à la suture subterminale longue, courbée dorsalement; pseudoarche du cingulum en forme de croissant.

♀. Bien plus grande que le ♂. Antennes de 15 articles, plus épaisses, s'amincissant progressivement vers l'extrémité, l'article terminal 2 fois plus long que le précédent. Valves de l'oviscapte à apex aigu, courbé; bord externe des valves supérieures serrulé.

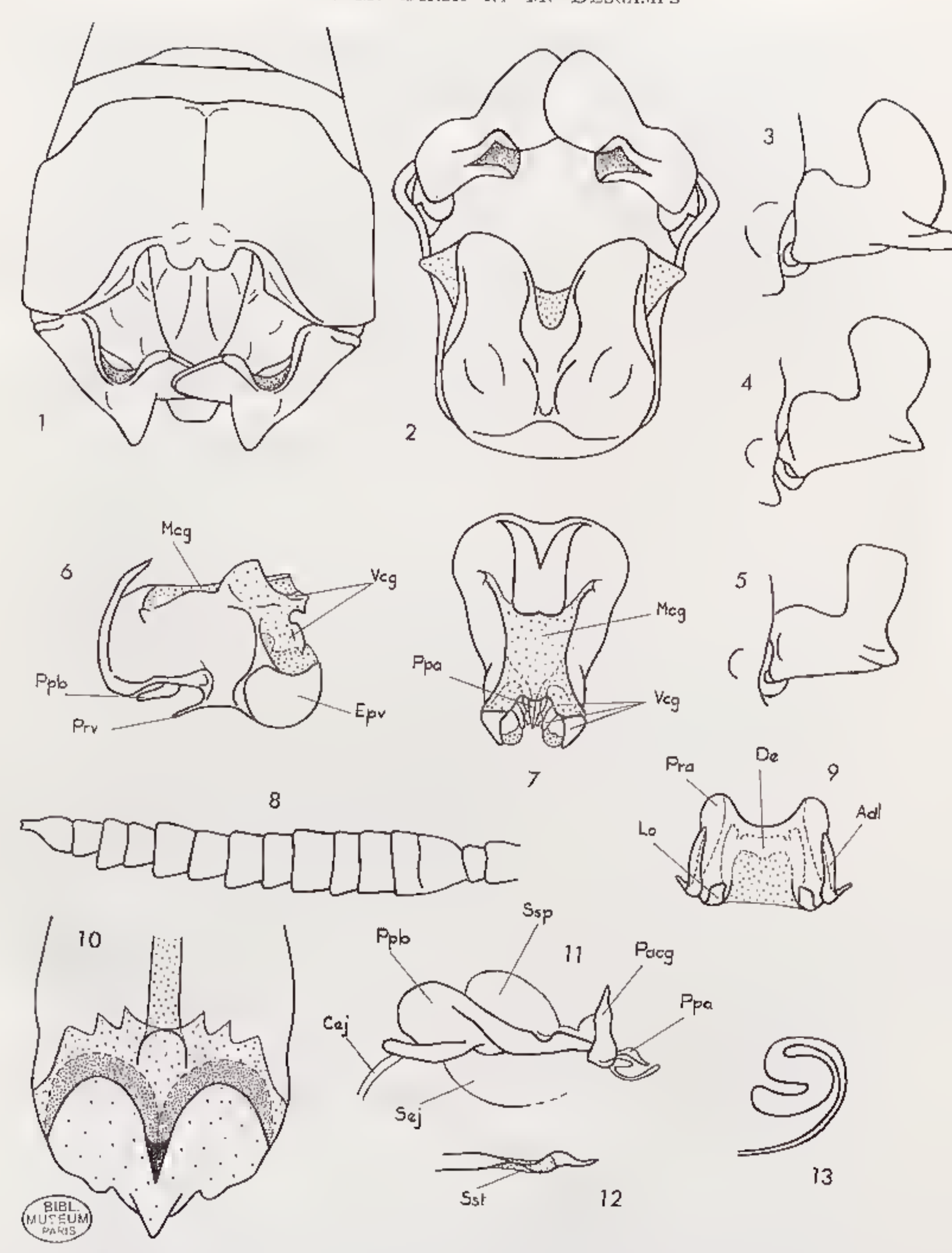


Fig. 34. — *Pseudogeloius mahafalensis* Descamps et Wintrebert, 1966. — 1, Extrémité abdominale ♂ dorsalement. — 2, *id.*, en vision apicale. — 3-5, Variation de la forme des cerques ♂. — 6, Ectophalle latéralement. — 7, *id.*, dorsalement. — 8, Antenne ♀. — 9, Épiphalle. — 10, Plaque sous-génitale ♀, face dorsale. — 11, Endophalle latéralement. — 12, Extrémité du pénis. — 13, Ampoule terminale de la spermathèque.

Coloration uniformément brune; face interne des fémurs postérieurs ocre; face externe de même couleur que l'ensemble du corps; genoux postérieurs bruns; face supérieure des tibias postérieurs ocre, face inférieure noirâtre. Pour le reste, comme chez le ♂.

MADAGASCAR SUD : Behara, II-1938 (*A. Seyrig*).

3. Pseudogeloius mahafalensis Descamps et Wintrebert (loc. typ. : Ankalirano; holotype ♂, allotype ♀, Muséum Paris).

Pseudogeloius mahafalensis Descamps et Wintrebert, 1966 *a* : 28; 1966 *b* : 119.

Fig. 34. — Pronotum ♂ 2,8 à 3,3 mm, ♀ 4 à 7 mm; fémur postérieur ♂ 7,9 à 9,4 mm, ♀ 11 à 13 mm.

♂. Taille un peu plus petite que *P. relictus*. Antennes plus larges en vision latérale; articles 4-7 transverses et articles 8-10 subcarrés. Vestiges élytraux représentés par une petite ride tégumentaire. Extrémité de l'abdomen fortement dilatée. Bord postérieur du dernier tergite à concavité médiane relativement étroite, subrectangulaire, limitée latéralement par 2 angles obtus. Moitié basale des cerques épaisse, rétrécie vers l'arrière; angle de la coudure saillant vers l'arrière sous forme d'un triangle légèrement redressé dorsalement; au même niveau, une autre apophyse triangulaire en position inférieure, visible seulement en vision apicale. Moitié apicale foliacée, subovalaire, le bord postérieur convexe. Bord postérieur de la plaque sous-génitale à découpure médiane profonde délimitant 2 lobes à bord interne fortement convexe.

Projections antérieures de l'épiphalle grandes, arrondies; appendices dorso-latéraux longs et étroits. Valves du cingulum non réunies aux expansions postéro-ventrales des rami, caractérisées par une échancrure subcirculaire du bord postérieur. Partie du pénis située postérieurement à la suture courte, sinuée; pseudoarche du cingulum triangulaire de profil.

♀. Antennes un peu plus courtes que la tête et le pronotum réunis; article terminal égalant environ 1,5 fois la longueur du précédent; autres articles nettement transverses avec angle inféro-apical bien saillant et peu arrondi; 2 rétrécissements bien marqués au niveau des 12e et 14e articles. Plaque sous-génitale à lobe médian triangulaire encadré de 2 petites expansions du bord postérieur.

MADAGASCAR SUD : Ankalirano, IV-1961 (*P. Dechappe*); III-1962 (*G. Cadet*); V-1962 (*D. Wintrebert*); III-1963 (*J. Têtefort*). — Tanandava (Ankiliarivo), V-1962 et IV-1963 (*D. Wintrebert*). — Clairières du Plateau calcaire Mahafaly, II-1964 (*J. Têtefort*). — Ankiliarivo, III, IV et VI-1962 (*D. Wintrebert*).

4. Pseudogeloius fotadrevae Descamps et Wintrebert (loc. typ. : Fotadreva; holotype ♂, allotype ♀, Muséum Paris).

Pseudogeloius fotadrevae Descamps et Wintrebert, 1966 *a* : 28; 1966 *b* : 122.

Fig. 35. — Pronotum ♂ 2,7 mm, ♀ 4 mm; fémur postérieur ♂ 7,9 mm, ♀ 12,2 mm.

♂. Plus petit que *P. mahafalensis*. Antennes de 16 articles; articles 3-5 transverses, articles 6 et 7 subcarrés, les autres plus longs que larges. Extrémité de

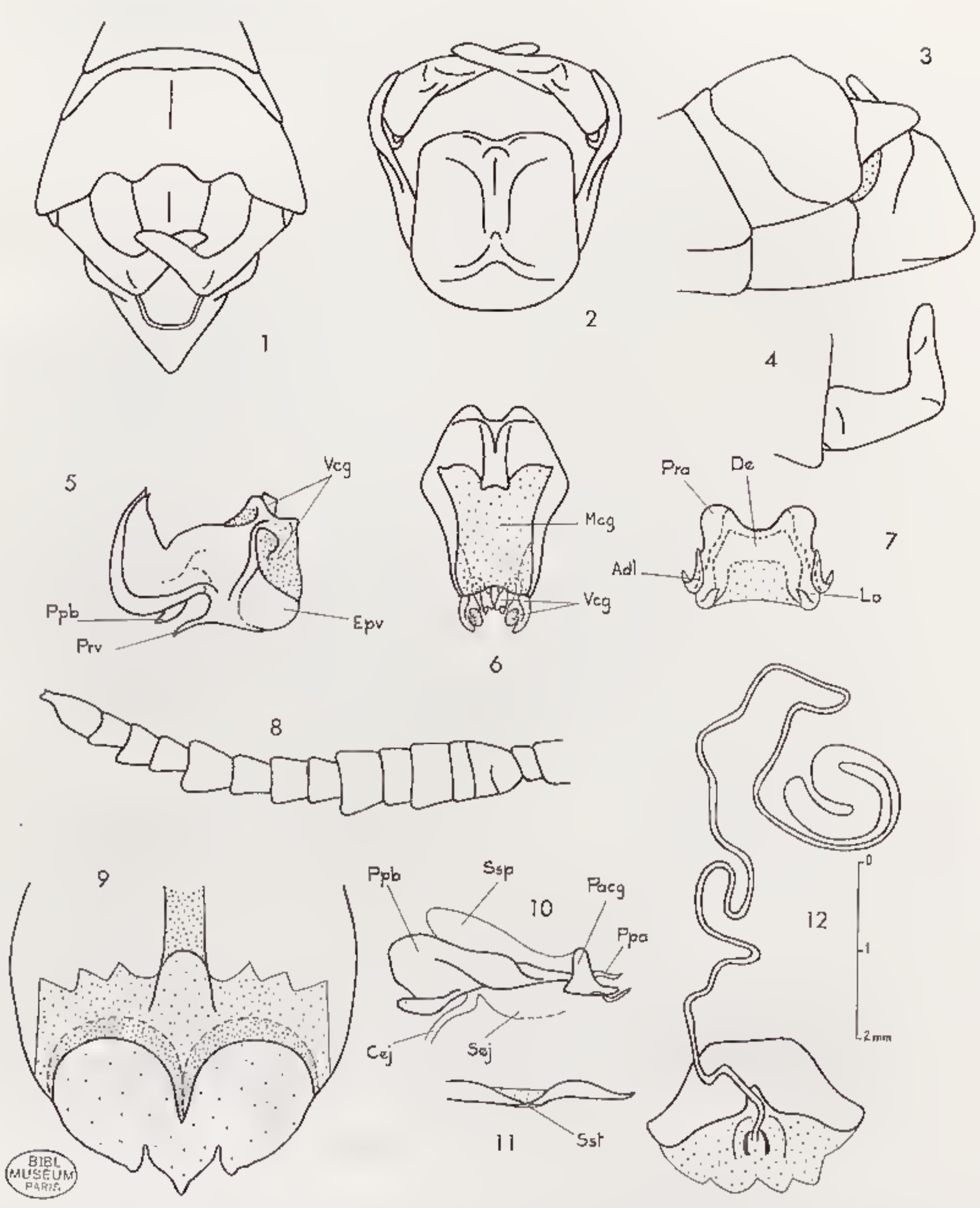


Fig. 35. — *Pseudogeloius foladrevae* Descamps et Wintrebert, 1966. — 1, Extrémité abdominale ♂ dorsalement. — 2, *id.*, en vision apicale. — 3, *id.*, latéralement. — 4, Cerque ♂. — 5, Ectophalle latéralement. — 6, *id.*, dorsalement. — 7, Épiphalle. — 8, Antenne ♀. — 9, Plaque sous-génitale ♀, face dorsale. — 10, Endophalle latéralement. — 11, Extrémité du pénis. — 12, Spermathèque.

l'abdomen moins renflée que chez les espèces précédentes. Bord postérieur du dernier tergite à concavité médiane peu profonde, en forme de segment circulaire, limitée latéralement par 2 angles obtus; au fond de cette concavité 2 lobes en forme de lunule aplatie, séparé par un espace subégal à leur propre largeur. Cerques en forme de « boomerang », coudés à angle presque droit au milieu, non bifides en vision apicale; moitié basale épaisse; moitié apicale aplatie dorso-ventralement mais non foliacée, de largeur constante, à peu près 4 fois plus longue que large, le bord postérieur légèrement concave. Partie postérieure de la plaque sous-génitale bilobée, les lobes séparés par une concavité large et peu profonde.

Projections antérieures de l'épiphalle larges, subcirculaires; appendices dorso-latéraux courts. Valves du cingulum non réunies aux expansions postéro-ventrales

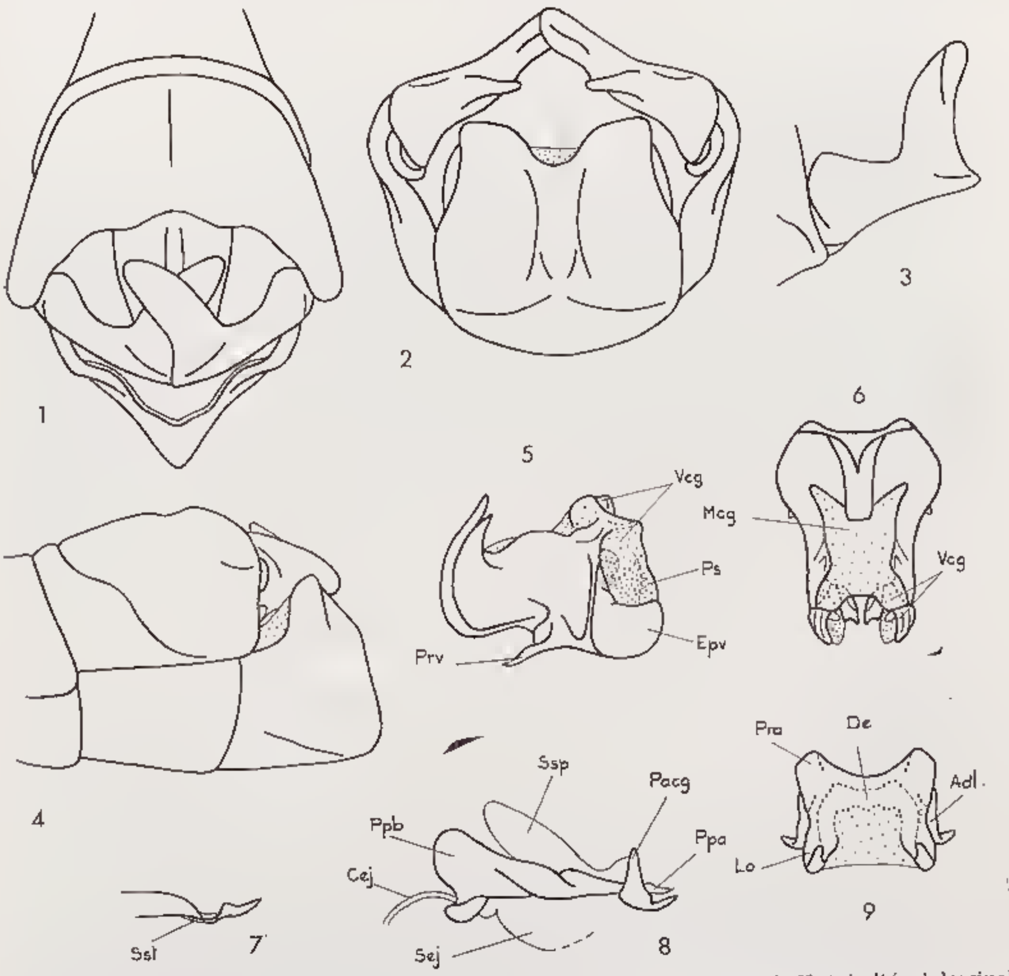


Fig. 36. — *Pseudogeloius marolintae* Descamps et Wintrebert, 1966. — 1, Extrémité abdominale ♂ dorsalement. — 2, *id.*, en vision apicale. — 3, Cerque ♂. — 4, Extrémité abdominale ♂ latéralement. — 5, Ectophalle latéralement. — 6, *id.*, dorsalement. — 7, Extrémité du pénis. — 8, Endophalle latéralement. — 9, Épiphalle.

des rami, non échancrées en vision latérale. Partie du pénis située postérieurement à la suture relativement courte et peu sinuée.

♀. Antennes plus étroites que chez les 2 espèces précédentes, les articles de forme plus irrégulière à angle inféro-apical plus saillant. Article terminal égalant environ 1,5 fois la longueur du précédent. Quatre étranglements bien nets au niveau des articles 8, 10, 12 et 14, ces articles étant à peu près 2 fois moins larges que l'unité précédente. Partie postérieure de la plaque sous-génitale trilobée; lobe médian triangulaire, séparé des 2 lobes latéraux par 2 incisions bien nettes du bord postérieur.

Madagascar Sud : 17 km au Nord de Fotadrevo, III-1964 (*D. Wintrebert*).

5. **Pseudogeloius marolintae** Descamps et Wintrebert (loc. typ. : Marolinta; holotype ♂, Muséum Paris).

Pseudogeloius marolintae Descamps et Wintrebert, 1966 *a* : 28; 1966 *b* : 125.

Fig. 36. — Pronotum ♂ 3,1 mm; fémur postérieur ♂ 9,1 mm.

♂. Taille voisine de celle de *P. fotadrevae*. Bord postérieur du dernier tergite très largement concave; concavité occupant la totalité de la distance comprise entre les cerques; au fond de cette concavité, 2 lobes très peu saillants, nettement plus larges que longs, séparés par un espace subégal à leur propre largeur. Cerques non bifides en vision apicale, la coudure faisant saillie en angle aigu; moitié apicale aplatie dorso-ventralement mais non foliacée, le bord postérieur très nettement concave. Partie postérieure de la plaque sous-génitale bilobée, les lobes séparés par une découpure semi-circulaire moins profonde que la moitié de l'aire apicale. Extrémité de la plaque sous-génitale considérée de profil formant un angle d'un peu moins de 90°.

Projections antérieures de l'épiphalle tronquées en oblique; appendices dorso-latéraux subégaux à la moitié de la longueur totale. Valves du cingulum réunies aux expansions postéro-ventrales des rami. Partie du pénis postérieure à la suture courte, à forte convexité dorso-basale.

♀. Inconnue.

Madagascar Sud : Marolinta, VIII-1964 (*D. Wintrebert*).

6. **Pseudogeloius affinis** Kevan (loc. typ. : Bekily; holotype ♂, allotype ♀, Muséum Madrid).

Pseudogeloius affinis Kevan, 1965 : 517.

Long. ♂ 24,5 mm, ♀ 47 mm; pronotum ♂ 3,2 mm, ♀ 5,8 mm; fémur postérieur ♂ 9,2 mm, ♀ 15 mm.

♂. Forme générale plus élancée que *P. relictus*. Yeux relativement saillants. Antennes longues, atteignant presque les hanches postérieures. Fastigium du vertex relativement étroit; profil de la face relativement peu concave. Corps grossièrement ponctué mais presque dépourvu de rugosités longitudinales. Extrémité abdominale relativement peu dilatée; bord postérieur du dernier tergite très largement concave, comme chez *P. marolintae*; une légère découpure au fond de la concavité. Cerques du

même type que chez l'espèce précédente. Plaque sous-génitale saillant en angle aigu (vision latérale).

Épiphalle à projections antérieures faibles, triangulaires; lophi à crochets aigus.

♀. Antennes ne dépassant pas le bord postérieur du pronotum. Plaque sous-génitale à projection médiane triangulaire, aiguë, encadrée de 2 lobes latéraux à bord postérieur arrondi.

Madagascar Sud : Bekily, III-1933 (*A. Seyrig*). — Ampandandrava, III-1932 (*A. Seyrig*).

Genre **Schulthessia** I. Bolivar

Schulthessia I. Bolivar, 1905 : 217; Dirsh, 1963 *b* : 95.

Taille faible à moyenne. Tégument rugueux. Antennes épaisses, filiformes, un peu comprimées dans la partie basale, plus courtes que la tête et le pronotum réunis, leur base située en avant des ocelles latéraux. Tête en cône aigu; une rangée de grands tubercules postoculaires peu saillants; fastigium du vertex allongé, anguleux, les aréoles apicales peu développées; front fortement oblique, concave; côte frontale basse, étroite, peu profondément sillonnée. Yeux 2 fois plus longs que larges; ocelles de taille moyenne. Pronotum allongé, s'élargissant en arrière; disque étroit, aplati, traversé par 2 sillons; carène médiane linéaire; carènes latérales faibles, limitées à la prozone; métazone plus courte que la prozone son bord postérieur saillant en angle obtus. Lobes latéraux du pronotum divergents à partir du disque; bord inférieur droit, oblique, avec une rangée de tubercules; angle postérieur aigu. Saillie prosternale cunéiforme, sa face antérieure concave. Espace mésosternal plus long que large; espace métasternal transverse, écarté du précédent. Élytres et ailes entièrement développés, dépassant l'extrémité de l'abdomen; élytres étroits, l'apex aigu; nervation et réticulation serrées. Organe tympanal bien développé. Hanches intermédiaires avec 2 tubercules externes; hanches postérieures avec 1 tubercule; aire inféro-externe des fémurs postérieurs élargie et fortement déplacée vers l'aire médiane; lobes inférieurs des genoux postérieurs bien plus courts que les lobes supérieurs; tibias postérieurs de forme normale, pourvus d'une épine apicale externe; tarses postérieurs grêles. Arolium grand. Plaque sus-anale du ♂ allongée, anguleuse; cerques courts, coniques; plaque sous-génitale un peu relevée vers le haut, conique, à apex obtus. Oviscapte moyennement grêle, à valves courbées, plaque sous-génitale trilobée.

Complexe phallique : cingulum allongé à valves courtes. Valves basales du pénis fortement élargies et courbées vers le bas; valves apicales à grand appendice dorsal; sac spermatophore grand. Épiphalle à pont moyennement long; lophi courts, à grands crochets; appendices dorso-latéraux grands, claviformes, élargis à l'apex. Spermathèque à long diverticule fortement contourné, pourvu de nombreuses poches.

Espèce type : *Schulthessia biplagiata* I. Bolivar, 1905.

Par la position des antennes et la forme de l'aire inféro-externe des fémurs postérieurs, cette espèce appartient au groupe d'*Atractomorpha*. Mais le complexe phallique est très différent (fig. 37) ce qui rend peu vraisemblable une étroite parenté entre eux. Il s'agit peut être d'une convergence.

1. Schulthessia biplagiata I. Bolivar (loc. typ. : Madagascar, type ♀, Musée de Zurich).

Schulthessia biplagiata I. Bolivar, 1905 : 217; Dirsh, 1963 *b* : 95.

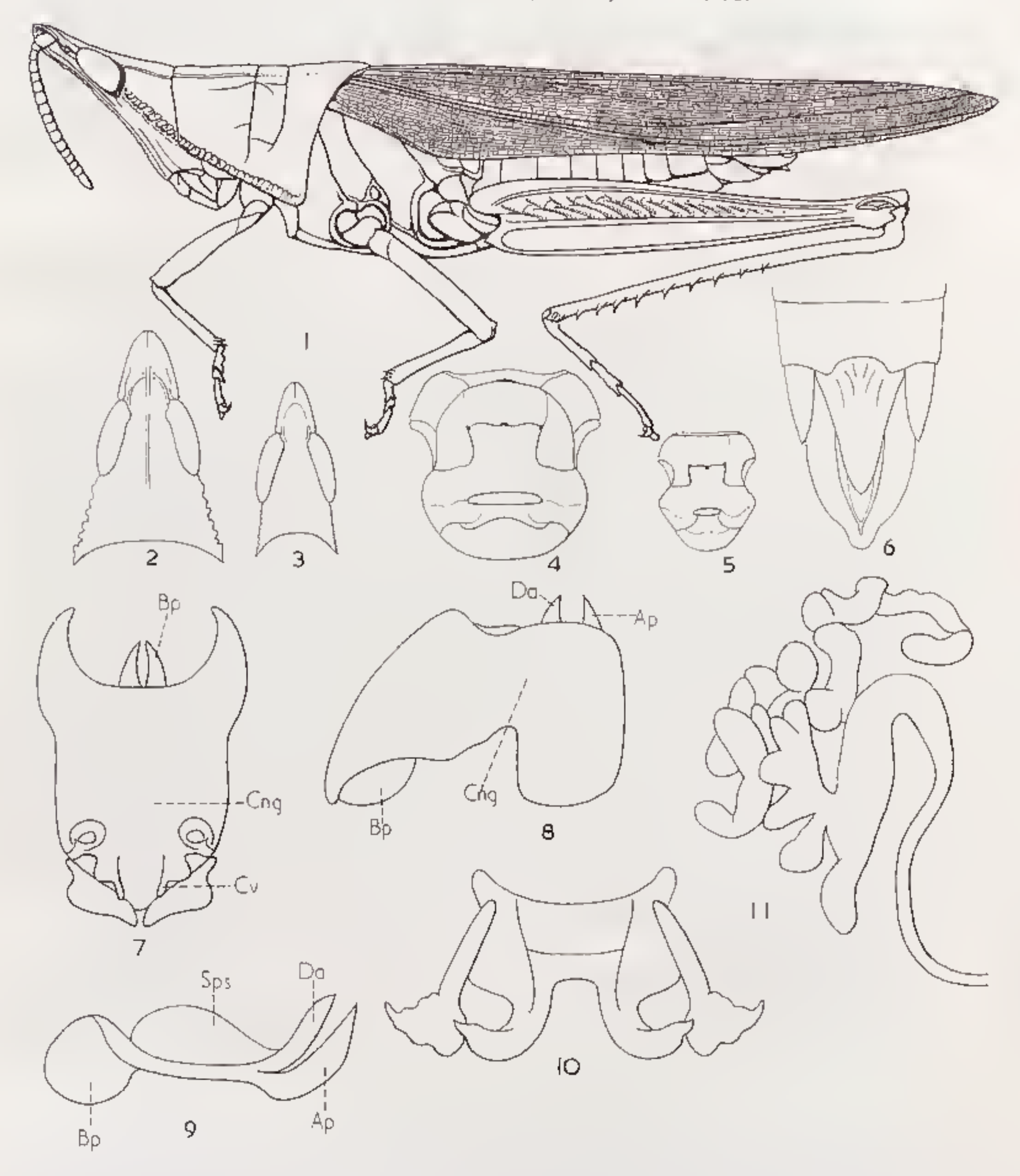


Fig. 37. — *Schulthessia biplagiata* I. Bolivar, 1905. — 1, ♀. — 2, Tête ♀ dorsalement. — 3, *id.*, ♂. — 4, Méso- et métasternum ♀. — 5, *id.*, ♂. — 6, Extrémité de l'abdomen ♂ dorsalement. — 7, Complexe phallique dorsalement, épiphalle et membrane ectophallique enlevés. — 8, *id.*, latéralement. — 9, Pénis et sac spermatophore. — 10, Épiphalle. — 11, Spermathèque.

Fig. 37. — Long. ♂ 20 à 22 mm. ♀ 30,3 à 37,4 mm; pronotum ♂ 4 à 4,3 mm, ♀ 7,2 à 8,5 mm; élytre ♂ 15,2 à 17,3 mm, ♀ 23,7 à 28 mm; fémur postérieur ♂ 10 à 11 mm, ♀ 15,5 à 17 mm.

♂. Petit. Antennes de 15 articles. Fastigium du vertex étroitement anguleux, à apex parabolique; sillon du fastigium court; carinules de la côte frontale basses, obtuses; dessus de la tête à rides longitudinales. Disque du pronotum à rides longitudinales et parsemé de quelques petits tubercules dont 2 en avant du 1er sillon; bord postérieur des lobes latéraux légèrement concave, l'angle postérieur subaigu; épisterne à apex anguleux et bord antérieur serrulé. Lobes inférieurs des genoux postérieurs anguleux. Dernier tergite abdominal à échancrure arrondie. Plaque sus-anale plus longue que les cerques.

Coloration générale verte ou brunâtre; face interne du 3e article des antennes à taches noirâtres ou brunâtres; rangée postoculaire et rangée marginale de tubercules des lobes latéraux du pronotum ocre; bord inférieur des lobes latéraux du pronotum rouge; élytres et face externe des fémurs postérieurs avec quelques petits points bruns ou rougeâtres épars; ailes postérieures rouge groseille; tibias postérieurs verts.

♀. Comme le ♂ mais plus grande et plus fusiforme. Antennes de 16 articles.

Espèce de taille et de coloration variables.

MADAGASCAR NORD : Montagne d'Ambre, les Roussettes, 1 100 m, XI-XII-1958 (*A. Robinson*).

MADAGASCAR SAMBIRANO : Nosy Komba, XI-1956 (*G. Ranaivo*).

MADAGASCAR EST : Brickaville, Ambila-Lemaitso, III-1951 (*A. Robinson*). — Ile Ste Marie, Antanandava, III-1960; Ile aux Nattes, III-1960 (*A. Robinson*). — Maroantsetra.

MADAGASCAR OUEST : Maevatanana, forêt de l'Ankarafantsika, poste d'Ampijoroa (*chasseurs de l'I.R.S.M.*).

Genre **Atractomorpha** Saussure

Atractomorpha Saussure, 1862 : 474; I. BOLIVAR, 1905 : 196; DIRSH, 1963 *b* : 97.
Perena Walker, 1870 : 506; I. BOLIVAR, 1905 : 196.

Taille faible ou moyenne. Tégument finement rugueux. Antennes un peu comprimées, plus courtes que la tête et le pronotum réunis, insérées devant les ocelles latéraux. Tête étroite, en cône aigu, avec une rangée de tubercules postoculaires; fastigium du vertex allongé, plat, horizontal ou légèrement courbé vers le haut, à apex parabolique ou anguleux; aréoles fastigiales peu développées, front fortement oblique, concave; côte frontale étroite et basse, superficiellement sillonnée, à carinules latérales obtuses. Pronotum allongé, subcylindrique, un peu élargi vers l'arrière; disque subplan, traversé par 3 fins sillons; carènes médiane et latérales faibles; métazone bien plus courte que la prozone, son bord postérieur en angle obtus très plat, presque arrondi; lobes latéraux avec une rangée de tubercules sur le bord inférieur. Saillie prosternale cunéiforme. Espace mésosternal plus large que long; espace métasternal transverse, éloigné du précédent. Élytres et ailes pleinement développés; apex des élytres aigu. Organe tympanal bien développé. Fémurs postérieurs étroits, l'aire inféro-externe déplacée ventralement vers l'aire médiane externe; lobes inférieurs des genoux postérieurs

bien plus courts que les lobes supérieurs. Plaque sous-génitale ♂ courte à apex arrondi. Oviscapte moyennement long et moyennement épais, à valves recourbées à l'apex; bord externe des valves supérieures grossièrement crénelé; valves inférieures à saillie latérale externe.

Épiphalle à pont très long, élargi postérieurement; lophi constitués par les parties élargies du pont.

Espèce type : *Truxalis crenatus* Fabricius, 1793.

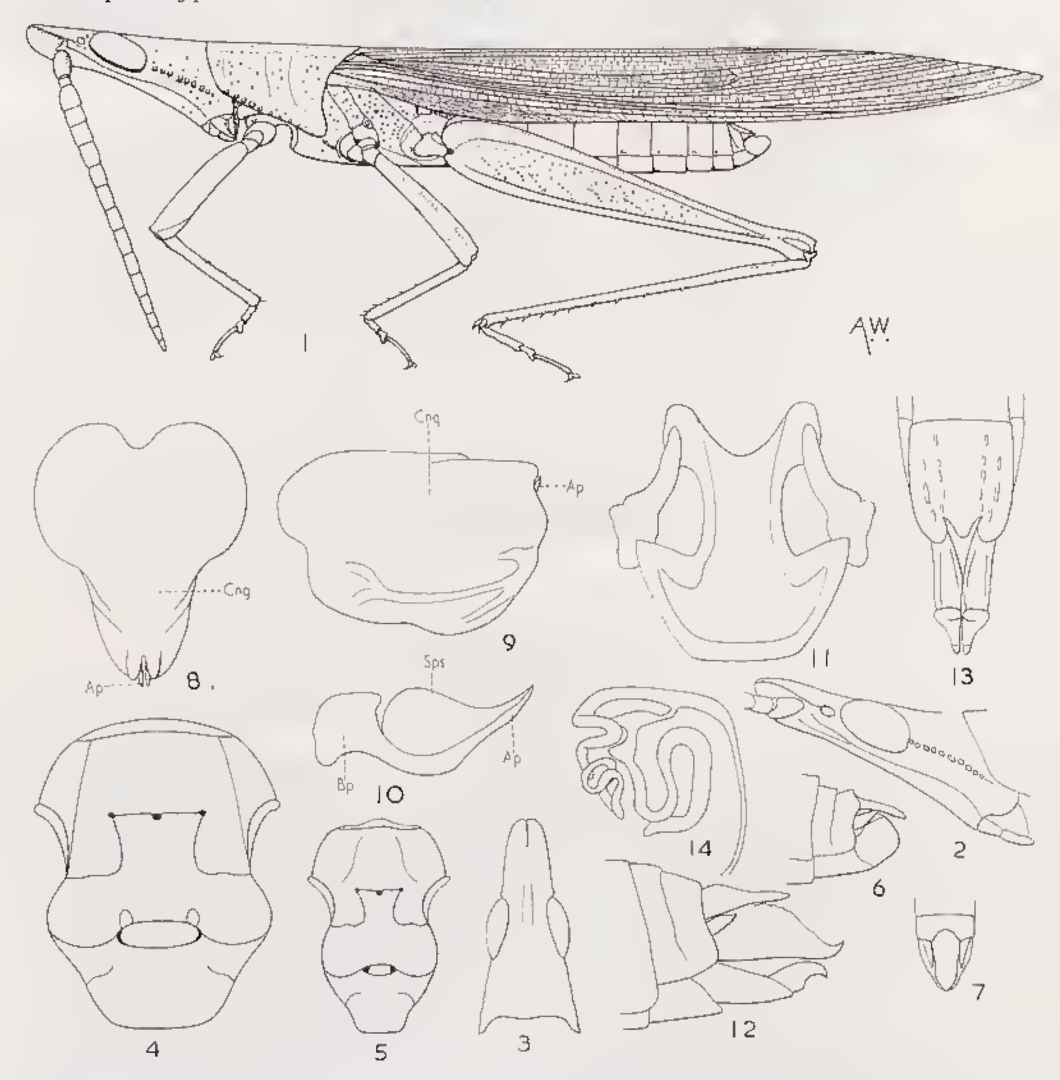


Fig. 38. — *Atractomorpha acutipennis* (Guérin-Méneville, 1844). — 1, ♂. — 2, Tête ♀ latéralement. — 3, Tête ♂ dorsalement. — 4, Méso- et métasternum. ♀. — 5, *id.*, ♂. — 6. Extrémité de l'abdomen ♂ latéralement. — 7, *id.*, dorsalement. — 8, Complexe phallique dorsalement, épiphalle et membrane ectophallique enlevés. — 9, *id.*, latéralement. — 10, Pénis et sac spermatophore. — 11, Épiphalle. — 12, Extrémité de l'abdomen ♀ latéralement. — 13, *id.*, ventralement. — 14, Spermathèque.

1. **Atractomorpha acutipennis** (Guérin-Méneville, 1844) (loc. typ. : Madagascar; type perdu).

Truxalis (Pyrgomorpha) acutipennis Guérin-Méneville, 1844 : 340; DIRSH, 1963 *b* : 97.
Atractomorpha gerstaeckeri I. Bolivar, 1884 : 66; BANERJEE et KEVAN, 1960 : 183; DIRSH, 1963 *b* : 97.
Atractomorpha aurivillii I. Bolivar, 1884 : 67; BANERJEE et KEVAN, 1960 : 97; DIRSH, 1963 *b* : 97.
Atractomorpha congensis Saussure, 1893 : 581 (*nom. nud.*); BANERJEE et KEVAN, 1960 : 40; DIRSH, 1963 *b* : 97.
Atractomorpha hova Saussure, 1899 : 640; BANERJEE et KEVAN, 1960 : 40; DIRSH, 1963 *b* : 97.
P. (yrgomorpha) madagascariensis Blanchard, I. BOLIVAR, 1905 : 209 (*nom. nud.*); BANERJEE et KEVAN, 1960 : 183; DIRSH, 1963 *b* : 97.
Atractomorpha malacassis Bruner, 1910 : 628; BANERJEE et KEVAN, 1960 : 183; DIRSH, 1963 *b* : 97.
Atractomorpha acutipennis (Guérin-Méneville, 1844); KIRBY, 1910 : 332; DIRSH, 1963 *b* : 97; DESCAMPS et WINTREBERT, 1966 *b* : 132.
Atractomorpha brevis Uvarov, 1938 : 274, 280; BANERJEE et KEVAN, 1960 : 184; DIRSH, 1963 *b* : 97.
Atractomorpha externa Bey-Bienko, 1949; BANERJEE et KEVAN, 1960 : 184; DIRSH, 1963 *b* : 98.
Atractomorpha acutipennis gerstaeckeri I. Bolivar, 1884; BANERJEE et KEVAN, 1960 : 183; DIRSH, 1963 *b* : 98.
Atractomorpha acutipennis brevis Uvarov, 1938; BANERJEE et KEVAN, 1960 : 184; DIRSH, 1963 *b* : 98.

Fig. 38. — Long. ♂ 19 à 25 mm, ♀ 28 à 39,8 mm; pronotum ♂ 4 à 5,1 mm, ♀ 6,2 à 9 mm; élytres ♂ 18,6 à 24 mm, ♀ 24 à 35,2 mm; fémur postérieur ♂ 8,7 à 10,9 mm, ♀ 13,3 à 17 mm (mesures basées sur le matériel malgache).

♂. Antennes de 16 à 17 articles. Yeux ovales, allongés; ocelles grands. Pronotum tuberculé, en particulier le long des faibles carènes latérales; bord postérieur des lobes latéraux fortement concave, l'angle postérieur aigu; épisterne à apex anguleux et bord antérieur serrulé. Lobes inférieurs des genoux postérieurs anguleux. Dernier tergite abdominal à échancrure médiane arrondie. Plaque sus-anale plus longue que les cerques.

Complexe phallique : cingulum piriforme à partie basale très élargie et valves courtes. Valves du pénis courbées; valves basales fortement élargies, valves apicales grêles, recourbées vers le haut. Sac spermatophore très grand. Épiphalle à pont grêle dans la partie antérieure et très élargi dans la partie postérieure.

Coloration générale uniformément verte ou brunâtre; ailes postérieures roses à la base.

♀. Plus grande que le ♂; corps moins grêle. Antennes de 16 articles. Plaque sous-génitale à apex trilobé et 4 rangées latérales de petits tubercules. Spermathèque avec 2 longs diverticules vermiformes. Pour le reste, identique au ♂.

MADAGASCAR EST : Maroantsetra, Fampanambo, III-1958 (*P. Soga et E. Raharizonina*). — Brickaville, station agricole. — Moramanga, Perinet, I-1949 (*P. Cachan*). — Ile Ste Marie, Ambatoroa, V-1959 (*E. Razafimandimby*).

MADAGASCAR CENTRE : Tananarive, parc de Tzimbazaza (*R. Paulian*). — Miarinarivo, Fidasiana, VIII-1958 (*A. Robinson*). — Manjakandriana, Ankadimanga, XII-1957 (*J. Elie*). — Amborompotsy, VII-1962 (*D. Wintrebert*). — Sud de l'Horombe, VIII-1964 (*D. Wintrebert*).

Madagascar Ouest : Ambato-Baeni, Sitampiky, VII-1947 (*J. Doucet*). — Maevatanana, forêt de l'Ankarafantsika (*E. Razafimandimby*). — Miandrivazo, Ankavandra, VII-1949 (*R. Paulian*). — Sakaraha, forêt de Lambomakandro, 500 m, VII-1957 (*A. Robinson*).

Madagascar Sud : Tuléar, Sept Lacs (*A. Robinson*).

Grande Comore : Nioumbadjou, 505 m, VIII-1958 (*E. Raharizonina*).

Banerjee et Kevan (1960) ont fait une révision préliminaire du genre *Atractomorpha* et établi la synonymie des espèces connues. Ils ont défini 3 sous-espèces d'*A. acutipennis* (Guérin) à savoir : *A. a. acutipennis* (Guérin) limitée à Madagascar, *A. a. gerstaeckeri* I. Bolivar, d'Afrique centrale et des Comores, *A. a. brevis* Uvarov, du Soudan, d'Éthiopie, d'Arabie du Sud-Ouest, de Perse et d'Afghanistan. Mais l'examen d'un matériel important des 3 sous-espèces établit que les séries d'exemplaires de chacune d'elles s'intercalent très facilement dans les séries de n'importe qu'elle autre sous-espèce et que, en laissant de côté les étiquettes de provenance, leur distinction est impossible. Nous ne pouvons donc, à ce stade, qu'ignorer ces sous-espèces.

On sait bien et la littérature l'a répété, que les espèces d'*Atractomorpha* sont très variables. Cette variabilité chez *A. acutipennis* se manifeste dans la taille et la gracilité du corps, la longueur et l'amincissement apical de l'élytre, la longueur et, dans une certaine mesure, la forme du fastigium du vertex. L'aire membraneuse près du bord postérieur des lobes latéraux du pronotum donnée par Banerjee et Kevan (1960) comme caractère spécifique est également variable et absente chez bien des exemplaires.

Genre **Uhagonia** I. Bolivar

Uhagonia I. Bolivar, 1905 : 214; Dirsh, 1963 *b* : 100.

Taille moyenne. Corps fortement fusiforme, surtout chez la ♀. Tégument finement granuleux chez la ♀, fortement ponctué chez le ♂. Antennes filiformes, un peu plus courtes que la tête et le pronotum réunis chez le ♂, bien plus courtes chez la ♀, implantées un peu en avant des ocelles latéraux. Tête en cône aigu; fastigium du vertex anguleux; front oblique, droit ou incurvé; côte frontale presque effacée sous les antennes, à carinules latérales tuberculées et apex saillant, profondément échancrée à l'extrémité; yeux saillants, de taille moyenne chez le ♂, petits chez la ♀; ocelles à peine visibles. Pronotum subcylindrique, s'élargissant en arrière; carène médiane faible; disque traversé par 3 sillons, le 1er très faible; métazone égalant à peu près le 1/3 de la prozone, son bord postérieur droit ou légèrement incurvé. Saillie prosternale en collier ou en forme de langue. Espace mésosternal court et large; espace métasternal très large, en forme de fente chez les ♀, en X chez les ♂, éloigné du précédent. Élytres très réduits; organe tympanal absent. Fémurs antérieurs et moyens tuberculés sur la face externe. Aire supéro-externe des fémurs postérieurs très étroite; aire inféro-externe élargie et déplacée ventralement vers l'aire médiane. Une épine apicale externe aux tibias postérieurs; tarses postérieurs allongés et grêles. Arolium grand. Plaque sus-anale allongée, triangulaire, à sillon médian transverse chez la ♀; cerques comprimés, courts, anguleux. Oviscapte allongé, grêle, les valves droites, un peu courbées à l'apex; plaque sous-génitale à saillie médiane étroite. Bord postérieur du dernier tergite ♂ concave au milieu, droit latéralement; concavité limitée latéralement par 2 petites saillies.

Plaque sous-génitale ♂ en angle obtus largement arrondi en vision latérale, en angle aigu en vision dorsale. Oviscapte allongé, les valves droites, un peu courbées à l'apex; plaque sous-génitale ♀ à saillie médiane en triangle étroit.

Épiphalle situé en avant du milieu par rapport à l'ensemble du complexe phallique, le pont court, les projections antérieures arrondies; lophi à crochets forts; appendices dorso-latéraux épais. Ectophalle peu sclérifié à forte armature chitineuse; processus ventral très allongé; valves du cingulum peu différenciées, représentées par une petite pièce apicale en position médiane. Valves basales du pénis peu sclérifiées, relevées dorsalement en aileron; valves apicales subrectilignes, l'apex redressé.

Espèce type : *Uhagonia sphenarioides* I. Bolivar, 1905.

Clé des espèces

1 (2) Fastitium du vertex à peu près double du plus grand diamètre de l'œil . . . . 1. **U. sphenarioides**

2 (1) Fastigium du vertex de longueur subégale au plus grand diamètre de l'œil. . . . . .2. **U. depressa**

1. Uhagonia sphenarioides I. Bolivar (loc. typ. : Madagascar; type ♀, Musée de Vienne).

Uhagonia sphenarioides I. Bolivar, 1905 : 215; Dirsh, 1963 *b* : 101.

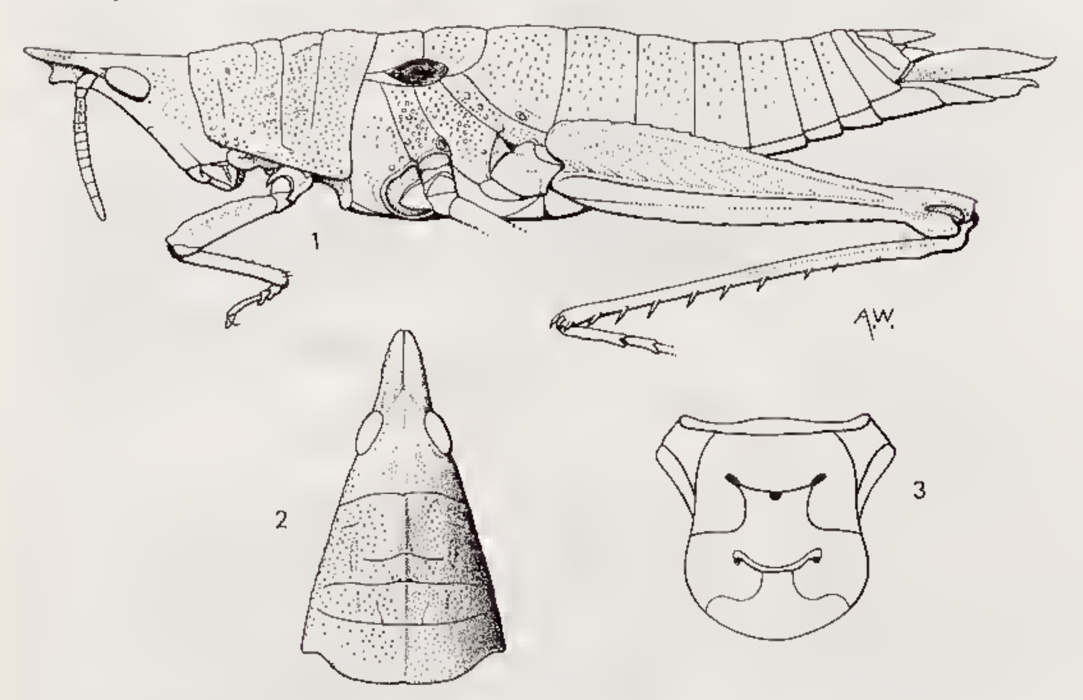


Fig. 39. — *Uhagonia sphenarioides* I. Bolivar, 1905. — 1, ♀, type. — 2, Tête et pronotum dorsalement. — 3, Méso- et métasternum.

Fig. 39. — Long. 42 mm, pronotum 7,8 mm; élytre 1,8 mm; fémur postérieur 18 mm.

♀. Corps fusiforme. Antennes de 13 articles. Fastigium du vertex en angle aigu, à peu près 2 fois plus long que le plus grand diamètre de l'œil; sillon du fastigium long; carinule du vertex à peine distincte. Bord postérieur de la métazone du pronotum presque droit, avec une petite échancrure médiane; lobes latéraux du pronotum plus longs que hauts, à bord inférieur rectiligne, oblique. Élytres fortement réduits, atteignant le milieu du métanotum, ovales, à bords latéraux renflés et avec un renflement ovale en vessie au milieu; nervation effacée, ailes absentes. Carène supérieure des fémurs postérieurs grossièrement serrulée. Oviscapte long et grêle; bord externe des valves supérieures irrégulièrement serrulé.

Coloration générale sans doute verdâtre (le type, seul exemplaire connu, est décoloré par sa conservation en alcool); marge des élytres noirâtre, renflement médian brun.

♂. Inconnu.

Madagascar, sans autre indication.

2. Uhagonia depressa Dirsh (loc. typ. : Massif du Marojejy; type ♀, Muséum Paris).

Uhagonia depressa Dirsh, 1963 *b* : 101.

Fig. 40. — Long. 30,5 mm; pronotum 6,7 mm; fémur postérieur 15,2 mm.

♀. Antennes de 13 articles, dessus de la tête fortement granuleux. Fastigium légèrement ascendant, de longueur subégale au plus grand diamètre de l'œil, subégale à la largeur à la base. Vertex parcouru par une carinule irrégulière. Lobes latéraux du

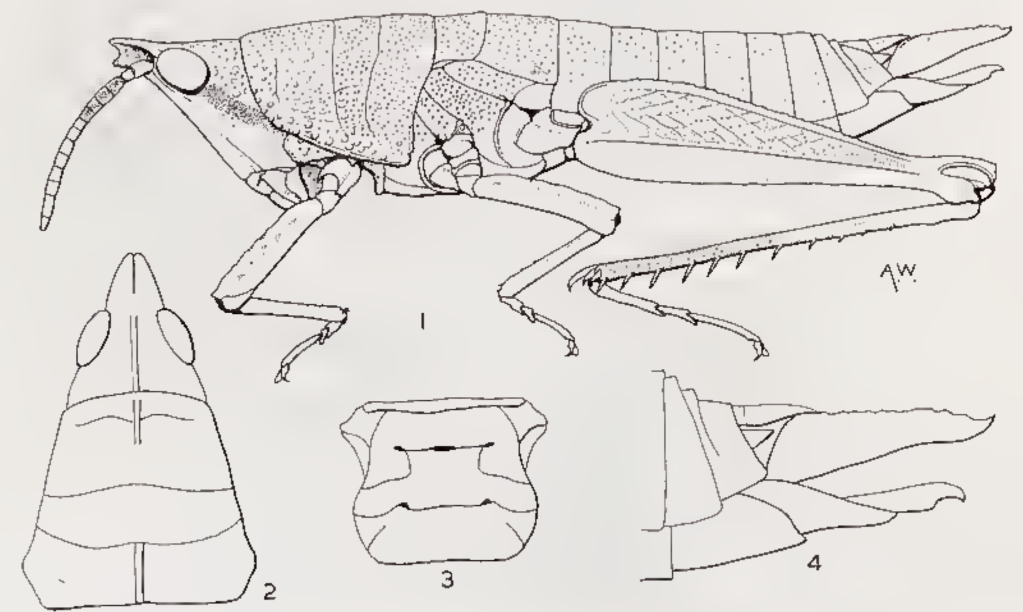


Fig. 40. — *Uhagonia depressa*. Dirsh, 1963. ♀, type. — 1, ♀. — 2, Tête et pronotum dorsalement. — 3, Méso- et métasternum. — 4, Extrémité de l'abdomen.

pronotum plus longs que hauts, le bord postérieur concave, le bord inférieur oblique et rugueux. Élytres très courts, atteignant tout juste le bord postérieur du mésonotum; vestiges alaires représentés par un repli tégumentaire simple redressé contre le tergum. Espace mésosternal à peu près 3 fois aussi large que long, un peu rétréci vers l'arrière. Carène supérieure des fémurs postérieurs serrulée. Tarses postérieurs égalant la moitié des tibias correspondants; arolium grand, dépassant le milieu des griffes. Bord externe des valves supérieures de l'oviscapte irrégulièrement serrulé.

Insecte décoloré devant être vert sur le vif; les 2/3 apicaux des tibias postérieurs rouge vif.

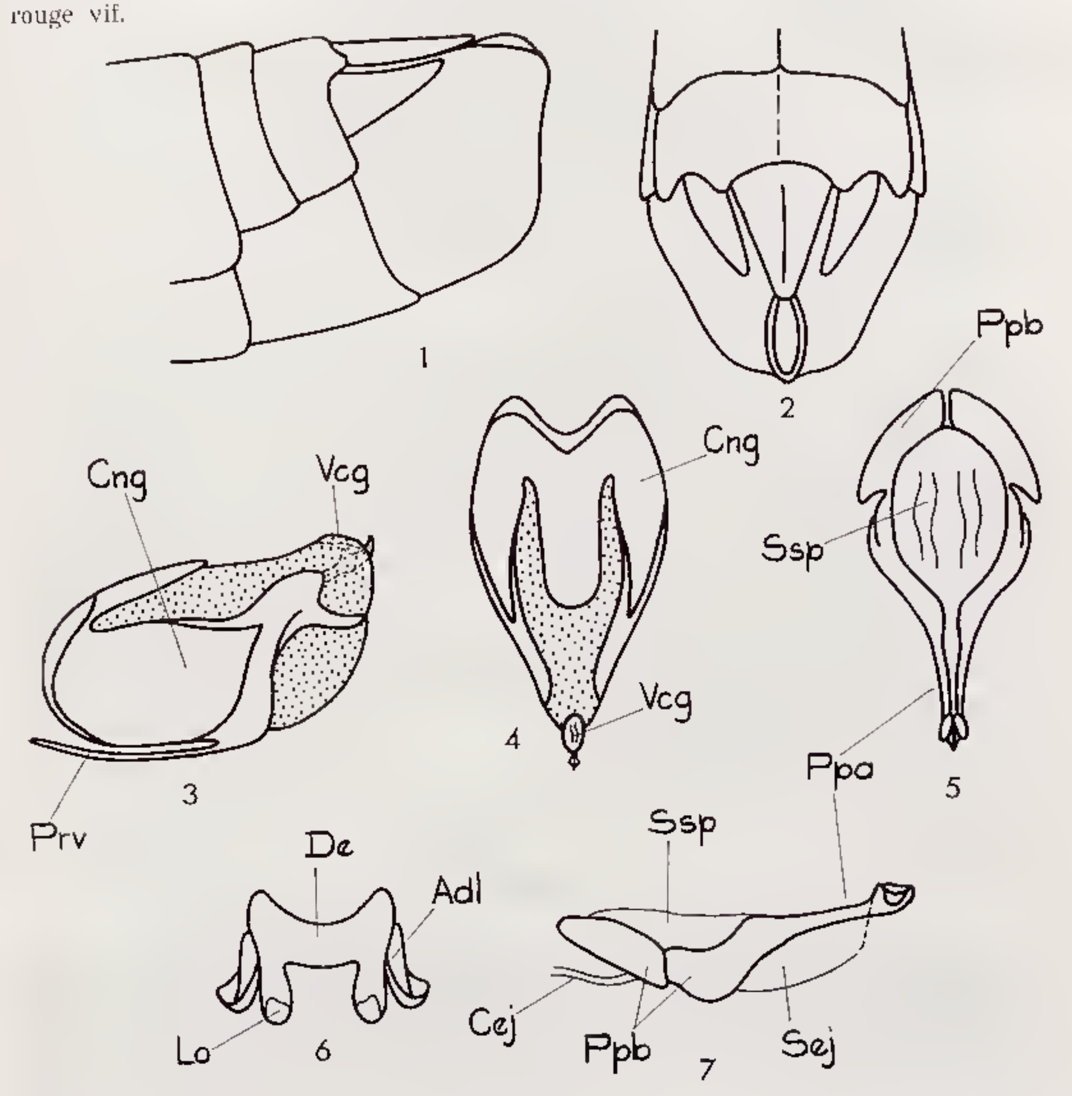


Fig. 41. — *Uhagonia* sp., ♂. — 1, Extrémité abdominale latéralement. — 2, *id.*, dorsalement. — 3, Ectophalle latéralement. — 4, *id.*, dorsalement. — 5, Endophalle dorsalement. — 6, Épiphalle. — 7, Endophalle latéralement.

MADAGASCAR EST : Sambava, massif du Marojejy, Réserve naturelle intégrale XII, Ambatosoratra, 1 700 m, XI-1960 (*P. Soga*).

Les types des 2 espèces étaient les seuls exemplaires connus jusqu'à ce qu'une série de 33 spécimens ♂ et ♀ nous ait été envoyée du massif du Tsaratanana par D. WINTREBERT. Les types étant uniques, il n'est pas possible de faire une comparaison valable ni d'interpréter rationnellement les différences [1].

Long. ♂ 12,2 à 13,5 mm, ♀ 27 à 32,5 mm; pronotum ♂ 2,1 à 2,4 mm, ♀ 4,9 à 6,7 mm; fémur postérieur ♂ 6,9 à 7,5 mm, ♀ 12 à 15,2 mm.

♀. Antennes de 12 articles, proportionnellement plus courtes et plus larges que chez *U. depressa*. Yeux petits comme chez *U. sphenarioides*. Fastigium un peu plus long que le plus grand diamètre de l'œil. Élytres atteignant le milieu du métanotum. Tarses postérieurs courts, moins longs que la moitié des tibias correspondants. Tête moins épaisse en vision frontale.

Quelques taches noires sur les joues et sur le pronotum; sillons transverses du pronotum noirs; nombreuses taches noires sur l'aire médiane externe des fémurs postérieurs. Bordure des élytres noire, le centre (tache arrondie) vert. Antennes noires. Tarses postérieurs verdâtres.

♂. (fig. 41). Beaucoup plus petit que la ♀. Antennes de 12 articles, un peu plus courtes que la tête et le pronotum réunis. Yeux allongés, saillants, leur plus grand diamètre un peu plus long que le fastigium du vertex. Bord inférieur des lobes latéraux du pronotum sinué, l'angle postérieur d'un peu moins de 90°, un peu saillant vers l'arrière. Élytres dépassant un peu le bord postérieur du mésonotum, la partie visible à peine plus longue que large. Espace mésosternal 2 fois plus large que long. Tarses postérieurs égalant à peu près la moitié des tibias correspondants. Plaque sous-génitale en angle légèrement obtus en vision latérale. Plaque sus-anale en triangle étroit. Cerques triangulaires de profil, atteignant presque l'extrémité de la plaque sus-anale.

Teinte générale vert foncé. Angles latéro-postérieurs du disque du pronotum marqués d'une callosité grossièrement circulaire, de coloration jaunâtre rappelant curieusement, par sa forme, sa teinte et sa position un peu décalée vers l'avant la tache claire de l'élytre de la ♀. Fémurs postérieurs uniformément verts. Les 2/3 apicaux des tibias postérieurs et tarses rouges.

Complexe phallique comme décrit pour le genre et représenté fig. 41.

MADAGASCAR SAMBIRANO : Massif du Tsaratanana, 1 500 à 2 300 m, XI-1966 (*D. Wintreberti*).

Famille ACRIDIDAE

Corps et tête de forme très variable. Sillon du fastigium absent (parfois présent, mais alors sans doute de formation secondaire). Saillie prosternale présente ou absente. Élytres et ailes entiers, réduits ou absents. Tympan normalement présent. Appareil stridulatoire de types divers, présent dans la plupart des sous-familles. Lobe basal inférieur des fémurs postérieurs en général plus court ou égal au lobe supérieur.

[1] Ces insectes viennent d'être décrits sous le nom de *U. wintreberti* Kevan, (sous presse); type au Muséum de Paris.

Organe de Brunner présent. Épine apicale externe des tibias postérieurs présente ou absente. Ectophalle différencié; cingulum différencié; valves du pénis paires, coudées ou divisées. Épiphalle généralement en forme de pont, parfois en forme de disque, parfois divisé; ancorae et lophi présents (parfois vestigiaux); sclérites ovales présents.

Genre type : *Acrida* Linné, 1758.

Clé des sous-familles

1 (2) Aire radiale de l'élytre pourvue d'une série de nervules régulières et parallèles à rôle stridulatoire; espèces aptères sans tympan. Valves basales et apicales du pénis en général non réunies. . ***Hemiacridinae*** (p. 96)

2 (1) Pas de nervules stridulatoires dans l'aire radiale de l'élytre; un tympan au moins rudimentaire, présent même chez les aptères. Valves basales et apicales du pénis réunies par une flexure. 3

3 (16) Une saillie ou un collier prosternal 4

4 (5) Lobe inféro-externe des genoux postérieurs à apex spiniforme. . . . . ***Oxyinae*** (p. 115)

5 (4) Lobe inféro-externe des genoux postérieurs à apex arrondi ou anguleux mais non spiniforme 6

6 (7) Dernier tergite abdominal ♂ (dans la plupart des genres) à furcula bien développée; plaque sus-anale à apex en général atténué ou trilobé; plaque sous-génitale à repli transverse. . . . . . ***Coptacridinae*** (p. 148)

7 (6) Dernier tergite abdominal ♂ sans furcula bien développée; plaque sus-anale de forme variable; plaque sous-génitale sans repli transverse. 8

8 (9) Espace mésosternal clos . . . . ***Tropidopolinae*** (p. 158)

9 (8) Espace mésosternal ouvert 10

10 (15) Lobes mésosternaux arrondis ou en angle obtus 11

11 (12) Cerques ♂ en forme de pince, forts, régulièrement courbés. Épiphalle discoïdal, sans luphi . . . . ***Calliptaminae*** (p. 162)

12 (11) Cerques ♂ de forme variable, mais pas en pince. Epiphalle variable, mais toujours pourvu de lophi. 13

13 (14) Disque du pronotum plat ou légèrement tectiforme à carènes médiane et latérales linéaires (carènes latérales parfois peu nettes); cerques ♂ à apex fortement comprimé, lobiforme ou subaigu, courbé vers le bas . . . . ***Eyprepocnemidinae*** (p. 163)

14 (13) Disque du pronotum de forme variable; carènes latérales généralement absentes (non linéaires dans le cas contraire); cerques ♂ de forme variable mais ni comprimés, ni lobiformes ou subaigus, ni courbés vers le bas . . . . ***Catantopinae*** (p. 179)

15 (10) Lobes mésosternaux rectangulaires . . . . . ***Cyrtacanthacridinae*** (p. 222)

16 (3) Pas de saillie ni de collier prosternal; dans le cas contraire antennes ensiformes et corps fortement allongé 17

17 (18) Pas de peigne stridulatoire à la face interne des fémurs postérieurs. . . . . ***Acridinae*** (p. 232)

18 (17) Un peigne stridulatoire à la face interne des fémurs postérieurs. . . . . ***Truxalinae*** (p. 284)

Sous-famille *HEMIACRIDINAE*

Corps de forme variable. Tête proguathe, hypognathe ou opisthognathe. Une saillie prosternale. Espace mésosternal ouvert ou fermé. Élytres et ailes pleinement développés, réduits ou absents; aire radiale de l'élytre pourvue d'une série de nervules régulières, épaissies, transverses, à rôle stridulatoire. Tympan présent, absent dans les formes aptères. Lobe basal inférieur des fémurs postérieurs plus court que le supérieur. Épine apicale externe des tibias postérieurs présente ou absente. Valves basales et apicales du pénis indépendantes, mais tendant parfois à être réunies par une flexure. Épiphalle en pont, parfois divisé; ancorae et lophi présents.

Les espèces malgaches de cette sous-famille ont un type spécial, parfois très particulier. Elles présentent aussi une tendance à la réduction et même à la perte des nervules stridulatoires des élytres caractéristiques de la sous-famille. Ces nervules stridulatoires sont parfois réduites, mais marquées, chez certains exemplaires, alors que chez d'autres, de la même espèce, elles sont difficilement décelables.

La même instabilité des caractères de la sous-famille a été observée dans la structure du pénis. Tandis que chez quelques espèces les valves apicales et basales sont indépendantes, ce qui est typique de la sous-famille, chez d'autres, il apparaît une tendance à former une fine connexion qui, tout en restant mince, peut parfois être assez fortement sclérifiée. Chez certaines espèces même, la connexion est parfaitement développée.

Cela isole quelque peu les *Hemiacridinae* malgaches. Il n'est pas facile de savoir s'ils sont en train de perdre un trait caractéristique de la sous-famille ou si, au contraire, ils en gagnent un. Quelques genres classés provisoirement parmi les *Hemiacridinae* appartiennent vraisemblablement à la sous-famille des *Tropidopolinae* dans laquelle ils devront être transférés quand ces groupes seront mieux connus.

Clé des genres malgaches

1 (10) Insectes allongés, bacilliformes; fastigium du vertex plus long que large à la base, dans les cas douteux, lobes mésosternaux largement contigus 2

2 (3) Antennes comprimées, légèrement ensiformes; plaque sous-génitale ♂ aussi longue ou plus longue que le pronotum (fig. 42) . **Leptacris** (p. 98)

3 (2) Antennes filiformes ou élargies à la base mais non comprimées; plaque sous-génitale ♂ beaucoup plus courte que le pronotum. 4

4 (9) Élytres latéraux vestigiaux ou absents 5

5 (6) Élytres latéraux, plus de 3 fois plus longs que larges; un organe tympanal (fig. 43). . . . . **Xenippacris** (p. 99)

6 (5) Élytres vestigiaux ou absents, pas d'organe tympanal. 7

7 (8) Antennes filiformes; sillons transverses du pronotum larges (fig. 44, 45) . . . . **Acutacris** (p. 102)

8 (7) Antennes élargies à la base; sillons transverses du pronotum fins (fig. 46) . . . . **Xenippoides** (p. 106)

9 (4) Élytres raccourcis, se chevauchant toujours dorsalement (fig. 47). . . . . **Galideus** (p. 108)
10 (1) Insectes plus trapus, non bacilliformes; fastigium du vertex toujours plus court que large à la base; lobes mésosternaux ni contigus, ni subcontigus 11
11 (18) Élytres lobiformes ou vestigiaux 12
12 (17) Élytres lobiformes. 13
13 (16) Disque du pronotum lisse, sans convexités; saillie prosternale comprimée frontalement 14
14 (15) Bord postérieur du pronotum excurvé; saillie prosternale non échancrée (fig. 48) . . . . **Spathosternum** (p. 110)
15 (14) Bord postérieur du pronotum incurvé; saillie prosternale échancrée (fig. 49) . . . . **Paraspathosternum** (p. 112)
16 (13) Disque du pronotum rugueux, à larges convexités; saillie prosternale conique (fig. 50) . . . . **Pseudoserpusia** (p. 114)
17 (12) Élytres vestigiaux; saillie prosternale de section carrée (fig. 51). . . . . **Cylindracris** (p. 116)
18 (11) Élytres normalement développés 19
19 (28) Nervure cubitale des ailes non réunie à la médiane 20
20 (21) Tête très prognathe. Corps entièrement couvert de longs poils; face inférieure concave; bord antérieur du prosternum formant un collier saillant (fig. 52, 53) . . . . **Paulianiobia** (p. 118)
21 (20) Tête subconique à subglobuleuse, hypognathe ou légèrement prognathe. 22
22 (27) Pronotum cylindrique ou subcylindrique sans renflements 23
23 (24) Pronotum subcylindrique; sillons transverses relativement larges; tégument légèrement rugueux (fig. 54-56). . . . . **Onetes** (p. 120)
24 (23) Pronotum cylindrique; sillons transverses fins; tégument lisse. . . . 25
25 (26) Plaque sus-anale allongée à apex en angle aigu (fig. 57). **Euthymia** (p. 127)
26 (25) Plaque sus-anale courte et large à apex en angle obtus (fig. 58). . . . . **Proeuthymia** (p. 131)
27 (22) Pronotum tectiforme, à saillies tubéreuses (fig. 59). **Lopheuthymia** (p. 132)
28 (19) Nervure cubitale des ailes réunie à la médiane 29
29 (30) Antennes courtes, élargies dans la région basale et un peu claviformes, épaissies à l'apex (fig. 60). . . . . **Pachyceracris** (p. 134)
30 (29) Antennes longues, filiformes sur toute leur longueur 31
31 (34) Aires précostale et vanale de l'élytre sans nervules régulières, parallèles, transverses, obliques 32
32 (33) Une épine apicale externe aux tibias postérieurs; nervules stridulatoires de l'aire radiale des élytres réduites (fig. 61). . . . . **Malagasacris** (p. 137)
33 (32) Pas d'épine apicale externe aux tibias postérieurs; nervules stridulatoires de l'aire radiale des élytres très réduites ou absentes (fig. 63). **Gergis** (p. 139)
34 (31) Aires précostale et vanale des élytres à nervules transverses, obliques, parallèles et régulières (fig. 64) . . . . **Morondavia** (p. 142)

Genre **Leptacris** Walker

Leptacris Walker, 1870 : 676; Dirsh, 1962 *a* : 277.
Ischinacrida Stål, 1873 : 53; Uvarov, 1944 : 18; Dirsh, 1962 *a* : 277.
Metapa Stål, 1878 : 51, 97; Dirsh, 1958 : 239; 1962 *a* : 277.
Rhamphacrida Karsch, 1893 : 112; Dirsh, 1958 : 239; 1962 *a* : 277.
Pretoriana Uvarov, 1922 : 99; Uvarov, 1941 : 16; Dirsh, 1962 a : 277.

Taille moyenne ou grande. Corps très allongé, bacilliforme. Tégument faiblement rugueux. Antennes comprimées, très légèrement à très nettement ensiformes, plus courtes ou plus longues que la tête et le pronotum réunis. Tête conique, plus ou moins aiguë; fastigium du vertex plus ou moins allongé, anguleux; côte frontale comprimée dans sa partie apicale, progressivement élargie vers le bas. Yeux ovales, un peu aplatis;

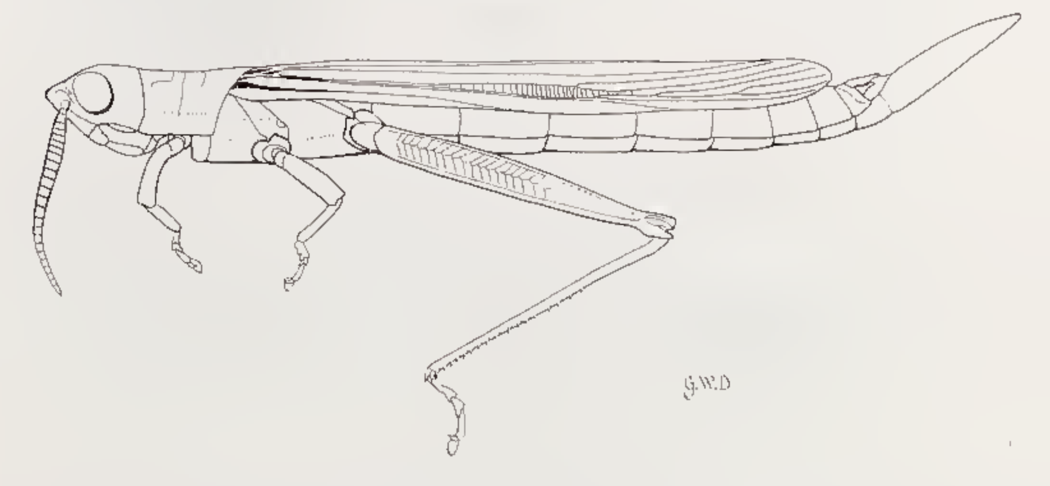


Fig. 42. — *Leptacris hova* (Karsch, 1896), ♂.

distance interoculaire égalant 2 à 3 fois la largeur du scape antennaire. Pronotum cylindrique, à carène médiane linéaire et sans carènes latérales; disque traversé par 3 sillons; métazone plus courte que la prozone, son bord postérieur convexe. Saillie prosternale fortement comprimée, anguleuse de profil, un peu inclinée vers l'arrière. Espace mésosternal fermé, en triangle renversé. Élytres moyennement ou très fortement raccourcis, atteignant le 8e ou le 9e tergite abdominal. Tympan bien développé. Pattes antérieures et moyennes courtes. Fémurs postérieurs longs et étroits; lobes inférieurs des genoux postérieurs allongés et étroits, aussi longs ou un peu plus longs que les lobes supérieurs. Épine apicale externe des tibias postérieurs présente. Arolium grand. Plaque sus-anale ♂ allongée, en angle aigu. Cerques étroits, coniques. Plaque sous-génitale allongée ou très allongée, fortement comprimée, en cône aigu. Oviscapte à valves grêles, courbées à l'apex; valves inférieures à saillie basale externe anguleuse.

Espèce type : *Leptacris filiformis* Walker, 1870.

1. Leptacris hova (Karsch) (loc. typ. : Madagascar, type ♂, Musée de Berlin).

Ischnacrida hova Karsch, 1896 : 289.
Ischnacrida pulchra Karny, 1907 : 300; DIRSH, 1962 *a* : 277.
Leptacris hova (Karsch, 1896); UVAROV, 1944 : 18; DIRSH, 1962 *a* : 277; DESCAMPS et WINTREBERT, 1966 *b* : 133.

Fig. 42. — Long. ♂ 55 à 60 mm, ♀ 66 à 72 mm; pronotum ♂ 6,8 à 7,6 mm, ♀ 9,2 à 9,6 mm; élytre ♂ 31 à 32,3 mm, ♀ 43 à 44 mm; fémur postérieur ♂ 18 à 19 mm, ♀ 27,5 à 29 mm.

♂. Antennes ensiformes, de 28 articles, plus longues que la tête et le pronotum réunis. Fastigium du vertex étroitement anguleux, à peu près 1 fois 1/2 plus long que large à la base, à apex rétréci; une courte carinule sur le vertex entre les yeux. Bord postérieur du pronotum en angle largement obtus, presque arrondi. Saillie prosternale à apex obtus ou légèrement arrondi.

Coloration générale ocre brunâtre. Tête et pronotum à bandes étroites, brunâtres, longitudinales; 1 bande longitudinale large, blanc d'argent, partant de la base des antennes, passant sous les yeux, longeant le bord inférieur des lobes latéraux du pronotum et atteignant la base des fémurs postérieurs. Ailes incolores.

♀. Semblable au ♂, mais plus grande.

Les 2 espèces mises en synonymie (DIRSH, 1962 *a*) ont été insuffisamment décrites; la seule différence relevée dans les descriptions est relative à la coloration de la face interne des fémurs postérieurs décrite comme « *infuscatis* » chez I. *hova* et « *luteo rubra concolora* (♂) *vel viridi coerulea, pallidipunctata* (♀) chez *I. pulchra*. Dans la série d'exemplaires étudiés, cette coloration varie de rougeâtre, pourpre, bleuâtre et brunâtre à brun (ce qui peut être dû à des décolorations *post mortem*). De petits points blanchâtres ou pâles, mais de la couleur du fond, peuvent être présents ou absents; la même variation de couleur se retrouve chez *L. violacea* (Karny, 1907) et *L. monteiroi* (I. Bolivar, 1820). Il n'existe aucune différence morphologique entre les 2 formes malgaches qui appartiennent certainement à la même espèce.

MADAGASCAR EST : Manakara, 15 km vers Vohipeno, XI-1957 (*J. Elie*).

MADAGASCAR CENTRE : Tananarive, parc de Tsimbazaza, VIII-1947 (*R. Paulian*). — Tsiroanomandidy, sommet de l'Ambohiby, V-1948 (*R. Paulian*). — Miarinarivo, VIII-1958 (*A. Robinson*). — Ambatofinandrahana, 1 180 m, VII-1957 (*P. Griveaud*). — Ambositra, VI-1962 (*D. Wintrebert*).

MADAGASCAR OUEST : Maevatanana, forêt de l'Ankarafantsika, poste d'Ampijoroa, XI-1951 (*P. Vielle*). — Soalala, Namoroka, Réserve naturelle intégrale VIII (*R. Paulian*).

MADAGASCAR SUD : Ivohibe-Vondrozo, VIII-1964 (*D. Wintrebert*). — Sud-Ouest, 1962-1964 (*D. Wintrebert*).

Genre **Xenippacris** Descamps et Wintrebert

Xenippacris Descamps et Wintrebert, 1966 *a* : 29; 1966 *b* : 139.

Proche du genre *Xenippoides* Chopard, 1952, dont il se différencie surtout par la présence d'un tympan auditif très développé, par des élytres latéraux, allongés, environ 4 fois plus longs que larges, atteignant le 2e tergite abdominal et par la présence d'ailes vestigiales.

Épiphalle à disque court, divisé au milieu, les 2 parties étroitement rapprochées; pas d'ancorae, lophi en forme de crochet, fortement recourbés vers l'intérieur et vers le haut. Partie basale et partie apicale du pénis réunies par une épaisse flexure; partie apicale de forme complexe, trilobée, non engainée; processus du gonopore long; sac éjaculateur grand. Arche du cingulum très épaisse; valves du cingulum grandes, bifides.

Espèce type : *Xenippacris viridis* Descamps et Wintrebert, 1966.

Genre placé provisoirement parmi les *Hemiacridinae.*

1. **Xenippacris viridis** Descamps et Wintrebert (loc. typ. : forêt Ouest de Vondrozo; holotype ♀, Muséum Paris).

Xenippacris viridis Descamps et Wintrebert, 1966 *a* : 29; 1966 *b* : 139.

Fig. 43. — Pronotum ♂ 3,2 mm, ♀ 4,5 mm; élytre ♀ 3,4 mm; fémur postérieur ♂ 11,2 mm, ♀ 13,1 mm.

♀. Taille moyenne; tégument finement rugueux, à pilosité longue, fine et clairsemée. Tête conique; face déclive, très légèrement incurvée de profil. Côte frontale étroite, sillonnée sur toute la longueur, s'élargissant progressivement vers le bas au-dessous de l'ocelle médian, comprimée latéralement à l'extrémité supérieure. Ocelles bien visibles. Fastigium légèrement ascendant, un peu plus long que le plus grand diamètre de l'œil, triangulaire, l'extrémité arrondie, la face dorsale légèrement convexe, séparée du vertex par un profond sillon tangent au bord antérieur des yeux. Une très fine carinule vertico-occipitale surtout marquée entre les yeux. Distance interoculaire subégale à la longueur des articles antennaires 2 et 3 réunis. Antennes beaucoup plus courtes que la tête et le pronotum réunis, composées de 18 articles; articles 3 à 7 élargis, de section triangulaire; reste du flagelle comprimé latéralement. Pronotum subcylindrique, dépourvu de carènes latérales; une très faible indication de carène médiane. Disque traversé par 3 sillons fins, le bord postérieur concave. Métazone égalant environ le 1/3 de la prozone; espace compris entre les sillons 2 et 3 subégal à la métazone; espace compris entre les sillons 1 et 2, 2 fois plus petit. Lobes latéraux rebordés en bas, le bord postérieur concave, le bord inférieur légèrement sinué, l'angle antérieur obtus, l'angle opposé d'un peu moins de 90°, légèrement saillant vers l'arrière. Saillie prosternale subcylindrique, s'élargissant vers l'extrémité, la face supérieure fortement ridée. Lobes mésosternaux transverses, subcontigus; espace métasternal clos. Élytres à bords parallèles, l'extrémité arrondie, recouvrant le tympan auditif; vestiges alaires constitués d'un double repli tégumentaire ne dépassant pas le bord postérieur du métanotum. Pattes antérieures et médianes longues; fémurs antérieurs de section subcirculaire; arolium égalant environ la moitié de la longueur des griffes. Fémur postérieur mince, n'atteignant pas l'extrémité de l'abdomen. Épine apicale externe des tibias postérieurs présente; tarses postérieurs nettement plus courts que la moitié des tibias, l'arolium subégal à la longueur des griffes. Cerques droits, subcylindriques, ne dépassant pas l'extrémité de la plaque sus-anale. Plaque sous-génitale terminée par une projection médiane triangulaire, le bord postérieur légèrement incisé de part et d'autre de la base de ce triangle. Valves de l'oviscapte longues, étroites, l'extrémité non recourbée, les bords finement dentés.

Teinte générale verdâtre. Une bande dorsale marron rougeâtre, bordée de 2 bandes vertes, s'étendant du bord antérieur du pronotum à l'extrémité de l'abdomen. Face verte; joues de même couleur avec une bande jaune s'élargissant d'avant en arrière,

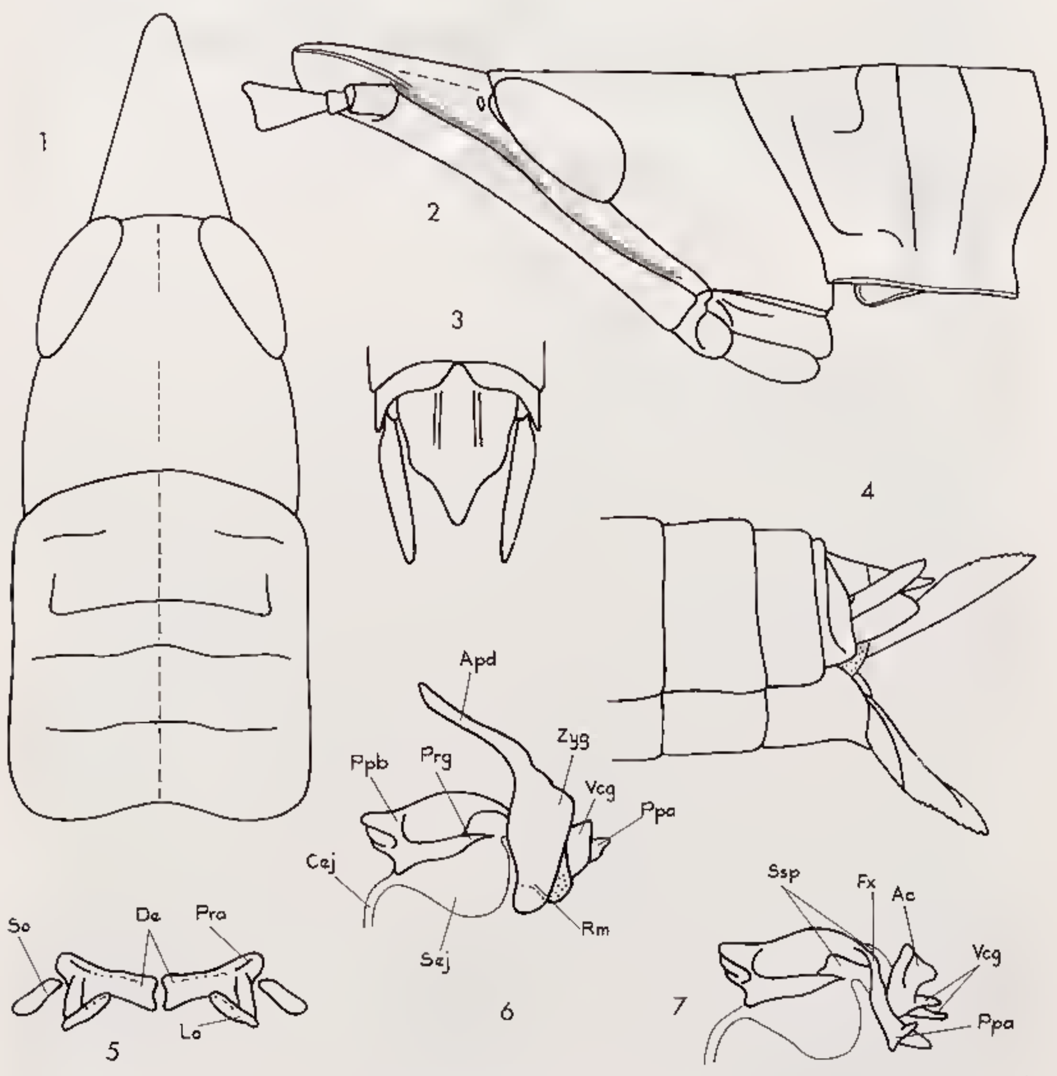


FIG. 43. — *Xenippacris viridis* Descamps et Wintrebert, 1966. — 1, Tête et pronotum ♀ dorsalement. — 2, *id.*, latéralement. — 3, Extrémité abdominale ♂ dorsalement. — 4, *id.*, ♀ latéralement. — 5, Épiphalle. — 6, Complexe phallique latéralement. — 7, Endophalle latéralement.

traversant les lobes latéraux du pronotum et atteignant la base du fémur postérieur. Bande jaune des lobes latéraux du pronotum surmontée d'une ligne brune. Pattes vert jaune, l'aire inféro-interne des fémurs postérieurs rouge. Tibias postérieurs violacés, la base verdâtre. Face inférieure du corps jaunâtre.

♂. Présumé. Fastigium déprimé transversalement à la base. Yeux allongés, convexes. Lobes métasternaux contigus. Arolium des tarses 1 et 2 subégal à la longueur des griffes; arolium des tarses postérieurs plus grand que les griffes. Plaque sus-anale subrectangulaire, déprimée longitudinalement à la base. Bord postérieur du dernier tergite avec découpure médiane limitée par 2 petits lobes arrondis, peu saillants, encadrant la dépression basale de la plaque sus-anale. Cerques droits, subcylindriques, dépassant largement l'extrémité de la plaque sus-anale, l'apex subaigu. Plaque sous-génitale courte, conique.

Madagascar Est : Forêt Ouest de Vondrozo, VIII-1964 (*D. Wintrebert*). — Ivondro, XII-1938 et I-1939 (*A. Seyrig*).

Genre **Acutacris** Dirsh

Acutacris Dirsh, 1966 : 537.

Petit. Tégument finement rugueux. Antennes filiformes, légèrement comprimées à la base, plus longues que la tête et le pronotum réunis. Tête étroite, conique, allongée. Fastigium du vertex 2 fois plus long que large à la base, séparé du vertex par une dépression semi-circulaire, l'extrémité aiguë. Front fortement oblique et incurvé de profil; côte frontale basse, étroite, légèrement sillonnée, lamelliforme en avant des antennes. Ocelles très petits. Yeux grands, ovales, fortement convexes. Pronotum cylindrique; disque traversé par 3 sillons; carène médiane à peine décelable; pas de carènes latérales; métazone à peu près égale au 1/6 de la longueur de la prozone, le bord postérieur incurvé. Saillie prosternale transverse, spatulée, s'élargissant et légèrement renflée vers l'extrémité. Espace mésosternal petit, clos, en triangle inversé. Espace métasternal petit, clos, piriforme. Organe tympanal, élytres et ailes totalement absents. Fémurs postérieurs étroits, élancés, dépassant l'extrémité de l'abdomen; lobes des genoux postérieurs courts, anguleux. Une épine apicale externe aux tibias postérieurs; éperons courts, ceux de la face interne un peu plus longs que ceux de la face externe. Tarses postérieurs longs et grêles. Arolium grand. Plaque sus-anale allongée, en triangle étroit. Cerques relativement longs, étroits, presque cylindriques, arrondis à l'apex. Plaque sous-génitale étroite et conique.

Complexe phallique : valves apicales du pénis grandes et larges, de forme irrégulière, arrondies à l'apex; valves du cingulum fusionnées, plus courtes que les valves du pénis; flexure fine et très courte; valves basales du pénis grandes, à expansion externe forte; processus du gonopore long et étroit; zygoma de grande taille; apodèmes relativement courts, en forme de U, légèrement élargis à l'extrémité. Épiphalle divisé au milieu, dépourvu d'ancorae et d'aires latérales; lophi en forme de crochet courbé vers l'intérieur.

Genre classé provisoirement parmi les *Hemiacridinae*.

Espèce type : *Acutacris viridis* Dirsh, 1966.

Clé des espèces (♂, ♀)

1 (2) Côte frontale atteignant l'extrémité du fastigium; 3 articles du flagelle antennaire brun orange; tibias antérieurs et médians marqués d'un large

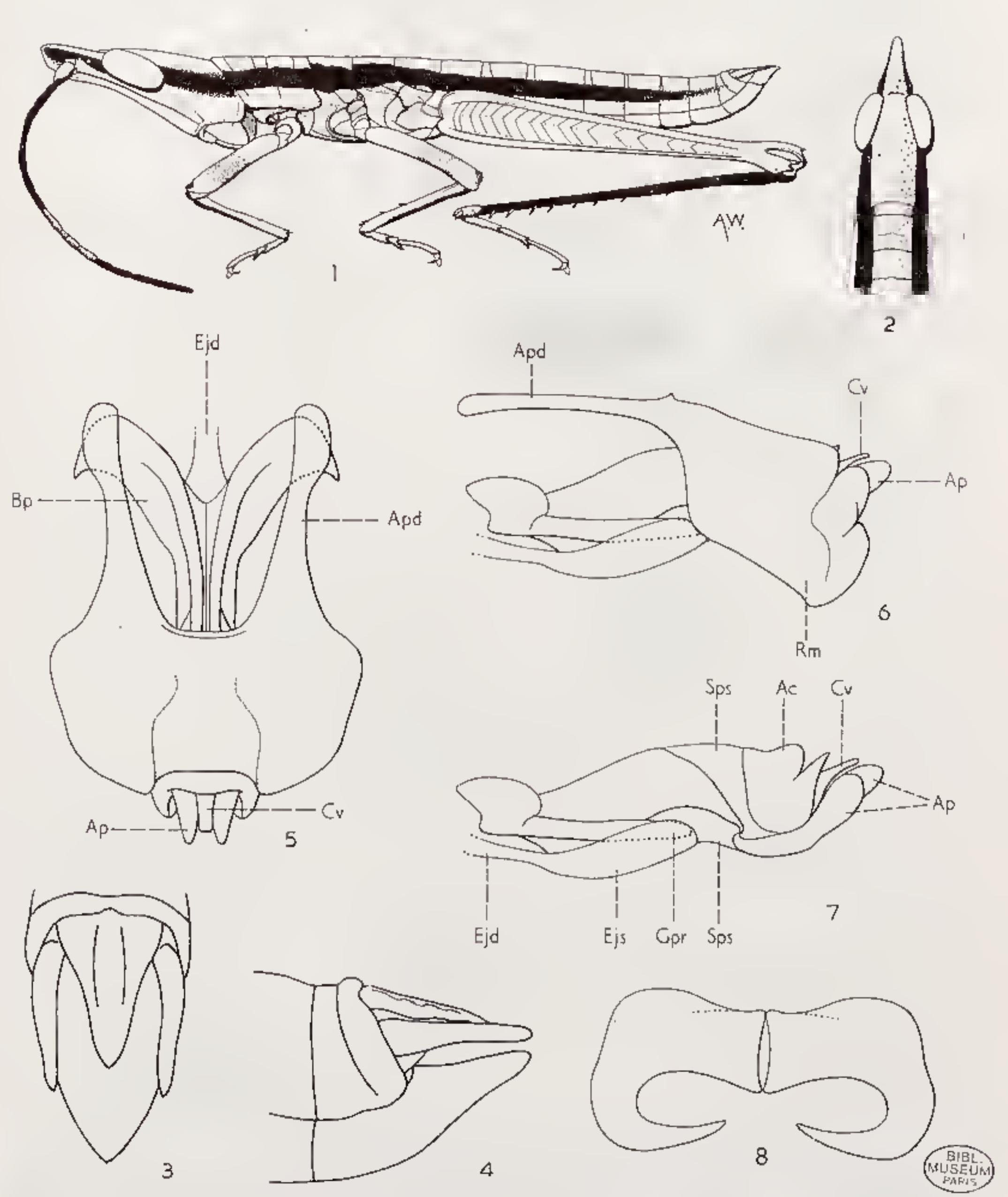


FIG. 44. — *Acutacris viridis* Dirsh, 1966, ♂, type. — 1, ♂. — 2, Tête et pronotum dorsalement. — 3, Extrémité abdominale dorsalement. — 4, *id.* latéralement. — 5, Complexe phallique dorsalement. — 6, *id.*, latéralement. — 7, Endophalle latéralement. — 8, Épiphalle.

anneau subapical rouge (fig. 44) . . . . 1. **A. viridis**

2 (1) Côte frontale n'atteignant pas l'extrémité du fastigium; articles antennaires annelés de jaune; tibias antérieurs et médians monochromes (fig. 45). . . . . 2. **A. tsaratananae**

1. Acutacris viridis Dirsh (loc. typ. : Ivondro; type ♂, Muséum Paris).

Acutacris viridis Dirsh, 1966 : 538.

Fig. 44. — Long. 21 mm; pronotum 2,3 mm; fémur postérieur 10,4 mm.

♂. Antennes de 22 articles; articles du flagelle 2 fois plus longs que larges. Tégument à pilosité clairsemée. Pattes des 2 premières paires relativement courtes.

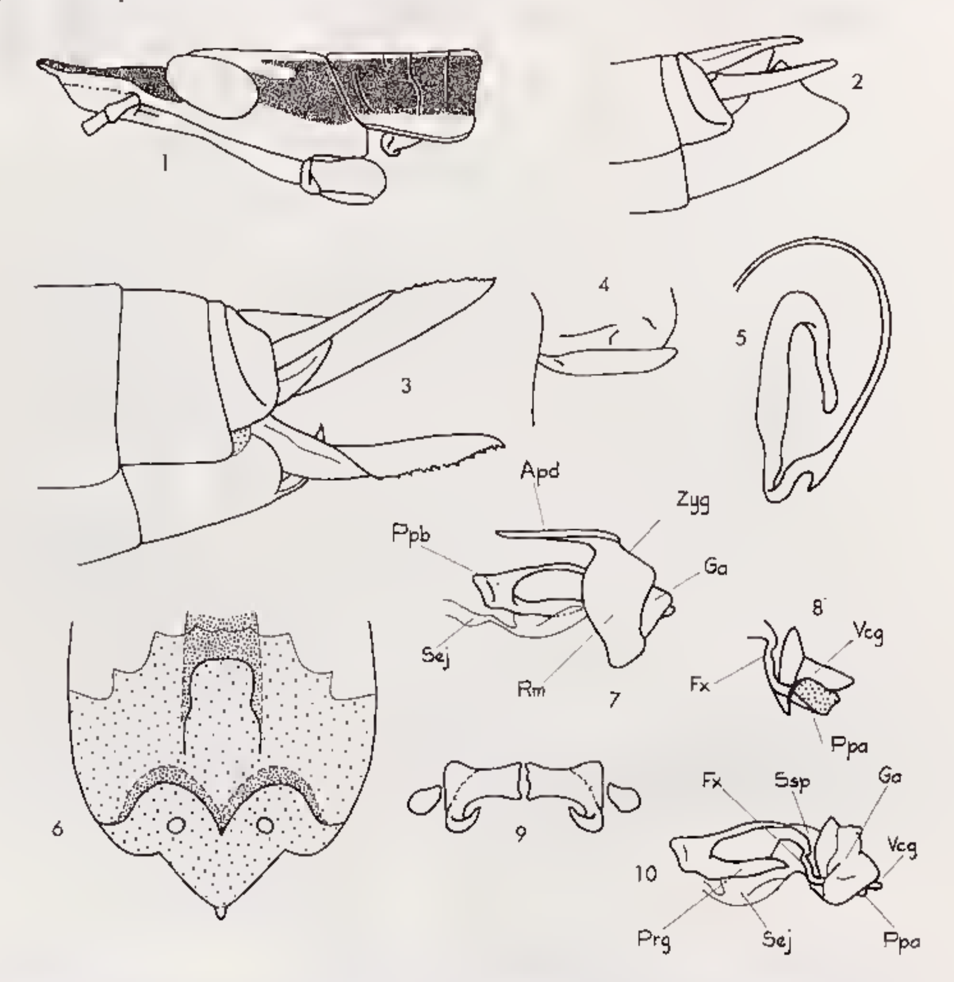


Fig. 45. — *Acutacris tsaratananae* Descamps et Wintrebert, 1967. — 1, Tête et pronotum ♂ latéralement. — 2, Extrémité abdominale ♂ latéralement. — 3, *id.*, ♀. — 4, Vestige élytral ♂. — 5, Extrémité de la spermathèque. — 6, Plaque sous-génitale ♀, face dorsale. — 7, Complexe phallique latéralement. — 8, Extrémité de l'endophalle. — 9, Épiphalle. — 10, Endophalle latéralement.

Teinte générale vert jaunâtre; antennes noirâtres avec 3 articles du milieu brun orange; une étroite bande brunâtre partant de l'extrémité du fastigium, traversant la région postoculaire, passant au milieu des lobes latéraux du pronotum et atteignant l'extrémité de l'abdomen; un large anneau préapical de coloration rouge sur les fémurs antérieurs et médians; tibias postérieurs bleus, les épines grisâtres à apex brun.

Madagascar Est : Ivondro, I-1939 (*A. Seyrig*).

2. Acutacris tsaratananae Descamps et Wintrebert, 1967 (loc. typ. : Massif du Tsaratanana; holotype ♂, allotype ♀, Muséum Paris).

Acutacris tsaratananae Descamps et Wintrebert, 1967 : 89.

Fig. 45. — Long. ♂ 22,7 à 23,3 mm, ♀ 28,8 à 30,8 mm; pronotum ♂ 2,5 à 2,7 mm, ♀ 3,5 à 3,7 mm; fémur postérieur ♂ 10 à 10,5 mm, ♀ 12 à 12,5 mm.

♂. Fastigium du vertex un peu plus de 2 fois plus long que large à la base, l'extrémité très aiguë. Espace interoculaire de largeur subégale à celle du scape antennaire. Côte frontale à peine décelable et très finement sillonnée au-dessous des antennes, comprimée et profondément sillonnée à la partie supérieure, n'atteignant pas l'extrémité du fastigium. Antennes de 21 articles, tous les articles du flagelle plus longs que larges. Pronotum cylindrique, la métazone subégale au 1/6 de la prozone, subégale à la distance comprise entre les sillons 1 et 2. Saillie prosternale comprimée frontalement, de section rectangulaire, droite, la face supérieure concave (parfois bilobée). Subaptère; vestiges élytraux étroits, dépassant un peu le bord postérieur du mésonotum; pas d'ailes ni de tympan.

Teinte générale ocre jaune. Deux bandes dorso-latérales bleu noir partant de l'extrémité du fastigium et atteignant l'extrémité de l'abdomen, très larges sur la tête et le thorax, se rétrécissant sur l'abdomen. Une bande dorso-médiane, de coloration jaune, environ 4 fois plus étroite que les bandes dorso-latérales. Face, joues, espace interoculaire et partie inférieure des lobes latéraux du pronotum jaunes. Antennes bleu noir, les articles de la moitié basale cerclés de jaune à l'extrémité, ceux de la moitié apicale marqués de jaune à la face ventrale seulement. Épimères mésothoraciques rouges. Face ventrale des pattes antérieures et médianes ocre jaune. Fémurs postérieurs ocre jaune, l'aire inféro-interne et la moitié inférieure de l'aire médiane interne rouges. Tibias postérieurs bleu violacé foncé; épines bleues à la base, verdâtres au milieu et noires à l'apex; éperons et tarses verdâtre très clair.

Épiphalle divisé, dépourvu d'ancorae, à lophi en forme de crochet courbé vers l'intérieur. Extrémité de l'endophalle à gaîne très fortement sclérifiée; valves du cingulum soudées, formant une collerette au-dessus du sac spermatophore. Valves basales et apicales du pénis réunies par une flexure; extrémité des valves apicales comprimée latéralement; partie antérieure des valves basales excurvée.

♀. Partie postérieure de la plaque sous-génitale trilobée; lobe médian triangulaire, recourbé entre les valves inférieures de l'oviscapte. Cerques longs, subcylindriques, l'extrémité aiguë, dépassant largement l'extrémité de la plaque sus-anale. Valves de l'oviscapte longues, l'extrémité non recourbée, les bords finement dentés.

Teinte générale verdâtre. Une bande dorso-médiane jaune, bordée de 2 lignes bleues sur le pronotum et l'abdomen; antennes comme chez le ♂; cerques bleu noir; faces latérales des valves supérieures de l'oviscapte en grande partie bleu noir; tarses postérieurs verts. Partie postérieure de la spermathèque 2 fois coudée à angle aigu; un petit diverticule basal, subconique.

Madagascar Sambirano : Massif du Tsaratanana, entre 1 500 et 2 200 m, XI-1966 (*D. Wintrebert*).

Genre **Xenippoides** Chopard

Xenippoides Chopard, 1952 : 512; Dirsh, 1962 *a* : 298.

Taille faible; bacilliforme. Antennes aussi longues que la tête et le pronotum réunis, ensiformes; moitié basale de section triangulaire. Tête allongée, conique; fastigium du vertex à apex subaigu, très saillant en avant des yeux, un peu convexe, séparé du vertex par un fin sillon; front fortement oblique et concave; côte frontale étroite, fortement comprimée au-dessus des antennes, étroitement sillonnée, les carinules latérales obtuses. Yeux allongés, ovales. Ocelles absents. Pronotum court, cylindrique; disque traversé par 3 fins sillons; métazone égalant à peu près le 1/4 de la prozone, son bord postérieur légèrement concave. Saillie prosternale légèrement spatulée, comprimée frontalement, à apex légèrement bilobé et un peu renflé. Espace mésosternal fermé, en triangle inversé. Élytres vestigiaux; ailes et tympan absents. Pattes antérieures et intermédiaires courtes. Fémurs postérieurs grêles, n'atteignant pas l'apex de l'abdomen. Une épine apicale externe aux tibias postérieurs. Tarses postérieurs plus courts que la moitié des tibias correspondants. Arolium moyen. Dernier tergite abdominal ♂ présentant 2 petites saillies largement arrondies. Plaque sus-anale allongée, anguleuse. Cerques longs, étroits, coniques. Plaque sous-génitale courte, conique.

Phallus grêle; pas de gaine pénienne; rami grands; valves basales et apicales du pénis réunies par une flexure; valves apicales grandes, lobiformes; valves du cingulum petites; arche du cingulum présente; processus du gonopore allongé. Épiphalle divisé au milieu; ancorae petites et obtuses; lophi en forme de crochet courbé vers l'intérieur. Oviscapte long, grêle, à valves droites, crénelées sur le bord externe, l'apex obtus. Plaque sus-anale ♀ allongée, anguleuse. Cerques droits, étroits, en forme de bâtonnet, à apex obtus. Plaque sous-génitale à saillie médiane triangulaire.

D'après la forme de la tête, de l'oviscapte et des cerques, ce genre paraît proche de *Galideus* dont il diffère cependant très profondément par les ailes vestigiales, la tête moins allongée et moins aiguë, par les tarses plus courts et par d'autres caractères.

Espèce type : *Xenippoides elongatus* Chopard, 1952.

1. Xenippoides elongatus Chopard (loc. typ. : Massif du Tsaratanana; type ♂, Muséum Paris).

Xenippoides elongatus Chopard, 1952 : 512; Dirsh, 1962 *a* : 300.

Fig. 46. — Long. ♂ 19,5 mm, ♀ 23,5 mm; pronotum ♂ 2,5 mm, ♀ 3 mm; fémur postérieur ♂ 9,2 mm, ♀ 9,8 mm.

♂. Tégument finement rugueux, à pilosité clairsemée. Tête lisse; fastigium du vertex un peu relevé, légèrement ponctué. Bord inférieur des lobes latéraux du pronotum droit. Lobes inférieurs des genoux postérieurs anguleux, à apex obtus.

Coloration générale ocre, à bande plus foncée, peu marquée, le long des côtés de la tête et d'une partie du pronotum. Une petite tache noire ou rougeâtre sur les pleures. Tibias postérieurs rougeâtres.

♀. Comme le ♂ mais plus grande.

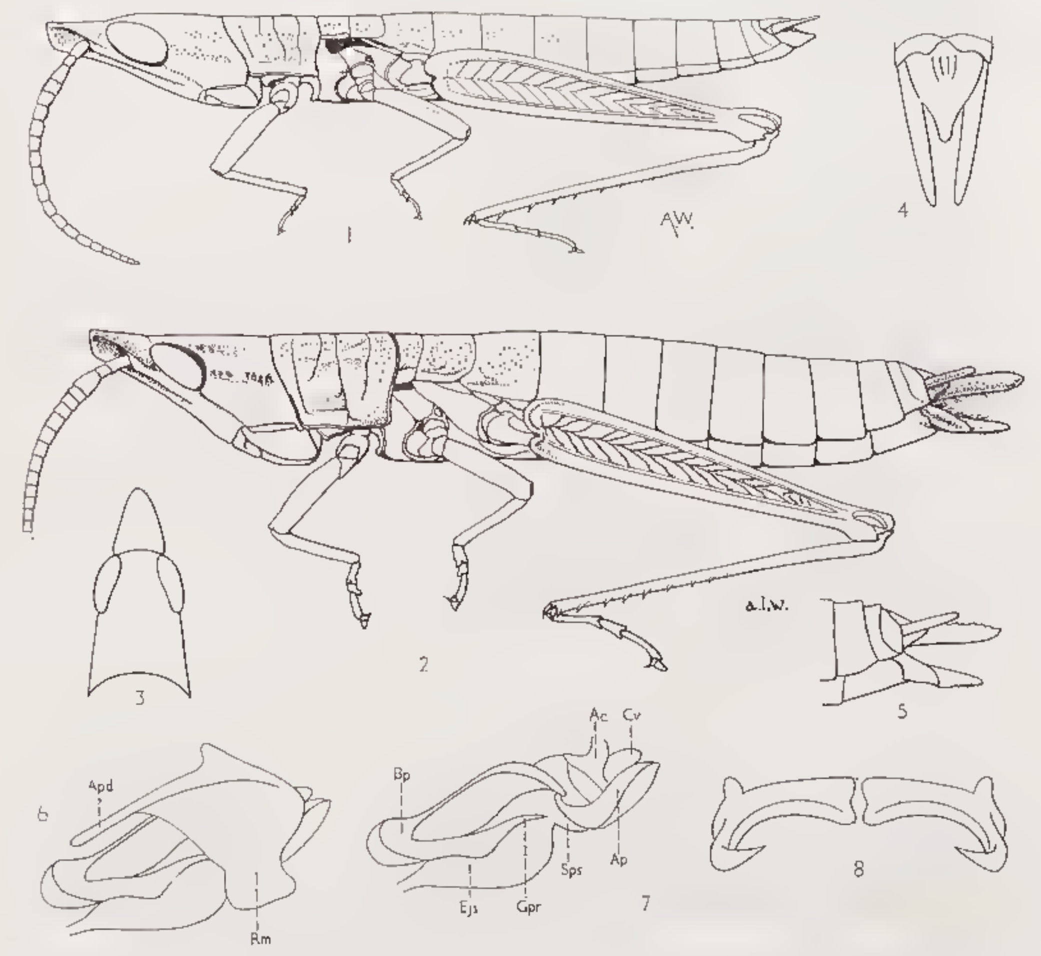


FIG. 46. — *Xenippoides elongatus* (Chopard, 1952). — 1, ♂ type. — 2, ♀ paratype. — 3, Tête dorsalement. — 4, Extrémité abdominale ♂ dorsalement. — 5, *id.*, ♀ latéralement. — 6, Complexe phallique latéralement, membrane ectophallique et épiphalle enlevés. — 7, *id.*, la plus grande partie du cingulum enlevée. — 8, Épiphalle.

MADAGASCAR SAMBIRANO : Massif du Tsaratanana, niveau de la forêt à mousses, X-1949 (*R. Paulian*); 2 200 m sur Cypéracées, XI-1966 (*D. Wintrebert*); 2 600 m, XI-1966 (*Ch. P. Blanc*).

Genre **Galideus** Finot

Galideus Finot, 1908 : 1; Dirsh, 1962 *a* : 296.

Taille moyenne. Corps très fortement allongé et étroit. Tégument finement rugueux, à pilosité clairsemée. Antennes filiformes, plus courtes que la tête et le pronotum réunis chez la ♀, plus longues chez le ♂. Tête fortement allongée, conique; fastigium du vertex étroit, bien plus long que le plus grand diamètre de l'œil, l'extrémité aiguë, le dessus convexe; une dépression et un fort sillon transverse à la base; front un peu concave; côte frontale étroite, basse, à carinules latérales parallèles, basses, obtuses, séparées par une faible dépression; partie supérieure comprimée latéralement. Espace interoculaire de largeur subégale à celle du 1er article des antennes. Ocelles vestigiaux. Pronotum cylindrique, à 4 sillons superficiels, les 2 premiers parfois indistincts; métazone à peu près égale au 1/4 de la longueur de la prozone. Saillie prosternale élargie vers l'extrémité, la face supérieure un peu concave. Espace mésosternal petit, fermé, en triangle inversé. Élytres et ailes abrégés, dépassant de peu le milieu de l'abdomen; élytres à apex arrondi et nervules stridulatoires fortement réduites; ailes larges à bord externe fortement convexe. Fémurs postérieurs étroits, grêles, n'atteignant pas l'extrémité de l'abdomen; lobe externe inférieur des genoux postérieurs anguleux; une épine apicale externe aux tibias postérieurs; tarses grêles égalant à peu près la moitié des tibias correspondants. Arolium grand. Plaque sus-anale ♂ allongée, anguleuse, à apex atténué; cerques longs, droits, presque cylindriques, à apex subaigu; plaque sous-génitale courte, conique.

Phallus relativement grêle. Valves apicales et basales du pénis réunies par une flexure fine mais forte. Valves du cingulum grandes; arche du cingulum large et forte. Épiphalle non divisé, sans ancorae; lophi grands, en forme de crochet, incurvés vers l'intérieur. Oviscapte étroit, allongé, à valves droites. Plaque sous-génitale ♀ trilobée, le lobe médian triangulaire plus long que les lobes latéraux.

Espèce type : *Galideus mocquerysi* Finot, 1908.

Clé des espèces (♂)

1 (2) Bande jaune vif longeant le bord inférieur du pronotum de largeur subégale au 1/3 de la hauteur des lobes; disque du pronotum sombre à bande médiane claire; fastigium très étroit à l'extrémité . . . . . 1. **G. mocquerysi**

2 (1) Bande jaune paille longeant le bord inférieur du pronotum de largeur subégale à la moitié de la hauteur des lobes; disque du pronotum uniformément brun; fastigium plus large à l'extrémité . . . . 2. **G. elegans**

1. **Galideus mocquerysi** Finot (loc. typ. : Maroantsetra; type ♂, Muséum Paris).

Galideus mocquerysi Finot, 1908 : 3; Dirsh, 1962 *a* : 298.

Fig. 47. — Long. ♂ 31,5 à 34 mm, ♀ 49 mm.

♂. Antennes entièrement filiformes. Fastigium du vertex un peu plus court que 2 fois le plus grand diamètre de l'œil, à apex fortement aigu, presque pointu.

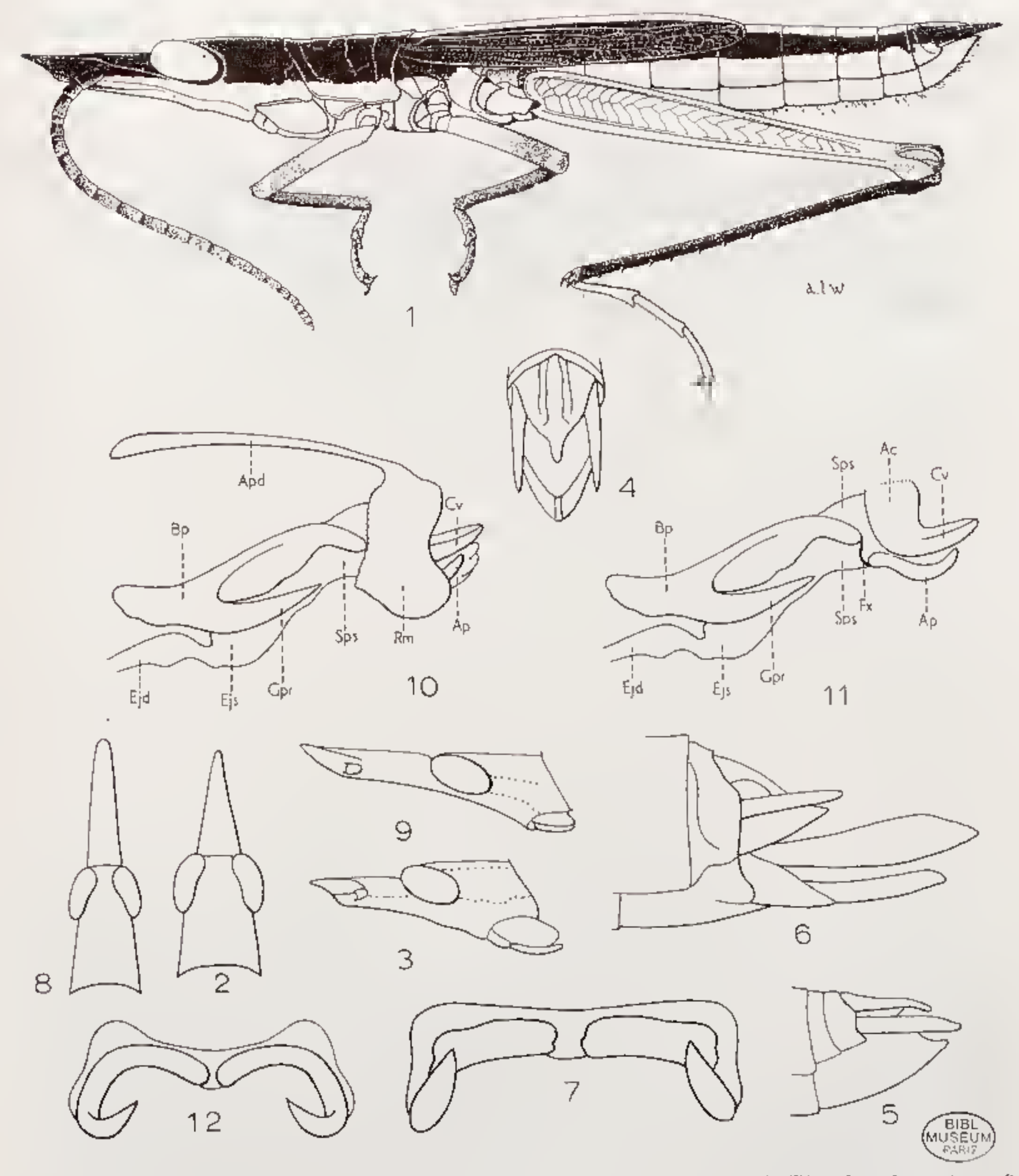


FIG. 47. — 1 à 7, *Galideus mocquerysi* (Finot, 1908). — 1. ♂ type. — 2, Tête dorsalement. — 3, *id.*, latéralement. — 4, Extrémité abdominale ♂ dorsalement. — 5. *id.*, latéralement. — 6, Extrémité abdominale ♀ latéralement. — 7, Épiphalle.
— 8 à 12, *Galideus elegans* Dirsh, 1962. — 8, Tête dorsalement. — 9, *id.*, latéralement. — 10, Complexe phallique latéralement, l'essentiel de la membrane ectophallique et de l'épiphalle enlevé. — 11, *id.*, l'essentiel du cingulum enlevé. — 12, Épiphalle.

Coloration générale jaunâtre; antennes noires; une large bande latérale noirâtre partant du fastigium du vertex et atteignant l'extrémité des élytres. Fémurs postérieurs rougeâtres; tibias postérieurs pourpre noirâtre; tarses rougeâtres.

♀. Comme le ♂ mais plus grande.

Madagascar Est : Massif du Marojejy, Réserve naturelle intégrale XII, Andrakata, II-1959 (*P. Soga*). — Maroantsetra, baie d'Antongil, XII (*A. Mocquerys*).

2. Galideus elegans Dirsh (loc. typ. : Ambodirafia; type ♂, Muséum Paris)

Galideus elegans Dirsh, 1962 *a* : 298.

Fig. 47. — Long. ♂ 31 mm, ♀ 41 mm; pronotum ♂ 4 mm, ♀ 5,1 mm; élytre ♂ 11,3 mm, ♀ 13,8 mm; fémur postérieur ♂ 14 mm, ♀ 15 mm.

♂. Diffère de *G. mocquerysi* Finot, par sa taille un peu plus faible, la base des antennes comprimée, le fastigium du vertex plus de 2 fois plus long que le plus grand diamètre de l'œil, à apex parabolique, les sillons du pronotum plus fins.

Coloration générale orange jaunâtre. Antennes brun clair; bandes longitudinales latérales du corps brunâtres; genoux postérieurs orangé jaunâtre; tibias postérieurs noir bleuâtre; tarses jaune orangé.

♀. Comme le ♂ mais plus grande.

Madagascar Est : Tamatave, Ambodirafia, II-1934 (*A. Seyrig*). — Perinet (*A. Seyrig*).

Madagascar Centre : Fianarantsoa, forêt d'Ambohimitombo (*A. Seyrig*).

Genre **Spathosternum** Krauss

Spathosternum Krauss, 1877 : 143; Dirsh, 1962 *a* : 278.

Taille faible. Tégument finement rugueux, presque lisse. Antennes filiformes, plus courtes que la tête et le pronotum réunis. Tête conique; fastigium du vertex parabolique ou en angle obtus; front fortement oblique; côte frontale étroite, profondément sillonnée. Disque du pronotum subplan, traversé par 3 sillons; carènes médiane et latérales présentes; métazone plus courte que la prozone, son bord postérieur excurvé. Saillie prosternale grande, fortement comprimée frontalement, spatulée, inclinée vers l'arrière. Espace mésosternal fortement rétréci. Macroptère ou brachyptère. Tympan moyen. Fémurs postérieurs grêles. Une épine apicale externe aux tibias postérieurs. Arolium grand. Plaque sus-anale ♂ allongée, anguleuse. Cerques simples, coniques, parfois un peu courbés en dedans. Plaque sous-génitale courte, subconique à apex obtus.

Épiphalle à pont entier; ancorae courtes; lophi lobiformes. Oviscapte court, moyennement robuste, à valves courbées.

Espèce type : *Tristria nigrotaeniata* Stål, 1876.

1. Spathosternum malagassum Dirsh (loc. typ. : Ankazobe; type ♂, Muséum Paris).

Spathosternum malagassum Dirsh, 1962 *a* : 278.

Fig. 48. — Long. ♂ 12,2 à 14,5 mm, ♀ 17 à 21,2 mm; pronotum ♂ 2,3 à 2,5 mm, ♀ 3,2 à 3,8 mm; élytre ♂ 2,6 à 3,1 mm, ♀ 3,7 à 4,3 mm; fémur postérieur ♂ 6,2 à 7,5 mm, ♀ 17 à 21,2 mm.

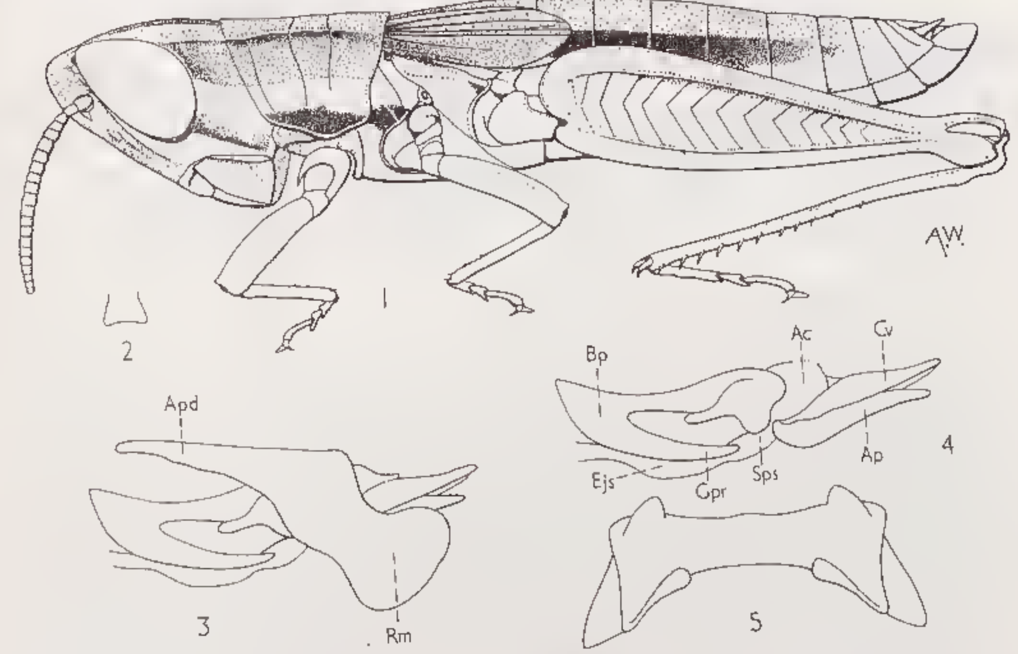


FIG. 48. — *Spathosternum malagassum* Dirsh, 1962. — 1, ♂. — 2, Saillie prosternale. — 3, Complexe phallique latéralement, épiphalle et membrane ectophallique enlevés. — 4, *id.*, la plus grande partie du cingulum enlevée. — 5, Épiphalle.

♂. Très proche de *Spathosternum curtum* Uvarov, 1953 de l'Angola. En diffère par les caractères suivants : élytres lobiformes, ne se chevauchant pas sur le dos, á nervation plus réduite et plus grossière; carènes latérales du pronotum plus développées. Élytres peu rétrécis vers l'arrière, l'extrémité largement arrondie, n'atteignant pas le bord postérieur du 2e tergite abdominal. Bord supérieur de la saillie prosternale concave. Complexe phallique ne différant de *S. curtum* que par de faibles détails.

Teinte générale brune; une bande noire partant du bord antérieur des lobes latéraux du pronotum et atteignant les épisternes mésothoraciques, une bande jaune verdâtre partant du bord postérieur des yeux et atteignant la base des fémurs postérieurs; deux bandes dorso-latérales de coloration brun foncé sur l'abdomen.

♀. Tête et thorax généralement de coloration verte (quelques exemplaires bruns); une bande brun noir partant du bord antérieur des lobes latéraux du pronotum et atteignant les épisternes mésothoraciques; une bande brune partant du bord postérieur des yeux, longeant le bord supérieur des lobes latéraux du pronotum et atteignant l'extrémité de l'abdomen; une ligne noire transjugale; moitié externe des élytres

brune et moitié interne verte; fémurs postérieurs verts, la carène supéro-externe noire, l'aire supéro-externe brune; abdomen brun.

Madagascar Centre : Ankazobe, forêt du Tampoketsa d'Ambohitantely, II-1948 (*P. Cachan*). — Ankaratra, 2 400 m, sur *Danthonia* sp., larves et ailés, VI-1967 (*D. Wintrebert*).

Genre **Paraspathosternum** Ramme

Paraspathosternum Ramme, 1929 : 325; Dirsh, 1962 *a* : 279.

Diffère de *Spathosternum* par la tête plus aiguë et le bord postérieur du pronotum anguleusement concave.

Espèce type : *Paraspathosternum stenopterum* Ramme, 1929.

1. **Paraspathosternum andringitra** Dirsh (loc. typ. : Massif de l'Andringitra: type ♂, Muséum Paris).

Paraspathosternum andringitra Dirsh, 1962 *a* : 279.

Fig. 49. — Long. ♂ 17,2 mm, ♀ 26 mm; pronotum ♂ 3,2 mm, ♀ 5,5 mm; élytre ♂ 4 mm, ♀ 6,6 mm; fémur postérieur ♂ 8,8 mm, ♀ 13 mm.

♂. Taille moyenne; corps cylindrique (un peu élargi au milieu chez la ♀). Tégument finement rugueux et luisant. Antennes de 20 articles, épaisses, filiformes, plus courtes que la tête et le pronotum réunis. Tête conique; fastigium du vertex largement anguleux, court, un peu concave, à carinules marginales obtuses; espace interoculaire plus large que l'article basal des antennes; une carinule vertico-occipitale peu prononcée; front fortement oblique, côte frontale profondément sillonnée, avec d'épaisses carinules latérales obtuses, presque parallèles sur toute la longueur et fusionnées à l'apex en une carène étroite. Pronotum subcylindrique; disque aplati, traversé par 3 sillons; carènes médiane et latérales peu développées, obtuses, presque parallèles; métazone plus courte que la moitié de la prozone, son bord postérieur découpé en angle rentrant obtus. Saillie prosternale spatulée, à apex profondément bilobé; espace mésosternal plus long que large, un peu étranglé en son milieu. Élytres lobiformes, latéraux, à surface convexe, atteignant le milieu du 2e ou du 3e tergite abdominal; nervation et réticulation épaisses et grossières; apex subaigu. Fémurs postérieurs moyennement grêles; lobe inférieur des genoux postérieurs arrondi; une épine apicale externe aux tibias postérieurs. Arolium grand. Plaque sus-anale ♂ courte, anguleuse. Cerques droits, étroitement coniques. Plaque sous-génitale courte, subconique.

Complexe phallique grêle. Apodèmes en forme de fer à cheval; rami étroits; gaîne du pénis présente; valves basales et apicales du pénis réunies par un fin connectif; processus du gonopore grand; valves apicales du pénis petites; valves du cingulum grandes, à développement apical; arche du cingulum grande. Épiphalle à pont large; ancorae anguleuses et petites; lophi lobiformes, moyens.

Coloration générale brun foncé. Joues à bande ocre en arrière des yeux; une autre bande de même couleur, moins développée, à la partie inférieure; carènes latérales du pronotum et partie inférieure des lobes latéraux brunâtre pâle; pleures avec une bande longitudinale ocre sale; élytres brun clair dans la partie basale, brun foncé

dans la partie apicale; lobe inférieur des genoux postérieurs ocre; tibias postérieurs rougeâtres à épines blanchâtres, brunes à l'apex.

♀. Comme le ♂, mais plus grande, à corps plus élargi au milieu. Plaque sous-génitale légèrement trilobée, le lobe médian anguleux. Valves de l'oviscapte grêles, légèrement courbées à l'apex.

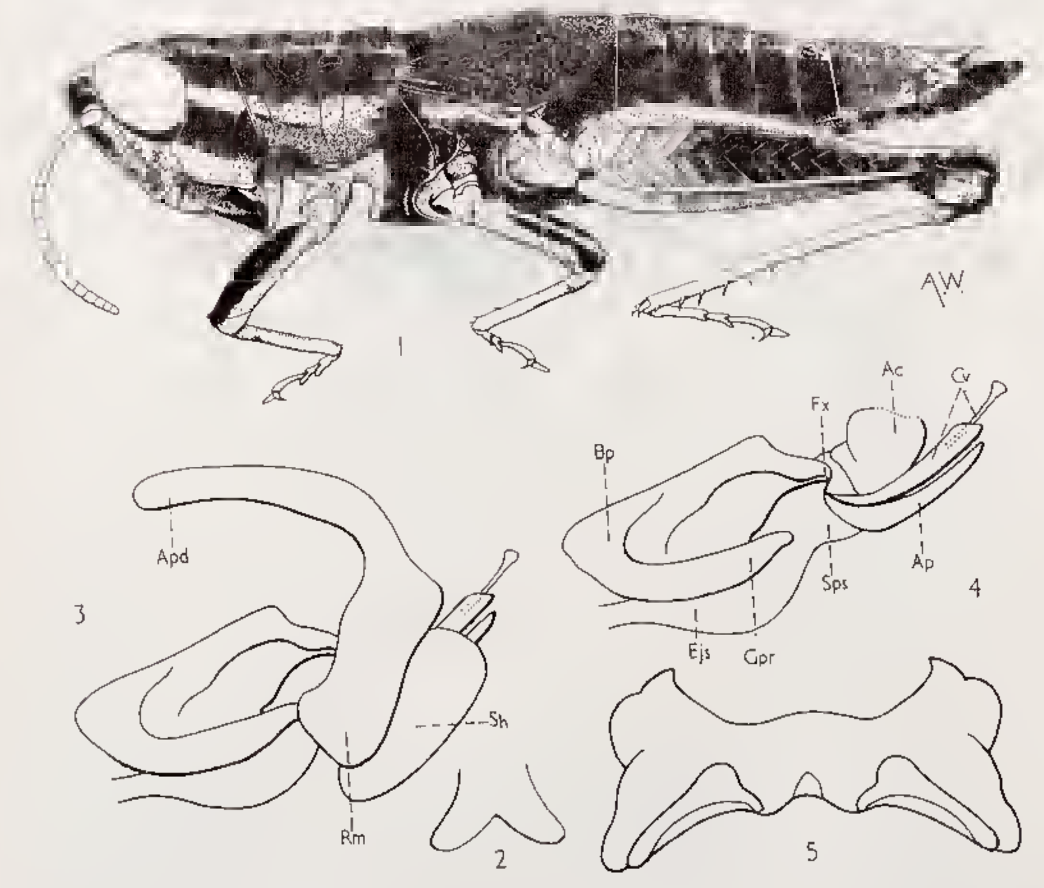


FIG. 49. — *Paraspathosternum andringitra* Dirsh, 1962. — 1, ♂ type. — 2, Saillie prosternale — 3, Complexe phallique latéralement. — 4, *id.*, la plus grande partie du cingulum enlevée. — 5, Épiphalle.

MADAGASCAR CENTRE : Ambalavao, massif de l'Andringitra, cirque Boby, 2 500 m, I-1958 (*R. Paulian*).

Cette espèce est extérieurement très proche de *Paraspathosternum pedestris* (Miller, 1929) d'Afrique, mais le complexe phallique est assez différent. La connexion entre les valves apicales et basales du pénis, présente chez *andringitra*, est absente chez *pedestris*. La forme des valves apicales du pénis est différente et les valves du cingulum, petites et simples chez *pedestris* sont très complexes chez *andringitra*. Les 2 espèces relèvent peut-être de genres différents.

Genre **Pseudoserpusia** Dirsh

Pseudoserpusia Dirsh, 1962 *a* : 281.

Taille moyenne. Tégument rugueux et luisant. Antennes filiformes, plus longues que la tête et le pronotum réunis. Tête un peu renflée, le dessus subglobuleux; fastigium du vertex fortement déclive, anguleux, à apex obtus, presque tronqué, longitudinalement concave; espace interoculaire aussi large que le 2e article des antennes;

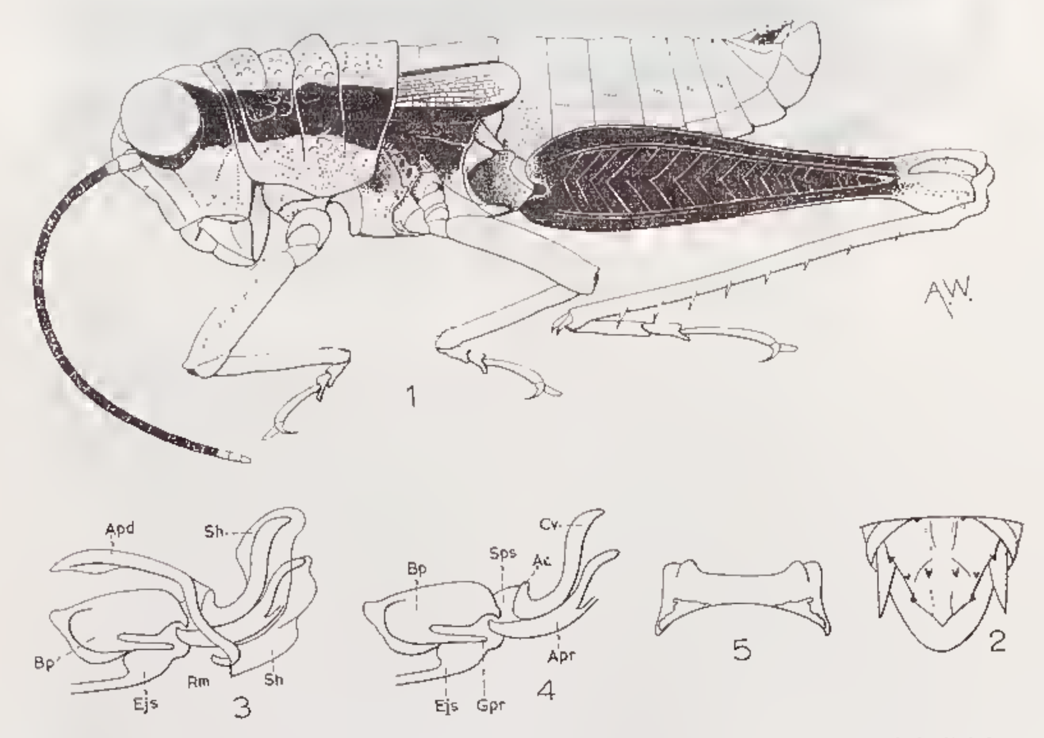


Fig. 50. — *Pseudoserpusia polychroma* Dirsh, 1962. — 1, ♂ type. — 2, Extrémité de l'abdomen dorsalement. — 3, Complexe phallique latéralement, épiphalle et membrane ectophallique enlevés. — 4, *id.*, la plus grande partie du cingulum et de la gaine du pénis enlevés. — 5, Épiphalle.

front oblique et peu concave; côte frontale basse, plate, presque effacée dans la moitié inférieure. Yeux grands, fortement convexes. Pronotum subcylindrique, fortement rugueux; disque traversé par 4 sillons transverses larges et profonds; carène médiane obtuse, formant entre le 1er et le 2e, et entre le 3e et le 4e sillon, des saillies tuberculiformes, la 2e plus haute que la 1re; métazone égalant à peu près la moitié de la prozone, son bord postérieur légèrement convexe, presque droit. Saillie prosternale largement conique, à apex aigu. Espace mésosternal plus large que long. Élytres lobiformes, latéraux, à apex arrondi, atteignant le milieu du 2e tergite abdominal. Tympan vestigial. Fémurs postérieurs grêles, à carène supérieure superficiellement crénelée; pas d'épine apicale externe aux tibias postérieurs; tarses postérieurs un peu allongés. Arolium grand. Dernier tergite abdominal ♂ avec 2 petites saillies aiguës; plaque

sus-anale anguleuse, plusieurs dents diversement réparties à sa surface; cerques coniques, aigus, droits; plaque sous-génitale courte, obtusément conique. Valves de l'oviscapte moyennement grêles, courbées à l'apex; plaque sous-génitale ♀ trilobée.

Valves du pénis divisées, sans flexure; valves apicales du pénis et valves du cingulum grandes et fortes; gaine pénienne grande, large, peu sclérifiée; rami forts, étroits, non réunis à la face ventrale. Épiphalle à pont large; ancorae petites, larges et fortes; lophi lobiformes à apex subaigu.

Espèce type : *Pseudoserpusia polychroma* Dirsh, 1962.

Le genre ressemble aux insectes du groupe *Serpusia*. La structure du pronotum fait penser au genre *Perineta*. La spermathèque à ampoule terminale pourvue de 2 diverticules ressemble étrangement à celle des genres *Perineta* et *Paraperineta*. Nous le classons parmi les *Hemiacridinae* en raison des valves du pénis non réunies.

Clé des espèces (♂, ♀)

1 (2) Côte frontale à bords subparallèles entre l'extrémité du fastigium et l'ocelle médian; les 2 premiers articles antennaires de coloration ocre, les 2 derniers verdâtres; une bande latérale noire partant du bord postérieur des yeux et atteignant les hanches postérieures; genoux, tibias et tarses postérieurs entièrement rouges . . . . 1. **P. polychroma**

2 (1) Côte frontale à bords convergents du fastigium à l'ocelle médian; les 2 premiers articles antennaires noirs, les 4 ou 5 derniers jaunes; pas de bande latérale noire; genoux et tarses postérieurs jaunes; tibias postérieurs jaune et bleu . . . . 2. **P. flavocoerulipes**

1. **Pseudoserpusia polychroma** Dirsh (loc. typ. : Maroantsetra; type ♂, Muséum Paris).

Pseudoserpusia polychroma Dirsh, 1962 *a* : 282.

Fig. 50. — Long. ♂ 19 mm, ♀ 25 mm; pronotum ♂ 5,7 mm, ♀ 7,5 mm; élytre ♂ 3,2 mm, ♀ 5 mm; fémur postérieur ♂ 13,6 mm, ♀ 17 mm.

♂. Tête fortement rugueuse; une faible carinule occipitale. Espace mésosternal un peu plus long que large, ses côtés incurvés. Lobes inférieurs des genoux postérieurs anguleux. Plaque sus-anale avec 3 paires de dents latérales et 1 paire de dents médianes.

Coloration générale ocre. Antennes noires, les 2 articles basilaires ocre et les 2 articles apicaux verdâtres. Côtés de la tête et du pronotum à large bande longitudinale noirâtre s'effaçant progressivement vers la base des fémurs postérieurs. Élytres ocre, à bords antérieur et postérieur bruns. Fémurs postérieurs vert olive sombre des 2 côtés; genoux postérieurs, tibias et tarses rouge vif. Dents de la plaque sus-anale noires.

♀. Comme le ♂ mais plus grande.

Madagascar Est : Maroantsetra, Ambohitsitondroina, 600 m, III-1958 (*P. Soga et E. Raharizonina*).

2. Pseudoserpusia flavocoerulipes Descamps et Wintrebert (loc. typ. : Rogez; holotype ♂, allotype ♀, Muséum Madrid).

Pseudoserpusia flavocoerulipes Descamps et Wintrebert, 1967 : 92.

Long. ♂ 18,2 à 18,3 mm, ♀ 28,2 mm; pronotum ♂ 4,5 à 4,6 mm, ♀ 6,9 à 7,5 mm; élytre ♂ 3,5 à 3,8 mm, ♀ 5,4 à 5,5 mm; fémur postérieur ♂ 11,5 à 11,6 mm, ♀ 16 à 16,2 mm.

♂. Face très rugueuse. Côte frontale fortement rétrécie entre l'extrémité du fastigium et l'ocelle médian, près de 2 fois plus étroite au niveau de l'ocelle qu'à l'extrémité supérieure. Bord postérieur du dernier tergite pourvu de 2 petits lobes plus larges que chez *P. polychroma*, l'extrémité arrondie. Plaque sus-anale pourvue seulement d'une paire de dents latérales situées à l'emplacement de la paire antérieure chez *P. polychroma*. Complexe phallique proche de celui de l'espèce type, la gaine pénienne moins renflée dorsalement, plus sinuée ventralement (vision latérale); valves du cingulum plus sinuées.

Coloration générale ocre jaune. Antennes noires y compris le pédicelle et le scape, les 4 articles terminaux jaunes. Pas de bande latérale sombre, les lobes latéraux du pronotum monochromes. Un triangle occipital brun. Élytres ocre, bordés de brun. Les 2 premières paires de pattes vertes, l'extrémité des fémurs, des tibias et les tarses jaunes. Fémurs postérieurs ocre jaune, seules les carènes et les chevrons vert foncé; genoux ocre; tibias postérieurs vert et jaune; tarses postérieurs jaunes.

♀. Les 7 derniers articles antennaires jaunes. Spermathèque à ampoule terminale pourvue de 2 diverticules.

Madagascar Est : Rogez, XII-1931 (*A. Seyrig*).

Genre **Cylindracris** Descamps et Wintrebert

Cylindracris Descamps et Wintrebert, 1967 : 91.

Petit, cylindrique; tégument finement ponctué. Tête épaisse, non nettement conique, subglobuleuse; face peu déclive, subrectiligne de profil. Fastigium triangulaire, moins long que large, séparé du vertex par un sillon transverse arqué vers l'avant. Vertex convexe, sans carinule. Côte frontale très basse, étroite, sillonnée, s'élargissant vers le clypéus, sublamelliforme et légèrement élargie entre les antennes. Ocelles très petits. Yeux peu saillants, fortement rétrécis vers le haut. Antennes filiformes, un peu comprimées à la base, plus courtes que la tête et le pronotum réunis. Pronotum cylindrique, court, dépourvu de carènes; disque traversé par 2 très fins sillons, le bord postérieur concave; métazone égalant à peu près le 1/3 de la prozone. Saillie prosternale épaisse, transverse, verticale, de section elliptique, la face supérieure concave. Espace mésosternal clos. Subaptère; élytres dépassant un peu le bord postérieur du mésonotum; pas d'ailes ni de tympan. Fémurs postérieurs courts, peu effilés en avant du genou, n'atteignant pas l'extrémité de l'abdomen. Tibias postérieurs comprimés frontalement sur la moitié apicale, pourvus d'une épine apicale externe. Tarses postérieurs courts; arolium grand. Partie postérieure de la plaque sous-génitale trilobée, le lobe médian triangulaire, fortement saillant. Plaque sus-anale triangulaire; cerques

courts, subconiques. Valves de l'oviscapte longues, l'extrémité non recourbée, les bords finement dentés.

♂. Inconnu.

Genre placé provisoirement parmi les *Hemiacridinae* en raison de l'absence complète de tympan. L'insecte à une allure de *Tropidopolinae*.

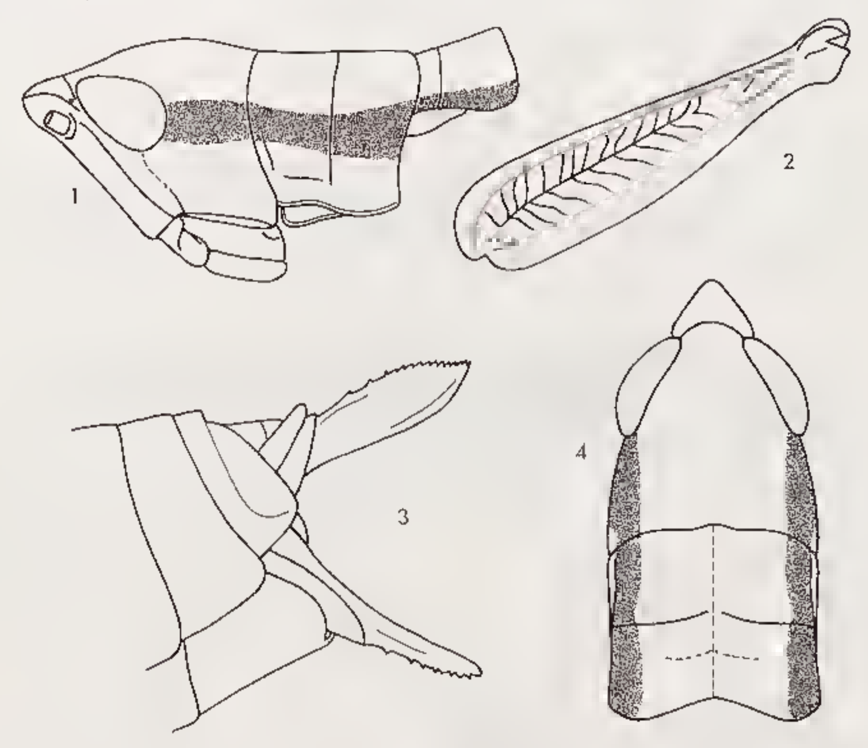


FIG. 51. — *Cylindracris subaptera* Descamps et Wintrebert, 1967, ♀ type. — 1, Tête et thorax latéralement. — 2, Fémur postérieur. — 3, Extrémité abdominale latéralement. — 4, Tête et pronotum dorsalement.

1. Cylindracris subaptera Descamps et Wintrebert, 1967 (loc. typ. : Massif du Tsaratanana, 2 870 m ; holotype ♀, Muséum Paris).

Cylindracris subaptera Descamps et Wintrebert, 1967 : 92.

Fig. 51. — Long. 21,1 mm ; pronotum 2,7 mm ; fémur postérieur 8,1 mm.

♀. Fine pilosité clairsemée. Distance infra-oculaire un peu plus grande que le plus grand diamètre transversal de l'œil. Antennes épaisses, composées de 19 articles ; tous les articles du flagelle transverses à partir du 2[e]. Pronotum non rebordé sauf la marge inférieure des lobes latéraux ; sillon typique à peine décelable. Angle postérieur des lobes latéraux droit ; bord inférieur sinué. Lobes mésosternaux brièvement contigus. Aire inféro-externe des fémurs postérieurs un peu dilatée. Moitié postérieure de la plaque sus-anale étroite. Face dorsale des valves supérieures de l'oviscapte concave.

Aspect luisant; teinte générale brun foncé. Une bande latérale plus foncée que l'ensemble, partant du bord postérieur des yeux et atteignant, en s'éclaircissant, l'extrémité abdominale. Une bande de même teinte partant du bord postérieur du pronotum et s'estompant à la partie postérieure de l'abdomen. Tibias postérieurs brun rouge.

Madagascar Sambirano : Massif du Tsaratanana, près du sommet, vers 2 870 m, XI-1966 (*Ch. P. Blanc*).

Genre **Paulianiobia** nom. nov.

Paulianacris Dirsh, 1962 *a* : 282; *nom. praec.* Chopard, 1952, *Tettigonioidea*.

Grand et grêle. Tégument finement rugueux, très poilu. Antennes minces, filiformes. Tête très prognathe, le dessus subglobuleux; fastigium du vertex large, confondu avec le front en une large convexité; front très court; côte frontale basse, presque effacée;

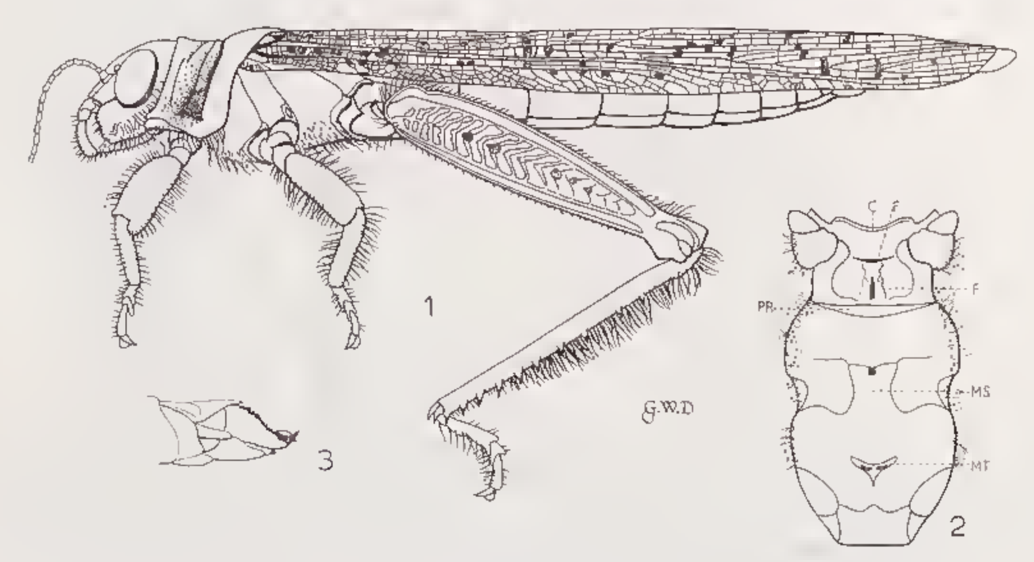


Fig. 52. — *Paulianiobia hirsuta* (Dirsh, 1962). — 1, ♀ type. — 2, Sternum (*C.* cou. — *F.* sillons transverses et longitudinaux du prosternum. — *PR.* présternum. — *MS.* espace mésosternal. — *MT.* espace métasternal). — 3, Extrémité abdominale latéralement.

ocelles grands; ocelles latéraux situés au-dessus de la base des antennes; yeux petits, ovales, aplatis. Pronotum ensellé; disque traversé par 3 sillons transverses, le postérieur fort et profond; pas de carènes; métazone un peu plus longue que la prozone, son bord postérieur en angle obtus. Prosternum comparativement long, à bord antérieur saillant en collier; un profond sillon transverse au milieu; moitié postérieure à saillie longitudinale, irrégulière, en crête; au milieu de cette dernière un profond sillon longitudinal. Méso et métasternum longitudinalement concaves; espace mésosternal un peu plus long que large. Élytres et ailes bien développés, dépassant largement l'extrémité de l'abdomen; bord antérieur des élytres presque droit, l'apex tronqué en oblique;

membrane mince, transparente; réticulation espacée; nervules stridulatoires épaisses, peu nombreuses, imparfaites. Ailes de forme normale. Tympan présent. Tous les fémurs comprimés, les postérieurs grêles, n'atteignant pas l'extrémité de l'abdomen. Tibias postérieurs très poilus, pourvus d'une épine apicale externe. Tarses de longueur normale. Cerques ♂ en forme d'ergot, courts, épais, courbés vers l'intérieur, l'extrémité en pointe mousse courbée vers le dedans; plaque sous-génitale courte, l'extrémité comprimée latéralement, largement arrondie de profil. Oviscapte à valves aiguës et fortement courbées; bord externe des valves supérieures irrégulièrement denté.

Complexe phallique : épiphalle non divisé, à disque court, ancorae rudimentaires, projections antérieures larges et lophi triangulaires redressés dorsalement à la verticale. Cingulum assez faiblement sclérifié; apodèmes très courts, divergents; zygoma et rami courts; gaine membraneuse échinulée ne recouvrant pas l'extrémité du pénis. Valves basales et apicales du pénis réunies par une flexure; valves basales étroites en vision

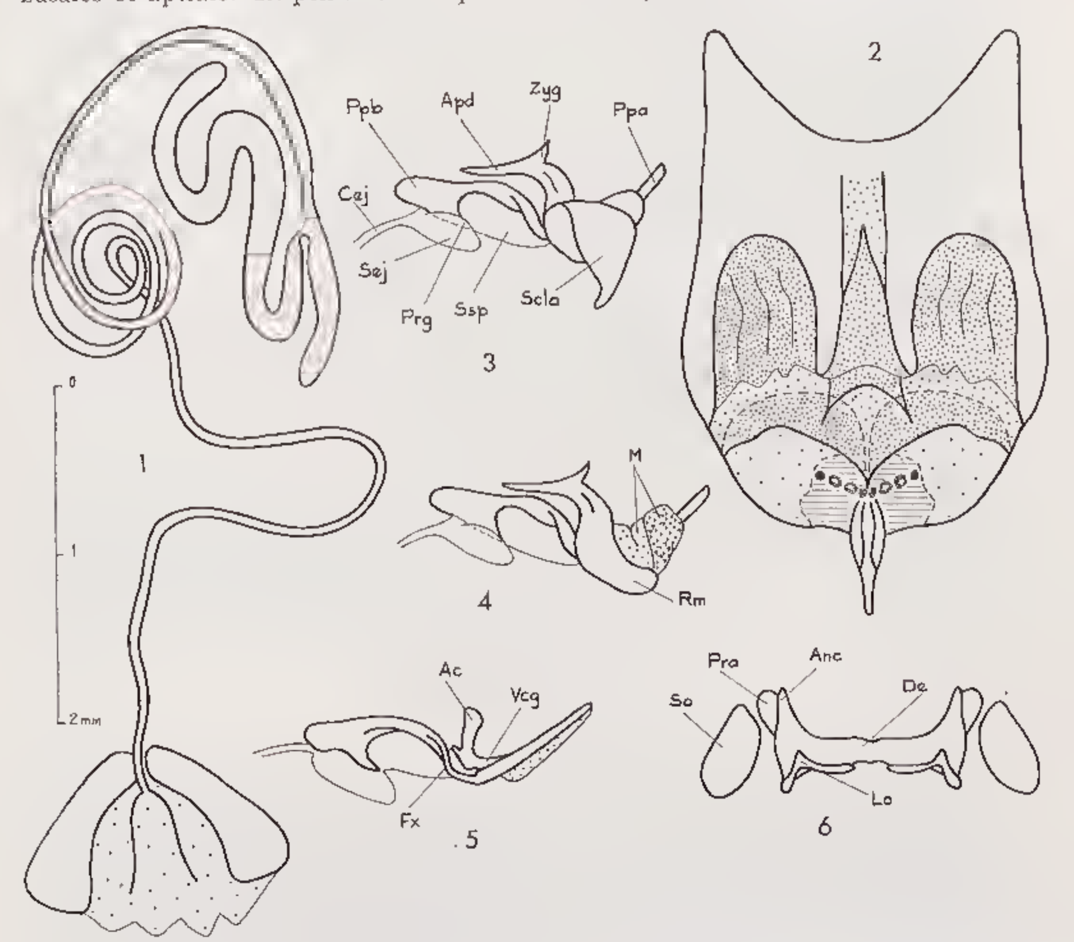


Fig. 53. — *Paulianiobia hirsuta* (Dirsh, 1962). — 1, Spermathèque. — 2, Plaque sous-génitale ♀, face dorsale. — 3 et 4, Complexe phallique latéralement. — 5, Endophalle latéralement. — 6, Épiphalle.

latérale; valves apicales en forme de sabre; processus du gonopore court. Valves du cingulum soudées aux valves du pénis. Spermathèque à 2 diverticules terminaux de taille inégale.

Espèce type : *Paulianacris hirsuta* Dirsh, 1962.

Ce genre, d'aspect inhabituel, à tête très prognathe, prosternum allongé, forme particulière des élytres et corps exceptionnellement poilu, est bien séparé de tous les genres connus. Il est cependant sans doute apparenté aux genres *Hemiacris*, *Phalinus* et *Clonacris* qui sont arboricoles.

1. **Paulianiobia hirsuta** (Dirsh) (loc. typ. : Sakaraha; type ♀, néallotype ♂, Muséum Paris).

Paulianacris hirsuta Dirsh, 1962 *a* : 283; Descamps et Wintrebert, 1966 *b* : 135.

Fig. 52, 53. — Long. ♂ 26 à 29 mm, ♀ 35 à 43 mm; élytre ♂ 20,2 à 22,4 mm, ♀ 32,5 à 40 mm; pronotum ♂ 2,8 à 2,9 mm, ♀ 4,6 à 5,7 mm; fémur postérieur ♂ 10,5 à 11,8 mm, ♀ 16,1 à 20,5 mm.

♂. Coloration générale gris à brun plus ou moins foncé; pronotum et élytres parsemés de petits points noirâtres. Pilosité blanchâtre. Une ligne noire longitudinale sur le prosternum; 2/3 antérieurs de l'espace mésosternal et parfois une grande tache sur le métasternum de coloration noire. Face inférieure des fémurs postérieurs pourpre; face interne bleu-noir virant au pourpre très foncé vers l'extrémité, avec 1 bande médiane et 1 bande préapicale claires; faces supérieure et externe de même couleur que l'ensemble du corps; lobe géniculaire inféro-interne pourpre. Faces inférieure et interne des tibias postérieurs pourpres; faces supérieure et externe grises; un triangle rouge, allongé, à l'extrémité de la face supérieure; extrémité des épines noires.

♀. Beaucoup plus grande que le ♂; coloration du même type; les plages noires des sternites thoraciques moins étendues.

Madagascar Ouest : Sakaraha, forêt de Lambomakandro, 500 m, VII-1957 (*A. Robinson*). — 20 km N. Beroroha, sur *Terminalia*, VII-1966 (*D. Wintrebert*).

Madagascar Sud : Betioky Sud, captures à la lumière, 1959 (*J. Têtefort*); IV-1964 (*D. Wintrebert*). — Clairières du plateau calcaire Mahafaly, III-1961 (*P. Dechappe*); X-1963 (*G. Cadet*). — Ankiliarivo, plateau calcaire, III, IV et V-1962 (*D. Wintrebert*).

Genre **Onetes** Rehn

Onetes Rehn, 1944 : 19, 49; Dirsh, 1962 *a* : 284.

Taille moyenne. Tégument finement rugueux. Tête un peu renflée, subglobuleuse à la partie postérieure. Antennes filiformes, subégales à la longueur de la tête et du pronotum réunis chez la ♀, beaucoup plus longues chez le ♂. Fastigium du vertex court, l'extrémité obtuse ou tronquée; face courte et large, subverticale de profil. Côte frontale basse, subplane, la moitié supérieure beaucoup plus large que la moitié inférieure. Ocelles gros, l'unité médiane placée dans une dépression plus ou moins forte. Une forte dépression un peu au-dessous de chaque ocelle latéral. Yeux grands, peu saillants; distance infra-oculaire très courte. Espace interoculaire large. Pronotum sub-

cylindrique, parfois un peu étranglé au milieu; disque traversé par 3 sillons; une dépression transverse plus ou moins nette longeant le bord antérieur; pas de carènes; métazone plus courte que la prozone, le bord postérieur convexe ou saillant en angle obtus. Saillie prosternale basse, subpyramidale, la surface apicale concave. Méso et métasternum longitudinalement concaves. Espace mésosternal plus ou moins fortement étranglé au milieu; lobes mésosternaux contigus ou subcontigus. Macroptère ou à élytres un peu raccourcis; nervules stridulatoires de l'aire radiale des élytres bien nettes. Ailes larges. Pattes intermédiaires et fémurs postérieurs fortement comprimés latéralement. Une épine apicale externe aux tibias postérieurs. Tarses postérieurs de longueur normale ou un peu allongés; arolium dépassant le milieu des griffes, plus grand chez le ♂ que chez la ♀. Plaque sus-anale du ♂ subtriangulaire, l'apex un peu atténué; cerques relativement longs et minces, non comprimés; plaque sous-génitale conique, courte, l'apex aigu. Plaque sous-génitale de la ♀ à saillie médiane triangulaire, parfois trilobée. Valves de l'oviscapte de longueur moyenne, recourbées à l'extrémité.

Complexe phallique : épiphalle non divisé, le pont étroit, les ancorae petites; lophi triangulaires, redressés dorsalement à la verticale. Deux petites sclérifications latérales à la membrane ectophallique. Zygoma court; rami longs; apodèmes en forme de croissant, courts. Gaine pénienne laissant à découvert l'extrémité des valves du cingulum et des valves apicales du pénis, celles-ci faisant un peu saillie dorsalement à la partie postérieure de la plaque sous-génitale. Valves basales et apicales du pénis étroitement accolées mais indépendantes. Valves apicales longues, creusées en gouttière dorsalement; valves du cingulum beaucoup plus courtes.

Espèce type : *Oneles sanguinolentus* Rehn, 1944.

Jusqu'à une date récente, le genre comprenait 3 espèces toutes connues par un seul exemplaire ♀. En 1962, Dirsh en décrit une 4ᵉ *O. fasciatus* représentée par un seul ♂ et émet quelques réserves quant à sa véritable appartenance générique. Depuis lors, un ♂ de *O. kraussi* a été trouvé dans la collection du Muséum de Paris. L'étude du type ♀ de cette espèce et de la description originale de *O. sanguinolentus* n'a permis de relever aucune différence; ces 2 insectes sont très vraisemblablement synonymes. Par ailleurs, l'appartenance générique de *O. scudderi* ne nous apparaît pas évidente l'espèce étant caractérisée par des ailes nettement plus longues que larges et par un espace mésosternal à peine rétréci au milieu.

Le genre étant particulièrement mal connu en raison d'un matériel tout à fait insuffisant, nous y laissons subsister provisoirement les espèces d'appartenance douteuse.

Clé des espèces (♂)

1 (2) Espace interoculaire près de 3 fois plus large que le scape antennaire; élytres atteignant les genoux postérieurs, parsemés de taches rouges; aire inféro-interne des fémurs postérieurs jaune, traversée par une bande sombre post-médiane; tibias postérieurs rouges (fig. 54) . . . . 1. **O. kraussi**

2 (1) Espace interoculaire beaucoup plus étroit; élytres n'atteignant pas les genoux postérieurs, monochromes; aire inféro-interne des fémurs postérieurs bleue à bande médiane jaune; tibias postérieurs brun foncé (fig. 56) (♀ *inconnue*) . . . . 3. **O. fasciatus**

Clé des espèces (♀)

1 (2) Petite taille; espace mésosternal légèrement rétréci au milieu; plaque sous-génitale à saillie médiane triangulaire; élytres tachés de rouge; aire inféro-interne des fémurs postérieurs jaune orangé, traversée par une bande post-médiane sombre (fig. 54) . . . . **1. O. kraussi**

2 (1) Grande taille; espace mésosternal fortement étranglé au milieu; plaque sous-génitale trilobée; élytres monochromes; aire inféro-interne des fémurs postérieurs bleue avec une bande prégéniculaire claire (fig. 55) (♂ *inconnu*) . . . . **2. O. scudderi**

1. Onetes kraussi (Finot) (loc. typ. : Madagascar; type ♀, Muséum Paris).

Euthymia kraussi Finot, 1903 : 622.
Onetes kraussi (Finot, 1903) Rehn, 1944 : 51; Dirsh, 1962 *a* : 286.

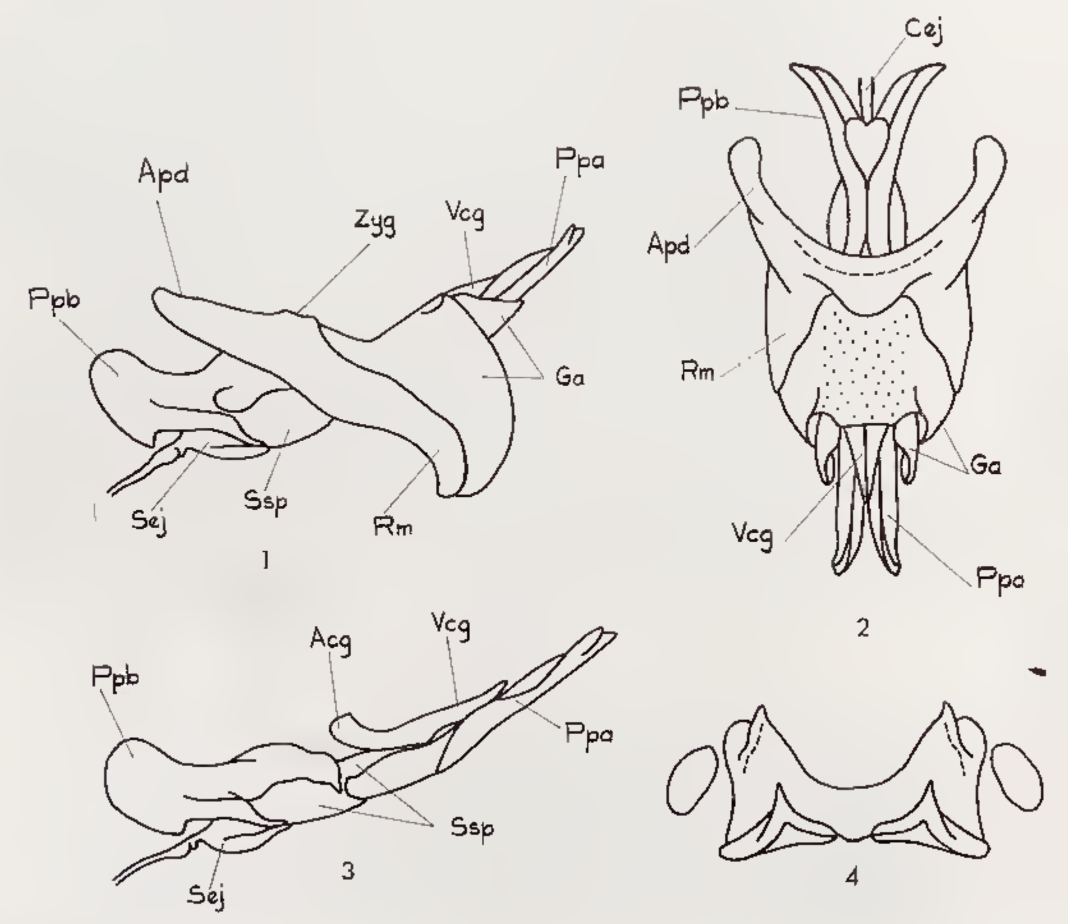


Fig. 54. — *Onetes kraussi* (Finot, 1903), ♂. — 1, Complexe phallique latéralement. — 2, *id.*, dorsalement. — 3, Endophalle latéralement. — 4, Épiphalle.

Fig. 54. — Long. ♂ 24 mm, ♀ 30 mm; pronotum ♂ 4,8 mm, ♀ 6,4 mm; élytre ♂ 17,2 mm, ♀ 18 mm; fémur postérieur ♂ 12,8 mm, ♀ 15,5 mm.

♀. Taille petite. Côte frontale un peu déprimée au-dessous de l'ocelle médian, 2 fois plus large entre les antennes qu'à la partie inférieure. Pronotum un peu étranglé au milieu, la dépression marginale antérieure du disque bien nette; bord postérieur de la métazone saillant en angle obtus. Saillie prosternale à surface apicale subcarrée, horizontale, concave, les 4 angles marqués d'un tubercule bien net. Espace mésosternal relativement large, peu rétréci au milieu; lobes métasternaux subcontigus. Élytres atteignant les genoux postérieurs; rangée de veinules stridulatoires de l'aire radiale relativement longue, comprenant 12-13 unités. Ailes à peu près aussi larges que longues. Bord postérieur de la plaque sous-génitale légèrement convexe de part et d'autre d'une saillie triangulaire médiane.

Teinte générale ocre brun à brun beige, la plus grande partie du corps parsemée de taches sombres. Front traversé par une étroite bande noire allant d'un œil à l'autre au niveau de l'ocelle médian. Partie inférieure des joues et partie inféro-médiane des lobes latéraux du pronotum noires. Disque du pronotum orné d'un triangle inversé mal délimité, de coloration foncée variée de taches plus claires; base de ce triangle sur le bord antérieur, sommet sur le sillon typique; métazone ponctuée de bleu sombre. Face supérieure des pattes antérieures et face externe des pattes intermédiaires à nombreuses taches sombres. Face externe des fémurs postérieurs ocre jaune, traversée par 3 bandes sombres, elles-mêmes marquées de jaune : 1 bande basale, 1 bande prémédiane, et 1 post-médiane; face interne jaune orangé, traversée par une bande complètement bleu noir en continuation de la bande post-médiane de la face externe; genoux bruns à la face externe, noirs à la face interne; tibias et tarses rouges, la face externe plus pâle et marquée de noir notamment à la base des épines. Élytres brun grisâtre, parsemés de taches rouges sauf dans la moitié apicale du champ costal; bord externe des ailes enfumé. Face inférieure du corps à bande longitudinale brun noir plus large sur le thorax que sur l'abdomen.

♂. Espace interoculaire près de 3 fois plus large que le scape antennaire. Pronotum, considéré dorsalement, un peu étranglé au milieu. Plaque sus-anale subtriangulaire, un peu atténuée à l'apex, déprimée longitudinalement au milieu. Cerques dépassant un peu l'extrémité de la plaque sus-anale, amincis d'avant en arrière, un peu courbés vers l'intérieur. Plaque sous-génitale conique, un peu atténuée à l'apex.

Disque et lobes latéraux du pronotum noirs dans la prozone avec quelques taches jaunes le long du bord antérieur; métazone jaune, ponctuée de noir. Élytres bleu foncé à nervation jaune et taches rouges sauf dans la moitié apicale du champ costal; ailes complètement enfumées; le reste comme chez la ♀. Complexe phallique comme décrit pour le genre et représenté fig. 54.

MADAGASCAR sans précision.

MADAGASCAR EST : Vallée d'Ambola, col de Sakavalana, I-1901 (*Ch. Alluaud*).

2. Onetes scudderi (Finot) (loc. typ. : Maroantsetra; type ♀, Muséum Paris).

Euthymia scudderi Finot, 1903: 630.
Onetes scudderi (Finot, 1903); REHN, 1944 : 51; DIRSH, 1962 *a* : 286.

Fig. 55. — Long. 40 mm; pronotum 7,5 mm; élytre 32 mm; fémur postérieur 21 mm.

♀. Plus grande que l'espèce précédente, l'espace interoculaire moins large. Côte frontale plane, la moitié supérieure moins de 2 fois plus large que la moitié inférieure. Antennes un peu plus longues que la tête et le pronotum réunis. Profil de la face un peu convexe. Dépression marginale antérieure du disque du pronotum peu nette; bord

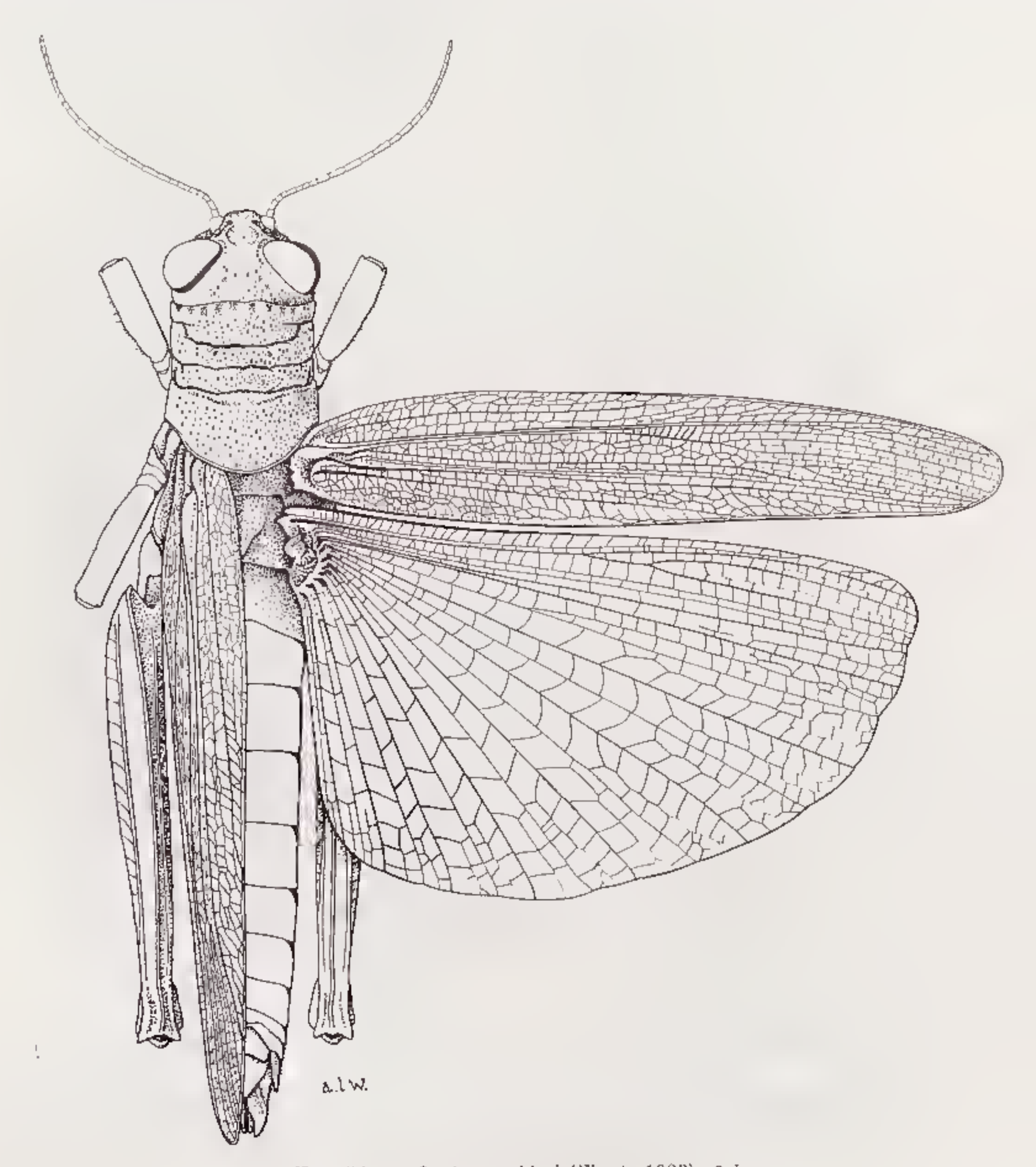


FIG. 55. — *Oneles scudderi* (Finot, 1903). ♀ type.

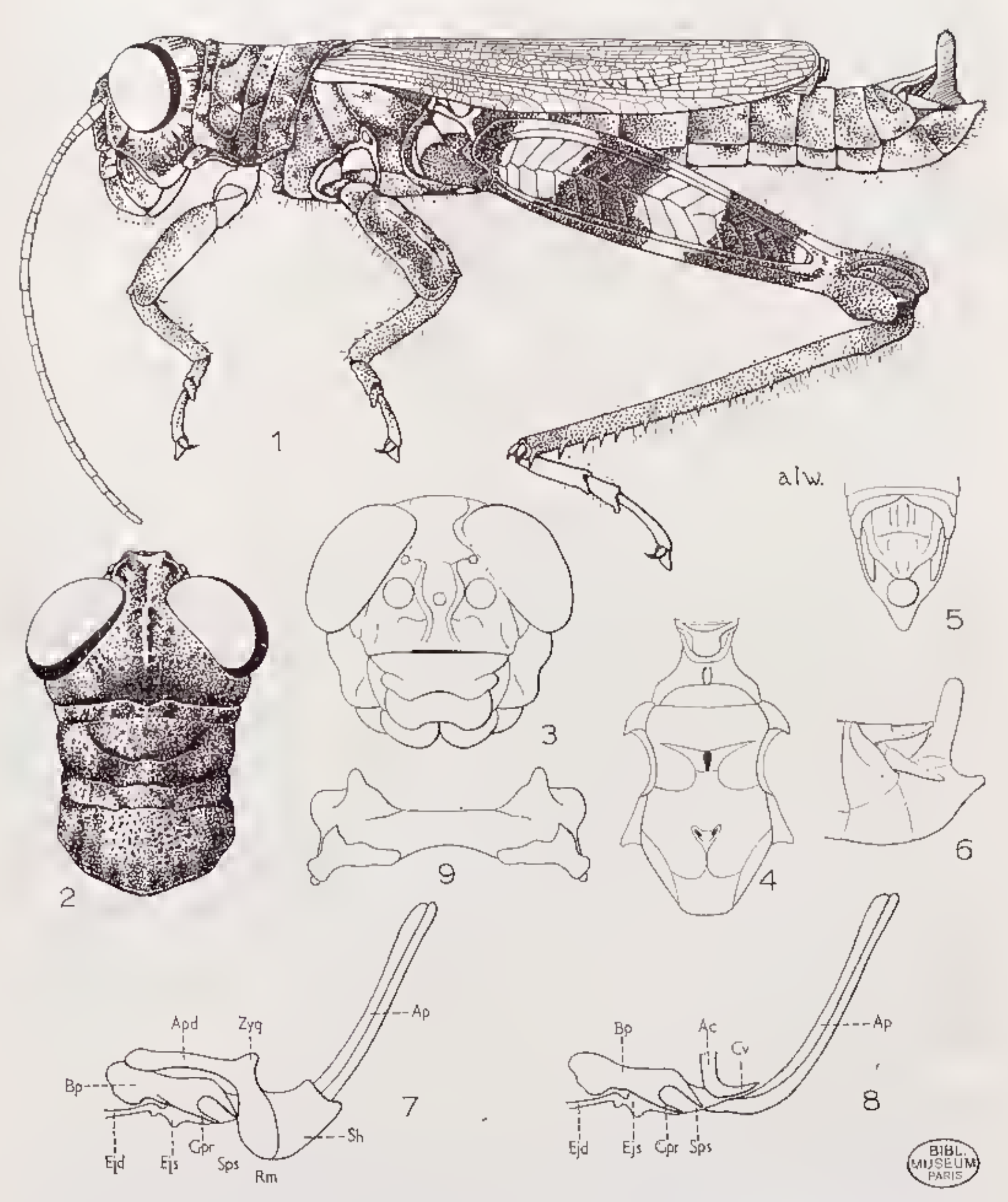


FIG. 56. — *Onetes fasciatus* Dirsh, 1962. — 1, ♂ type. — 2, Tête et pronotum dorsalement. — 3, Face. — 4, Sternum. — 5, Extrémité abdominale dorsalement. — 6, *id.*, latéralement. — 7, Complexe phallique latéralement, la plus grande partie de la membrane ectophallique et l'épiphalle enlevés. — 8, *id.*, le cingulum en grande partie enlevé. — 9, Épiphalle.

postérieur de la métazone convexe. Saillie prosternale à surface apicale semi-circulaire, divisée en 2 plans inclinés vers la ligne médiane, la face antérieure bilobée. Espace mésosternal étroit, fortement rétréci au milieu; lobes métasternaux contigus. Élytres dépassant les genoux postérieurs; rangée de veinules stridulatoires de l'aire radiale comprenant 7-9 unités. Ailes très nettement plus longues que larges. Plaque sous-génitale terminée par 3 lobes triangulaires, le lobe médian plus long que les latéraux.

Teinte générale brunâtre pâle; quelques taches sombres clairsemées, notamment à la face externe des fémurs intermédiaires et postérieurs. Pronotum orné de quelques taches bleues le long des bords inférieur et postérieur des lobes latéraux; les sillons bleus. Face externe des fémurs postérieurs à une seule bande sombre en position post-médiane; face interne rougeâtre avec 1 tache médiane et 1 bande post-médiane sombres; aire inféro-interne bleue à bande prégéniculaire claire; genoux bruns marqués de noir. Tibias postérieurs rouges.

Madagascar Est : Maroantsetra, baie d'Antougil (*A. Mocquerys*).

3. **Onetes fasciatus** Dirsh (loc. typ. : Ampijoroa; type ♂, Muséum Paris).

Onetes fasciatus Dirsh, 1962 *a* : 288.

Fig. 56. — Long. 27,5 mm; pronotum 4,2 mm; élytre 15,7 mm; fémur postérieur 14,5 mm.

♂. Taille moyenne. Tégument rugueux et poilu. Antennes filiformes, bien plus longues que la tête et le pronotum réunis. Tête un peu renflée, le dessus subglobuleux; fastigium du vertex en forte pente vers l'avant, s'élargissant vers l'apex, légèrement déprimé au milieu; vertex carinulé; front court, vertical; côte frontale basse, fortement élargie entre les antennes et rétrécie sous l'ocelle médian, concave à la partie supérieure. Pronotum cylindrique; disque traversé par 3 profonds sillons; pas de carènes. Métazone plus courte que la prozone, son bord postérieur en angle obtus presque arrondi. Saillie prosternale très basse à surface apicale plane et trapézoïdale. Espace mésosternal large, rétréci au milieu. Élytres et ailes raccourcis, n'atteignant pas le 8ᵉ tergite abdominal, bord antérieur des élytres régulièrement excurvé, l'apex arrondi; veinules stridulatoires de l'aire radiale très imparfaites, à peine décelables; ailes élargies á bord externe fortement convexe. Fémurs intermédiaires comprimés. Fémurs postérieurs comprimés, atteignant presque l'apex de l'abdomen; tibias postérieurs pubescents, pourvus d'une épine apicale externe; tarses postérieurs allongés, arolium grand. Plaque sus-anale subtriangulaire, á apex un peu atténué. Cerques étroits, coniques, droits. Plaque sous-génitale courte, conique, á apex un peu atténué.

Épiphalle à ancorae courtes; lophi lobiformes á apex anguleux. Pénis faisant fortement saillie, à la verticale, á la partie postérieure de la plaque sous-génitale; valves basales et apicales du pénis indépendantes. Valves du cingulum très courtes; gaine du pénis courte; arche du cingulum robuste.

Coloration générale brunâtre pâle à taches jaunâtres irrégulières. Membrane des élytres vert olive; nervation ocre pâle; ailes enfumées. Les 2 faces des fémurs postérieurs noir verdâtre, traversées par 3 bandes transverses ocre pâle; tibias postérieurs brunâtres.

MADAGASCAR OUEST : Maevatanana, forêt de l'Ankarafantsika, poste d'Ampijoroa, I-1957 (*E. Razafimandimby*).

4. Onetes sanguinolentus Rehn (loc. typ. : Madagascar; type ♀, Académie des Sciences de Philadelphie).

Onetes sanguinolentus Rehn, 1944 : 53.

Long. 36,5 mm; pronotum 6,6 mm; élytre 20,2 mm; fémur postérieur 16 mm.

Nous n'avons pu étudier le type de cette espèce qui est vraisemblablement synonyme de *O. kraussi*.

Genre **Euthymia** Stål

Euthymia Stål, 1875 : 29; DIRSH, 1962 *a* : 290.

Taille moyenne. Antennes filiformes, plus longues que la tête et le pronotum réunis. Tête subglobuleuse, un peu renflée. Fastigium du vertex court, large, plat, déclive, confondu avec le front en une large convexité, l'extrémité trapézoïdale. Profil de la face rectiligne, oblique ou vertical; côte frontale large, basse, plate. Pronotum cylindrique, sans carènes; disque traversé par 3 sillons; métazone plus courte que la prozone, son bord postérieur en angle obtus. Saillie prosternale courte, subconique; espace mésosternal plus long que large, étranglé au milieu. Élytres et ailes bien développés ou un peu abrégés, atteignant ou non l'extrémité de l'abdomen; bord antérieur convexe chez les ♂, l'aire costale élargie et saillante sur la moitié basale chez les ♀; nervules stridulatoires de l'aire radiale des élytres réduites, parfois presque inpossibles à distinguer des nervures ordinaires. Ailes larges à bord postérieur fortement convexe. Fémurs postérieurs comprimés. Une épine apicale externe aux tibias postérieurs. Tarses postérieurs allongés. Arolium grand. Plaque sus-anale du ♂ allongée, anguleuse. Cerques étroits, subconiques, droits ou courbés. Plaque sous-génitale du ♂ courte, subconique ou en cône aigu. Oviscapte à valves assez courtes, courbées à l'apex.

Valves basales et apicales du pénis très rapprochées mais indépendantes; gaine du pénis grande; arche du cingulum présente; apodèmes forts; épiphalle à pont étroit; ancorae courtes et larges; lophi larges et lobiformes.

Espèce type : *Euthymia melanocerca* Stål, 1875.

CLÉ DES ESPÈCES

1 (4) Élytres ♀ à moitié basale régulièrement convexe; plaque sous-génitale ♂ obtusément conique; plaque sus-anale à apex régulièrement anguleux; bord inférieur des lobes inférieurs des genoux postérieurs en saillie arrondie 2

2 (3) Fastigium du vertex saillant en avant des yeux, tête relativement plus étroite et moins renflée; moitié basale du bord antérieur des élytres ♀ plus convexe; plaque sus-anale ♂ un peu plus large (fig. 57). . . . 1. **E. fasciata**

3 (2) Fastigium du vertex à peine saillant en avant des yeux; tête relativement plus large et plus renflée; moitié basale du bord antérieur des élytres ♀ moins convexe; plaque sus-anale ♂ relativement plus étroite (fig. 57).

. . . . .2. **E. polychroma**

4 (1) Élytres ♀ brusquement rétrécis en avant du milieu; plaque sous-génitale ♂ en cône aigu; plaque sus-anale à apex atténué; bord inférieur des lobes inférieurs des genoux postérieurs avec 1 saillie odontiforme (fig. 57). . . . . .3. **E. bolivari**

1. Euthymia fasciata (Walker) (loc. typ. : Madagascar; type ♀, British Museum, N.H.).

Oxya fasciata Walker, 1870 : 646.
Euthymia fasciata (Walker, 1870); KIRBY, 1910 : 384; DIRSH, 1962 *a* : 291; DESCAMPS et WINTREBERT, 1966 *b* : 138.
Euthymia melanocerca Stål, 1875 : 29; UVAROV, 1943 : 387; DIRSH, 1962 *a* : 291.

Fig. 57. — Long. ♂ 22 à 24 mm, ♀ 33 à 38 mm; pronotum ♂ 4,8 à 5 mm, ♀ 7,5 à 8 mm; élytre ♂ 14 à 15 mm, ♀ 17 à 21 mm; fémur postérieur ♂ 11,6 à 12 mm, ♀ 16 à 17,5 mm.

♂. Taille moyenne. Tégument tacheté, poilu. Fastigium du vertex saillant en avant des yeux. Tête moyennement renflée. Élytres atteignant au moins la base de la plaque sus-anale, à bord antérieur régulièrement convexe. Bord inférieur du lobe inféro-externe des genoux postérieurs en saillie arrondie; tarses postérieurs égalant à peu près la moitié des tibias correspondants. Plaque sus-anale allongée, à apex obtus et convexité longitudinale au milieu. Cerques droits, étroits, aigus, coniques.

Coloration générale vert olive; antennes noirâtres; lobes latéraux du pronotum marqués d'une tache rosâtre mal délimitée; base des élytres marquée d'une tache noire; ailes enfumées; fémurs postérieurs rouge orangé sur toutes les faces, mais la face externe légèrement verdâtre olive; genoux postérieurs noirs; tibias postérieurs vert olive noirâtre; abdomen à bandes transverses alternes noires et ocre.

♀. Comme le ♂ mais plus grande et plus forte. Moitié basale du bord externe des élytres fortement et régulièrement excurvé.

MADAGASCAR EST : Maroantsetra, 1897. — Rogez (*A. Seyrig*); VI-1957 (*A. Robinson*). — Briekaville, Ambila-Lemaitso, III-1951 (*A. Robinson*). — Fénérive, Manambato sur l'Auove, 1955 (*A. Robinson*), — Tamatave, I-1964 (*M. Bouvel*); Ranomafana. — Vallée d'Ambolo, col de Sakavalana, 1901 (*Ch. Alluaud*). — Ivondro, XII-1938, (*A. Seyrig*). — Environs de Midongy du Sud, Mont Papango, 1 200 m, III-1959 (*A. Robinson*). — Ile Sainte-Marie, Ambohidema, V-1959; Ambatoroa, V-1960; (*E. Razafimandimby*).

MADAGASCAR OUEST : Maevatanana, forêt de l'Ankarafantsika, poste d'Ampijoroa, 120 m, XII-1959 (*E. Raharizonina*).

MADAGASCAR SUD : Tsivory, 1906 (*Fauchère*).

2. Euthymia polychroma Brancsik (loc. typ. : Nosy Be; néotype ♀, Muséum Paris).

Euthymia polychroma Brancsik, 1893 : 190; DIRSH, 1962 *a* : 291.
Euthymia viridescens Sjöstedt, 1918 : 12; DIRSH, 1962 *a* : 291.

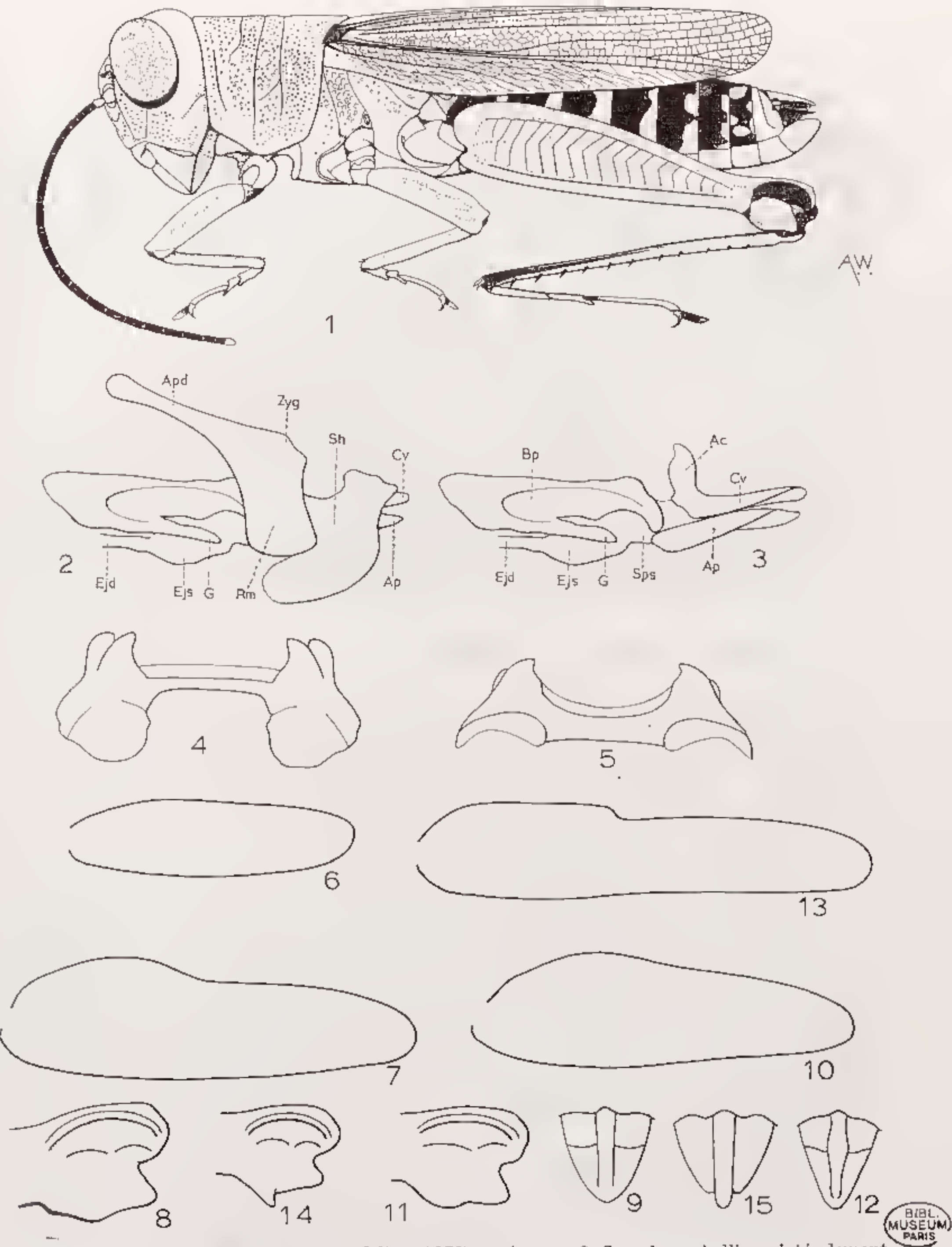


Fig. 57. — 1 à 9, *Euthymia fasciata* (Walker, 1870). — 1, ♂. — 2, Complexe phallique latéralement, membrane ectophallique et épiphalle enlevés. — 3, *id.*, l'essentiel du cingulum et de la gaine du pénis enlevés. — 4, Épiphalle, lophi en position horizontale. — 5, *id.*, lophi en position verticale. — 6, Élytre droit ♂. — 7, *id.*, ♀. — 8, Genou postérieur, face externe. — 9, Plaque sus-anale ♂.
— 10 à 12, *Euthymiapolychroma* (Brancsik, 1893). — 10, Élytre droit ♀. — 11. Genou postérieur, face externe. — 12, Plaque sus-anale, ♂.
— 13 à 15, *Euthymia bolivari* (Finot, 1903). — 13, Élytre droit ♀. — 14, Genou postérieur face externe. — 15, Plaque sus-anale ♂.

Fig. 57. — Long. ♂ 21 à 22 mm, ♀ 31 à 33 mm; pronotum ♂ 5,3 mm, ♀ 7,8 mm; élytre ♂ 13 à 13,5 mm, ♀ 17 à 20 mm; fémur postérieur ♂ 12 mm, ♀ 15,5 à 18 mm.

♂. Diffère d'*E. fasciata* (Walker) par les caractères suivants : plus petit, fastigium du vertex à peine saillant en avant des yeux; tête relativement plus large et plus renflée. Bord antérieur des élytres faiblement et régulièrement convexe. Plaque sus-anale plus étroite, à apex moins obtus.

Coloration générale vert olive foncé ou ocre foncé; bord postérieur du pronotum à rebord noir près de la tache basale noire des élytres; face interne des fémurs postérieurs orange, face externe pourprée (ocracée chez les exemplaires ocre).

♀. Comme le ♂ mais plus grande. Bord antérieur des élytres régulièrement convexe dans la moitié basale.

Madagascar Sambirano : Nosy Be, Lokobe, Réserve naturelle intégrale VI, IX-1947 (*R. Paulian*). — Analalava, Beraty, 100 m, XII-1960 (*A. Robinson*).

Madagascar Est : Tamatave, Ambodital'ana, VI-1958 (*E. Razafimandimby*).

Euthymia polychroma Brancsik a été mis en synonymie avec *E. fasciata* (Walk.) par Uvarov (1943). La comparaison d'une série d'individus avec la description et les figures de Brancsik établit que les 2 espèces diffèrent par les caractères relevés dans la clé.

La coloration varie de vert olive foncé à ocre.

3. Euthymia bolivari Finot (loc. typ. : Madagascar; type ♂, Muséum Paris).

Euthymia bolivari Finot, 1903 : 622; Dirsh, 1962 *a* : 293; Descamps et Wintrebert, 1966 *b* : 138.

Fig. 57. — Long. ♂ 21 à 24 mm, ♀ 27 à 35 mm; pronotum ♂ 4 à 4,5 mm, ♀ 5,8 à 6 mm; élytre ♂ 17,3 à 20 mm, ♀ 23 à 24,5 mm; fémur postérieur ♂ 11 à 12,7 mm, ♀ 14 à 16 mm.

♂. Taille moyenne. Tégument moyennement pubescent, à petites taches punctiformes. Tête moyennement renflée; fastigium du vertex bien saillant devant les yeux. Bord postérieur du pronotum en angle obtus, presque arrondi. Élytres atteignant ou dépassant l'extrémité de l'abdomen, le bord antérieur faiblement et régulièrement convexe; nervules stridulatoires en grande partie distinctes. Bord inférieur du lobe inféro-externe des genoux postérieurs formant une saillie odontiforme. Plaque sus-anale allongée, à apex atténué et convexité longitudinale au milieu. Cerques étroits, courbés en dedans et vers le bas, à apex aigu. Plaque sous-génitale conique, aiguë.

Coloration générale de vert olive clair à ocre; antennes noires; un petit point noir à la base des élytres; ailes enfumées; fémurs postérieurs orange clair; genoux noirs; tibias noirâtres, parfois avec un anneau subbasal orange; abdomen à bandes transverses alternes noires et orange ocré.

♀. Comme le ♂ mais plus grande. Élytres brusquement rétrécis un peu en avant du milieu, la partie basale du champ costal formant une marche séparée de la partie apicale de l'élytre. Oviscapte grêle à valves légèrement courbées.

Madagascar Sambirano : Massif du Tsaratanana, 1 000 m, X-1949 (*R. Paulian*).

Madagascar Est : Perinet (*Chulliat*). — Moramanga, Perinet (*G. Olsoufieff*). — Route d'Anosibe, km 58, chute de la Mort, IV-1963 (*P. Malzy*). — Ambatondrazaka, Réserve naturelle intégrale III (Zahamena) (*P. Soga*).

Madagascar Ouest : Ranohira (Isalo), I-1963 (*P. Malzy et E. Raharizonina*). — Maevatanana, forêt de l'Ankarafantsika, poste d'Ampijoroa. — Nord-Est Ambalanjanakomby, I-1967 (*D. Wintrebert*). — Ankara, I-1967 (*D. Wintrebert*). — Bongolava, I-1967 (*D. Wintrebert*). — 20 km Nord Mampikony, I-1967 (*D. Wintrebert*).

Genre **Proeuthymia** Rehn

Euthymia (*Proeuthymia*) Rehn, 1944 : 31.
Proeuthymia Rehn, 1944; Dirsh, 1962 *a* : 293.

Proeuthymia décrit par Rehn comme sous-genre d'*Euthymia* est considéré par Dirsh (1962) comme constituant un genre propre. Il diffère d'*Euthymia* par les caractères suivants :

Plaque sus-anale ♂ large, à côtés incurvés en angle obtus; l'extrémité en angle obtus; angles latéraux un peu atténués; une suture transverse médiane délimitant une partie basale à concavité longitudinale et une partie apicale pourvue de 2 tubercules latéraux. Lophi de l'épiphalle étroits, en angle aigu. Processus du gonopore grand, large et très robuste.

Espèce type : *Euthymia saussurei* Finot, 1903.

1. Proeuthymia saussurei (Finot) (loc. typ. : Madagascar; type ♂, Muséum Paris).

Euthymia saussurei Finot, 1903 : 625.
Euthymia (*Proeuthymia*) *saussurei* (Finot, 1903); Rehn, 1944 : 32; Dirsh, 1962 *a* : 294.
Proeuthymia saussurei (Finot, 1903); Dirsh, 1962 *a* : 294.

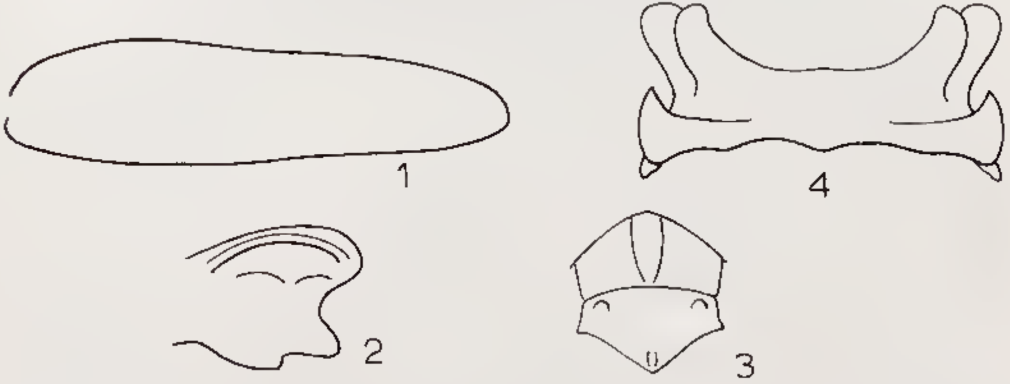


Fig. 58. — *Proeuthymia saussurei* (Finot, 1903). — 1, Élytre droit ♀. — 2, Genou postérieur, face externe. — 3, Plaque sus-anale. ♂. — 4, Épiphalle.

Fig. 58. — Long. ♂ 19 à 22 mm, ♀ 23 à 27 mm; pronotum ♂ 4 à 4,7 mm, ♀ 6 à 6,5 mm; élytre ♂ 12,5 à 16,6 mm, ♀ 19 à 21 mm; fémur postérieur ♂ 11,4 à 12 mm; ♀ 13,5 à 16 mm.

♀. Taille moyenne. Tégument presque lisse. Antennes filiformes, plus longues que la tête et le pronotum réunis. Tête un peu renflée. Fastigium du vertex trapézoïdal, bien saillant devant les yeux, à apex tronqué; front oblique; côte frontale basse, large et plate au-dessus de l'ocelle, rétrécie et concave au-dessous. Pronotum subcylindrique, sans carènes; disque traversé par 3 sillons larges et profonds; métazone un peu plus courte que la prozone, le bord postérieur en angle obtus. Saillie prosternale courte, subconique, à apex obtus. Espace métasternal plus long que large, se rétrécissant vers l'avant. Élytres dépassant un peu l'extrémité de l'abdomen; bord antérieur légèrement convexe dans la moitié basale; nervules stridulatoires indiscernables. Ailes relativement étroites. Fémurs postérieurs moyennement comprimés; bord inférieur du lobe inféro-externe des fémurs postérieurs formant une saillie odontiforme. Tarses postérieurs plus courts que la moitié des tibias. Arolium grand. Plaque sus-anale à peu près aussi large que longue. Cerques comprimés, triangulaires de profil, à apex aigu. Plaque sous-génitale courte, subconique.

Coloration générale vert olive; antennes noires; sillons transverses du pronotum noirs; ailes postérieures roses à bord externe enfumé. Fémurs postérieurs vert clair sur toutes les faces; tibias noirs à la base, vert clair au milieu et noirâtres à l'apex; épines noires, tarses postérieurs rouges.

♀. Comme le ♂ mais plus grande. Moitié basale du bord antérieur des élytres convexe. Oviscapte court, à valves grêles, un peu courbées à l'apex.

Madagascar Ouest : Maevatanana, forêt de l'Ankarafantsika, I-1950 (*A. Robinson*). — Forêt de l'Ankarafantsika, I-1967 (*D. Wintrebert*). — Sakaraha, forêt de Lambomakandro, XII-1956 (*P. Griveaud*).

Genre **Lopheuthymia** Uvarov

Lopheuthymia Uvarov, 1943 : 387, 388; Dirsh, 1962 *a* : 291.

Taille moyenne à grande. Tégument rugueux et poilu. Antennes filiformes, plus longues que la tête et le pronotum réunis. Tête légèrement prognathe; fastigium du vertex déclive, non saillant, confondu avec le front en une large convexité; front déprimé; côte frontale basse, plate, s'élargissant vers le haut à partir de la base des antennes. Pronotum tectiforme; prozone avec 2 hautes saillies tubéreuses ou odontiformes; disque traversé par 3 profonds sillons; métazone plus courte que la prozone, son bord postérieur en angle aigu. Saillie prosternale courte, presque carrée, à surface apicale légèrement concave. Espace mésosternal un peu plus large que long, légèrement étranglé au milieu. Élytres et ailes n'atteignant pas l'extrémité de l'abdomen; nervules stridulatoires de l'aire radiale des élytres réduites. Ailes larges, à bord postérieur convexe. Fémurs postérieurs comprimés; tarses allongés. Arolium grand. Dernier tergite abdominal ♂ avec 2 saillies anguleuses; plaque sus-anale anguleuse, munie de 2 tubercules latéraux derrière la suture transverse, l'apex trilobé; cerques étroits, courbés en dedans, à apex aigu; plaque sous-génitale courte, subconique.

Valves apicales et basales du pénis très rapprochées mais indépendantes; gaine pénienne de grande taille. Épiphalle à ancorae courtes et larges; lophi lobiformes, de



Fig. 59. — *Lopheuthymia brunneri* (Finot, 1903). — 1, ♀. — 2, ♂. — 3, Complexe phallique latéralement, l'essentiel de la membrane ectophallique et l'épiphalle enlevés. — 4, *id.*, l'essentiel du cingulum enlevé. — 5, Épiphalle.

grande taille. Plaque sous-génitale ♀ profondément trilobée. Oviscapte de taille moyenne, à valves courbées.

Espèce type : *Euthymia brunneri* Finot, 1903.

1. **Lopheuthymia brunneri** (Finot) (loc. typ. : Madagascar; type ♂, Muséum Paris).

Euthymia brunneri Finot, 1903 : 633.
Lopheuthymia brunneri (Finot, 1903); Uvarov, 1943 : 388; Dirsh, 1962 *a* : 296.

Fig. 59. — Long. ♂ 22 à 25 mm, ♀ 30 à 35 mm; pronotum ♂ 5,5 à 6 mm, ♀ 11 à 12 mm; élytre ♂ 14 à 17,5 mm, ♀ 16 à 18 mm; fémur postérieur ♂ 12 à 15,5 mm, ♀ 17 à 18 mm.

♂. Taille moyenne. Tête un peu prognathe. Brun; élytres et pronotum ocre sale avec de petits points et des bandes brun foncé; élytres parfois parsemés de quelques petits points rougeâtres; ailes enfumées; face externe des fémurs postérieurs ocre, la moitié apicale traversée par une bande transverse noirâtre, irrégulière; face interne noire, à bande préapicale ocre; genoux postérieurs noirs; tibias postérieurs rougeâtres, la partie basale et une partie de la face inférieure noircies; tarses postérieurs rouges, sauf l'apex noirâtre.

♀. Comme le ♂ mais plus grande; tête plus prognathe et élytres relativement plus courts.

Madagascar Est : Maroantsetra, Fampanambo (*J. Vadon*). — Andapa, Ambodi-tavolo. — Moramanga, Perinet (*E. Razafimandimby*).

Genre **Pachyceracris** Dirsh

Pachyceracris Dirsh, 1962 *a* : 305.

Taille moyenne. Tégument rugueux. Antennes en forme de bâtonnet, épaissies à la base, bien plus courtes que la tête et le pronotum réunis. Tête conique, un peu renflée, le dessus subglobuleux; fastigium du vertex horizontal ou déclive, anguleux, la face dorsale convexe, à carinules marginales, séparée du vertex par une dépression; espace interoculaire plus large que le scape antennaire; front court, rectiligne et oblique de profil; côte frontale large, convexe, sans carinules latérales, nette et tuberculiforme au-dessus de l'ocelle, effacée au-dessous. Un tubercule obtus entre la base des antennes et l'œil. Pronotum cylindrique; disque traversé par 3 sillons profonds; métazone plus courte que la prozone, son bord postérieur arrondi; trace de carène médiane visible seulement sur la métazone; carènes latérales absentes. Saillie prosternale courte, en forme de tubercule, l'extrémité large et arrondie; prosternum large; espace mésosternal élargi à l'apex et fortement étranglé au milieu. Élytres et ailes abrégés, atteignant le 8e tergite abdominal. Nervules transverses de l'aire radiale des élytres non spécialisées; ailes élargies à bord externe fortement convexe; nervure cubitale réunie à la médiane à l'apex. Fémurs postérieurs moyennement grêles. Pas d'épine apicale externe aux tibias postérieurs. Tarses postérieurs égalant la moitié des tibias Arolium grand. Oviscapte allongé, grêle, à valves un peu courbées à l'apex (♀ seule connue).

Espèce type : *Pachyceracris fusca* Dirsh, 1962.

Ce genre est remarquablement différent de tous les genres connus de la sous-famille. Il est particulièrement remarquable par les antennes fortement abrégées, la forme de la tête à côte frontale en tubercule dans sa partie supérieure et le mode particulier de fusion de la cubitale et de la médiane. L'étude du ♂, inconnu, pourra aider à fixer plus nettement sa position.

CLÉ DES ESPÈCES (♀)

1 (2) Fastigium horizontal; partie supérieure de la côte frontale partiellement visible du dessus; face interne des fémurs postérieurs de même couleur que l'abdomen; tibias postérieurs rouges; taille plus grande (*♂ inconnu*) . . . . 1. **P. fusca**

2 (1) Fastigium fortement déclive; partie supérieure de la côte frontale invisible du dessus; face interne des fémurs postérieurs rouge vif; tibias postérieurs brun violacé foncé; taille nettement plus petite (*♂ inconnu*) . . 2. **P. griveaudi**

1. Pachyceracris fusca Dirsh (loc. typ. : Andranotobaka: type ♀, Muséum Paris).

Pachyceracris fusca Dirsh, 1962 *a* : 306; DESCAMPS et WINTREBERT, 1966 *b* : 142.

Fig. 60. — Long. 32 mm; pronotum 5,5 mm; élytre 16 mm; fémur postérieur 13 mm.

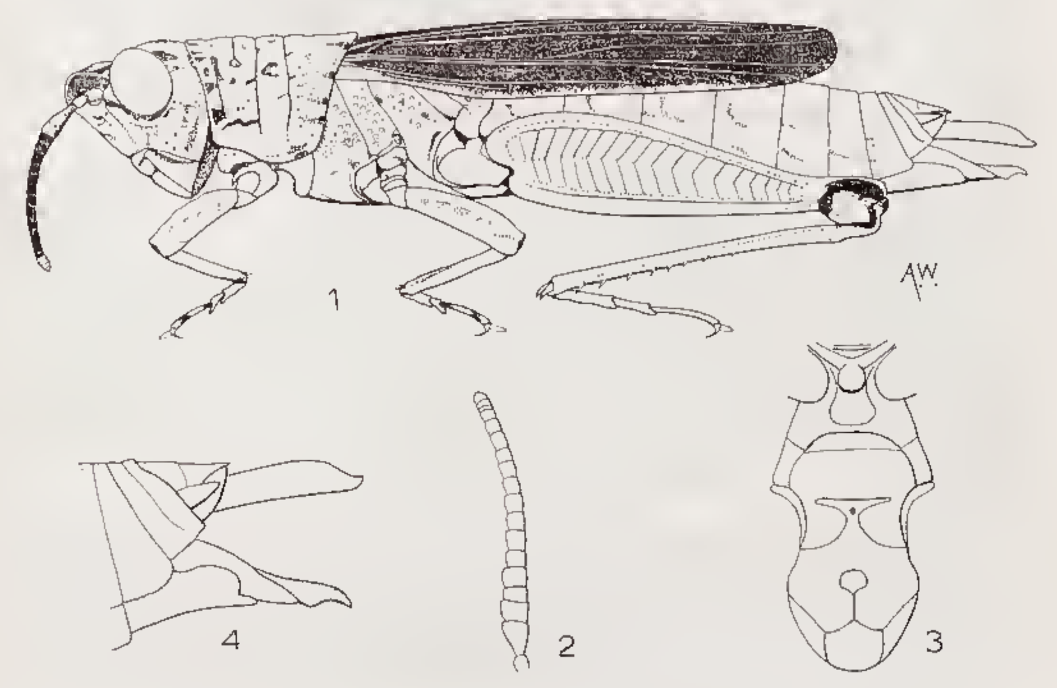


FIG. 60. — *Pachyceracris fusca* Dirsh, 1962. — 1, ♀ type. — 2, Antenne. — 3, Sternum. — 4, Extrémité abdominale latéralement.

♀. Tégument fortement rugueux, mais luisant. Antennes de 18 articles. Espace métasternal irrégulièrement arrondi, fermé. Bord antérieur des élytres un peu convexe; apex arrondi; membrane semi-transparente; nervation et réticulation grossières. Extrémité de la plaque sous-génitale en forme de triangle large encadré de 2 faibles convexités arrondies.

Coloration générale brunâtre. Fémurs postérieurs ocre, avec une bande longitudinale, brunâtre, peu marquée, sur la face externe; genoux postérieurs bruns sur les 2 faces; tibias postérieurs et tarses rouges. Ailes enfumées.

Madagascar Est : Perinet, 1933 (*A. Seyrig*).

Madagascar Centre : Ambatolampy, Andranotohaka, 1 400 m, IV-1957 (*P. Griveaud*).

2. **Pachyceracris griveaudi** Descamps et Wintrebert (loc. typ. : forêt d'Amboasary, 1 300 m; type ♀, Muséum Paris).

Pachyceracris griveaudi Descamps et Wintrebert, 1966 *a* : 29: 1966 *b* : 142.

Long. 25 mm; pronotum 4,1 mm; élytre 11,5 mm; fémur postérieur 11,5 mm.

♀. Taille nettement plus petite que celle de *P. fusca;* tégument luisant, finement bosselé, légèrement pileux. Face très fortement oblique; angle fastigio-facial étroitement arrondi. Côte frontale bien différenciée à la partie supérieure seulement, fortement rétrécie au niveau de l'extrémité fastigiale, élargie entre les antennes, légèrement bombée mais non nettement convexe comme chez le génotype. Face fortement rugueuse. Yeux un peu plus saillants que ceux de *P. fusca.* Fastigium triangulaire, fortement déclive, largement arrondi à l'extrémité, rugueux et faiblement convexe. Extrémité de la côte frontale invisible du dessus. Vertex bombé, séparé du fastigium par un fin sillon transverse. Antennes courtes, les articles de la base du flagelle comprimés et élargis; un petit mamelon entre la base de l'antenne et le bord de l'œil. Pronotum sans la moindre trace de carène, régulièrement convexe et rebordé à l'arrière; métazone à peu près égale aux 2/5 de la longueur totale. Saillie prosternale très courte, subquadrangulaire, nettement moins saillante au-delà du bord antérieur relevé en collier que chez *P. fusca.* Espace mésosternal en X; moitié postérieure du bord interne des lobes latéraux confondue avec le bord postérieur en une large convexité. Carènes des fémurs postérieurs très peu saillantes, l'aire inféro-externe mal délimitée. Bord inférieur du lobe géniculaire inféro-externe rectiligne, l'angle postérieur d'un peu moins de 90°, arrondi. Cerques subconiques, étroits, à peu près 3 fois aussi longs que larges à la base, l'extrémité en pointe mousse effilée. Plaque sous-génitale à expansion médiane triangulaire non encadrée de convexités basales. Point d'implantation des columelles marqué par 2 petits cercles noirs plus écartés que chez l'espèce type du genre.

Teinte générale brun verdâtre. Pattes antérieures et tibias de la 2e paire avec traînées noires. Face externe des fémurs postérieurs ocre brun; aire inféro-interne et aire médiane interne rouge carmin. Lobes géniculaires internes et supéro-externe noirs. Tibias postérieurs brun violacé sombre avec base plus claire sur les faces externe et supérieure. Élytres à fond très foncé et réticulum marron clair.

Madagascar Centre : Forêt d'Amboasary, 1 300 m, canton Tsarafidy, district d'Ambohimahasoa, I-1962 (*P. Griveaud*).

Genre **Malagasacris** Rehn

Malagasacris Rehn, 1944 : 18, 32; Dirsh, 1962 *a* : 300.

Petite taille. Tégument rugueux. Antennes filiformes, plus longues que la tête et le pronotum réunis. Tête renflée, le dessus globuleux; fastigium du vertex large, fortement déclive, à apex tronqué; front court, un peu oblique, fortement rugueux, à profondes fossettes au-dessus des antennes; côte frontale large, basse, à surface rugueuse, plane, la plus grande largeur entre les antennes. Yeux et ocelles grands, fortement convexes; espace interoculaire 2 fois plus large que le scape antennaire. Pronotum cylindrique, le disque traversé par 3 ou 4 sillons profonds; métazone plus courte que la prozone, son bord postérieur en angle obtus, presque arrondi; épisterne grand, à angle antérieur atténué. Saillie prosternale basse, à apex arrondi. Espace mésosternal large, à côtés incurvés. Élytres et ailes un peu abrégés, atteignant ou presque l'extrémité de l'abdomen; nervules stridulatoires de l'aire radiale des élytres réduites; ailes à bord externe convexe; nervure cubitale réunie à la nervure médiane dans le 1/4 apical. Fémurs postérieurs grêles; une épine apicale externe aux tibias postérieurs; tarses postérieurs allongés, plus longs que la moitié des tibias. Arolium grand. Plaque sus-anale ♂ anguleuse. Cerques droits, étroits, coniques. Plaque sous-génitale courte, subconique.

Ectophalle membraneux; rami étroits; gaine pénienne couvrant entièrement les valves apicales du pénis; valves du cingulum bien développées. Endophalle fortement sclérifié; valves basales du pénis étroites; processus du gonopore très grand; valves apicales du pénis longues et étroites. Épiphalle non divisé; ancorae fortes et courtes; lophi lobiformes, larges.

Espèce type : *Malagasacris strateira* Rehn, 1944.

Chez *Malagasacris* la liaison entre la cubitale et la médiane des ailes postérieures se situe dans la partie distale des nervures et est moins nette que dans les autres genres du groupe.

Rehn décrivant *Malagasacris strateira* en 1944 désignait le ♂ comme type et la ♀ comme allotype. Le matériel étudié comprenait 9 ♂ et 3 ♀ de Rogez et 1 ♂ d'Analamazotra. Dirsh (1962) met en doute la valeur de ce couple et l'appartenance générique de la ♀. Nous avons trouvé récemment (Muséum de Madrid) une ♀ en provenance de la forêt d'Analamazotra (Perinet) correspondant exactement à la description de Rehn. En dépit d'un grand dimorphisme sexuel il semble bien, en définitive, que le couple spécifique constitué en 1944 soit valable.

Clé des espèces (♂)

1 (2) Saillie prosternale en tubercule à apex arrondi; dernier tergite abdominal ♂ sans saillies; plaque sus-anale simple, anguleuse; faces interne et inférieure des fémurs postérieurs jaunes, tibias brun rougeâtre . 1. **M. strateira**

2 (1) Saillie prosternale à apex comprimé et subaigu; dernier tergite abdominal ♂ avec 2 saillies aiguës; plaque sus-anale anguleuse à apex atténué; faces interne et inférieure des fémurs postérieurs et tibias bleus . . . . 2. **M. rugosa**

1. Malagasacris strateira Rehn (loc. typ. : Rogez; type ♂, Académie des Sciences de Philadelphie).

Malagasacris strateira Rehn, 1944 : 35; Dirsh, 1962 *a* : 302.

Fig. 61. — Long. ♂ 15,3 à 17,2 mm, ♀ 19,5 à 22,6 mm; pronotum ♂ 3,3 à 3,6 mm, ♀ 4,5 à 4,7 mm; élytre ♂ 10,7 à 11,2 mm, ♀ 11,9 à 12,7 mm; fémur postérieur ♂ 10,2 à 11,2 mm, ♀ 12,5 à 13,5 mm.

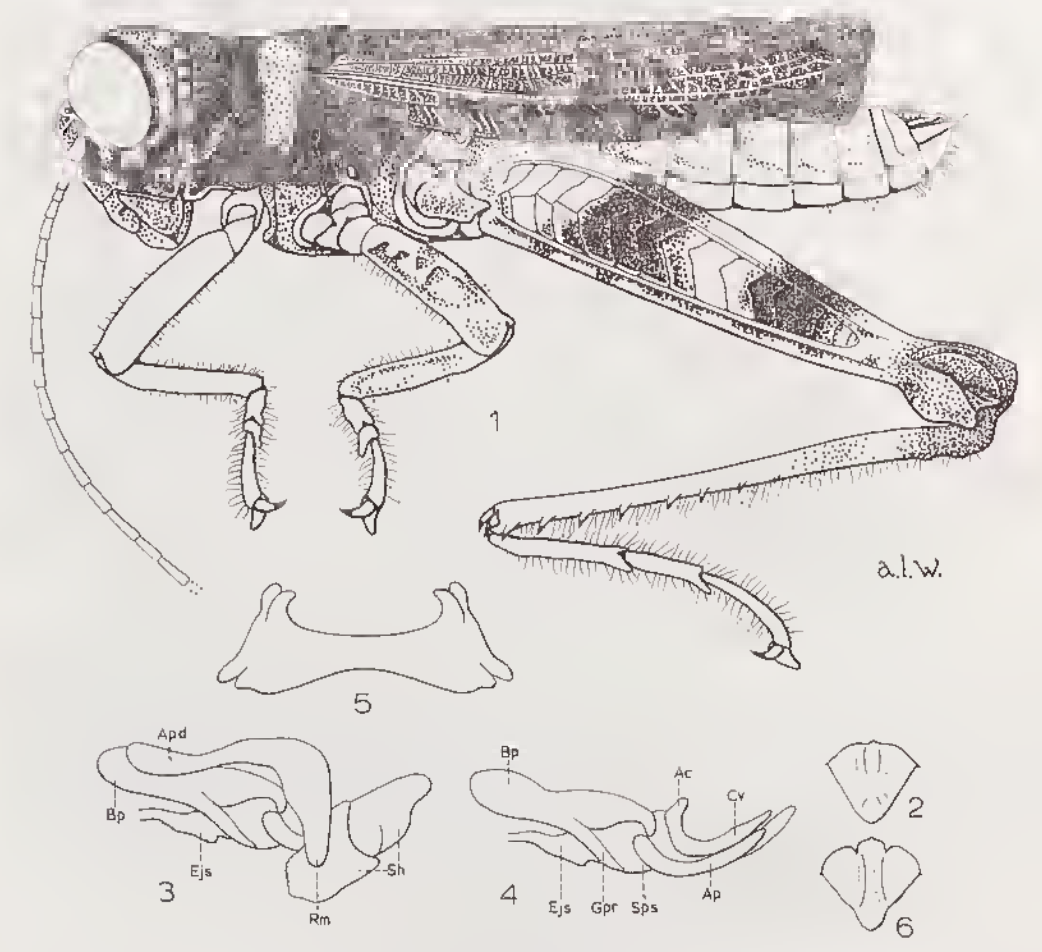


Fig. 61. — *Malagasacris strateira* (Rehn, 1944). — 1, ♂ paratype. — 2, Plaque sus-anale. ♂. — 3, Complexe phallique latéralement, la membrane ectophallique et l'épiphalle enlevés. — 4, *id.*, l'essentiel du cingulum enlevé. — 5, Épiphalle. — 6, Plaque sus-anale ♂ de *Malagasacris rugosa* Dirsh, 1962.

♂. Tégument rugueux et luisant. Fastigium du vertex moyennement large. Disque du pronotum traversé par 4 sillons. Saillie prosternale en tubercule. Dernier tergite abdominal sans saillies. Plaque sus-anale anguleuse.

Coloration générale brunâtre. Lobes latéraux du pronotum à large bande jaune vif le long du bord postérieur. Membrane des élytres bleuâtre, à nervation et réticula-

tion légères et brunâtres; ailes bleuâtres á bord externe enfumé. Fémurs postérieurs jaune vif des 2 côtés; 2 fascies transverses noirâtres à la face externe et 1 à la face interne; genoux bruns. Tibias et tarses postérieurs brun rougeâtre.

♀. Antennes un peu plus longues que la tête et le pronotum réunis. Espace interoculaire proportionnellement plus large que chez le ♂. Pronotum légèrement ensellé, la prozone de largeur subconstante, la métazone plus élevée que la prozone, régulièrement déclive de l'arrière vers le sillon typique; lobes latéraux nettement plus étroits que chez le ♂, le bord inférieur très fortement sinué comme dans l'autre sexe. Champ précostal des élytres fortement saillant, les élytres étant brusquement rétrécis au 1/3 de la longueur, un peu comme chez *Euthymia bolivari*. Partie postérieure de la plaque sous-génitale triangulaire; valves de l'oviscapte courtes, l'extrémité bien recourbée.

Teinte générale ocre brun plus uniforme que chez le ♂. Prozone du pronotum tachée de sombre; métazone uniformément claire. Nervation des élytres ocre, beaucoup plus pâle que chez le ♂. Fémurs postérieurs comme chez le ♂ mais l'aire médiane externe parsemée de taches noires ne constituant pas de bandes transverses. Tibias postérieurs brun rougeâtre.

MADAGASCAR EST : Rogez, XII-1936 et IV-1937 (*C. Lamberton*); XII-1931 (*A. Seyrig*). — Perinet, forêt d'Analamazaotra, X-1930 (*Olsoufieff*); XII-1933 (*A. Seyrig*). — Maroantsetra (ex. coll. Le Moult).

2. **Malagasacris rugosa** Dirsh (loc. typ. : route de Lakato; type ♂, Muséum Paris).

Malagasacris rugosa Dirsh, 1962 *a* : 302.

Fig. 61. — Long. 16,6 mm; pronotum 3,7 mm; élytre 12 mm; fémur portérieur 10 mm.

♂. Tégument mat, fortement rugueux. Fastigium du vertex large. Disque du pronotum traversé par 3 sillons; saillie prosternale comprimée, à apex subaigu. Dernier tergite abdominal avec 2 saillies aiguës. Plaque sus-anale anguleuse, à apex atténué.

Coloration générale brunâtre. Membrane des élytres bleuâtre, à nervation brun pâle; ailes bleuâtres à bord externe largement enfumé. Face externe des fémurs postérieurs ocre pâle, l'extrémité basale et 2 larges bandes transverses noires; genoux bruns à lobe inférieur jaunâtre; faces interne et inférieure bleues, avec 2 fascies transverses peu nettes, blanchâtres; tibias postérieurs bleus, tarses brunâtres.

♀. Inconnue.

MADAGASCAR EST : Moramanga, route de Lakato, km 15, Ankasoka, 1 130 m I-1959 (*P. Griveaud*).

Genre **Gergis** Stål

Gergis Stål, 1875 : 29; DIRSH, 1962 *a* : 302.

Taille moyenne ou faible. Tégument finement rugueux et éparsement poilu. Antennes filiformes, plus longues que la tête et le pronotum réunis. Tête renflée, le dessus subglobuleux; fastigium du vertex déclive, en angle obtus, séparé du vertex par une

dépression; distance interoculaire plus large que le scape antennaire; front oblique, droit, court; côte frontale basse, large, rétrécie et effacée sous l'ocelle; yeux grands, fortement convexes; ocelles grands. Pronotum cylindrique, sans carènes, le disque traversé par 3 profonds sillons. Métazone égalant à peu près la moitié de la prozone, son bord postérieur arrondi. Saillie prosternale conique. Espace mésosternal élargi à l'apex et très étranglé au milieu; espace métasternal en triangle inversé, fermé. Élytres et ailes abrégés, atteignant le dernier tergite abdominal; bord antérieur de l'élytre légèrement convexe, l'apex arrondi, la nervation grossière; appareil stridulatoire des élytres fortement réduit, parfois indistinct. Ailes larges, à bord externe fortement convexe; nervure cubitale réunie à la médiane. Fémurs postérieurs grêles. Tibias postérieurs un peu dilatés à l'apex; pas d'épine apicale externe. Tarses postérieurs plus grands que la moitié des tibias. Arolium grand. Dernier tergite abdominal ♂ avec 2 grandes saillies postérieures, lobiformes. Plaque sus-anale allongée. Cerques longs, étroits, coniques, aigus, un peu courbés en dedans. Plaque sous-génitale allongée, conique.

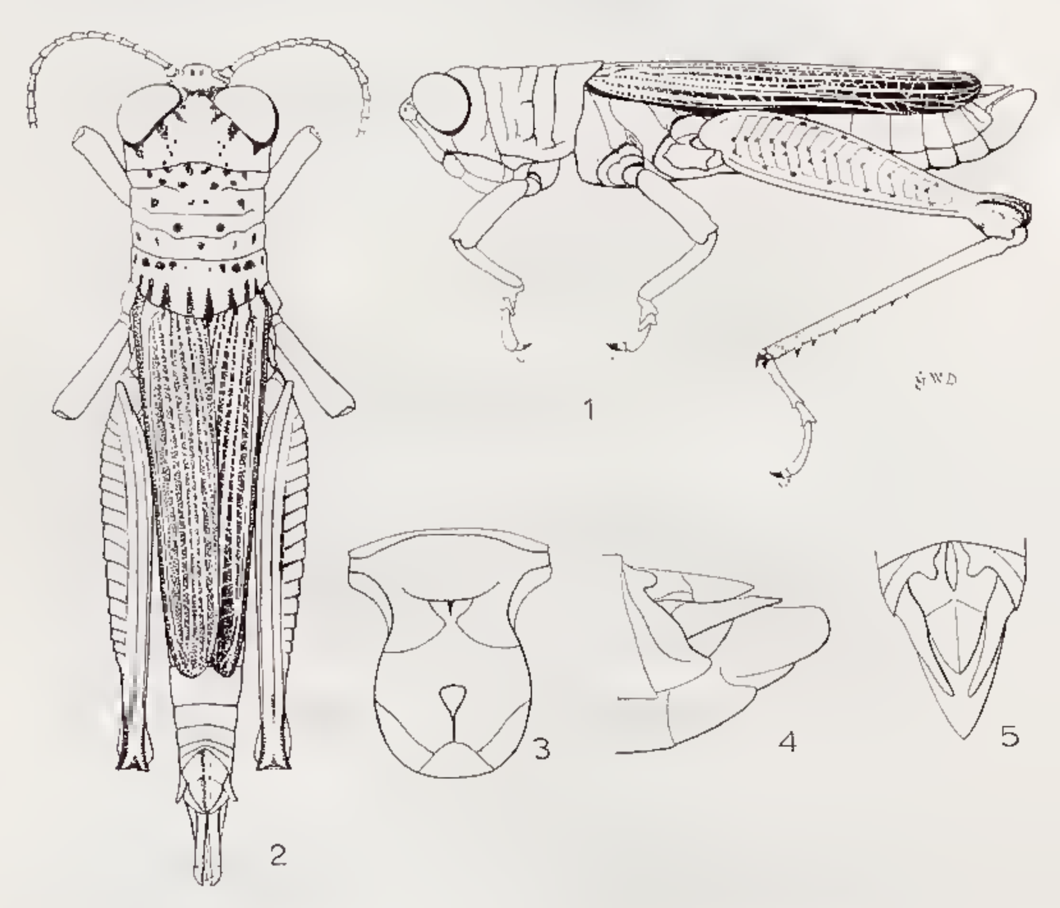


Fig. 62. — *Gergis pallidinervis* (Stål, 1875). — 1, ♂ type. — 2, ♀. — 3, Sternum. — 4, Extrémité abdominale ♂ latéralement. — 5, *id.*, dorsalement.

Phallus robuste. Valves basales et apicales du pénis indépendantes mais très rapprochées. Arche et valves du cingulum bien développées. Gaine du pénis grande, couvrant complètement les valves apicales et les valves du cingulum. Épiphalle non divisé; ancorae petites, courbées, l'extrémité aiguë; lophi lobiformes de petite taille.

Espèce type : *Gergis pallidinervis* Stål; 1875.

Clé des espèces

1 (2) Taille plus forte; fastigium du vertex à apex obtus; plaque sus-anale ♂ à apex anguleux, sans carinules latérales; plaque sous-génitale ♂ conique, à apex obtus (fig. 62) . . . . 1. **G. pallidinervis**

2 (1) Taille plus faible; fastigium du vertex anguleux à l'apex; plaque sus-anale ♂ à apex atténué et fortes carinules latérales; plaque sous-génitale ♂ allongée, conique, aiguë à l'apex (fig. 63) . . . . 2. **G. minor**

1. Gergis pallidinervis Stål (loc. typ. : Madagascar; type ♂, Musée de Stockholm).

Gergis pallidinervis Stål, 1875 : 29; Dirsh, 1962 *a* : 303.

Fig. 62. — Long. ♂ 22 mm, ♀ 31,2 mm; pronotum ♂ 4,3 mm, ♀ 5,2 mm; élytre ♂ 13,5 mm, ♀ 14 mm; fémur postérieur ♂ 12 mm, ♀ 14 mm.

♂. Taille moyenne. Apex du fastigium du vertex obtus. Plaque sus-anale allongée, anguleuse, aiguë à l'apex, sans carènes latérales et médiane. Cerques coniques, légèrement et irrégulièrement courbés. Plaque sous-génitale conique, à apex obtus de profil.

Coloration générale brun olive. Face brunâtre avec quelques petits points noirs. Antennes brunâtres. Pronotum parsemé de petites taches irrégulières, noirâtres. Élytres brunâtre olive à nervures principales ocre. Ailes enfumées. Fémurs postérieurs ocre sale extérieurement; faces inférieure et interne légèrement rouge orangé. Genoux postérieurs noirâtres. Tibias postérieurs légèrement orangés sur la moitié basale de la face supérieure, le reste noirâtre. Tarses rougeâtres.

♀. Comme le ♂ mais plus grande. Oviscapte long et grêle, à valves légèrement courbées à l'apex. Plaque sous-génitale à apex anguleux.

Madagascar Est : Brickaville, Ambila-Lemaitso, I-1957 (*A. Robinson*). — Tsivory, 1906 (*Fauchère*).

2. Gergis minor Dirsh (loc. typ. : Perinet; type ♂, Muséum Paris).

Gergis minor Dirsh, 1962 *a* : 303.

Fig. 63. — Long. ♂ 17,5 à 18 mm; pronotum ♂ 3 à 3,2 mm, ♀ 4,2 mm; élytre ♂ 8,5 à 9 mm, ♀ 12 mm; fémur postérieur ♂ 10 à 10,3 mm, ♀ 12 mm.

♂. Petit. Fastigium du vertex à apex anguleux. Plaque sus-anale allongée, à côtés courbés et profond sillon médian; fortes carinules latérales et forte suture transverse; apex anguleux et atténué. Cerques coniques, un peu courbés en dedans. Plaque sous-génitale allongée; conique de profil, à apex aigu.

Coloration générale brunâtre. Face ocre avec 2 fascies transverses brunes. Antennes brunes. Tête et pronotum avec 2 bandes ocre irrégulières. Pleures ocre. Élytres bruns à nervures longitudinales principales brunes. Ailes enfumées. Pattes antérieures et intermédiaires ocre. Fémurs postérieurs à face externe ocre; faces interne et inférieure rouge orangé; genoux postérieurs noir bleuâtre; tibias postérieurs rouge orangé sur la moitié basale et bruns sur la moitié apicale; tarses rouges. Face inférieure du corps brune.

♀. Comme le ♂ mais plus grande et moins vivement colorée.

Madagascar Est : Moramanga, forêt de la route d'Anosibe, I-1951 (*R. Paulian*). — Perinet, III-1932 (*A. Seyrig*); IV-1914. — Fito, de Alastia à Tamatave, IV et V-1932 (*A. Seyrig*). — Rogez.

Genre **Morondavia** Dirsh

Morondavia Dirsh, 1962 *a* : 306.

Petit. Tégument finement rugueux. Antennes filiformes, plus courtes que la tête et le pronotum réunis. Tête renflée, le dessus subglobuleux; fastigium du vertex déclive et très saillant, anguleux, à apex obtus; espace interoculaire un peu plus étroit que le scape antennaire; yeux grands, moyennement convexes; front fortement oblique, très court, à peu près aussi long que le clypéus et le labre; côte frontale large, plate, effacée sous l'ocelle, unie en courbe au fastigium du vertex. Pronotum subcylindrique,

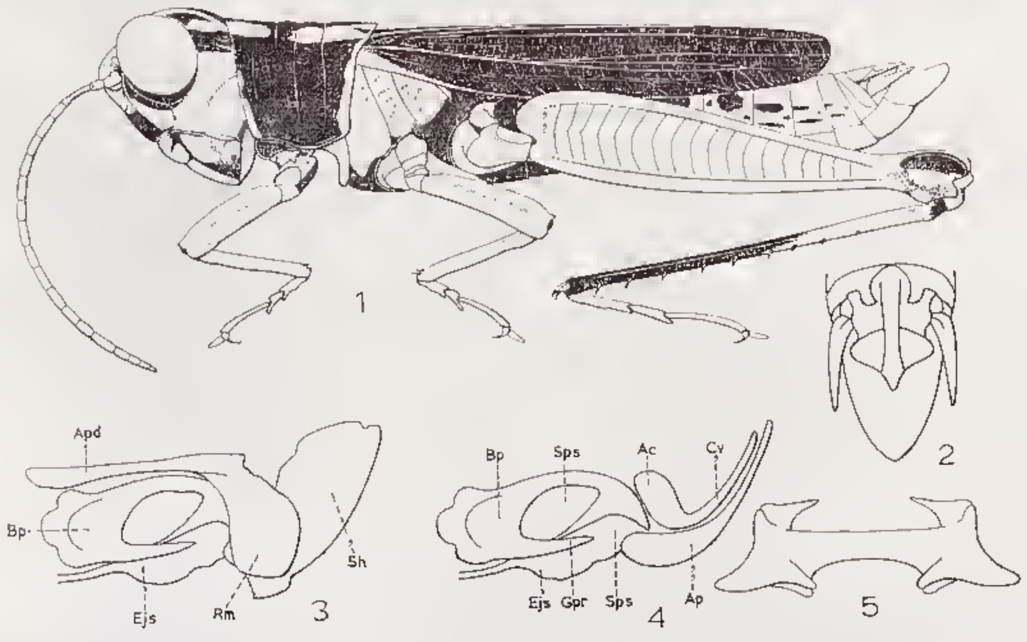


Fig. 63. — *Gergis minor* Dirsh, 1962. — 1, ♂, type. — 2, Extrémité abdominale dorsalement. — 3, Complexe phallique latéralement, la membrane ectophallique et l'épiphalle enlevés. — 4, *id.*, l'essentiel du cingulum enlevé. — 5, Épiphalle.

sans carènes; 3 faibles sillons transverses sur le disque; métazone bien plus courte que la prozone, son bord postérieur largement arrondi. Processus prosternal court, en forme de tubercule, à apex arrondi et renflé. Méso et métasternum longitudinalement concaves; espace mésosternal fortement rétréci au milieu. Élytres et ailes n'atteignant pas l'extrémité de l'abdomen; nervation des élytres grossière et réduite, mais avec des rangées de nervules épaissies, régulières, parallèles et obliques dans les aires précostale et vanale; ailes larges, à bord postérieur fortement convexe; nervure cubitale unie et fusionnée avec la médiane; fémurs postérieurs moyennement grêles; pas d'épine apicale externe aux tibias postérieurs; tarses longs. Arolium grand. Dernier tergite abdominal ♂ avec 2 petites saillies; plaque sus-anale allongée, anguleuse; cerques grêles, allongés, à apex aigu; plaque sous-génitale étroite, subconique.

Complexe phallique : apodèmes du cingulum bien développés; gaine pénienne couvrant entièrement les valves apicales du pénis. Valves basales du pénis grandes, réunies aux valves apicales par une flexure épaisse. Valves du cingulum petites, aiguës. Épiphalle non divisé, à pont étroit; ancorae petites; lophi grands, lobiformes. Plaque sous-génitale ♀ à apex en angle aigu encadré d'une paire de petites convexités. Oviscapte allongé, à valves étroites, un peu courbées à l'apex; bord externe des valves supérieures grossièrement serrulé.

Espèce type : *Morondavia cephalica* Dirsh, 1962.

Ce genre diffère fortement des autres genres du groupe par la spécialisation des élytres (peut-être à rôle stridulatoire) représentée par des rangées de nervules régulièrement épaissies dans les régions précostale et vanale, par la tête renflée et par le front très raccourci.

Clé des espèces

1 (2) Taille plus grande; tibias postérieurs noirâtres, sauf la partie basale de la face inférieure rouge; cerques du ♂ incurvés. . . . . . 1. **M. cephalica**

2 (1) Taille plus petite; tibias postérieurs complètement rouges; cerques du ♂ rectilignes . . . . 2. **M. minor**

1. Morondavia cephalica Dirsh (loc. typ. : Antsingy Nord; type ♂, Muséum Paris).

Morondavia cephalica Dirsh, 1962 *a* : 307.

Fig. 64. — Long. 20 mm; pronotum 3,5 mm; élytre 12 mm; fémur postérieur 10 mm.

♂. Tête très renflée; fastigium du vertex large, l'extrémité en angle obtus. Cerques fortement courbés en dedans; plaque sus-anale à apex parabolique.

Coloration ocre brunâtre; des points ocre sur les lobes latéraux du pronotum et les pleures. Face externe des fémurs postérieurs ocre avec 2 fascies transverses enfumées; faces interne et inférieure rouges à fascie préapicale noirâtre; tibias postérieurs rougeâtres à la partie basale de la face inférieure, le reste noir; tarses postérieurs rougeâtres.

Madagascar Ouest : Maintirano, 63 km à l'Est, forêt de l'Antsingy Nord, VII-1949 (*R. Paulian*).

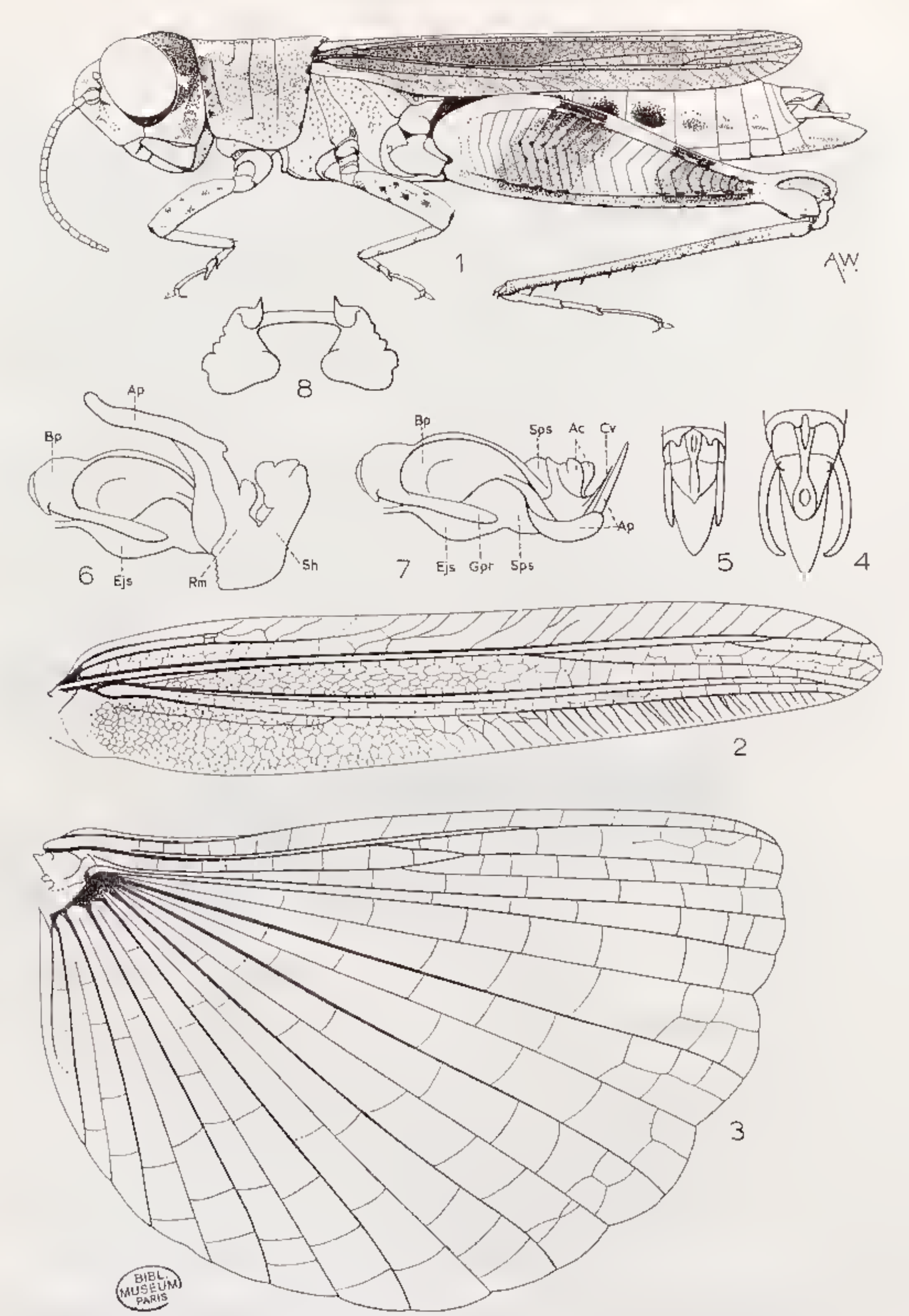


Fig. 64. — 1 à 4, *Morondavia cephalica* Dirsh, 1962. — 1, ♂ type. — 2, Élytre. — 3, Aile. — 4 Extrémité abdominale ♂ dorsalement.
— 5 à 8, *Morondavia minor* Dirsh, 1962. — 5, Extrémité abdominale ♂ dorsalement. — 6, Complexe phallique latéralement, membrane ectophallique et épiphalle enlevés. — 7, *id.*, l'essentiel du cingulum enlevé. — 8, Épiphalle.

2. **Morondavia minor** Dirsh (loc. typ. : forêt de Befasy; type ♂, Muséum Paris).

Morondavia minor Dirsh, 1962 *a* : 307; DESCAMPS et WINTREBERT, 1966 *b* : 144.
Morondavia sp. Descamps et Wintrebert, 1966 *b* : 144.

Fig. 64. — Long. ♂ 15 à 18 mm, ♀ 22 à 24 mm.

Taille plus faible et tête un peu moins renflée que chez l'espèce précédente. Plaque sus-anale du ♂ un peu plus courte, à apex atténué. Cerques du ♂ droits.

Face externe des fémurs postérieurs ocre à verdâtre, présentant une fascie antérieure enfumée et une fascie postérieure incomplète; chez de nombreux exemplaires des 2 sexes, face externe des fémurs postérieurs monochrome.

MADAGASCAR OUEST : Morondava, forêt au Sud de Befasy, I-1956 (*R. Paulian*). — Bekily, IX-1938 (*A. Seyrig*). — Moyen Fiherenana, III-1964 (*J. Têtefort*). — Forêt de l'Ankarafantsika, XII-1951 (*R. Paulian*); X-1964 (*J. Têtefort et D. Wintrebert*); I-1967 (*D. Wintrebert*). — 70 km Nord Sakaraha, VIII-1966 (*D. Wintrebert*).

Sous-famille *OXYINAE*

Taille faible ou moyenne. Tête subconique; fastigium du vertex court. Pronotum cylindrique ou subcylindrique; carène médiane faible ou nulle; pas de carènes latérales. Saillie prosternale conique. Espace mésosternal ouvert. Élytres et ailes entiers, abrégés ou absents. Tympan présent. Deux ou 3 sternites de l'extrémité abdominale pourvus (dans la plupart des cas) de groupes latéraux de poils en brosse. Lobe basal inférieur des fémurs postérieurs plus court que le lobe supérieur; lobe inférieur des genoux postérieurs spiniforme. Tibias postérieurs (en général) dilatés, pourvus d'une épine apicale externe (sauf chez *Gerista*). Valves de l'oviscapte et, en général, plaque sous-génitale ♀ dentées, épineuses ou serrulées. Valves basales et apicales du pénis réunies par une flexure. Épiphalle en pont, divisé ou montrant une tendance à la division, pourvu d'ancorae et de lophi. Pas d'appareil stridulatoire.

Les *Oxyinae* constituent un groupe naturel qui diffère des autres sous-familles d'*Acridoidea* par le lobe inférieur des genoux postérieurs spiniforme, par le pont de l'épiphalle plus ou moins nettement divisé et par les sternites distaux de l'abdomen pubescents. Ces caractères se retrouvent dans d'autres sous-familles mais leur combinaison définit assez bien les *Oxyinae*.

Genre type : *Oxya* Serville, 1831.

Genre **Oxya** Serville

Oxya Serville, 1831 : 286; DIRSH, 1962 *a* : 309.

Taille moyenne. Tégument lisse ou finement rugueux, luisant. Antennes filiformes, aussi longues ou plus courtes que la tête et le pronotum réunis. Fastigium du vertex court, large, à apex largement arrondi, le dessus à convexité superficielle, longitudinale; front oblique, un peu convexe; côte frontale sillonnée, à carinules distinctes; carinules de la face vives; yeux grands, ovales; distance interoculaire au moins égale

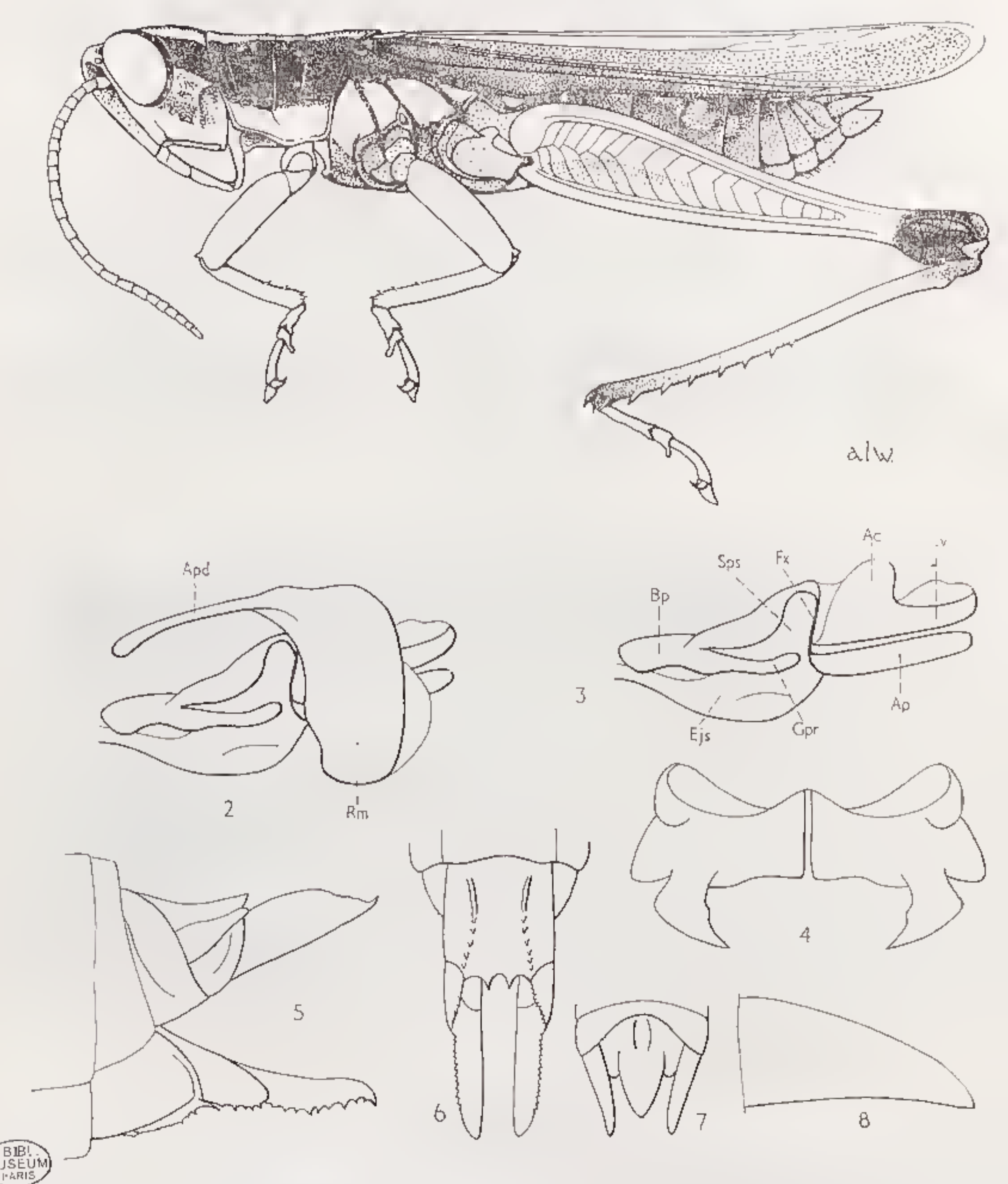


Fig. 65. — *Oxya humeralis* (Walker, 1870). — 1, ♂. — 2, Complexe phallique latéralement, membrane ectophallique et épiphalle enlevés. — 3, *id.*, l'essentiel du cingulum enlevé. — 4, Épiphalle. — 5, Extrémité abdominale ♀ latéralement. — 6, *id.*, ventralement. — 7, Extrémité abdominale ♂ dorsalement. — 8, Cerque ♂.

à la largeur du scape antennaire. Pronotum subcylindrique, le disque un peu aplati, traversé par 3 sillons étroits; métazone plus courte que la prozone, à bord postérieur arrondi ou en angle obtus très plat. Saillie prosternale conique. Espace mésosternal étranglé. Élytres dépassant l'extrémité de l'abdomen, à bord antérieur saillant dans la partie basale. Tympan grand et ouvert. Deux à 4 sternites distaux, à paquets de longs poils denses en brosse sur les côtés. Fémurs postérieurs grêles. Tibias postérieurs dilatés en lamelle, pourvus d'une épine apicale externe. Plaque sus-anale ♂ légèrement trilobée, à lobe apical atténué. Cerques coniques ou comprimés, á apex aigu ou légèrement bilobé. Plaque sous-génitale courte, conique chez le ♂, variable et souvent pourvue de dents apicales et de dents latérales chez la ♀. Épiphalle à pont divisé; ancorae petites et lophi lobiformes. Valves de l'oviscapte grêles, relativement longues, à bord externe serrulé.

Espèce type : *Oxya hyla* Serville, 1831.

1. **Oxya humeralis** (Walker) (loc. typ. : Madagascar; type ♀, British Museum, N.H.).

Heteracris humeralis Walker, 1870 : 662.

Oxya humeralis (Walker, 1870); WILLEMSE, 1925 : 39; DIRSH, 1962 *a* : 309; DESCAMPS et WINTREBERT, 1966 *b* : 144.

Fig. 65. — Long. ♂ 21 à 25,5 mm, ♀ 26 à 31 mm; pronotum ♂ 4,4 à 5,6 mm, ♀ 5 à 6,8 mm; élytre ♂ 15 à 23 mm, ♀ 20,5 à 28 mm; fémur postérieur ♂ 12,3 à 14,8 mm.

♂. Plaque sus-anale trilobée, les lobes latéraux petits et courts, le lobe apical grand et anguleux. Cerques un peu comprimés, le bord inférieur presque droit et le bord supérieur oblique et un peu convexe en vision latérale, la région apicale un peu oblique, l'apex subaigu. Plaque sous-génitale courte, étroite, subconique.

Complexe phallique assez grêle. Pas de gaine pénienne; valves basales et apicales du pénis réunies par une flexure mince et fortement sclérifiée; valves du cingulum grandes; arche du cingulum courte, robuste. Épiphalle en pont divisé; ancorae petites; lophi lobiformes ou odontiformes.

Coloration générale verte ou verdâtre; une bande latérale brune partant des yeux, traversant les lobes latéraux du pronotum et les élytres. Fémurs postérieurs verts ou verdâtres sur toutes leurs faces; genoux postérieurs bruns ou brunâtres; tibias postérieurs bleus.

♀. Comme le ♂ mais plus grande. Plaque sous-génitale pourvue de 2 dents aiguës sur le bord postérieur et traversée par 2 crêtes latérales fortement dentées et légèrement courbées. Oviscapte grêle; bord externe des valves supérieures légèrement serrulé; valves inférieures à grandes dents aiguës sur le bord externe. Dessins et coloration du ♂.

L'espèce a été décrite comme *Heteracris humeralis* Walker, 1870, sur un exemplaire ♀ unique conservé au British Museum (N. H.) et encore en assez bon état.

WILLEMSE, en 1925, a mis cette espèce en synonymie d'*Oxya hyla* Serville, 1831, en s'appuyant sur la forme de la plaque sous-génitale ♀ et la coloration qui, de toute façon, est sensiblement identique chez toutes les espèces du genre.

Oxya hyla Serville, dont le type du Sénégal est perdu, a été signalé de presque toute l'Afrique tropicale, mais une étude préliminaire du matériel africain semble indiquer que plusieurs espèces sont confondues. Aussi, jusqu'à ce que *O. hyla* Serville ait pu être redécrite et qu'un néotype ait été désigné, l'espèce de Walker doit être considérée comme valide.

Madagascar Nord : Ambilobe, IV-1957 (*R. Paulian*).

Madagascar Est : Massif du Marojejy, Ambinatitelo, 500 m, XII-1958 (*E. Raharizonina*). — Fénérive, forêt de Tampolo, VII-1949 (*J. Millot*). — Tamatave, station agricole de l'Ivoloina, XI-1958 (*J. Elie*); Fanandiana, III-1959 (*E. Razafimandimby*). — Brickaville, station agricole. — Moramanga, forêt de la route d'Anosibe, I-1957 (*R. Paulian*). — Ouest de Farafangana, VIII-1964 (*D. Wintrebert*). — Ile Sainte-Marie, îlot Madame, XI-1958 (*J. Elie*).

Madagascar Centre : Tananarive, parc de Tsimbazaza, II-1949 (*R. Paulian*), II-1964 (*P. Malzy*).

Madagascar Ouest : Marovoay, V (*J. Brenière*). — Maevatanana, forêt de l'Ankarafantsika, poste d'Ampijoroa (*E. Razafimandimby*). — Antsalova, forêt de l'Antsingy, Andobo, II-1957 (*P. Griveaud*). — Morombe, station agricole du Bas Mangoky (*A. Robinson*).

Madagascar Sud : Tuléar, Saint-Augustin, II-1956 (*A. Robinson*). — Betioky-Sud, Ankida, IX-1962 (*D. Wintrebert*).

Sous-famille *COPTACRIDINAE*

Taille moyenne ou faible. Tête subconique; occiput formant un angle avec le vertex, parfois marqué par une côte. Pronotum sans carènes latérales. Saillie prosternale conique. Espace mésosternal ouvert. Élytres et ailes entiers ou réduits. Tympan présent. Lobe basal inférieur des fémurs postérieurs plus court que le lobe supérieur. Pas d'épine apicale externe aux tibias postérieurs. Dernier tergite abdominal ♂ généralement pourvu d'une furcula; plaque sus-anale en général à apex atténué; plaque sous-génitale à repli transverse. Cerques ♂ élargis dans la moitié basale et comprimés dans la moitié apicale, à apex de forme compliquée, incliné vers le bas. Valves basales et apicales du pénis unies par une flexure. Épiphalle en pont divisé; ancorae et lophi présents. Pas de dispositif stridulatoire.

Genre type : *Coptacra* Stål, 1873.

Genre **Pamphagella** Bruner

Pamphagella Bruner, 1910 : 629; Dirsh, 1962 *a* : 311; Descamps et Wintrebert, 1966 *b* : 145.

Taille moyenne. Tégument granuleux. Antennes comprimées, un peu élargies dans les régions basale et apicale, plus courtes que la tête et le pronotum réunis. Fastigium du vertex étroit, déclive et fondu en angle obtus avec la côte frontale. Distance interoculaire plus large que le scape antennaire; front oblique, droit; côte frontale étroite, un peu élargie entre les antennes, légèrement concave, à carinules latérales bien nettes; vertex anguleux de profil. Pronotum fortement tectiforme, parfois presque

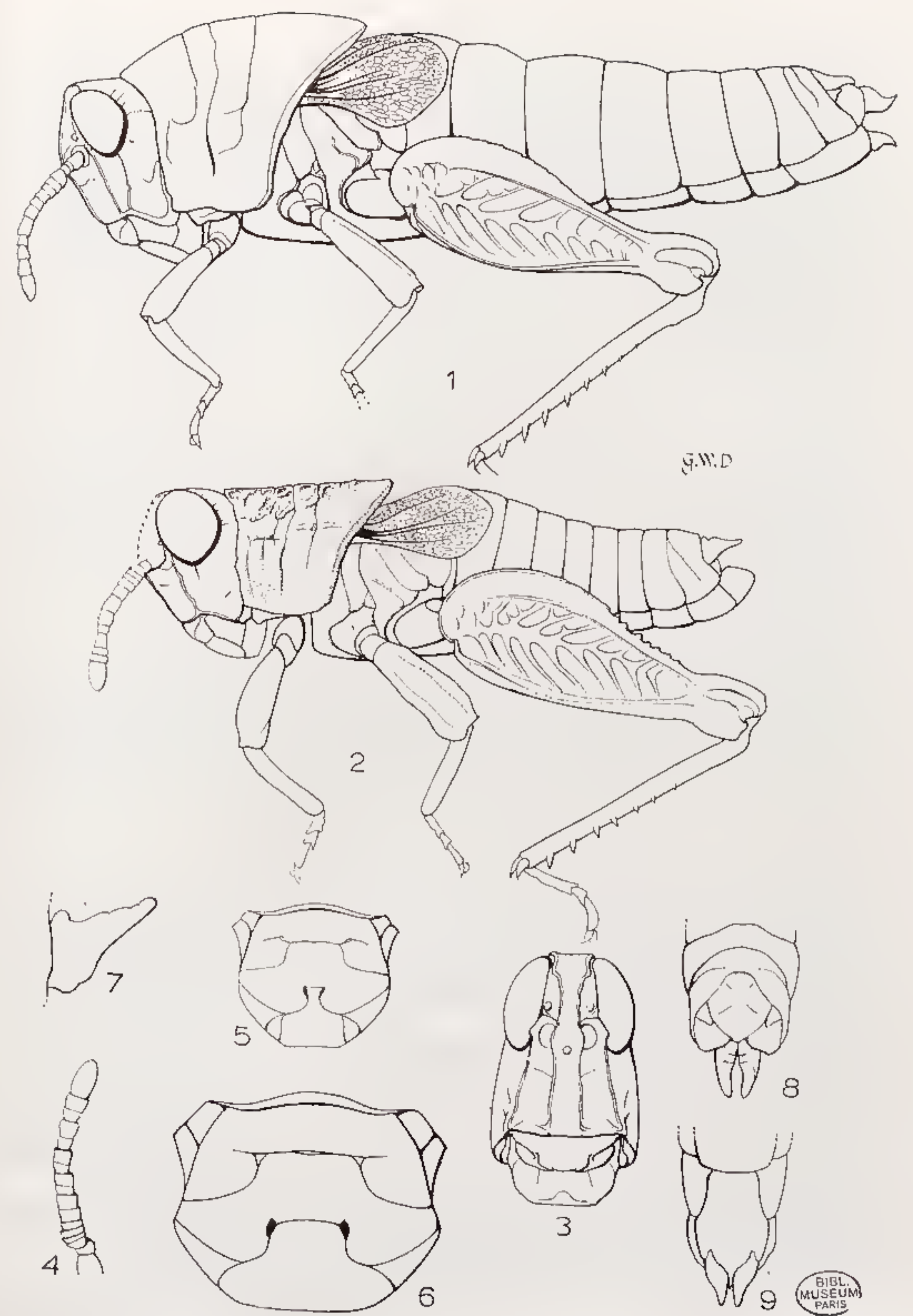


Fig. 66. — *Pamphagella comoroensis* (Bruner, 1910). — 1, ♀ paratype. — 2, ♂ type. — 3, Face. — 4, Antenne ♂. — 5, Sternum ♂. — 6, *id.*, ♀. — 7, Cerque, ♂. — 8, Extrémité abdominale ♀ dorsalement. — 9, *id.*, ventralement.

en crête chez les ♀, traversé par 3 sillons; métazone bien plus courte que la prozone, son bord postérieur en angle plus ou moins aigu. Saillie prosternale courte, transverse, à apex largement arrondi. Espace mésosternal court, bien plus large que long. Élytres lobiformes, latéraux, recouvrant un grand tympan; aire précostale parfois dilatée; apex arrondi; nervation et réticulation grossières. Fémurs postérieurs courts et larges; carène supérieure fortement serrulée; aire inféro-externe située sur la face ventrale; lobe inférieur des genoux postérieurs arrondi. Pas d'épine apicale externe aux tibias postérieurs. Arolium moyen. Plaque sus-anale ♂ allongée, anguleuse. Cerques comprimés, anguleux, relevés, à bord supérieur irrégulièrement crénelé. Plaque sous-génitale courte et subconique. Plaque sous-génitale ♀ légèrement trilobée. Oviscapte court, à valves robustes, un peu courbées à l'apex.

Membrane ectophallique fortement sclérifiée à la partie dorso-médiane. Épiphalle divisé au milieu, les 2 parties plus ou moins étroitement connectées; ancorae falciformes, diversement orientées; lophi très épais, colorés, de forme complexe, plurilobés. Bord inférieur des rami recourbé vers l'intérieur et prolongé par une membrane soudée à la partie apicale des valves du pénis. Valves basales et apicales du pénis réunies par une flexure; processus du gonopore court et épais. Arche du cingulum très épaisse; valves du cingulum simples, atteignant l'apex du pénis. Spermathèque à canal fin et relativement court, terminé par une ampoule complexe constituée de 2 diverticules encadrant un renflement médian.

Espèce type : *Pamphagella comoroensis* Bruner, 1910.

D'abord placé parmi les *Pamphagidae* le genre a été transféré (Dirsh, 1962 *a*), sur la base des caractères externes, dans la sous-famille des *Coptacridinae* dont il est le seul représentant connu à Madagascar. L'étude du complexe phallique (Descamps et Wintrebert, 1966 *b*) est venue confirmer la justesse de cette interprétation.

Clé des espèces (♂, ♀)

1 (6) Partie postérieure des élytres très fortement élargie, le bord antérieur droit à la base puis très fortement convexe 2

2 (5) Bord postérieur du pronotum anguleux; élytres se chevauchant légèrement chez le ♂, subcontigus chez la ♀; vertex anguleux en vision latérale; yeux de la ♀ très nettement plus hauts que larges; cerques du ♂ atteignant l'extrémité de la plaque sus-anale 3

3 (4) Carène médiane du pronotum fine, non sillonnée; angle du vertex droit; valves de l'oviscapte bien recourbées à l'extrémité, les unités supérieures à bord externe très fortement déclive en vision latérale; lobes latéraux de la plaque sous-génitale à peu près aussi longs que le lobe médian (fig. 66, 67) . . . . 1. **P. comoroensis**

4 (3) Carène médiane du pronotum plus épaisse, très nettement sillonnée sur toute la longueur; angle du vertex très nettement obtus; valves inférieures de l'oviscapte non recourbées à l'extrémité, le bord externe des valves supérieures moins fortement déclive de profil; lobes latéraux de la plaque sous-génitale nettement plus courts que le lobe médian (fig. 68) (♂ *inconnu*) . . . . 2. **P. suturalis**

5 (2) Partie postérieure du disque du pronotum fortement saillante mais non anguleuse; élytres plus étroits, largement distants dorsalement; vertex non anguleux en vision latérale; yeux à peu près aussi longs que larges. Fastigium de la ♀ relativement peu déclive; partie basale du bord externe des valves supérieures de l'oviscapte verticale en vision latérale (fig. 69) (♂ *inconnu*) . . . . 3. **P. thoracica**

6 (1) Élytres de largeur subconstante sur toute la longueur, étroits, inclinés vers le bas; cerques du ♂ très nettement plus courts que la plaque sus-anale (fig. 69, 70) . . . . 4. **P. stenoptera**

1. **Pamphagella comoroensis** Bruner (loc. typ. : Comores, Anjouan, Cercle de Bambao; lectotype ♂, Musée de Berlin).

Pamphagella comoroensis Bruner, 1910 : 630; Dirsh, 1962 *a* : 311; Descamps et Wintrebert, 1966 *a* : 30; 1966 *b* : 148.

Fig. 66, 67. — Pronotum ♂ 3,3 à 4,1 mm, ♀ 5,8 à 7,7 mm; élytre ♂ 2,5 à 3 mm, ♀ 3,9 à 4,8 mm; fémur postérieur ♂ 7,1 à 7,6 mm, ♀ 10,9 à 11,7 mm.

♂. Angle vertico-fastigial droit; partie supéro-antérieure de la capsule céphalique fortement déclive. Côte frontale peu déprimée au-dessus de l'ocelle médian, fortement concave et s'élargissant un peu vers le bas au-dessous. Yeux légèrement allongés. Fastigium concave, fortement déclive, ouvert vers l'avant, les carènes latérales prolongées par 2 côtes saillantes s'arrêtant brusquement au milieu de l'espace interoculaire et réunies, à ce niveau, par une petite crête irrégulière. Vertex non convexe, parcouru par une fine carinule. Espace interoculaire égalant un peu moins de 2 fois la largeur de la côte frontale entre les antennes. Ces dernières aplaties latéralement, les articles de la base du flagelle de largeur subégale à ceux de l'extrémité. Carène médiane du pronotum non fissurée. Métazone égalant environ les 3/4 de la prozone, l'angle postérieur légèrement obtus (parfois droit ou subaigu). Saillie prosternale transverse, en forme de lame comprimée frontalement. Espace mésosternal transverse, de largeur constante; espace métasternal environ 3 fois plus étroit que le précédent. Élytres fortement élargis vers l'arrière, contigus sur la ligne médiane, moins de 2 fois plus longs que larges, atteignant le milieu du 2e tergite abdominal; ailes atteignant le 1/3 du 1er tergite. Carène supérieure des fémurs postérieurs comprimée latéralement, épineuse, marquée d'un léger abaissement au milieu. Bord postérieur du dernier tergite pourvu d'une étroite concavité médiane limitée par 2 saillies très légères. Plaque sus-anale subcarrée, à angles latéro-postérieurs arrondis et bord postérieur pourvu d'une saillie semi-circulaire; face dorsale sillonnée sur la moitié antérieure, carénée sur la moitié postérieure, parsemée de nombreuses rugosités noires. Cerques longs, cachés sous la plaque sus-anale, atteignant l'extrémité de cette dernière, à peu près 2 fois aussi longs que larges à la base, le bord supérieur rugueux et pourvu d'une forte saillie post-basale, le bord inférieur concave, l'extrémité arrondie. Plaque sous-génitale courte, très largement arrondie à l'extrémité.

Coloration d'ensemble gris-brun (plus ou moins foncé) avec semis de petites taches noires. Aire inféro-interne des fémurs postérieurs rouge-orangé; aire médiane interne noire avec tache claire au niveau de l'étranglement préapical; lobe géniculaire inféro-interne et condyle tibio-fémoral orangés; tibias postérieurs orange.

Complexe phallique : sclérification dorso-médiane de la membrane ectophallique formant 2 baguettes convergentes. Moitiés de l'épiphalle étroitement connectées; lophi très larges, trilobés; ancorae à extrémité aiguë, orientée vers l'intérieur.

♀. Antennes, rabattues vers l'arrière, atteignant le milieu des lobes latéraux du pronotum. Fastigium plan, séparé du vertex par un épais bombement transversal. Yeux allongés; distance infra-oculaire subégale au plus petit diamètre de l'œil. Largeur de l'espace mésosternal égalant environ 1,3 fois celle de l'espace métasternal, ce dernier relativement long; longueur égalant environ 1/3 de la largeur. Élytres subcontigus sur la ligne médiane; ailes atteignant le milieu du 1er tergite. Fémurs antérieurs de longueur subégale à celle du bord inférieur des lobes latéraux du pronotum. Arolium des tarses égalant environ la moitié de la longueur des griffes. Partie postérieure de

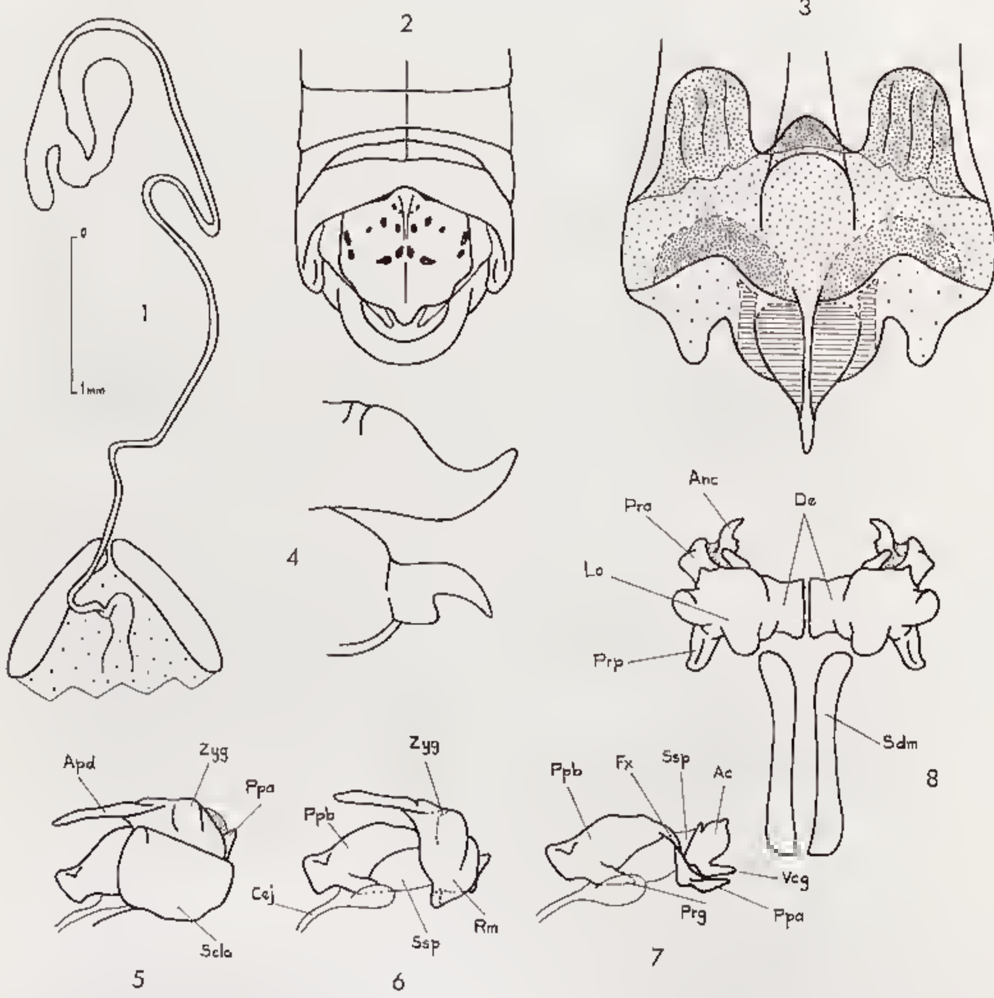


FIG. 67. — *Pamphagella caunorensis* (Bruner, 1910). — 1, Spermathèque. — 2, Extrémité abdominale ♂ dorsalement. — 3, Plaque sous-génitale ♀, face dorsale. — 4, Valves de l'oviscapte latéralement. — 5 et 6, Complexe phallique latéralement. — 7, Endophalle latéralement. — 8, Épiphalle.

la plaque sous-génitale divisée en 3 lobes par 2 découpures subtriangulaires; lobe médian semi-circulaire, lobes latéraux étroits, aussi longs que l'unité médiane, l'extrémité largement arrondie. Extrémité des valves de l'oviscapte bien recourbée; valves supérieures, en grande partie, cachées par les paraproctes, épaisses en vision latérale, le bord externe très fortement déclive; valves inférieures à fort épaulement latéro-basal.

Madagascar Ouest : Ranohira, X-1964 (*D. Wintrebert*). — N. E. Andranarivo, IX-1966 (*D. Wintrebert*). — 8 km N. Beroroha, VII-1966 (*D. Wintrebert*).

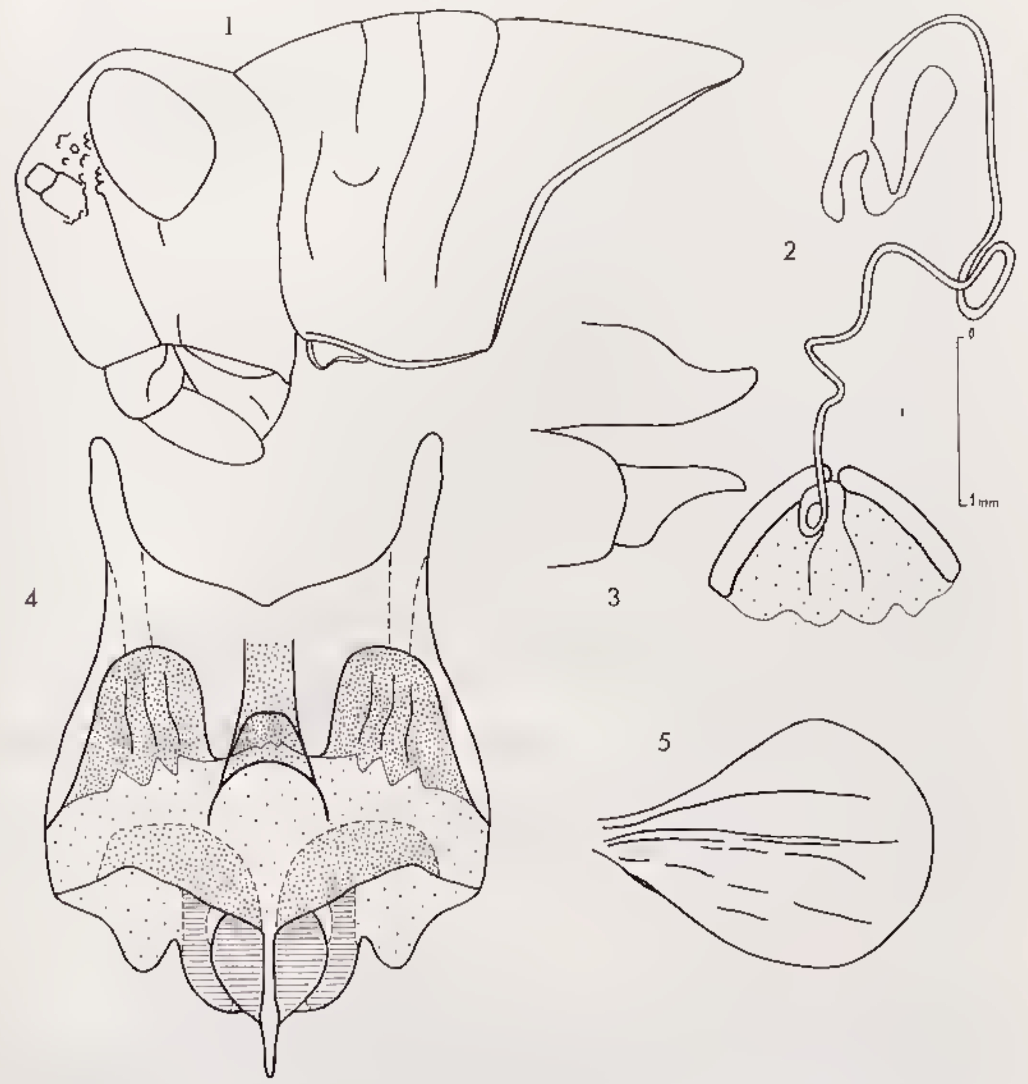


Fig. 68. — *Pamphagella suturalis* Descamps et Wintrebert, 1966, ♀. — 1, Tête et pronotum latéralement. — 2, Spermathèque. — 3, Valves de l'oviscapte latéralement. — 4, Plaque sous-génitale, face dorsale. — 5, Élytre.

Madagascar Sud : Betioky-Sud, V-1962 (*D. Wintrebert*). — Andranomay, VI-1962 (*D. Wintrebert*).

Archipel des Comores : Anjouan, Cercle de Bambao (*Voeltzkow*).

2. Pamphagella suturalis Descamps et Wintrebert (loc. typ. : Andranovory; holotype ♀, Muséum Paris).

Pamphagella suturalis Descamps et Wintrebert, 1966 *a* : 30; 1966 *b* : 152.

Fig. 68. — Pronotum 7,6 à 8,1 mm; élytre 4,5 à 5 mm; fémur postérieur 10,4 à 11,3 mm.

♀. Très proche de *P. comoroensis*. Partie antérieure de la capsule céphalique très nettement plus saillante en avant des yeux. Angle vertico-fastigial nettement obtus et, par suite, partie supéro-antérieure de la capsule céphalique moins fortement déclive. Bombement transverse marquant la séparation du vertex et du fastigium nettement moins accentué. Distance infra-oculaire un peu plus grande que la largeur de l'œil. Carène médiane du pronotum convexe, épaisse, parcourue par un fin sillon très net sur toute la longueur. Sillon typique situé en arrière du milieu. Angle postérieur de la métazone aigu, incisé (parfois peu nettement). Longueur de l'espace mésosternal égalant environ 1,4 fois celle de l'espace métasternal, ce dernier relativement long; longueur égalant environ la moitié de la largeur. Fémurs antérieurs, élytres et ailes comme chez l'espèce précédente. Partie postérieure de la plaque sous-génitale divisée en 3 lobes par 2 découpures triangulaires étroites et peu profondes, les lobes latéraux nettement plus courts que l'unité médiane. Valves de l'oviscapte moins épaisses que chez *P. comoroensis;* unités supérieures faiblement recourbées à l'extrémité, le bord externe moins fortement déclive de profil; valves inférieures à extrémité presque imperceptiblement recourbée, l'expansion basale du bord externe réduite à une large convexité peu saillante.

Aire inféro-interne des fémurs postérieurs orangée; aire supéro-interne jaune; aire médiane interne noire sur la moitié supérieure, cette coloration tendant à occuper toute la surface à l'exception de quelques taches jaunes vers l'extrémité apicale. Reste du corps comme chez *P. comoroensis*.

Madagascar Sud : Ouest d'Andranovory, VI-1963 (*D. Wintrebert*). — Sept lacs (Tuléar), VII-1957 (*A. Robinson*).

3. Pamphagella thoracica Descamps et Wintrebert (loc. typ. : Andranomena; holotype ♀, Muséum Paris).

Pamphagella thoracica Descamps et Wintrebert, 1966 *a* : 30; 1966 *b* : 154.

Fig. 69. — Pronotum 6,7 mm; élytre 4,6 mm; fémur postérieur 11,7 mm.

♀. Profil de la face régulièrement convexe avec sinuosité bien nette au niveau de l'ocelle médian. Côte frontale de largeur subconstante sur toute la longueur, légèrement rétrécie à l'extrémité supérieure. Yeux légèrement allongés; distance infra-oculaire subégale au plus grand diamètre de l'œil. Fastigium déclive, peu concave, fortement rugueux, les carinules latérales se prolongeant légèrement le long du bord

interne des yeux et continues à l'avant avec les carinules de la côte frontale. Vertex rugueux; espace interoculaire égalant 2 fois la largeur de la côte frontale entre les antennes. Dernier article antennaire non élargi. Pronotum très fortement élargi vers

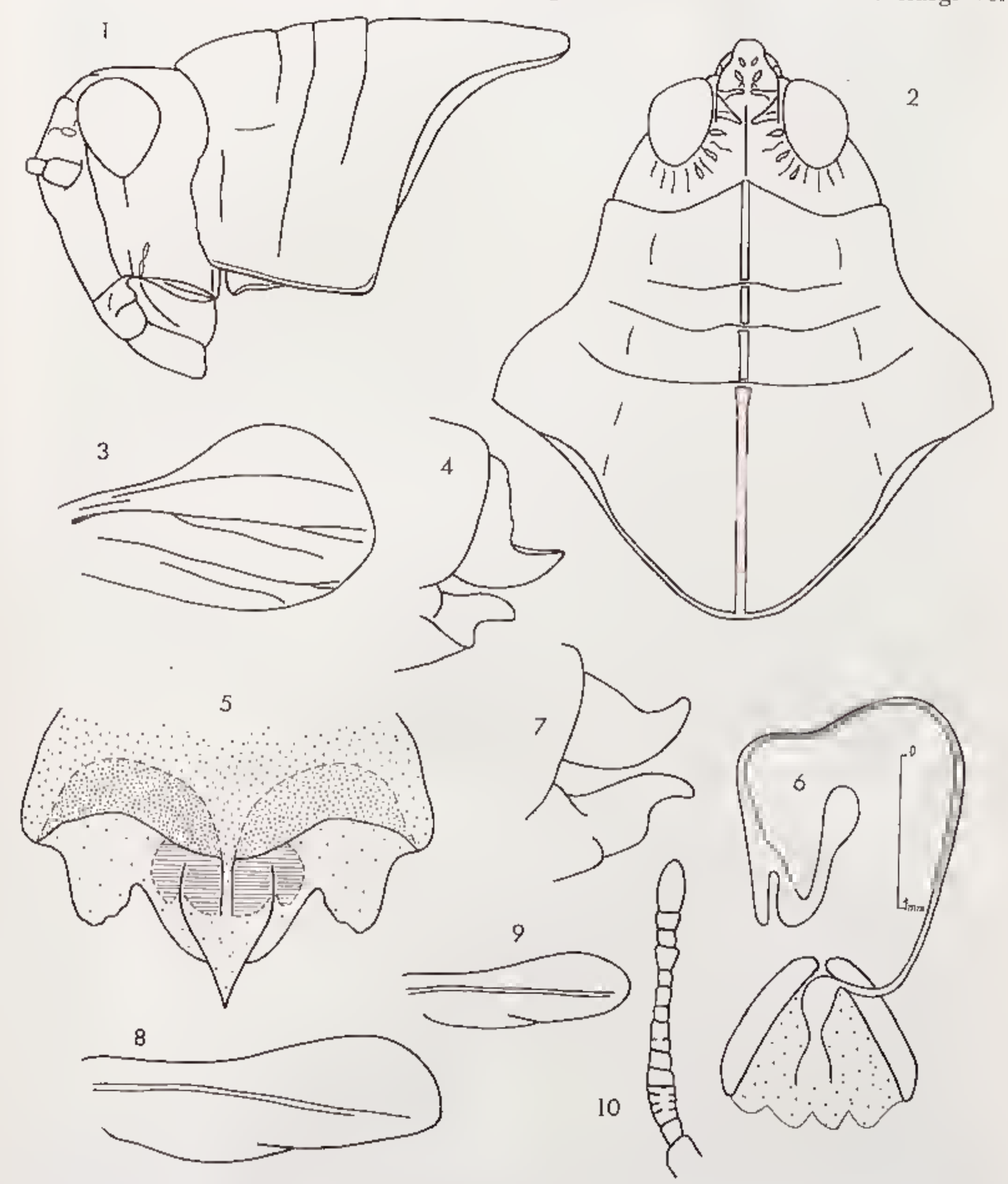


Fig. 69. — 1-6, *Pamphagella thoracica* Descamps et Wintrebert, 1966. ♀ type. — 1, Tête et pronotum latéralement. — 2, *id.*, dorsalement. — 3, Élytre. — 4, Valves de l'oviscapte latéralement. — 5, Plaque sous-génitale, face dorsale. — 6, Spermathèque.
— 7-10, *Pamphagella stenoptera* Descamps et Wintrebert, 1966. — 7, Valves de l'oviscapte latéralement. — 8, Élytre ♀. — 9, *id.*, ♂. — 10, Antenne ♂.

l'arrière. Carène médiane saillante, légèrement arquée et sinuée dans la prozone, subhorizontale dans la métazone, peu profondément coupée par les sillons transversaux, très finement sillonnée en avant du sillon typique, ce dernier situé à peu près au milieu. Disque granuleux, tectiforme, le bord antérieur saillant en angle obtus, le bord postérieur non anguleux, arrondi, fortement saillant vers l'arrière. Bord antérieur des lobes latéraux fortement sinué; bord postérieur concave; bord inférieur presque droit. Saillie prosternale subpyramidale, transverse, de largeur subégale à celle de la hanche antérieure. Espace mésosternal très fortement élargi vers l'arrière; angle postéro-interne des lobes mésosternaux très largement arrondi, le bord interne et le bord postérieur presque confondus en une même convexité. Longueur de l'espace métasternal égalant environ le 1/3 de la largeur. Élytres de même forme que chez les espèces précédentes mais largement distants dorsalement, atteignant le milieu du 2e tergite abdominal. Fémurs antérieurs de longueur subégale à celle du bord inférieur du pronotum, relativement peu épais. Carène supérieure des fémurs postérieurs non nettement dentée, pourvue de quelques échinulations coniques vers le milieu. Arolium égalant environ les 2/3 de la longueur des griffes. Extrémité de la plaque sous-génitale trilobée, les lobes latéraux un peu moins longs que l'unité médiane, leur bord interne sinué. Valves de l'oviscapte courtes et trapues; face dorsale des valves supérieures très fortement déclive à la base, le bord externe rugueux, presque vertical en vision latérale.

Teinte générale brune, la métazone et les élytres plus clairs que l'ensemble. Taches ou plages noires sur les faces latérales du fastigium, le bord postérieur du pronotum, le long des carènes des fémurs postérieurs. Un chevron brun noir à pointe dirigée vers l'avant sur la partie antérieure du pronotum. Aire inféro-interne des fémurs postérieurs rouge; aire médiane interne avec moitié supérieure noire et moitié inférieure rouge à la base, coloration noire tendant à occuper toute la surface vers l'extrémité; lobes géniculaires internes brun marbré de noir. Tibias postérieurs rouge orangé sur les faces interne et inférieure, le reste jaune; une traînée brune post-basale à la face interne.

Madagascar Sud : Andranomena, 8 km au Sud-Est de Tuléar, VII-1962 (*D. Wintrebert*).

4. **Pamphagella stenoptera** Descamps et Wintrebert (loc. typ. : Ankiliarivo; holotype ♂, allotype ♀, Muséum Paris).

Pamphagella stenoptera Descamps et Wintrebert, 1966 *a* : 30; 1966 *b* : 156.

Fig. 69, 70. — Pronotum ♂ 3,2 à 3,8 mm, ♀ 5,5 à 7 mm; élytre ♂ 1,7 à 2,1 mm, ♀ 2,8 à 3,4 mm; fémur postérieur ♂ 6.5 à 7 mm, ♀ 9,1 à 10,7 mm.

♂. Pas d'angle vertico-fastigial marqué. Profil de la face fortement convexe. Côte frontale déprimée sur toute la longueur, rétrécie juste au-dessous de l'ocelle médian, s'élargissant légèrement du haut vers le bas sur les 2 moitiés. Yeux fortement saillants, légèrement allongés; distance infra-oculaire subégale aux 2/3 du plus petit diamètre de l'oeil. Fastigium concave, ouvert vers l'avant, les carinules latérales se prolongeant entre les yeux, mais non réunies par une crête transversale. Une petite carinule vertico-occipitale (parfois peu nette). Espace interoculaire égalant 2 fois la largeur de la côte frontale entre les antennes. Articles de la base du flagelle antennaire aplatis latéralement.



FIG. 70. — *Pamphagella stenoptera* Descamps et Wintrebert, 1966. — 1 et 2, Tête et pronotum ♀ latéralement. — 3, *id.*, ♂ — 4, Plaque sous-génitale ♀, face dorsale. — 5 et 6, Complexe phallique latéralement. — 7, Extrémité abdominale ♂ dorsalement. — 8, *id.*, latéralement. — 9, Spermathèque. — 10, Épiphalle. — 11, Endophalle latéralement.

Carène médiane du pronotum non fissurée. Métazone égalant environ les 3/5 de la prozone, l'angle postérieur obtus; disque limité latéralement par une ligne peu nette de granulations. Bord postérieur des lobes latéraux peu concave. Saillie prosternale transverse, terminée par un petit lobe comprimé frontalement. Espace mésosternal transverse, élargi vers l'arrière; espace métasternal environ 2 fois plus étroit que le précédent. Élytres latéraux, à bords subparallèles, inclinés vers le bas, plus de 2 fois plus longs que larges, l'extrémité arrondie, atteignant le bord postérieur du 1er tergite abdominal; ailes vestigiales atteignant à peine le bord postérieur du métanotum. Carène supérieure des fémurs postérieurs marquée d'un abaissement médian bien net, épineuse, notamment sur la moitié postérieure. Trois petites saillies colorées en noir sur le bord postérieur du dernier tergite. Plaque sus-anale subcarrée à lobe terminal arrondi; 2 rugosités latérales allongées et 2 autres punctiformes en position médiane. Cerques courts, n'atteignant pas l'extrémité de la plaque sus-anale, moins de 2 fois aussi longs que larges, le bord supérieur à saillie post-basale subconique, le bord inférieur sinueux, l'extrémité arrondie.

Teinte générale brun terreux avec semis de petites taches noires sur les pattes. Aire inféro-interne des fémurs postérieurs rouge orangé; aire médiane interne noire, un léger débordement basal de la coloration rouge de l'aire inféro-interne, une bande préapicale claire précédée d'une tache de même couleur (parfois absente) tangente à la carène supérieure; aire inféro-externe mouchetée de brun noir. Lobe géniculaire inféro-interne et condyle tibio-fémoral marqués de noir. Tibias postérieurs orangés avec une bande sombre post-basale sur les faces inférieure et interne.

Complexe phallique : sclérification dorso-médiane de la membrane ectophallique formant 2 plages subrectangulaires. Moitiés de l'épiphalle bien séparées; lophi relativement étroits; ancorae orientées vers l'extérieur, l'extrémité aiguë recourbée ventralement et invisible du dessus.

♀. Côte frontale subplane au-dessus de l'ocelle médian, fortement élargie à la partie inférieure. Antennes, rabattues vers l'arrière, atteignant le 1er sillon des lobes latéraux du pronotum. Fastigium très peu concave. Distance infra-oculaire un peu plus grande que le plus petit diamètre de l'œil. Largeur de l'espace mésosternal égalant environ 1,5 fois celle de l'espace métasternal, ce dernier extrêmement court, presque linéaire. Extrémité des élytres à angle postérieur droit et angle antérieur très largement arrondi, dépassant un peu le bord postérieur du 1er tergite. Fémurs antérieurs plus courts que le bord inférieur du pronotum. Partie postérieure de la plaque sous-génitale trilobée; lobe médian en forme de segment circulaire; lobes latéraux plus étroits mais aussi longs que l'unité médiane. Valves de l'oviscapte à extrémité fortement recourbée.

Madagascar Sud : Antanimora, 1926 (*R. Decary*). — Sakave, Antanimora, IV-1932 (*A. Seyrig*). — Ankiliarivo, V, VII et X-1962; III, XI et XII-1963; VIII-1964 (*D. Wintrebert*). — Ankalirano (clairières), V-1962 (*G. Cadet*). — Betioky-Sud, I-1964 (*D. Wintrebert*).

Sous-famille ***TROPIDOPOLINAE***

Corps cylindrique, allongé (parfois fortement). Tête allongée, conique à subglobuleuse. Carènes médiane et latérales du pronotum présentes ou absentes. Saillie

prosternale soit en forme de bec, soit cylindrique, soit à surface apicale élargie, plate, concave ou convexe. Espace mésosternal clos. Élytres et ailes bien développés ou réduits. Un organe tympanal. Lobe basal inférieur des fémurs postérieurs plus court que le lobe supérieur. Une épine apicale externe aux tibias postérieurs. Cerques du ♂ de forme variable. Flexure entre les valves basales et apicales du pénis tendant à disparaître. Épiphalle en forme de pont quelquefois divisé, pourvu d'ancorae et de lophi. Parfois un dispositif stridulatoire : veinules épaissies dans les champs costal et souscostal des élytres.

Genre type *Tropidopola* Stål, 1873.

Genre **Tristriella** Descamps et Wintrebert

Tristriella Descamps et Wintrebert, 1967 : 94.

♂. Petit, subcylindrique; tégument finement ponctué. Tête conique; face très fortement déclive, subrectiligne de profil. Fastigium horizontal, plan, pourvu d'un

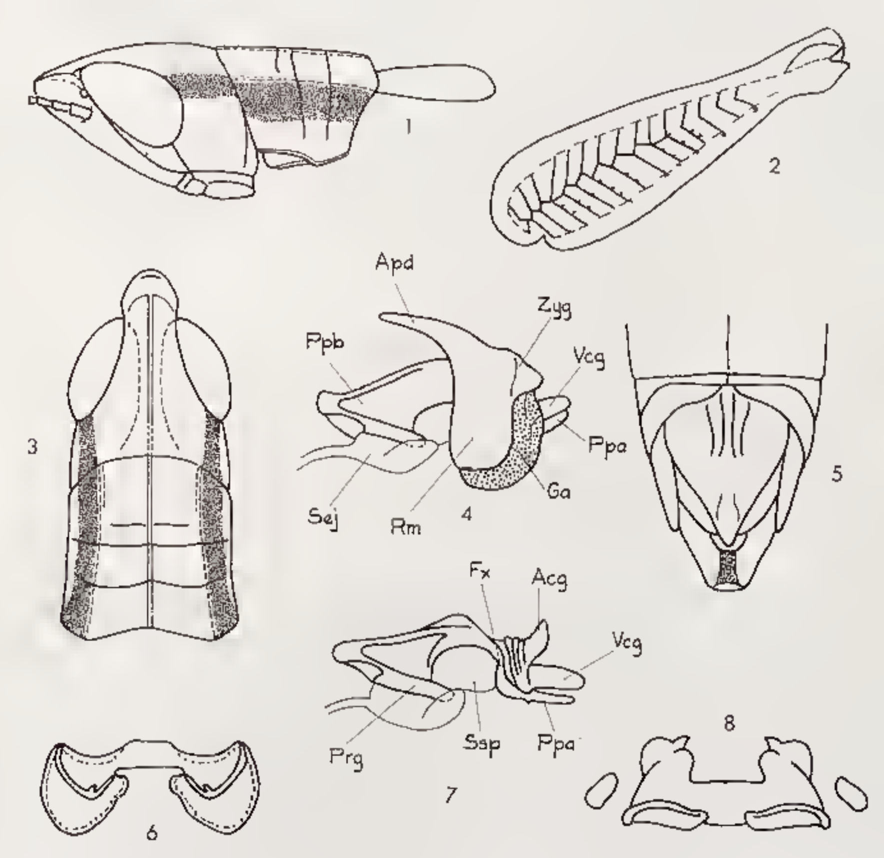


FIG. 71. — *Tristriella malagassa* Descamps et Wintrebert, 1967. ♂ type. — 1, Tête, pronotum et élytre latéralement. — 2, Fémur postérieur. — 3, Tête et pronotum dorsalement. — 4, Complexe phallique latéralement. — 5, Extrémité abdominale dorsalement. — 6, Épiphalle, lophi à plat. — 7, Endophalle latéralement. — 8, Épiphalle, lophi verticaux.

très fin sillon basal, transverse et arqué vers l'avant. Vertex peu convexe, parcouru par une carinule bien nette. Côte frontale déprimée au-dessus de l'ocelle médian, subplane au-dessous. Carènes latérales de la face arquées. Ocelles petits mais bien visibles. Yeux très grands, peu saillants, fortement rétrécis vers l'extrémité supérieure; distance infra-oculaire très petite. Antennes filiformes, très légèrement comprimées, plus courtes que la tête et le pronotum réunis. Pronotum légèrement tectiforme; carène médiane bien nette, peu saillante; carènes latérales très faibles, un peu plus nettes à la partie antérieure de la prozone. Bord postérieur du disque découpé en angle obtus. Saillie prosternale de grande taille, recourbée vers l'arrière, le bord postérieur incurvé au milieu, la face supérieure subrectangulaire, légèrement concave. Lobes mésosternaux brièvement contigus à la rencontre du 1/3 antérieur et des 2/3 postérieurs. Microptère; élytres à bords subparallèles et extrémité arrondie, recouvrant le tympan auditif. Fémurs postérieurs courts et trapus, les carènes supéro et inféro-externes peu marquées, le rétrécissement préapical faible. Une épine apicale externe aux tibias postérieurs; éperons internes courts et fortement courbés. Arolium grand. Plaque sus-anale triangulaire, l'extrémité aiguë. Cerques droits, coniques, atteignant l'extrémité de la plaque sus-anale. Plaque sous-génitale courte, subconique, l'extrémité tronquée.

Épiphalle en forme de pont, non divisé; ancorae triangulaires; lophi lobiformes, perpendiculaires au disque et aux projections latéro-antérieures. Zygoma allongé, subrectangulaire; apodèmes courts. Partie subapicale de l'endophalle recouverte d'une gaine membraneuse formée par les rami. Valves basales et apicales du pénis réunies par une épaisse flexure; arche et valves du cingulum très épaisses et fortement sclérifiées.

♀. Inconnue.

Espèce type : *Tristriella malagassa* Descamps et Wintrebert, 1967.

1. **Tristriella malagassa** Descamps et Wintrebert (loc. typ. : Ilakaka; holotype ♂, Muséum Paris).

Tristriella malagassa Descamps et Wintrebert, 1967 : 95.

Fig. 71. — Long. 15,8 mm; pronotum 2,2 mm; élytre 2,2 mm; fémur postérieur 15,8 mm.

Tête un peu plus longue que le pronotum. Côte frontale à bords rectilignes, légèrement et régulièrement divergents vers la suture clypéale; moitié inférieure finement ponctuée. Fastigium fortement saillant, semi-elliptique. Carinule vertico-occipitale encadrée de 2 carinules latérales plus faibles. Antennes subégales à la distance comprise entre l'extrémité du fastigium et le bord antérieur du pronotum, composées de 18 articles, la plupart transverses. Saillie prosternale touchant presque le bord antérieur du mésosternum. Élytres atteignant le bord postérieur du 1er tergite abdominal. Métanotum et face dorsale du 1er segment abdominal striés longitudinalement. Rapport de la longueur du fémur postérieur à sa largeur maximale = 3,6. Neuf épines sur chaque bord des tibias postérieurs.

Teinte générale brunâtre; face inférieure du thorax et de l'abdomen jaune. Face mouchetée de noir. Une bande latérale brun sombre partant du bord postérieur des

yeux et atteignant l'extrémité de l'abdomen. Les 2 premières paires de pattes ocre. Bord supéro-externe des fémurs et des tibias de la 1re paire souligné de brun sombre; même coloration sur le bord supéro-interne des fémurs et des tibias de la 2e paire. Face externe des fémurs postérieurs brun jaunâtre ponctué de noir; aire médiane interne blanc sale marbré de brun, le bord supérieur de la moitié basale longé d'une bande noire; aire inféro-interne rouge orangé. Tibias postérieurs bruns sur les faces supérieure et externe, noirs sur les autres faces.

Madagascar Centre : N. O. Ilakaka, bordure Ouest du Massif de l'Isalo, VII-1966 (*D. Wintrebert*).

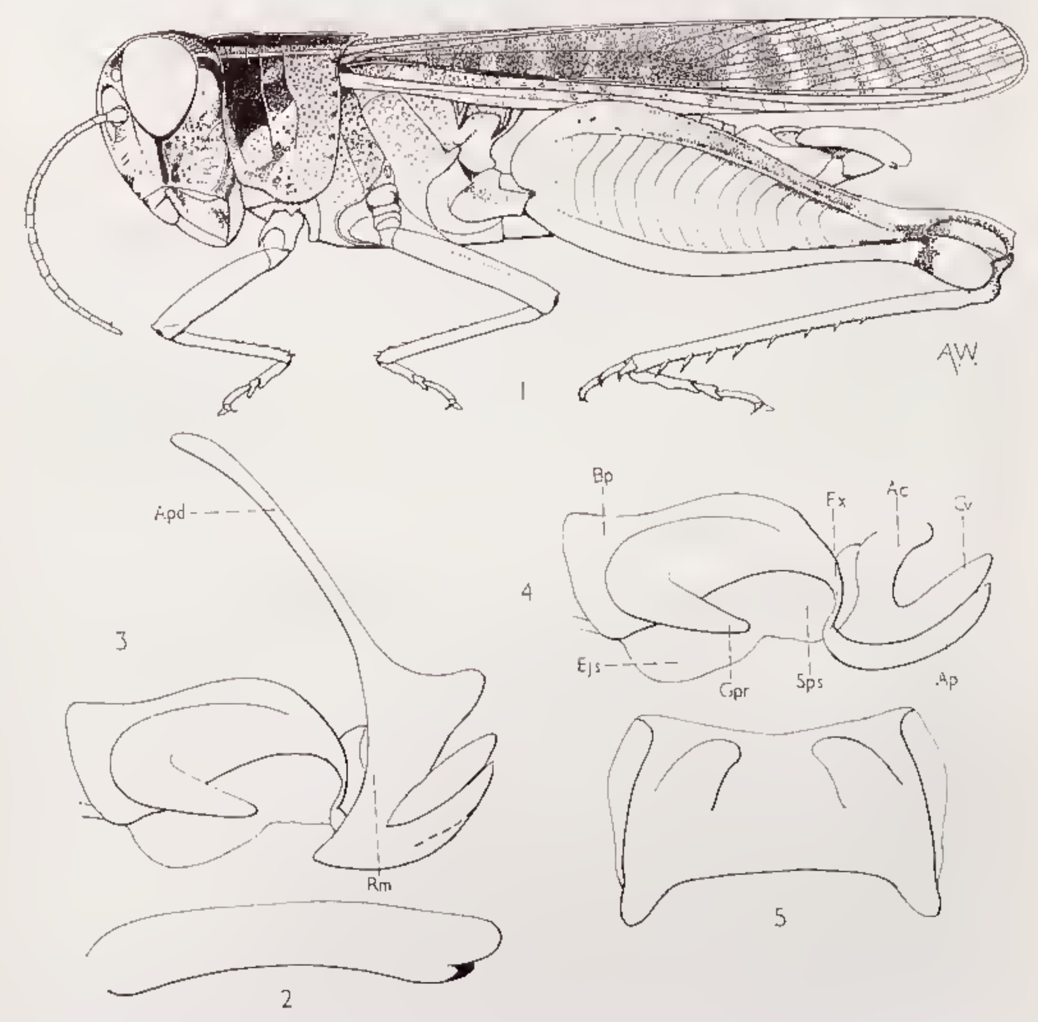


Fig. 72. — *Caloptenopsis decisa* (Walker, 1870). — 1, ♂. — 2, Cerques ♂ latéralement. — 3, Complexe phallique latéralement, membrane ectophallique et épiphalle enlevés. — 4, *id.*, l'essentiel du cingulum enlevé. — 5, Épiphalle.

Sous-famille *CALLIPTAMINAE*

Taille petite à moyenne. Tête subconique à subglobuleuse; front vertical dans la plupart des genres; fastigium du vertex uni en courbe à la côte frontale; espace interoculaire large. Pronotum à carènes médiane et latérales (les latérales parfois effacées); disque traversé par 3 sillons. Saillie prosternale cylindrique, conique ou comprimée frontalement. Espace mésosternal ouvert. Élytres et ailes entiers ou réduits. Tympan présent. Fémurs postérieurs en général larges, leur lobe basal inférieur plus court que le supérieur. Pas d'épine apicale externe aux tibias postérieurs. Deux derniers tergites abdominaux du ♂ soudés, renflés et recourbés vers le haut. Cerques grands, forts, incurvés, bilobés, adaptés à la préhension. Valves basales et apicales du pénis réunies par une flexure. Épiphalle en plaque, en général trapézoïdale, à ancorae mais sans lophi. Pas de dispositif stridulatoire.

Genre type : *Calliptamus* Serville, 1831.

Genre **Caloptenopsis** I. Bolivar

Caloptenopsis I. Bolivar, 1889 : 173; Dirsh, 1966 *a* : 311.

Taille moyenne. Tégument finement ponctué. Antennes épaisses, filiformes, plus courtes que la tête et le pronotum réunis. Fastigium du vertex allongé, étroit, à concavité longitudinale et fortes carinules latérales; front vertical; côte frontale étroite et plate; une carinule occipitale; espace interoculaire à peu près double de la largeur du scape des antennes. Pronotum faiblement tectiforme, un peu rétréci vers l'avant, à carènes médiane et latérales distinctes; métazone plus longue que la prozone, à bord postérieur anguleux et obtus. Saillie prosternale cylindrique, un peu rétrécie vers l'extrémité, l'apex arrondi. Élytres entiers ou un peu abrégés. Fémurs postérieurs fortement élargis, à aire marginale inférieure dilatée. Éperon interne de la face interne des tibias postérieurs allongé. Plaque sus-anale ♂ allongée, anguleuse, à apex légèrement atténué. Cerques robustes, courbés en dedans, à apex bilobé. Plaque sous-génitale courte, subconique, à apex obtus ou arrondi. Épiphalle à ancorae digitiformes et projections postérieures étroites. Valves de l'oviscapte courtes, robustes, à apex aigu et courbé.

Espèce type : *Caloptenus vittatus* I. Bolivar, 1889.

1. Caloptenopsis decisa (Walker) (loc. typ. : Madagascar; type ♂, British Museum, N.H.).

Caloptenus decisus Walker, 1870 : 700.
Caloptenus batiensis Brancsik, 1893 : 195; Dirsh, 1962 *a* : 311.
Caloptenopsis madagascariensis Sjöstedt, 1918 : 16; Dirsh, 1962 *a* : 311.
Caloptenopsis decisa (Walker, 1870); Dirsh, 1962 *a* : 311; Descamps et Wintrebert, 1966 *b* : 160.

Fig. 72. — Long. ♂ 21 à 22 mm, ♀ 27 à 32 mm; pronotum ♂ 4,4 à 4,6 mm, ♀ 5 à 5,2 mm; élytre ♂ 17,2 à 18 mm, ♀ 22,5 à 26 mm; fémur postérieur ♂ 13,5 à 14 mm, ♀ 17,9 à 19,2 mm.

♂. Taille moyenne et corps relativement grêle pour le genre. Carènes latérales du pronotum légèrement et régulièrement excurvées; bord postérieur du pronotum

en angle obtus à côtés un peu concaves. Processus prosternal un peu aplati à l'avant. Élytres relativement étroits, dépassant l'extrémité de l'abdomen. Fémurs postérieurs larges, à bord inférieur moyennement dilaté. Éperon interne de la face interne des tibias postérieurs allongé, l'extrémité moyennement courbée, couverte de poils denses. Plaque sus-anale du ♂ à sillon médian longitudinal et côtés légèrement recourbés vers le haut. Cerques comparativement longs et étroits, un peu courbés en dedans, le lobe supérieur long et comparativement étroit, le lobe inférieur étroit et subaigu. Plaque sous-génitale courte, subconique.

Complexe phallique robuste. Apodèmes longs, étroits; valves du pénis robustes, réunies par une flexure épaisse; processus du gonopore court; arche et valves du cingulum grandes, robustes. Épiphalle trapézoïdal; ancorae courtes et robustes.

Teinte générale brune. Élytres avec quelques points ocre dans l'aire médiane et la partie apicale. Face interne des fémurs postérieurs brun foncé à fascie préapicale ocre; face supérieure traversée par 2 faibles fascies; lobe supérieur des genoux postérieurs noirâtre ou brun, ou brun à tache prébasale noirâtre; lobe inférieur ocre. Tibias postérieurs grisâtres ou brunâtres, à légère teinte pourpre ou bleuâtre.

♀. Comme le ♂ mais plus grande. Oviscapte court, à valves robustes, courbées à l'apex.

MADAGASCAR EST : Farafangana-Vangindrano, VIII-1964 (*D. Wintrebert*).

MADAGASCAR CENTRE : Tananarive, parc de Tsimbazaza, VII-1948 (*P. Cachan*); I-1962 (*D. Wintrebert*). — Arivonimamo, X-1948 (*E. Razafimandimby*). — Ambatofinandrahana, VII-1957 (*P. Griveaud*). — Sud d'Ambositra, VI-1962 (*D. Wintrebert*).

MADAGASCAR SUD : Morombe, lac Iotry, 40 m, VII-1957 (*P. Griveaud*). — Beloha, VI-1957 (*P. Griveaud*). — Betioky, La Sakoa (*R. P. Cattala*). — Sud-Ouest 1962-64 (*D. Wintrebert*).

Sous-famille ***EYPREPOCNEMIDINAE***

Taille petite ou grande. Tête subconique à subglobuleuse. Fastigium du vertex formant courbe avec la côte frontale; espace interoculaire large. Pronotum à carènes médiane et latérales (les latérales parfois effacées); disque traversé par 3 sillons. Saillie prosternale cylindrique ou comprimée frontalement. Espace mésosternal ouvert. Élytres et ailes entiers ou abrégés. Tympan présent. Lobe basal inférieur des fémurs postérieurs plus court que le lobe supérieur. Pas d'épine apicale externe aux tibias postérieurs. Cerques ♂ aplatis à l'apex, élargis ou subaigus et courbés vers le bas. Valves apicales et basales du pénis réunies par une flexure. Épiphalle en forme de pont, le disque en général peu sclérifié; ancorae et lophi présents. Pas de dispositif stridulatoire.

La sous-famille est reconnaissable à la combinaison des caractères suivants : pont de l'épiphalle faiblement sclérifié, à ancorae courbées et parfois compliquées, fémurs postérieurs grêles, sauf de rares exceptions; fastigium du vertex arrondi et assez large; carènes latérales du pronotum présentes, ou rarement effacées; cerques ♂ comprimés à l'apex. Ces caractères se retrouvent individuellement hors des *Eyprepocnemidinae* mais leur réunion définit la sous-famille comme un groupe naturel.

Genre type : *Eyprepocnemis* Fieber, 1853.

La sous-famille des *Eyprepocnemidinae* est bien représentée à Madagascar où plusieurs genres et espèces sont endémiques. Les espèces malgaches montrent une large gamme de variation de coloration ce qui amène à penser qu'elles sont localement à une phase d'évolution progressive.

Clé des genres malgaches

1 (2) Cerques ♂ à apex aigu (fig. 73). . . . . **Eyprepocnemis** (p. 164)
2 (1) Cerques ♂ à apex élargi, arrondi. 3
3 (4) Élytres latéraux, lobiformes (fig. 74) . . . . **Malagacetrus** (p. 167)
4 (3) Élytres entiers ou abrégés mais non lobiformes. 5
5 (8) Antennes filiformes ou presque filiformes, la partie médiane un peu élargie 6
6 (7) Carènes latérales du pronotum effacées: coloration générale noire à dessins rouges (fig. 75). . . . . **Tenebracris** (p. 168)
7 (6) Carènes latérales du pronotum distinctes; coloration générale autre que noire et sans dessins rouges (fig. 76-79) . . . . **Heteracris** (p. 170)
8 (5) Antennes fortement ensiformes (fig. 80) . . . . **Horaeocerus** (p. 178)

Genre **Eyprepocnemis** Fieber

Eyprepocnemis Fieber 1853 : 98; Dirsh, 1962 *a* : 314.

Taille moyenne. Tégument finement rugueux. Antennes filiformes, plus courtes que la tête et le pronotum réunis. Fastigium du vertex parabolique, un peu concave. Front oblique; côte frontale plate, parfois pourvue d'une faible concavité au niveau de l'ocelle. Disque du pronotum presque plat, à carène médiane linéaire et carènes latérales obtuses. Métazone plus courte que la prozone, à bord postérieur en angle obtus. Saillie prosternale cylindrique, un peu courbée vers l'arrière, à apex arrondi et parfois un peu renflé. Espace mésosternal allongé. Élytres entiers ou abrégés. Fémurs postérieurs moyennement grêles. Plaque sus-anale ♂ allongée, anguleuse; cerques moyennement larges, rétrécis progressivement vers l'apex, courbés en dedans et un peu vers le bas, à apex aigu, le bord apical supérieur souvent oblique. Plaque sous-génitale courte et subconique. Épiphalle à pont étroit, ancorae moyennes et lophi en angle obtus ou arrondis, lobiformes. Oviscapte moyennement robuste, à valves courbées.

Espèce type : *Gryllus plorans* Charpentier, 1825.

Clé des espèces malgaches (♂, ♀)

1 (2) Lobes latéraux du pronotum présentant une tache oblique blanche surmontée d'une tache noire; 1/3 apical des tibias postérieurs franchement rouge; saillie prosternale fortement renflée vers l'extrémité et recourbée vers l'arrière . . . . 1. **E. brachyptera**
2 (1) Lobes latéraux du pronotum monochromes ou variés de différents tons de gris et de brun; extrémité des tibias postérieurs quelquefois légèrement teintée de rouge; saillie prosternale subcylindrique . . . . 2. **E. smaragdipes**

1. Eyprepocnemis brachyptera Bruner (loc. typ. : Madagascar; type ♂, Musée de Berlin).

Euprepocnemis brachypterus Bruner, 1910 : 643.
Eyprepocnemis brachyptera Bruner, 1910 : 643; Dirsh, 1962 *a* : 314; Descamps et Wintrebert, 1966 *b* : 164.

Fig. 73. — Long. ♂ 17 à 20 mm, ♀ 28 à 33 mm; pronotum ♂ 3,6 à 4,7 mm, ♀ 5,4 6,5 mm; élytre ♂ 9 à 14 mm, ♀ 13 à 20 mm; fémur postérieur ♂ 11 à 14 mm, ♀ 12,5 à 21 mm.

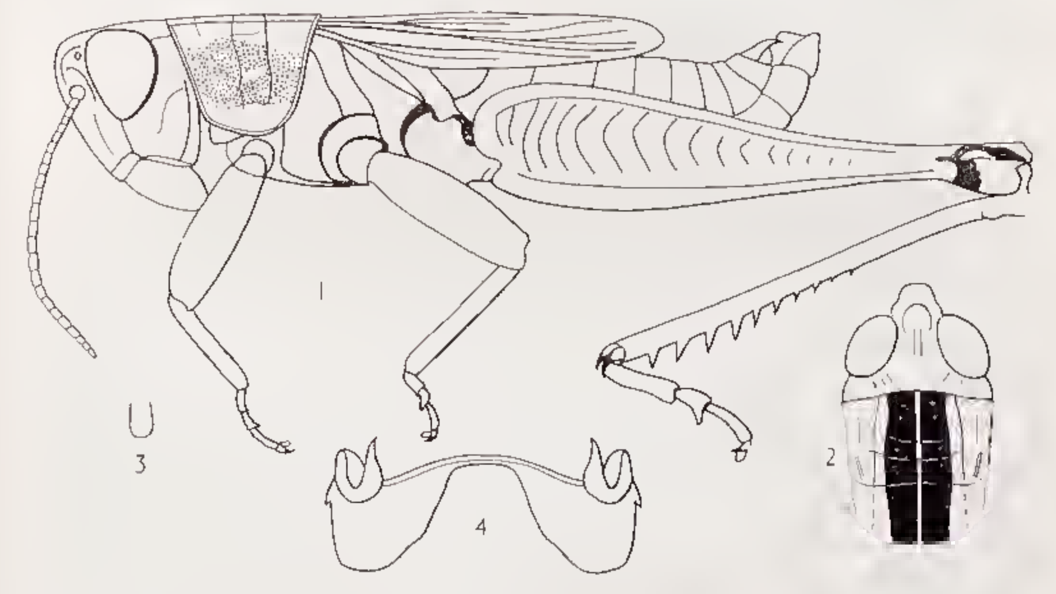


Fig. 73. — *Eyprepocnemis brachyptera* (Bruner, 1910). — 1, ♂ type. — 2, Tête et pronotum dorsalement. — 3, Saillie prosternale. — 4, Épiphalle.

♂. Taille moyenne. Antennes filiformes, plus courtes que la tête et le pronotum réunis. Fastigium du vertex parabolique, concave; vertex à carinule médiane; côte frontale très légèrement rétrécie vers l'apex. Carènes latérales du pronotum droites, divergentes vers l'arrière, presque oblitérées dans la métazone. Espace mésosternal étroit, 2 fois plus long que large. Élytres abrégés, atteignant le 6e tergite abdominal. Cerques étroits, à apex aigu, courbé vers le bas, un peu comprimé.

Coloration générale brunâtre; tache longitudinale du disque du pronotum étroite, brun foncé; lobes latéraux pourvus d'une tache noirâtre, irrégulière, enfermant une callosité centrale ocre; face inférieure des fémurs postérieurs rouge orangé; base des genoux postérieurs à fascie transverse noire, le lobe supérieur noir; partie apicale du lobe inférieur ocre pâle. Moitié basale des tibias postérieurs bleue avec 2 anneaux blanchâtres; 1/3 apical rouge; épines de même couleur que les tibias, à apex rouge.

♀. Comme le ♂ mais plus grande. Élytres abrégés ou atteignant l'extrémité de l'abdomen. Plaque sous-génitale trilobée. Oviscapte robuste, à courtes valves courbées.

E. brachyptera varie beaucoup quant à la taille et la longueur des élytres qui peuvent n'atteindre que le 6e tergite ou dépasser l'extrémité de l'abdomen. Cette espèce est bien différente de toutes les espèces africaines brachyptères.

MADAGASCAR CENTRE : Ambositra, forêt d'Ankazomivady, 1 640 m, VII-1957 (*A. Robinson*). — Ambalavao, massif de l'Andringitra, plateau Soaindrano, 2 050 m, I-1958 (*R. Paulian*). — 50 km Sud de Tananarive, VI-1963 et VIII-1966 (*D. Wintrebert*). — Ankazomidavy, III-1964 (*P. Malzy et P. E. Raharizonina*). — 10 km Ouest Ivato, route de Morondava, VIII-1966 (*D. Wintrebert*). — Ambatofinandrana, VIII-1966 (*D. Wintrebert*).

2. **Eyprepocnemis smaragdipes** Bruner (loc. typ. : Madagascar Ouest; type ♂, Musée de Berlin).

Euprepocnemis smaragdipes Bruner, 1910 : 643.
Eyprepocnemis smaragdipes Bruner, 1910; DIRSH, 1962 *a* : 315; DESCAMPS et WINTREBERT, 1966 *b* : 164.
Euprepocnemis malagassus I. Bolivar, 1914 : 11; DIRSH, 1962 *a* : 315.
Eyprepocnemis malagassus I. Bolivar, 1914; DIRSH, 1958 : 41.

Long. ♂ 22,5 à 25,5 mm, ♀ 27 à 38 mm; pronotum ♂ 4,8 à 5,2 mm, ♀ 5,2 à 7 mm; élytre ♂ 19 à 19,6 mm, ♀ 21,5 à 26,2 mm; fémur postérieur ♂ 14,3 à 15,5 mm, ♀ 17 à 23 mm.

♂. Taille moyenne. Antennes filiformes, à peu près aussi longues que la tête et le pronotum réunis. Fastigium du vertex anguleux, presque parabolique, à apex obtus, la face dorsale un peu concave et à forte carinule médiane; côte frontale un peu rétrécie vers l'apex. Disque du pronotum un peu relevé dans la prozone; carène médiane vive; carènes latérales obtuses, droites, divergentes vers l'arrière et presque oblitérées dans la métazone. Saillie prosternale subcylindrique à apex arrondi. Espace mésosternal à peu près aussi long que large. Élytres et ailes entièrement développés, dépassant l'extrémité de l'abdomen. Cerques étroits, comprimés et un peu courbés vers le bas dans la région apicale.

Coloration générale brunâtre; tache longitudinale du disque du pronotum étroite, brun foncé; lobes latéraux du pronotum à bande longitudinale oblique, brunâtre, sur un fond ocre brunâtre; face externe des fémurs postérieurs brunâtre à ocre brunâtre; face interne brun foncé; face inférieure ocre; tibias postérieurs verdâtres, bleuâtres, gris verdâtre, parfois un peu rougeâtres vers l'apex; épines blanchâtres à apex noir.

♀. Comme le ♂ mais plus grande. Élytres atteignant ou dépassant l'extrémité de l'abdomen. Plaque sous-génitale trilobée. Oviscapte robuste à valves courbées.

E. smaragdipes varie beaucoup quant à la taille, la longueur relative des élytres et la coloration des tibias postérieurs; ceux-ci sont gris bleuâtre ou gris verdâtre, l'extrémité est parfois teintée de rouge. Il y a tous les intermédiaires entre ces colorations.

E. smaragdipes est particulièrement proche de *E. kalkudensis* Henry, 1937, de Ceylan.

Il est vraisemblable que les citations d'*E. plorans* de Madagascar (SAUSSURE, 1899; BRANCSIK, 1893) s'appliquent à *E. smaragdipes* car *E. plorans* n'a jamais été retrouvé dans l'île.

Madagascar Est : Tamatave, I-1964 (*M. Bouvet*); Moramanga, Perinet (*E. Razafimandimby*). — Ifanadiana, Ranomafana (*R. Paulian*). — Station agricole de Brickaville, Farafangana, VIII-1964 (*D. Wintrebert*). — Ile Ste Marie, Ambatoroa, V-1959 (*E. Razafimandimby*). — Ile aux Prunes, IV-1959 (*E. Razafimandimby*).

Madagascar Centre : Imerina (*Sikora*). — Tananarive, I-1962 (*D. Wintrebert*); parc de Tsimbazaza, XI-1947 (*R. Paulian*). — Ambalavao, I-1954 (*R. Paulian*). — Manjakandriana, Ankadimanga, XII-1957 (*J. Elie*). — Col des Tapias septentrional, VII-1962 et II-1964 (*P. Malzy*).

Madagascar Sud : Betioky, lac Tsimanampetsotsa, V-1959 (*R. Paulian*). — Betioky Sud, XI-1963 (*D. Wintrebert*). — Sud-Ouest, 1962-1964 (*D. Wintrebert*) [1].

Archipel des Comores : Grande Comore, Moroni, IV-1948 (*P. Cachan*).

Genre **Malagacetrus** Dirsh

Malagacetrus Dirsh, 1962 *a* : 316.

Taille moyenne. Tégument rugueux. Antennes filiformes, 1 fois 1/2 plus longues que la tête et le pronotum réunis. Fastigium du vertex étroit, anguleux, à apex obtus, formant une courbe avec la côte frontale; carinule médiane et carinules latérales présentes; front oblique; côte frontale plate, sans carinules latérales, rétrécie à l'apex. Pronotum un peu tectiforme; carènes latérales et médiane obtuses, les latérales irrégulières et un peu divergentes vers l'arrière; disque traversé par 3 profonds sillons; métazone bien plus courte que la prozone, son bord postérieur en angle obtus. Saillie prosternale obtusément conique. Espace mésosternal plus large que long. Élytres lobiformes, atteignant le 2e tergite abdominal et recouvrant le tympan, le bord antérieur fortement excurvé, l'apex subaigu. Fémurs postérieurs moyennement robustes. Arolium grand. Deux saillies aiguës sur le bord postérieur du dernier tergite abdominal. Plaque sus-anale allongée, à apex anguleux. Cerques dépassant l'extrémité de la plaque sous-génitale, élargis, la moitié postérieure lamelliforme et courbée vers le bas, l'apex arrondi. Paraprocte à saillie inférieure apicale arrondie. Plaque sous-génitale courte, arrondie de profil.

♀ inconnue.

Espèce type : *Paracaloptenus rubripes* Chopard, 1919.

1. Malagacetrus rubripes (Chopard) (loc. typ. : Betsimisaraka du Centre; type ♂, Muséum Paris).

Paracaloptenus rubripes Chopard, 1919 : 151.
Malagacetrus rubripes (Chopard, 1919); Dirsh, 1962 *a* : 317.

Fig. 74. — Long. ♂ 28 à 31 mm; pronotum 6,8 à 7,4 mm; élytre 5,1 à 6 mm; fémur postérieur 16,6 à 17,4 mm.

♂. Coloration générale brun foncé. Antennes très longues, à anneaux alternés bruns et jaunâtres. Des bandes jaunes verticales devant et derrière les yeux. Pronotum

[1] Les indications telles que Sud-Sud-Est, VIII-1964 et Sud-Ouest, 1962-1964 (*D. Wintrebert*) ont été reproduites ici ayant déjà été publiées par ailleurs (Descamps et Wintrebert, 1966 *b*).

uniformément brun noirâtre. Toutes les pattes rouge cinabre; face supérieure des fémurs postérieurs traversée par 3 légères fascies brunâtres; genoux postérieurs noirs; tibias postérieurs noirs à la base, le reste ainsi que les épines et les tarses rouge cinabre. Moitié apicale des cerques rougeâtre.

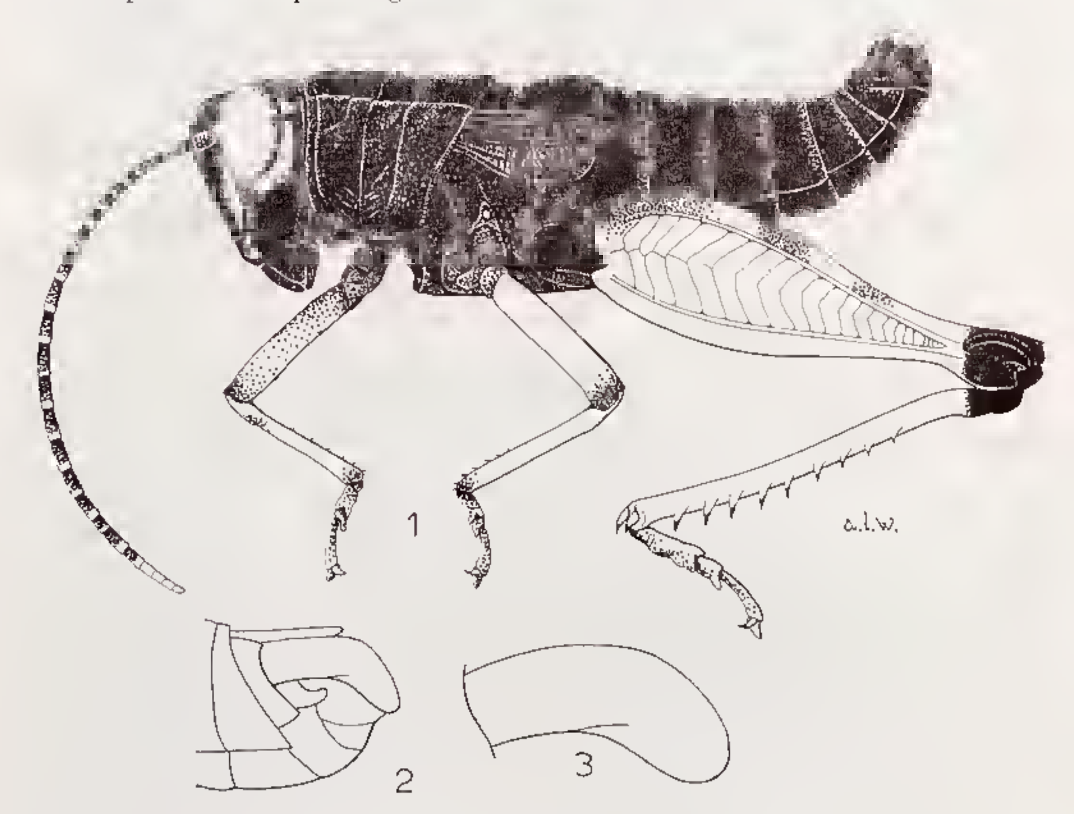


Fig. 74. — *Malagacetrus rubripes* (Chopard, 1919). — 1, ♂ type. — 2, Extrémité abdominale ♂ latéralement. — 3, Cerque ♂.

Madagascar Est : Pays Betsimisaraka du Centre, 1906 (*Fauchère, Nicolas, Houreau*). — Tamatave, 1907 (*Lt Trèmolet*).

L'espèce a été décrite d'abord comme *Paracaloptenus*, mais l'étude du type montre que la forme des cerques, l'aper. de l'abdomen, le pronotum et la tête correspondent à un *Eyprepocnemidinae*. On peut la placer près d'*Heteracris* dont elle diffère fortement par le microptérisme et la forme générale du corps.

Genre **Tenebracris** Dirsh

Tenebracris Dirsh, 1962 *a* : 318.

Taille moyenne. Tégument rugueux. Antennes filiformes, plus longues que la tête et le pronotum réunis. Fastigium du vertex en angle obtus à apex tronqué, bordé par de basses carinules latérales; carinule médiane en continuité avec la carinule occipi-

tale. Front oblique; côte frontale basse, plane, rugueuse, progressivement rétrécie vers l'apex, présentant une petite dépression sous l'ocelle médian. Pronotum faiblement tectiforme à carène médiane bien nette et sans carènes latérales; disque traversé par 3 profonds sillons; métazone plus courte que la prozone, à bord postérieur en angle obtus. Saillie prosternale subconique, à apex obtus, arrondi. Élytres et ailes entiers, dépassant l'extrémité de l'abdomen; membrane des élytres épaisse, semi-transparente, la réticulation dense. Fémurs postérieurs relativement robustes. Épines des tibias postérieurs peu nombreuses. Deux saillies anguleuses sur le bord postérieur du dernier tergite abdominal du ♂. Plaque sus-anale allongée, anguleuse. Cerques

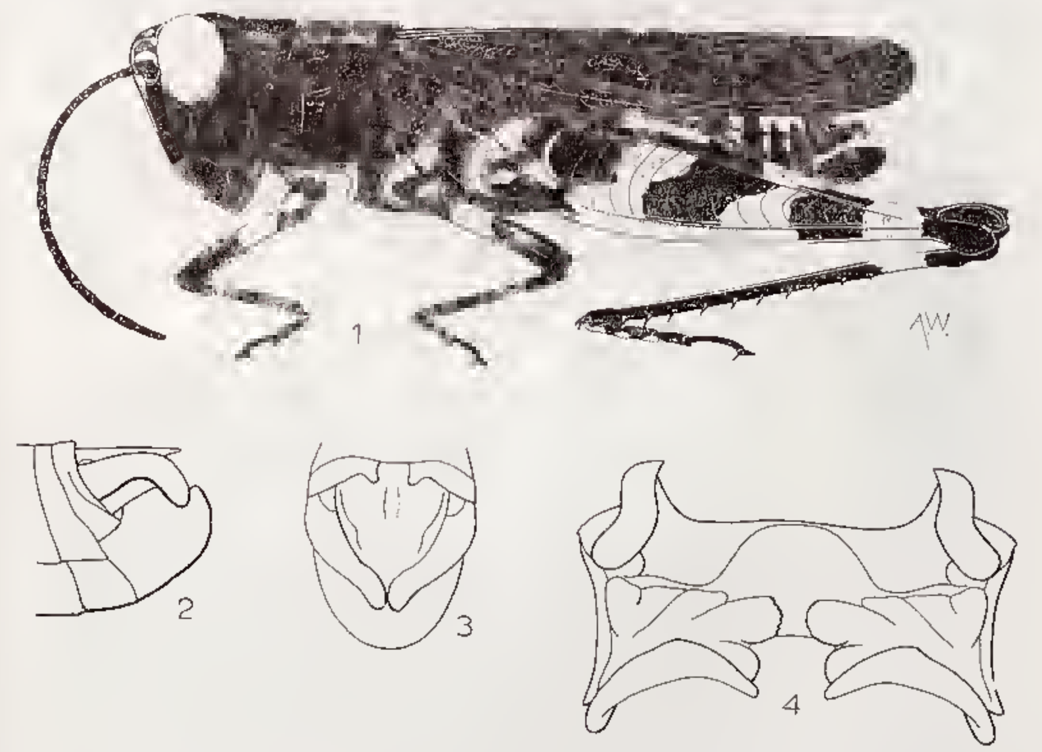


Fig. 75. — *Tenebracris splendens* Dirsh, 1962. — 1, ♂ type. — 2, Extrémité abdominale ♂ latéralement. — 3, *id.*, dorsalement. — 4, Épiphalle.

fortement comprimés et élargis dans la moitié apicale, l'extrémité arrondie, courbée vers le bas et l'intérieur. Plaque sous-génitale courte, arrondie. Epiphalle à pont moyennement large; ancorae petites et incurvées; lophi grands et plurilobés.

♀ inconnue.

Espèce type : *Tenebracris splendens* Dirsh, 1962.

Ce genre n'a pas d'affinités étroites avec aucun *Eyprepocnemidinae* connu, il peut être placé près d'*Heteracris* dont il a les antennes filiformes et la forme des cerques, mais dont il diffère fortement par les carènes latérales du pronotum effacées et par la forme du fastigium du vertex.

1. **Tenebracris splendens** Dirsh (loc. typ. : Andranotobaka; type ♂, Muséum Paris).

Tenebracris splendens Dirsh, 1962 *a* : 319.

Fig. 75. — Long. 27 mm; pronotum 6,2 mm; élytre 19 mm; fémur postérieur 17 mm.

♂. Noir. Deux bandes latérales brunes, faiblement indiquées sur le disque du pronotum. Palpes blanchâtres. Ailes bleu foncé, enfumées à l'extrémité. Fémurs des 2 premières paires à anneau rouge cinabre près de la base. Les 2 faces des fémurs postérieurs rouge cinabre, avec 3 fascies noires; genoux noirs; tibias postérieurs noirs à anneau rouge cinabre dans la région post-basale.

Madagascar Centre : Ambatolampy, Andranotobaka, 1 400 m, VI-1957 (*P. Griveaud*).

Madagascar Ouest : Antsalova, Andobo, forêt de l'Antsingy, 190 m, II-1957 (*P. Griveaud*).

Genre **Heteracris** Walker

Heteracris Walker, 1870 : 655.
Thisoicetrus Bruner, 1893 : 150; Dirsh, 1958 : 53; 1962 *a* : 319.
Bibulus I. Bolivar, 1914 : 31; Popov, 1950 : 133; Dirsh, 1962 *a* : 319.

Taille moyenne. Tégument finement rugueux. Antennes presque filiformes, ou un peu comprimées, parfois un peu élargies et épaissies au milieu. Fastigium du vertex parabolique, ou anguleux, à apex obtus, un peu déprimé, généralement carinulé. Front oblique et légèrement convexe; côte frontale large, plate, relativement basse. Pronotum aplati ou légèrement tectiforme, à carènes médiane et latérales vives, parfois divergentes vers l'arrière, droites ou parfois faiblement incurvées; métazone plus courte que la prozone, son bord postérieur légèrement convexe. Saillie prosternale un peu inclinée vers l'arrière, cylindrique ou légèrement comprimée frontalement, à apex arrondi. Élytres entiers ou abrégés, à membrane semi-transparente et réticulation moyennement épaisse. Fémurs postérieurs grêles. Dernier tergite abdominal ♂ à apex anguleux. Cerques larges, fortement comprimés, courbés vers l'intérieur et vers le bas, à apex arrondi ou subaigu. Plaque sous-génitale subconique, à apex large, parfois bilobé. Épiphalle à ancorae courtes, incurvées et luphi lobiformes. Oviscapte court et robuste, à valves courbées, aiguës à l'apex.

Espèce type : *Acridium herbaceum* Serville, 1838.

Clé des espèces malgaches (♂, ♀)

1 (10) Élytres et ailes entièrement développés, dépassant l'extrémité de l'abdomen 2
2 (9) Disque du pronotum à bande longitudinale foncée 3
3 (4) Bord supérieur de l'aire médiane externe des fémurs postérieurs longé, sur la moitié basale, par une étroite bande noire et marqué d'une petite tache noire préapicale (fig. 76) . . . . 1. **H. sikorai**

4 (3) Face externe des fémurs postérieurs à 2 ou 3 fascies transverses. . . 5
5 (6) Face externe des fémurs postérieurs à 3 fascies transverses, les 2 fascies basales parfois fragmentées en de nombreuses taches; antennes filiformes (fig. 77) . . . . 2. **H. zolotarevskyi**
6 (5) Face externe des fémurs postérieurs à 2 fascies transverses, antennes nettement élargies au milieu 7
7 (8) Tibias postérieurs rouge vif; extrémité des antennes ocre; saillie prosternale subconique (fig. 78). . . . . 3. **H. finoti**
8 (7) Tibias postérieurs rose pâle à bleu pâle; antennes à face dorsale brun ocre; saillie prosternale subcylindrique . . . . 4. **H. concinnicrus**
9 (2) Disque du pronotum sans bande longitudinale sombre . . . . 5. **H. nobilis**
10 (1) Élytres et ailes abrégés, atteignant la base de la plaque sus-anale (fig. 79). . . . . 6. **H. reducta**

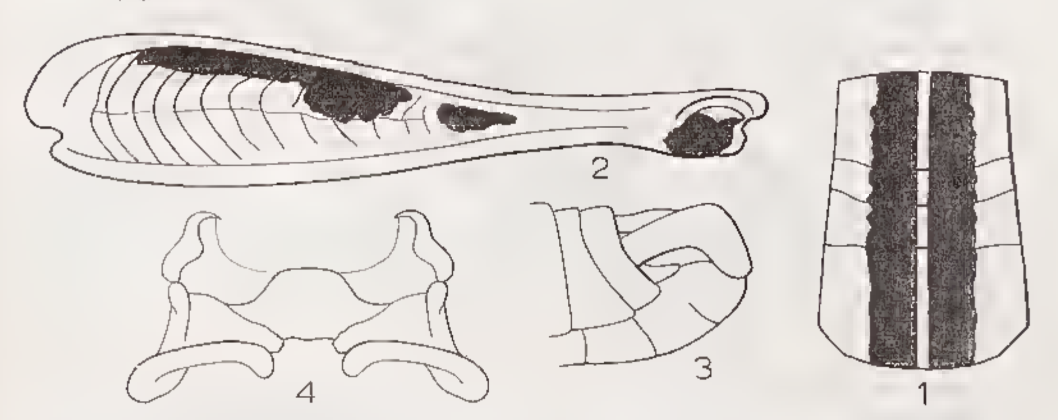


Fig. 76. — *Heteracris sikorai* (I. Bolivar, 1914). — 1, Disque du pronotum. — 2, Fémur postérieur, face externe. — 3, Extrémité abdominale ♂ latéralement. — 4, Épiphalle.

1. Heteracris sikorai (I. Bolivar) (loc. typ. : Madagascar; type ♀, Musée de Madrid).

Thisoicetrus sikorai I. Bolivar, 1914 : 25.
Heteracris sikorai (I. Bolivar, 1914); Dirsh, 1962 *a* : 321; Descamps et Wintrebert, 1966 *b* : 167.
Thisoicetrus brevicornis Carl, 1916 : 498; Dirsh, 1962 *a* : 321.

Fig. 76. — Long. ♂ 25 à 26 mm, ♀ 41 à 48 mm; pronotum ♂ 5 à 5,5 mm, ♀ 8 à 8,6 mm; élytre ♂ 20 à 22 mm, ♀ 33,5 à 35 mm; fémur postérieur ♂ 15,5 à 18 mm; ♀ 26,5 à 29 mm.

♂. Antennes un peu plus courtes que la tête et le pronotum réunis, un peu élargies au milieu. Fastigium du vertex anguleux, à apex obtus, à carinule médiane large et obtuse; côte frontale plate, haute dans la moitié supérieure, rétrécie au-dessus des antennes. Disque du pronotum un peu tectiforme; carène médiane forte mais obtuse; carènes latérales obtuses, un peu divergentes vers l'arrière; métazone plus courte que la prozone, à bord postérieur convexe, presque tronqué. Saillie prosternale cylindrique, à apex arrondi. Espace mésosternal plus long que large. Élytres et ailes

entiers, dépassant l'extrémité de l'abdomen. Cerques larges, à partie apicale incurvée et fortement courbée vers le bas, l'apex arrondi. Angle inférieur des parapoctes rétréci et saillant vers l'arrière.

Coloration générale brune. Tête ocre brunâtre à bande verticale noirâtre, sous l'œil. Disque du pronotum ocre sale ou verdâtre avec une bande longitudinale brune à bords noirs, parcourue par une étroite bande claire sur la carène médiane. Élytres uniformément bruns ou à taches brun foncé indistinctes; région dorsale verdâtre ou ocre. Ailes bleuâtres, à apex un peu enfumé. Fémurs postérieurs ocre brunâtre; partie préapicale jaune orangé; partie supérieure de l'aire médiane externe à bande longitudinale brunâtre peu distincte; une bande semblable, plus foncée, sur la face interne; dessous rouge orangé; genoux noirâtres. Tibias postérieurs bleu foncé ou pourpré.

♀. Comme le ♂ mais plus grande. Antennes filiformes, épaissies.

Madagascar Est : Ambatondrazaka, Réserve naturelle intégrale III (Zahamena), Nosivola, XI-1954 (*P. Vielle et E. Razafimandimby*). — Moramanga, Perinet, I-1949 (*P. Cachan*).

Madagascar Centre : Manjakandriana, Ambatoloana, XI-1950 (*A. Robinson*). — Est d'Ambositra, monts Antenty, XII-1894 (*Forsyth Major*). — Fianarantsoa, forêt d'Ambohimitombo, I-1895 (*Forsyth Major*). — Ambalavao, massif de l'Andringitra, forêt Vakoana, 1 530 m, plateau Soaindrano, 2 090 m, cirque Boby, 2 600 m, I-1958 (*R. Paulian*). — Nord d'Ambohimahasoa, X-1964 (*D. Wintrebert*). — Mandalahy, X-1964 (*D. Wintrebert*). — 28 km Sud Tananarive, X-1966 (*D. Wintrebert*).

2. Heteracris zolotarevskyi Dirsh (loc. typ. : Ejeda; type ♂, British Museum, N.H.).

Heteracris zolotarevskyi Dirsh, 1962 *a* : 322; Descamps et Wintrebert, 1966 *b* : 167.

Fig. 77. — Long. ♂ 21,5 mm, ♀ 38,5 mm; pronotum ♂ 5 mm, ♀ 7,6 mm; élytre ♂ 20,5 mm, ♀ 34,5 mm; fémur postérieur ♂ 15,6 mm, ♀ 23,3 mm.

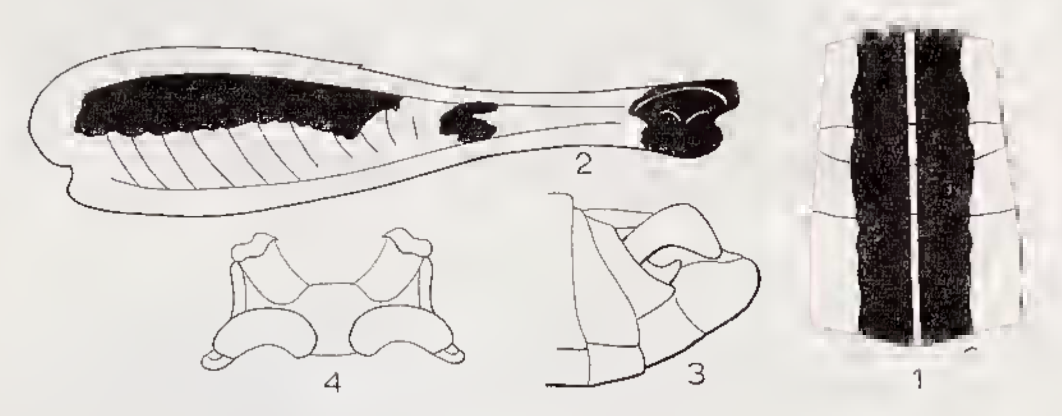


Fig. 77. — *Heteracris zolotarevskyi* Dirsh, 1962. — 1, Disque du pronotum. — 2, Fémur postérieur, face externe. — 3, Extrémité abdominale ♂ latéralement. — 4, Épiphalle.

♂. Taille moyenne. Antennes filiformes, plus longues que la tête et le pronotum réunis. Fastigium du vertex se rétrécissant vers l'avant, à apex tronqué; carinule médiane basse, continue avec la carinule vertico-occipitale; côte frontale relativement basse, plate, un peu rétrécie à l'apex. Disque du pronotum un peu tectiforme; carène médiane forte et assez vive; carènes latérales obtuses, divergentes vers l'arrière; métazone un peu plus courte que la prozone, à bord postérieur en angle obtus. Saillie prosternale comprimée frontalement, presque transverse, à apex arrondi. Espace mésosternal à peu près aussi long ou un peu plus long que large. Élytres et ailes dépassant l'extrémité de l'abdomen. Cerques à partie apicale fortement courbée en dedans et vers le bas; apex obtus et presque arrondi.

Coloration générale brunâtre. Tête brun ocre à bande brun foncé sous les yeux; vertex à large bande longitudinale brune, s'évasant vers l'arrière. Élytres bruns à taches ocre; ailes bleues à apex enfumé. Fémurs postérieurs ocre; face externe à 3 fascies brunâtres, les 2 unités basales parfois réduites à des taches; genoux brun sombre. Base des tibias postérieurs noirâtre, suivie d'un anneau blanchâtre, puis d'un anneau brunâtre, le reste bleu ainsi que les tarses.

♀. Comme le ♂ mais plus grande; pas d'autres différences en dehors des caractères sexuels.

Madagascar Sud : Betioky Sud, Ejeda, II-1928 (*B. N. Zolotarevsky*). — Betioky Sud, Ampanihy, Antanimora, 1962-64 (*D. Wintrebert*).

Cette espèce appartient au groupe de *H. guineensis* Krauss et *H. pulchripes jeanneli* I. Bolivar; elle en diffère par le fastigium du vertex rétréci à l'apex, par les cerques ♂ et la coloration.

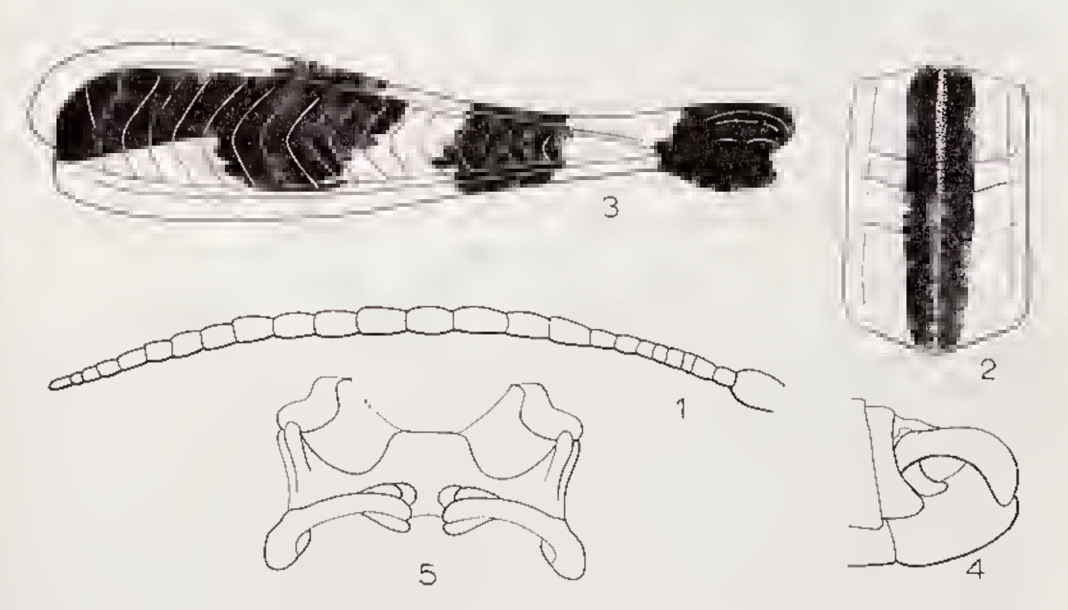


Fig. 78. — *Heteracris finoti* (I. Bolivar, 1914). — 1, Antenne ♂. — 2, Disque du pronotum. — 3, Fémur postérieur, face externe. — 4, Extrémité abdominale ♂ latéralement. — 5, Épiphalle.

3. Heteracris finoti (I. Bolivar) (loc. typ. : Madagascar; type ♂, Musée de Madrid).

Thisoicetrus finoti I. Bolivar, 1914 : 2.
Heteracris finoti (I. Bolivar, 1914); Dirsh, 1962 *a* : 319.
Thisoicetrus praestans Carl, 1916 : 500; Dirsh, 1962 *a* : 319.

Fig. 78. — Long. ♂ 32 mm, ♀ 47 mm; pronotum ♂ 7 mm, ♀ 10,5 mm; élytre ♂ 26 mm, ♀ 40 mm; fémur postérieur ♂ 20,5 mm, ♀ 27,5 mm.

♂. Taille grande. Antennes plus longues que la tête et le pronotum réunis, un peu épaissies au milieu. Fastigium du vertex se rétrécissant vers l'apex et uni en courbe avec la côte frontale; face dorsale convexe, à forte carinule médiane; côte frontale rétrécie au-dessus des antennes. Carène médiane du pronotum haute et vive; carènes latérales droites, presque parallèles, à peine divergentes vers l'arrière; disque un peu tectiforme, plus nettement dans la prozone que dans la métazone. Saillie prosternale subconique, un peu comprimée frontalement, à apex obtus. Espace mésosternal plus long que large. Élytres et ailes entiers. Cerques à moitié apicale fortement comprimée, moyennement élargie, courbée en dedans et vers le bas, à apex arrondi. Angle inférieur des paraproctes rétréci et saillant vers l'arrière. Plaque sous-génitale très courte, arrondie de profil.

Coloration générale vert olive. Partie apicale des antennes ocre. Face dorsale de la tête ocre; une bande noirâtre sous les yeux; labre avec 2 taches rouges sur les côtés. Disque du pronotum à bande longitudinale noirâtre, étroite, à bords parallèles. Élytres uniformément vert olive, la partie dorsale beaucoup plus claire que la partie ventrale. Ailes bleues, à apex enfumé. Fémurs postérieurs ocre, à grande tache basale noirâtre longitudinale; bande transverse noirâtre dans la moitié apicale et genoux noirâtres des 2 côtés; face supérieure à 2 fascies noirâtres. Tibias postérieurs noirs à la base; un anneau subbasal jaune suivi d'un anneau noir, le reste et les tarses rouge cinabre vif. Cerques rougeâtres.

♀. Bien plus grande que le ♂. Antennes absolument pas épaissies.

Madagascar Est : Maroantsetra, XII-1897. — Sambava, massif du Marojejy, Ambinanitelo, 500 m, XII-1958 (*E. Raharizonina*).

4. Heteracris concinnicrus Descamps et Wintrebert (loc. typ. : Andrahomana; holotype ♂, Muséum Paris).

Heteracris concinnicrus Descamps et Wintrebert, 1966 *a* : 30; 1966 *b* : 170.

Long. ♂ 25,3 à 33,5 mm, ♀ 41,4 à 47,5 mm; pronotum ♂ 5,5 à 6,6 mm, ♀ 8,5 à 8,7 mm; élytre ♂ 21,3 à 26 mm, ♀ 34,4 à 36 mm; fémur postérieur ♂ 16,3 à 19,8 mm, ♀ 25,8 à 28,5 mm.

♂. Proche de *H. finoti;* taille et type de coloration très voisins. Antennes plus fortement élargies au milieu. Côte frontale relativement étroite, plane, rétrécie de moitié environ juste au-dessous du fastigium, les bords parallèles sur les 3/4 inférieurs. Disque du pronotum tectiforme, le bord postérieur non anguleux, régulièrement convexe; carène médiane élevée; carènes latérales fines, bien saillantes et bien nettes sur toute la longueur, régulièrement arquées. Métazone égale à la distance comprise entre le bord antérieur et le sillon 2. Saillie prosternale très épaisse, parfois renflée à l'extrémité, très légèrement comprimée frontalement; extrémité convexe, épaisse,

creusée de fines cupules. Espace mésosternal légèrement plus long que large, les bords latéraux régulièrement concaves. Élytres, au repos, dépassant les genoux postérieurs. Cerques relativement longs, coudés au milieu, le bord supérieur fortement convexe, la moitié apicale relativement étroite et peu recourbée vers le bas, l'extrémité formant un angle d'environ 45° arrondi à l'apex; partie subterminale incurvée, l'extrémité légèrement excurvée. Angle inférieur des paraproctes très fortement saillant vers l'arrière. Plaque sous-génitale très courte, fortement convexe de profil.

Capsule céphalique à dominante jaune; côte frontale verte, bordée de jaune, surtout au-dessus de l'ocelle médian, la coloration verte se prolongeant vers le bas sur le clypéus; une bande noire sous-oculaire se prolongeant sur les mandibules. A la face dorsale, 2 bandes jaunes partant de l'extrémité du fastigium, se prolongeant sur le pronotum et atteignant le milieu des élytres. Antennes brunes, la face supérieure brun ocre. Disque du pronotum à large bande brun noir; chaque moitié de cette bande plus large que la bande latérale jaune. Élytres brunâtres, la partie dorsale souvent verte; ailes à léger reflet violet. Fémurs postérieurs jaune vif avec plages noires disposées comme chez *H. finoti*: face inférieure uniformément jaune, légèrement teintée de brunâtre vers l'extrémité; plage médiane noire de la face interne incomplète. Base des tibias postérieurs avec anneau jaune bordé de brun à chaque extrémité, les 2/3 apicaux rose un peu sale à bleu clair. Plaque sus-anale jaune, touchée de brun à l'extrémité. Abdomen jaune verdâtre virant au jaune vif vers l'extrémité; derniers tergites marqués de brun noir à la partie médiane; 2/3 basaux des cerques brun rouge, le 1/3 apical et l'angle inférieur des paraproctes jaunes. Plaque sous-génitale noire latéralement.

♀. Plus grande que le ♂, les antennes filiformes; chez la plupart des exemplaires étudiés, coloration verte et brune, les lobes latéraux du pronotum, la partie dorsale des élytres et les fémurs postérieurs généralement verts; tibias postérieurs comme chez le ♂.

MADAGASCAR SUD : Andrahomana, entre Fort-Dauphin et Cap Ste Marie, VI-1926 (*R. Decary*). — Ampandrandava, I-1932 (*A. Seyrig*). — Betroka, II-1932 (*A. Seyrig*).

5. **Heteracris nobilis** (Brancsik) (loc. typ. : Nosy Be; type ♂ perdu).

Buprepoenemis nobilis Brancsik, 1893 : 195.
Heteracris nobilis (Brancsik, 1893); DIRSH, 1962 *a* : 322.

Long. 50 mm; pronotum 11 mm; élytres 41 mm; fémur postérieur 8 mm.

Le type ♀, unique, est perdu, mais sa description et un dessin en couleur assez bon semblent bien indiquer que l'espèce est valable. Elle diffère de *finoti* par l'absence de la bande longitudinale sombre sur le disque du pronotum et par la bande transverse unique sur la face externe des fémurs postérieurs.

MADAGASCAR SAMBIRANO : Nosy Be.

6. **Heteracris reducta** Dirsh (loc. typ. : Massif de l'Andohahelo; type ♂, Muséum Paris).

Heteracris reducta Dirsh, 1962 *a* : 323.

Fig. 79. — Long. ♂ 24 mm, ♀ 38,5 mm; pronotum ♂ 5,4 mm, ♀ 7,3 mm; élytre ♂ 12,5 mm, ♀ 17,3 mm; fémur postérieur ♂ 16,5 mm, ♀ 22 mm.

♂. Taille moyenne. Antennes plus courtes que la tête et le pronotum réunis, presque filiformes, à peine épaissies au milieu. Fastigium du vertex anguleux, à apex obtus; face dorsale convexe, à légère carinule médiane continue avec la carinule du vertex. Côte frontale plate, rétrécie à l'apex. Disque du pronotum légèrement tectiforme;

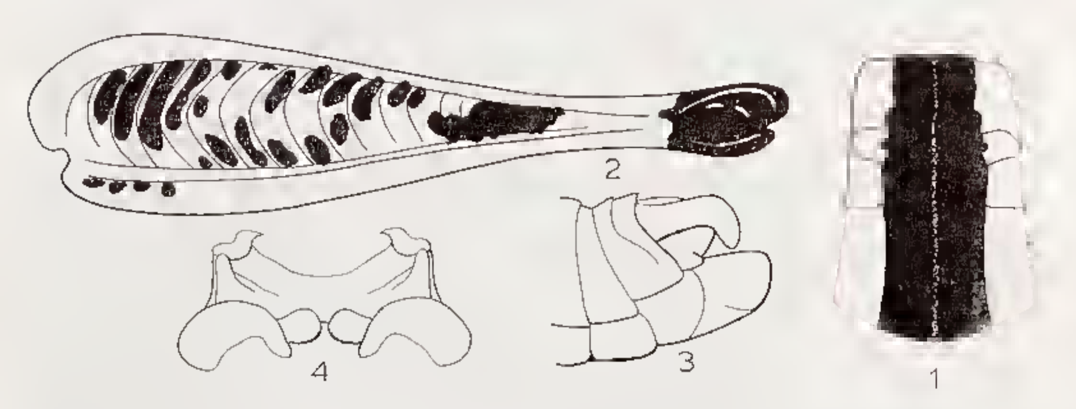


Fig. 79. — *Heteracris reducta* Dirsh, 1962. — 1, Disque du pronotum. — 2, Fémur postérieur, face externe. — 3, Extrémité abdominale ♂ latéralement. — 4, Épiphalle.

carène médiane forte, obtuse; carènes latérales obtuses, légèrement excurvées et un peu divergentes vers l'arrière; métazone plus courte que la prozone, son bord postérieur saillant en angle obtus très plat, presque arrondi. Saillie prosternale subcylindrique, un peu comprimée frontalement, à apex arrondi. Espace mésosternal un peu plus large que long. Élytres et ailes abrégés, atteignant la base de la plaque sus-anale. Fémurs postérieurs relativement grêles. Cerques fortement courbés vers le bas et moyennement vers le dedans, se rétrécissant vers l'apex. Paraproctes à angle postérieur rétréci et un peu relevé. Plaque sous-génitale courte, arrondie de profil.

Coloration générale brune. Tête ocre brunâtre, à bande noire sous les yeux; vertex à bande longitudinale brune; une bande noire derrière les yeux. Disque du pronotum à bande longitudinale brune, moyennement large, à côtés parallèles, traversée par une étroite bande claire sur la carène médiane. Élytres bruns sans dessins, à partie dorsale verdâtre. Ailes bleues à apex un peu enfumé. Fémurs postérieurs ocre sale; face externe marquée de brun comme suit : 1 bande longitudinale peu distincte à la partie supéro-basale de l'aire médiane externe; 1 petite tache sur la moitié apicale; partie préapicale ocre vif; face interne plus pâle mais avec le même dessin; genoux noirâtres. Base des tibias postérieurs noirâtre, suivie d'un anneau jaune, puis d'un court anneau brunâtre, le reste rouge vif ainsi que les tarses.

♀. Comme le ♂ mais plus grande; antennes indistinctement épaissies au milieu. Tibias postérieurs de diverses teintes de pourpre. Pour le reste, semblable au ♂.

Madagascar Est : Réserve naturelle intégrale XI, massif de l'Andohahelo, 1 800 m, I-1954 (*R. Paulian*).

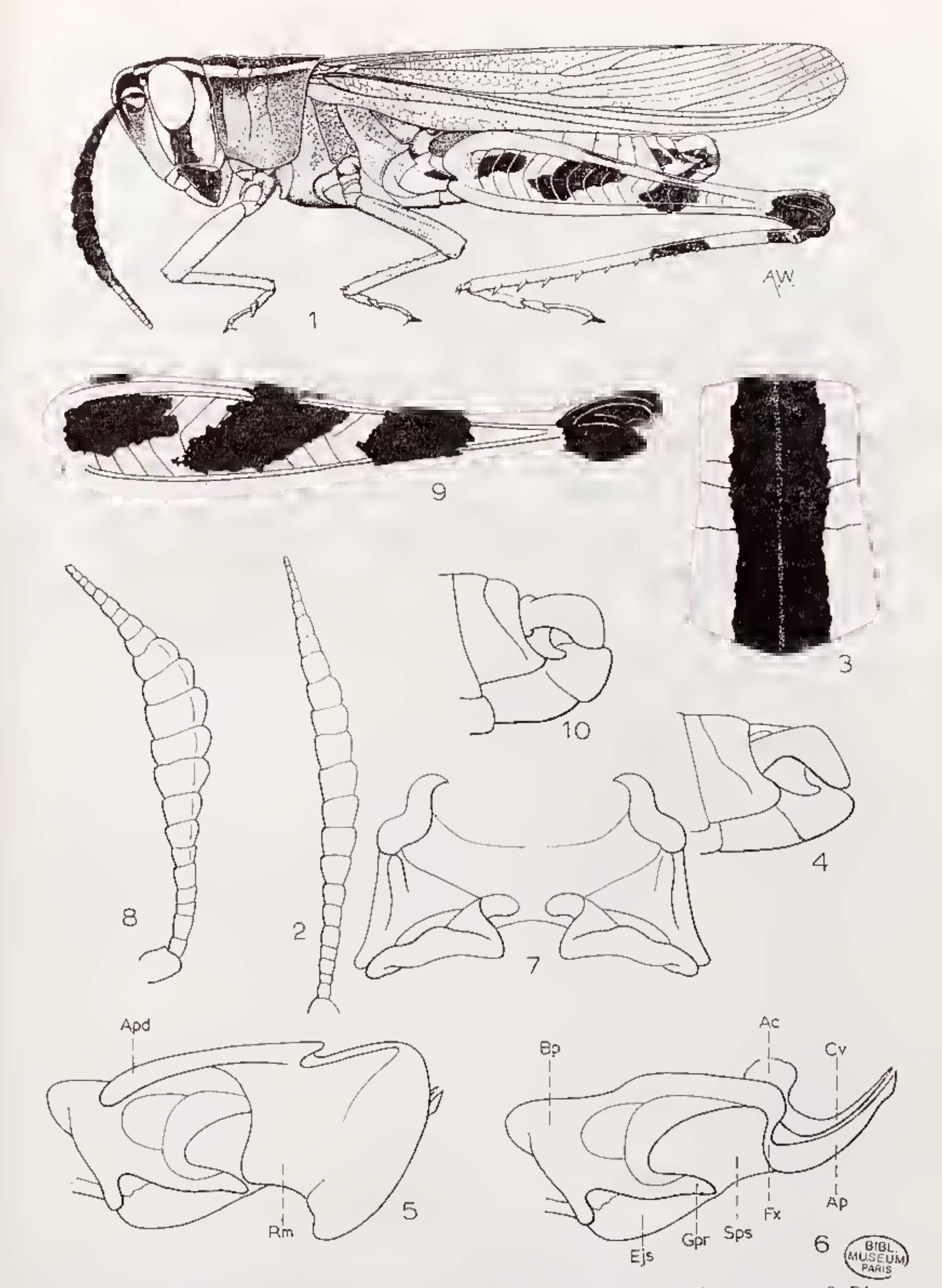


FIG. 80. — 1 à 7, *Homaeocerus nigricornis* Saussure, 1899. — 1, ♂. — 2, Antenne ♂. — 3, Disque du pronotum. — 4. Extrémité abdominale ♂. — 5, Complexe phallique latéralement, membrane ectophallique et épiphalle enlevés. — 6, *id.*, l'essentiel du cingulum enlevé. — 7, Épiphalle. — 8 à 10, *Horaeocerus antennatus* I. Bolivar 1914, type. — 8. Antenne ♂. — 9. Fémur postérieur, face externe. — 10, Extrémité abdominale ♂ latéralement.

Genre **Horaeocerus** Saussure

Horaeocerus Saussure, 1899 : 635; Dirsh, 1962 *a* : 324.

Taille moyenne. Tégument légèrement rugueux. Antennes du ♂ fortement à moyennement ensiformes, à peu près aussi longues que la tête et le pronotum réunis; antennes de la ♀ faiblement élargies au milieu. Fastigium du vertex allongé, anguleux, tronqué à l'apex, longitudinalement convexe, pourvu d'une carinule médiane. Front oblique; côte frontale haute, à bords latéraux légèrement dilatés dans la moitié supérieure, un peu déprimée sous l'ocelle. Pronotum légèrement tectiforme, à forte carène médiane; carènes latérales plus faibles, un peu divergentes vers l'arrière; métazone plus courte que la prozone, son bord postérieur en angle largement obtus. Saillie prosternale cylindrique, un peu comprimée frontalement, l'apex arrondi. Élytres entièrement développés, à membrane semi-transparente et réticulation assez éparse. Fémurs postérieurs grêles. Dernier tergite abdominal ♂ avec 2 petites saillies en angle aigu. Plaque sus-anale allongée, anguleuse dans les 2 sexes, l'apex un peu atténué chez le ♂. Cerques ♂ élargis sur les 2/3 apicaux, fortement comprimés, à apex arrondi, courbé vers le bas; cerques ♀ coniques. Plaque sous-génitale ♂ courte, arrondie, à apex légèrement anguleux chez la ♀.

Complexe phallique grand; apodèmes en U à branches très grandes; partie distale de la membrane ectophallique dilatée, sclérifiée et recouvrant presque complètement les valves apicales du pénis et les valves du cingulum. Valves basales du pénis grandes, réunies aux apicales par une épaisse flexure. Épiphalle à ancorae grandes, courbées; lophi lobiformes. Valves de l'oviscapte courtes, robustes, courbées à l'apex.

Espèce type : *Horaeocerus nigricornis* Saussure, 1899.

La différenciation des genres *Heteracris* et *Horaeocerus* basée principalement sur la largeur des antennes semble très discutable. Chez les espèces macroptères des 2 genres on observe la progression suivante en ce qui concerne la largeur des antennes : *He. zolotarevskyi, He. sikorai, He. finoti, He. concinnicrus, Ho. nigricornis, Ho. antennatus.* La variation de ce caractère n'est pas limitée à l'échelle des genres ni même des espèces, elle s'observe également à l'échelon intraspécifique. Un matériel plus abondant est nécessaire pour l'interpréter de façon correcte.

1. **Horaeocerus nigricornis** Saussure (loc. typ. : Madagascar; type ♂, Musée de Genève).

Horaeocerus nigricornis Saussure, 1899 : 636; Dirsh, 1962 *a* : 324.

Fig. 80. — Long. ♂ 28 à 32 mm, ♀ 40 à 47 mm; (description originale ♂ 21 mm, ♀ 36 mm).

Antennes ♂ ensiformes, celles de la ♀ faiblement ensiformes. Fastigium du vertex étroit, anguleux, uni en courbe avec la côte frontale.

Coloration générale brunâtre ou vert olive; antennes noirâtres à apex ocre; joues jaunes; une bande verticale noire sous les yeux; dessus de la tête à bande longitudinale large, brunâtre, continue avec la bande longitudinale brun foncé du disque du pronotum; élytres brunâtres ou vert olive, sans dessins; ailes postérieures bleues, bleuâtres

ou enfumées, à apex assombri. Fémurs postérieurs jaunâtres sur les 2 faces, avec 3 bandes transverses, obliques, incomplètes, noires; genoux bruns; base des tibias postérieurs brun foncé, suivie d'un anneau citron et d'un large anneau brun foncé, le reste pourpre pâle; épines blanchâtres à apex brun.

La taille du corps est très variable. Les ailes décrites initialement comme « sordidae vitreae, venis fuscis » varient dans la série étudiée, de faiblement enfumées à bleuâtres et même bleu foncé. La coloration générale varie du brun au vert olive sombre.

MADAGASCAR EST : Maroantsetra, Ivontaka, III-1958 (*P. Soga et E. Raharizonina*). — Perinet (*A. Seyrig*).

MADAGASCAR CENTRE : Tananarive, XII-1952 (*E. S. Brown*); parc de Tsimbazaza, I-1948 (*A. Robinson*); km 26, route de Tamatave, XII-1947 (*R. Paulian*). — Manjakandriana, Ankadimanga, XII-1957 (*J. Elie*). — Ankazobe, tampoketsa d'Ambohitantely, XII-1947 (*R. Paulian*).

MADAGASCAR OUEST : Maevatanana, forêt de l'Ankarafantsika, poste d'Ampijoroa, I-1957 (*E. Razafimandimby*). — Antsalova, Andobo, forêt de l'Antsingy, II-1957 (*P. Griveaud*). — Sakaraha, forêt de Lambomakandro, III-1956 (*A. Robinson*). — Betsioky Mandatsa, I-1964 (*D. Wintrebert*).

2. **Horaeocerus antennatus** I. Bolivar (loc. typ. : Madagascar; type ♂, Musée de Madrid).

Horaeocerus antennatus I. Bolivar, 1914 : 30; DIRSH, 1962 *a* : 326.

Fig. 80. — Type ♂ et paratype ♀ sont décolorés et endommagés à la suite de leur conservation en alcool. Le ♂ diffère de *H. nigricornis* par les antennes qui sont 2 fois plus larges et par les cerques moins courbés et plus larges. Les ♀ sont indiscernables.

MADAGASCAR, sans autre précision.

Sous-famille *CATANTOPINAE*

Taille faible à forte. Tête de forme variable. Carène médiane du pronotum présente ou absente; carènes latérales très rarement présentes. Une saillie prosternale. Lobes mésosternaux arrondis. Élytres et ailes entièrement développés, réduits ou absents; nervure intercalaire de l'aire médiane des élytres absente, rarement présente. Tympan normalement présent, rarement absent. Lobe basal inférieur des fémurs postérieurs normalement plus court que le lobe supérieur. Épine apicale externe des tibias postérieurs présente ou absente. Valves basales et apicales du pénis réunies par une flexure. Épiphalle en pont parfois divisé; ancorae en général présentes; lophi généralement présents, de forme variable. Pas d'appareil stridulatoire.

Genre type : *Catantops* Schaum, 1853.

CLÉ DES GENRES MALGACHES

1 (10) Insectes macroptères 2
2 (5) Une épine apicale externe aux tibias postérieurs 3

3 (4) Tarses postérieurs plus longs que la moitié des tibias correspondants; disque du pronotum traversé par 3 sillons (fig. 81). . **Seyrigacris** (p. 182)
4 (3) Tarses postérieurs plus courts que la moitié des tibias correspondants; disque traversé par 4 sillons (fig. 82) . . . . **Vohemara** (p. 183)
5 (2) Pas d'épine apicale externe aux tibias postérieurs. 6
6 (7) Allure plus élancée; saillie prosternale comprimée frontalement ou fortement courbée vers l'arrière (fig. 83) . . . . **Catantops** (p. 184)
7 (6) Allure plus trapue; saillie prosternale cylindrique ou subcylindrique . 8
8 (9) Ailes larges; une bande noire partant du bord postérieur des yeux et traversant les lobes latéraux du pronotum; lobes métasternaux du ♂ non contigus (fig. 84). . . . . **Pseudofinotina** (p. 188)
9 (8) Ailes plus étroites; tête et pronotum monochromes; lobes métasternaux du ♂ largement contigus (fig. 85) . . . **Dendrocatantops** (p. 190)
10 (1) Insectes brachyptères, microptères, subaptères ou aptères. 11
11 (14) Pronotum à carène médiane formant 2 fortes gibbosités tubéreuses ou odontiformes 12
12 (13) Élytres latéraux; plaque sus-anale du ♂ pentagonale, pas plus longue que large; cerques ♂ coudés à l'extrémité; plaque sous-génitale ♂ comprimée frontalement à l'extrémité (fig. 86) . . . . . **Perineta** (p. 193)
13 (12) Élytres se chevauchant dorsalement; plaque sus-anale du ♂ triangulaire; cerques ♂ rectilignes; extrémité de la plaque sous-génitale ♂ arrondie (fig. 87) . . . . **Paraperineta** (p. 195)
14 (11) Pronotum sans gibbosités. 15
15 (20) Insectes brachyptères; élytres se chevauchant ou se touchant dorsalement; bord postérieur du pronotum saillant en angle obtus. 16
16 (17) Antennes beaucoup plus longues que la tête et le pronotum réunis; plaque sus-anale du ♂ triangulaire, les cerques courts, rectilignes (fig. 88) . . . . **Mananara** (p. 198)
17 (16) Antennes plus courtes ou subégales à la longueur de la tête et du pronotum réunis; plaque sus-anale ♂ pentagonale, les cerques longs, incurvés 18
18 (19) Élytres se touchant dorsalement; extrémité des cerques ♂ simple, aiguë (fig. 89) . . . . **Ambrea** (p. 199)
19 (18) Élytres se chevauchant dorsalement; cerques ♂ bifides (fig. 90). . . . . **Paraserpusilla** (p. 200)
20 (15) Insectes microptères, subaptères ou aptères; bord postérieur du pronotum concave ou droit. 21
21 (28) Insectes microptères; bord postérieur du pronotum concave. 22
22 (23) Deux profondes dépressions juxtamédianes sur le sillon typique du disque du pronotum (fig. 91) . . . . **Calderonia** (p. 202)
23 (22) Pas de dépressions sur le sillon typique du disque du pronotum. . . 24
24 (25) Carène supérieure des fémurs postérieurs lisse; articles du flagelle antennaire pas plus longs que larges (fig. 92) . . . . . . **Serpusiacris** (p. 204)
25 (24) Carène supérieure des fémurs postérieurs serrulée; articles du flagelle antennaire nettement plus longs que larges. 26

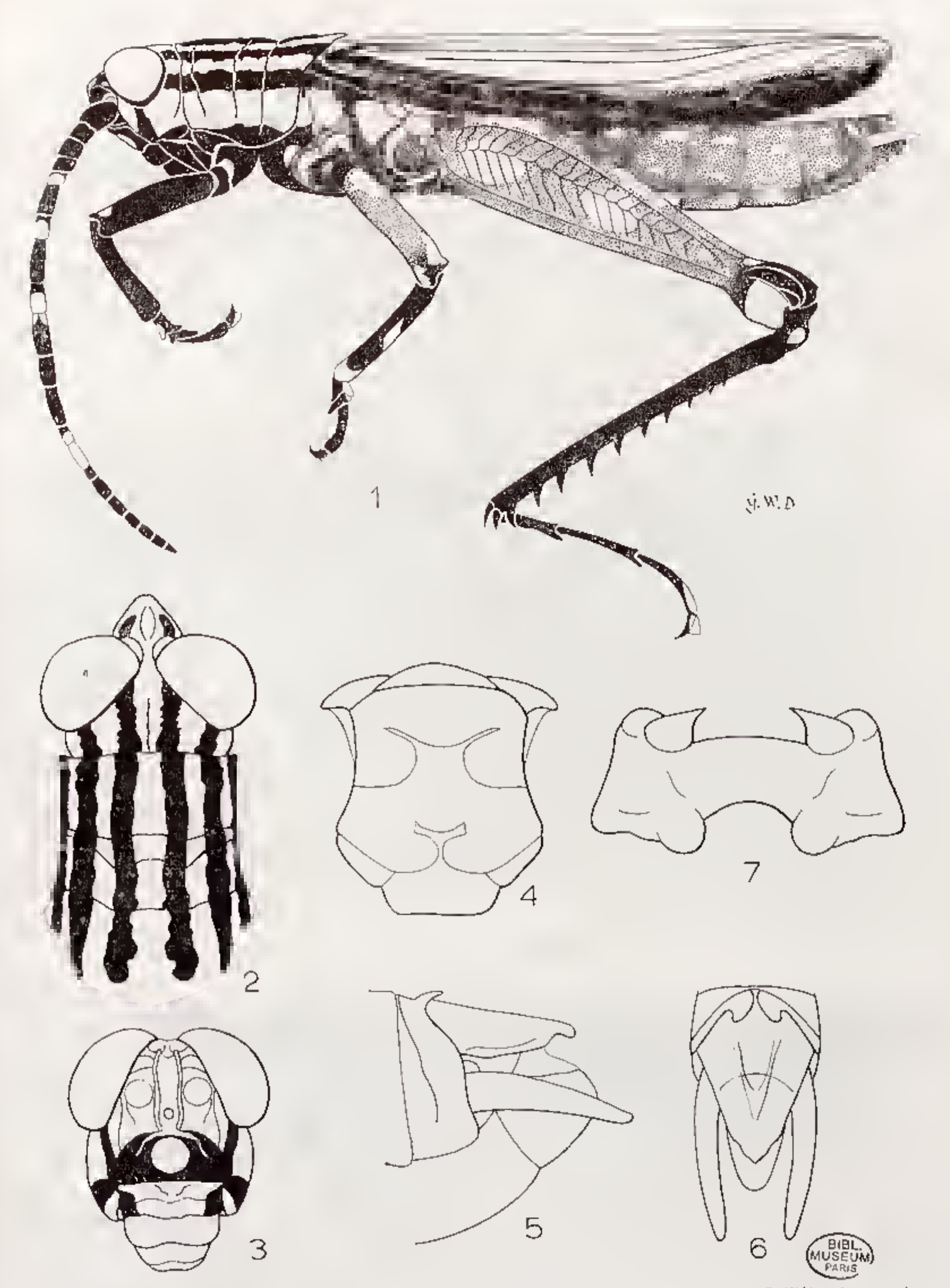


Fig. 81. — *Seyrigacris nigrofasciatus* C. Bolivar, 1932, type ♂. — 1, Type ♂. — 2, Tête et pronotum dorsalement. — 3, Face. — 4, Sternum. — 5, Extrémité abdominale latéralement. — 6, *id.*, dorsalement. — 7, Épiphalle.

26 (27) Espace interoculaire plus étroit que le scape antennaire (fig. 93). . . . . **Serpusiformia** (p. 207)
27 (26) Espace interoculaire plus large que le scape antennaire (fig. 94, 95). . . . . **Serpusilla** (p. 209)
28 (21) Insectes subaptères ou aptères 29
29 (30) Vestiges des élytres et des ailes représentés par un petit lobe tégumentaire redressé contre le tergum; antennes filiformes, beaucoup plus longues que la tête et le pronotum réunis (fig. 96, 97) . **Hysiella** (p. 214)
30 (29) Aptère; antennes courtes, s'amincissant progressivement de la base vers l'extrémité (fig. 98, 99) . . . . **Pseudohysiella** (p. 218)

Genre **Seyrigacris** C. Bolivar

Seyrigacris C. Bolivar, 1932 : 392; Dirsh, 1962 *a* : 327.

Taille moyenne. Tégument finement rugueux. Antennes filiformes, plus longues que la tête et le pronotum réunis. Tête conique; fastigium du vertex anguleux, parcouru par une légère dépression longitudinale; espace interoculaire moins large que le scape antennaire; front droit et très oblique; côte frontale large, à carinules latérales bien développées et parallèles. Pronotum cylindrique; disque traversé par 3 sillons, dépourvu de carènes; métazone bien plus courte que la prozone, son bord postérieur formant un angle largement obtus, presque arrondi. Saillie prosternale conique. Espace mésosternal plus large que long, à côtés incurvés. Élytres et ailes atteignant l'extrémité de l'abdomen. Élytres parcheminés, à nervation et réticulation réduites, sans spécialisation stridulatoire. Ailes élargies, à bord externe fortement convexe; tympan présent. Fémurs postérieurs moyennement grêles. Une épine apicale externe aux tibias postérieurs. Tarses postérieurs plus grands que la moitié des tibias correspondants. Arolium grand. Dernier tergite abdominal ♂ avec 2 grandes saillies arrondies. Plaque sus-anale allongée, triangulaire. Cerques ♂ longs, subconiques, un peu courbés en dedans, à apex obtus. Plaque sous-génitale ♂ courte, à apex arrondi. Plaque sous-génitale ♀ à large expansion médiane triangulaire. Bord externe des valves supérieures de l'oviscapte grossièrement serrulé.

Espèce type : *Seyrigacris nigrofasciatus* C. Bolivar, 1932.

1. Seyrigacris nigrofasciatus C. Bolivar (loc. typ. : Rogez; type ♂, Musée de Madrid).

Seyrigacris nigrofasciatus C. Bolivar, 1932 : 394; Dirsh, 1962 *a* : 328.

Fig. 81. — Long. ♂ 24 mm, ♀ 33,5 mm; pronotum ♂ 5,3 mm, ♀ 7,4 mm; élytre ♂ 17 mm, ♀ 20 mm; fémur postérieur ♂ 13 mm, ♀ 14 mm.

♂. Coloration générale noirâtre à bandes et taches jaunâtres. Antennes noires à anneaux jaunes. Face jaunâtre à bande transverse noire au-dessus du clypéus; une tache ronde, jaunâtre, au milieu. Dessus de la tête et du pronotum parcouru par 4 bandes noires, sur fond jaunâtre. Partie antérieure des élytres, jusqu'à la nervure radiale, noirâtre, le reste brunâtre. Genoux postérieurs noirs à lobe inférieur jaunâtre. Tibias postérieurs et épines noirs. Tarses noirs à tache jaunâtre sur le métatarse et l'arolium.

♀. Sillons du disque du pronotum à peine décelables, sauf le sillon typique. Face jaune, la côte frontale au-dessus de l'ocelle, les fossettes antennaires et les côtés du fastigium noirs; clypéus brun. Dessus de la tête et du pronotum comme chez le ♂; face inférieure du corps noire, les lobes mésosternaux et une bande transverse sur le métasternum et chacun des sternites abdominaux de coloration jaune. Aire médiane interne et aire inféro-interne des fémurs postérieurs rouge orangé.

Seuls le ♂ type et 2 ♀ (Muséum Paris) sont connus.

Madagascar Est : Brickaville, Rogez, 11-1932 (*A. Seyrig*). — Tamatave, 1888 (*Perrot*).

Genre **Vohemara** Dirsh

Vohemara Dirsh, 1966 : 542.

Grand; allure élancée. Tégument modérément rugueux. Antennes filiformes. Tête courte, conique. Fastigium du vertex court, parcouru par un large sillon longitudinal, déprimé transversalement à la base. Front oblique, légèrement convexe. Moitié supérieure de la côte frontale basse, à côtés légèrement excurvés, fortement rétrécie à l'apex, sans carinules latérales et légèrement déprimée au niveau de l'ocelle médian; moitié inférieure très basse, presque effacée. Ocelles bien développés. Yeux fortement convexes, légèrement ovales. Pronotum cylindrique; carène médiane faible, irrégulière, décelable en avant du 2e sillon et dans la métazone; disque traversé par 4 sillons; bord postérieur excurvé. Une saillie prosternale. Espace mésosternal plus long que large, rétréci au milieu; lobes mésosternaux courts, arrondis. Espace métasternal relativement grand, en triangle inversé. Tympan bien développé. Élytres et ailes atteignant presque l'extrémité de l'abdomen; membrane des élytres parcheminée, les nervures bien développées. Fémurs postérieurs grêles, n'atteignant pas l'extrémité de l'abdomen; lobes inférieurs des genoux arrondis. Tibias postérieurs à épines plutôt clairsemées; une épine apicale externe; éperons plutôt courts, la paire externe plus courte que la paire interne. Arolium grand. Oviscapte moyennement long, les valves grêles et légèrement courbées à l'apex.

♂ inconnu.

Espèce type : *Vohemara hysielloides* Dirsh, 1966.

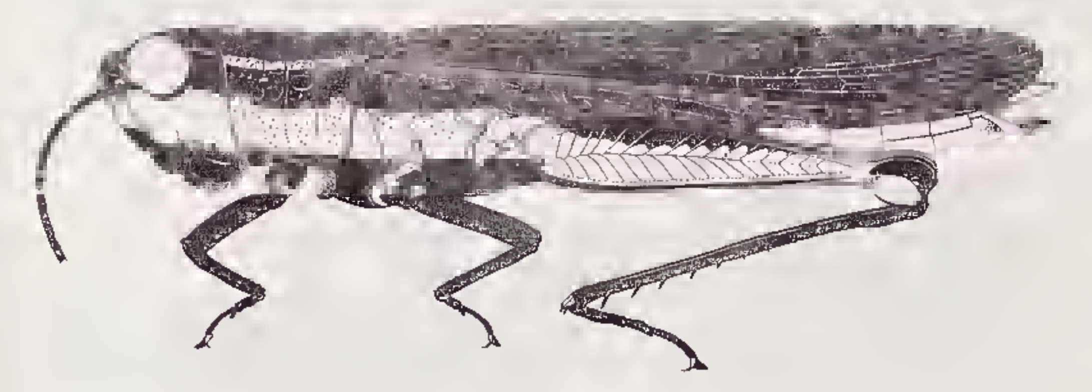


Fig. 82. — *Vohemara hysielloides* Dirsh, 1966, ♀ type.

1. Vohemara hysielloides Dirsh (loc. typ. : Vohemar; type ♀, Musée de Madrid).

Vohemara hysielloides Dirsh, 1966 : 513.

Fig. 82. — Long. 42 mm; pronotum 8 mm; élytre 30,4 mm; fémur postérieur 19 mm.

♀. Antennes filiformes. Tégument pileux, en particulier sur les tibias postérieurs. Plaque sus-anale triangulaire, allongée, arrondie à l'apex. Cerques étroits, presque cylindriques, légèrement rétrécis et arrondis à l'apex. Plaque sous-génitale trilobée; lobe médian anguleux; lobes latéraux beaucoup plus courts, arrondis.

Teinte générale brun foncé; antennes noires, une bande ocre colorant le milieu du front, les joues, la partie inférieure des lobes latéraux du pronotum, la partie moyenne des pleures et la plus grande partie de la face externe des fémurs postérieurs; côtés et face inférieure de l'abdomen ocre; ailes bleuâtres à bords enfumés; face interne des fémurs postérieurs rouge vif; tibias postérieurs et tarses gris bleu.

Madagascar Est : Vohemar (ex coll. Le Moult).

Genre **Catantops** Schaum

Catantops Schaum, 1853 : 779; Dirsh, 1962 *a* : 326.

Taille faible à moyenne. Tégument finement rugueux ou ponctué. Antennes filiformes, un peu comprimées sur le 1/4 basal, plus courtes ou aussi longues que la tête et le pronotum réunis. Fastigium du vertex trapézoïdal, à angles obtus et concavité superficielle au milieu; front oblique, droit ou un peu convexe; côte frontale plate ou un peu déprimée, les carinules latérales effacées. Pronotum subcylindrique, un peu rétréci vers l'avant; carène médiane faible ou effacée; pas de carènes latérales; métazone à peu près aussi longue que la prozone, son bord postérieur en angle obtus. Saillie prosternale épaisse, cylindrique ou un peu comprimée frontalement, à apex arrondi. Espace mésosternal un peu étranglé. Élytres atteignant au moins l'extrémité de l'abdomen. Fémurs postérieurs grêles ou moyennement grêles. Arolium grand. Plaque sus-anale ♂ allongée, anguleuse. Cerques de forme variable. Plaque sous-génitale courte, subconique. Épiphalle en pont large, à grandes ancorae courbées et lophi lobiformes de taille moyenne. Oviscapte moyennement long, à valves grêles, courbées à l'apex; valves inférieures à saillie latérale externe.

Espèce type : *Catantops melanostictus* Schaum, 1855.

Clé des espèces malgaches

1 (4) Cerques ♂ à apex simple, arrondi; saillie prosternale droite ou inclinée vers l'arrière. 2

2 (3) Plus grand et plus grêle; fascie basale de la face externe des fémurs postérieurs relativement courte, et moins oblique (fig. 83). . . . . . . 1. **C. sacalava**

3 (2) Plus petit et moins grêle; fascie basale de la face externe des fémurs postérieurs relativement longue et plus oblique (fig. 83). . . 2. **C. stenocrobyloides**

4 (1) Cerques ♂ à apex arrondi et un peu échancré sur le bord inférieur; saillie prosternale fortement courbée vers l'arrière (fig. 83) . . . . 3. **C. malagassus**

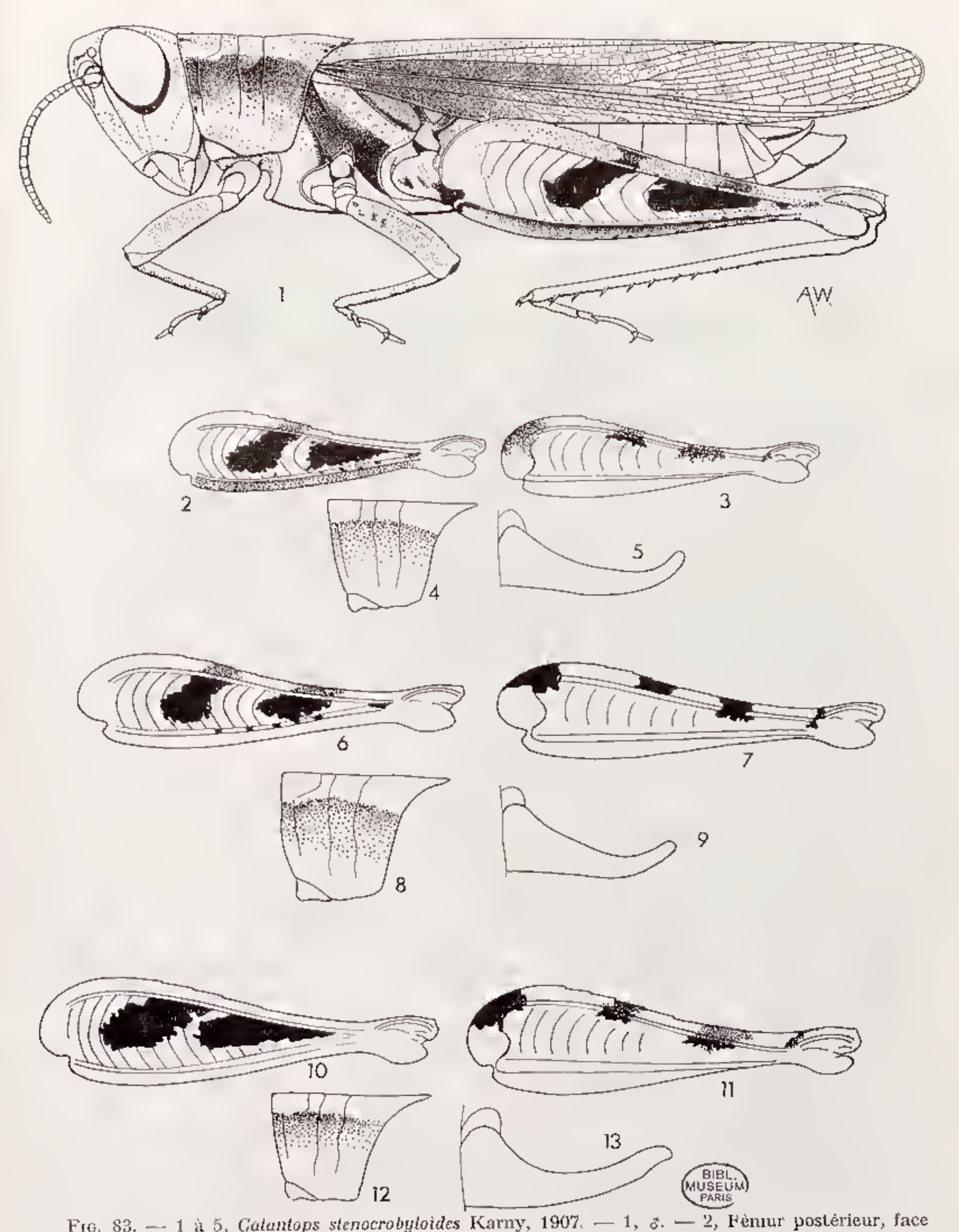


FIG. 83. — 1 à 5, *Catantops stenocrobyloides* Karny, 1907. — 1, ♂. — 2, Fémur postérieur, face externe. — 3, *id.*, face interne. — 4, Pronotum latéralement. — 5, Cerque ♂.
— 6 à 9, *Catantops sacalava* Brancsik, 1893. — 6, Fémur postérieur, face externe. — 7, *id.*, latéralement. — 8, Pronotum latéralement. — 9, Cerque ♂.
— 10 à 13, *Catantops malagassus* Karny, 1907. — 10, Fémur postérieur, face externe. — 11, *id.*, face interne. — 12, Pronotum latéralement. — 13, Cerque ♂.

1. **Catantops sacalava** Branesik (loc. typ. : Madagascar; type ♂, perdu).

Catantops sacalava Brancsik, 1893 : 193; Dirsh, 1962 *a* : 327; Descamps et Wintrebert, 1966 *b* : 173.
Catantops acuticercus I. Bolivar, 1902 : 626; Dirsh et Uvarov, 1953 : 233; Dirsh, 1962 *a* : 327.

Fig. 83. — Long. ♂ 21,7 à 23 mm, ♀ 27 à 30 mm; pronotum ♂ 5 mm, ♀ 6 à 6,5 mm; élytre ♂ 16,5 à 19 mm, ♀ 24 à 25 mm; fémur postérieur ♂ 12,5 à 13 mm, ♀ 15 mm.

♂. Taille moyenne. Corps grêle. Antennes plus courtes que la tête et le pronotum réunis. Front droit, moyennement incliné. Côte frontale à carinules distinctes, rétrécie à l'apex et faiblement sillonnée. Espace interoculaire un peu plus étroit que le scape antennaire. Saillie prosternale inclinée vers l'arrière, comprimée frontalement, relativement épaisse, à apex arrondi et faiblement élargi. Fémurs postérieurs grêles. Élytres dépassant les genoux postérieurs. Cerques courts, simples, un peu élargis à la base, à apex arrondi.

Coloration générale brunâtre. Lobes latéraux du pronotum avec une bande brune indistincte dans la moitié supérieure. Une bande pleurale étroite de coloration jaune sale. Face externe des fémurs postérieurs jaunâtre sale à 2 fascies noires plus une petite tache à la base des genoux; fascie basale légèrement oblique, souvent rétrécie au milieu, élargie et arrondie vers le bas, se prolongeant vers le haut sur les aires supéro-externe et interne; fascie apicale relativement courte; espace inter-fascies plus large que la fascie basale; face interne à 4 taches noires. Tibias postérieurs rouges, l'apex des épines noir. Ailes incolores.

♀. Comme le ♂ mais plus grande.

Madagascar Sambirano : Nosy Be, Réserve naturelle intégrale VI, forêt de Lokobe, IX-1947 (*R. Paulian*). — Nosy Kamba, crête Nord, V-1956 (*A. Robinson*). — Nosy Mitsio, I-1960 (*R. Paulian*).

Madagascar Est : Sambava, massif du Marojejy, Ambinanitelo, 500 m, XII-1958 (*E. Raharizonina*). — Briekaville, station agricole. — Perinet (*Chasseurs de l'I.R.S.M.*). — Ifanadiana, Ranomafana (*Chasseurs de l'I.R.S.M.*). — Ouest de Farafangana, VIII-1964 (*D. Wintrebert*). — Ile Sainte-Marie, V et XI-1959 (*E. Razafimandimby*).

Madagascar Centre : Manjakandriana, Ankamidanga, XII-1957 (*J. Elie*). — Ambatofinandrahana, 1180 m, VII-1957 (*A. Robinson*). — Ambositra, Ambatofinandrahana, route du Sud, km 302, III-1955 (*P. Viette*).

Madagascar Ouest : Maevatanana, forêt de l'Ankarafantsika, Bevazaha, I-1950 (*R. Paulian*); poste d'Ampijoroa, I-1957 (*P. Griveaud*). — Antsalova, Bekopaka, massif de l'Antsingy, VII-1949 (*R. Paulian*). — Morondava, I-1956 (*R. Paulian*). — Sakaraha, forêt de Labomakandro, II-1958 (*P. Griveaud*).

Madagascar Sud : Moronhe, lac Iotry, VII-1957 (*P. Griveaud*). — Amboasary, Tranomaro, II-1954 (*J. Elie*). — Betioky Sud, 1962-64 (*D. Wintrebert*).

Ile Juan de Nova : II-1964 (*P. Malzy*).

2. Catantops stenocrobyloides Karny (loc. typ. : Tananarive; type ♂, Musée de Vienne).

Catantops stenocrobyloides Karny, 1907 : 338; Dirsh, 1962 *a* : 327; Descamps et Wintrebert, 1966 *b* : 171.

Fig. 83. — Long. ♂ 16 à 20 mm, ♀ 21 à 24 mm; pronotum ♂ 4 à 4,4 mm, ♀ 5 à 6 mm; élytre ♂ 13 à 14,5 mm, ♀ 15 à 20,5 mm; fémur postérieur ♂ 9,4 à 11,3 mm, ♀ 12 à 14,6 mm.

♂. Taille faible; relativement robuste. Antennes plus courtes que la tête et le pronotum réunis. Front droit, incliné. Côte frontale à carinules latérales distinctes, faiblement rétrécie sous l'ocelle, les 2/3 inférieurs faiblement sillonnés; le 1/3 apical progressivement rétréci. Espace interoculaire à peu près aussi large que le scape antennaire. Saillie prosternale fortement inclinée vers l'arrière, comprimée frontalement, linguiforme, à apex arrondi et un peu élargi. Fémurs postérieurs assez grêles. Élytres dépassant à peine les genoux postérieurs. Cerques assez grêles, élargis à la base et progressivement rétrécis vers l'apex, un peu relevés et fortement courbés en dedans, l'apex étroit, arrondi.

Coloration générale brunâtre. Partie supérieure des lobes latéraux du pronotum traversée par une bande brune complète à bords irréguliers; bord supérieur bien net; bord inférieur diffus. Bande pleurale jaune vif, nette. Face externe des fémurs postérieurs jaunâtre, avec 2 larges fascies noires, incomplètes, et une petite tache irrégulière à la base des genoux; face interne rouge pâle, avec 4 taches noirâtres le long du bord supérieur. Tibias postérieurs rouges. Épines tibiales à apex brun. Ailes incolores, faiblement enfumées.

♀. Comme le ♂ mais plus grande. Oviscapte court mais assez grêle, à valves bien courbées.

Madagascar Centre : Manjakandriana, La Mandraka, XII-1951 (*N.L.H. Krauss*); Ankadimanga, XII-1957 (*J. Elie*). — Tananarive, parc de Tsimbazaza, IV-1948 (*R. Paulian*); I et XI-1962 (*P. Malzy*). — Ambatolampy, Andramasina, XI-1956 (*R. Paulian*). — Tsiraonomandidy, mont Ambohiby, V-1948 (*R. Paulian*). — Ambositra, Ankazomivady, 1 640 m, VII-1957 (*P. Griveaud*); III-1964 (*P. Malzy et E. Raharizonina*). — Mandalahy, VI-1963 (*D. Wintrebert*). — Col des Tapias septentrional, VI-1963 (*D. Wintrebert*). — Ambohimahasoa, VI-1963 (*D. Wintrebert*). — 57 km au Nord d'Ambohimahasoa, X-1964 (*D. Wintrebert*).

3. Catantops malagassus Karny (loc. typ. : Madagascar; type ♀, perdu).

Catantops malagassus Karny, 1907 : 338; Dirsh, 1962 *a* : 327; Descamps et Wintrebert 1966 *b* : 171.

Fig. 83. — Long. ♂ 22 à 23,5 mm, ♀ 29 à 33 mm; pronotum ♂ 5 mm, ♀ 6 à 6,5 mm; élytre ♂ 18,5 à 19 mm, ♀ 24,5 à 26,5 mm; fémur postérieur ♂ 12,7 mm, ♀ 15,5 à 17,5 mm.

♂. Assez grand et grêle. Antennes à peu près 2 fois plus longues que la tête et le pronotum réunis. Front droit, fortement incliné. Côte frontale à bords presque parallèles, à peine rétrécie au-dessous de l'ocelle, faiblement déprimée au milieu,

rétrécie à l'apex. Espace interoculaire plus étroit que le scape antennaire. Saillie prosternale faiblement courbée vers l'arrière, comprimée frontalement, linguiforme, l'apex arrondi de profil. Fémurs postérieurs grêles. Élytres dépassant largement les genoux postérieurs. Cerques simples, élargis à la base, progressivement rétrécis vers l'apex, un peu courbés en dedans et vers le haut; faiblement échancrés à l'apex sur le bord inféro-interne.

Coloration générale brunâtre. Partie supérieure des lobes latéraux du pronotum, à bande longitudinale noire, le bord supérieur net, le bord inférieur diffus. Bande pleurale jaune sale, étroite. Face externe des fémurs postérieurs jaune sale marquée de 2 fascies noires; fascie basale très oblique, à bords subparallèles, interrompue au niveau de l'aire supéro-externe, réapparaissant sur l'aire supéro-interne; fascie apicale allongée; espace inter-fascies égalant à peu près la moitié de la largeur de la fascie antérieure; face interne rouge sale avec 4 points noirs le long du bord supérieur. Tibias postérieurs rouges, l'apex des épines noir. Ailes incolores.

♀. Comme le ♂ mais plus grande. Oviscapte assez long et grêle, à valves moyennement courbées.

Madagascar Est : Tamatave, VII-1958 (*J. Elie*); I-1964 (*M. Bouvet*). — 40 km au Nord de Fort-Dauphin, VIII-1964 (*D. Wintrebert*). — Vondrozo-Farafangana, VIII-1964 (*D. Wintrebert*). — Ile Sainte-Marie, Ambohidena. V-1959; Ambatoroa. V-1959 (*E. Razafimandimby*).

Madagascar Centre : Manjakandriana, Ankadimanga, XII-1957 (*J. Elie*).

Madagascar Ouest : Morondava, forêt au Sud de Befasy, I-1956 (*R. Paulian*). — Région de Mitsingo, X-1964 (*D. Wintrebert*).

Madagascar Sud : Betioky Sud, 1962-64 (*D. Wintrebert*).

Iles Glorieuses : IV-1948 (*P. Cachan*).

Genre **Pseudofinotina** Dirsh

Pseudofinotina Dirsh, 1962 *b* : 272.

Taille moyenne; robuste. Tégument rugueux et ponctué. Antennes filiformes, plus courtes que la tête et le pronotum réunis. Tête subconique; fastigium du vertex court, anguleux, à apex obtus; côte frontale basse, superficiellement sillonnée. Pronotum subcylindrique; carène médiane linéaire; pas de carènes latérales. Disque du pronotum traversé par 3 sillons; bord postérieur de la métazone en angle obtus. Saillie prosternale cylindrique; espace mésosternal court; lobes mésosternaux plus larges que longs, à bord interne arrondi, un peu incurvé chez le ♂. Élytres et ailes entièrement développés; réticulation des élytres dense. Tympan ouvert, un peu approfondi à la partie postérieure. Fémurs postérieurs moyennement robustes. Pas d'épine apicale externe aux tibias postérieurs. Arolium grand. Dernier tergite abdominal ♂ avec 2 saillies arrondies; plaque sus-anale allongée, anguleuse, un peu atténuée à l'apex; cerques courts, subconiques, un peu courbés en dedans à la partie apicale, l'apex obtus. Plaque sous-génitale courte, subconique, arrondie de profil.

Complexe phallique robuste; zygoma long; valves du cingulum courtes; valves basales du pénis moyennement larges; valves apicales courtes à apex conique et aigu.

Épiphalle en pont relativement large; ancorae courtes, anguleuses; lophi larges, lobiformes. Plaque sous-génitale ♀ en angle obtus à l'apex, presque arrondie. Cerques courts, coniques. Oviscapte moyennement court, robuste; valves courbées à l'apex; valves inférieures à petite saillie basale externe.

Espèce type *Pseudofinotina keiseri* Dirsh, 1962.

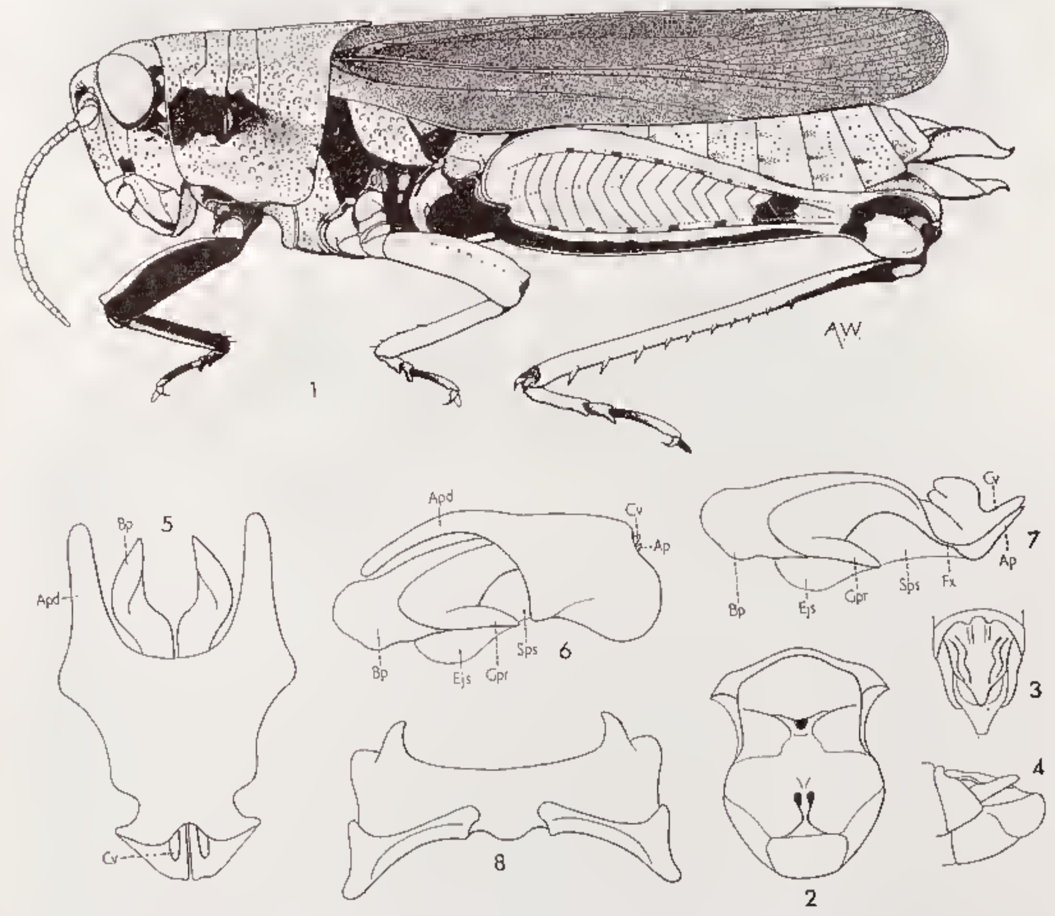


Fig. 84. — *Pseudofinotina keiseri* Dirsh, 1963. — 1, ♀. — 2, Méso- et métasternum. — 3, Extrémité abdominale. ♂ dorsalement. — 4, *id.*, latéralement. — 5, Complexe phallique dorsalement, épiphalle enlevé. — 6, *id.*, latéralement. — 7, *id.*, le cingulum enlevé. — 8, Épiphalle.

1. **Pseudofinotina keiseri** Dirsh (loc. typ. : Montagne d'Ambre; type ♂, Muséum Paris).

Pseudofinotina keiseri Dirsh, 1962 *b* : 272.

Fig. 84. — Long. ♂ 29 mm, ♀ 41,4 mm; pronotum ♂ 6,5 mm, ♀ 10,2 mm; élytre ♂ 21 mm, ♀ 28,3 mm; fémur postérieur ♂ ?, ♀ 22,5 mm.

♂. Antennes de 22 articles. Fastigium du vertex légèrement concave; une faible carinule occipitale. Bord inférieur des lobes latéraux du pronotum sinué.

Coloration ocre brunâtre, en partie à teinte vert olive. Tête á bande ocrée sous les yeux, se poursuivant le long du bord inférieur des lobes latéraux du pronotum; une bande oblique brunâtre partant des yeux et traversant les lobes latéraux du pronotum; disque du pronotum et aire vanale des élytres ocre; remigium des élytres brunâtre; pleures à tache ocre; base des ailes jaunâtre; région apicale enfumée.

♀. Comme le ♂ mais plus grande. Élytres ne dépassant pas l'extrémité de l'abdomen. Coloration du ♂ á dessins moins marqués. Fémurs postérieurs ocre, avec une fascie noirâtre, dans la région préapicale; une rangée de petites taches noires le long de la carène supéro-externe; croissant des genoux et base du lobe inféro-externe noirâtres; face interne ocre à fascie sombre au niveau de la fascie externe. Base des tibias postérieurs ocre, suivie d'un court anneau brun, le reste rouge.

Madagascar Nord : Montagne d'Ambre, les Roussettes, 1100 m, XI et XII-1958 (*P. Vielle et A. Robinson*); V-1958 (*F. Keiser*).

Genre **Dendrocatantops** Descamps et Wintrebert

Dendrocatantops Descamps et Wintrebert, 1966 *a* : 30; 1966 *b* : 174.

♂. Taille moyenne; forme générale subcylindrique, trapue; tégument fortement ponctué, rugueux, couvert d'une pilosité clairsemée. Capsule céphalique d'aspect trapu, relativement peu dégagée du thorax, courte, nettement rétrécie vers le bas. Yeux grands, allongés, fortement saillants. Face très peu déclive de profil, droite. Côte frontale large, légèrement élargie entre les antennes, progressivement rétrécie vers le bas sur les 3/4 inférieurs. Fastigium déclive, subtrapézoïdal; espace interoculaire très étroit, fortement déprimé. Antennes un peu plus longues que la tête et le pronotum réunis, filiformes. Vertex caréné. Pronotum subcylindrique, à peine rétréci d'arrière en avant, légèrement comprimé latéralement á la partie inféro-médiane. Lobes latéraux réunis au disque par une large convexité. Bord postérieur du disque en angle faiblement obtus, bien saillant. Carène médiane faible, plus nette dans la métazone, coupée par 3 sillons; métazone subégale à la prozone. Saillie prosternale subcylindrique, l'extrémité renflée et arrondie. Espace mésosternal large, rétréci au niveau du 1/3 antérieur. Lobes métasternaux contigus. Macroptère; élytres fortement rétrécis vers l'extrémité; ailes étroites, colorées. Fémurs postérieurs épais. Pas d'épine apicale externe aux tibias postérieurs; épines du bord interne plus longues que celles du bord opposé. Arolium grand. Ouverture du tympan auditif á peu près 2 fois plus longue que large. Cerques courts, l'extrémité simple, aiguë, recourbée vers l'intérieur. Plaque sous-génitale conique, peu saillante, l'extrémité arrondie.

Épiphalle à ancorae coniques, recourbées vers le bas et l'intérieur; projections antérieures faibles; projections postérieures nulles; lophi très larges, confondus avec les aires latérales, redressés à la verticale. Processus du gonopore court; valves basales et apicales du pénis réunies par une forte flexure; valves apicales coudées; arche du cingulum épaisse; valves du cingulum simples.

Coloration terne et uniforme, brune avec petites taches brun noir sur l'ensemble du corps. Pas de plages noires sur la tête et le pronotum; 2 bandes transversales peu nettes á la face externe des fémurs postérieurs.

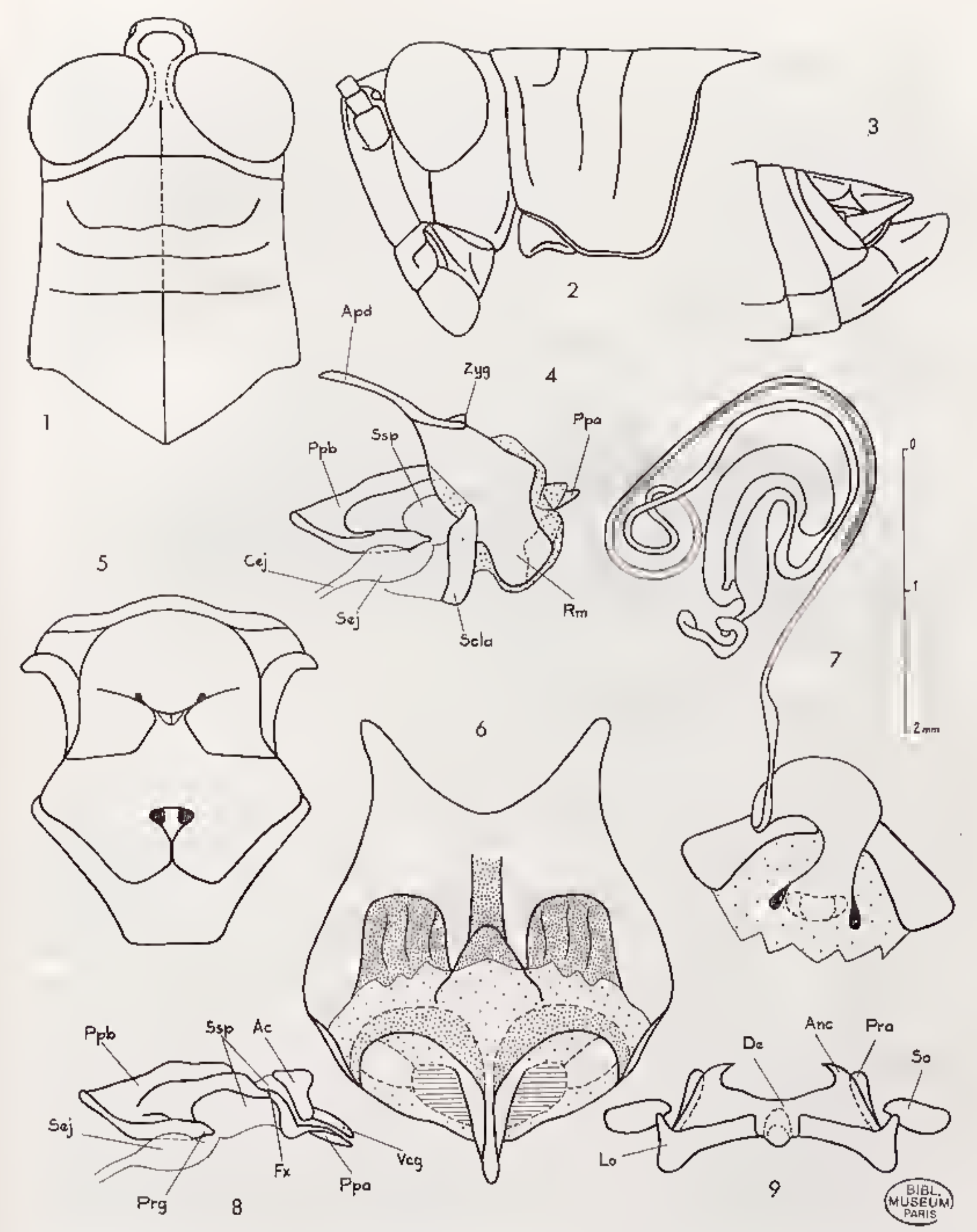


FIG. 85. — *Dendrocatantops inauratus* Descamps et Wintrebert, 1966. — 1, Tête et pronotum ♂ dorsalement. — 2, *id.*, latéralement. — 3, Extrémité abdominale ♂ latéralement. — 4, Complexe phallique latéralement. — 5, Méso- et métasternum ♂. — 6, Plaque sous-génitale ♀, face dorsale. — 7, Spermathèque. — 8, Endophalle latéralement. — 9, Épiphalle.

♀. Yeux moins saillants et espace interoculaire moins déprimé; saillie prosternale comme chez le ♂ mais plus renflée à l'extrémité. Lobes métasternaux subcontigus. Valves de l'oviscapte courtes et trapues; un petit épaulement basal externe aux valves inférieures. Plaque sous-génitale à projection médiane triangulaire. Spermathèque à canal fortement dilaté au niveau du débouché, la partie opposée plusieurs fois repliée autour de l'ampoule terminale; cette dernière complexe, constituée d'un renflement à 2 diverticules : l'un épais et courbé, l'autre grêle et contourné.

Espèce type : *Dendrocatantops inauratus* Descamps et Wintrebert, 1966.

1. Dendrocatantops inauratus Descamps et Wintrebert (loc. typ. : forêt de l'Ankarafantsika; holotype ♂, allotype ♀, Muséum Paris).

Dendrocatantops inauratus Descamps et Wintrebert, 1966 *a* : 30; 1966 *b* : 176.

Fig. 85. — Pronotum ♂ 4,8 à 5,6 mm, ♀ 6,8 à 7,8 mm; élytre ♂ 17 à 18,1 mm, ♀ 22,3 à 23,7 mm; fémur postérieur ♂ 12,5 à 13,7 mm, ♀ 16,1 à 17,1 mm.

♂. Côte frontale déprimée sur les 2/3 inférieurs, très peu rétrécie au niveau de l'angle fastigio-facial. Yeux à peu près 1,5 fois plus longs que larges, les extrémités non rétrécies; distance infra-oculaire nettement plus courte que la moitié du plus petit diamètre de l'oeil. Fastigium très légèrement déprimé au milieu; espace interoculaire environ 2 fois moins large que l'extrémité du fastigium. Angle postérieur du disque du pronotum à extrémité étroitement arrondie et bords droits, angle postérieur des lobes latéraux très largement arrondi. Saillie prosternale un peu comprimée latéralement à la base, légèrement inclinée vers l'arrière. Fémurs de la 1re paire de section subcirculaire, ceux de la 2e paire un peu comprimés latéralement. Élytres dépassant les genoux postérieurs; rapport de la longueur maximale à la largeur au niveau du point de rencontre de la nervure costale avec le bord antérieur = 0,75. Ailes au repos atteignant juste l'extrémité des élytres, le rapport de leur longueur à leur largeur maximale égal à 2. Rapport de la longueur des fémurs postérieurs à leur largeur maximale = 3,4. Bord postérieur du dernier tergite à étroite incision triangulaire. Plaque sus-anale subtriangulaire, traversée vers le milieu par une côte transversale plus saillante latéralement; moitié basale parcourue par une dépression longitudinale, étroite, bordée de 2 côtes; moitié apicale plane au milieu, un peu comprimée latéralement. Cerques atteignant juste l'extrémité de la plaque sus-anale, un peu incurvés à l'arrière, l'apex aigu, nettement courbé en dedans et apparaissant largement arrondi en vision latérale.

Épisternes métathoraciques plus clairs que l'ensemble du corps, jaunâtres. Face externe des fémurs postérieurs également plus claire que l'ensemble, avec 2 taches un peu plus foncées que la teinte de fond, traversant l'aire médiane et l'aire supérieure, l'aire inférieure uniformément brun foncé. Face interne avec aire médiane uniformément noire sauf une bande transversale subapicale; aire supérieure brunâtre avec 3 taches noires (plus ou moins marquées). Tibias postérieurs à moitié apicale rouge et moitié basale jaunâtre marbré de brun. Abdomen rougeâtre au-dessus, jaunâtre au-dessous; stigmates abdominaux cerclés de noir; une tache latérale noire sur chacun des derniers tergites.

♀. Proportions des élytres, des ailes et des fémurs comme chez le ♂. Épisternes métathoraciques moins clairs; abdomen de coloration brunâtre.

MADAGASCAR OUEST : Forêt de l'Ankarafantsika, X-1964 (*J. Têtefort et D. Wintrebert.*).

Genre **Perineta** Dirsh

Perineta Dirsh, 1962 *a* : 342.

Taille faible ou moyenne; corps moyennement épais. Tégument rugueux, luisant, éparsément pubescent. Antennes filiformes. Tête un peu renflée, subconique, le dessus subglobuleux; fastigium du vertex rétréci vers l'avant, à apex tronqué, la face dorsale concave; front oblique et un peu concave; côte frontale basse, légèrement convexe entre les antennes, parfois légèrement déprimée au-dessus et au-dessous des ocelles. Yeux grands, très convexes; espace interoculaire très étroit. Pronotum subcylindrique,

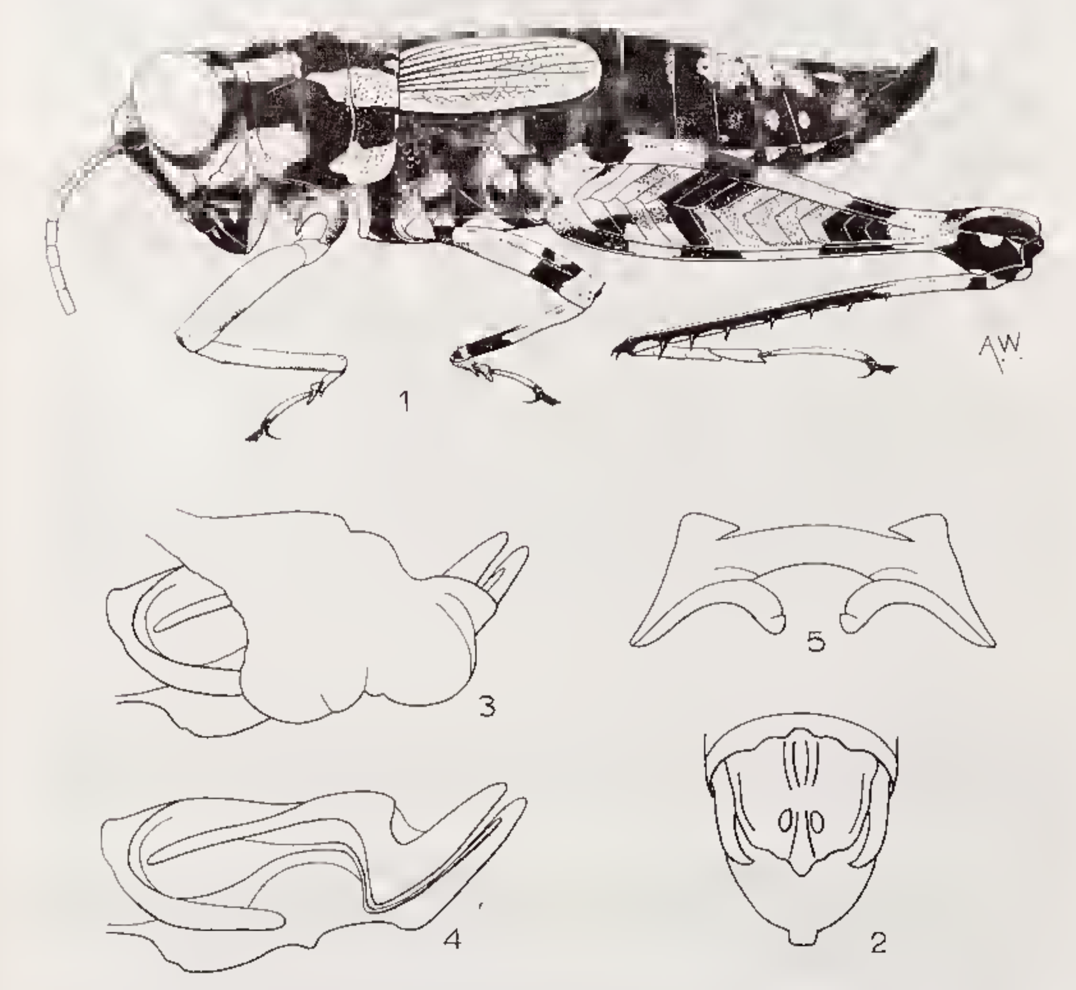


FIG. 86. — *Perineta bicolor* Dirsh, 1962. — 1, ♂ type. — 2, Extrémité abdominale ♂ dorsalement. — 3, Complexe phallique latéralement, membrane ectophallique et épiphalle enlevés. — 4, *id.*, l'essentiel du cingulum enlevé. — 5, Épiphalle.

s'élargissant vers l'arrière, sans carènes latérales; carène médiane formant 2 grandes saillies tubéreuses dans la prozone, obtuse dans la métazone; disque traversé par 3 sillons; métazone plus courte que la moitié de la prozone, son bord postérieur largement arrondi, presque droit. Saillie prosternale conique. Espace mésosternal plus large que long. Élytres lobiformes, latéraux, atteignant le 3e tergite abdominal. Un organe tympanal. Fémurs postérieurs grêles. Une épine apicale externe aux tibias postérieurs. Arolium grand. Dernier tergite abdominal à bord postérieur un peu relevé. Plaque sus-anale aussi large que longue, à côtés excurvés, l'apex anguleux et un peu rétréci; une paire de tubercules au milieu de la moitié postérieure. Cerques comprimés, se rétrécissant vers l'apex, ce dernier fortement courbé en dedans. Plaque sous-génitale conique de profil, l'extrémité comprimée frontalement, subcarrée en vision dorsale.

Phallus robuste. Valves basales et apicales du pénis réunies par une fine flexure. Valves apicales du pénis et valves du cingulum non engainées à l'extrémité. Arche du cingulum formant de longues saillies antérieures. Épiphalle en pont, à petites ancorae et lophi lobiformes, redressés. Plaque sous-génitale ♀ à extrémité triangulaire, non plurilobée. Spermathèque à ampoule terminale pourvue de 2 diverticules.

Espèce type : *Perineta bicolor* Dirsh, 1962.

1. **Perineta bicolor** Dirsh (loc. typ. : Perinet; type ♂, néallotype ♀, Muséum Paris).

Perineta bicolor Dirsh, 1962 *a* : 342; Descamps et Wintrebert, 1967 : 97.

Fig. 86. — Long. ♂, 12,5 à 14 mm. ♀ 18,5 à 19,7 mm; pronotum ♂ 2,8 à 3,5 mm, ♀ 4,1 à 4,6 mm; élytre ♂ 3,7 à 3,8 mm, ♀ 4,3 à 4,7 mm; fémur postérieur ♂ 8,5 à 9,2 mm, ♀ 11 à 12 mm.

♂. Espace interoculaire subégal à la moitié de la largeur des antennes en leur milieu. Vertex carinulé. Pronotum à convexités de la prozone peu élevées; bord inférieur des lobes latéraux convexe au milieu. Saillie prosternale à apex obtus. Espace mésosternal rétréci vers l'apex. Espace métasternal en triangle inversé. Apex des élytres arrondi; membrane mince à nervation et réticulation réduites. Plaque sus-anale ♂ à sillon longitudinal superficiel et côtés relevés.

Coloration générale brun foncé. Fastigium du vertex, milieu du front, joues et labre à taches ocre. Pronotum avec 2 paires de larges bandes longitudinales, ocre, interrompues au milieu. Élytres ocre pâle. Fémurs postérieurs ocre, avec 3 bandes transverses noirâtres des 2 côtés; genoux postérieurs bruns à tache ocre. Tibias postérieurs bruns à anneau ocre à la base et taches ocre sur la face externe. Tarses postérieurs rouges.

♀. Métazone du pronotum proportionnellement plus longue que chez le ♂. Élytres plus larges, atteignant le bord postérieur du 2e tergite abdominal. Métazone du pronotum jaune avec 2 bandes latérales bleues et 2 taches paramédianes, de même coloration, touchant au bord postérieur.

Madagascar Est : Perinet (*Chasseurs de l'I.R.S.M.*); Perinet, III-1932 et XI-1935 (*A. Seyrig*). — Rogez, II et XII-1932 (*A. Seyrig*).

Genre **Paraperineta** Descamps et Wintrebert

Paraperineta Descamps et Wintrebert, 1967 : 97.

Petit; tégument fortement rugueux à pilosité fine et clairsemée. Tête triangulaire de face, globuleuse en vision dorsale. Profil de la face oblique et légèrement incurvé. Fastigium déclive, subplan, tronqué. Côte frontale basse, légèrement saillante entre les antennes, subobsolète au-dessous de l'ocelle médian, légèrement déprimée au-dessus. Yeux grands et saillants; espace interoculaire très étroit. Antennes filiformes, beaucoup plus longues que la tête et le pronotum réunis. Pronotum subcylindrique, très peu élargi vers l'arrière, dépourvu de carènes latérales; disque traversé par 4 larges sillons, le bord postérieur saillant en angle obtus; carène médiane peu marquée dans la métazone, formant, dans la prozone, 2 mamelons situés l'un entre les 2 premiers sillons, l'autre entre les sillons 3 et 4. Métazone égale aux 2/3 de la prozone. Saillie prosternale courte et conique. Espace mésosternal transverse; lobes métasternaux subcontigus chez le ♂, largement distants chez la ♀. Brachyptère; ailes au repos atteignant l'extrémité des élytres. Tympan auditif présent. Carènes supéro-médiane et supéro-externe des fémurs postérieurs légèrement dentées. Pas d'épine apicale externe aux tibias postérieurs. Arolium grand. Bord postérieur du dernier tergite abdominal du ♂ formant 2 petits lobes juxtamédians; plaque sus-anale plus longue que large, triangulaire; cerques longs, comprimés latéralement à la base et régulièrement incurvés sur toute la longueur. Plaque sous-génitale du ♂ courte, l'extrémité largement arrondie en vision dorsale et latérale. Partie postérieure de la plaque sous-génitale de la ♀ triangulaire. Valves de l'oviscapte fortes, l'extrémité recourbée, les bords non dentés.

Complexe phallique robuste. Épiphalle en forme de pont, les ancorae de petite taille, les lophi triangulaires, courbés dorsalement, perpendiculaires au disque. Valves basales et apicales du pénis réunies par une flexure. Valves du cingulum soudées. Extrémité de l'endophalle recouverte d'une gaine submembraneuse; extrémité du pénis comprimée. Arche du cingulum épaisse; apodèmes courts; rami étroits. Spermathèque à ampoule terminale pourvue de 2 diverticules.

Espèce type : *Paraperineta curvicerca* Descamps et Wintrebert, 1967.

1. Paraperineta curvicerca Descamps et Wintrebert (loc. typ. : Rogez; holotype ♂, allotype ♀, Musée de Madrid).

Paraperineta curvicerca Descamps et Wintrebert, 1967 : 98.

Fig. 87. — Long. ♂ 13,5 à 15 mm, ♀ 20,7 à 23 mm; pronotum ♂ 3,7 à 3,8 mm, ♀ 5,3 à 6 mm; élytre ♂ 5,2 à 5,7 mm, ♀ 6 à 6,8 mm; fémur postérieur ♂ 8,9 à 9,5 mm, ♀ 12,2 à 12,4 mm.

♂. Côte frontale fortement rétrécie vers le bas. Espace interoculaire de largeur subégale à celle d'un article du flagelle antennaire. Antennes de 23 articles, de longueur subégale à la distance comprise entre l'extrémité du fastigium et l'extrémité des élytres. Espace compris entre les 2 premiers sillons du pronotum subégal à l'espace compris entre les 2 derniers. Apex de la saillie prosternale aigu. Bord antérieur des élytres fortement convexe, l'extrémité n'atteignant pas le milieu des fémurs postérieurs. Plaque sus-anale traversée par un sillon longitudinal et un sillon transverse.

Teinte générale jaune verdâtre. Antennes brunes, les 2 derniers articles jaunes. Mamelons du pronotum marqués de brun. Extrémité des fémurs et face supérieure des tibias antérieurs et médians vert foncé. Fémurs postérieurs jaunes, les genoux brun

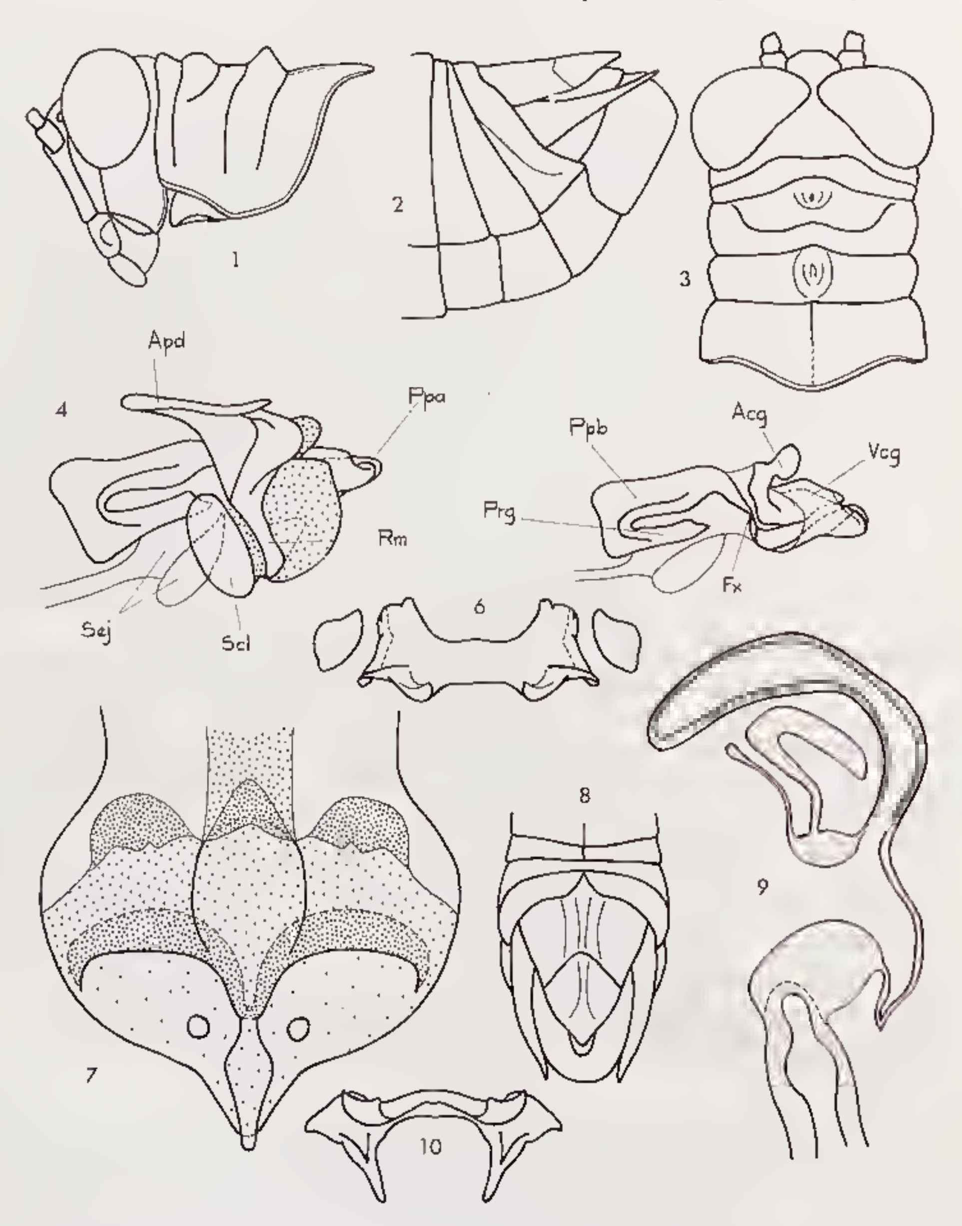


Fig. 87. — *Paraperineta curvicerca* Descamps et Wintrebert, 1967. — 1, Tête et pronotum ♂ latéralement. — 2, Extrémité abdominale ♂ latéralement. — 3, Tête et pronotum ♂ dorsalement. — 4, Complexe phallique latéralement. — 5, Endophalle latéralement. — 6, Épiphalle, lophi verticaux. — 7, Plaque sous-génitale ♀, face dorsale. — 8, Extrémité abdominale ♂ dorsalement. — 9, Spermathèque. — 10, Épiphalle, lophi à plat.

noir; tibias bleu foncé, pourvus d'un anneau subbasal jaune; tarses rouges. Élytres jaunes, bordés d'une fine bande brune; une ligne foncée, longitudinale dans le champ cubital; ailes légèrement enfumées. Cerques, partie médiane du bord postérieur du dernier tergite, bords et sillons de la plaque sus-anale de coloration noire.

♀. Côte frontale plus marquée que chez le ♂ au-dessous de l'ocelle médian. Cerques un peu comprimés latéralement, n'atteignant pas l'extrémité de la plaque sus-anale.

MADAGASCAR EST : Rogez, II et XII-1932 (*A. Seyrig*).

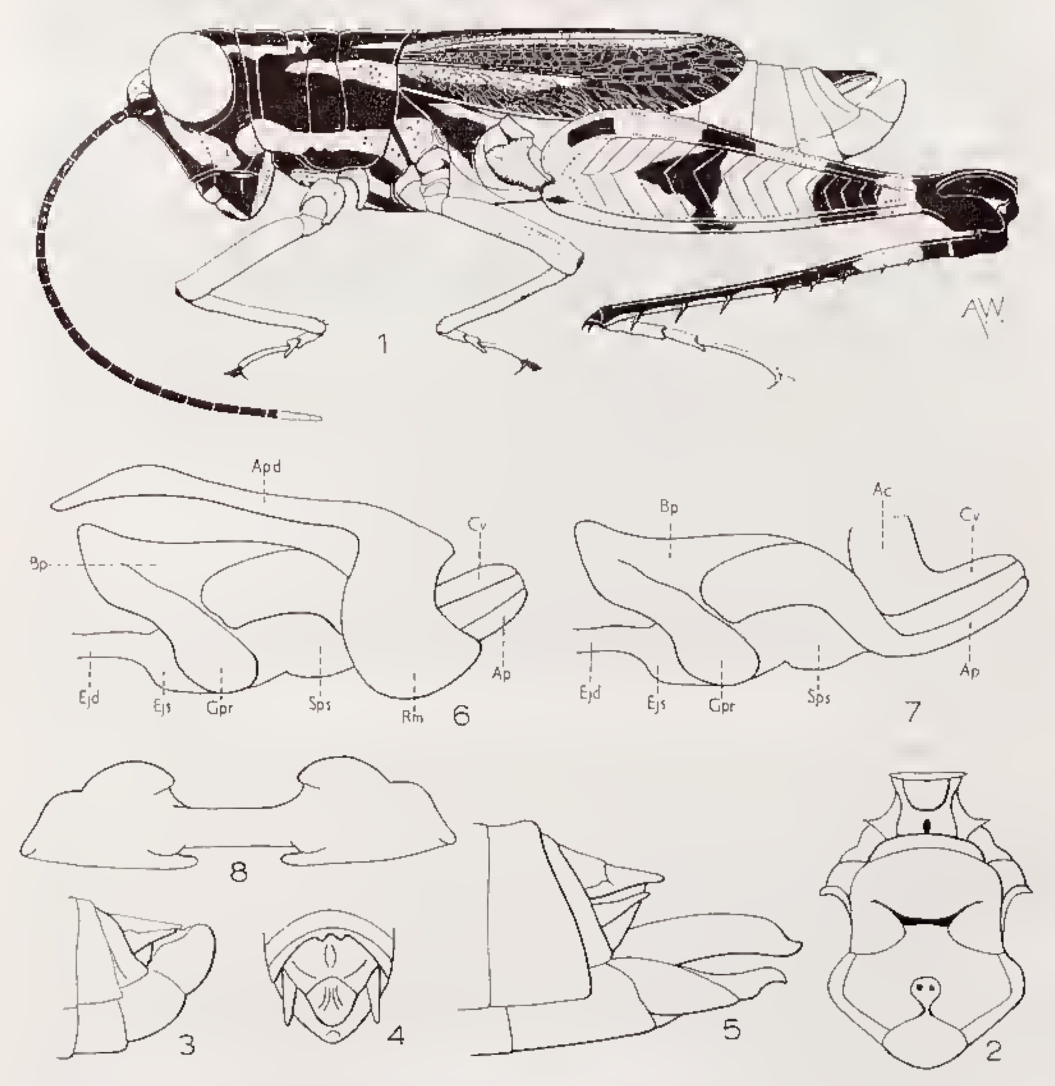


FIG. 88. — *Mananara fasciata* Dirsh, 1962. — 1, ♂ type. — 2, Sternum. — 3, Extrémité abdominale ♂ latéralement. — 4, *id.*, dorsalement. — 5, Extrémité abdominale ♀ latéralement. — 6, Complexe phallique latéralement, membrane ectophallique et épiphalle enlevés. — 7, *id.*, l'essentiel du cingulum enlevé. — 8, Épiphalle.

Genre **Mananara** Dirsh

Mananara Dirsh, 1962 *a* : 340.

Taille moyenne. Tégument finement rugueux, luisant, éparsement pubescent. Antennes grêles, filiformes, bien plus longues que la tête et le pronotum réunis. Fastigium du vertex fortement déclive, se rétrécissant vers l'apex, un peu déprimé, formant une courbe avec la côte frontale; espace interoculaire égal au 1/3 de la largeur du scape antennaire. Vertex et occiput subglobuleux; front un peu oblique et concave, à partie supérieure saillante vers l'avant; côte frontale basse, rétrécie sous l'ocelle médian, la partie supérieure saillante. Pronotum un peu étranglé au milieu, s'élargissant vers l'arrière; une faible carène médiane; pas de carènes latérales; disque traversé par 3 sillons; métazone bien plus courte que la prozone, son bord postérieur en angle obtus. Saillie prosternale courte, conique. Espace mésosternal plus large que long. Élytres et ailes raccourcis, atteignant le 7e tergite abdominal. Élytres à membrane épaisse, parcheminée; nervation et réticulation réduites; bord antérieur convexe; apex arrondi; ailes élargies, à marge externe fortement convexe. Un organe tympanal. Fémurs postérieurs dépassant l'extrémité de l'abdomen. Pas d'épine apicale externe aux tibias postérieurs. Arolium grand. Dernier tergite abdominal ♂ avec 2 petites saillies anguleuses; plaque sus-anale anguleuse, à apex obtus; cerques droits, coniques; plaque sous-génitale courte, subconique, à apex obtus.

Valves basales du pénis et processus du gonopore grands; valves apicales grandes, réunies aux valves basales par une épaisse flexure; arche et valves du cingulum de grande taille. Épiphalle à petites ancorae anguleuses et grands lophi lobiformes. Valves de l'oviscapte moyennement longues, étroites, un peu courbées à l'apex.

Espèce type : *Mananara fasciata* Dirsh, 1962.

Ce genre ressemble superficiellement à *Seyrigacris* par la coloration mais en diffère fortement par le pronotum élargi vers l'arrière, par la présence d'une carène médiane, par les élytres et les ailes raccourcis, par l'absence d'épine apicale externe aux tibias postérieurs, par les tarses postérieurs moins allongés et par les cerques ♂ coniques et rectilignes.

1. **Mananara fasciata** Dirsh (loc. typ. : baie d'Antongil, Nosy Mangabe; type ♂, Muséum Paris).

Mananara fasciata Dirsh, 1962 *a* : 341.

Fig. 88. — Long. ♂ 18 mm, ♀ 25 mm; pronotum ♂ 4,5 mm, ♀ 6 mm; élytre ♂ 8 mm, ♀ 11,2 mm; fémur postérieur ♂ 12 mm, ♀ 14 mm.

♂. Coloration générale noir brunâtre à bandes ocre, étroites, sur la tête, le pronotum et les élytres. Fémurs postérieurs jaunes à la face externe avec 2 bandes transverses noires et une petite tache noire sur le lobe basal supérieur; face interne à fascie préapicale et fascie médiane incomplète; genoux noirâtres des 2 côtés. Tibias postérieurs noirâtres, à anneau basilaire grisâtre clair.

♀. Comme le ♂ mais plus grande.

Madagascar Est : Tamatave, VII-1897. — Maroantsetra, XII-1897. — Mananara, Nosy Mangabe, Baie d'Antongil, IV-1958 (*E. Raharizonina*). — Fénérive, Manambato

sur l'Anove, Ambohimanakana (*A. Robinson*). — Ile Sainte-Marie, forêt de Kalalao, III-1960 (*A. Robinson*).

Genre **Ambrea** Dirsh

Ambrea Dirsh, 1962 *a* : 331.

Petit. Tégument moyennement rugueux. Antennes filiformes, un peu élargies vers l'apex, plus courtes que la tête et le pronotum réunis. Fastigium du vertex étroit, anguleux, à apex un peu tronqué et carinules latérales limitant une dépression médiane; distance interoculaire subégale à la largeur du scape antennaire; une carinule sur le vertex et l'occiput. Front oblique, presque droit; côte frontale étroite, plane, un peu saillante entre les antennes, un peu rétrécie au niveau de l'ocelle, les carinules latérales très faibles. Yeux et ocelles moyens. Pronotum subcylindrique; disque faiblement tectiforme, traversé par 3 sillons étroits; carène médiane linéaire; pas de carènes latérales; métazone bien plus courte que la prozone, son bord postérieur en angle obtus. Saillie prosternale transverse, spatulée, à apex échancré. Espace mésosternal ♂ aussi long que large, un peu plus long que large chez la ♀. Élytres fortement raccourcis, atteignant le bord postérieur du 2e tergite abdominal, se touchant dorsalement; aire précostale dilatée; apex arrondi; nervation et réticulation denses. Fémurs postérieurs moyennement grêles, dépassant un peu l'extrémité de l'abdomen; lobes inférieurs des genoux postérieurs arrondis. Arolium grand. Dernier tergite abdominal ♂ avec 2 saillies de taille moyenne. Plaque sus-anale allongée, anguleuse, à apex un peu atténué et côtés relevés; un sillon longitudinal superficiel au milieu. Cerques grêles, courbés en dedans, fortement rétrécis vers l'extrémité, l'apex aigu. Plaque sous-génitale courte, conique.

Complexe phallique relativement grand; apodèmes et rami de grande taille. Pas de gaine pénienne. Valves basales et apicales du pénis réunies par une flexure épaisse; valves apicales très grandes, robustes, lobiformes. Arche du cingulum de grande taille; valves du cingulum petites. Processus du gonopore allongé. Épiphalle en pont, à ancorae petites, anguleuses et lophi de grande taille, recourbés vers le haut. Plaque sous-génitale ♀ à apex anguleux. Valves de l'oviscapte moyennement courtes et grêles, à apex un peu courbé.

Espèce type : *Ambrea acuticerca* Dirsh, 1962.

Ce genre rappelle *Paraserpusilla* par son aspect général. Il en diffère par la forme des cerques ♂, aigus chez *Ambrea* et bifurqués chez *Paraserpusilla*. Les élytres de *Paraserpusilla* atteignent le 3e tergite abdominal et se chevauchent sur le dos, ils sont lobiformes chez *Ambrea*. Les 2 genres diffèrent également par la structure du complexe phallique et surtout par la forme des valves apicales du pénis et la structure de l'épiphalle.

1. Ambrea acuticerca Dirsh (loc. typ. : Montagne d'Ambre; type ♂, Muséum Paris).

Ambrea acuticerca Dirsh, 1962 *a* : 334.

Fig. 89. — Long. ♂ 15,5 mm, ♀ 21,6 mm; pronotum ♂ 4 mm, ♀ 5 mm; élytre ♂ 4,2 mm, ♀ 5 mm; fémur postérieur ♂ 9,6 mm, ♀ 12 mm.

♂. Antennes de 20 articles. Disque du pronotum moyennement rugueux; lobes latéraux un peu concaves. Coloration générale brunâtre. Lobes latéraux du pronotum à large bande brune, arquée; une tache ocre, diffuse, sur le bord inférieur; une tache plus petite, allongée, à la partie antéro-supérieure; pleures ocre; élytres bruns, les 2/3 basilaires de l'aire précostale noirâtres. Fémurs postérieurs bruns, la face interne brun foncé; tibias postérieurs brunâtres.

♀. Comme le ♂ mais plus grande. Coloration plus terne et sans tache noire sur l'élytre.

Madagascar Nord : Montagne d'Ambre, les Roussettes, 1 100 m, XI et XII-1958 (*P. Viette et A. Robinson*).

Genre **Paraserpusilla** Dirsh

Paraserpusilla Dirsh, 1962 *a* : 338.

Taille moyenne. Tégument moyennement rugueux. Antennes filiformes, un peu épaissies à l'apex, plus courtes que la tête et le pronotum réunis. Fastigium du vertex

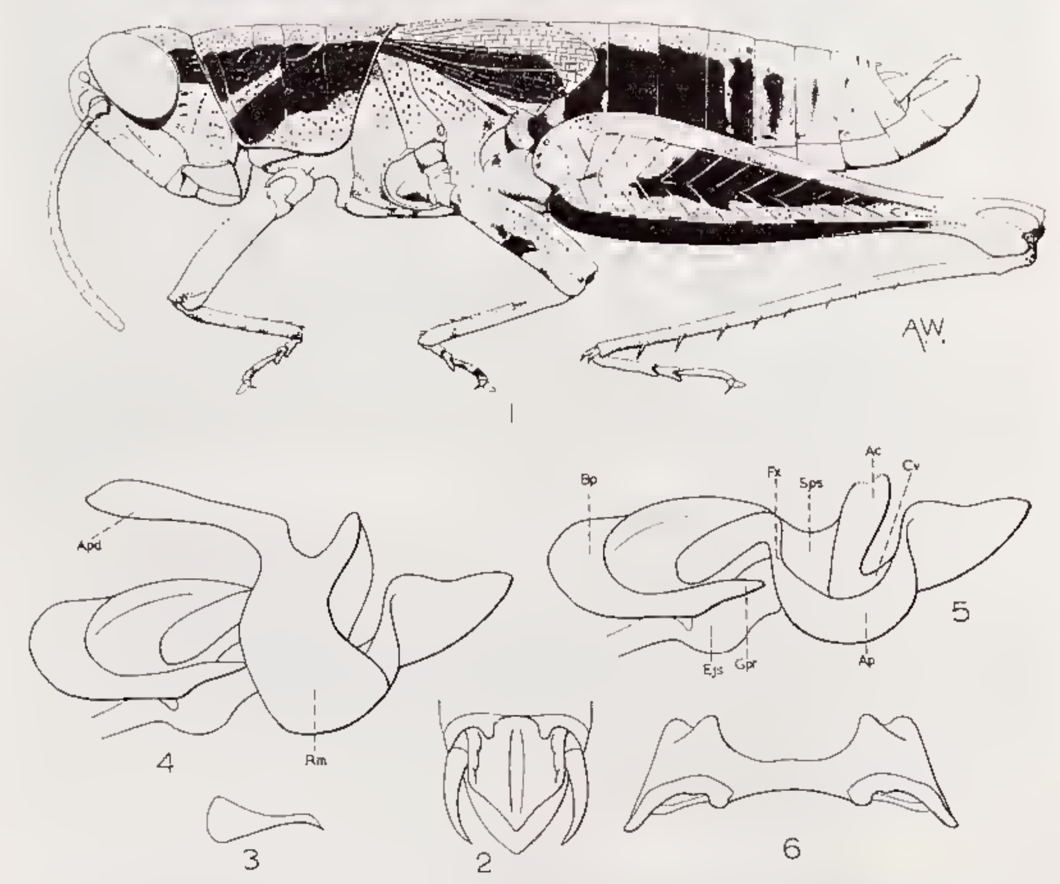


Fig. 89. — *Ambrea aculicerca* Dirsh. 1962. — 1, ♂. — 2, Extrémité abdominale ♂ dorsalement. — 3, Cerque gauche ♂. — 4, Complexe phallique, membrane ectophallique et épiphalle enlevés. — 5. *id.*, l'essentiel du cingulum enlevé. — 6, Épiphalle.

étroit, anguleux, à côtés concaves; carinules marginales faibles, s'étendant un peu sur le vertex et limitant une concavité longitudinale; espace interoculaire plus étroit que le scape antennaire; une carinule vertico-occipitale. Front oblique; côte frontale étroite, un peu saillante entre les antennes, un peu étranglée au niveau de l'ocelle médian, faiblement concave au-dessous. Yeux et ocelles grands. Pronotum subcylindrique, à carène médiane linéaire, vive, et sans carènes latérales; disque traversé par 3 sillons étroits; métazone bien plus courte que la prozone, son bord postérieur anguleux. Saillie prosternale transverse, épaisse, spatulée, à bord apical droit ou un peu incurvé. Espace mésosternal à peu près aussi long que large chez le ♂, plus large que long chez la ♀. Élytres et ailes abrégés, atteignant le 3e tergite abdominal et se chevauchant dorsalement; aire précostale un peu dilatée; apex arrondi; nervation et réticulation denses. Ailes plus courtes que les élytres. Fémurs postérieurs moyennement robustes, atteignant ou dépassant un peu l'extrémité de l'abdomen; lobes inférieurs des genoux postérieurs largement arrondis. Arolium grand. Deux longues saillies aiguës sur le bord postérieur du dernier tergite abdominal du ♂. Plaque sus-anale allongée, anguleuse, à bords relevés et étroit sillon longitudinal. Cerques courbés, à apex profondément bifurqué. Plaque sous-génitale courte, subconique.

Complexe phallique robuste. Apodèmes et rami de grande taille. Pas de gaine pénienne; connexion entre les valves basales et apicales du pénis assez épaisses: arche du cingulum robuste; processus du gonopore long. Épiphalle en pont; ancorae petites, anguleuses; lophi grands et lobiformes. Plaque sous-génitale ♀ à apex anguleux. Oviscapte court, à valves un peu courbées à l'apex.

Espèce type : *Paraserpusilla furcata*, Dirsh, 1962.

Ce genre diffère de *Serpusilla* Ramme, 1931 par les élytres, en contact dorsalement, par le bord postérieur du pronotum anguleux et non concave comme chez *Serpusilla*, et par les cerques ♂ bifurqués et non coniques. La structure du complexe phallique place le genre de façon indiscutable dans le groupe des *Serpusiae* mais l'épiphalle y est un peu inhabituel par ses lophi lobiformes, très développés.

1. **Paraserpusilla furcata** Dirsh (loc. typ. : Montagne des Français; type ♂, Muséum Paris).

Paraserpusilla furcata Dirsh, 1962 *a* : 340.

Fig. 90. — Long. ♂ 20 mm, ♀ 21 mm; pronotum ♂ 5 mm, ♀ 7 mm; élytre ♂ 6,8 mm, ♀ 9,2 mm; fémur postérieur ♂ 12 mm, ♀ 16,3 mm.

♂. Antennes de 20 articles. Disque du pronotum à rugosités régulières et réticulées; 2 callosités concaves sur les côtés. Lobes latéraux un peu concaves.

Coloration générale brune. Scape et pédicelle des antennes à points brun foncé. Lobes latéraux du pronotum bruns, luisants; partie inférieure ocre; de petites taches ocre sur la partie supérieure du bord antérieur. Élytres bruns à tache brun foncé luisant couvrant la partie basale de l'aire précostale. Face externe des fémurs postérieurs brunâtre; faces inférieure et interne rougeâtres, passant au brun vers l'apex. Tibias postérieurs brunâtres.

MADAGASCAR NORD : Diégo-Suarez, Montagne des Français, II-1959 (*P. Griveaud et A. Robinson*).

Genre **Calderonia** I. Bolivar

Calderonia I. Bolivar, 1908 : 246; DIRSH, 1962 *a* : 331.

Taille moyenne; corps robuste, fusiforme. Tégument rugueux. Antennes filiformes, plus longues que la tête et le pronotum réunis. Fastigium du vertex ♂ déprimé longitudinalement, à base anguleuse et saillante, la partie apicale carrée, l'apex échancré;

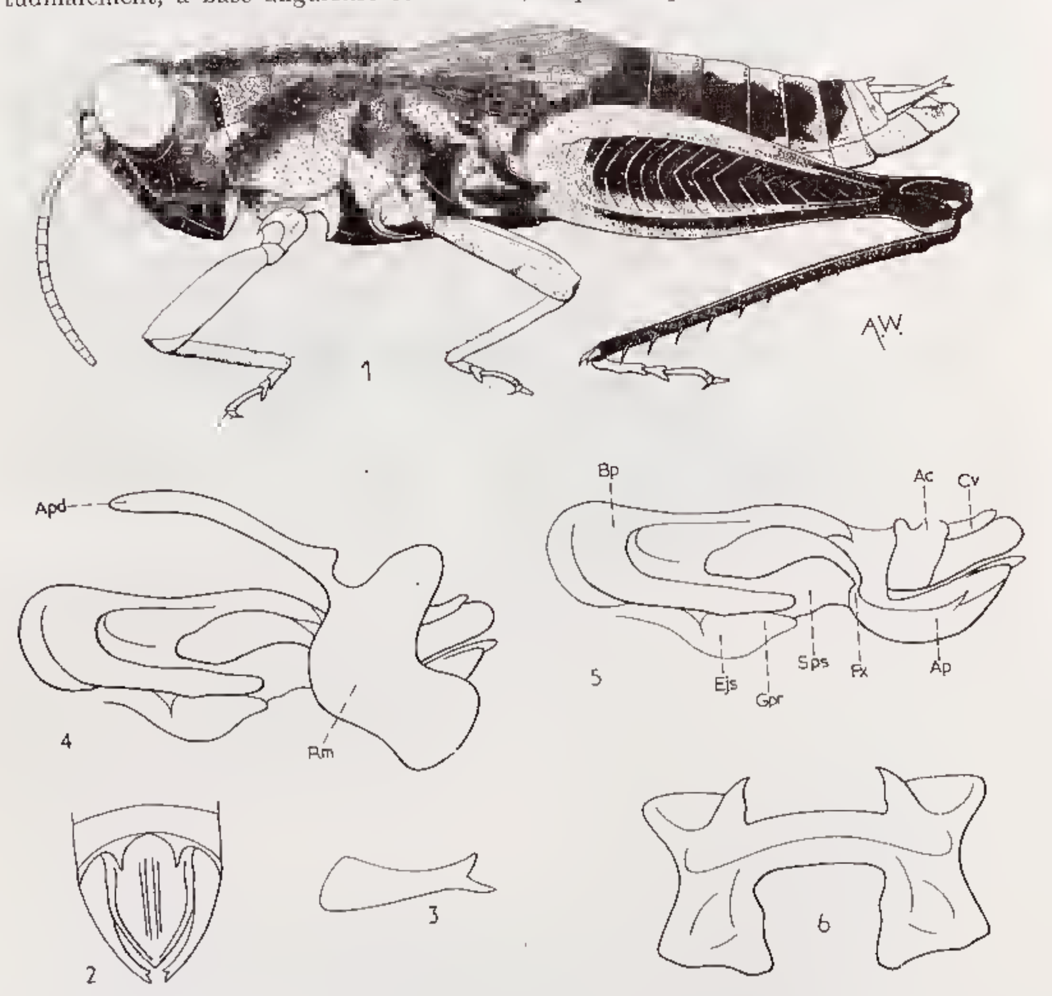


FIG. 90. — *Paraserpusilla furcata* Dirsh, 1962. — 1, ♂ type. — 2, Extrémité abdominale ♂ dorsalement. — 3, Cerque ♂ latéralement. — 4, Complexe phallique latéralement, membrane ectophallique et épiphalle enlevés. — 5, *id.*, l'essentiel du cingulum enlevé. — 6, Épiphalle.

fastigium de la ♀ déclive, trapézoïdal, l'apex presque tronqué; espace interoculaire égal (♂) ou un peu plus large (♀) que le scape antennaire; front un peu oblique; côte frontale saillante entre les antennes, profondément sillonnée chez le ♂, presque effacée sous l'ocelle. Pronotum subcylindrique, un peu étranglé dans la prozone; disque un peu renflé, traversé par 3 sillons; carène médiane linéaire; carènes latérales absentes

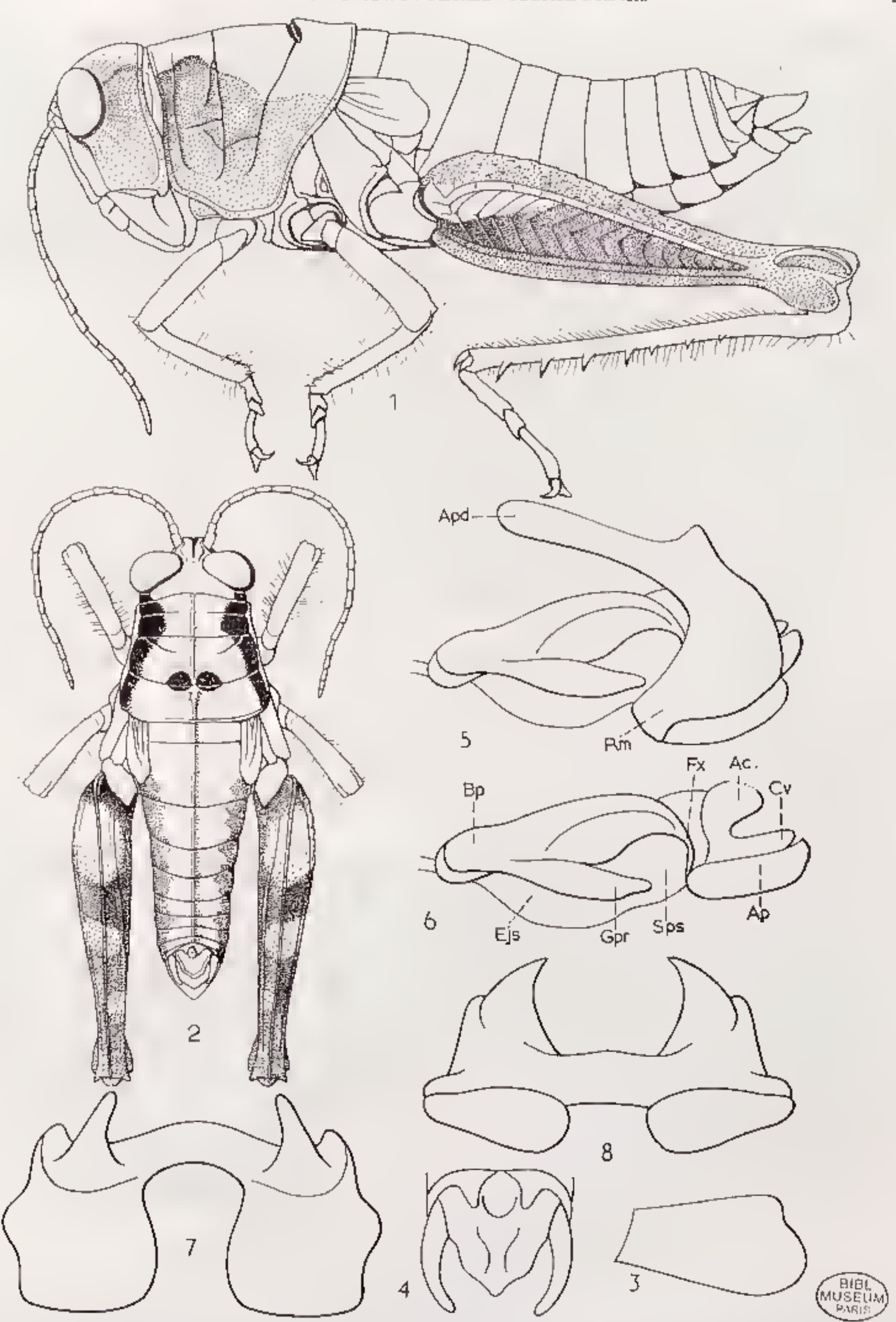


FIG. 91. — *Calderonia biplagiata* I. Bolivar, 1908. — 1, ♀. — 2, ♂. — 3, Élytre gauche. — 4, Extrémité abdominale ♂ dorsalement. — 5, Complexe phallique latéralement, membrane ectophallique et épiphalle enlevés. — 6, *id.*, l'essentiel du cingulum enlevé. — 7, Épiphalle, lophi en position horizontale. — 8, *id.*, lophi en position verticale.

ou distinctes à la partie antérieure de la prozone; 2 cavités ovales très profondes, en position juxtamédiane sur le sillon typique; métazone subégale à la moitié de la prozone, son bord postérieur droit; lobes latéraux du pronotum concaves. Saillie prosternale conique, la base large et l'apex aigu. Espace mésosternal plus large que long. Élytres lobiformes, latéraux, couvrant un grand tympan, élargis vers l'apex, échancrés à la partie supéro-apicale. Fémurs postérieurs moyennement grêles. Pas d'épine apicale externe aux tibias postérieurs. Arolium moyen. Deux grandes saillies sur le bord postérieur du dernier tergite abdominal ♂. Plaque sus-anale allongée, anguleuse, l'apex à peine rétréci. Cerques courts, courbés en dedans, à apex obtus. Plaque sous-génitale courte, subconique, à apex obtus.

Complexe phallique fort. Pas de gaine pénienne; rami grands; valves basales et apicales du pénis réunies par une longue flexure plutôt fine; valves apicales courtes, robustes; valves du cingulum robustes; arche du cingulum de grande taille. Épiphalle en pont à grandes ancorae anguleuses et lophi grands, relevés vers le haut, larges et lobiformes. Plaque sous-génitale ♀ à apex faiblement trilobé. Oviscapte robuste, court, à valves courbées à l'apex.

Espèce type : *Calderonia biplagiata* I. Bolivar, 1908.

Ce genre appartient sans doute au groupe des *Serpusiae* bien représenté à Madagascar, mais son complexe phallique est très différent de tout ce qui est connu.

1. **Calderonia biplagiata** I. Bolivar (loc. typ. : Diégo-Suarez; type ♂, Musée de Madrid).

Calderonia biplagiata I. Bolivar, 1908 : 247; Dirsh, 1962 *a* : 331.

Fig. 91. — Long. ♂ 15,3 mm, ♀ 29 mm; pronotum ♂ 5 mm, ♀ 8 mm; élytre ♂ 3 mm, ♀ 4 mm; fémur postérieur ♂ 12 mm, ♀ 16 mm.

♂. Antennes de 23 articles. Disque du pronotum fortement rugueux et granuleux. Bord inférieur des lobes latéraux convexe. Élytres à grossier réseau de nervules, les nervures principales reconnaissables seulement à la base.

Coloration générale brune. Deux premiers articles des antennes noirâtres à la face inférieure; joues et partie inférieure des lobes latéraux du pronotum ocre sale; partie supérieure des lobes latéraux à bande brune arquée; cavités du disque du pronotum noires. Face externe des fémurs postérieurs brune, à courte bande ocre sur la partie basale supérieure; face interne noire. Tibias postérieurs brunâtres.

♀. Comme le ♂ mais plus grande. Même coloration.

Madagascar Nord : Diégo-Suarez.

Madagascar Sambirano : Nosy Komba, flanc Nord, V-1956 (*A. Robinson*).

Genre **Serpusiacris** Descamps et Wintrebert

Serpusiacris Descamps et Wintrebert, 1967 : 100.

Petit; tégument ponctué, peu rugueux. Profil de la face fortement oblique, subrectiligne. Fastigium déclive, subtrapézoïdal, faiblement déprimé, non incisé à l'extrémité. Espace interoculaire près de 2 fois plus large que le scape antennaire. Côte

frontale plane, ponctuée, rétrécie au-dessous du fastigium et au-dessous de l'ocelle médian; partie inférieure à bords subparallèles. Vertex et occiput parcourus par une forte carinule. Yeux grands, modérément saillants. Antennes filiformes, nettement plus courtes que la tête et le pronotum réunis, tous les articles du flagelle transverses. Partie dorsale du pronotum subcylindrique, un peu aplatie, traversée par 3 sillons très fins; carène médiane bien nette. Lobes latéraux réunis au disque par une large convexité; pas de carènes latérales mais une simple callosité à la partie antérieure de la prozone. Métazone égalant le 1/3 de la prozone, le bord postérieur concave. Saillie prosternale épaisse, comprimée frontalement, l'extrémité simple, renflée. Espace

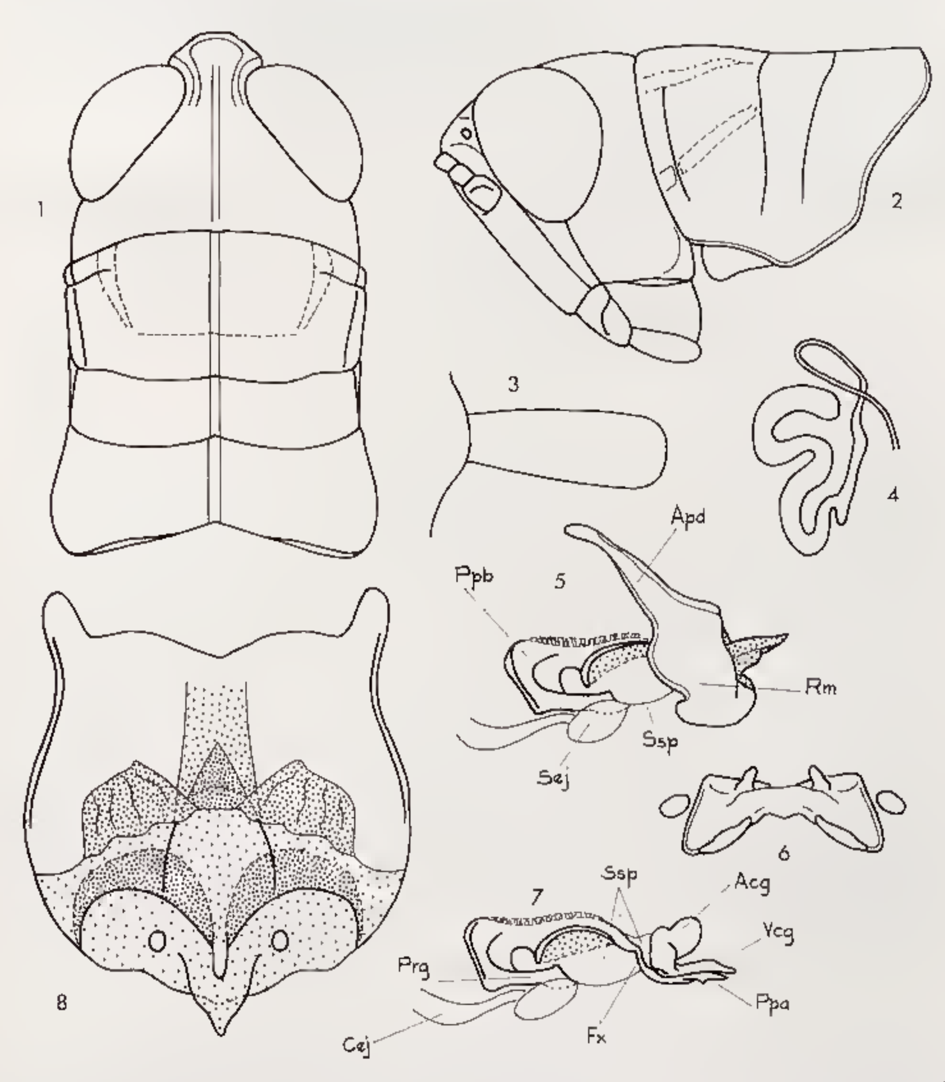


FIG. 92. — *Serpusiacris alticola* Descamps et Wintrebert, 1967. — 1. Tête et pronotum ♂ dorsalement. — 2, *id.*, latéralement. — 3, Élytre. — 4, Spermathèque. — 5, Complexe phallique latéralement. — 6, Épiphalle. — 7, Endophalle latéralement. — 8. Plaque sous-génitale ♀, face dorsale.

mésosternal subcarré chez le ♂, transverse chez la ♀. Microptère; élytres de largeur constante, recouvrant le tympan auditif. Fémurs antérieurs et médians épais; carène supérieure des fémurs postérieurs lisse. Pas d'épine apicale externe aux tibias postérieurs; arolium grand. Bord postérieur du dernier tergite abdominal du ♂ pourvu d'une paire de petits lobes arrondis, peu saillants. Plaque sus-anale triangulaire. Cerques courts, coniques. Plaque sous-génitale du ♂ conique, peu saillante; partie terminale de la plaque sous-génitale de la ♀ en triangle peu allongé. Valves de l'oviscapte courtes, un peu recourbées à l'extrémité.

Épiphalle en forme de pont, les ancorae de petite taille, les lophi lobiformes. Rami de grande taille. Valves basales et apicales du pénis réunies par une épaisse flexure. Valves du cingulum et extrémité du pénis recouvertes par une fine membrane. Arche du cingulum et processus du gonopore épais. Ampoule terminale de la spermathèque en forme de S, pourvue d'un petit diverticule basal.

Espèce type : *Serpusiacris alticola* Descamps et Wintrebert, 1967.

Diffère du genre *Serpusilla* par les antennes plus courtes, par l'absence de callosités latérales sur le disque du pronotum, par la côte frontale non sillonnée, à bords non saillants, par la carène supérieure des fémurs postérieurs lisse.

1. **Serpusiacris alticola** Descamps et Wintrebert (loc. typ. : Massif du Tsaratanana; holotype ♂, allotype ♀, Muséum Paris).

Serpusiacris alticola Descamps et Wintrebert, 1967 : 100.

Fig. 92. — Long. ♂ 12,6 à 14,8 mm, ♀ 19 à 21,6 mm; pronotum ♂ 2,8 à 3,1 mm, ♀ 3,5 à 4,2 mm; élytre ♂ 1,8 à 2,4 mm, ♀ 2 à 3,2 mm; fémur postérieur ♂ 7,5 à 8,1 mm, ♀ 9,4 à 10,7 mm.

♂. Antennes de 20 articles. Disque du pronotum longitudinalement convexe dans la prozone, subplan dans la métazone, le 1er sillon à peine décelable. Lobes latéraux pourvus d'une callosité oblique, de coloration jaune, s'étendant du bord antérieur au sillon 2. Saillie prosternale inclinée vers l'arrière. Espace mésosternal un peu plus long que large.

Teinte générale brun très foncé. Face et pattes antérieures et médianes vert foncé varié de jaune et de brun. Clypéus marqué de rouge. Face inférieure du corps jaunâtre, teinté de vert sur le thorax et de rougeâtre sur l'abdomen. Une tache jaune à l'angle postérieur des lobes latéraux du pronotum : une bande de même couleur sur les épisternes métathoraciques. Aire médiane externe des fémurs postérieurs vert foncé avec une bande blanc jaunâtre, brièvement interrompue, longeant la carène inférieure et n'atteignant pas le genou; aire médiane interne brun noir; face supérieure brun jaunâtre, terne, très foncé; aire inféro-externe brun noir; aire inféro-interne teintée de rougeâtre; lobes géniculaires rougeâtres. Tibias postérieurs brun rouge (parfois verdâtres) à la base, la moitié apicale rouge. Élytres bruns, l'angle postéro-interne jaunâtre.

♀. Allotype. Côte frontale très légèrement déprimée au-dessous de l'ocelle. Teinte générale un peu plus foncée que chez le ♂; comme chez ce dernier, 2 taches jaunes sur les lobes latéraux du pronotum mais épisternes métathoraciques de même couleur que l'ensemble du corps.

MADAGASCAR SAMBIRANO : Massif du Tsaratanana entre 2 600 et 2 780 m, XI-1966 (*D. Wintrebert*).

Genre **Serpusiformia** Dirsh

Serpusiformia Dirsh, 1966 : 540.

Petit et robuste. Tégument légèrement rugueux, granuleux et ponctué. Antennes filiformes, plus courtes que la tête et le pronotum réunis. Fastigium du vertex

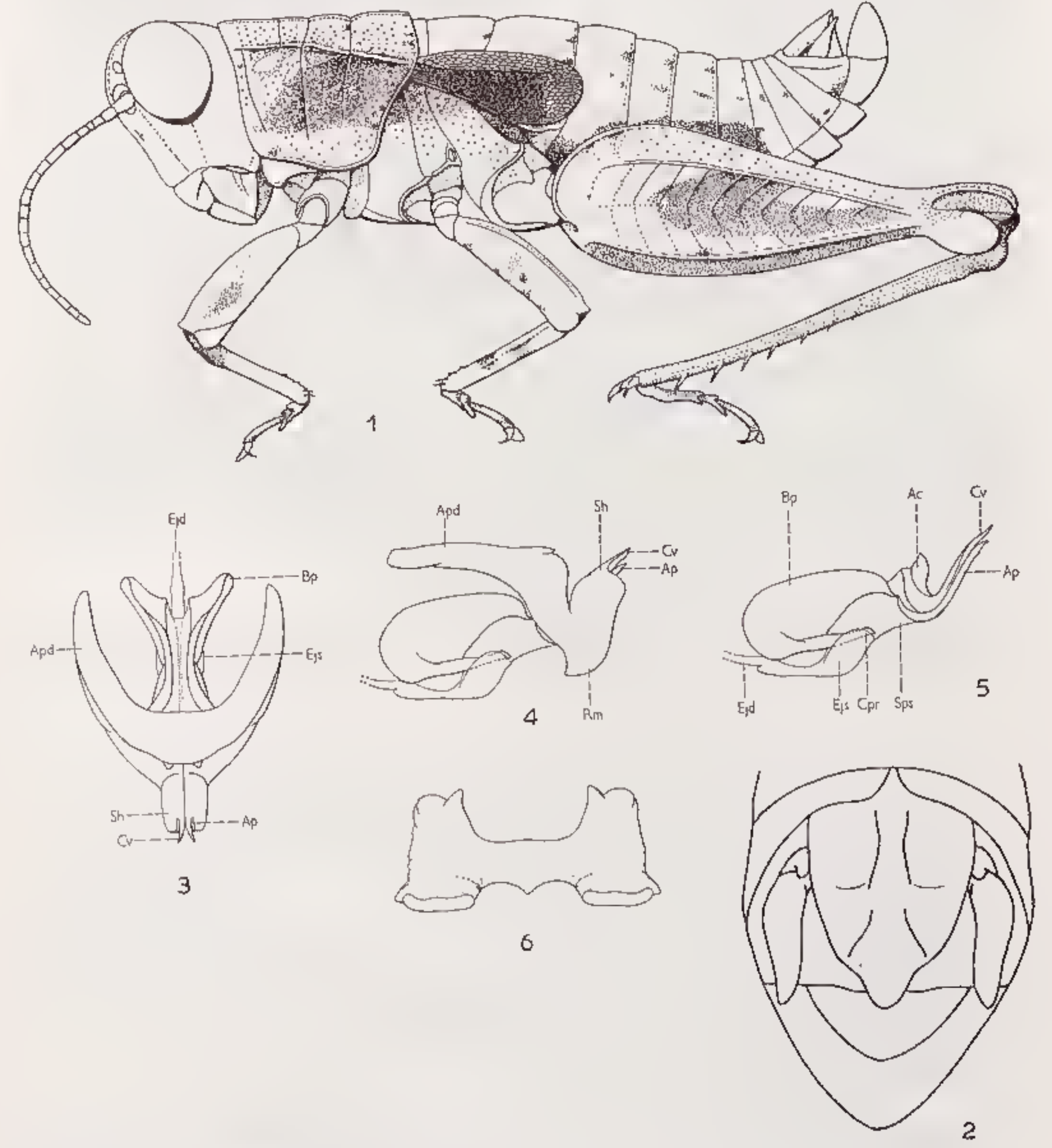


FIG. 93. — *Serpusiformia malagassa* Dirsh, 1966. — 1, ♂. — 2, Extrémité abdominale ♂ dorsalement. — 3, Complexe phallique dorsalement. — 4, *id.*, oatéralement. — 5, Endophalle latéralement. — 6, Épiphalle.

petit, court, trapézoïdal, se confondant avec le front en une large convexité. Espace interoculaire plus étroit que le scape antennaire; 2 carinules latérales limitant un sillon médian. Une faible carinule vertico-occipitale. Front oblique, légèrement saillant à la partie supérieure; côte frontale étroite, faiblement déprimée, les carinules latérales presque parallèles et divergentes vers le bas. Ocelles grands. Yeux grands, ovales, fortement convexes. Disque du pronotum légèrement tectiforme, traversé par 3 profonds sillons; carène médiane forte, coupée par les 3 sillons; carènes latérales irrégulières, divergentes vers l'arrière, l'extrémité légèrement bilobée. Microptère; élytres atteignant le bord postérieur du 1er tergite abdominal, étroits à la base, s'élargissant vers l'arrière, le bord antérieur excurvé; rémigium et partie vanale séparés par une épaisse nervure; extrémité arrondie; nervation réduite et presque indiscernable. Tympan ouvert, de grande taille. Fémurs postérieurs épais, atteignant ou dépassant l'extrémité de l'abdomen; lobes inférieurs des genoux arrondis. Pas d'épine apicale externe aux tibias postérieurs; éperons courts, plus longs à la face interne qu'à la face externe. Arolium grand. Plaque sus-anale allongée et anguleuse chez les 2 sexes. Cerques simples, coniques. Plaque sous-génitale courte, subconique chez le ♂, le bord postérieur en angle obtus chez la ♀. Oviscapte court, les valves légèrement courbées à l'extrémité.

Valves apicales du pénis longues et grêles, l'apex aigu; valves du cingulum longues, dépassant l'extrémité des valves apicales du pénis; les unes et les autres couvertes par une gaine pénienne sauf les parties latéro-apicales. Flexure courte; valves basales du pénis grandes, saillantes latéralement; processus du gonopore long et étroit. Zygoma et apodèmes courts. Épiphalle à pont court et plutôt large, les ancorae courtes, les lophi larges, courbés dorsalement.

Espèce type : *Serpusiformia malagassa* Dirsh, 1966.

1. Serpusiformia malagassa Dirsh (loc. typ. : Marovoay, forêt de l'Ankarafantsika; holotype ♂, allotype ♀, Académie des Sciences de Californie).

Serpusiformia malagassa Dirsh, 1966 : 542.

Fig. 93. — Long. ♂ 17 mm, ♀ 31 mm; pronotum ♂ 4,4 mm, ♀ 6,5 mm; élytre ♂ 4 mm, ♀ 5 mm; fémur postérieur ♂ 10,6 mm, ♀ 16 mm.

♂. Antennes de 19 articles. Saillie prosternale un peu plus longue que large. Espace métasternal ouvert, en triangle inversé.

Teinte générale brunâtre; lobes latéraux du pronotum brunâtres à la partie inféro-postérieure; rémigium de l'élytre noir, sauf le 1/3 apical; aires médianes, externe et interne, des fémurs postérieurs avec une bande noirâtre; aire inféro-externe brune; aire inféro-interne rougeâtre; tibias postérieurs gris brun.

♀. Beaucoup plus grande que le ♂. Antennes de 20 articles. Espace mésosternal plus large que long.

Madagascar Ouest : Forêt de l'Ankarafantsika, près de Marovoay, XII-1959 (*E.S. Ross*); poste d'Ampijoroa, Tsaramandroso; poste d'Ampijoroa, I-1967 (*D. Wintrebert*); km 478, route de Majunga, XII-1966 (*D. Wintrebert*); km 479, XII-1966 (*D.*

Wintrebert); km 457, I-1967 (*D. Wintrebert*). — Bongolava, 50 km Sud-Ouest de Port Bergé, I-1967 (*D. Wintrebert*).

Genre **Serpusilla** Ramme

Serpusilla RAMME, 1931 : 938; DIRSH, 1962 *a* : 334.

Taille petite. Tégument rugueux. Antennes filiformes, plus longues ou plus courtes que la tête et le pronotum réunis. Fastigium du vertex déclive, anguleux, déprimé, à apex obtus, un peu échancré; espace interoculaire un peu plus large que le cape antennaire; front oblique, presque rectiligne, à partie supérieure un peu saillante; côte frontale étroite, légèrement sillonnée, les carinules latérales obtuses, un peu divergentes vers le bas; une forte carinule vertico-occipitale. Pronotum fortement ou faiblement rugueux; disque subcylindrique ou un peu tectiforme, traversé par 3 sillons; carène médiane faible; carènes latérales remplacées par des callosités; métazone à peu près égale au 1/3 de la prozone, son bord postérieur concave. Saillie prosternale épaisse, spatulée, à apex légèrement bilobé. Espace mésosternal un peu plus long que large. Élytres étroits, lobiformes, latéraux, dépassant un peu le 1er tergite abdominal et couvrant le tympan. Fémurs postérieurs grêles. Pas d'épine apicale externe aux tibias postérieurs. Arolium grand. Deux saillies arrondies sur le bord postérieur du dernier tergite abdominal ♂. Plaque sus-anale allongée, anguleuse. Cerques étroits, coniques, droits. Plaque sous-génitale courte, conique.

Phallus robuste, à apodèmes et rami relativement courts. Valves basales et apicales du pénis réunies par une épaisse flexure. Valves du cingulum et valves apicales du pénis grandes, engainées. Arche du cingulum grande. Épiphalle en pont, à ancorae petites, anguleuses et lophi lobiformes. Valves de l'oviscapte grêles, à apex courbé.

Espèce type : *Bibracte (?) malagassa* Bruner, 1910.

Ce genre est proche d'*Auloserpusia* Rehn, 1914, mais en diffère par la forme de la saillie prosternale en spatule (conique chez *Auloserpusia*), par le pronotum moins rugueux et les élytres plus longs.

CLÉ DES ESPÈCES (♂, ♀)

1 (4) Tégument fortement rugueux, en particulier sur le pronotum; carène médiane du pronotum presque effacée 2

2 (3) Disque du pronotum à callosités latérales relativement faibles; face dorsale du corps à bandes transverses sombres et claires en alternance; carènes latérales de la face sombres et apex de l'abdomen du ♂ rouge (fig. 94) . . . . 1. **S. erythropyga**

3 (2) Disque du pronotum un peu aplati, à fortes callosités latérales; face dorsale du corps sans bandes alternes sombres et claires; carènes latérales de la face et apex de l'abdomen du ♂ jaunes (fig. 95) . 2. **S. ochreopyga**

a (d) Aire supéro-externe des fémurs postérieurs rouge vif, cette coloration débordant, à la base, sur l'aire médiane externe . . . . b

b (c) Lobes latéraux du pronotum noirs avec une tache triangulaire de coloration jaune à la partie supéro-antérieure; face supérieure des fémurs postérieurs à bande noire juxtamédiane complète s'étendant

de la carène supéro-interne à la carène supéro-externe. Tibias postérieurs de la ♀ complètement rouges . . . . . . ***S. o. ochreopyga***

c (b) Lobes latéraux du pronotum noirs avec 2 taches de coloration rouge vif; face supérieure des fémurs postérieurs à bande noire juxtamédiane incomplète, s'étendant de la carène supéro-interne à la carène médiane (♀ *inconnue*). . . . . ***S. o. rubroornata***

d (a) Aire supéro-externe des fémurs postérieurs monochrome, jamais rouge . . . . e

e (f) Aire supéro-externe des fémurs postérieurs jaune; aire médiane externe entièrement rouge très foncé; taille plus grande. Tibias postérieurs de la ♀ jaunes sur les 2/3 apicaux. . . . . ***S. o. flavipes***

f (e) Aire supéro-externe et aire médiane externe des fémurs postérieurs vertes; taille plus petite. Tibias postérieurs de la ♀ verts . ***S. o. viridipes***

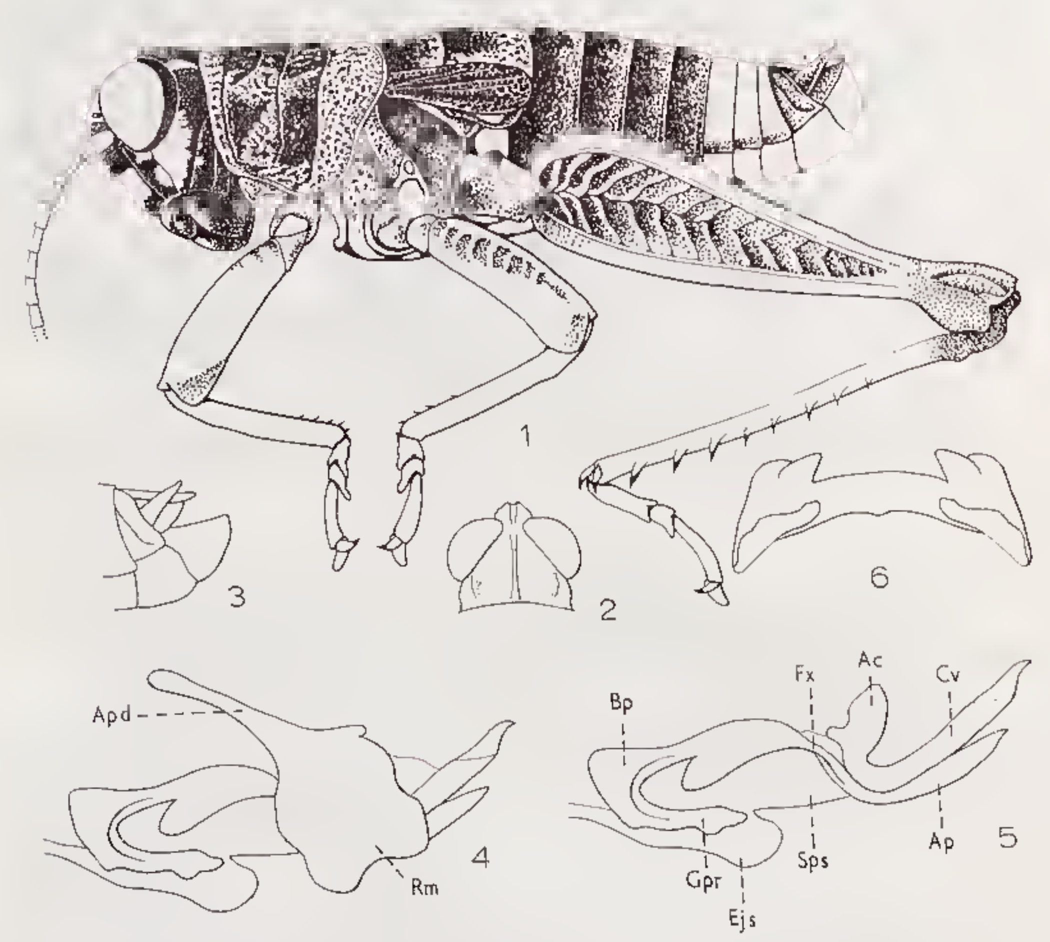


Fig. 94. — *Serpusilla erythropyga* Chopard, 1952. — 1, ♂ type. — 2, Tête dorsalement. — 3, Extrémité abdominale ♂ latéralement. — 4, Complexe phallique latéralement, membrane ectophallique et épiphalle enlevés. — 5, *id.*, l'essentiel du cingulum enlevé. — 6, Épiphalle.

4 (1) Tégument moyennement rugueux; lobes latéraux du pronotum brillants; caréne médiane distincte 5

5 (6) Fastigium du vertex fortement déprimé; disque du pronotum moyennement rugueux; tibias postérieurs rougeâtres (fig. 95) . . . 3. **S. malagassa**

6 (5) Fastigium du vertex faiblement déprimé; disque du pronotum un peu rugueux; tibias postérieurs à légère teinte verdâtre (fig. 95) . 4. **S. glabra**

1. **Serpusilla erythropyga** Chopard (loc. typ. : Massif du Tsaratanana; type ♂, Muséum Paris).

Serpusilla erythropyga Chopard, 1952 : 514; DIRSH, 1962 *a* : 338.

Fig. 94. — Long. ♂ 15,5 mm, ♀ 24 mm; pronotum ♂ 3,7 à 3,8 mm, ♀ 3,8 mm; élytre ♂ 3 mm, ♀ 4 mm; fémur postérieur ♂ 10 mm, ♀ 13,8 mm.

♂. Corps cylindrique. Tégument fortement rugueux et éparsément pubescent. Fastigium du vertex largement obtus. Pronotum subcylindrique, à carène médiane effacée; carènes latérales représentées par des callosités.

Coloration générale brun noirâtre à taches jaunâtres et rouges. Fastigium du vertex, joues, front, clypéus et labre à grandes taches ocre. Pronotum brun rouille, à tache brun noirâtre sur le disque et les lobes latéraux. Tous les fémurs brun jaunâtre; tibias et tarses verts; genoux postérieurs rouges. Cinq premiers tergites abdominaux brun noirâtre foncé à bandes transverses brun jaunâtre. Apex de l'abdomen rouge cinabre vif.

MADAGASCAR SAMBIRANO : Massif du Tsaratanana, 1 500 m, zone de la forêt à mousses et sous-bois herbacés, X-1949 (*R. Paulian*).

2. **Serpusilla ochreopyga** Dirsh (loc. typ. : Massif du Marojejy, Anjanaharibe; type ♂, Muséum Paris).

Serpusilla ochreopyga Dirsh, 1962 *a* : 337; DESCAMPS et WINTREBERT, 1967 : 102.

S. o. ochreopyga Dirsh

Fig. 95. — Long. ♂ 14,5 à 15 mm, ♀ 22 à 22,5 mm; pronotum ♂ 4 mm, ♀ 5 à 5,5 mm; élytre ♂ 3 mm, ♀ 4 mm; fémur postérieur ♂ 11 mm, ♀ 14,6 à 15 mm.

♂. Corps un peu fusiforme. Tégument fortement rugueux. Fastigium du vertex étroit, anguleux, à concavité étroite. Disque du pronotum un peu aplati, à fortes callosités latérales.

Coloration générale brun noirâtre. Antennes brunâtres à partie apicale plus claire. Fastigium du vertex, front, clypéus et joues jaunes; côte frontale à fascie transverse noirâtre au niveau de l'ocelle, continue avec de grandes taches noirâtres à la base des antennes. Pronotum noirâtre, à tache jaune dans la partie antérieure des lobes latéraux; abdomen brunâtre à taches jaunâtres pas très distinctes; apex de l'abdomen ocre sale à partir du 6e segment; pleures à tache rouge vif; élytres noirs. Deux premières paires de pattes vert clair. Face externe des fémurs postérieurs noire, à bande longitudinale rouge vif dans la moitié basale supérieure, interrompue par une tache noire dans la

région postérieure; aire supéro-externe rouge vif; une bande noire juxta-médiane traversant la face supérieure; tibias postérieurs vert foncé.

♀. Comme le ♂ mais plus grande. Apex de la plaque sous-génitale un peu anguleux. Valves de l'oviscapte grêles, à apex légèrement courbé.

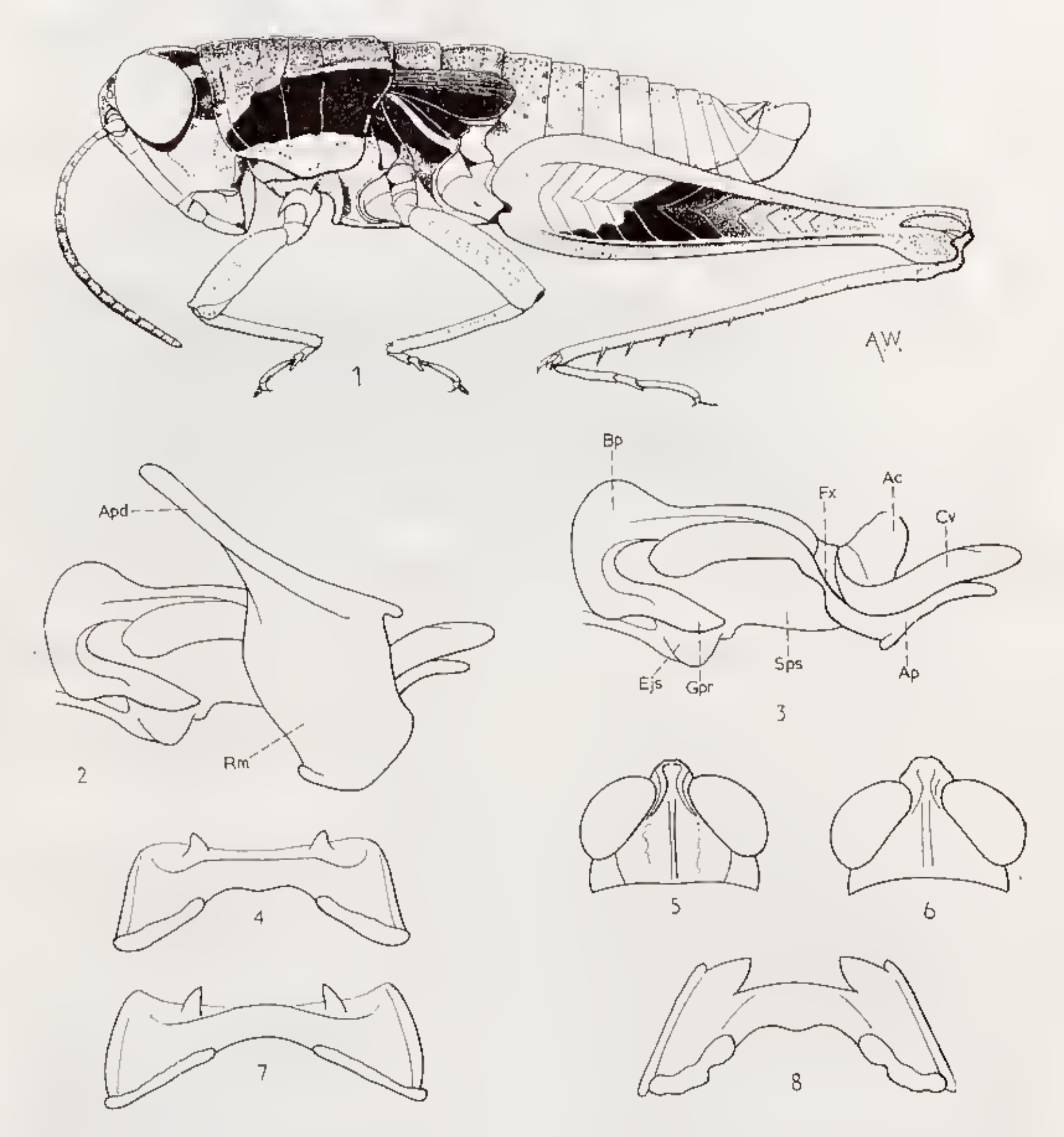


FIG. 95. — 1 à 5, *Serpusilla malagassa* (Bruner, 1910). — 1, ♂. — 2, Complexe phallique latéralement, membrane ectophallique et épiphalle enlevés. — 3, *id.*, l'essentiel du cingulum enlevé. — 4, Épiphalle. — 5, Tête dorsalement.
— 6 et 7, *Serpusilla glabra* Dirsh, 1962. — 6, Tête dorsalement. — 7, Épiphalle — 8, *Serpusilla ochreopyga* Dirsh, 1962, Épiphalle.

Coloration générale uniformément brunâtre, sans dessins. Face externe des fémurs postérieurs brune, ocre à la partie basale supérieure; partie inférieure et base de la face interne rouge foncé; genoux postérieurs rouge foncé; tibias postérieurs rouges.

MADAGASCAR EST : Massif du Marojejy, Aujanaharibe, 1 600 m, IV-1960 (*P. Soga*).

S. o. rubroornata Descamps et Wintrebert, 1967 : 102 (loc. typ. : Massif du Marojejy; holotype ♂, Muséum Paris).

Long. 13,7 à 13,9 mm; pronotum 3,2 à 3,4 mm; élytre 2,2 à 2,4 mm; fémur postérieur 9,4 à 9,6 mm.

Diffère de la sous-espèce nominative comme indiqué dans la clé ci-dessus.

MADAGASCAR EST : Massif du Marojejy, Réserve naturelle intégrale XII, 1 140 m, XI-1959 (*P. Soga*).

S. o. flavipes Descamps et Wintrebert, 1967 : 102 (loc. typ. : Massif du Tsaratanana; holotype ♂, allotype ♀, Muséum Paris.

Long. ♂ 13 à 15,4 mm, ♀ 19,4 à 24 mm; pronotum ♂ 3,4 à 3,9 mm, ♀ 4,4 à 5,3 mm; élytre ♂ 2 à 2,7 mm, ♀ 3,3 à 3,9 mm; fémur postérieur ♂ 9,3 à 9,8 mm, ♀ 11,9 à 13,5 mm.

Diffère de la sous-espèce nominative comme indiqué dans la clé ci-dessus.

MADAGASCAR SAMBIRANO : Massif du Tsaratanana, 1 500 à 2 500 m, XI-1966 (*D. Wintrebert*).

S. o. viridipes Descamps et Wintrebert, 1967 : 102 (loc. typ. : Manongarivo; holotype ♂, allotype ♀, Muséum Paris).

Long. ♂ 12,4 à 12,9 mm, ♀ 17,9 mm; pronotum ♂ 2,7 à 2,9 mm, ♀ 3,8 mm; élytre ♂ 1,5 à 2,1 mm, ♀ 2,5 mm; fémur postérieur ♂ 8 à 8,3 mm, ♀ 11,6 mm.

Diffère de la sous-espèce nominative comme indiqué dans la clé ci-dessus.

MADAGASCAR SAMBIRANO : Analalava, Massif du Manongarivo, 1 150 m, XII-1960 (*A. Robinson*).

3. Serpusilla malagassa (Bruner) (loc. typ. : Fianarantsoa; type ♂, Musée de Berlin).

Bibracte (?) malagassa Bruner, 1910 : 610.
Serpusilla malagassa (Bruner, 1910); RAMME, 1931 : 938; DIRSH, 1962 *a* : 335.

Fig. 95. — Long. ♂ 12,5 à 13,5 mm, ♀ 17 à 20 mm; pronotum ♂ 3 à 3,5 mm, ♀ 4 à 4,5 mm; élytre ♂ 2 à 2,4 mm, ♀ 2,5 à 3 mm; fémur postérieur ♂ 7,5 à 9 mm, ♀ 11,5 à 12 mm.

♂. Tégument moyennement rugueux. Fastigium du vertex relativement large, à profonde concavité. Pronotum un peu tectiforme, à carène médiane relativement bien développée.

Coloration générale brunâtre. Front et joues ocre; 1er et 2e articles des antennes à tache brun foncé. Lobes latéraux du pronotum marqués d'une bande longitudinale brun foncé en croissant. Moitié antérieure des élytres luisante, brun foncé. Fémurs postérieurs testacés, à bande longitudinale brunâtre sur les 2 faces, celle de la face externe située sur la moitié inférieure et n'atteignant pas la base du fémur; face inférieure des fémurs et tibias à teinte rougeâtre.

♀. Comme le ♂ mais plus grande. Plaque sous-génitale à apex anguleux. Valves de l'oviscapte étroites, grêles, courbées à l'apex. Une bande brunâtre sur les côtés des fémurs postérieurs, parfois réduite à des taches isolées.

MADAGASCAR EST : Perinet, IV-1951 (*A. Robinson*); III et XI-1932 (*A. Seyrig*); forêt d'Analamazaotra, XII-1933 (*A. Seyrig*). — Rogez, VII-1932 (*A. Seyrig*). — Fito, Alastia - Tamatave, V-1932 (*A. Seyrig*).

MADAGASCAR CENTRE : Tananarive, II et III-1950. — Fianarantsoa, V-1904 (*A. Voeltzkow*).

4. **Serpusilla glabra** Dirsh (loc. typ. : forêt Mahajeby; type ♂, Muséum Paris).

Serpusilla glabra Dirsh, 1962 *a* : 335.

Fig. 95. — Long. ♂ 12 à 15 mm, ♀ 19,5 à 22 mm; pronotum ♂ 3,2 à 3,8 mm, ♀ 5,2 à 5,3 mm, élytre ♂ 2,2 à 3,6 mm, ♀ 3,6 à 4 mm; fémur postérieur ♂ 7 à 9,2 mm, ♀ 12,8 à 13 mm.

♂. Tégument un peu rugueux. Fastigium du vertex étroit, à concavité superficielle. Pronotum un peu tectiforme, à carène médiane distincte; disque seulement un peu rugueux.

Coloration générale brunâtre. Deux premiers articles des antennes à taches brunes. Front, clypéus et joues ocre sale. Lobes latéraux du pronotum à tache brun sale en croissant. Aire costale des élytres à tache longitudinale brun foncé luisant. Face externe des fémurs postérieurs ocre sale; une bande longitudinale brune à bords irréguliers le long de la carinule inférieure, en continuité avec une petite tache basale de même couleur; faces inférieure et interne brunes; tibias postérieurs brunâtres à teinte vert olive.

♀. Comme le ♂ mais plus grande. Apex de la plaque sous-génitale en angle obtus, presque tronqué. Oviscapte court, à valves moyennement grêles, courbées à l'apex.

MADAGASCAR OUEST : Morafenobe, forêt Mahajeby, V-1952 (*R. Paulian*).

Genre **Hysiella** I. Bolivar

Hysia Stål, 1875 : 30.
Hysiella I. Bolivar 1906 : 395; DIRSH, 1962 *a* : 284.

Taille moyenne. Corps grêle, étroitement cylindrique. Tégument finement rugueux. Antennes filiformes, plus longues que la tête et le pronotum réunis. Tête conique, le dessus subglobuleux; fastigium du vertex anguleux, déclive, séparé du vertex par une dépression; front fortement oblique, droit; côte frontale basse, sillonnée sur toute sa longueur, à carinules obtuses; espace interoculaire un peu plus large que le scape antennaire. Pronotum cylindrique, dépourvu de carènes; disque traversé par 4 larges sillons; métazone subégale au 1/3 de la prozone, son bord postérieur un peu concave. Saillie prosternale courte, comprimée frontalement, s'élargissant vers l'apex, le bord apical un peu concave au milieu. Espace métasternal plus long que large, à côtés incurvés. Élytres, ailes et tympan absents (parfois un tympan rudimentaire). Fémurs postérieurs grêles, atteignant l'extrémité de l'abdomen. Une épine apicale externe

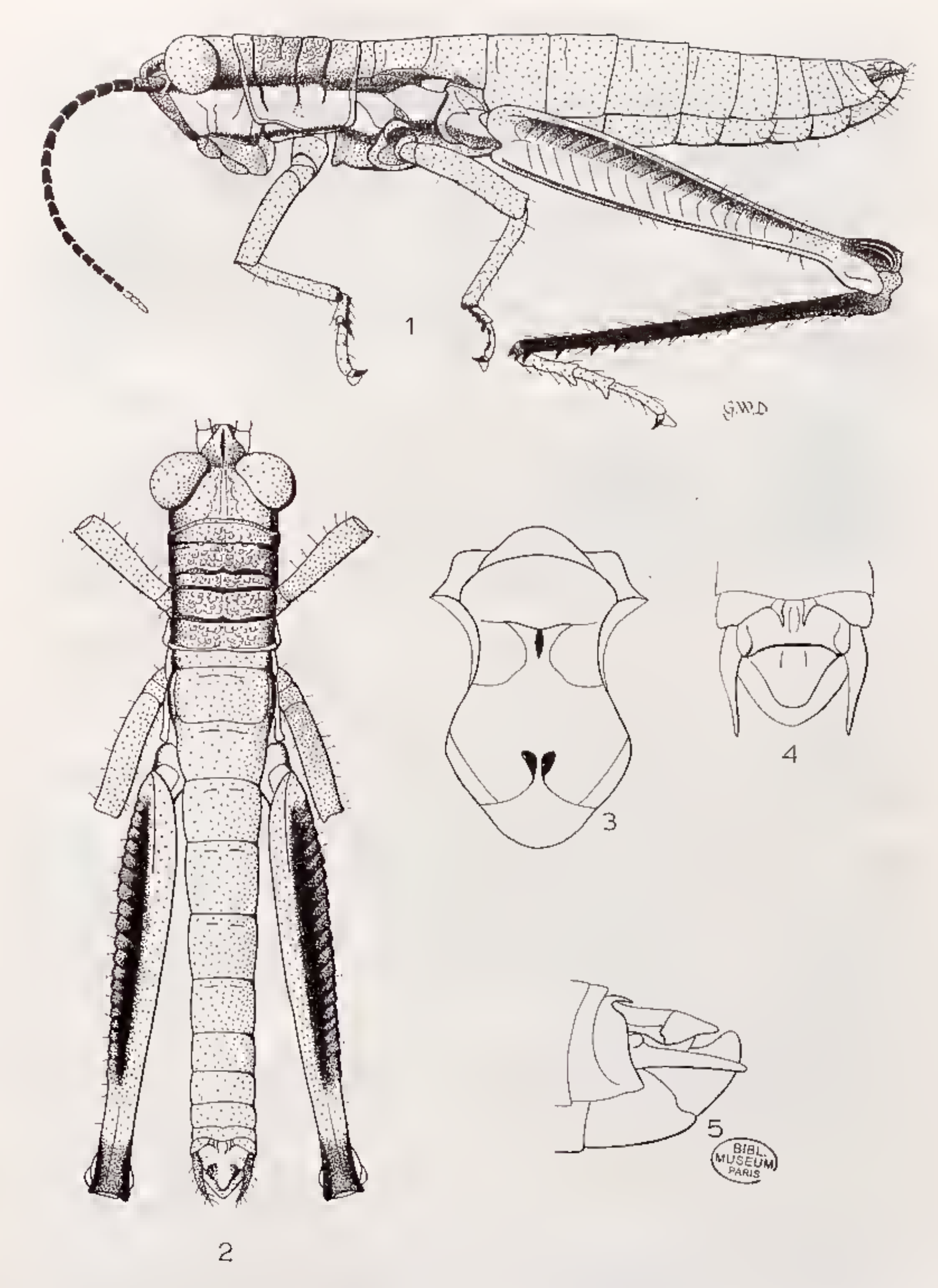


FIG. 96. — *Hysiella nigricornis* (Stål, 1875). — 1, ♂ type latéralement. — 2, *id.*, dorsalement. — 3, Méso- et métasternum. — 4, Extrémité abdominale dorsalement. — 5, *id.*, latéralement.

aux tibias postérieurs. Tarses allongés. Arolium grand. Dernier tergite abdominal ♂ avec 2 saillies aiguës. Plaque sus-anale anguleuse, parcourue par 1 fort sillon transverse et pourvue de 2 saillies latérales. Cerques droits, étroits, coniques. Plaque sous-génitale ♂ courte, conique. Plaque sous-génitale ♀ en angle obtus. Oviscapte robuste, à valves courtes, un peu courbées à l'apex.

Espèce type : *Hysia nigricornis* Stål, 1875.

Le genre *Hysiella* a été placé provisoirement (Dirsh, 1962) dans la sous-famille des *Hemiacridinae* et rapproché du groupe *Tarbaleus* sur la base des caractères externes. L'étude du complexe phallique (Dirsh, 1966) a prouvé que ce rapprochement ne traduisait qu'une ressemblance superficielle et a nécessité le transfert du genre parmi les *Catantopinae*.

Clé des espèces (♂, ♀)

1 (2) Pas d'organe tympanal; fastigium du vertex moins saillant et moins aigu; une étroite bande noire traversant la tête les lobes latéraux du pronotum et atteignant la base des fémurs postérieurs (fig. 96). . . . . . 1. **H. nigricornis**

2 (1) Organe tympanal rudimentaire; fastigium du vertex plus saillant et plus aigu; partie supérieure de la tête et du thorax, jusqu'au niveau du bord inférieur des yeux, de coloration très foncée (fig. 97) . . . . 2. **H. flavovittata**

1. Hysiella nigricornis (Stål) (loc. typ. : Madagascar; type ♂, Musée de Stockholm).

Hysia nigricornis Stål, 1875 : 30.
Hysiella nigricornis (Stål, 1875); I. Bolivar, 1906 : 395; Dirsh, 1962 *a* : 284.

Fig. 96. — Long. ♂ 19 mm, ♀ 27,5 à 36,5 mm; pronotum ♂ 3,4 mm, ♀ 5,4 à 6 mm; fémur postérieur ♂ 10 mm; ♀ 15,2 à 17,6 mm.

♂. Coloration générale vert olive brunâtre. Antennes noires, à apex ocre. Une étroite bande noire le long de la tête et des lobes latéraux du pronotum, se poursuivant jusqu'à la base des fémurs postérieurs; une large bande jaunâtre sous cette bande noire. Face externe des fémurs postérieurs jaunâtre le long du bord supérieur, à bande noire crénelée sur son bord inférieur; faces interne et inférieure rouge orangé; face interne des genoux postérieurs noire. Tibias postérieurs vert olive foncé; face inférieure presque noire; tarses vert olive.

♀. Comme le ♂ mais plus grande.

Madagascar Est : Mananara, Antanambe, IV-1958 (*P. Soga et E. Raharizonina*). — Brickaville, Ambila-Lemaitso (*R. Paulian*). — Moramanga, forêt de la route d'Anosibe, I-1951 (*R. Paulian*).

2. Hysiella flavovittata Dirsh (loc. typ. : Perinet; type ♂, Musée de Madrid).

Hysiella flavovittata Dirsh, 1966 : 544.

Fig. 97. — Long. ♂ 24 à 26,6 mm, ♀ 37,4 mm; pronotum ♂ 2,9 mm, ♀ 5,7 mm; fémur postérieur ♂ 10,8 mm, ♀ 17,7 mm.

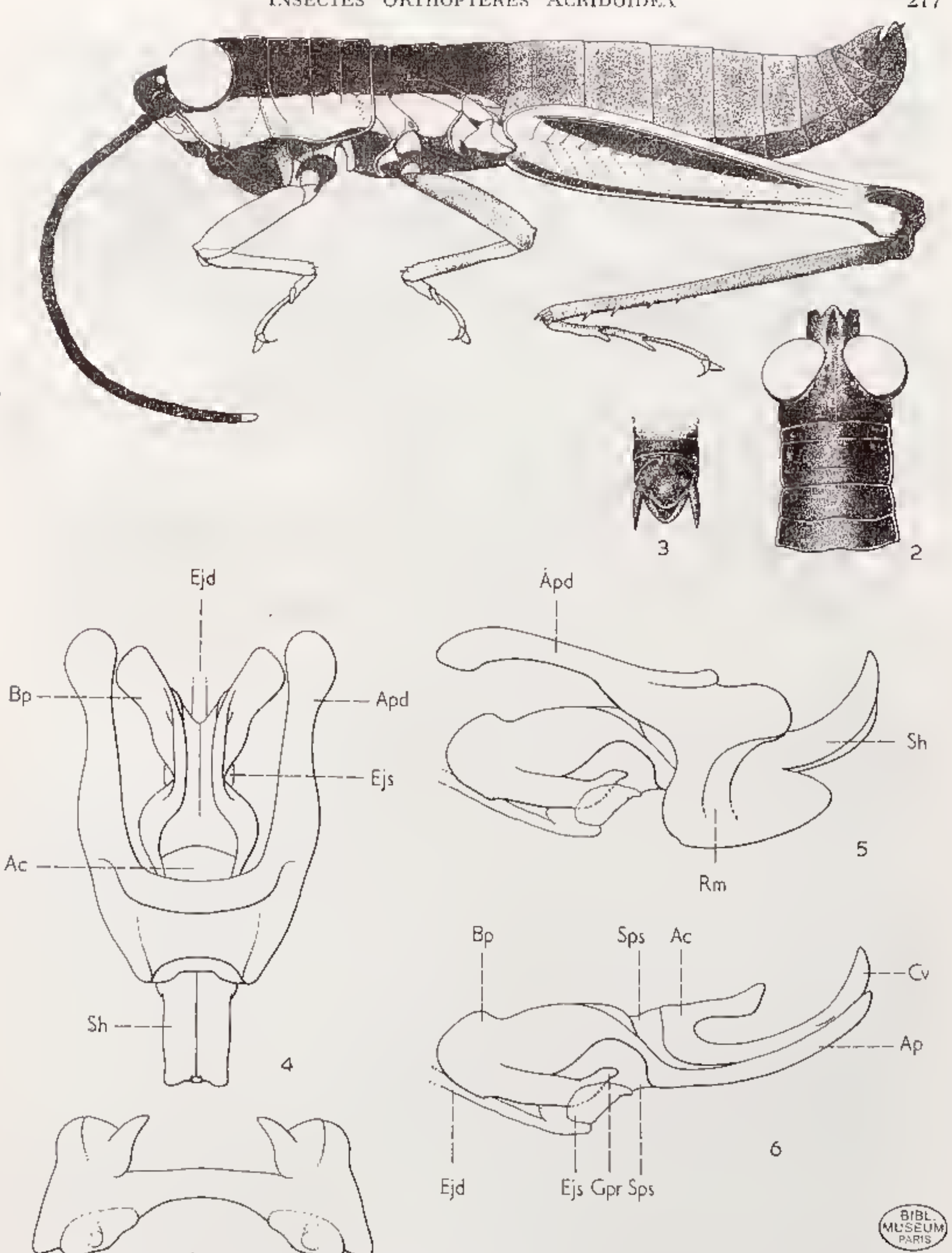


Fig. 97. — *Hysiella flavovittata* Dirsh, 1966. — 1, ♂. — 2, Tête et pronotum dorsalement. — 3, Extrémité abdominale ♂ dorsalement. — 4, Complexe phallique dorsalement. — 5, *id.*, latéralement. — 6, Endophalle latéralement. — 7, Épiphalle.

♂. Taille moyenne. Tégument brillant, rugueux et ponctué. Antennes de 21 articles, beaucoup plus longues que la tête et le pronotum réunis. Fastigium du vertex en angle aigu, sillonné longitudinalement; une faible carinule vertico-occipitale. Pronotum cylindrique; carène médiane faible, coupée par 3 sillons; métazone subégale au 1/4 de la prozone, son bord postérieur légèrement incurvé. Traces de tympan rudimentaire.

Valves apicales du pénis longues, moyennement grêles, légèrement courbées vers le haut, à apex obtus; valves du cingulum de même forme mais plus courbées et plus allongées; gaine pénienne couvrant complètement les valves apicales du pénis et celles du cingulum; flexure longue et épaisse; valves basales du pénis relativement courtes, divergentes à l'extrémité; zygoma relativement long; rami longs et subparallèles. Épiphalle à pont étroit, les ancorae petites, les lophi bilobés

Coloration générale bleu grisâtre; antennes noirâtres. Une large bande jaune traversant la face et se continuant latéralement sur la tête au-dessous des yeux, sur la partie inférieure des lobes latéraux du pronotum, à travers les pleures et à la partie inférieure de l'aire médiane externe des fémurs postérieurs. Face interne des fémurs postérieurs jaune; genoux brunâtres; tibias bleus.

♀. Beaucoup plus grande que le ♂. Antennes de 19 articles. Bord postérieur de la plaque sous-génitale anguleux. Coloration générale comme celle du ♂; face interne des fémurs postérieurs rouge.

Madagascar Est : Perinet (*A. Seyrig*). — Maroantsetra.

Genre **Pseudohysiella** Dirsh

Pseudohysiella Dirsh, 1962 *a* : 328.

Taille faible. Corps étroitement cylindrique. Tégument rugueux. Antennes épaisses, progressivement rétrécies de la base vers l'extrémité, plus courtes que la tête et le pronotum réunis. Tête conique; fastigium du vertex anguleux, séparé du vertex par une dépression; espace interoculaire aussi large que le scape antennaire; front fortement oblique, plus ou moins concave; côte frontale saillante à la partie supérieure, un peu concave au milieu, à faibles carinules latérales. Pronotum cylindrique, dépourvu de carènes; disque du pronotum traversé par 3 sillons, le 1er incomplet; métazone subégale au 1/3 de la prozone, son bord postérieur droit. Saillie prosternale courte, élargie vers l'apex. Espace mésosternal fortement étranglé au milieu. Élytres, ailes et tympan absents. Fémurs postérieurs grêles, n'atteignant pas l'extrémité de l'abdomen. Pas d'épine apicale externe aux tibias postérieurs. Tarses un peu allongés. Arolium grand. Dernier tergite abdominal ♂ avec 2 saillies en angle aigu. Plaque sus-anale anguleuse, à fort sillon transverse et apex atténué. Cerques étroitement coniques, droits, l'apex un peu relevé. Plaque sous-génitale aiguë, conique.

Phallus robuste. Valves basales et apicales du pénis réunies par une forte flexure. Valves apicales du pénis et valves du cingulum non engainées. Arche du cingulum large, à valves courtes. Épiphalle en pont, à ancorae courtes et anguleuses; lophi lobiformes, de petite taille. Plaque sous-génitale ♀ à bord postérieur convexe et expansion médiane triangulaire redressée. Valves supérieures de l'oviscapte longues, le bord externe rugueux. Extrémité de la spermathèque à 2 diverticules vermiformes.

Espèce type : *Hysia inermis* Karsch, 1896.

Le genre ressemble superficiellement à *Hysiella* mais en diffère par les caractères suivants :

Pseudohysiella	*Hysiella*
Antennes épaisses, progressivement rétrécies vers l'extrémité, plus courtes que la tête et le pronotum réunis.	Antennes filiformes, bien plus longues que la tête et le pronotum réunis.
Trois sillons traversant le disque du pronotum.	Quatre sillons traversant le disque du pronotum.
Espace mésosternal fortement étranglé au milieu.	Espace mésosternal non étranglé, á côtés régulièrement incurvés.
Plaque sous-génitale ♂ en cône aigu.	Plaque sous-génitale ♂ obtusément conique.
Pas d'épine apicale externe aux tibias postérieurs.	Une épine apicale externe aux tibias postérieurs.

Clé des espèces (♂)

1 (2) Fastigium subhorizontal, l'angle antérieur droit; aire médiane externe des fémurs postérieurs bleu noir avec chevrons et bande inférieure jaunes; disque du pronotum monochrome; tibias postérieurs rougeâtres (fig. 98, 99). . . . . 1. **P. inermis**

2 (1) Fastigium trés fortement déclive, l'angle antérieur obtus; aire médiane externe des fémurs postérieurs rouge sur la moitié basale; disque du pronotum avec 2 bandes bleues; tibias postérieurs bruns à la base, la moitié apicale bleuâtre (♀ *inconnue*) (fig. 99) . . . . 2. **P. pusilla**

1. **Pseudohysiella inermis** (Karsch) (loc. typ. : Sud de Madagascar; type ♂, Musée de Berlin, néallotype ♀, Muséum Paris).

Hysia inermis Karsch, 1896 : 278.
Hysiella inermis (Karsch, 1896); I. Bolivar, 1906: 395; Dirsh, 1962 *a* : 330.
Pseudohysiella inermis (Karsch, 1896); Dirsh, 1962 *a* : 330; Descamps et Wintrebert, 1966 *a* : 31; 1966 *b* : 179.

Fig. 98, 99. — Long. ♂ 15,2 mm; pronotum ♂ 2 à 2,3 mm, ♀ 2,8 à 3,1 mm; fémur postérieur ♂ 6,7 à 8 mm; ♀ 8,5 à 9,7 mm.

♂. Coloration générale ocre brunâtre. Côtés et face inférieure du corps rougeâtres. Tête jaunâtre à taches noirâtres irrégulières. Une bande noirâtre mal définie derrière les yeux et sur les lobes latéraux du pronotum; bord inférieur des lobes latéraux du pronotum jaunâtre. Aire médiane externe des fémurs postérieurs bleu noir à chevrons et bande inférieure jaunes; face interne rouge vif; aire inféro-externe noirâtre; tibias postérieurs rougeâtres; tarses vert olive clair.

♀. Cerques subconiques, un peu comprimés latéralement, n'atteignant pas tout à fait l'extrémité de la plaque sus-anale. Coloration comme celle du ♂.

Madagascar Centre : Tananarive, route de Tamatave, km 22, X-1948 (*P. Cachan*). — Sud d'Ambositra, sur *Helichrysum*, VI-1962 (*D. Wintrebert*). — Col

des Tapias septentrional, sur *Helichrysum*, VII-1962 et VI-1963 (*D. Wintreberl*). — Antsampandrana, XII-1963 (*G. Razafinarivo*). — 50 km au Sud de Tananarive, VI-1962 (*D. Wintreberl*).

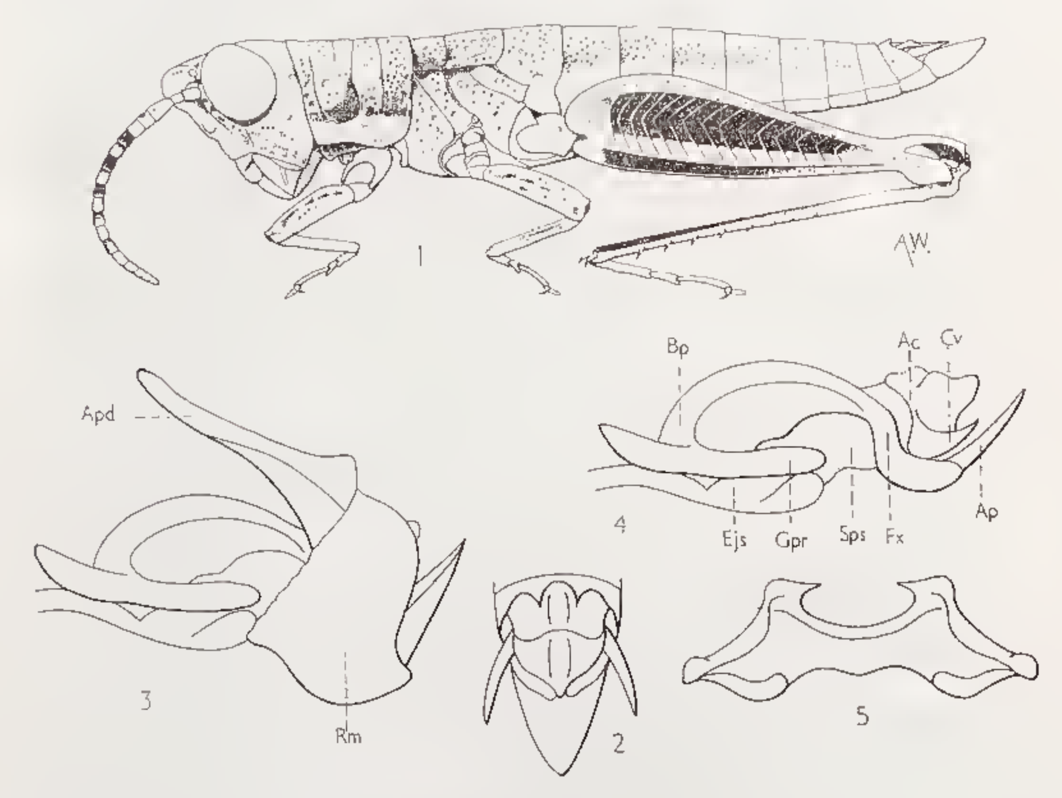


FIG. 98.— *Pseudohysiella inermis* (Karsch, 1896). — 1, ♂. — 2, Extrémité abdominale ♂ dorsalement. — 3, Complexe phallique latéralement, membrane ectophallique et épiphalle enlevés. — 4, *id.*, l'essentiel du cingulum enlevé. — 5, Épiphalle.

2. Pseudohysiella pusilla Descamps et Wintrebert (loc. typ. : 57 km Nord Ambohimahasoa; holotype ♂, Muséum Paris).

Pseudohysiella pusilla Descamps et Wintrebert, 1966 *a* : 31; 1966 *b* : 181.

Fig. 99. — Pronotum 1,5 à 1,6 mm; fémur postérieur 5,2 à 5,4 mm.

♂. Taille très petite. Antennes de 18 articles, un tout petit peu plus longues que la tête et le pronotum réunis, épaisses mais peu dilatées à la base, progressivement et faiblement rétrécies vers l'apex; articles du flagelle transverses ou subcarrés. Espace sous-oculaire égal à la longueur des articles antennaires 1 et 2 réunis. Fastigium fortement déclive, triangulaire, les côtés droits, l'extrémité en angle obtus. Côte frontale concave au-dessus de l'ocelle médian, fortement rétrécie juste au-dessous, les carinules latérales faibles et sinuées dans la moitié inférieure. Carène médiane du pronotum très faiblement indiquée, presque nulle. Métazone subégale au 1/3 de la

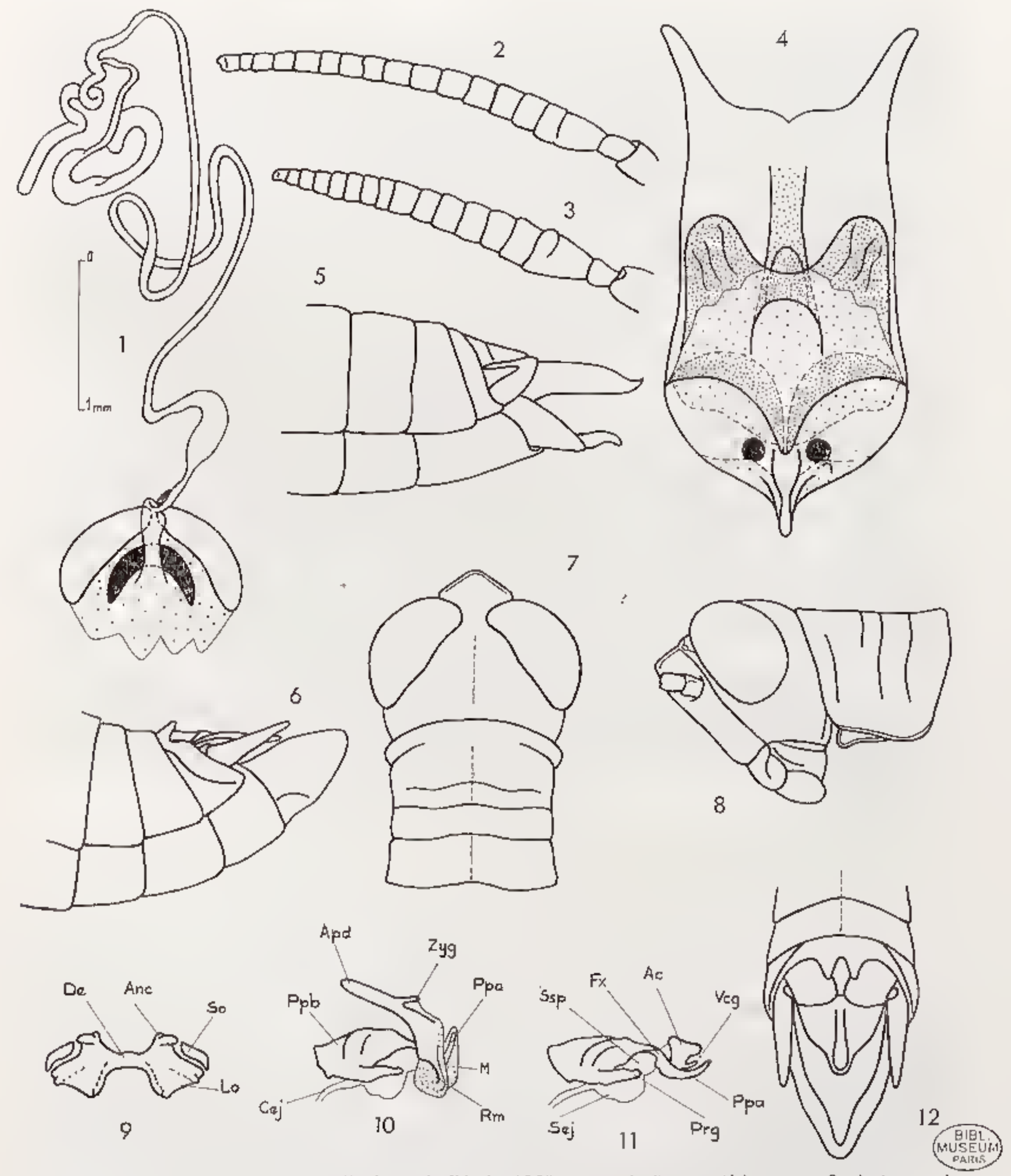


FIG. 99. — 1 à 5. *Pseudohysiella inermis* Dirsh, 1962, ♀. — 1, Spermathèque. — 2, Antenne du néallotype. — 3, Antenne d'un exemplaire capturé à 57 km au Nord d'Ambohimahasoa. — 4, Plaque sous-génitale, face dorsale. — 5, Extrémité abdominale latéralement.
— 6 à 12, *Pseudohysiella pusilla* Descamps et Wintrebert, 1966, ♂. — 6, Extrémité abdominale latéralement. — 7, Tête et pronotum dorsalement. — 8, *id.*, latéralement. — 9, Épiphalle. — 10, Complexe phallique latéralement. — 11, Endophalle latéralement. — 12. Extrémité abdominale dorsalement.

prozone, le bord postérieur légèrement mais nettement concave au milieu. Fémurs antérieurs épais, un peu plus courts que la longueur du pronotum sur la ligne médiane. Saille prosternale quadrangulaire, inclinée vers l'arrière, son bord antérieur se confondant latéralement avec le bord antérieur du prosternum. Lobes métasternaux contigus à l'arrière, leur bord interne fortement convexe. Abdomen finement caréné. Plaque sus-anale large, subquadrangulaire, les angles latéro-postérieurs fortement arrondis; un petit lobe terminal semi-elliptique. Bord postérieur du dernier tergite avec 2 petits lobes digitiformes séparés par un espace triangulaire. Cerques relativement courts, dépassant peu la plaque sus-anale, comprimés latéralement, triangulaires de profil, l'extrémité aiguë. Plaque sous-génitale subconique, saillante, mais plus courte que chez le génotype, l'extrémité moins aiguë.

Coloration noire et jaune. Face à dominante noire, marquée de jaune sale au milieu; reste de la capsule céphalique à dominante jaune; dessus de la tête avec une bande médiane bleu noir et quelques taches de même couleur en bordure des yeux. Antennes uniformément brunes. Une bande latérale bleu noir bien nette partant du bord postérieur des yeux et atteignant, en virant au brun, l'extrémité de l'abdomen. Disque du pronotum jaune latéralement, ocre jaune au milieu, les 2 teintes séparées par 2 lignes bleu noir divergentes vers l'arrière. Dessus de l'abdomen brun jaunâtre à petites taches noires. Face inférieure ocre. Face externe des fémurs postérieurs rouge groseille sur la moitié basale, teintée de bleu sur la moitié apicale; face inférieure uniformément rougeâtre; face supérieure jaune; face interne rouge, se teintant de bleuâtre vers l'extrémité. Lobes géniculaires supérieurs noirs. Tibias postérieurs brun noir.

Disque de l'épiphalle très court, ancorae recourbées ventralement et pratiquement invisibles du dessus. Rami étroits; partie apicale du pénis recouverte d'une membrane. Flexure du pénis et arche du cingulum très épaisses. Valves du cingulum courtes.

♀. Inconnue.

Madagascar Centre : Pays Betsileo, 57 km au Nord d'Ambohimahasoa, X-1964 (*J. Têtefort et D. Wintrebert*).

Sous-famille *CYRTACANTHACRIDINAE*

Taille grande ou moyenne. Antennes filiformes. Tête subglobuleuse; front vertical. Pronotum sans carènes latérales, le disque traversé par 3 sillons. Saillie prosternale grande. Espace mésosternal ouvert, les lobes rectangulaires. Élytres et ailes entièrement développés ou réduits. Un organe tympanal. Lobe basal inférieur des fémurs postérieurs plus court que le lobe supérieur. Pas d'épine apicale externe aux tibias postérieurs. Valves basales et apicales du pénis réunies par une flexure. Épiphalle robuste, en forme de pont, à ancorae petites ou nulles; lophi grands, lobiformes ou odontiformes. Pas d'appareil stridulatoire.

Les caractères essentiels des *Cyrtacanthacridinae* sont les lobes mésosternaux rectangulaires, le corps de grande taille, l'épiphalle robuste, les ancorae absentes ou réduites, l'absence de carènes latérales au pronotum.

Genre type : *Cyrtacanthacris* Walker, 1870.

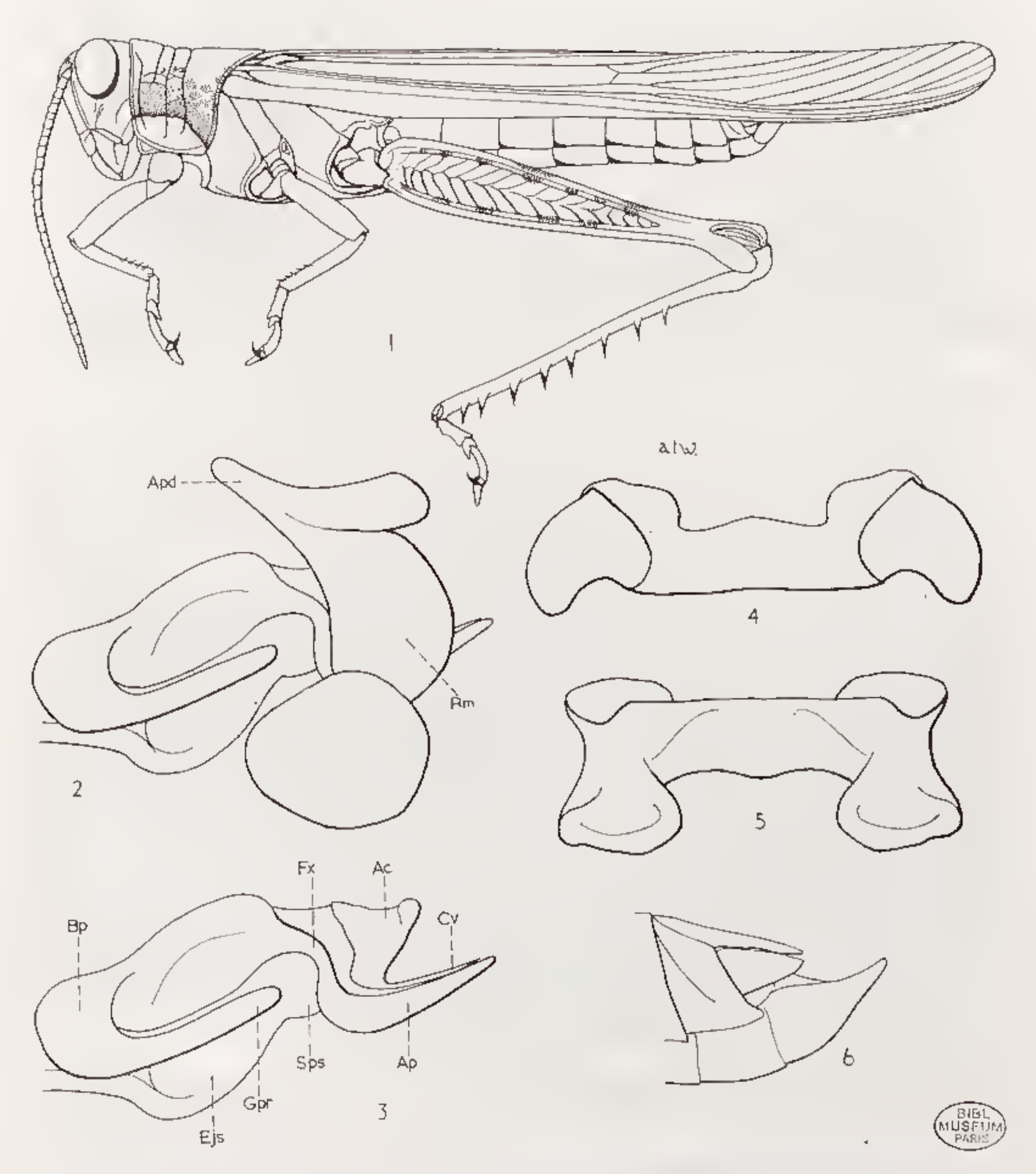


Fig. 100. — *Rhadinacris schistocercoides* (Brancsik, 1893). — 1, ♂. — 2, Complexe phallique latéralement, membrane ectophallique et épiphalle enlevés. — 3, *id.*, essentiel du cingulum enlevé. — 4, Épiphalle, lophi en position verticale. — 5, *id.*, lophi en position horizontale. — 6, Extrémité abdominale ♂ latéralement.

Clé des genres malgaches

1 (2) Saillie prosternale un peu inclinée vers l'arrière; corps relativement grêle (fig. 100). . . . . **Rhadinacris** (p. 224)
2 (1) Saillie prosternale fortement courbée vers l'arrière, touchant presque le mésosternum; corps relativement robuste 3
3 (4) Aire costale des élytres à réticulation fine, dense, ondulée, allongée (fig. 101). . . . . **Nomadacris** (p. 225)
4 (3) Aire costale des élytres à réticulum de type habituel. 5
5 (6) Disque du pronotum à sculpture formée de points plus ou moins forts; membrane des élytres transparente (fig. 102) . . . . **Finotina** (p. 227)
6 (5) Disque du pronotum lisse, à texture veloutée, membrane des élytres parcheminée (fig. 103). . . . . **Cyrtacanthacris** (p. 230)

Genre **Rhadinacris** Uvarov

Rhadinacris Uvarov, 1923 : 485; Dirsh, 1962 *a* : 344.

Grand et grêle. Tégument moyennement rugueux et ponctué. Antennes filiformes, plus longues que la tête et le pronotum réunis. Fastigium du vertex anguleux, à apex tronqué, concave; côte frontale étroite, à carinules parallèles et sillon superficiel. Pronotum un peu ensellé, rétréci au milieu; 3 sillons transverses sur le disque; carène médiane linéaire, obtuse; pas de carènes latérales; métazone à peu près aussi longue que la prozone, son bord postérieur largement obtus, presque arrondi. Saillie prosternale subconique, un peu inclinée vers l'arrière, à apex obtus. Espace mésosternal allongé, rétréci vers l'arrière. Élytres longs, étroits, dépassant de loin l'extrémité de l'abdomen. Fémurs postérieurs grêles. Lobes inférieurs des genoux postérieurs arrondis. Arolium grand. Deux petites saillies fortement arrondies sur le bord postérieur du dernier tergite abdominal du ♂. Plaque sus-anale allongée, anguleuse, à apex atténué. Cerques comprimés latéralement, triangulaires de profil, à apex aigu. Plaque sous-génitale allongée, conique.

Complexe phallique fort; apodèmes courts; rami de grande taille; valves apicales du pénis et valves du cingulum simples, étroites; arche du cingulum épaisse; processus du gonopore long. Épiphalle en pont, à petites ancorae arrondies et grands lophi lobiformes, fortement recourbés vers le haut. Oviscapte court, à valves fortes et un peu courbées à l'apex. Plaque sous-génitale ♀ à apex anguleux.

Espèce type : *Acridium schistocercoides* Brancsik, 1893.

1. Rhadinacris schistocercoides (Brancsik) (loc. typ. : Madagascar; type ♂, perdu).

Acridium schistocercoides Brancsik, 1893 : 192.
Rhadinacris schistocercoides (Brancsik, 1893); Uvarov, 1923 : 485; Dirsh, 1962 *a* : 344; Descamps et Wintrebert, 1966 *b* : 183.

Fig. 100. — Long. ♂ 33,5 à 39 mm, ♀ 46 à 48 mm; pronotum ♂ 6 à 6,3 mm, ♀ 8 à 8,9 mm; élytre ♂ 32,5 à 38 mm, ♀ 44 à 52,5 mm; fémur postérieur ♂ 18 à 19 mm, ♀ 24 à 27,5 mm.

♂. Grand et très grêle. Antennes de 25 articles. Coloration générale brunâtre. Une bande longitudinale ocre sur le dessus de la tête. Carène médiane du pronotum ocre. Lobes latéraux du pronotum à bande longitudinale courbée, vert olive; partie inférieure à tache ocre, ovale. Ailes bleu clair. Fémurs postérieurs brunâtre clair; 2 fascies transverses sur le dessus; carènes externes à petits points brunâtres; tibias postérieurs un peu pourprés; épines jaunâtres à apex brun foncé.

♀. Comme le ♂ mais plus grande.

MADAGASCAR EST : Ambatondrazaka, Réserve naturelle intégrale III (Zahamena).

MADAGASCAR CENTRE : Tananarive, parc de Tsimbazaza, XII-1947 (*R. Paulian*). — Sud de Tananarive, VI-1962 (*D. Wintrebert*). — Tsiroanomandidy, Ambohiby, V-1948 (*R. Paulian*). — Moramanga, Anjiro, V-1948 (*A. Robinson*). — Fianarantsoa, XI-1957. — Betroka (*R. Paulian*).

MADAGASCAR SUD : Betioky, lac Tsimanampetsotsa, V-1957 (*R. Paulian*), Itampolo, V-1957, La Sakoa (*R.P. Cattala*). — Ambovombe, Beloha, VI-1957 (*A. Robinson*), Tranoroa, XII-1951 (*R. Paulian*). — Amboasary, III-1960 (*Randriamasy*). — Sud-Ouest, 1962-64 (*D. Wintrebert*).

Genre **Nomadacris** Uvarov

Nomadacris UVAROV, 1923 : 143; DIRSH, 1962 *a* : 348.

Grand. Tégument finement rugueux. Antennes subégales à la longueur de la tête et du pronotum réunis. Fastigium du vertex trapézoïdal, légèrement déprimé; côte frontale à bords parallèles, un peu déprimée au niveau de l'ocelle et au-dessous. Espace interoculaire aussi large que le scape antennaire. Pronotum moyennement tectiforme, un peu étranglé, à carène médiane obtuse; métazone subégale à la prozone, à bord postérieur arrondi ou en angle obtus. Saillie prosternale fortement inclinée vers l'arrière, renflée au milieu, à apex conique. Élytres entièrement développés, à réticulation dense sur la moitié basale, éparse et régulière sur la moitié apicale; veinules de l'aire costale allongées, onduleuses. Plaque sus-anale ♂ allongée, à apex légèrement trilobé et lobe médian anguleux. Cerques comprimés, étroits, un peu courbés en dedans, l'apex tronqué obliquement; angles de la troncature arrondis. Plaque sous-génitale étroite, allongée, conique. Épiphalle à ancorae fortement réduites et grands lophi lobiformes, anguleux. Oviscapte court, robuste, à valves fortement aiguës et courbées à l'apex.

Espèce type : *Acridium septemfasciatum* Serville, 1838.

1. Nomadacris septemfasciata (Serville) (loc. typ. : Cap de Bonne-Espérance; type perdu).

Acridium septemfasciatum Serville, 1838 : 661.
Acridium coangustatum H. Lucas, 1862 : 24; UVAROV, 1923 : 37; DIRSH, 1962 *a* : 348.
Cyrtacanthacris fascifera Walker, 1870 : 558; UVAROV, 1923 : 37; DIRSH. 1962 *a* : 348.
Cyrtacanthacris purpurifera Walker, 1870 : 561; KIRBY, 1910 : 448; DIRSH, 1962 *a* : 348.
Cyrtacanthacris subsellata Walker, 1870 : 559; UVAROV, 1923 : 37; DIRSH, 1962 *a* : 348.
Acridium sanctaemariae Finot, 1907 : 349; UVAROV, 1923 : 37; DIRSH, 1962 *a* : 348.
Nomadacris septemfasciata (Serville, 1838) : UVAROV, 1923 : 37; DIRSH, 1962 *a* : 348; DESCAMPS et WINTREBERT, 1966 *b* : 192.

Fig. 101. — Pronotum ♂ 10,3 mm, ♀ 11,8 mm; élytre ♂ 51,3 mm, ♀ 59,4 mm; fémur postérieur ♂ 27,8 mm, ♀ 32,5 mm. (1)

♂. Antennes de 27 à 29 articles. Carènes fasciales fortes. Ocelles moyens. Pronotum étranglé ou assez fortement étranglé. Brunâtre pâle à ocre ou rougeâtre; pronotum de coloration uniforme brun rougeâtre ou à bandes longitudinales ocre; une bande

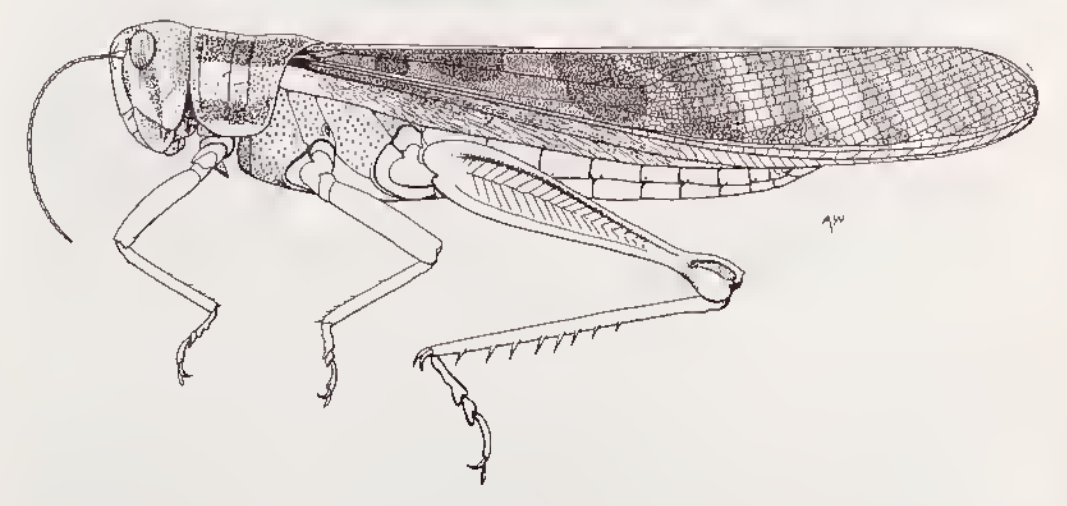


FIG. 101. — *Nomadacris septemfasciata* (Serville, 1838), ♂.

étroite sur le disque, une autre plus large sur les lobes latéraux; bord inférieur des lobes latéraux ocre; élytres rouge brunâtre à brunâtre, à teinte ocre, avec 6 ou 8 taches transverses obliques, souvent décomposées en taches plus petites; aire précostale souvent blanchâtre; ailes postérieures rouge lilas ou rouge cerise à la partie basale (la coloration s'étendant à la maturité sexuelle); fémurs postérieurs brunâtres ou ocre, la carène supéro-externe noirâtre; lobe inférieur des genoux postérieurs blanchâtre; tibias postérieurs brunâtres; épines blanchâtres, l'extrémité noirâtre.

♀. Plus grande que le ♂. Antennes de 28 ou 29 articles. Plaque sous-génitale légèrement trilobée, à lobe médian en angle aigu. Pour le reste, comme le ♂.

Nomadacris septemfasciata se présente sous 2 formes extrêmes (phase *solitaria* et phase *gregaria*) réunies par des formes intermédiaires (phase *transiens*). Les différentes formes se distinguent comme suit :

Phase *solitaria* : tête plus étroite. Pronotum moins étranglé; à dessin décrit ci-dessus, le bord postérieur en angle obtus. Fémurs postérieurs relativement plus longs; ♀ bien plus grande que le ♂. Coloration générale ocre.

Phase *gregaria* : Tête plus large. Pronotum plus étranglé, sans dessin, à bord postérieur arrondi. Fémurs postérieurs relativement plus courts; ♀ un peu plus grande que le ♂. Coloration générale rougeâtre.

---

(1) Moyennes calculées sur 100 ♂ et 100 ♀ de la phase *solitaria* capturées à Madagascar en 1963 (TÉTEFORT et WINTREBERT, 1967).

Phase *transiens* : Tous les types intermédiaires.

MADAGASCAR NORD : Montagne d'Ambre, lac Maudit.

MADAGASCAR CENTRE : Tananarive.

Très répandue dans le SUD et l'OUEST de l'île et pénétrant partout.

Genre **Finotina** Uvarov

Finotina Uvarov, 1924 : 104; DIRSH, 1962 *a* : 344.

Grand et robuste. Tégument ponctué. Antennes à peu près 2 fois plus longues que la tête et le pronotum réunis. Fastigium du vertex trapézoïdal, déprimé au milieu; côte frontale étroite, déprimée au niveau de l'ocelle et au-dessous; espace interoculaire plus large que la côte frontale entre les antennes. Pronotum tectiforme, à carène médiane obtuse, traversée par 3 sillons plus ou moins profonds. Métazone plus courte que la prozone, à bord postérieur anguleux. Saillie prosternale fortement courbée vers l'arrière, touchant presque le mésosternum, comprimée à la base, renflée au milieu et conique à l'apex. Élytres dépassant l'extrémité de l'abdomen, à membrane transparente et réticulation relativement éparse, l'extrémité arrondie. Plaque sus-anale ♂ trilobée, les lobes latéraux petits, le lobe médian grand et anguleux. Cerques fortement comprimés à la base, triangulaires de profil, à apex aigu. Plaque sous-génitale allongée, conique, aiguë.

Complexe phallique robuste. Rami du cingulum grands. Pas de gaine pénienne. Valves basales et apicales du pénis réunies par une épaisse flexure. Valves apicales du pénis fortement allongées, à apex bilobé. Pas de valves du cingulum. Arche du cingulum grande. Épiphalle robuste, à petites ancorae et grands lophi allongés et anguleux. Oviscapte court, robuste, à valves courbées à l'apex. Plaque sous-génitale ♀ à apex anguleux.

Espèce type : *Acridium ranavaloae* Finot, 1907.

CLÉ DES ESPÈCES (♂, ♀)

1 (4) Teinte générale verte, sans dessins 2

2 (3) Pronotum rugueux, à carène médiane vive; élytres relativement larges, monochromes; tibias postérieurs jaune verdâtre ou vert jaunâtre; carène supéro-externe des fémurs postérieurs rouge (fig. 102). . . . . 1. **F. radama**

3 (2) Pronotum presque lisse, à carène médiane basse; élytres nettement plus étroits, tachetés de brun dans les champs médian et cubital; carène supéro-externe des fémurs postérieurs non marquée de rouge . . 2. **F. ranavaloae**

4 (1) Teinte générale brun foncé à dessins bien nets sur la tête et le pronotum. Une bande jaune médio-dorsale, partant de l'extrémité de la tête et atteignant presque l'extrémité des élytres; lobes latéraux du pronotum brun foncé à bande jaune s'élargissant fortement vers l'arrière. 3. **F. polychroma**

1. **Finotina radama** (Brancsik) (loc. typ. : Nosy Be; type ♀, perdu).

Acridium radama Brancsik, 1893 : 191.

Finotina radama (Brancsik, 1893); UVAROV, 1924 : 104; DIRSH, 1962 *a* : 346; DESCAMPS et WINTREBERT, 1966 *b* : 185; 1967 : 96.

Fig. 102. — Long. ♂ 38 à 42 mm, ♀ 43 à 57 mm; pronotum ♂ 9 à 10 mm, ♀ 11 à 15 mm; élytre ♂ 35,5 à 36 mm, ♀ 41 à 56,5 mm.

♂. Grand. Tégument finement rugueux et ponctué. Carène médiane du pronotum à arête vive, linéaire. Coloration générale vert clair, sans dessins. Carène supéro-externe

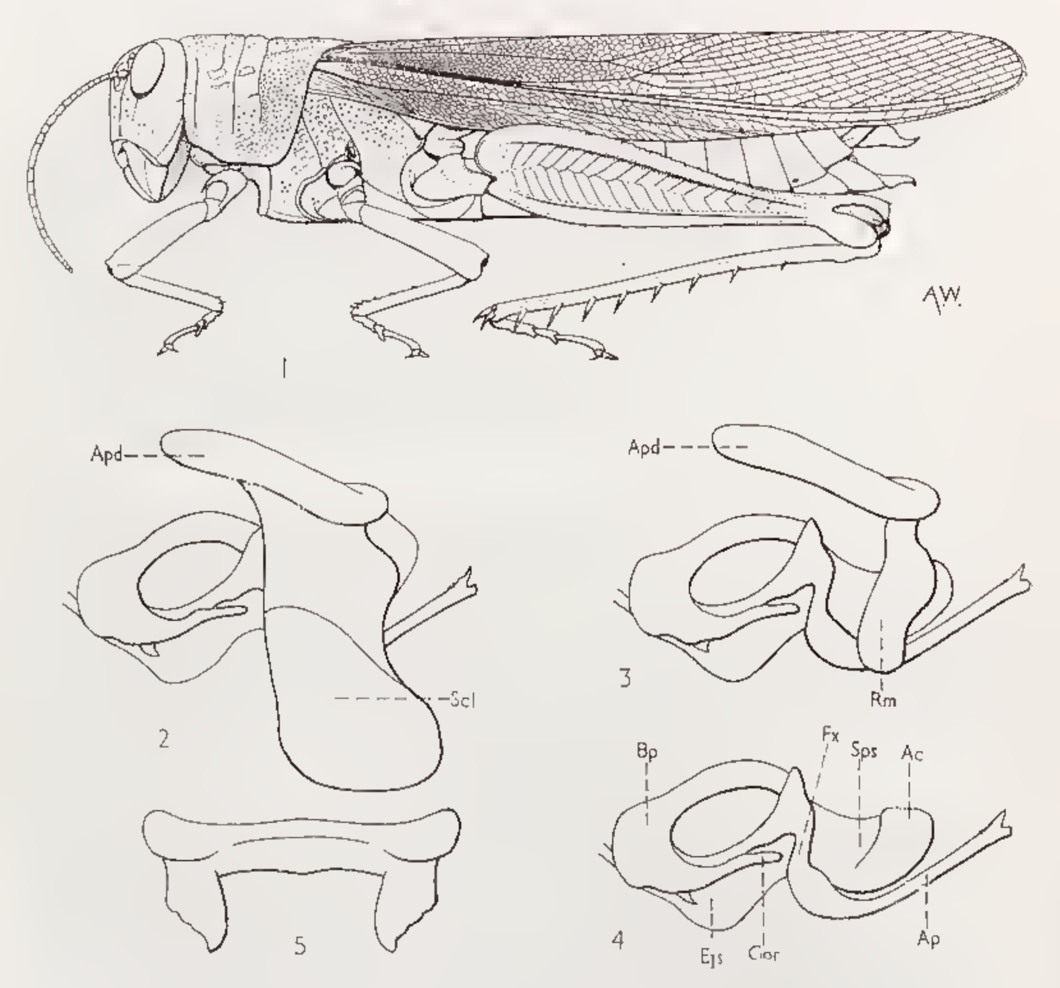


Fig. 102. — *Finotina raduma* (Brancsik, 1893). — 1, ♀. — 2, Complexe phallique latéralement, membrane ectophallique et épiphalle enlevés. — 3, *id.*, sclérification de la membrane ectophallique enlevée. — 4, *id.*, l'essentiel du cingulum enlevé. — 5, Épiphalle.

des fémurs postérieurs rougeâtre. Genoux postérieurs parfois marqués d'une tache rougeâtre en croissant. Tibias postérieurs verts, à épines rougeâtres à l'apex.

♀. Comme le ♂ mais plus grande.

Madagascar Nord : Montagne d'Ambre, les Roussettes, 1 000 m, XII-1948 (*R. Paulian*). — Diégo-Suarez, IV-1896 (*Ardouin*). — Nosy Be (*Brancsik*); XII-1933 (*Frappa*).

MADAGASCAR SAMBIRANO : Ambanja, Nord de Beangona-Ambevy, vallée d'Antremabe, 400 m, II-1964 (*P. Soga*).

MADAGASCAR EST : Perinet, III-1935 (*A. Seyrig*); IV-1948 (*R. Paulian*); Forêt d'Analamazaotra, I-1932 (*A. Seyrig*). — Massif de l'Ikongo, XII-1928 (*R. Decary*).

MADAGASCAR CENTRE : Tananarive, 1892 (*Grandidier*); 1914 (*Waterlot*); Tsimbazaza, II et IV-1948 (*R. Paulian*); II-1950 (*R. Benoist*). — Ambatondrazaka, forêt de Didy, Andranomandevy, 1 039 m, X-1956 (*P. Griveaud*). — Anjozorobe, Aulanetibe, V-1963 (*J. E. Randriamasy*). — Mandalahy, X-1964 (*D. Wintrebert*). — La Mandraka, forêt de Manjakandriana, 1910 (*Mathiau*).

MADAGASCAR OUEST : Entre Mitsinjo et Soalala, X-1964 (*D. Wintrebert*). — Ampijoroa, forêt de l'Ankarafantsika (*Chasseurs de l'I.R.S.M.*); I et II-1967 (*D. Wintrebert*).

MADAGASCAR SUD : Ankiliarivo, IV-1962 (*D. Wintrebert*).

2. Finotina ranavaloae (Finot) (loc. typ. : Ile Sainte-Marie; lectotype ♂, Muséum Paris).

Acridium ranavaloae Finot, 1907 : 297.
Finotina ranavaloae (Finot, 1907); UVAROV, 1924 : 105; DESCAMPS et WINTREBERT, 1967 : 96.

Long. ♂ 35 à 36 mm, ♀ 46 à 52 mm; pronotum ♂ 9 à 9,5 mm, ♀ 12 à 13 mm; élytre ♂ 31 à 38 mm, ♀ 43 à 48 mm; fémur postérieur 20 à 24 mm, ♀ 26 à 27,5 mm.

♂. Moins trapu que *F. radama*. Fastigium du vertex déprimé longitudinalement. Côte frontale à bords moins nets, en particulier au-dessous de l'ocelle. Pronotum proportionnellement plus long, nettement moins comprimé latéralement à la partie médiane inférieure, très finement ponctué, presque lisse; métazone plus saillante vers l'arrière, le bord postérieur en angle nettement moins obtus, largement arrondi à l'extrémité; carène médiane basse, subrectiligne de profil; sillons transverses fins; bord inférieur des lobes latéraux sinué, la partie antérieure moins fortement oblique. Élytres étroits, le secteur de la nervure radiale trifurqué.

Coloration générale vert jaunâtre sans dessins, sauf une étroite bande un peu plus pâle (parfois peu nette) partant de l'extrémité du fastigium et atteignant le bord postérieur du pronotum; lobes latéraux du pronotum monochromes. Carène supéro-externe des fémurs postérieurs non marquée de rouge; une étroite bande prégéniculaire, brune, à la face externe. Tibias postérieurs rouges, la face inférieure jaune, les épines rouges à pointe noire. Élytres verts à taches brunes peu foncées mais bien nettes dans les champs médian et cubital. Ailes enfumées à nervures rosées; nervules parfois bordées de lignes brun foncé dessinant un réticulum bien net.

♀. Comme le ♂, mais plus grande.

MADAGASCAR EST : Ile Sainte-Marie (*A. Mocquerys*). — Tamatave (*A. Mocquerys*). — Sambava, massif du Marojejy, Ambinanitelo, 500 m, XII-1958 (*E. Raharizonina*).

3. Finotina polychroma Descamps et Wintrebert (loc. typ. : Sakaraha; holotype ♂, allotype ♀, Muséum Paris).

Finotina polychroma Descamps et Wintrebert, 1967 : 96.
Finotina ranavaloae (Finot, 1907); DIRSH, 1962 *a* : 346; DESCAMPS et WINTREBERT, 1966 *b* : 186.

Long. ♂ 34 à 37,2 mm, ♀ 45 à 48 mm; pronotum 7,5 à 8,6 mm; élytre ♂ 31 à 32,8, ♀ 39,7 à 43 mm; fémur postérieur ♂ 17,5 à 19,7 mm, ♀ 22,5 à 24,5 mm.

♂. Moins trapu que *F. radama.* Côte frontale déprimée à la partie médiane. Pronotum ponctué mais non granuleux, très nettement comprimé latéralement à la partie médiane inférieure comme chez l'espèce type; carène médiane basse, subrectiligne de profil, peu profondément coupée par les sillons transverses; métazone peu saillante, le bord postérieur en angle obtus. Secteur de la nervure radiale de l'élytre trifurqué.

Coloration générale brun chocolat. Une bande médio-dorsale jaune (ou jaune verdâtre) partant de l'extrémité du fastigium et atteignant presque l'extrémité des élytres. Face jaune verdâtre, les bords de la côte frontale, les carènes latérales de la face et une ligne infra-oculaire bruns. Lobes latéraux du pronotum à bande supérieure jaune entre les sillons 1 et 3; une tache de même couleur un peu au-dessous entre les sillons 1 et 2; partie postérieure au sillon 3 uniformément jaune verdâtre; pleures jaune verdâtre, marqués de brun le long des lignes de suture. Élytres non tachetés, brun chocolat à bande jaune dans les champs précostal et costal ainsi que le long du bord postérieur. Pattes antérieures et médianes jaunes, fémurs postérieurs jaunes à bande rouge le long de la carène supéro-externe; genoux noirs sauf la face dorsale et les lobes inférieurs. Condyle fémoro-tibial noir. Tibias postérieurs à face inférieure jaune; une tache basale de même coloration à la face supérieure; le reste rouge vif; épines blanches à teinte rouge, l'extrémité noire. Abdomen ocre. Ailes incolores à nervures rouges.

♀. Comme le ♂ mais plus grande. Même coloration.

Madagascar Ouest : Sakaraha, forêt de Lambomakandro, IV-1960 (*P. Griveaud*); III-1961 (*A. Robinson*). — Forêt de l'Ankarafantsika, I au IV-1967 (*D. Wintrebert*).

Madagascar Sud : Beomby, clairières du plateau calcaire Mahafaly, III-1962 (*D. Wintrebert*). — Ankiliarivo, IV-1961 (*P. Dechappe*); IV-1962 (*D. Wintrebert*).

Genre **Cyrtacanthacris** Walker

Cyrtacanthacris Walker, 1870 : 550; Dirsh, 1962 *a* : 346.

Grand. Tégument un peu granuleux et ponctué. Antennes subégales à la longueur de la tête et du pronotum réunis. Fastigium du vertex anguleux, déprimé au milieu;



Fig. 103. — *Cyrtacanthacris tatarica tatarica* (Linné, 1758). ♂.

côte frontale étroite, légérement déprimée au niveau de l'ocelle médian; espace interoculaire plus large que la côte frontale entre les antennes. Pronotum moyennement tectiforme et un peu étranglé, à carène médiane obtuse; métazone un peu plus longue que la prozone, á bord postérieur anguleux. Saillie prosternale grande, fortement courbée vers l'arrière, à apex subaigu, touchant, ou presque, le mésosternum, comprimée à la base, élargie au milieu et progressivement rétrécie vers l'extrémité. Élytres entièrement développés, á membrane semi-transparente, á réticulation dense et irrégulière dans la moitié basale, éparse et régulière dans la moitié distale; extrémité arrondie. Plaque sus-anale ♂ légèrement trilobée, à lobe apical anguleux. Cerques comprimés, subconiques, à apex subaigu. Plaque sous-génitale allongée, aiguë, conique. Épiphalle à ancorae réduites et lophi allongés, étroits, lobiformes. Valves de l'oviscapte robustes, courbées à l'apex; valves inférieures à saillie basale externe subaiguë.

Espèce type : *Gryllus Locusta tataricus* Linné, 1758.

1. Cyrtacanthacris tatarica tatarica (Linné) (loc. typ. : Tartarie; type perdu).

Gryllus Locusta tataricus Linné, 1758 : 432.
Gryllus Locusta ranaceus Stoll, 1813 : 30; UVAROV, 1923 : 39; DIRSH, 1962 *a* : 346.
Cyrtacanthacris concisa Walker, 1870 : 560; UVAROV, 1924 : 97; DIRSH, 1962 *a* : 347.
Cyrtacanthacris subliturata Walker, 1870 : 613; UVAROV, 1924 : 97; DIRSH, 1962 *a* : 347.
Cyrtacanthacris internexa Walker, 1870 : 613; UVAROV, 1924 : 97; DIRSH, 1962 *a* : 347.
Cyrtacanthacris compta Walker, 1870 : 613; UVAROV, 1924 : 97; DIRSH, 1962 *a* : 347.
Cyrtacanthacris tatarica tatarica (Linné, 1758), DIRSH, 1962 *a* : 346; DESCAMPS et WINTREBERT, 1966 *b* : 186.

Fig. 103. — Long. ♂ 39,5 á 47,3 mm, ♀ 54,5 à 62 mm; pronotum ♂ 9,4 á 10,6 mm, ♀ 12,3 à 14 mm; élytre ♂ 39 á 44,3 mm, ♀ 53,2 à 61,5 mm; fémur postérieur ♂ 20,8 à 24,3 mm, ♀ 28,5 à 36 mm.

♂. Antennes de 26 à 29 articles. Fastigium du vertex légèrement déprimé; carénes fasciales hautes; ocelles moyens. Pronotum un peu étranglé.

Coloration ocre brunâtre; milieu du pronotum à bande longitudinale ocre; lobes latéraux à légère tache grise de forme rectangulaire, régulière, située au niveau de la moitié antérieure, s'élargissant en devenant brunâtre clair dans la moitié postérieure; bords antérieur et inférieur des lobes ocre clair; membrane des élytres gris pâle avec plusieurs grosses taches brunes de forme irrégulière mais en général arrondie; partie basale des nervures sous-costale, radiale et médiane parfois rougeâtre; ailes incolores ou légérement vert citron; fémurs postérieurs grisâtres, la carène supéro-externe noirâtre; tibias postérieurs gris, les épines blanchâtres á apex brun foncé.

♀. Plus grande que le ♂. Antennes de 28 à 30 articles. Plaque sous-génitale trilobée, à lobe médian en angle aigu. Pour le reste semblable au ♂.

MADAGASCAR EST : Maroantsetra, Ambodivoangy (*J. Vadon*); Ivontaka, III-1958 (*E. Raharizonina*). — Mahanoro (*A. Molet*). — Nord de Fort-Dauphin, VIII-1964 (*D. Wintrebert*). — Sud de Vangaindrano (*D. Wintrebert*). — Tamatave, I-1964 (*M. Bouvet*).

MADAGASCAR OUEST : Ampijoroa, forêt de l'Ankarafantsika (*E. Razafimandimby*). — Réserve naturelle intégrale de Namoroka (*R. Paulian*). — Ankazoabo, station hydro-

logique du Bavian, 70 m, VII-1957 (*P. Griveaud*). — Morombe, lac Iotry, 40 m, VII-1957 (*P. Griveaud*). — Ambalajanakomby-Alakamisy, X-1964 (*D. Wintrebert*).

Madagascar Sud : Betioky, La Sakoa (*R. P. Callala*). — Beloha, 100 m, VI-1957 (*P. Griveaud*); Tsivory, VIII-1948 (*R. Paulian*). — Lac Tsimanampetsotsa, V-1951 (*R. Paulian*). — Ambovombe, VI-1957 (*P. Griveaud*). — Sud-Ouest, 1962-64 (*D. Wintrebert*).

Ile europa, I, II-1950 (*P. Cachan*).

Ile juan de nova, I-1964 (*P. Malzy*).

Sous-famille *ACRIDINAE*

Taille faible à grande. Tête de forme variable. Carènes latérales et médiane du pronotum en général présentes. Pas de saillie prosternale, sauf exceptions. Élytres et ailes entièrement développés, réduits ou absents; nervure intercalaire de l'aire médiane des élytres, parfois forte et crénelée, parfois faible ou absente, mais le plus souvent présente. Appareil stridulatoire généralement présent, constitué de serrulations variables sur les élytres ou les ailes. Tympan normalement présent. Lobe basal inférieur des fémurs postérieurs plus court que le supérieur. Valves basales et apicales du pénis réunies par une flexure. Épiphalle en pont; ancorae en général présentes, articulées sur le pont; lophi en général présents.

Genre type : *Acrida* Linné, 1758.

Clé des genres malgaches

1 (20) Nervure intercalaire de l'aire médiane des élytres absente ou non serrulée 2
2 (19) Pas de fovéoles temporales 3
3 (10) Corps allongé, étroit; tête en cône allongé; lobe supéro-interne des genoux postérieurs plus long que le lobe supéro-externe 4
4 (9) Pas de saillie prosternale 5
5 (8) Insectes macroptères et de grande taille; disque du pronotum lisse, le bord postérieur anguleux 6
6 (7) Ailes à spéculum, transparentes, incolores ou légèrement jaune citron (fig. 104, 105) . . . . **Acrida** (p. 234)
7 (6) Ailes sans spéculum, mates, brillamment colorées en rouge, jaune et brun dans les parties apicale et postérieure (fig. 106, 107) . . . . **Chromacrida** (p. 238)
8 (5) Insectes microptères et de petite taille; disque du pronotum à rugosités longitudinales, le bord postérieur droit (fig. 108) . . . . **Pseudopargaella** (p. 242)
9 (4) Une grande saillie prosternale, subpyramidale, à apex aigu (fig. 109). . . . . **Gelastorhinus** (p. 244)
10 (3) Corps moyennement allongé; tête courte, lobes supérieurs des genoux postérieurs d'égale longueur 11
11 (14) Insectes macroptères 12

12 (13) Antennes plus courtes que la tête et le pronotum réunis; pas d'épine apicale externe aux tibias postérieurs (fig. 110) . . . . **Duronia** (p. 246)
13 (12) Antennes très longues, subégales aux 3/4 de la longueur du corps; une épine apicale externe aux tibias postérieurs. (fig. 111). **Lemuracris** (p. 249)
14 (11) Insectes microptères. 15
15 (18) Carènes latérales du pronotum faibles ou nulles dans la métazone; bord postérieur du pronotum incurvé ou incisé. 16
16 (17) Bords latéraux du fastigium très épais; élytres subelliptiques; antennes du ♂ pas beaucoup plus longues que celles de la ♀ (fig. 112). . . . . **Paracoryphosima** (p. 250)
17 (16) Bords latéraux du fastigium minces; élytres beaucoup plus longs que larges; antennes du ♂ beaucoup plus longues que celles de la ♀ (fig. 113). . . . . **Paralobopoma** (p. 253)
18 (15) Carènes latérales du pronotum bien marquées dans la métazone; bord postérieur du pronotum excurvé (fig. 114) . . . . . . **Vietteacris** (p. 255)
19 (2) Fovéoles temporales présentes mais invisibles du dessus (fig. 115, 116) . . . . **Gymnobothrus** (p. 257)
20 (1) Nervure intercalaire de l'aire médiane des élytres forte, serrulée (sauf parfois chez les ♀) 21
21 (38) Antennes filiformes, parfois un peu épaissies à la partie apicale; tête globuleuse, subglobuleuse ou subconique; front droit ou convexe de profil 22
22 (23) Tibias postérieurs élargis et comprimés frontalement à l'extrémité; pas de fovéoles temporales (fig. 117) . . . . **Paracinema** (p. 261)
23 (22) Tibias postérieurs non élargis à l'extrémité; fovéoles temporales présentes ou absentes. 24
24 (25) Fovéoles temporales allongées, 2 fois ou plus de 2 fois plus longues que larges, trapézoïdales (fig. 118) . . . . **Aiolopus** (p. 263)
25 (24) Fovéoles temporales absentes ou courtes, pas plus longues ou légèrement plus longues que larges, de forme irrégulière. 26
26 (27) Angle antérieur des lobes latéraux du pronotum atténué et saillant; éperons internes des tibias postérieurs aussi longs que le 1er article des tarses . . . . **Pternoscirtus** (p. 266)
27 (26) Angle antérieur des lobes latéraux du pronotum largement arrondi ou obtus; éperons internes des tibias postérieurs plus courts que le 1er article des tarses 28
28 (29) Prozone du pronotum à 2 grandes saillies odontiformes (fig. 119). . . . . **Trilophidia** (p. 267)
29 (28) Prozone du pronotum sans saillies 30
30 (37) Dessus de la tête subglobuleux, lisse; espace mésosternal moins de 2 fois plus large que long. 31
31 (32) Carène médiane du pronotum profondément échancrée par le sillon typique; aire inférieure des fémurs postérieurs un peu dilatée (fig. 120) . . . . **Pycnocrania** (p. 269)
32 (31) Carène médiane du pronotum traversée mais non échancrée par le sillon

typique; aire inférieure des fémurs postérieurs non dilatée 33

33 (34) Bord postérieur du pronotum fortement saillant en angle aigu, le disque en forme de crête (fig. 121) . . . . **Gastrimargus** (p. 272)

34 (33) Bord postérieur du pronotum anguleux ou arrondi, le disque tectiforme ou légèrement ensellé 35

35 (36) Taille moyenne; pronotum généralement marqué d'un dessin en X; ailes à bande transverse enfumée (fig. 122) . . . . . . **Oedaleus** (p. 274)

36 (35) Taille plus grande; pronotum sans dessin en X; ailes sans bande enfumée (fig. 123) . . . . **Locusta** (p. 276)

37 (30) Tête subconique, rugueuse; espace mésosternal plus de 2 fois plus large que long (fig. 124, 125). . . . . **Acrotylus** (p. 278)

38 (21) Antennes comprimées et légèrement élargies; tête conique; front légèrement incurvé de profil (fig. 126). . . . . **Calephorus** (p. 282)

Genre **Acrida** Linné

Acrida Linné, 1758 : 425; Dirsh, 1963 *a* : 246.

Grand; corps très allongé, presque bacilliforme. Antennes ensiformes un peu plus longues que la tête et le pronotum réunis. Tête fortement allongée, conique; fastigium du vertex très allongé, l'extrémité, parabolique ou obtuse; pas de fovéoles temporales; front fortement ou légèrement concave; côte frontale basse, étroite, fortement comprimée à l'apex, superficiellement sillonnée sur toute sa longueur, à carinules latérales obtuses. Disque du pronotum allongé, plat ou faiblement tectiforme, à carènes vives; carènes latérales soit droites, soit légèrement incurvées ou excurvées, soit divergentes dans la métazone. Disque traversé seulement par le sillon typique; métazone aussi longue ou un peu plus courte, ou un peu plus longue que la prozone, son bord postérieur obtus ou en angle aigu; espace mésosternal ouvert. Élytres et ailes complètement développés, à apex aigu; élytres à réticulation dense; nervure intercalaire de l'aire médiane présente; nervure costale et parfois nervure sous-costale finement serrulées; aire médiane des ailes élargie, luisante, formant un spéculum. Fémurs postérieurs allongés et étroits; lobes géniculaires postérieurs à apex aigu; lobe supéro-interne un peu plus long que l'externe. Arolium grand. Plaque sus-anale ♂ allongée, anguleuse. Cerques étroitement coniques à apex obtus. Plaque sous-génitale allongée, conique, aiguë, présentant une saillie dorsale. Oviscapte court, robuste, à valves courbées.

Espèce type : *Gryllus Acrida turritus* Linné, 1758.

Clé des espèces malgaches (♂, ♀)

1 (2) Sillon transverse à peu près au milieu du pronotum; carènes latérales ondulées dans la prozone; bord postérieur de la métazone en angle obtus; apex des élytres allongé, aigu (fig. 104) . . . . 1. **A. madecassa**

2 (1) Sillon transverse situé avant le milieu du pronotum; carènes latérales incurvées dans la prozone, fortement excurvées dans la métazone; bord postérieur de la métazone faisant saillie en angle aigu à apex pointu; extrémité des élytres moins allongée et moins aiguë (fig. 105) . 2. **A. subtilis**

1. Acrida madecassa (Brancsik) (loc. typ. : Baie de Baly; type ♂, perdu).

Tryxalis madecassa Brancsik, 1893 : 186.

Acrida madecassa (Brancsik, 1893); KIRBY, 1902 : 64; DIRSH, 1963 *a* : 248; DESCAMPS et WINTREBERT, 1966 *b* : 192.

Fig. 104. — Long. ♂ 38 à 43 mm, ♀ 60 à 74 mm; pronotum ♂ 6 à 7 mm, ♀ 9,5 à 12 mm; élytre ♂ 32 à 36 mm, ♀ 49 à 63 mm; fémur postérieur ♂ 24 à 27 mm, ♀ 34,5 à 41 mm.

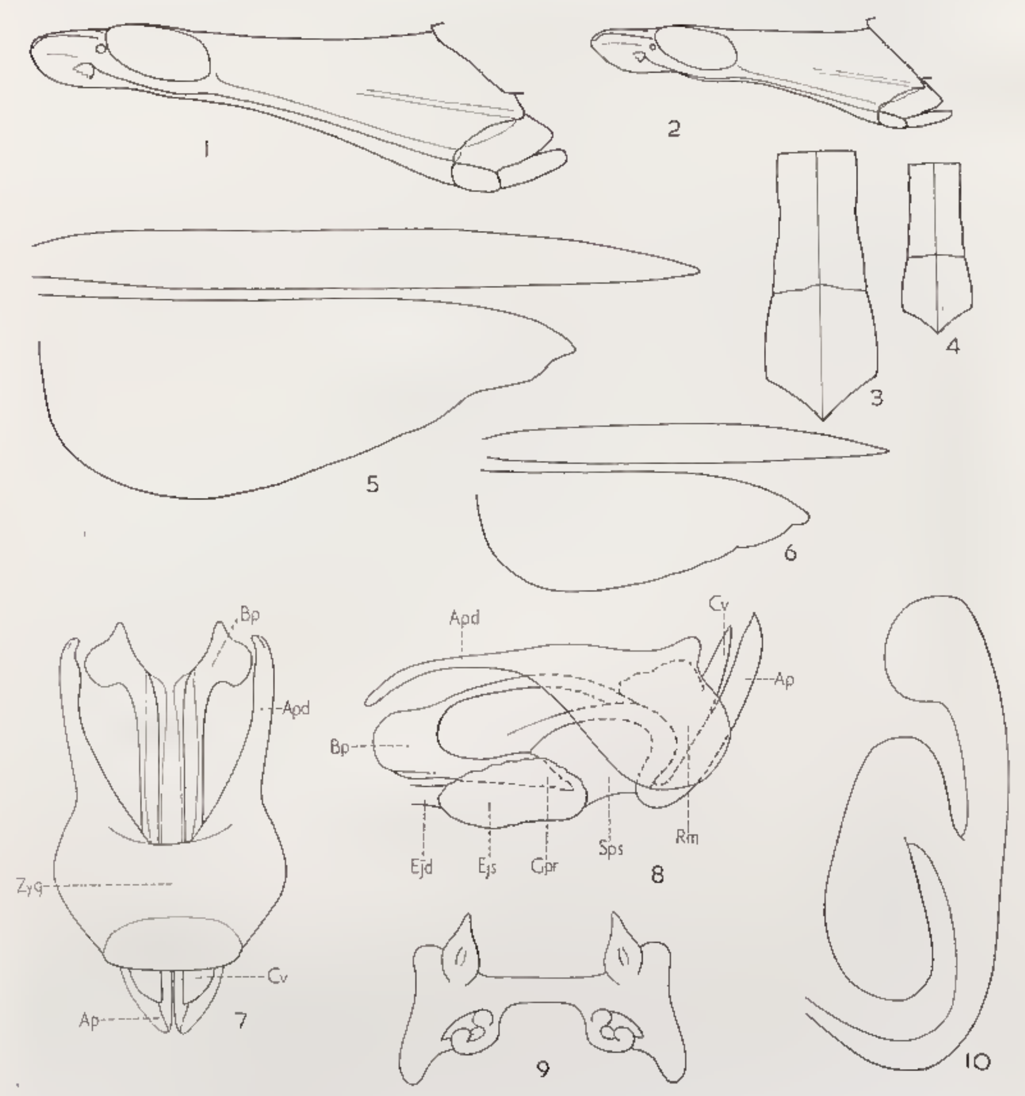


FIG. 104. — *Acrida madecassa* (Brancsik, 1893). — 1, Tête ♀. — 2, *id.*, ♂. — 3, Disque du pronotum ♀. — 4, *id.*, ♂. — 5, Élytre et aile ♀. — 6, *id.*, ♂. — 7, Complexe phallique dorsalement, membrane ectophallique et épiphalle enlevés. — 8, *id.*, latéralement. — 9, Épiphalle. — 10, Spermathèque.

♂. Grand et grêle. Tête fortement allongée, grêle, relativement étroite dans la région basale; front un peu concave de profil; fastigium du vertex long, à bords latéraux parallèles et apex arrondi. Carènes latérales du pronotum ondulées dans la prozone, légèrement excurvées dans la métazone; sillon transverse à peu près au milieu du disque; bord postérieur de la métazone en angle obtus, à côtés concaves. Élytres bien saillants au-delà des genoux postérieurs, étroits, à apex allongé et aigu. Lobes supérieurs des genoux postérieurs courts et aigus; lobe supéro-externe plus large que l'inférieur. Plaque sous-génitale à apex allongé, aigu.

Complexe phallique : zygoma grand et moyennement sclérifié; apodèmes allongés; valves du cingulum courtes, l'apex subaigu. Valves basales du pénis à saillie latérale; valves apicales moyennement étroites, plus longues que les valves du cingulum; flexure relativement épaisse. Èpiphalle á ancorae articulées; lophi bilobés, les lobes courts, arrondis.

Coloration générale de vert à brunâtre; élytres uniformément verts ou à dessins, en général brunâtres à l'apex; ailes un peu jaunâtres, parfois un peu enfumées.

♀. Comme le ♂ mais plus grande. Carènes latérales du pronotum plus fortement ondulées dans la prozone. Spermathèque à diverticule apical élargi à l'apex, diverticule préapical sacculiforme.

Madagascar Est : Ile Sainte Marie, Ambohidena, V-1959 (*E. Razafimandimby*). — Tamatave, Ambodiatafana, VI-1958 (*E. Razafimandimby*).

Madagascar Centre : Tananarive, parc de Tsimbazaza, XII-1951, (*P. Viette*); I-1960 (*P. Griveaud*). — Arivonimamo, X-1948. — Ankazobe, station forestière de Manankazo, km 130 de la route de Majunga, II-1948 (*P. Cachan*).

Madagascar Ouest : Maevatanana, forêt de l'Ankarafantsika, poste d'Ampijoroa. — Miandrivazo, III-1960 (*Gruchet*). — Soalala, baie de Baly (*Brancsik*).

Madagascar Sud : Betioky, Anakao, IV-1953. — Itampolo, V-1951 (*R. Paulian*). — Betroka, Manadrotsy (*J. Elie*). — Sud-Ouest 1962-64 (*D. Wintrebert*).

2. **Acrida subtilis** Burr (loc. typ. : Madagascar; type ♂, Musée de Vienne).

Acrida subtilis Burr, 1902 : 157, 171; Dirsh, 1963 *a* : 248; Descamps et Wintrebert, 1966 *b* : 195.

Fig. 105. — Long. ♂ 30 à 36 mm, ♀ 50 á 54 mm; pronotum ♂ 5 à 6 mm, ♀ 10 á 10,5 mm; élytre ♂ 25,5 à 28,5 mm, ♀ 39,4 á 41 mm; fémur postérieur ♂ 19 à 20 mm, ♀ 28 à 30,5 mm.

♂. Taille moyenne et corps assez robuste. Tête moyennement allongée, relativement large dans la partie basale; front moyennement concave de profil; fastigium du vertex long, étroit, á apex largement arrondi. Carènes latérales du pronotum incurvées dans la prozone, fortement excurvées et divergentes dans la métazone; sillon transverse situé en avant du milieu; bord postérieur de la métazone allongé en angle aigu, à apex pointu et côtés concaves. Élytres dépassant un peu les genoux postérieurs, larges, l'extrémité peu allongée, relativement large. Lobes supérieurs des genoux postérieurs moyennement longs, aigus; lobe supéro-externe un peu plus large que l'inférieur. Plaque sous-génitale moyennement longue, à apex subaigu.

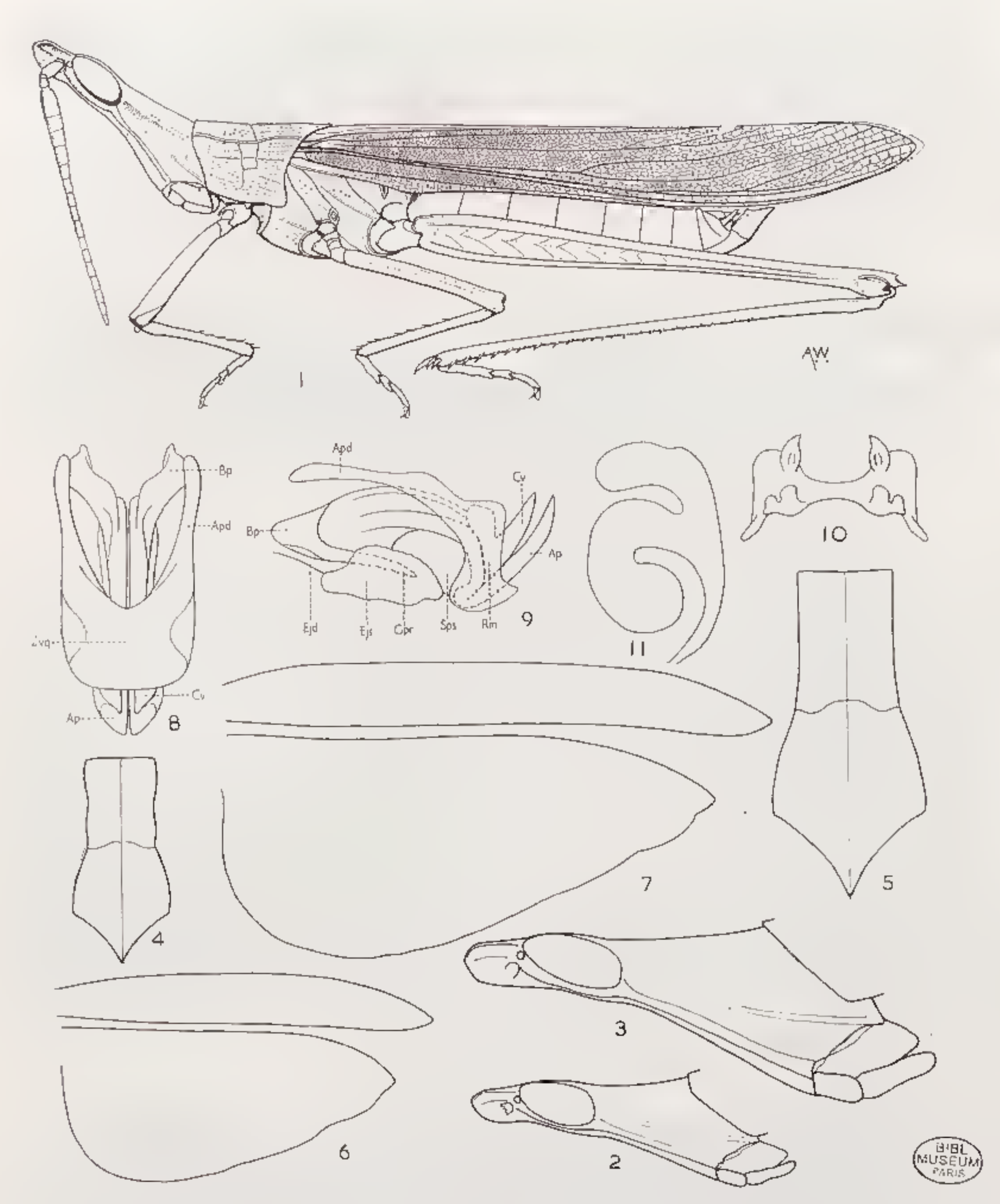


FIG. 105. — *Acrida subtilis* Burr, 1902. — 1, ♂. — 2, Tête ♂. — 3, *id.*, ♀. — 4, Disque du pronotum ♂. — 5, *id.*, ♀. — 6, Élytre et aile ♂. — 7, *id.*, ♀. — 8, Complexe phallique dorsalement, membrane ectophallique et épiphalle enlevés. — 9, *id.*, latéralement. — 10, Épiphalle. — 11, Spermathèque.

Complexe phallique : zygoma grand et allongé; apodèmes longs; valves du cingulum courtes, à apex aigu. Valves basales du pénis à saillie latérale; valves apicales étroites, un peu plus longues que les valves du cingulum; flexure assez épaisse. Épiphalle à ancorae articulées; lophi bilobés, à lobes rapprochés.

Coloration générale verte. Élytres verts, parfois à dessins brunâtres; ailes un peu jaunâtres, parfois un peu enfumées.

♀. Comme le ♂ mais plus grande. Tête relativement plus élargie dans la partie basale. Spermathèque à diverticule apical moyen et grand diverticule préapical sacculiforme.

Madagascar Est : Perinet.

Madagascar Centre : Ankazobe, station forestière de Manankazo, II-1948 (*R. Paulian*). — Ambalavao, I-1954 (*R. Paulian*). — Forêt d'Ambohitantely, II-1948 (*P. Cachan*).

Madagascar Ouest : Sakaraha, forêt de Lambomakandro, III-1956 (*R. Paulian*).

Madagascar Sud : Betroka, Manandrotsy (*J. Elie*). — Sud-Ouest 1962-64 (*D. Wintrebert*). — Ampanihy, Tranoroa, II-1958 (*G. Griveaud*).

Genre **Chromacrida** Dirsh

Chromacrida Dirsh, 1952 : 135; 1963 *a* : 250.

Corps de grande taille, fortement allongé; rapport de la longueur du corps à sa largeur maximale de 10,1 à 12,2. Antennes étroites, ensiformes, plus longues que la tête et le pronotum réunis. Tête fortement allongée, étroite, conique; fastigium du vertex très allongé, grand, spatulé; pas de fovéoles temporales; front un peu concave de profil; côte frontale basse, étroite, comprimée à l'apex, superficiellement sillonnée sur toute sa longueur, les carinules latérales obtuses. Pronotum allongé; disque plan; carènes médiane et latérales vives, linéaires; sillon typique traversant le disque au-delà du milieu. Espace mésosternal allongé, ses bords latéraux incurvés, la partie antérieure élargie. Élytres longs, étroits, à apex fortement aigu; réticulation dense; une nervure intercalaire dans l'aire médiane; nervures costale et sous-costale à peine serrulées. Ailes plus courtes que les élytres, étroites, sans spéculum, à membrane mate, les parties apicale et postérieure brillamment colorées. Fémurs postérieurs très longs et très étroits; rapport longueur/largeur de 18 à 19. Lobes supérieurs des genoux postérieurs courts et aigus. Arolium grand. Plaque sus-anale ♂ allongée, anguleuse. Cerques courts, étroits, coniques. Plaque sous-génitale courte, conique, à apex aigu. Oviscapte court, robuste; valves larges, un peu courbées.

Espèce type : *Acrida radamae* Saussure, 1899.

Clé des espèces

1 (2) Grand et moins grêle; front plus concave de profil; carènes latérales du pronotum droites et divergentes dans la prozone; bord postérieur de la métazone pointu; ailes 2 fois plus longues que larges (fig. 106). 1. **Ch. radamae**

2 (1) Plus petit et plus grêle; front moins concave de profil; carènes latérales du pronotum ondulées et parallèles dans la prozone; bord postérieur de la métazone en angle aigu mais non appointi; ailes 3 fois plus longues que larges (fig. 107) . . . . 2. **Ch. brunneriana**

1. Chromacrida radamae (Saussure) (loc. typ. : Madagascar; type ♀, Musée de Genève).

Acrida radamae Saussure, 1899 : 629.
Chromacrida radamae (Saussure, 1899); Dirsh, 1952 : 135, 1963 *a* : 251; Descamps et Wintrebert, 1966 *b* : 197.

Fig. 106. — Long. ♂ 44 à 45 mm, ♀ 60 à 71 mm; pronotum ♂ 6,3 mm, ♀ 9,3 à 10,4 mm; élytre ♂ 39,5 à 40 mm, ♀ 56 à 61 mm ; fémur postérieur ♂ 27 à 28 mm, ♀ 32,5 à 41 mm.

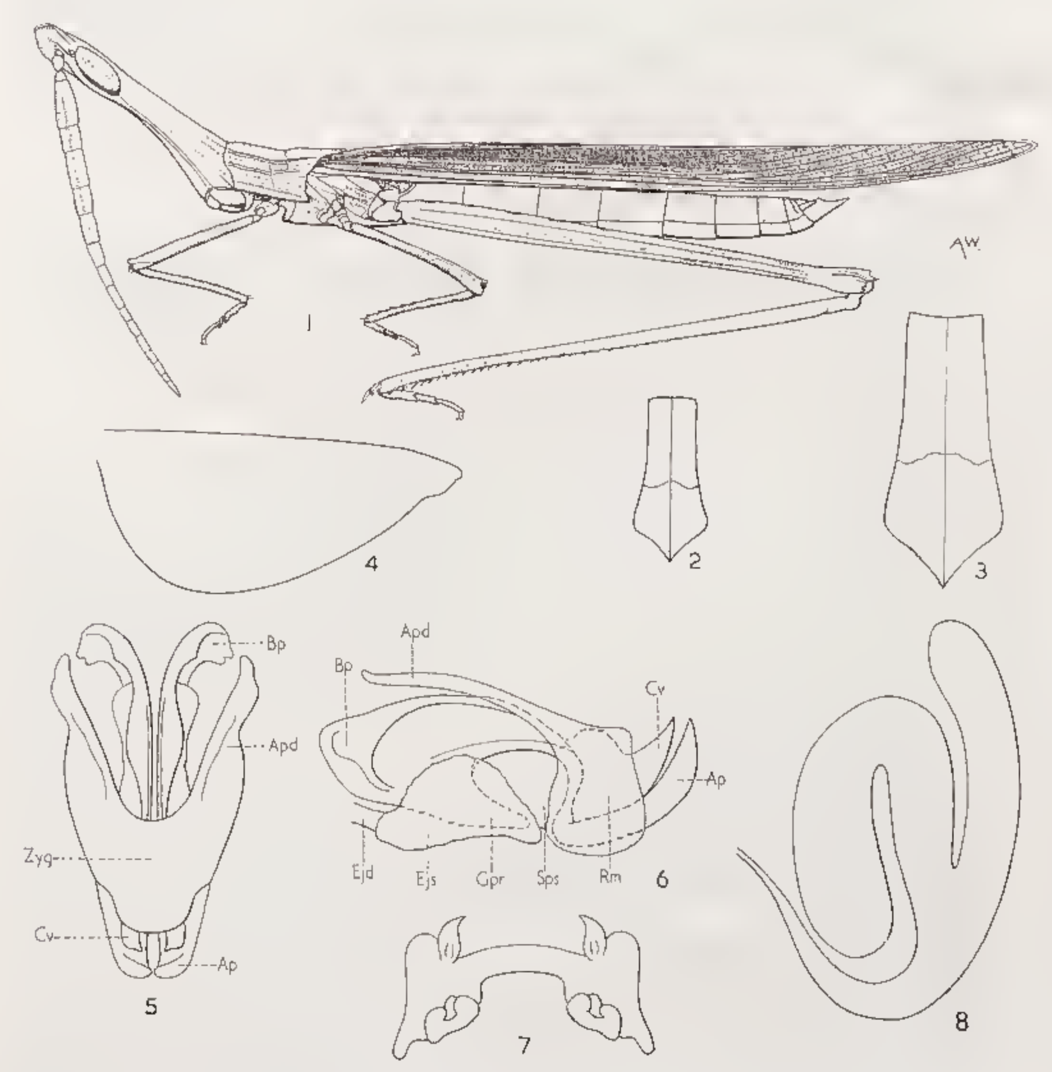


Fig. 106. — *Chromacrida radamae* (Saussure, 1899). — 1, ♂. — 2, Disque du pronotum ♂. — 3, *id.*, ♀. — 4, Aile. — 5, Complexe phallique dorsalement, membrane ectophallique et épiphalle enlevés. — 6, *id.*, latéralement. — 7, Épiphalle. — 8, Spermathèque.

♂. Grêle. Antennes étroitement ensiformes, plus longues que la tête et le pronotum réunis. Tête fortement allongée; front fortement concave de profil; fastigium du vertex à côtés parallèles et apex largement arrondi. Carènes latérales du pronotum droites et divergentes dans la prozone, excurvées et divergentes dans la métazone; bord postérieur de la métazone en angle aigu à apex pointu. Élytres longs et étroits; rapport longueur/largeur de 12/1; apex aigu. Ailes plus courtes que les élytres, larges, rapport longueur/largeur d'environ 2/1. Fémurs postérieurs dépassant nettement l'extrémité de l'abdomen.

Complexe phallique : zygoma grand et allongé; apodèmes relativement courts et larges; valves du cingulum courtes, larges, à apex aigu. Valves basales du pénis excurvées à l'extrémité proximale; valves apicales robustes, recourbées vers le haut, à apex aigu; flexure mince. Épiphalle à ancorae articulées et lophi profondément bilobés.

Couleur générale jaunâtre sale, parfois verdâtre; ailes brun noirâtre sur la marge externe, puis rouge feu; partie basale jaunâtre crème.

♀. Comme le ♂ mais plus grande. Spermathèque à grand diverticule apical étroit et grand diverticule préapical sacculiforme et courbé.

Madagascar Est : Manakara, XI-1957 (*J. Elie*). — Ambatondrazaka, Réserve naturelle intégrale III, Ambatovositra, Andranomalaza, XII-1956 (*P. Soga*). — Farafangana, Ivohibe (*J. Millot*). — Ifanadiana, Ranomafana (*E. Razafimandimby*). — Fort-Dauphin, 1901 (*Ch. Alluaud*); 1914 (*P. Godel*); IV-1953 (*R. Paulian*).

Madagascar Centre : Route de Majunga, km 132, IX-1957 (*J. Elie*). — Tananarive, 1916 (*Waterlot*).

Madagascar Ouest : Plaines du Fiherenana, 1905, 1906 (*F. Geay*). — Morondava, forêt au Sud de Befasy, I-1956 (*R. Paulian*). — Sakaraha, forêt de Lambomakandro, II-1958 (*P. Griveaud*); forêt de Zombitsy, XII-1959 (*E. Raharizonina*).

Madagascar Sud : Ambovombe, 1925 (*R. Decary*); Cap Ste Marie, XII-1951 (*R. Paulian*). — Province de Tuléar, 1899 (*G. Grandidier*); 1926 (*G. Petit*). — Betioky, La Sakoa (*R. P. Cattala*). — Beloha, IX-1963 (*P. Dechappe*). — Sud-Ouest 1962-64 (*D. Wintrebert*).

2. Chromacrida brunneriana (I. Bolivar) (loc. typ. : Madagascar Centre (*Sikora*); type ♂, Musée de Madrid).

Truxalis brunneriana I. Bolivar, 1893 : 161.
Acrida radamae (♂) Saussure, 1899 : 629; Dirsh, 1952 : 136; 1963 *a* : 252.
Acrida sanguinea Saussure, 1899 : 629; Dirsh, 1952 : 136; 1963 *a* : 252.
Acrida intercalata Burr, 1902 : 162; Dirsh, 1952 : 136; 1963 *a* : 252.
Chromacrida brunneriana (I. Bolivar, 1893) : Dirsh, 1952 : 136; 1963 *a* : 252; Descamps et Wintrebert, 1966 *b* : 198.

Fig. 107. — Long. ♂ 32 à 33,5 mm, ♀ 47 à 53 mm; pronotum ♂ 4,5 à 5 mm, ♀ 7 à 8 mm; élytre ♂ 28 à 30 mm, ♀ 50 à 51 mm; fémur postérieur ♂ 19 à 21,5 mm, ♀ 30,5 à 33 mm.

♀. Très grêle. Antennes étroitement ensiformes, plus longues que la tête et le pronotum réunis. Tête très allongée, étroite; front moyennement concave de profil; fastigium du vertex légèrement élargi vers l'extrémité; apex arrondi. Carènes latérales

du pronotum ondulées et parallèles dans la prozone, légèrement excurvées dans la métazone; bord postérieur de la métazone en angle aigu, mais non appointi. Élytres longs et étroits, rapport longueur/largeur 13/5, à apex pointu. Ailes bien plus courtes que les élytres, étroites; rapport longueur/largeur environ 3/1. Fémurs postérieurs dépassant largement l'extrémité de l'abdomen.

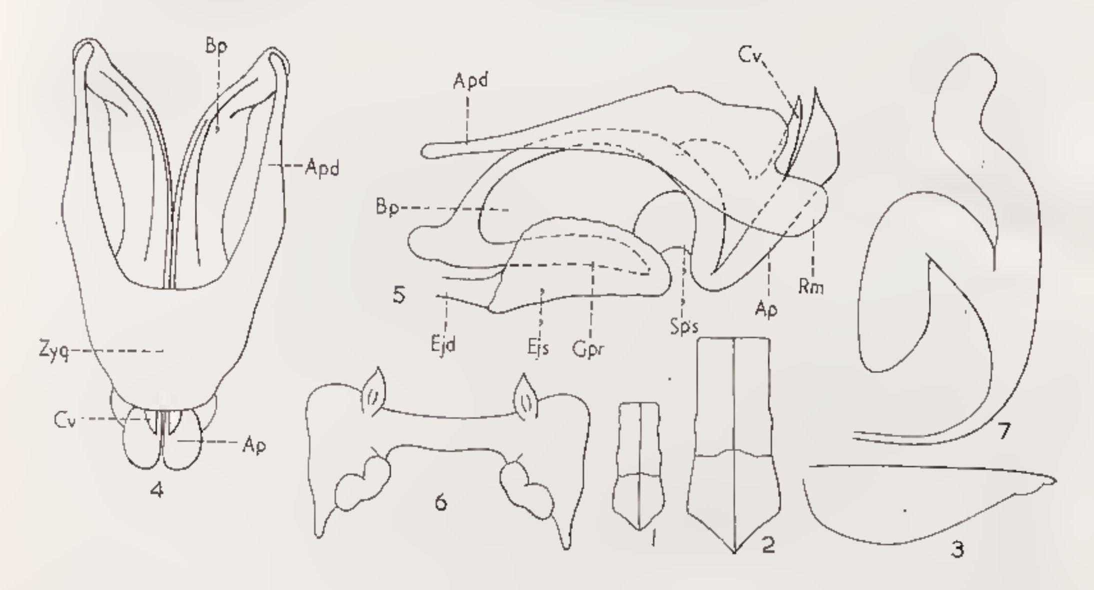


FIG. 107. — *Chromacrida brunneriana* (I. Bolivar, 1893). — 1, Disque du pronotum ♂. — 2, *id.*, ♀. — 3, Aile. — 4, Complexe phallique dorsalement, membrane ectophallique et épiphalle enlevés. — 5, *id.*, latéralement. — 6, Épiphalle. — 7, Spermathèque.

Complexe phallique : zygoma grand, allongé; apodèmes relativement longs et étroits; valves du cingulum courtes, à apex aigu. Valves basales du pénis moyennement excurvées à l'extrémité proximale; valves apicales s'élargissant vers l'extrémité distale, l'apex aigu de profil; flexure relativement épaisse. Épiphalle à ancorae articulées et lophi faiblement bilobés.

Coloration générale brun jaunâtre; marge externe des ailes brun noirâtre; partie antérieure de l'aile, lobe apical et partie basale rouge devenant crémeux vers la base.

♀. Comme le ♂ mais plus grande. Spermathèque à long diverticule apical courbé à l'apex et diverticule préapical sacculiforme, courbé, de taille moyenne.

Les spécimens ayant mué récemment ont des ailes blanc laiteux, la coloration définitive n'est acquise qu'avec la maturité sexuelle.

MADAGASCAR EST : Moramanga (*Gruvel*). — Fort-Dauphin, III-1960 (*Randriamasy*).

MADAGASCAR CENTRE : Tananarive, 1916 (*Waterlot*). — Sahambava, Fianarantsoa, 1934 (*R. P. Cattala*). — Manjakandriana, Ankadimanga, XII-1957 (*J. Elie*). — Ankazobe, tampoketsa d'Ambohitantely, XII-1948 (*R. Paulian*). — Mandalahy, X-1964 (*D. Wintrebert*).

MADAGASCAR SUD : Tsivory, 1906 (*Fauchère*).

Genre **Pseudopargaella** Descamps et Wintrebert

Pseudopargaella Descamps et Wintrebert, 1966 *a* : 31; 1966 *b* : 199.

♂. Taille petite. Longiligne. Tête conique. Profil de la face fortement déclive, droit, avec une forte convexité au niveau des antennes. Côte frontale complète, étroite, sillonnée. Face ridée longitudinalement. Fastigium plus court que la longueur de l'œil, semi-elliptique, bordé de carinules peu saillantes, l'extrémité largement arrondie, les bords très minces; une forte carinule médiane se prolongeant, en s'amincissant, sur le vertex. Angle fastigio-facial droit. Pas de fovéoles temporales. Antennes ensiformes, subégales à la longueur de la tête et du pronotum réunis. Pronotum un peu plus court que la tête. Disque rugueux, parcouru par de fines côtes longitudinales plus ou moins nettes, traversé seulement par le sillon typique coupant la carène médiane vers le 1/3 postérieur; bord postérieur droit. Carènes latérales épaisses, rigoureusement parallèles, coupées par aucun sillon. Lobes latéraux à côtes longitudinales irrégulières, le bord inférieur presque droit, le bord postérieur fortement concave, l'angle postérieur aigu et saillant vers l'arrière. Prosternum sans saillie et sans collier. Espace mésosternal subcarré. Lobes métasternaux étroitement distants à l'arrière. Microptère; élytres étroits; ailes n'atteignant pas tout à fait l'extrémité des élytres. Fémurs postérieurs ne dépassant pas l'extrémité de l'abdomen. Lobes géniculaires supérieurs peu saillants, l'unité interne un peu plus longue que l'autre; lobes géniculaires inférieurs aigus. Abdomen rugueux, la face dorsale parcourue par des côtes longitudinales peu saillantes. Tympan auditif grand. Bord postérieur du dernier tergite à découpure semi-circulaire. Cerques courts, subconiques. Plaque sous-génitale conique, fortement saillante.

Épiphalle ayant la forme caractéristique du groupe *Pargae;* ancorae rudimentaires; lophi redressés dorsalement, nettement bifides; bord postérieur du disque à lobe triangulaire rabattu ventralement à la verticale. Membrane ectophallique à sclérification latéro-apicale. Rami peu épais.

♀. Antennes très nettement plus courtes que la tête et le pronotum réunis. Lobes métasternaux largement distants à l'arrière. Valves de l'oviscapte à extrémité bien recourbée, les unités inférieures à saillie basale externe.

Canal de la spermathèque très large sur la moitié basale, replié sur lui-même un peu avant l'ouverture entre les sclérites basivalvulaires, pelotonné au milieu; ampoule terminale oblongue, pourvue d'un diverticule latéro-basal.

Espèce type : *Pseudopargaella nigropunctata* Descamps et Wintrebert, 1966.

1. Pseudopargaella nigropunctata Descamps et Wintrebert (loc. typ. : 57 km Nord d'Ambohimahasoa; holotype ♂, allotype ♀, Muséum Paris).

Pseudopargaella nigropunctata Descamps et Wintrebert, 1966 *a* : 31; 1966 *b* : 201.

Fig. 108. — Long. ♂ 13,2 à 14,5 mm, ♀ 20,6 à 21,5 mm; pronotum ♂ 1,9 à 2,2 mm, ♀ 3 à 3,5 mm; élytre ♂ 1,6 à 1,9 mm, ♀ 2,7 à 3,4 mm; fémur postérieur ♂ 6,9 à 7,9 mm, ♀ 10,1 à 11,1 mm.

♂. Côte frontale légèrement élargie et profondément sillonnée entre les antennes,

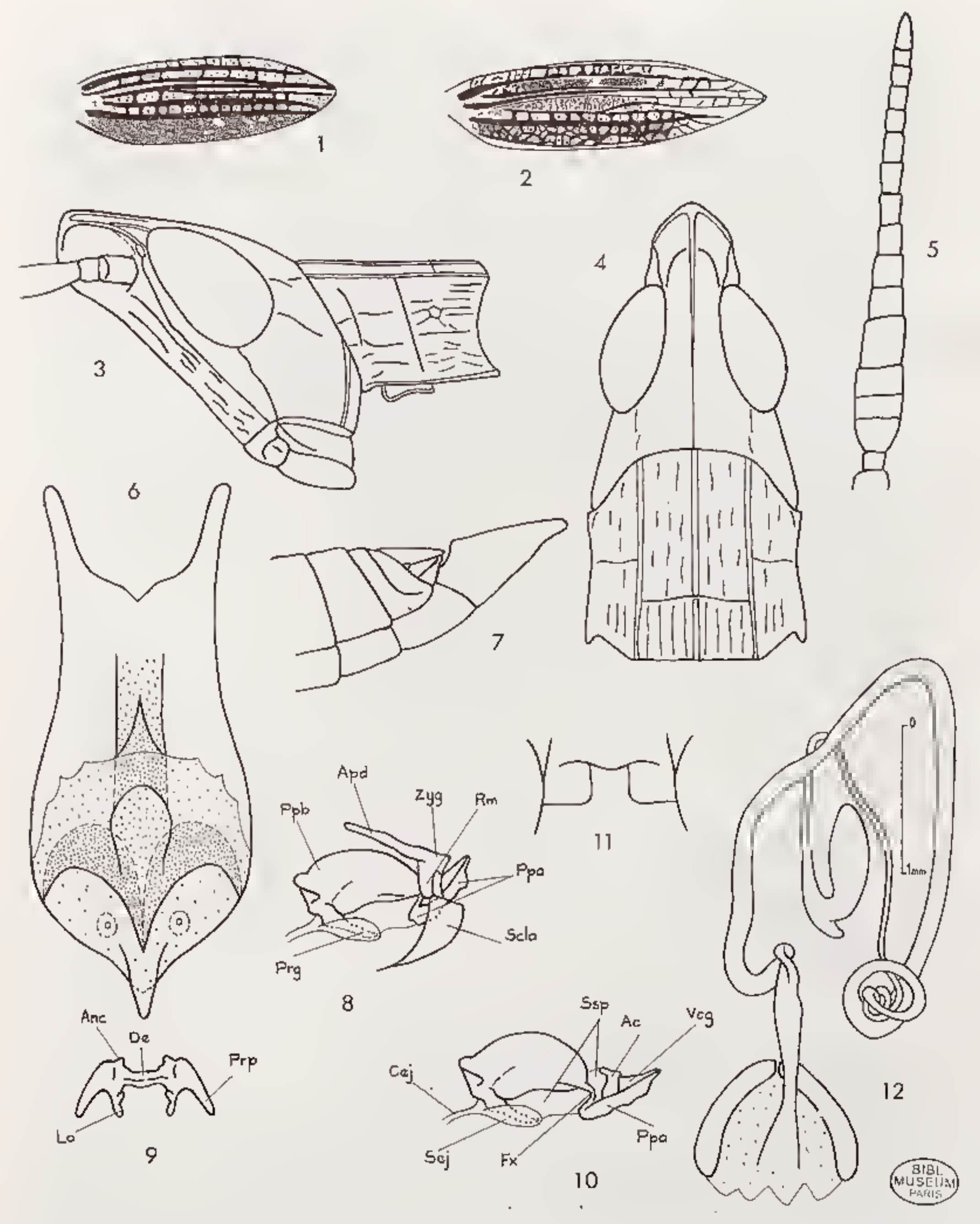


FIG. 108. — *Pseudopargaella nigropunctata* Descamps et Wintrebert, 1966. — 1, Élytre ♂. — 2, *id.*, ♀. — 3, Tête et pronotum latéralement. — 4, *id.*, dorsalement. — 5, Antenne ♂. — 6, Plaque sous-génitale ♀, face dorsale. — 7, Extrémité abdominale ♂ latéralement. — 8, Complexe phallique latéralement. — 9, Épiphalle. — 10, Endophalle latéralement. — 11, Mésosternum ♂. — 12, Spermathèque.

puis de largeur constante jusqu'à l'ocelle médian, s'élargissant progressivement de l'ocelle médian jusqu'au clypéus. Fastigium à peu près aussi long que large à la base, rugueux, les bords latéraux subparallèles, le bord antérieur arqué; aires latérales subplanes et aire médiane bombée longitudinalement. Vertex bombé, uniformément rugueux, dépourvu de carinules latérales. Distance infra-oculaire subégale à la largeur de l'œil. Joues peu rugueuses; une petite callosité longitudinale allant du bord postérieur des yeux au bord antérieur du pronotum au niveau des carènes latérales. Antennes, rabattues vers l'arrière, atteignant le bord antérieur du tympan auditif, composées de 17 articles; articles 3-8 de section triangulaire; articles 9-10 de section subtriangulaire, articles 11-17 de section elliptique. Disque du pronotum légèrement tectiforme; carène médiane fine; côtes longitudinales plus marquées dans la métazone (caractère variable); carènes latérales s'amincissant légèrement dans la métazone. Angle antérieur des lobes latéraux légèrement saillant. Espace mésosternal un petit peu plus long que large. Élytres à extrémité arrondie, atteignant le bord postérieur du 1er tergite abdominal; ailes atteignant les 4/5 de la longueur du même tergite. Fémurs médians pourvus de 4 carènes bien nettes. Lobe géniculaire inféro-interne du fémur postérieur plus aigu que le lobe inféro-externe. Abdomen creusé de larges cupules irrégulières et peu profondes. Cerques atteignant à peine l'extrémité de la plaque sus-anale.

Teinte générale brune. Ponctuation noire, peu dense sur l'ensemble du corps. Une bande jaunâtre partant du bord antérieur des yeux, longeant les carènes latérales de la face, puis le bord inférieur des joues, recouvrant le 1/4 inférieur des lobes latéraux du pronotum, puis s'estompant sur les pleures thoraciques. Carènes latérales du pronotum plus claires que le disque. Abdomen brun jaunâtre avec une bande latérale brun plus foncé à contours mal définis; quelques points noirs le long du bord postérieur de chaque tergite; 1 point noir en position latérale sur chaque sternite. Face interne des fémurs postérieurs marbrée; face externe marquée de petites taches noires le long des carènes. Tibias postérieurs bruns, l'extrémité et la face inférieure plus foncées.

♀. Antennes, rabattues vers l'arrière, atteignant le sillon typique. Élytres à extrémité étroitement arrondie, dépassant un peu le bord postérieur du 1er tergite abdominal. Ailes comme chez le ♂.

Même type de coloration que chez le ♂ mais pas de bande latérale jaunâtre sur la tête et le pronotum.

MADAGASCAR CENTRE : Pays Betsileo, 57 km Nord d'Ambohimahasoa, X-1964 (*J. Têtefort et D. Wintrebert*).

Genre **Gelastorhinus** Brunner

Gelastorhinus Brunner, 1893 : 157; DIRSH, 1963 *a* : 253.

Taille moyenne. Corps très allongé; tégument lisse. Antennes ensiformes, plus longues que la tête et le pronotum réunis. Tête allongée, conique; fastigium du vertex plus court que le plus grand diamètre de l'œil, à apex parabolique ou largement obtus; pas de fovéoles temporales; front droit. Côte frontale étroite, profondément sillonnée; carinules latérales vives, divergentes vers le bas. Pronotum allongé; disque plan ou un peu tectiforme, traversé par un seul sillon; carènes médiane et latérales bien développées; carènes latérales un peu divergentes dans la métazone; métazone bien plus

courte que la prozone, son bord postérieur arrondi ou en angle obtus. Saillie prosternale conique ou pyramidale, courte, large à la base. Espace mésosternal étroit. Élytres et ailes entiers, étroits; nervation et réticulation des élytres lâches; membrane transparente; une nervure intercalaire dans l'aire médiane. Fémurs postérieurs étroits; lobe supéro-interne des genoux postérieurs plus long que le lobe externe, à apex anguleux. Cerques un peu comprimés, à apex obtus et un peu incurvé. Plaque sous-génitale courte, conique. Valves de l'oviscapte robustes, courbées à l'extrémité.

Espèce type : *Gelastorhinus albolineatus* Brunner, 1893.

Les espèces de ce genre peuplent les régions orientale et éthiopienne; 1 seule espèce est connue de Madagascar.

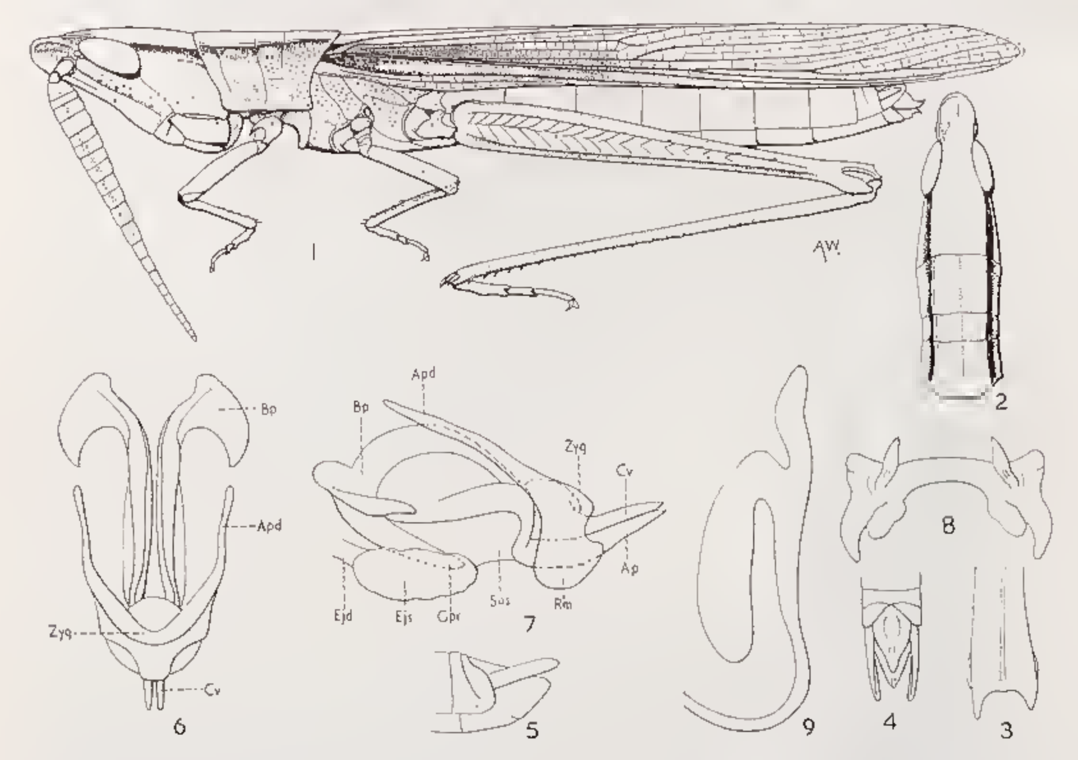


FIG. 109. — *Gelastorhinus edax* Saussure, 1899. — 1, ♀. — 2, Tête et pronotum dorsalement. — 3, Extrémité distale du fémur postérieur droit dorsalement. — 4, Extrémité abdominale ♂ dorsalement. — 5, *id.*, latéralement. — 6, Complexe phallique dorsalement, membrane ectophallique et épiphalle enlevés. — 7, *id.*, latéralement. — 8, Épiphalle. — 9, Spermathèque.

1. Gelastorhinus edax Saussure (loc. typ. : Majunga; type ♀, Musée de Genève).

Gelastorhinus edax Saussure, 1899 : 634; DIRSH, 1963 *a* : 254; DESCAMPS et WINTREBERT, 1966 *b* : 198.

Fig. 109. — Long. ♂ 23,2 à 24 mm, ♀ 38,3 à 41,5 mm; pronotum ♂ 3,9 à 4 mm, ♀ 6,5 à 7,5 mm; élytre ♂ 19,2 à 20,6 mm, ♀ 31 à 34 mm; fémur postérieur ♂ 14,5 à 15 mm, ♀ 19,5 à 21 mm.

♂. Antennes de 21 à 22 articles, étroitement ensiformes. Fastigium du vertex, déprimé, parcouru par une carinule médiane. Carènes latérales du pronotum presque parallèles; disque un peu tectiforme; bord postérieur de la métazone arrondi. Saillie prosternale courte, pyramidale. Espace mésosternal allongé, étroit, s'élargissant dans la région antérieure. Élytres étroits, à apex subaigu. Cerques longs, presque droits dépassant l'extrémité de la plaque sous-génitale, comprimés, étroits, à apex obtus.

Complexe phallique : zygoma court; apodèmes courts et étroits; valves du cingulum droites, étroites, à apex subaigu. Valves basales du pénis à expansion latérale grande et fortement saillante; valves apicales étroites, presque droites, à apex aigu; flexure relativement mince. Épiphalle à ancorae articulées; lophi lobiformes, tendant à être bilobés.

Coloration générale verdâtre ou ocre, à bande latérale étroite débutant au bord postérieur des yeux, soulignant les carènes latérales du pronotum et se prolongeant sur les élytres.

♀. Comme le ♂ mais plus grande. Plaque sous-génitale superficiellement trilobée. Oviscapte court, à valves aiguës à l'apex. Spermathèque à diverticule apical étroit et long diverticule préapical courbé.

Madagascar Nord : Diégo-Suarez, Joffreville, XII-1947 (*P. Cachan*).

Madagascar Centre : Tananarive, parc de Tsimbazaza, I-1948, II-1949 (*R. Paulian*); I-1962 (*D. Wintrebert*). — Ankazobe, tampoketsa d'Ambohitantely, lisière forestière, II-1948 (*P. Cachan*). — Ambatofinandrahana, 1 180 m, VII-1957 (*P. Griveaud*).

Madagascar Ouest : Antsalova, Andobo, forêt de l'Antsingy, 190 m, II-1957 (*P. Griveaud*).

Madagascar Sud : Sud-Ouest, 1962-64 (*D. Wintrebert*). — Sud-Sud-Est, VIII-1964 (*D. Wintrebert*).

Genre **Duronia** Stål

Duronia Stål, 1876 : 21; Dirsh, 1963 *a* : 255.
Rodunia I. Bolivar, 1908 : 100; Rehn, 1914 : 77; Dirsh, 1963 *a* : 255.

Taille moyenne. Tégument finement rugueux. Antennes ensiformes, un peu plus courtes que la tête et le pronotum réunis. Tête conique; fastigium du vertex parabolique, à fine carène médiane et courtes carinules latérales; pas de fovéoles temporales; front fortement oblique, droit; côte frontale sillonnée sur toute sa longueur, à carinules latérales saillantes, divergentes vers le bas. Disque du pronotum plat, large, traversé par un seul sillon, à fortes carènes vives; carènes latérales droites, presque parallèles ou un peu divergentes vers l'arrière; métazone un peu plus courte que la prozone, à bord postérieur en angle obtus. Espace mésosternal ouvert. Élytres et ailes entièrement développés; membrane des élytres semi-transparente, à réticulation moyennement serrée. Fémurs postérieurs grêles, atteignant ou dépassant légèrement l'extrémité de l'abdomen. Lobes des genoux postérieurs de longueur égale; lobes supérieurs à apex arrondi, lobe inféro-externe anguleux; lobe inféro-interne en angle aigu. Arolium

grand. Plaque sus-anale ♂ allongée, anguleuse. Cerques allongés, coniques, à apex aigu. Oviscapte court; valves robustes, larges, courbées à l'apex.

Espèce type : *Phlaeoba chloronota* Stål, 1876.

1. Duronia chloronota (Stål) (loc. typ. : S.-O. africain; type ♂, Musée de Vienne).

Phlaeoba chloronota Stål, 1876 : 48.
Phlaeoba viridula var. *litura* I. Bolivar, 1889 : 98; DIRSH, 1962 *c* : 86; 1963 *a* : 255.
Phlaeoba laeta I. Bolivar, 1890 : 310; DIRSH, 1963 *a* : 255.
Phlaeoba tricolor Karny, 1907 : 368; DIRSH, 1962 *c* : 86; 1963 *a* : 255.
Rodunia acuminata I. Bolivar, 1912 : 78; DIRSH, 1962 *c* : 86; 1963 *a* : 255.
Duronia victoriana Rehn, 1914 : 77; DIRSH, 1962 *c* : 86; 1963 *a* : 255.
Duronia chloronota (Stål, 1876); DIRSH, 1963 *a* : 255; DESCAMPS et WINTREBERT, 1966 *b* : 204.

Fig. 110. — Long. ♂ 22 à 30 mm, ♀ 28 à 44 mm; pronotum ♂ 3,6 à 5 mm, ♀ 5,5 à 7 mm; élytre ♂ 16,4 à 23 mm, ♀ 19 à 35 mm; fémur postérieur ♂ 13 à 16 mm, ♀ 17,6 à 24 mm.

♂. Antennes de 18 à 20 articles. Carènes faciales vives, en courbe régulièrement convexe. Carènes latérales du pronotum droites, presque parallèles ou un peu divergentes, ou un peu excurvées; bord inférieur des lobes latéraux courbé. Prosternum à faible saillie transverse. Espace mésosternal à peu près 2 fois aussi long que large, à bords latéraux un peu incurvés. Élytres dépassant l'extrémité de l'abdomen, à apex oblique; nervure intercalaire de l'aire médiane absente ou très faible. Ailes étroites. Fémurs postérieurs étroits, grêles, dépassant l'extrémité de l'abdomen.

Coloration générale très variable : brune, grisâtre, chamois, paille, verdâtre, verte; partie dorsale du corps et des élytres souvent verte ou d'une teinte brunâtre plus claire que les parties latérales; parfois une bande brun sombre sur les lobes latéraux du pronotum, sous les carènes latérales, se poursuivant sur les élytres; carènes médiane et latérales du pronotum parfois brun foncé. Ailes incolores ou légèrement verdâtres à la base.

♀. Comme le ♂ mais plus grande. Bord postérieur de la plaque sous-génitale faiblement trilobé.



FIG. 110. — *Duronia chloronota* (Stål, 1876). ♂.

Les exemplaires malgaches de cette espèce, qui ont été décrits comme *Duronia laeta* (I. Bolivar), ne diffèrent que par des détails individuels des exemplaires africains de *D. chloronota* (Stål). Les spécimens malgaches entrent parfaitement dans les séries africaines et ne forment même pas une race géographique; ils montrent la même gamme de variation que les spécimens africains (DIRSH, 1962 *c*).

Madagascar Nord : Diégo-Suarez, Joffreville, XII-1947 (*P. Cachan*).

Madagascar Centre : Tananarive, parc de Tsimbazaza, I-1948 (*R. Paulian*). — Manjakandriana, Ankadimanga, XII-1957 (*J. Elie*). — Ankazobe, tampoketsa d'Ambohitantely, lisière forestière, II-1948 (*P. Cachan*). — Ambatofinandrahana, Soavina, au Sud-Ouest d'Ambositra, I-1951 (*R. Paulian*).

Madagascar Ouest : Maevatanana, forêt de l'Ankarafantsika, 120 m, XII-1960 (*E. Raharizonina*). — Nord-Ouest, X-1964 (*D. Wintrebert*).

Madagascar Sud : Betioky-Sud, III et XII-1962 (*D. Wintrebert*). — Sud-Ouest, 1962-64 (*D. Wintrebert*).

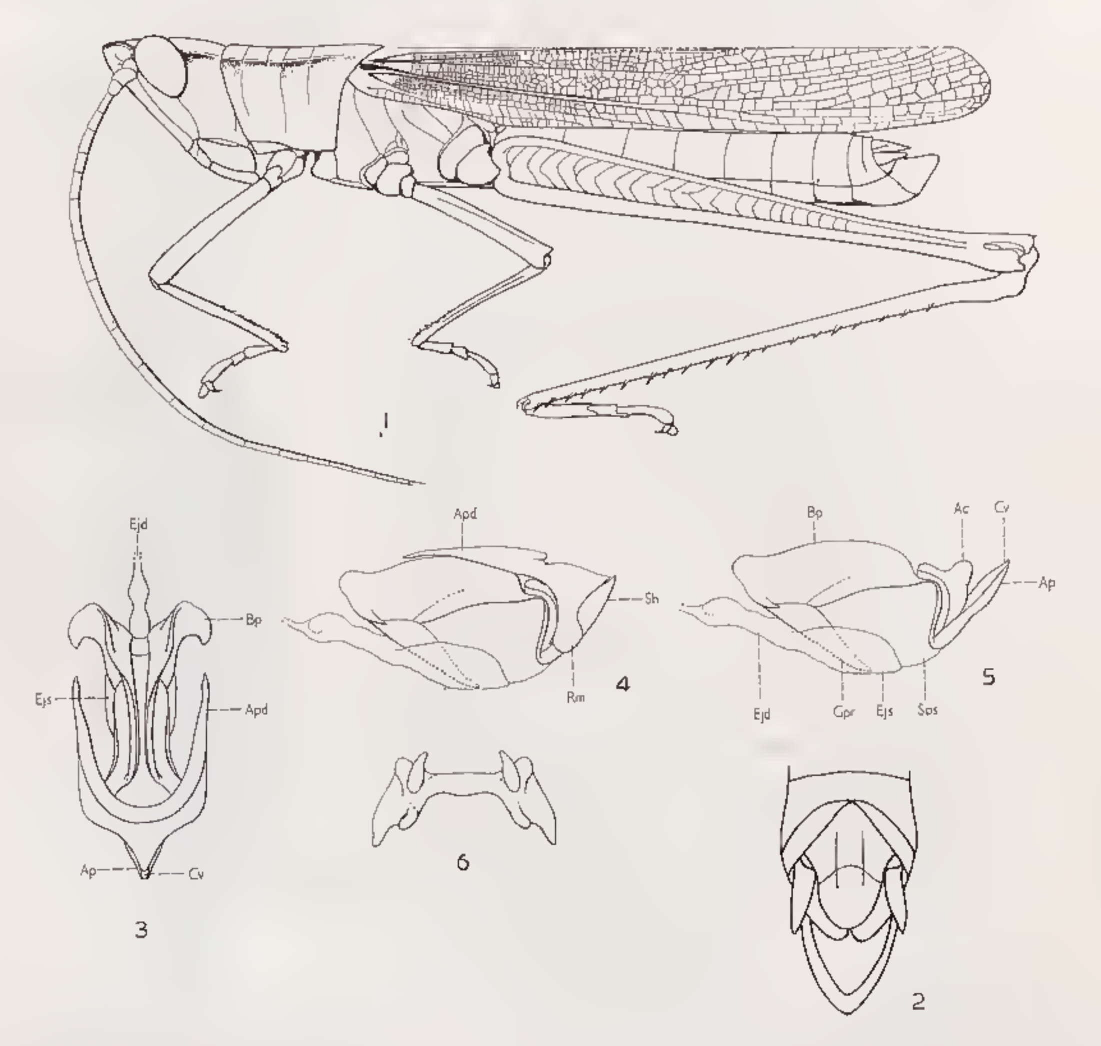


Fig. 111. — *Lemuracris longicornis* Dirsh, 1966. — 1, ♂ type. — 2, Extrémité abdominale ♂ dorsalement. — 3, Complexe phallique dorsalement. — 4, *id.*, latéralement. — 5, Endophalle latéralement. — 6, Épiphalle.

Genre **Lemuracris** Dirsh

Lemuracris Dirsh, 1966 *a* : 546.

Taille moyenne. Tégument finement rugueux. Antennes filiformes, légèrement comprimées dans le 1/3 basal, extrêmement longues, subégales aux 3/4 de la longueur du corps. Tête conique; fastigium du vertex en angle aigu, plus long que large, carinulé, à apex obtus, légèrement concave et séparé du vertex par une ligne courbe. Front fortement oblique, droit, les carinules latérales peu marquées. Ocelles bien développés. Pronotum subcylindrique, les carènes latérales droites, parallèles, faiblement marquées; disque et carènes coupés par 3 sillons; bord postérieur en angle largement obtus. Tympan bien développé, plutôt approfondi à la partie supéro-postérieure. Espace mésosternal à peu près aussi long que large. Élytres et ailes dépassant l'extrémité de l'abdomen; bord antérieur des élytres légèrement excurvé à la base; réticulation plutôt lâche; pas de nervure intercalaire dans l'aire médiane. Ailes plutôt étroites. Fémurs postérieurs longs et étroits, dépassant l'extrémité de l'abdomen; lobes géniculaires inférieurs anguleux. Épines du bord interne des tibias postérieurs plus longues que celles du bord opposé; une épine apicale externe; éperons courts, ceux du bord interne plus longs que ceux du bord externe. Arolium grand. Plaque sus-anale allongée, légèrement rétrécie et arrondie à l'extrémité. Cerques coniques. Plaque sous-génitale subconique à apex obtus.

Valves apicales du pénis longues et étroites; valves du cingulum aussi étroites que les valves apicales du pénis, comme elles engainées; valves basales du pénis grêles, l'extrémité proximale fortement excurvée; flexure longue et étroite; processus du gonopore long; apodèmes du cingulum étroits, en forme de U. Épiphalle à pont étroit, ancorae digitiformes, lophi simples.

♀ inconnue.

Espèce type : *Lemuracris longicornis* Dirsh, 1966.

Les antennes exceptionnellement longues contribuent à isoler ce genre au sein de la sous-famille. L'absence de fovéoles temporales, la forme du pronotum, la réticulation des élytres et la structure de l'épiphalle suggèrent des affinités avec le groupe *Orthochtha*.

1. **Lemuracris longicornis** Dirsh (loc. typ. : Ambodirafia; type ♂, Musée de Madrid).

Lemuracris longicornis Dirsh, 1966 : 547.

Fig. 111. — Long. 30,5 mm; pronotum 5,4 mm; élytre 21 mm; fémur postérieur 18,5 mm.

♂. Antennes de 22 articles; articles de 2 à 4 fois plus longs que larges. Yeux ovales, saillants; carinules faciales vives. Pattes antérieures et médianes grêles. Lobes géniculaires inférieurs étroits, anguleux.

Coloration générale vert pâle; côtés du fastigium du vertex bruns; bande postoculaire et bord externe des carènes latérales du pronotum vert olive; membrane des élytres incolore; ailes transparentes à très faible teinte bleuâtre; tibias postérieurs gris bleu clair.

Madagascar Est : Ambodirafia, I-1934 (*A. Seyrig*).

Genre **Paracoryphosima** Descamps et Wintrebert

Paracoryphosima Descamps et Wintrebert, 1966 *a* : 31; 1966 *b* : 204.

♂. Taille petite. Longue pilosité clairsemée sur les pattes et l'abdomen. Tête conique; face déclive. Côte frontale complète, légèrement rétrécie au niveau de l'angle fastigio-facial, faiblement déprimée, les carinules latérales épaisses sur la moitié inférieure. Carènes latérales de la face régulièrement convexes. Fastigium horizontal, subtriangulaire, légèrement déprimé, parcouru par une carinule médiane; carinules latérales se prolongeant entre les yeux; un sillon transverse, arqué, peu profond. Angle fastigio-facial arrondi. Pas de fovéoles temporales, les bords latéraux du fastigium très épais, ponctués et en grande partie visibles du dessus. Espace interoculaire subégal à la largeur de la côte frontale entre les antennes. Distance infra-oculaire nettement plus petite que la largeur de l'œil. Antennes aplaties et très légèrement élargies à la base; articles de la moitié apicale de section subelliptique. Pronotum non comprimé. Carène médiane épaisse, coupée par le sillon typique bien en arrière du milieu. Carènes latérales coupées seulement par le sillon typique, parallèles dans la prozone, divergentes et beaucoup moins épaisses dans la métazone. Bord postérieur du disque droit, incisé au milieu. Bord postérieur des lobes latéraux concave; bord inférieur anguleux. Espace mésosternal plus long que large. Lobes métasternaux subcontigus à l'arrière. Microptère; bord antérieur des élytres fortement convexe, l'extrémité arrondie; ailes n'atteignant pas l'extrémité des élytres. Fémurs postérieurs moyennement épais; tibias un peu plus courts que les fémurs. Arolium égalant à peu près les 2/3 des griffes. Tympan auditif grand. Abdomen caréné. Bord postérieur du dernier tergite fortement concave. Cerques coniques, non comprimés. Plaque sous-génitale subconique, peu saillante.

Épiphalle ayant la forme caractéristique du groupe *Gymnobothri* : disque court, lophi et aires latérales digitiformes. Rami laissant à découvert la base de la partie apicale du pénis; arche du cingulum haute, épaisse.

♀. Comme le ♂ mais plus grande; antennes et griffes des tarses proportionnellement plus courtes; carènes latérales du pronotum un peu plus divergentes dans la métazone; lobes métasternaux un peu plus écartés.

Canal de la spermathèque long, formant une boucle un peu avant l'ouverture entre les sclérites basivalvulaires, pelotonné vers le milieu et terminé par une ampoule oblongue pourvue d'un très petit diverticule latéro-basal.

Espèce type : *Paracoryphosima betsileana* Descamps et Wintrebert, 1966.

Proche du genre africain *Odontomelus* I. Bolivar, 1890, dont il s'écarte par la structure des carènes latérales du pronotum et par l'épiphalle pourvu d'ancorae non appointies et de projections postérieures digitiformes

. .

1. Paracoryphosima betsileana Descamps et Wintrebert (loc. typ. : 57 km Nord d'Ambohimahasoa; holotype ♂, allotype ♀, Muséum de Paris).

Paracoryphosima betsileana Descamps et Wintrebert, 1966 *a* : 31; 1966 *b* : 206.

Fig. 112. — Pronotum ♂ 1,6 à 1,8 mm, ♀ 2,4 à 2,7 mm; élytre ♂ 1,8 à 2,5 mm, ♀ 2,7 à 3,3 mm; fémur postérieur ♂ 6,5 à 7,3 mm, ♀ 9,4 à 10,3 mm.

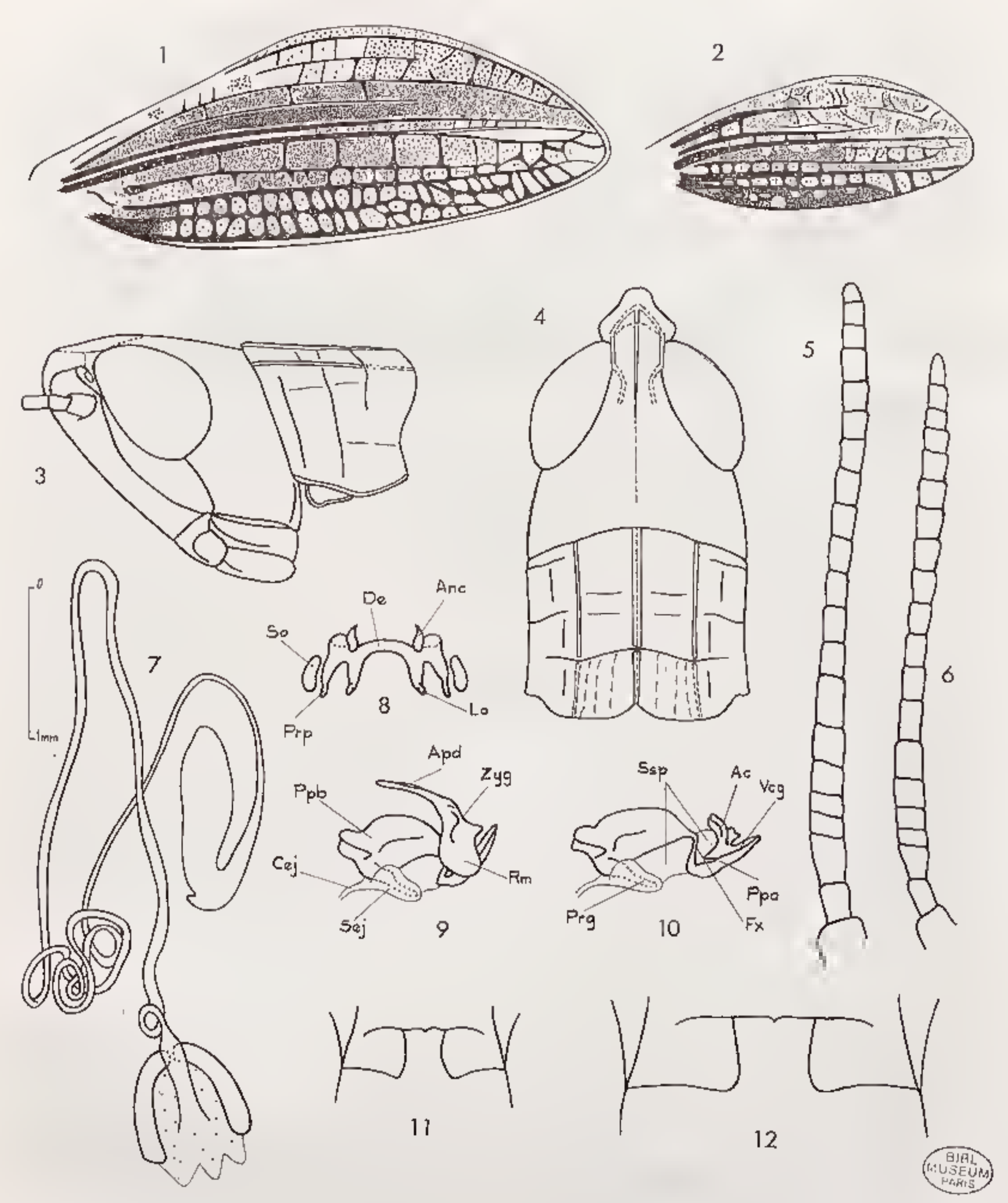


FIG. 112. — *Paracoryphosima betsileana* Descamps et Wintrebert, 1966. — 1, Élytre ♀. — 2, *id.*, ♂. — 3, Tête et pronotum ♂ latéralement. — 4, *id.*, dorsalement. — 5, Antenne ♀. — 6, *id.*, ♂. — 7, Spermathèque. — 8, Épiphalle. — 9, Complexe phallique latéralement. — 10, Endophalle. — 11, Mésosternum ♂. — 12, *id.*, ♀.

♂. Côte frontale déprimée sur la moitié (ou les 2/3) inférieure, subplane à la partie supérieure, irrégulièrement ponctuée, d'aspect légèrement rugueux, les bords légèrement convexes entre les antennes; carinules latérales peu saillantes, décelables sur les 3/4 inférieurs seulement. Fastigium nettement moins long que large, les carinules latérales peu saillantes, formant, à l'avant, un angle subaigu, devenant plus épaisses et rigoureusement parallèles entre les yeux, masquant le bord interne de ces derniers, se prolongeant en s'amincissant sur le vertex; carinule médiane bien nette, coupée par le sillon transverse, se prolongeant par une fine carinule vertico-occipitale (plus ou moins nette selon les exemplaires). Antennes, rabattues vers l'arrière, atteignant le milieu de la distance comprise entre le bord postérieur des lobes latéraux du pronotum et le bord antérieur du tympan auditif. Carène médiane du pronotum coupée par le sillon typique un peu après les 2/3 antérieurs. Carènes latérales peu nettes dans la métazone (plus ou moins marquées selon les exemplaires), parfois subobsolètes, mais toujours plus fines que dans la prozone. Disque non rebordé à l'avant et à l'arrière, irrégulièrement ponctué dans la prozone, les sillons 1 et 2 visibles mais peu marqués; sculpture de la métazone plus dense, formant des rugosités longitudinales sinueuses (parfois très nettes); bord postérieur incisé en angle obtus. Lobes latéraux rebordés à la partie inférieure seulement, parcourus par quelques rides longitudinales (plus ou moins nettes), l'angle postérieur droit. Élytres n'atteignant pas tout à fait le bord postérieur du 2e tergite; ailes dépassant un peu le bord postérieur du 1er. Rapport longueur des fémurs sur largeur maximale = 4,3.

Teinte générale brune. Une bande claire (blanc jaunâtre à blanc grisâtre) partant des carinules latérales de la face, recouvrant les 2/5 inférieurs des lobes latéraux du pronotum et se prolongeant jusqu'à la base des fémurs postérieurs. Une bande brun noir partant du bord postérieur des yeux, recouvrant les 3/5 supérieurs des lobes latéraux du pronotum et se prolongeant, en s'amincissant, jusqu'au bord postérieur du dernier tergite abdominal. Dessus de la tête et disque du pronotum brun clair; carènes latérales du pronotum jaunes dans la prozone (parfois brun plus ou moins foncé, mais généralement plus clair que la teinte d'ensemble). Face inférieure du thorax et de l'abdomen jaune. Fémurs postérieurs sans taches noires transverses; carène inféro-interne marquée d'une succession de petites taches brunes; face interne avec une ligne longitudinale brun sombre à la base (parfois absente). Lobes géniculaires postérieurs et articulation tibio-fémorale brun noir. Tibias postérieurs brunâtres.

♀. Antennes, rabattues vers l'arrière, atteignant le niveau du sillon typique. Fastigium très peu déprimé, le sillon transverse à peine marqué, les carinules latérales peu saillantes, formant un angle droit à l'avant. Espace mésosternal un peu plus long que large. Extrémité des élytres étroitement arrondie.

Madagascar Centre : Pays Betsileo, 57 km Nord d'Ambohimahasoa, X-1964 (*J. Têtefort et D. Wintrebert*). — Massif de l'Andringitra, plateau Soaindrana, 2 090 m, I-1958 (*R. Paulian*). — Ambohitantely, route de Majunga, km 102, Ankazobe, II-1948 (*P. Cachan*). — 28 km Sud de Tananarive, X-1966 (*D. Wintrebert*). — 50 km Sud de Tananarive, VIII et IX-1966 (*D. Wintrebert*).

Genre **Paralobopoma** Rehn

Paralobopoma Rehn, 1914 : 73; Dirsh, 1963 *a* : 256.
Sagonacris Ramme, 1929 : 263; Ramme, 1931 : 918; Dirsh, 1963 *a* : 256.

Taille faible. Tégument un peu rugueux, luisant. Antennes étroitement ensiformes, plus longues que la tête et le pronotum réunis. Tête conique; fastigium du vertex allongé, anguleux, concave, à apex obtus; front un peu concave; côte frontale légèrement saillante entre les antennes, faiblement sillonnée, à carinules obtuses. Pronotum

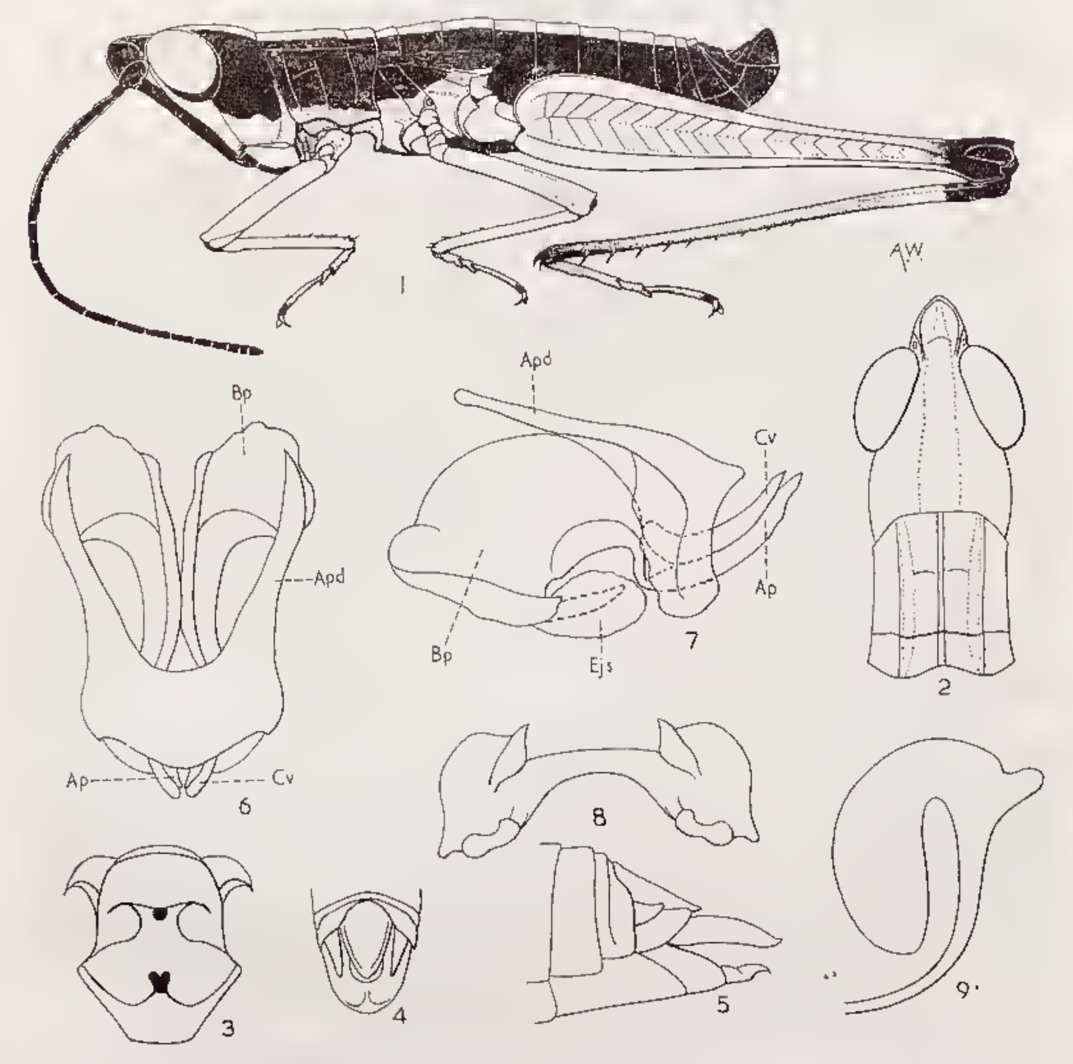


Fig. 113. — *Paralobopoma tananarive* Dirsh. 1962. — 1, ♂. — 2, Tête et pronotum dorsalement. — 3, Méso- et métasternum. — 4, Extrémité abdominale ♂ dorsalement. — 5, Extrémité abdominale ♀ latéralement. — 6, Complexe phallique dorsalement, membrane ectophallique et épiphalle enlevés. 7, — *id.*, latéralement. — 8, Épiphalle. — 9, Spermathèque.

subcylindrique; carène médiane distincte; carènes latérales parallèles dans la prozone et presque nulles dans la métazone; disque traversé par un seul sillon; métazone bien plus courte que la prozone, son bord postérieur en angle rentrant obtus. Espace mésosternal ouvert. Élytres étroits, allongés, couvrant en partie le tympan. Fémurs postérieurs grêles; lobes géniculaires de longueur égale. Arolium moyen. Plaque sus-anale ♂ allongée, anguleuse; cerques étroits, coniques, à apex subaigu. Plaque sous-génitale subconique de profil, à apex obtus en vision apicale. Valves de l'oviscapte moyennement grêles, courbées à l'extrémité.

Espèce type : *Paralobopoma bugoiensis* Rehn, 1914.

1. **Paralobopoma tananarive** Dirsh (loc. typ. : Tananarive; type ♂, Académie des Sciences de Californie).

Paralobopoma tananarive Dirsh, 1963 *a* : 256; DESCAMPS et WINTREBERT, 1966 *b* : 204.

Fig. 113. — Long. ♂ 13,5 à 15 mm, ♀ 20,6 à 22,4 mm; pronotum (le long de la carène médiane) ♂ 2,6 à 2,8 mm, ♀ 3,4 à 3,5 mm; élytre ♂ 2.5 à 2,6 mm, ♀ 3 à 3,3 mm; fémur postérieur ♂ 10,6 à 11 mm, ♀ 13 à 13,5 mm.

♂. Antennes à peu près doubles de la tête et du pronotum réunis, composées de 19 articles. Carinules latérales de la côte frontale obtuses; carènes faciales presque effacées. Carène médiane du pronotum basse, obtuse, à suture longitudinale; carènes latérales faibles; métazone subégale au 1/3 de la longueur de la prozone, son bord postérieur échancré en angle obtus; bord inférieur des lobes latéraux fortement échancré dans la moitié antérieure. Espace mésosternal court, large, s'élargissant vers l'avant. Élytres très étroits, couvrant en partie le tympan et atteignant le 2e tergite abdominal. Fémurs postérieurs longs, dépassant de beaucoup l'extrémité de l'abdomen; épines des tibias devenant progressivement plus longues vers l'extrémité distale.

Complexe phallique : zygoma moyennement court; apodèmes longs; valves du cingulum longues et un peu courbées, à apex obtus en vision dorsale. Valves basales du pénis fortement élargies et excurvées; valves apicales étroites, courbées, aiguës à l'apex; flexure mince. Épiphalle à ancorae articulées et lophi superficiellement bilobés.

Coloration générale vert olive noirâtre; une bande médio-dorsale jaune vif allant de l'apex du fastigium du vertex jusqu'à la plaque sus-anale; milieu de la face vert noirâtre; une bande jaune vif courant de l'antenne au clypéus et réunie, à la base, avec la partie inférieure jaune des joues; côtés du corps vert noirâtre; pattes vert olive; tibias postérieurs vert bleuâtre foncé à teinte rosée vers l'apex.

♀. Comme le ♂ mais plus grande. Carènes latérales du pronotum parfois développées aussi dans la métazone. Oviscapte allongé, à valves grêles, droites, un peu courbées à l'apex. Pas de dessins jaunes sur le corps et la face; coloration d'ensemble vert olive ou brunâtre. Spermathèque à court diverticule apical et grand diverticule préapical sacculiforme.

MADAGASCAR EST : Ivoloina-Tamatave, III-1962 (*C. Frappa*). — Perinet, II-1932; 1935 (*A. Seyrig*). — Fito, de Alastia à Tamatave, IV et V-1932 (*A. Seyrig*). — Perinet, forêt d'Analamazaotra, I-1933 (*A. Seyrig*). — Forêt au Nord d'Anosibe, I-1951 (*R. Paulian*).

MADAGASCAR CENTRE : Tananarive, II et III-1950 (*de récolteur inconnu*). — Ambatolampy, Ampolomitra, Est Belanitra, V-1956 (*P. Griveaud*).

Espèce de coloration variable. Tous les ♂ ont la même coloration, mais les ♀ varient de vert olive à brun clair ou foncé; certaines montrent une bande latérale noirâtre partant des yeux et atteignant l'extrémité abdominale.

Proche de *Paralobopoma bugoiensis* Rehn, 1914, mais en différant par les caractères suivants :

♂ : plus grêle, à antennes et fémurs postérieurs plus allongés; bord postérieur de la métazone du pronotum plus échancré; élytres relativement plus longs et plus étroits.
♀ : corps plus grêle; oviscapte plus allongé et plus grêle, à valves droites, étroites.

Genre **Vietteacris** Descamps et Wintrebert

Vietteacris Descamps et Wintrebert, 1966 *a* : 32; 1966 *b* : 209.

♀. Taille petite. Tégument peu rugueux, terne. Capsule céphalique non nettement conique, de longueur subégale, en vision dorsale, à celle du pronotum. Côte frontale très basse sauf sur une courte distance entre la base des antennes et l'extrémité du fastigium, étroite, s'élargissant fortement au-dessous de l'ocelle médian. Fastigium pentagonal, parcouru par une carinule médiane se prolongeant entre les yeux et coupée par un sillon transverse; pas de fovéoles temporales. Ocelle médian très petit; ocelles latéraux gros. Antennes de longueur subégale à celle de la tête et du pronotum réunis, le flagelle nettement rétréci vers le milieu; partie basale comprimée mais peu élargie, composée d'articles de section triangulaire; partie terminale nettement élargie, composée d'articles de section elliptique. Distance infra-oculaire un peu plus grande que le plus petit diamètre de l'œil. Pronotum de largeur subconstante sur toute la longueur; disque étroit, traversé seulement par le sillon typique coupant la carène médiane bien en arrière du milieu; carènes latérales subparallèles, coupées par 2 sillons; bord postérieur convexe. Espace et lobes mésosternaux transverses; lobes métasternaux largement distants. Microptère; élytres subelliptiques, largement arrondis à l'extrémité; ailes atteignant presque l'extrémité des élytres. Tympan auditif très grand, subcirculaire. Pattes des 2 premières paires longues et assez grêles, les fémurs de longueur subégale à celle du pronotum sur la ligne médiane. Fémurs postérieurs peu épais, les lobes géniculaires supérieurs d'égale longueur, la carène médiane terminée par une petite épine. Arolium des tarses subégal à la moitié des griffes. Cerques courts, comprimés latéralement. Valves de l'oviscapte courtes et trapues, l'extrémité bien recourbée. Plaque sous-génitale à expansion médiane convexe.

Spermathèque à canal de diamètre décroissant vers l'ampoule terminale, pelotonné à mi-longueur; ampoule terminale oblongue, pourvue d'un court diverticule.

♂ inconnu.

Espèce type : *Vietteacris subfusca* Descamps et Wintrebert, 1966.

1. **Vietteacris subfusca** Descamps et Wintrebert (loc. typ. : Contreforts du Tsaratanana, 1 200 m; holotype ♀, Muséum Paris).

Vietteacris subfusca Descamps et Wintrebert, 1966 *a* : 32; 1966 *b* : 210.

Fig. 114. — Long. 19 à 21,5 mm; pronotum 3,9 à 4,2 mm; élytre 3,3 mm; fémur postérieur 12,6 mm.

♀. Face rugueuse; côte frontale faiblement déprimée sur toute la longueur, légèrement élargie entre les antennes. Carènes latérales de la face droites. Antennes, rabat-

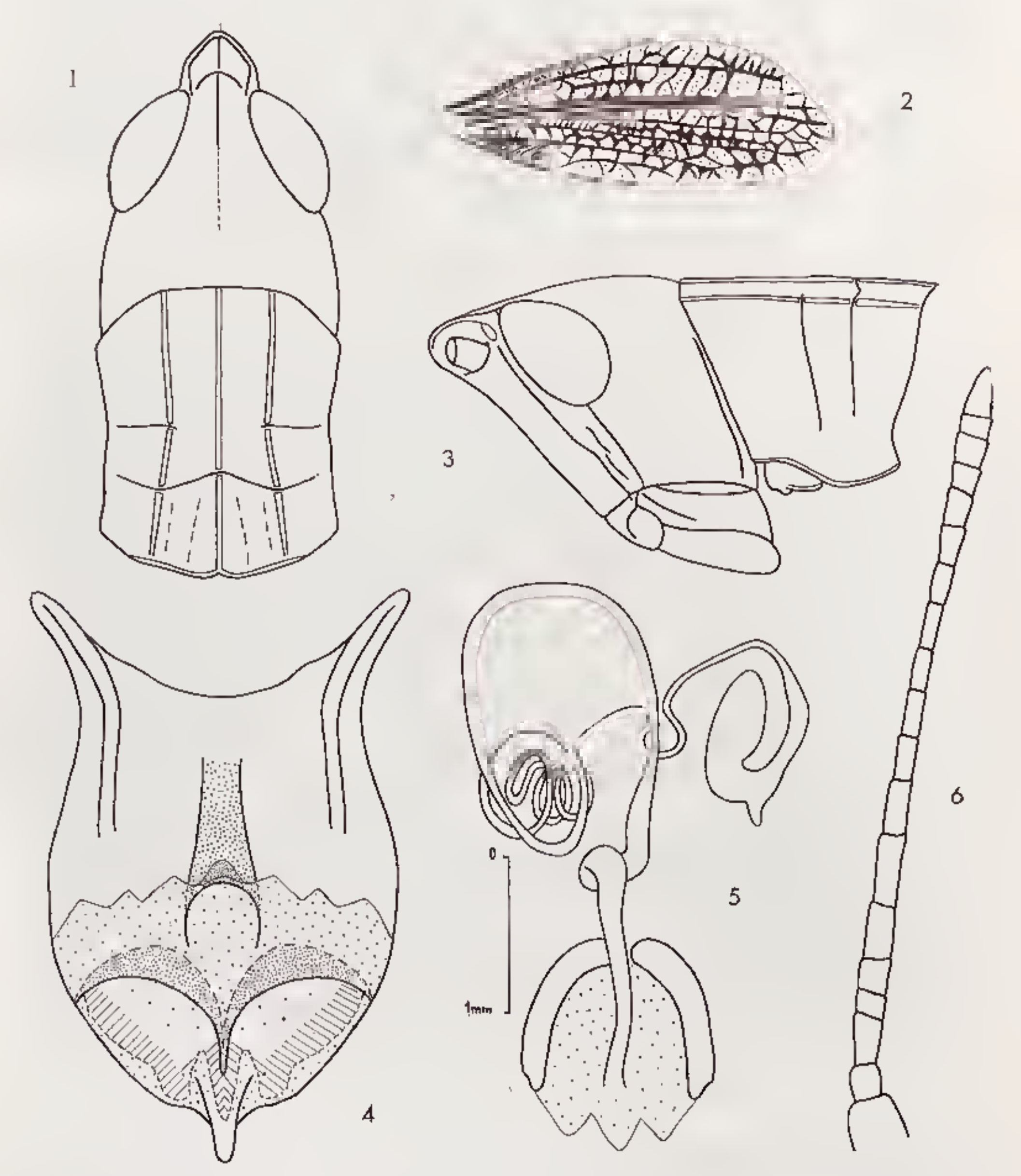


Fig. 114. — *Vielleacris subfusca* Descamps et Wintrebert, 1966, ♀. — 1, Tête et pronotum dorsalement. — 2, Élytre. — 3, Tête et pronotum latéralement. — 4, Plaque sous-génitale, face dorsale. — 5, Spermathèque. — 6, Antenne.

tues vers l'arrière, atteignant le bord postérieur du pronotum. Fastigium légèrement déclive, déprimé en avant du sillon basal, les bords latéraux légèrement redressés, l'extrémité en angle aigu arrondi. Carènes latérales du pronotum un peu sinuées entre les sillons 2 et 3, très légèrement divergentes dans la métazone, coupées par le second sillon juste à mi-longueur. Sillon typique formant une ligne convexe vers l'avant, coupant la carène médiane à peu près au 1/3 postérieur. Disque irrégulièrement et peu profondément ponctué dans la prozone; métazone avec quelques rides sinueuses peu nettes, le bord postérieur présentant une très légère concavité médiane. Élytres larges, la partie visible pas plus de 2 fois plus longue que large, les bords antérieur et postérieur convexes, l'extrémité dépassant un peu le bord postérieur du 1er tergite abdominal. Fémurs antérieurs de section subcirculaire; fémurs médians un peu comprimés latéralement, pourvus de 2 carènes supérieures (l'unité interne faible) et d'une carène inféro-externe. Rapport longueur des fémurs postérieurs / largeur maximale voisin de 5.

Teinte générale brunâtre. Capsule céphalique un peu plus claire que l'ensemble. Une ligne noire rétro-oculaire se prolongeant sur le pronotum, en soulignant les carènes latérales, et sur les élytres, en s'élargissant et occupant les champs médian et cubital. Teinte générale des fémurs postérieurs comme l'ensemble du corps; face interne plus claire avec des petits points bleu noir irréguliers; face inférieure jaune verdâtre fonçant vers l'extrémité; lobes géniculaires et articulation tibio-fémorale bruns. Tibias postérieurs bleu foncé, la base brun sale. Abdomen avec traînée latérale brunâtre, mal définie.

MADAGASCAR SAMBIRANO : Contreforts du Tsaratanana, 1 200 m, Haut Sambirano, vallée de la Besanetribe, XII-1963 (*P. Viette*).

Genre **Gymnobothrus** I. Bolivar

Gymnobothrus I. Bolivar, 1889 : 100; DIRSH, 1963 *a* : 258.
Ogmothela Karsch, 1896 : 260; UVAROV, 1953 : 119; DIRSH, 1963 *a* : 258.
Pseudochirista I. Bolivar, 1909 : 291; UVAROV, 1953 : 119; DIRSH, 1963 *a* : 258.
Orthochirista Sjöstedt, 1933 : 215; UVAROV, 1953 : 119; DIRSH, 1963 *a* : 258.

Taille faible. Tégument finement rugueux. Antennes filiformes, un peu plus courtes, ou plus longues que la tête et le pronotum réunis. Tête subconique; fastigium du vertex anguleux, concave, à carinules latérales et apex obtus; fovéoles temporales basses, invisibles du dessus, étroites, superficielles et rugueuses; front oblique, un peu excurvé; côte frontale presque plate ou sillonnée, à carinules latérales obtuses ou effacées, un peu divergentes vers le bas. Pronotum un peu étranglé; carène médiane forte, coupée par un seul sillon; carènes latérales bien développées, fortement ou légèrement incurvées; disque traversé par 3 sillons; métazone subégale à la longueur de la prozone, son bord postérieur en angle obtus. Espace mésosternal ouvert. Élytres et ailes entièrement développés ou abrégés; membrane des élytres semi-transparente; réticulation moyennement serrée; une nervure intercalaire dans l'aire médiane; fémurs postérieurs grêles; lobes géniculaires postérieurs arrondis à l'apex, de longueur égale. Arolium moyen. Plaque sus-anale ♂ allongée, anguleuse. Cerques étroits, coniques, à apex obtus; oviscapte court, moyennement fort, à valves courbées; valves inférieures à saillie basale externe de forme arrondie.

Espèce type : *Gymnobothrus lineaalba* I. Bolivar, 1889.

Clé des espèces malgaches

1 (2) Carènes latérales du pronotum à concavité anguleuse dans la prozone, divergentes dans la métazone (fig. 115). . . . . 1. **G. madacassus**

2 (1) Carènes latérales du pronotum faiblement et régulièrement incurvées dans la prozone; excurvées et divergentes dans la métazone (fig. 116). . . . . 2. **G. variabilis**

1. Gymnobothrus madacassus Bruner (loc. typ. : Tamatave; type ♂, Musée de Berlin).

Gymnobothrus madacassus Bruner, 1910 : 631; Dirsh, 1963 *a* : 258; Descamps et Wintrebert, 1966 *b* : 212.

Fig. 115. — Long. ♂ 14 à 14,8 mm, ♀ 21 à 21,5 mm; pronotum ♂ 2,7 à 3,2 mm, ♀ 4 à 4,2 mm; élytre ♂ 11 5 à 13,6 mm, ♀ 16 à 18 mm; fémur postérieur ♂ 9 à 10,6 mm, ♀ 12,4 à 12,6 mm.

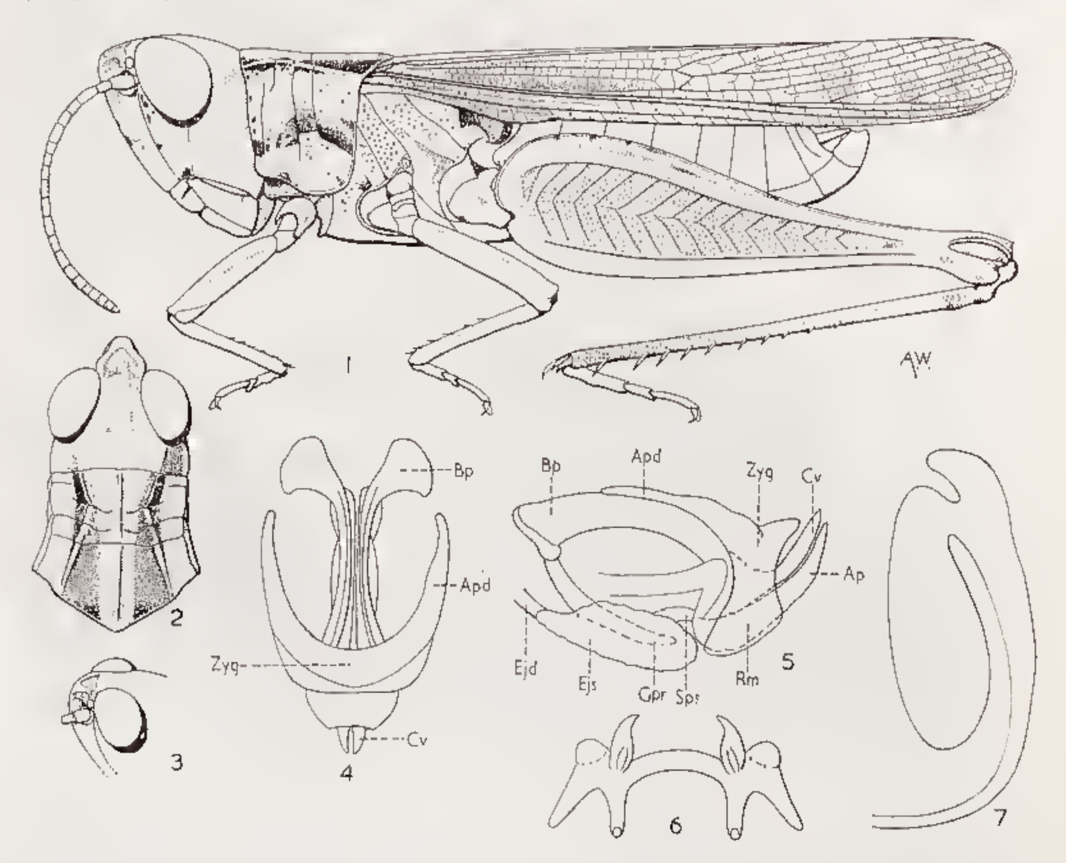


Fig. 115. — *Gymnobothrus madacassus* Bruner, 1910. — 1, ♂. — 2, Tête et pronotum dorsalement. — 3, Fastigium du vertex, incliné pour montrer la fovéole temporale. — 4, Complexe phallique dorsalement, membrane ectophallique et épiphalle enlevés. — 5, *id.*, latéralement. — 6, Épiphalle. — 7, Spermathèque.

♂. Antennes de 22 ou 23 articles, plus courtes que la tête et le pronotum réunis. Fastigium du vertex concave, à apex obtus; côte frontale à sillon superficiel. Carènes latérales du pronotum à concavité anguleuse dans la prozone; lobes latéraux du pronotum plus hauts que longs, le bord inférieur fortement courbé. Espace mésosternal plus large que long. Élytres étroits, dépassant largement l'abdomen, à apex arrondi. Ailes moyennement étroites. Fémurs postérieurs dépassant de loin l'extrémité de l'abdomen.

Complexe phallique : zygoma court et large; apodèmes moyennement courts; valves du cingulum étroites, relativement longues. Valves basales du pénis dilatées et excurvées, valves apicales étroites, à apex aigu; flexure moyennement fine. Épiphalle à ancorae relativement grandes, articulées; lophi digitiformes, l'extrémité en forme de crochet.

Coloration générale brunâtre; disque du pronotum à larges bandes latérales ocre pâle; lobes latéraux du pronotum, à bande brune médiane, diffuse vers l'avant, et bande oblique ocre au-dessous; face inférieure des fémurs postérieurs rouge orangé; ailes incolores.

♀. Comme le ♂ mais plus grande. Antennes de 23 à 25 articles. Bord postérieur de la plaque sous-génitale droit, à saillie médiane en angle aigu. Spermathèque à court diverticule apical et grand diverticule préapical sacculiforme.

Cette espèce, très proche de *Gymnobothrus temporalis* (Stål, 1876) n'en est peut-être qu'une race géographique.

MADAGASCAR EST : Tamatave, (*A. Voeltzkow*). — Moramanga, Perinet (*E. Razafimandimby*). — Ifanadiana, Ranomalana (*R. Paulian*). — Fort-Dauphin (*R. Paulian*). — Sud-Sud Est, VIII-1964 (*D. Wintrebert et G. Henriroux*).

MADAGASCAR CENTRE : Tananarive (*Waterlot, R. Decary*); parc de Tsimbazaza, VII-1947 (*P. Cachan*); I-1962 (*D. Wintrebert*). — Isalo, Ambatolahy, 1 212 m, VIII-1963 (*D. Wintrebert*).

MADAGASCAR SUD : Antanimora (*R. Decary*).

2. Gymnobothrus variabilis Bruner (loc. typ. : Madagascar; type ♂, Musée de Berlin).

Gymnobothrus variabilis Bruner, 1910 : 632; DIRSH, 1963 *a* : 260; DESCAMPS et WINTREBERT, 1966 *b* : 212.

Fig. 116. — Long. ♂ 13,2 à 16,3 mm, ♀ 20 à 23,2 mm; pronotum ♂ 2,6 à 3,2 m, ♀ 4 à 4,2 mm; élytre ♂ 11,8 à 16 mm, ♀ 15,5 à 18,6 mm; fémur postérieur ♂ 8,3 à 10,6mm, ♀ 11,9 à 14 mm.

♂. Antennes de 23 ou 24 articles, à peu près aussi longues que la tête et le pronotum réunis. Fastigium du vertex fortement concave, à apex obtus, anguleux; côte frontale peu profondément sillonnée. Carènes latérales du pronotum faiblement et régulièrement incurvées dans la prozone, convexes et divergentes dans la métazone; métazone plus longue que la prozone; lobes latéraux du pronotum plus hauts que longs, le bord inférieur courbé. Espace mésosternal plus large que long. Élytres étroits, dépassant de loin l'extrémité de l'abdomen, à apex arrondi. Ailes moyennement étroites.

Complexe phallique : zygoma court et large; apodèmes courts, grêles; valves du cingulum étroites. Valves basales du pénis dilatées, excurvées; valves apicales relativement longues et étroites, un peu courbées, à apex aigu; flexure relativement épaisse. Épiphalle à ancorae articulées; lophi digitiformes, l'extrémité en forme de crochet.

Coloration générale brunâtre; tête et disque du pronotum parfois traversés par une bande médiane, longitudinale, jaunâtre; angle postérieur des lobes latéraux du

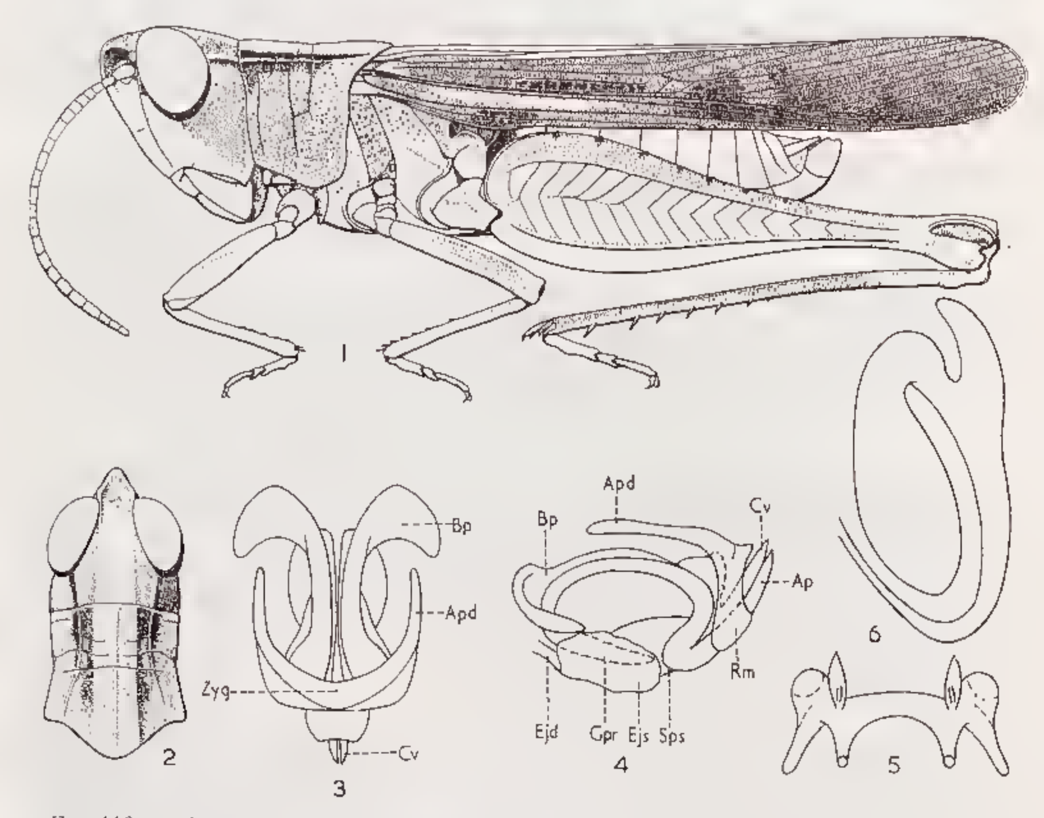


FIG. 116. — *Gymnobothrus variabilis* Bruner, 1910. — 1, ♂. — 2, Tête et pronotum dorsalement. — 3, Complexe phallique dorsalement, membrane ectophallique et épiphalle enlevés. — 4, *id.*, latéralement. — 5, Épiphalle. — 6, Spermathèque.

pronotum souvent à courte bande ocre; aire sous-costale des élytres à bande longitudinale blanchâtre; ailes incolores; face inférieure des fémurs postérieurs ocre, parfois rougeâtre orangé; tibias postérieurs ocre sale, avec un anneau basal plus pâle.

♀. Comme le ♂ mais plus grande. Antennes de 24 ou 25 articles. Bord postérieur de la plaque sous-génitale droit, à petite saillie médiane anguleuse. Spermathèque à court diverticule apical coubé et grand diverticule préapical sacculiforme.

Espèce très proche de *Gymnobothrus lineaalba* I. Bolivar, 1889, d'Afrique; en diffère seulement par les carènes latérales du pronotum plus incurvées. Il s'agit peut-être d'une simple race géographique.

MADAGASCAR NORD : Diégo-Suarez, montagne des Français, II-1947 (*A. Robinson*).

MADAGASCAR SAMBIRANO : Nosy Be, Hellville, IX-1947 (*R. Paulian*). — Nosy Mitsio, I-1960 (*R. Paulian*).

MADAGASCAR EST : Maroantsetra, Ambodivoangy (*J. Vadon*). — Fénérive, station forestière de Taratasy, VII-1958 (*J. Elie*). — Ile Sainte-Marie, Ambatoroa, VI-1959 (*E. Razafimandimby*); ilôt Madame, XI-1958 (*J. Elie*). — Tamatave, Ambodiatafana, VI-1958 (*E. Razafimandimby*); station agricole d'Ivoloina, XI-1958 (*J. Elie*). — Brickaville, station agricole. — Mahanoro (*A. Molet*). — Moramanga, Perinet; route de Lakato, Ankasoka, 1 130 m, X-1957 (*P. Griveaud*). — Fort-Dauphin (*R. Paulian*). — Sud-Sud-Est, VIII-1964 (*D. Wintrebert et G. Henriroux*).

MADAGASCAR CENTRE : Tananarive (*Waterlot et R. Decary*), parc de Tsimbazaza, VII-1947 (*P. Cachan*); I-1962 (*D. Wintrebert*). — Manjakandriana, La Mandraka, I-1948 (*R. Paulian*); Ankadimanga, XII-1957 (*J. Elie*). — Ambatofinandrahana, Soavina, au Sud-Ouest d'Ambositra, I-1951 (*R. Paulian*). — Antsirabe, IX-1963 (*J. Laurent*). — Pays Betsileo et Merina, VI-1962 (*D. Wintrebert*).

MADAGASCAR OUEST : Maevatanana, forêt de l'Ankarafantsika, poste d'Ampijoroa, I-1957 (*E. Raharizonina*), XII-1959 (*E. Raharizonina*). — Antsalova, Andobo, forêt de l'Antsingy, 190 m, II-1957 (*A. Robinson*). — Ankazoabo, station hydrologique du Banian, VII-1957 (*A. Robinson*). — Région de Mitsinjo, X-1964 (*J. Têtefort et D. Wintrebert*).

MADAGASCAR SUD : Tuléar, Sept Lacs, 50 m, VII-1957 (*A. Robinson*). — Ambovombe, Befoha, 100 m, VI-1957 (*A. Robinson*). — Amboasary, Tsivory, VIII-1958; Ifotaka, III-1960 (*R. Paulian*). — Morombe, IX-1962 (*J. Laurent*). — Pays Mahafaly et Masikoro, 1962-64 (*D. Wintrebert*).

Genre **Paracinema** Fischer

Paracinema Fischer, 1853 : 296, 312; Dirsh, 1963 *a* : 262.

Taille moyenne; modérément grêle. Antennes filiformes, plus longues que la tête et le pronotum réunis. Fastigium du vertex allongé, anguleux, un peu concave, presque plan, à carinules latérales obtuses, bien développées; pas de fovéoles temporales; front oblique, droit; côte frontale sillonnée, à carinules latérales obtuses, rétrécie à l'apex et formant un angle aigu avec le fastigium du vertex. Pronotum faiblement tectiforme, presque plat, à carène médiane obtuse ; disque traversé seulement par le sillon typique; carènes latérales peu développées, un peu incurvées, presque droites; métazone un peu plus longue que la prozone, son bord postérieur en angle obtus à apex un peu échancré. Espace mésosternal plus long que large. Macroptère; nervure intercalaire de l'aire médiane des élytres bien développée et finement serrulée; membrane transparente, à réticulation moyennement lâche. Fémurs postérieurs grêles; lobes inférieurs des genoux postérieurs étroits, anguleux; tibias postérieurs un peu dilatés vers l'apex; éperons non spécialisés. Arolium grand. Plaque sus-anale ♂ allongée, à apex un peu atténué et côtés courbés. Cerques subconiques, étroits, à apex obtus. Plaque sous-génitale conique. Oviscapte relativement long, grêle, à valves courbées; bord externe des valves supérieures serrulé; valves inférieures à saillie basale externe anguleuse.

Espèce type : *Gryllus tricolor* Thunberg, 1815.

1. Paracinema tricolor (Thunberg) (loc. typ. : Chine; type perdu).

Gryllus tricolor Thunberg, 1815 : 254.
Paracinema tricolor madecassa Key, 1936 : 391; Dirsh, 1963 *a* : 262.
Paracinema tricolor (Thunberg, 1815); Dirsh, 1963 *a* : 262; Descamps et Wintrebert, 1966 *b* : 213.

Fig. 117. — Long. ♂ 17,7 à 26,9 mm, ♀ 31,5 à 39 mm; pronotum ♂ 3,7 à 5 mm, ♀ 5,5 à 7,4 mm; élytre ♂ 16,2 à 24,5 mm, ♀ 25,6 à 35 mm (mesures prises sur des exemplaires malgaches).

♂. Antennes de 25 articles. Fastigium du vertex légèrement concave; vertex convexe; carinules latérales de la côte frontale un peu divergentes vers le bas. Premier et 2e sillon transverses du pronotum atteignant le disque, mais ne traversant pas la carène médiane; lobes latéraux un peu plus longs que hauts, à bord inférieur courbé et légèrement échancré dans sa moitié antérieure. Élytres obliques à l'apex, dépassant un peu, ou nettement, l'extrémité de l'abdomen. Ailes étroites. Fémurs postérieurs dépassant l'extrémité de l'abdomen.

Coloration générale verte ou brune, avec toutes les teintes intermédiaires; disque du pronotum à bandes brunes, latérales, parallèles; parfois une bande longitudinale brunâtre dans l'aire cubitale des élytres; base des ailes un peu verdâtre; genoux postérieurs bruns; tibias postérieurs rouge vif.

♀. Comme le ♂ mais plus grande. Antennes de 23 à 25 articles. Extrémité de la plaque sous-génitale arrondie et un peu saillante.

Fig. 117. — *Paracinema tricolor* (Thunberg, 1815). ♀.

Madagascar Nord : Diégo-Suarez, montagne des Français, II-1959 (*A. Robinson*); Joffreville, XII-1947 (*P. Cachan*); montagne d'Ambre, XII-1948 (*R. Paulian*); IX-1957 (*J. Elie*).

Madagascar Sambirano : Amhilobe, IV-1951 (*R. Paulian*). — Ambanja, III-1951 (*R. Paulian*) — Nosy Be (*J. de Coudenhove*); pointe à la Fièvre, VII-1957 (*R. Paulian*).

Madagascar Est : Massif du Marojejy, Ambinanitelo, 500 m, XII-1958 (*E. Raharizonina*). — Maroantsetra, Ivontaka, III-1958 (*E. Raharizonina*). — Brickaville, station agricole. — Andevorante (*A. Mathiau*). — Ambatondrazaka, Réserve naturelle intégrale III, Nosivola, XI-1954 (*E. Razafimandimby*); Andranomandevy (Didy), X-1956 (*P. Griveaud*). — Moramanga, route d'Anosibe, Sandrangato, XII-1959 (*P. Griveaud*), Perinet, — Ifanadiana, Ranomafana (*E. Razafimandimby*). — Fort-Dauphin, Sakavondro, forêt d'Isaka, 225 m, II-1958 (*P. Griveaud*). — Tamatave, I-1964 (*M. Bouvet*). — Sud-Sud Est, VIII-1964 (*D. Wintrebert et G. Henriroux*).

Madagascar Centre : Tananarive (*Waterlot*); II-1964 (*P. Malzy*); parc de

Tsimbazaza, I-1948 (*A. Robinson*). — Tsiroanomandidy, Ambohiby, 1 500 m, V-1948. — Manjakandriana, Ankadimanga, XII-1958 (*J. Elie*). — Ihosy, Isalo, 1 000 m, XII-1959 (*E. Raharizonina*). — Massif de l'Andringitra, I-1958, forêt Vakoana, Ambalamaravandana, 1 530 m (*P. Griveaud*), plateau Soaindrana, 2 090 m (*R. Paulian*).

MADAGASCAR OUEST : Maevatanana, forêt de l'Ankarafantsika, poste d'Ampijoroa, 120 m, XII-1959 (*E. Raharizonina*). — Soalala, Réserve naturelle intégrale VIII de Namokoro, Vilanandro, IX-1952 (*R. Paulian*). — Antsalova, Andobo, forêt de l'Antsingy, II-1957 (*P. Griveaud*). — Nord-Ouest, X-1964 (*J. Têtefort et D. Wintrebert*). — Morondava, forêt au Sud de Befasy, II-1957 (*R. Paulian*).

MADAGASCAR SUD : Tuléar, Saint Augustin, II-1958 (*P. Griveaud*); Sept Lacs, II-1958 (*P. Griveaud*). — Behara (*R. Paulian*). — Sud-Ouest, 1962-64 (*D. Wintrebert*).

L'étude de séries de *Paracinema tricolor* de Madagascar établit que l'on ne peut y voir une sous-espèce spéciale; elles se placent à l'intérieur de la série des *Paracinema* d'Afrique continentale sans solution de continuité. Il y a sans doute formation de races écologiques, sans base géographique, se retrouvant partout où existent des conditions favorables.

Paracinema tricolor a une vaste aire de distribution en Afrique, Asie mineure et Moyen Orient, Arabie, Sud de l'Europe.

Genre **Aiolopus** Fieber

Aiolopus Fieber, 1853 : 100; DIRSH, 1963 *a* : 264.
Epacromia Fischer, 1853 : 296; UVAROV, 1942 : 336.

Taille moyenne. Tégument finement ponctué. Antennes filiformes, aussi longues ou plus longues que la tête et le pronotum réunis. Fastigium du vertex allongé, anguleux, un peu concave, à carinules latérales bien développées; fovéoles temporales peu profondes, trapézoïdales; front oblique; côte frontale plate, un peu rétrécie à l'apex, sans carinules latérales. Pronotum très légèrement tectiforme et un peu étranglé dans la prozone; carène médiane obtuse, linéaire; pas de carènes latérales; disque traversé par le seul sillon postérieur; métazone plus longue que la prozone, son bord postérieur en angle obtus, à apex arrondi, ou obtus. Espace mésosternal un peu plus large que long. Macroptère; nervure intercalaire de l'aire médiane des élytres bien développée et finement serrulée; membrane transparente et réticulation moyennement lâche. Fémurs postérieurs relativement grêles, les lobes géniculaires arrondis. Arolium moyen. Plaque sus-anale ♂ allongée, anguleuse. Cerques étroits, coniques, à apex obtus. Oviscapte court, à valves moyennement robustes, courbées à l'apex.

Espèce type : *Gryllus thalassinus* Fabricius, 1781.

1. Aiolopus rodericensis (Butler) (loc. typ. : Ile Rodriguez; type ♂, British Museum, N.H.).

Epacromia rodericensis Butler, 1876 : 410; UVAROV, 1928 : 364; DIRSH, 1963 *a* : 264.
Epacromia famulus (sic) var. *pusilla* I. Bolivar, 1895 : 378; 1912 : 270; DIRSH, 1963 *a* : 264.
Aeolopus perpusillus (nom. n.) I. Bolivar, 1912 : 270; DIRSH, 1963 *a* : 264.
Aeolopus laticosta I. Bolivar, 1912 : 268; DIRSH, 1963 *a* : 264.
Aeolopus aldabrensis I. Bolivar, 1912 : 269; DIRSH, 1963 *a* : 264.

Aeolopus dociostauroides I. Bolivar, 1912 : 269; Dirsh, 1963 *a* : 264.
Aeolopus fasciatipes I. Bolivar, 1912 : 270; Dirsh, 1963 *a* : 264.
Aiolopus rodericensis (Butler, 1876); Dirsh, 1963 *a* : 264; Descamps et Wintrebert 1966 *a* : 215.

Fig. 118. — Long. ♂ 17 à 22 mm, ♀ 21 à 24,2 mm; pronotum ♂ 2,8 à 4,3 mm, ♀ 4 à 5,5 mm; élytre ♂ 14 à 21 mm, ♀ 19 à 26,7 mm; fémur postérieur ♂ 8,5 à 12,5 mm, ♀ 12 à 15,8 mm.

♂. Antennes de 22 à 24 articles, aussi longues que la tête et le pronotum réunis; fastigium du vertex étroitement anguleux; fovéoles temporales allongées, irrégulièrement

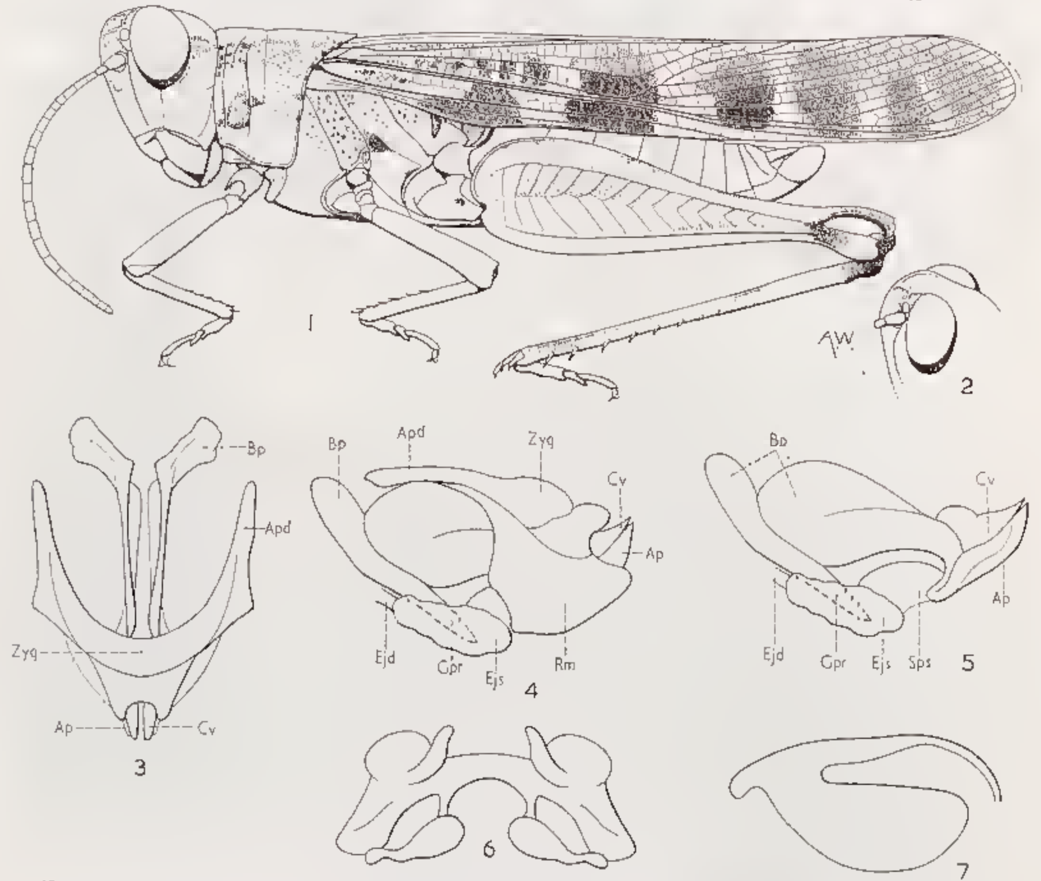


Fig. 118. — *Aiolopus rodericensis* (Butler, 1876). — 1, ♂. — 2, Fastigium du vertex, incliné pour montrer la fovéole temporale. — 3, Complexe phallique dorsalement, membrane ectophallique et épiphalle enlevés. — 4, *id.*, latéralement. — 5, *id.*, cingulum enlevé, sauf les valves. — 6, Épiphalle. — 7, Spermathèque.

trapézoïdales, peu profondes, se rétrécissant vers l'avant; côte frontale plate ou un peu déprimée au niveau de l'ocelle. Bord postérieur de la métazone du pronotum en angle obtus, presque arrondi; bord inférieur des lobes latéraux faiblement échancré dans la moitié antérieure. Élytres dépassant à peine ou largement l'extrémité de

l'abdomen, à apex arrondi; nervure intercalaire de l'aire médiane rapprochée de la nervure médiane à l'extrémité. Ailes moyennement étroites. Fémurs postérieurs relativement larges. Tibias postérieurs plus courts que les fémurs.

Complexe phallique : zygoma étroit; apodèmes moyennement courts, formant une saillie latérale anguleuse; valves du cingulum courtes, robustes, à apex aigu. Valves basales du pénis excurvées et moyennement dilatées; valves apicales courtes, épaisses, à apex aigu; flexure moyennement mince. Épiphalle à ancorae articulées, étroites; lophi lobiformes et irréguliers, de grande taille.

Coloration générale brunâtre ou verdâtre; disque du pronotum parfois marqué d'un dessin clair en X; lobes latéraux du pronotum à tache brunâtre dans la moitié antérieure; élytres avec 2 ou 3 bandes transverses pâles, et parfois de petits points clairs irréguliers, parfois uniformément brunâtres; ailes incolores ou un peu verdâtres à la base; face externe des fémurs postérieurs avec 3 taches brunâtres, allongées, mal définies, parfois effacées; face interne ocre pâle, à bande noire transverse incomplète à la base et bande préapicale complète; face interne des genoux postérieurs noirâtre; base des tibias postérieurs blanchâtre crème, suivie d'un large anneau blanchâtre lui-même cerclé de noir aux extrémités; moitié apicale bleue ou bleuâtre; épines noircies à l'apex; tarses postérieurs rosâtres.

♀. Comme le ♂ mais plus grande. Antennes de 24 à 25 articles. Plaque sous-génitale faiblement trilobée, l'apex en angle obtus. Spermathèque à court diverticule apical et grand diverticule préapical sacculiforme.

Madagascar Sambirano : Nosy Mitsio, I-1960 (*R. Paulian*).

Madagascar Est : Sud-Sud-Est, VIII-1964 (*D. Wintrebert et G. Heurtroux*). — Fort-Dauphin (*R. Paulian*).

Madagascar Centre : Tananarive (*récolteur inconnu*); I-1962 (*D. Wintrebert*); Manjakandriana, Ankadimanga, XII-1957 (*J. Elie*). — Fianarantsoa, XI-1957 (*J. Elie*).

Madagascar Ouest : Maevatanana, forêt de l'Ankarafantsika, poste d'Ampijoroa, I-1957 (*P. Griveaud*); Tsaramandroso, Soalala, Réserve naturelle intégrale VIII de Namoroka, Vilanandro, IX-1952, (*R. Paulian*). — Maintirano, 63 km à l'Est, forêt de l'Antsingy, VII-1949 (*R. Paulian*). — Morondava, forêt au Sud de Befasy, I-1956, (*R. Paulian*). — Sakaraha, forêt de Lambomakandro, VII-1957 (*A. Robinson*). — Morombe, lac Ihotry, VII-1957 (*P. Griveaud*). — Nord-Ouest, X-1964 (*J. Têtefort et D. Wintrebert*).

Madagascar Sud : Tuléar, Sept Lacs, Saint-Augustin, II-1958 (*P. Griveaud*). — Betioky, lac Tsimanampetsotsa, Andranomby, IV-1948 (*R. Paulian*). — Ambovombe, IV-1953 (*R. Paulian*). — Amboasary, Behara, II-1954 (*R. Paulian*). — Sud-Ouest, 1962-64 (*D. Wintrebert*).

Iles Glorieuses : XI-1947 (*P. Cachan*).

Ile Juan de Nova : II- 1964 (*P. Malzy*).

Archipel des Comores : Anjouan, M'Remani, IX-1958 (*E. Raharizonina*). — Mayotte, Chigori, 70 m (*E. Raharizonina*).

Par ses fémurs postérieurs épais et ses tibias courts, *A. rodericensis* appartient au groupe de *Aiolopus savignyi* (Krauss, 1890). On peut le distinguer des autres espèces

du genre par ses fovéoles temporales grandes, peu profondes, en trapéze allongé, et par les tibias postérieurs bleuâtres ou bleus.

Tous les types et paratypes des espèces mises en synonymie (Dirsh, 1963 *a*) se trouvent au British Museum (Natural History) sauf celui d'*Epacromia famulus* var. *pusilla* qui est déposé au Muséum de Paris.

L'étude de tout le matériel disponible de l'espèce établit qu'il présente une série continue de variations. Les variantes diffèrent par la taille, la robustesse du corps, la longueur des élytres, l'épaisseur de la tête et la coloration. D'autres caractères, tels que la largeur de la côte frontale qui est liée à l'importance de la tête, ne dépassent pas la gamme de variation. Les fovéoles temporales sont plus ou moins profondes mais leur forme est constante dans toutes les populations.

Il ne semble pas que les diverses espèces mises en synonymie puissent être considérées comme des races géographiques car elles sont toutes contenues dans les limites de la série du matériel malgache. Peut-être certaines d'entre elles sont-elles des formes écologiques ou, simplement, des cas de variation individuelle.

Genre **Pternoscirtus** Saussure

Pternoscirtus Saussure, 1884 : 59; Dirsh, 1963 *a* : 267.
Conipoda Saussure, 1884 : 192; Uvarov, 1940 : 117; Dirsh, 1963 *a* : 267.

Taille moyenne; corps moyennement grêle. Tégument finement rugueux. Antennes filiformes, plus longues que la tête et le pronotum réunis. Fastigium du vertex anguleux, un peu concave, à carinules latérales obtuses; pas de fovéoles temporales; front oblique, droit; côte frontale étroite à l'apex, s'élargissant vers la base, légèrement déprimée, les carinules latérales effacées. Pronotum ensellé, á faible caréne médiane et sans carénes latérales; disque traversé par 3 sillons; métazone bien plus large que la prozone, son bord postérieur en angle obtus très large, presque arrondi; angle antérieur des lobes latéraux du pronotum atténué et saillant. Espace mésosternal plus large que long. Macroptére; élytres étroits; nervure intercalaire de l'aire médiane droite, forte, faiblement serrulée; membrane transparente; réticulation lâche. Pattes antérieures et moyennes minces et allongées. Fémurs postérieurs grêles; lobes géniculaires inférieurs arrondis. Éperons internes des tibias postérieurs à peu près moitié plus longs que les externes, un peu élargis. Arolium petit. Plaque sous-génitale courte, subconique. Oviscapte moyennement long et grêle, à valves courbées; valves inférieures à petite saillie basale externe de forme arrondie.

Espèce type : *Conipoda calcarata* Saussure, 1884.

1. **Pternoscirtus calcaratus** (Saussure) (loc. typ. : Madagascar; type ♂, perdu)

Conipoda calcarata Saussure, 1884 : 193.
Pternoscirtus calcaratus (Saussure, 1884); Uvarov, 1940 : 117; Dirsh, 1963 *a* : 268; Descamps et Wintrebert, 1966 *b* : 217.
Acrotylus bicornis Sjöstedt, 1918 : 7; Dirsh, 1963 *a* : 268.

Long. ♂ 15,5 á 18,2 mm, ♀ 18,7 à 26,3 mm; pronotum ♂ 3,4 á 3,9 mm, ♀ 4 á 5,2 mm; élytre ♂ 15 à 19,6 mm, ♀ 20 à 26 mm; fémur postérieur ♂ 10 à 11,2 mm, ♀ 11,2 á 14,4 mm.

♂. Corps pubescent. Antennes de 20 articles, aussi longues ou plus courtes que la tête et le pronotum réunis. Fastigium du vertex étroit, à apex anguleux et hautes carinules latérales. Bord inférieur des lobes latéraux du pronotum courbé, l'angle postérieur arrondi. Espace mésosternal au moins 2 fois aussi large que long. Élytres dépassant l'extrémité de l'abdomen, l'apex arrondi; nervure intercalaire de l'aire médiane proche de la nervure médiane dans la partie apicale; ailes moyennement étroites. Fémurs postérieurs dépassant l'extrémité de l'abdomen. Epines des tibias postérieurs peu nombreuses, espacées, progressivement plus longues vers l'extrémité des tibias.

Coloration générale gris sable ou brunâtre; antennes et pattes antérieures à anneaux brunâtres. Face externe des fémurs postérieurs à petites taches éparses, brunâtres; une rangée de taches sur la carène inféro-externe; faces supérieure et interne traversées par 2 fascies brunâtres. Base de la face interne des genoux postérieurs brunâtre; tibias postérieurs blanchâtres, avec 2 larges anneaux bleuâtres, l'un au milieu de la moitié basale, l'autre dans la partie apicale; ailes transparentes, incolores ou à teinte légèrement bleuâtre à la base.

♀. Comme le ♂ mais plus grande. Antennes de 19 articles. Extrémité de la plaque sous-génitale en angle obtus.

Espèce de taille et de coloration très variables.

Madagascar Sambirano : Ambanja, IX-1947 (*R. Paulian*). — Nosy Komba, XI-1956 (*G. R.*). — Nosy Be (*J. de Coudenhove*).

Madagascar Est : Fénérive, XI-1958 (*J. Elie*). — Tamatave, Ambodihatafana, VI-1958 (*E. Razafimandimby*). — Fort-Dauphin, Lebanona, VIII-1948 (*R. Paulian*); Sainte-Luce, II-1958 (*P. Griveaud*).

Madagascar Ouest : Sakaraha, forêt de Lambomakandro (*A. Robinson*). — Ankazoabo, IX-1940 (*Clément*); station hydrologique du Banian, VII-1957 (*P. Griveaud*).

Madagascar Sud : Tuléar, Sept Lacs, II-1958 (*P. Griveaud*). — Ambovombe, Antanimora, XII-1959 (*E. Raharizonina*); Faux Cap (*A. Robinson*); Tranomaro, VIII-1948 (*R. Paulian*). — Fort-Dauphin, poste administratif de Tsivory, Andabolava, XI-1959 (*Randriamasina*). — Betioky Sud, III et XII-1962, II et X-1963 (*D. Wintrebert*). — Itampolo, III-1962 (*Pr. Roger*). — Pays Mahafaly, 1962-64 (*D. Wintrebert*). — Pays Androy, VIII-1964 (*D. Wintrebert*).

Ile Juan de Nova : II-1964 (*P. Malzy*).

Genre **Trilophidia** Stål

Trilophidia Stål, 1873 : 117; Dirsh, 1963 *a* : 269.

Taille faible. Tégument fortement rugueux, tuberculé et pubescent. Antennes filiformes sur les 2/3 basilaires et un peu épaissies sur le 1/3 apical, plus longues que la tête et le pronotum réunis. Tête subconique; fastigium du vertex anguleux, tronqué, concave, à carinules latérales ondulées; fovéoles temporales supères; front un peu oblique, droit; côte frontale sillonnée, à carinules latérales obtuses, presque parallèles. Pronotum tectiforme, un peu étranglé dans la prozone, fortement tuberculé; carène

médiane formant 2 hautes saillies odontiformes dans la prozone, linéaire et vive dans la métazone; disque traversé par 2 sillons; carènes latérales irrégulières, formant des tubercules latéraux odontiformes en avant du 1er sillon. Métazone plus longue que la prozone, un peu renflée, son bord postérieur en angle aigu arrondi à l'extrémité. Espace mésosternal plus large que long. Macroptère; nervure intercalaire de l'aire médiane des élytres forte, finement serrulée; membrane parcheminée. Fémurs postérieurs moyennement robustes. Éperons des tibias postérieurs non spécialisés. Arolium petit. Plaque sus-anale ♂ allongée, anguleuse. Cerques étroits, coniques. Plaque sous-génitale courte, conique. Oviscapte court, à valves fortes et courbées; valves inférieures à petite saillie basale externe de forme arrondie.

Espèce type : *Oedipoda cristella* Stål, 1873.

1. Trilophidia cinnabarina Brancsik (loc. typ. : Nosy Be; type perdu).

Trilophidia cinnabarina Brancsik, 1893 : 197; Dirsh, 1963 *a* : 269; Descamps et Wintrebert, 1966 *b* : 217.

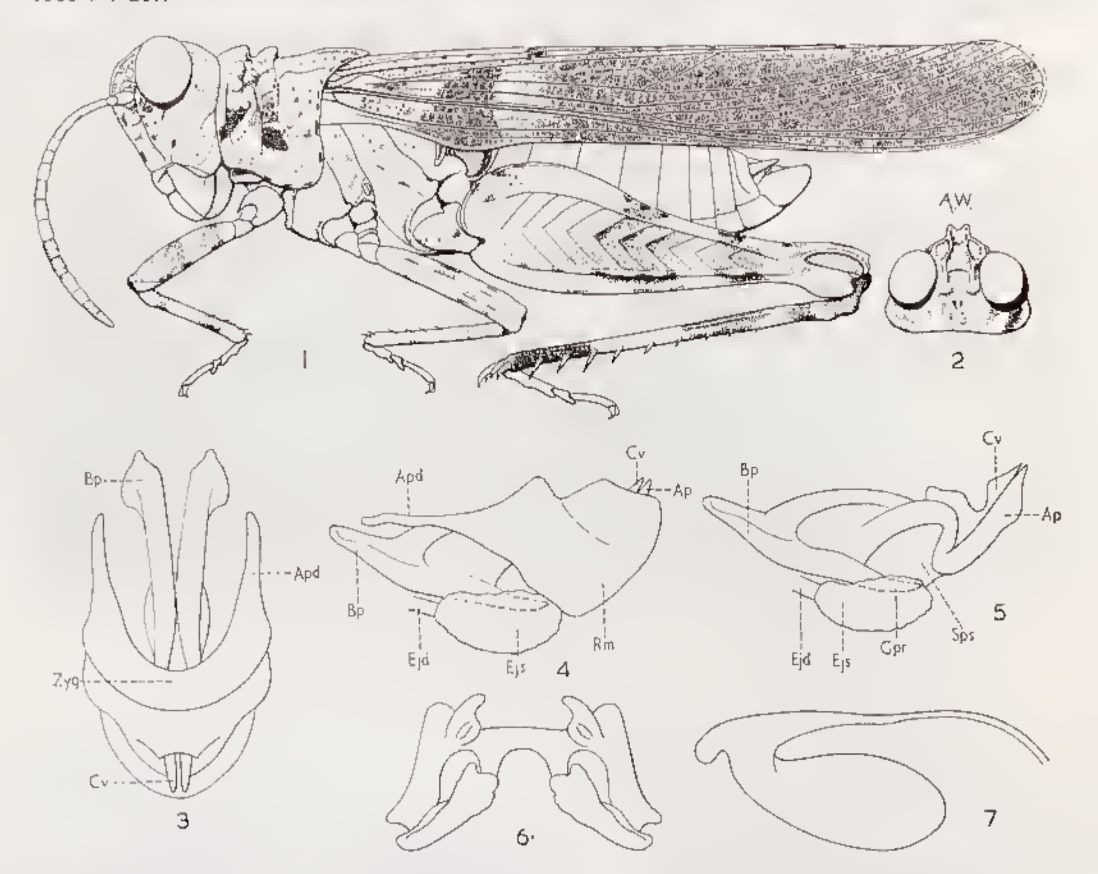


Fig. 119. — *Trilophidia cinnabarina* Brancsik, 1893. — 1, ♂. — 2, Tête dorsalement. — 3, Complexe phallique dorsalement, membrane ectophallique et épiphalle enlevés. — 4, *id.*, latéralement. — 5, *id.*, cingulum enlevé, sauf les valves. — 6, Épiphalle. — 7, Spermathèque.

Fig. 119. — Long. ♂ 14,4 à 16,7 mm, ♀ 20 à 23 mm; pronotum ♂ 3,6à 3,8 mm, ♀ 4 à 5 mm; élytre ♂ 15,2 à 17 mm, ♀ 17,2 à 22 mm; fémur postérieur ♂ 9,2 à 10,3 mm, ♀ 10 à 12 mm.

♂. Antennes de 18 à 19 articles. Fastigium du vertex allongé, ses carènes latérales élevées, presque en S; fovéoles temporales en rhomboèdre irrégulier, larges, plutôt superficielles; côte frontale assez profondément sillonnée. Les 2 saillies odontiformes de la prozone comprimées latéralement; 3 paires de grands tubercules latéraux entre les sillons, de taille plus faible vers la métazone; plusieurs tubercules à la partie supérieure des lobes latéraux. Espace mésosternal à peu près 2 fois plus large que long. Élytres dépassant l'extrémité de l'abdomen, à apex arrondi et bord antérieur fortement saillant à la base. Ailes moyennement étroites. Fémurs relativement courts, dépassant un peu l'extrémité de l'abdomen. Tibias postérieurs plus courts que les fémurs.

Complexe phallique : zygoma du cingulum moyennement étroit; apodèmes courts; valves du cingulum courtes, triangulaires de profil, à apex aigu. Valves basales du pénis longues, à petite dilatation latérale; valves apicales robustes, élargies et pourvues d'une saillie ventrale à la partie apicale; apex aigu; flexure relativement épaisse. Épiphalle à grandes ancorae articulées et grands lophi lobiformes, irréguliers.

Coloration générale brune à points brun foncé; antennes à anneaux brunâtres; élytres avec 2 ou 3 faibles fascies transverses brunâtres; ailes rouge cinabre à la base, noires à l'apex; 2 premières paires de pattes à anneaux brunâtres incomplets. Fémurs postérieurs à face externe brune; face supérieure à bande noirâtre; face interne noire avec 2 fascies claires dans la région apicale; partie inférieure de la face interne des genoux noirâtre; tibias postérieurs avec 2 anneaux bruns alternant avec des anneaux ocre; épines ocre à apex brun.

♀. Comme le ♂ mais plus grande. Antennes de 20 à 21 articles. Extrémité de la plaque sous-génitale en angle obtus. Spermathèque à petit diverticule apical court et grand diverticule préapical sacculiforme.

Madagascar Sambirano : Nosy Be *(R. Paulian)*.

Madagascar Est : Massif du Marojejy, Ambinanitelo, XII-1958 (*E. Raharizonina*). — Ile Sainte-Marie, Ambatoroa (*A. Robinson*). — Brickaville, Anivorano, III-1960 (*P. Griveaud*). — Tamatave, I-1964 (*M. Bouvet*). — Mahanoro (*A. Molet*). — Fort-Dauphin, forêt d'Isaka, IV-1953 (*R. Paulian*).

Madagascar Ouest : Ambato-Boeni, forêt de l'Ankarafantsika, XII-1959 (*E. Raharizonina*). — Sakaraha, forêt de Lambomakandro, II-1958 (*P. Griveaud*). — Morombe, station agricole du Bas-Mangoky (Tanandava) (*A. Robinson*).

Madagascar Centre : Tananarive, II-1962 (*D. Wintrebert*).

Madagascar Sud : Tuléar, Sept Lacs, VII-1957 (*A. Robinson*). — Ambovombe, Tranomaro, VIII-1948 (*R. Paulian*).

Genre **Pycnocrania** Uvarov

Pycnocrania Uvarov, 1941 : 298; Dirsh, 1963 *a* : 270.

Taille moyenne ou grande. Tégument fortement rugueux. Antennes filiformes, plus grandes ou plus courtes que la tête et le pronotum réunis. Tête globuleuse; fastigium

du vertex déclive, large, à apex tronqué, parcouru par une courte carinule médiane, les carinules latérales basses; front convexe; côte frontale large, plate, à surface rugueuse et carinules latérales presque effacées; fovéoles temporales petites, irrégulièrement triangulaires, presque arrondies, superficielles. Pronotum tectiforme; carène médiane plus haute dans la prozone que dans la métazone, traversée et entaillée uniquement par le sillon typique; pas de carènes latérales; métazone bien plus longue que la prozone, son bord postérieur anguleux, à apex obtus. Espace mésosternal bien plus large que long. Macroptère; nervure intercalaire de l'aire médiane des élytres fortement serrulée. Fémurs

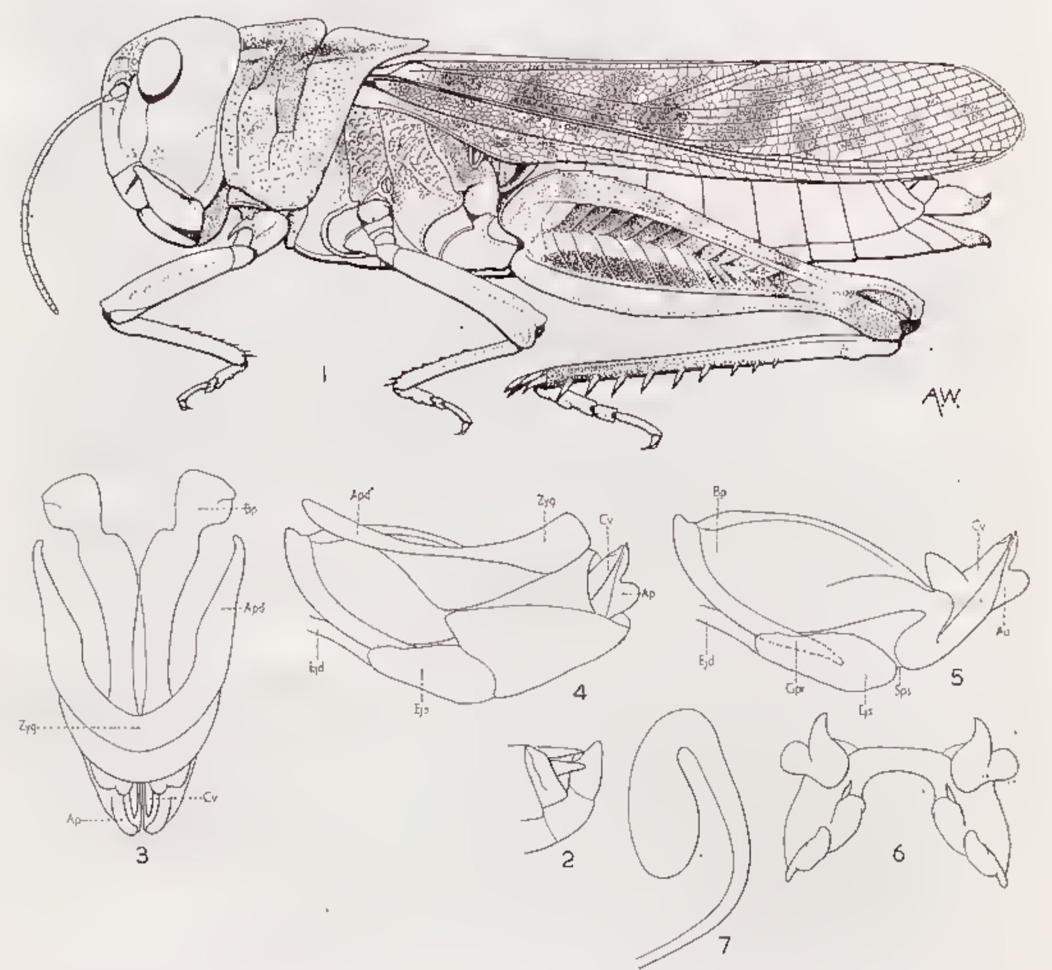


Fig. 120. — *Pycnocrania grandidieri* (Saussure, 1888). — 1, ♀. — 2, Extrémité abdominale ♂ latéralement. — 3, Complexe phallique dorsalement, membrane ectophallique et épiphalle enlevés. — 4, *id.*, latéralement. — 5, *id.*, cingulum enlevé, sauf les valves. — 6, Épiphalle. — 7, Spermathèque.

postérieurs larges, l'aire inféro-externe un peu dilatée, les carènes supérieure et inférieure fortement serrulées. Éperons des tibias postérieurs non spécialisés. Arolium petit. Plaque sus-anale ♂ allongée, à apex obtus. Cerques étroits, coniques, à apex obtus.

Plaque sous-génitale courte, conique, à apex obtus. Valves de l'oviscapte courtes, courbées à l'extrémité.

Espèce type : *Chloebora grandidieri* Saussure, 1888.

1. **Pycnocrania grandidieri** (Saussure) (loc. typ. : Madagascar; type ♀, Musée de Genève).

Chloebora grandidieri Saussure, 1888 : 33.
Pycnocrania grandidieri (Saussure, 1888); UVAROV, 1941 : 298; DIRSH, 1963 *a* : 271; DESCAMPS et WINTREBERT, 1966 *b* : 217.

Fig. 120. — Long. ♂ 23 à 25,7 mm, ♀ 33 à 45 mm; pronotum ♂ 5,5 à 7 mm, ♀ 8,3 à 9 mm; élytre ♂ 19 à 21,2 mm, ♀ 24 à 30 mm; fémur postérieur ♂ 14 à 15,2 mm, ♀ 17,7 à 21 mm.

♂. Bien plus petit et moins trapu que la ♀. Antennes de 22 articles, plus longues que la tête et le pronotum réunis. Fastigium du vertex presque plat, légèrement concave. Côte frontale très large, effacée dans la moitié inférieure. Pronotum tuberculé; carène médiane haute, obtuse; bord postérieur de la métazone en angle aigu à côtés légèrement concaves; lobes latéraux du pronotum plus hauts que longs. Élytres dépassant l'extrémité de l'abdomen, à apex oblique; bord antérieur excurvé à la partie basale. Ailes moyennement étroites. Fémurs postérieurs un peu plus longs que l'abdomen.

Complexe phallique : zygoma court et relativement étroit; apodèmes robustes et moyennement longs; valves du cingulum courtes, relativement étroites, à apex aigu. Valves basales du pénis un peu dilatées et excurvées; valves apicales robustes, courbées, à saillie postéro-ventrale et apex obtus; flexure épaisse. Épiphalle à grandes ancorae articulées, formant des saillies latérales; lophi grands, bilobés, les lobes de forme irrégulière.

Coloration générale brunâtre; disque du pronotum marqué d'un léger dessin ocre en X; élytres à taches brunes formant parfois une fascie transverse peu nette; ailes jaune citron pâle à la base, enfumées au milieu de la moitié postérieure, à fascie incomplète. Aire médiane externe des fémurs postérieurs grise, avec une étroite bande longitudinale médiane de coloration ocre; face interne des fémurs postérieurs ocre, rougeâtre à la partie inférieure; lobe géniculaire inféro-interne rougeâtre. Tibias postérieurs bleus; une tache rouge à la base de la face interne; épines blanchâtres à apex brun.

♀. Comme le ♂ mais plus grande et plus trapue. Antennes de 21 articles, plus courtes que la tête et le pronotum réunis. Bord postérieur de la métazone en angle obtus. Élytres atteignant ou dépassant très légèrement l'extrémité de l'abdomen. Bord postérieur de la plaque sous-génitale droit. Spermathèque à ampoule terminale simple.

MADAGASCAR EST : Tamatave, I-1964 (*M. Bouvet*). — Sud-Sud-Est, VIII-1963 (*D. Wintrebert*).

MADAGASCAR CENTRE : Tananarive, 1914 (*Waterlot*); parc de Tsimbazaza, I-1948 (*R. Paulian*). — Ihosy, Massif de l'Isalo, VIII-1948 (*R. Paulian*).

MADAGASCAR SUD : Betioky-Tuléar, II-1928 (*B. Zolotarevsky*). — Betioky-Sud, III-1962 (*D. Wintrebert*). — Sud-Ouest, 1962-64 (*D. Wintrebert*).

Genre **Gastrimargus** Saussure

Gastrimargus Saussure, 1884 : 109; Dirsh, 1963 *a* : 271.

Taille moyenne à grande. Tégument lisse ou finement rugueux. Antennes filiformes, subégales à la longueur de la tête et du pronotum réunis. Tête globuleuse; fastigium du vertex un peu rétréci vers l'avant, à apex tronqué à carinules latérales bien développées et carinule médiane faible; front vertical ou un peu oblique; côte frontale large, à carinules latérales parallèles et obtuses. Pronotum tectiforme, à carène médiane haute, parfois en crête; pas de carènes latérales; prozone parfois un peu étranglée; pas de sillon ou seulement un léger sillon postérieur traversant la carène médiane; métazone plus longue que la prozone, son bord postérieur en angle aigu plus ou moins allongé. Espace mésosternal bien plus large que long. Macroptère ou brachyptère; nervure intercalaire de l'aire médiane des élytres forte, finement serrulée; moitié antérieure de l'aire médiane à nervules épaissies. Fémurs postérieurs grêles. Éperons des tibias postérieurs non spécialisés. Arolium de taille moyenne. Plaque sus-anale ♂ allongée, anguleuse, à côtés incurvés et apex obtus. Cerques coniques à apex obtus. Plaque sous-génitale conique à apex obtus. Oviscapte court, fort, à valves courbées; valves inférieures à petite saillie basale externe.

Espèce type : *Gastrimargus verticalis* Saussure, 1884.

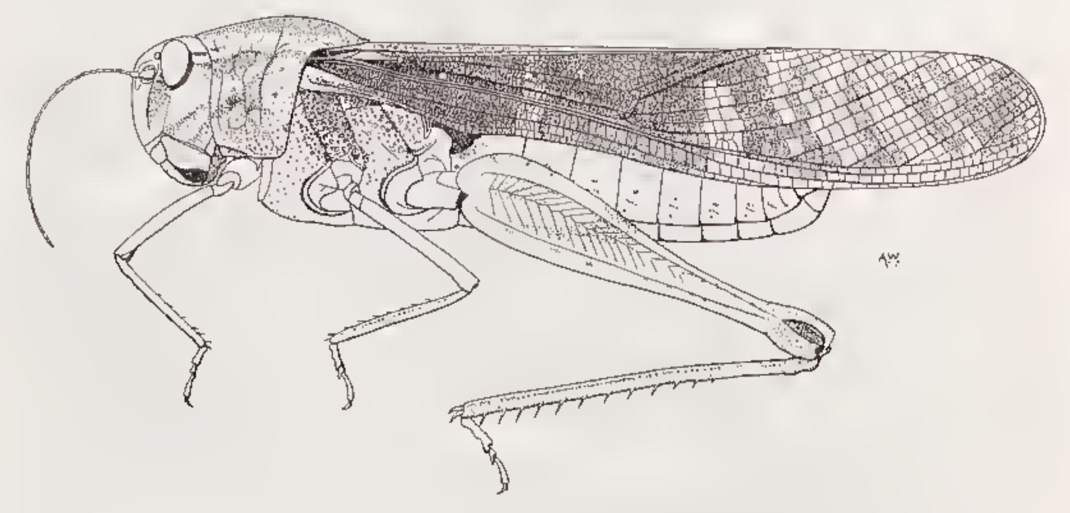


Fig. 121. — *Gastrimargus africanus* (Saussure, 1888), ♂.

1. **Gastrimargus africanus** (Saussure) (loc. typ. : Afrique du Sud; type ♂, Musée de Genève).

Oedaleus marmoratus var. *africana* Saussure, 1888 : 39.
Gastrimargus africanus (Saussure, 1888); Kirby, 1910 : 227; Dirsh, 1963 *a* : 273; Descamps et Wintrebert, 1966 *b* : 219.
Gastrimargus africanus var. *madagascariensis* Sjöstedt, 1928 : 41; Dirsh, 1963 *a* : 273.

Fig. 121. — Long. ♂ 23,5 à 26,6 mm, ♀ 33 à 38,2 mm; pronotum ♂ 6,5 à 7 mm,

♀ 9,5 à 10 mm; élytre ♂ 24 à 30,2 mm, ♀ 30,9 à 40 mm; fémur postérieur ♂ 15,5 à 17 mm, ♀ 20 à 24,2 mm (mesures basées sur le seul matériel malgache).

♂. Antennes de 26 articles. Fastigium du vertex légèrement concave, presque plan, les carinules latérales excurvées, fusionnées avec les carinules de la côte frontale. Bord postérieur de la métazone en angle aigu et moyennement atténué; lobes latéraux du pronotum plus hauts que longs, le bord inférieur excurvé. Élytres dépassant fortement l'extrémité de l'abdomen, à apex arrondi; bord antérieur un peu saillant à la base. Fémurs postérieurs dépassant l'extrémité de l'abdomen. Épines des tibias postérieurs relativement courtes.

Coloration générale verte ou brune, avec toutes les teintes intermédiaires; 2 bandes noirâtres obliques sur les joues; souvent de larges bandes brun sombre juxtamédianes et un dessin brun clair en X sur le disque du pronotum. Élytres brunâtres ou noirâtres, traversés par 2 bandes incomplètes, étroites, blanchâtres; partie dorsale souvent verte; partie basale des ailes jaune citron; une large bande brun noir ou noire au milieu; partie apicale incolore; extrémité parfois un peu enfumée. Face externe des fémurs postérieurs parfois marquée d'une ou 2 bandes brunes, courtes, obliques; face interne noirâtre à la base, ocre à l'apex, parfois un anneau préapical plus clair. Base des tibias postérieurs brune, suivie d'un large anneau blanchâtre; partie apicale rouge.

♀. Comme le ♂ mais plus grande. Antennes de 26 à 27 articles. Bord postérieur de la métazone en angle aigu moins accentué et moins atténué que chez le ♂. Bord postérieur de la plaque sous-génitale presque droit.

Madagascar Est : Moramanga, route d'Anosibe, Sandrangato, XII-1959 (*P. Griveaud*); route de Lakato, Ankasoka, I-1959 (*P. Viette et P. Griveaud*); Perinet, forêt d'Analamazaotra (*P. Viette*). — Farafangana, Ivohibe (*A. Robinson*). — Fort-Dauphin (*R. Paulian*); Sakavondro, forêt d'Isaka, II-1958 (*P. Griveaud*). — Tamatave, I-1964 (*M. Bouvet*). — Sud-Sud-Est, VIII-1964 (*D. Wintrebert*).

Madagascar Centre : Bealanana, Antananihola, XI-1957 (*J. Elie*). — Ambatondrazaka, station agricole du lac Alaotra (*A. Robinson*). — Anjozorobe, Amboasary, XI-1957 (*P. Griveaud*). — Tananarive, XII-1961 (*D. Wintrebert*); parc de Tsimbazaza, I-1948 (*R. Paulian*). — Ankazobe, forêt d'Ambohitantely, XII-1947 (*R. Paulian*). — Tsiroanomandidy, Ambohiby, V-1948 (*R. Paulian*). — Ambositra, Soavina, I-1951 (*R. Paulian*). — Sud d'Ambositra, VI-1962 (*D. Wintrebert*). — Ambatofinandrahana, VII-1957 (*P. Griveaud*). — Massif de l'Andringitra, forêt Vakoana, Ambalamarovandana, I-1958 (*P. Griveaud*). — Betroky, Mandrotsy (*J. Elie*). — Col des Tapias septentrional, VII-1962 (*D. Wintrebert*). — Amborompotsy, VII-1962 (*D. Wintrebert*).

Madagascar Ouest : Miandrivazo, Ambovombe, III-1960 (*Cruchet*).

Madagascar Sud : Sud-Ouest, 1962-64 (*D. Wintrebert*).

La série d'exemplaires malgaches ne diffère en rien des séries africaines. La variété *madagascariensis* Sjöstedt, que cet auteur considère comme de plus petite taille, s'avère, sur une série suffisante, indiscernable des exemplaires africains.

Gastrimargus africanus est généralement très variable quant à la taille, la longueur relative des élytres et des fémurs postérieurs, la forme du bord postérieur du pronotum.

Genre **Oedaleus** Fieber

Oedaleus Fieber, 1853 : 126; Dirsh, 1963 *a* : 274.

Taille moyenne. Tégument finement rugueux et ponctué. Antennes filiformes, plus longues que la tête et le pronotum réunis. Tête presque subglobuleuse; fastigium du vertex anguleux, à apex tronqué, plat ou un peu concave; côte frontale plate ou faiblement sillonnée, un peu rétrécie à l'apex, les carinules latérales parallèles, obtuses, parfois indistinctes. Pronotum plus ou moins fortement tectiforme, un peu étranglé

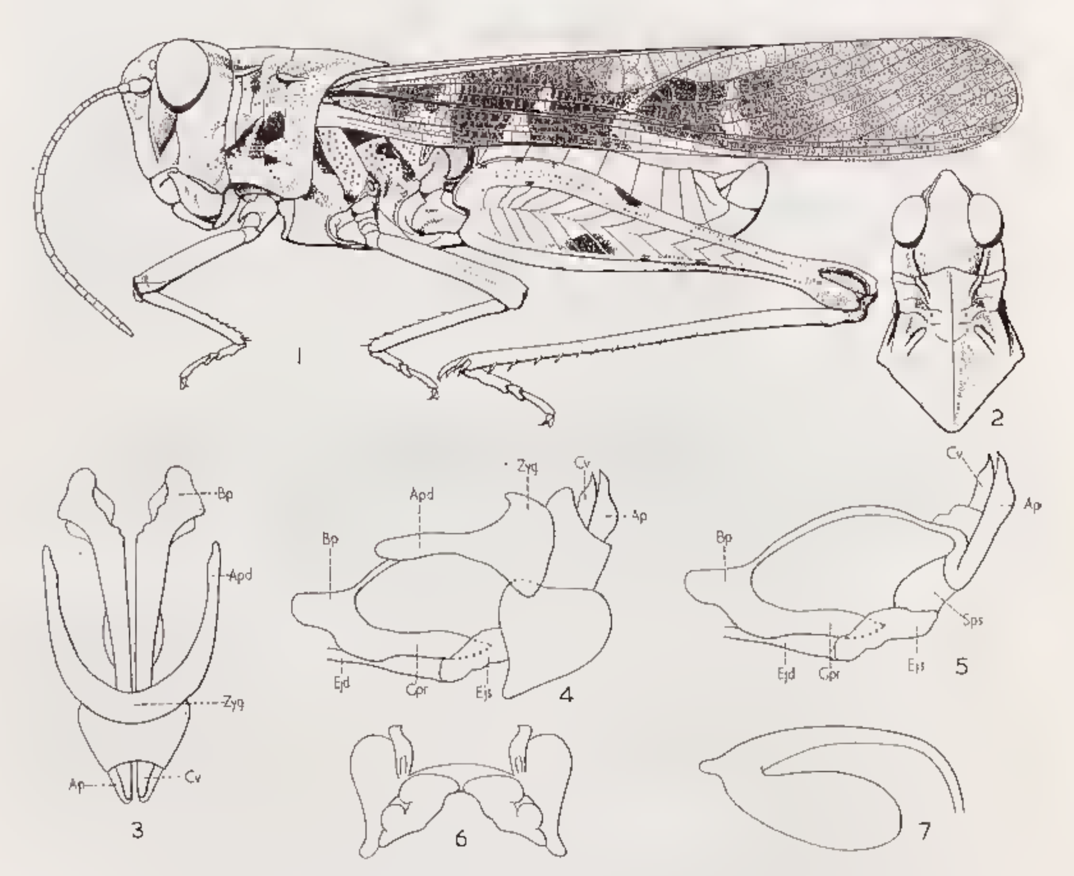


Fig. 122. — *Oedaleus virgula* (Snellan van Vollenhoven, 1869). — 1, ♂. — 2, Tête et pronotum dorsalement. — 3, Complexe phallique dorsalement, membrane ectophallique et épiphalle enlevés. — 4, *id.*, latéralement. — 5, *id.*, cingulum enlevé, sauf les valves. — 6, Épiphalle. — 7, Spermathèque.

dans la prozone, à carène médiane obtuse et sans carènes latérales; un dessin en X sur le disque; carène médiane coupée seulement par le seul sillon typique; métazone un peu plus longue que la prozone, son bord postérieur en angle aigu presque arrondi. Espace mésosternal plus large que long. Macroptère; nervure intercalaire de l'aire médiane des élytres forte, faiblement serrulée; moitié apicale à membrane transparente;

aire subcostale de l'aile un peu épaissie à l'extrémité. Fémurs postérieurs grêles. Éperons des tibias postérieurs non spécialisés. Arolium moyen. Plaque sus-anale ♂ anguleuse. Cerques étroits, coniques, à apex obtus. Plaque sous-génitale conique à apex obtus. Oviscapte court, à valves fortes et courbées; valves inférieures à saillie basale externe allongée.

Espèce type : *Acridium nigrofasciatum* Degeer, 1773.

1. **Oedaleus virgula** (Snellen van Vollenhoven) (loc. typ. : Madagascar; type ♂, Musée de Leyde).

Oedipoda virgula Snellen van Vollenhoven, 1869 : 11.
Epacromia inclyta Walker, 1870 : 773; UVAROV, 1925 : 276; DIRSH, 1963 *a* : 275.
Oedaleus (*Gastrimargus*) *madecassus* Saussure, 1884 : 115; UVAROV, 1925 : 276; DIRSH, 1963 *a* : 275.
Oedaleus nigrofasciatus var. *virgula* (Snellen van Vollenhoven, 1869); SAUSSURE, 1888 : 40; DIRSH, 1963 *a* : 275.
Oedaleus virgula (Snellen van Vollenhoven); KIRBY, 1910 : 226; DIRSH, 1963 *a* : 275; DESCAMPS et WINTREBERT, 1966 *b* : 225.

Fig. 122. — Long. ♂ 16,3 à 22 mm, ♀ 25,7 à 30,5 mm; pronotum ♂ 3,7 à 5 mm, ♀ 5,5 à 6,7 mm; élytre ♂ 15,2 à 22 mm, ♀ 22 à 31 mm; fémur postérieur ♂ 10,6 à 13 mm, ♀ 14,6 à 17,5 mm.

♂. Antennes de 22 à 23 articles. Fastigium du vertex un peu concave; côte frontale un peu déprimée au niveau des ocelles. Pronotum tectiforme; son bord postérieur en angle obtus; lobes latéraux plus hauts que longs, le bord inférieur oblique et convexe, l'angle antérieur obtus et un peu atténué, l'angle postérieur arrondi. Élytres dépassant largement l'extrémité de l'abdomen, à apex arrondi; nervure intercalaire de l'aire médiane fortement serrulée. Aire supéro-externe des fémurs postérieurs un peu dilatée à la partie basale.

Complexe phallique : zygoma court et relativement étroit; apodèmes courts et grêles; valves du cingulum courtes, à apex aigu. Valves basales du pénis excurvées et un peu dilatées; valves apicales robustes, un peu élargies dans la région apicale, à petite saillie postéro-ventrale, l'apex aigu; flexure moyennement épaisse. Épiphalle à petites ancorae articulées et très grands lophi bilobés.

Coloration générale verdâtre ou brunâtre; une bande brune entre les carènes faciales et les joues; disque du pronotum à dessin ocre ou blanchâtre en X, parfois complètement ou partiellement effacé. Élytres à 2 ou 3 fascies étroites, incomplètes, blanches ou ocre; ailes vert citron à la base, à bande faiblement enfumée. Fémurs postérieurs de la même couleur que le corps sur les 2 faces; une courte fascie transverse brune à la face supérieure; tibias postérieurs bleuâtres ou légèrement brunâtres.

♀. Comme le ♂ mais plus grande. Extrémité de la plaque sous-génitale un peu saillante. Spermathèque à petit diverticule apical court et grand diverticule préapical sacculiforme.

MADAGASCAR NORD : Diégo-Suarez, montagne des Français, II-1959 (*A. Robinson*).

MADAGASCAR SAMBIRANO : Nosy Be, (*J. de Coudenhove*); plage de Madiokely, VII-1957 (*R. Paulian*). — Nosy Mitsio, I-1960 (*R. Paulian*).

Madagascar Est : Mananara, Antanambe (*J. Vadon*). — Ile Sainte-Marie, Ambatoroa, II-1959 (*E. Razafimaudimby*); forêt d'Ambohidena, X-1960 (*P. Griveaud*). — Fénérive, station forestière de Taratasy, VII-1958 (*J. Elie*). — Tamatave, station agricole de l'Ivoloina, VI-1958 (*J. Elie*); Amboditafana, X-1958 (*E. Razafimaudimby*). — Brickaville, station agricole; Ambila-Lemaitso, VII-1951 (*R. Paulian*). — Perinet, forêt d'Analamazaotra (*P. Vielle*). — Fort-Dauphin, Lebanona, VIII-1948 (*R. Paulian*); Sainte Luce, II-1958 (*P. Griveaud*); Sakavondro, forêt d'Isaka, II-1958 (*P. Griveaud*). — Sud-Sud-Est, VIII-1964 (*D. Wintrebert*).

Madagascar Centre : Tananarive, I-1962 (*D. Wintrebert*). — Sud d'Ambositra, VI-1962 (*D. Wintrebert*).

Madagascar Ouest : Maevatanana, forêt de l'Ankarafantsika, poste d'Ampijoroa (*R. Razafimaudimby*). — Morondava, forêt au Sud de Befasy, I-1956 (*R. Paulian*). — Sakaraha, forêt de Lambomakandro, VII-1957 (*A. Robinson*). — Morombe, lac Ihotry, VII-1957 (*P. Griveaud*). — Nord-Ouest, X-1964 (*J. Têtefort et D. Wintrebert*).

Madagascar Sud : Tuléar, Saint-Augustin, III-1956 (*A. Robinson*); Sept Lacs, VII-1957 (*A. Robinson*). — Ambovombe, IV-1953 (*R. Paulian*). — Amboasary, VI-1957 (*P. Griveaud*). — Antanimora, XII-1957 (*E. Raharizonina*). — Ampanihy, II-1958 (*P. Griveaud*). — Behara (*A. Seyrig*). — Sud-Ouest, 1962-64 (*D. Wintrebert*).

Oedaleus virgula est très variable quant à la taille, le dessin du pronotum (qui est parfois de coloration uniforme) et la coloration d'ensemble. L'espèce est très proche d'*Oedaleus nigrofasciatus* Degeer, 1773, d'Afrique du Sud, dont elle diffère par la coloration des tibias postérieurs (rouges ou rougeâtres chez *O. nigrofasciatus*) et par le pronotum moins tectiforme.

Genre **Locusta** Linné

Locusta Linné, 1758 : 425; Dirsh, 1963 *a* : 277.
Oedipus Berthold, 1827 : 411; Roberts, 1941 : 26; Dirsh, 1963 *a* : 277.
Pachytylus Fieber, 1852 : 5; Kirby, 1910 : 228; Dirsh, 1963 *a* : 277.

Grande taille. Tégument lisse ou finement ponctué. Antennes filiformes, à peu près aussi longues que la tête et le pronotum réunis. Tête globuleuse; fastigium du vertex se rétrécissant vers l'avant, à apex obtus et presque tronqué, un peu concave, à faibles carènes latérales et médiane; front vertical, excurvé; côte frontale moyennement large, un peu déprimée au niveau de l'ocelle médian, à carinules latérales parallèles et presque effacées. Pronotum tectiforme ou étranglé dans la prozone et presque ensellé; carène médiane bien développée, traversée par le seul sillon postérieur; métazone un peu plus longue que la prozone, son bord postérieur en angle obtus ou presque arrondi. Espace mésosternal à peu près aussi long que large ou un peu plus long que large. Élytres et ailes entiers; nervure intercalaire de l'aire médiane des élytres forte, finement serrulée; partie antérieure de l'aire médiane à nervules épaissies. Fémurs postérieurs grêles. Arolium petit. Plaque sus-anale ♂ anguleuse. Cerques étroits, coniques, à apex obtus. Plaque sous-génitale conique, à apex subaigu. Oviscapte court, robuste, à valves courbées; valves inférieures à saillie basale externe.

Espèce type : *Gryllus (Locusta) migratorius* Linné, 1758.

1. Locusta migratoria capito (Saussure) (loc. typ. : Madagascar; type ♀, Musée de Genève).

Pachytylus migratorioides var. *capito* Saussure, 1884 : 119.
Locusta capito (Saussure, 1884); Kirby, 1910 : 229; Dirsh, 1963 *a* : 277.
Locusta migratoria capito (Saussure, 1884); Dirsh, 1963 *a* : 277; Descamps et Wintrebert, 1966 *b* : 227.

Fig. 123. — Long. ♂ 38 à 44 mm, ♀ 36,3 à 53,5 mm; pronotum ♂ 8,4 à 9 mm, ♀ 8,7 à 11,4 mm; élytre ♂ 40,5 à 45,6 mm, ♀ 40 à 55,5 mm; fémur postérieur ♂ 22 à 23 mm, ♀ 22 à 30 mm; largeur maxima de la tête ♂ 5,4 à 7,6 mm, ♀ 6 à 8,7 mm (mesures prises sur le matériel disponible).

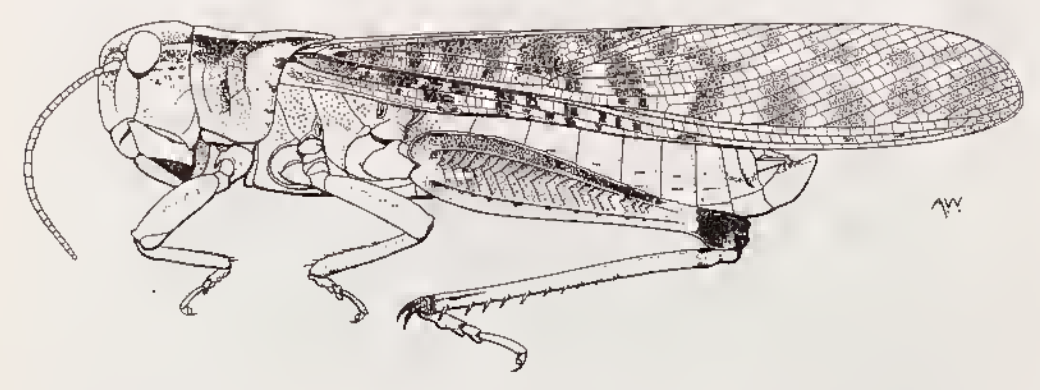


Fig. 123. — *Locusta migratoria capito* (Saussure, 1884), phase *gregaria*, ♂.

♂. Antennes de 25 à 27 articles. Tête parfois renflée; fastigium du vertex plus long ou plus court que large. Pronotum tectiforme ou ensellé; lobes latéraux plus hauts que longs, bord postérieur de la métazone anguleux ou arrondi. Élytres dépassant largement l'extrémité de l'abdomen, à apex arrondi; nervure intercalaire de l'aire médiane droite; partie antérieure de l'aire médiane plus large que la postérieure.

Coloration générale verte, verdâtre ou brune; disque du pronotum traversé par 2 bandes longitudinales brunes ou uniformément coloré; élytres couverts de petites taches brunâtres; ailes incolores et transparentes ou légèrement jaune citron à la base; tibias postérieurs rougeâtres, ocre, ou brunâtres (peut-être à la suite de changements *post-mortem*).

♀. Comme le ♂ mais plus grande. Bord postérieur de la plaque sous-génitale presque droit, un peu excurvé.

Locusta migratoria capito existe sous 2 formes (phase *solitaria* et phase *gregaria*); les extrêmes sont très différents, mais il existe tous les intermédiaires (phase *transiens*). Ces formes se différencient comme suit :

— phase *solitaria* : tête plus étroite, non renflée; fastigium du vertex plus long que large. Pronotum tectiforme, son bord postérieur anguleux. Fémurs postérieurs relativement plus longs. ♀ bien plus grande que le ♂.

— phase *gregaria* : tête plus large, renflée; fastigium du vertex plus court que

large. Pronotum ensellé, à bord postérieur arrondi ou largement obtus. Fémurs postérieurs relativement plus courts. ♀ de peu plus grande que le ♂.

— phase *transiens* : tous les caractères énoncés ci-dessus se rencontrent à tous les états intermédiaires entre les 2 formes extrêmes.

La distribution de cette espèce couvre toute l'île, mais elle est beaucoup plus abondante dans la région malgache occidentale.

Genre **Acrotylus** Fieber

Acrotylus Fieber, 1853 : 125; Dirsh, 1963 *a* : 278.

Taille moyenne ou faible. Tégument rugueux et poilu. Antennes filiformes, plus longues que la tête et le pronotum réunis. Fastigium du vertex anguleux, fortement concave, à hautes carinules latérales; fovéoles temporales parfois indistinctes; front vertical; côte frontale sillonnée, à hautes carinules latérales, fortement étranglée à l'apex et un peu élargie vers le bas. Pronotum court, ensellé, fortement tuberculé et sculpté dans la prozone; carène médiane bien développée; carènes latérales tuberculées et irrégulières, parfois absentes dans la métazone; disque traversé par 2 sillons; métazone plus longue que la prozone, son bord postérieur arrondi ou anguleux. Espace mésosternal plus large que long. Élytres et ailes entiers; nervure intercalaire de l'aire médiane des élytres épaisse, fortement serrulée; membrane semi-transparente. Fémur postérieur grêle; lobes inférieurs des genoux postérieurs arrondis. Paire interne d'éperons des tibias postérieurs plus longue que l'externe. Arolium petit. Plaque sus-anale ♂ allongée, anguleuse. Cerques droits ou un peu courbés, à apex obtus. Plaque sous-génitale courte, conique. Oviscapte court, robuste, à valves courbées; valves inférieures à saillie basale externe anguleuse.

Espèce type : *Gryllus insubricus* Scopoli, 1786.

Clé des espèces malgaches

1 (2) Pronotum ensellé; bord postérieur de la métazone arrondi; ailes à base rouge ou jaune et à fascie brune (fig. 124) . . . . 1. **A. patruelis**

2 (1) Pronotum un peu ensellé, subtectiforme; le disque aplati entre les carènes latérales; bord postérieur de la métazone en angle obtus; ailes incolores ou légèrement enfumées (fig. 125). . . . . 2. **A. aberrans**

1. **Acrotylus patruelis** (Herrich-Schäffer) (loc. typ. : ?; type ?).

Gryllus patruelis Herrich-Schäffer, 1838 : 157.

Acrotylus patruelis (Herrich-Schäffer, 1838); I. Bolivar, 1876 : 363; Dirsh, 1963 *a* : 279; Descamps et Wintrebert, 1966 *b* : 227.

Fig. 121. — Long. ♂ 17 à 18 mm, ♀ 21 à 23 mm; pronotum ♂ 2,8 à 3 mm, ♀ 3,2 à 3,5 mm; élytre ♂ 19 à 20 mm, ♀ 21,8 à 23,7 mm; fémur postérieur ♂ 9,8 à 10,2 mm, ♀ 11,5 à 12 mm.

♂. Antennes de 22 à 23 articles. Fovéoles temporales peu développées; carinules latérales de la côte frontale sinuées. Pronotum ensellé, à grandes convexités basses entre les sillons; carène médiane bien développée, vive, traversée seulement par le

sillon typique; bord postérieur de la métazone largement arrondi. Élytres dépassant largement l'extrémité de l'abdomen, étroits, à apex arrondi, le bord antérieur un peu saillant à la partie basale; nervure intercalaire droite, divisant l'aire médiane en 2 parties égales.

Coloration générale brune ou brunâtre; lobes latéraux du pronotum à dessin brun en H; élytres bruns, à partie vanale plus claire; ailes rouges ou jaune verdâtre à la base, à large fascie brune incomplète et partie apicale incolore, l'apex parfois

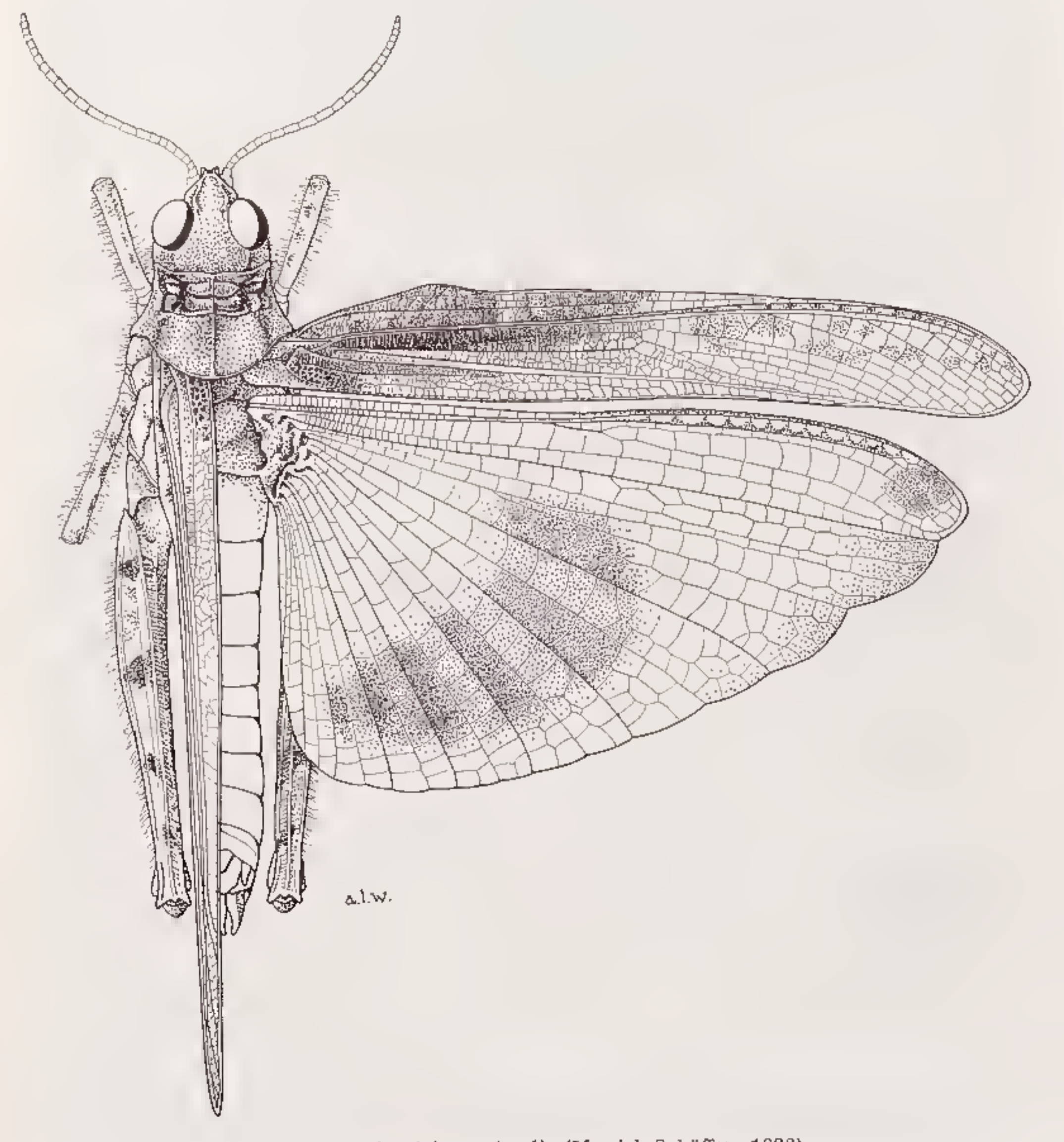


FIG. 124. — *Acrotylus patruelis* (Herrich-Schäffer, 1838),

rembruni; fémurs postérieurs à face dorsale traversée par 3 fascies brunes; tibias postérieurs grisâtres ou ocre.

♀. Comme le ♂ mais plus grande. Antennes de 24 à 25 articles. Bord postérieur de la plaque sous-génitale presque droit, un peu excurvé.

MADAGASCAR CENTRE : Tananarive (*Grandidier, Waterlot*): parc de Tsimbazaza (*R. Paulian*). — Massif de l'Isalo, III-1956 (*A. Robinson*).

MADAGASCAR OUEST : Maevatanana, forêt de l'Ankarafantsika, poste d'Ampijoroa, I-1957 (*E. Razafimandimby*). — Morondava, forêt au Sud de Befasy, I-1956 (*R. Paulian*). — Sakaraha, forêt de Lambomakandro, VII-1957 (*A. Robinson*).

MADAGASCAR SUD : Tuléar, Saint Augustin, II, III-1958 (*P. Griveaud*). — Betioky, lac Tsimanampetsotsa, Andranomby, IV-1948 (*R. Paulian*). — Ambaasary, VI-1957 (*P. Griveaud*). — Tsivory, Andabolava, XI-1959 (*Randriamasy*). — Ambovombe, IV-1953 (*R. Paulian*). — Sud-Ouest, 1962-64 (*D. Wintrebert*).

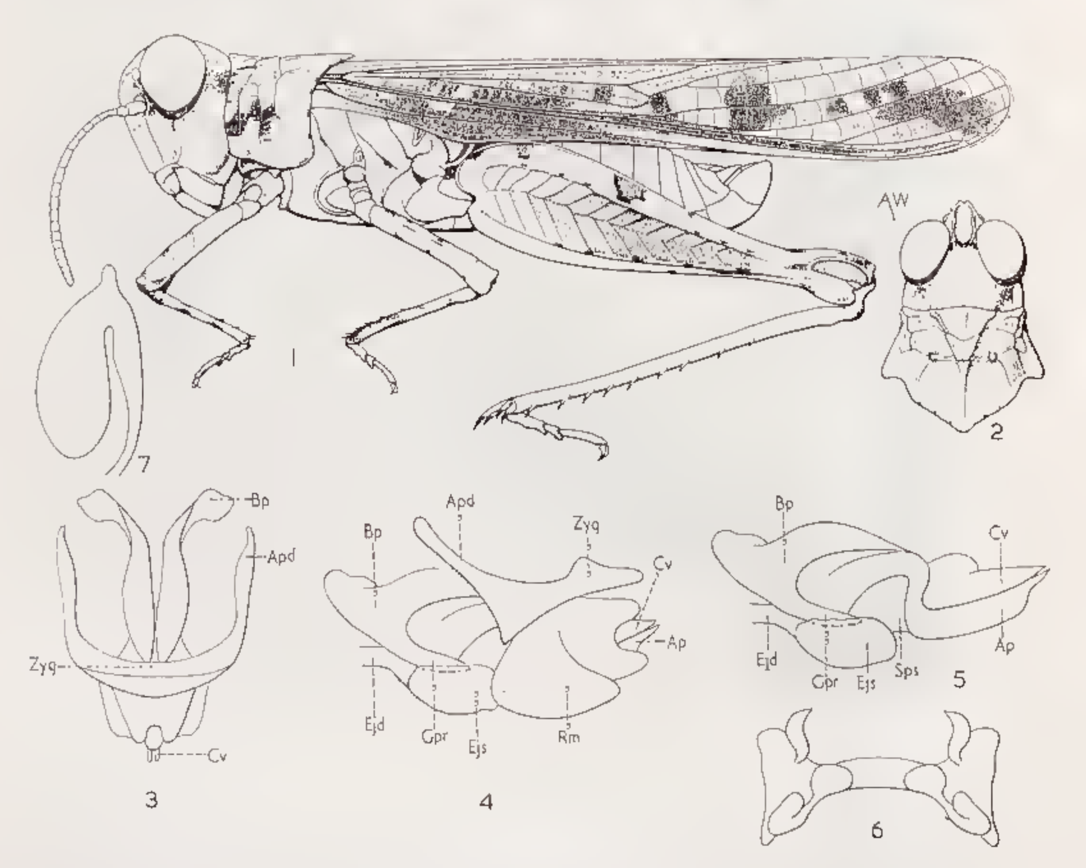


FIG. 125. — *Acrotylus aberrans* Bruner, 1910. — 1, ♂. — 2, Tête et pronotum dorsalement. — 3, Complexe phallique dorsalement, membrane ectophallique et épiphalle enlevés. — 4, *id.*, latéralement. — 5, *id.*, cingulum enlevé, sauf les valves. — 6, Épiphalle.

2. Acrotylus aberrans Bruner (loc. typ. : Madagascar; type ♂, Musée de Berlin).

Acrotylus aberrans Bruner, 1910 : 636; DIRSH, 1963 *a* : 280; DESCAMPS et WINTREBERT, 1966 *b* : 229.

Fig. 125. — Long. ♂ 11 à 13,6 mm, ♀ 15,3 à 18 mm; pronotum ♂ 2.4 à 2,7 mm ♀ 3,2 à 3,5 mm; élytre ♂ 11,5 à 14 mm, ♀ 13,5 à 16,5; fémur postérieur 7,5 à 9 mm, ♀ 9 à 10 mm.

♂. Antennes de 21 à 22 articles. Fastigium du vertex étroit; fovéoles temporales peu développées; côte frontale profondément sillonnée, les carinules latérales légèrement divergentes, presque parallèles. Pronotum un peu ensellé, subtectiforme; carène médiane basse; carènes latérales de la prozone fortement convergentes vers l'arrière, formant une surélévation en triangle inversé, séparées des carènes latérales de la métazone; ces dernières formant 2 tubercules en avant du sillon postérieur, fortement divergentes à la partie antérieure de la métazone et effacées à la partie postérieure; bord postérieur de la métazone en angle obtus. Espace mésosternal 2 fois plus large que long. Élytres dépassant l'extrémité de l'abdomen, à apex arrondi; bord antérieur de la partie basale un peu saillant; nervure intercalaire de l'aire médiane droite, oblique, fortement serrulée. Fémurs postérieurs moyennement allongés, dépassant l'extrémité de l'abdomen.

Complexe phallique : zygoma court et large; apodèmes grêles, moyennement longs; valves du cingulum grandes, à apex aigu. Valves basales du pénis un peu dilatées et fortement excurvées; valves apicales longues, robustes, à face ventrale un peu dilatée et apex aigu; flexure épaisse et robuste. Épiphalle à petites ancorae articulées; lophi bilobés.

Coloration générale brune; 2 bandes obliques brun foncé sous les carènes latérales de la prozone du pronotum; tubercules ocre devant le sillon postérieur; élytres bruns, à tache blanchâtre dans la partie apicale; ailes incolores ou un peu enfumées. Trois fascies brunes à la face supérieure des fémurs postérieurs; fascies basale et apicale faibles; fascie médiane grande, triangulaire, bien nette. Tibias postérieurs rouges; épines noirâtres.

♀. Comme le ♂ mais plus grande. Antennes de 22 à 23 articles. Bord postérieur de la plaque sous-génitale légèrement sinueux. Spermathèque à court diverticule apical de petite taille et grand diverticule préapical sacculiforme.

Acrotylus aberrans est aberrant par le bord postérieur du pronotum en angle obtus, alors qu'il est arrondi chez les autres espèces du même genre.

MADAGASCAR CENTRE : Tananarive, route de Tamatave, km 23, X-1948 (*R. Paulian*). — Pays Betsileo, route du Sud, km 303, forêt d'Ambatofitorahana, III-1955 (*P. Viette*).

MADAGASCAR OUEST : Morombe, lac Ihotry, VII-1957 (*A. Robinson*). — Ankazoabo, station hydrologique du Banian, VII-1957 (*A. Robinson*). — Forêt de Zombitsy, II-1962 (*J. Laurent*).

MADAGASCAR SUD : Tuléar, Saint Augustin, II-1958 (*P. Griveaud*). — Betioky, lac Tsimanampetsotsa, Andranomby, IV-1948 (*R. Paulian*). — Ambovombe, VI-1957

(*P. Griveaud*). — Amboasary, VII-1957 (*A. Robinson*). — Sud-Sud Ouest, 1962-64 (*D. Wintrebert*).

Genre **Calephorus** Fieber

Calephorus Fieber, 1853 : 97; Dirsh, 1963 *a* : 281.
Oxycoryphus Fischer, 1853 : 311; Rehn, 1902 : 317; Dirsh, 1963 *a* : 281.

Taille faible et corps grêle. Tégument un peu rugueux, presque lisse. Antennes comprimées et élargies, plus courtes que la tête et le pronotum réunis. Tête conique. Fastigium du vertex allongé, faiblement convexe, presque plan, à carinules marginales vives; front fortement oblique, concave; côte frontale élevée, étroite, sillonnée, à carinules latérales obtuses, rétrécie à l'apex. Pronotum un peu tectiforme; carène médiane vive; carènes latérales fortes, incurvées et anguleuses dans la prozone; disque et carène médiane traversés par le seul sillon typique; métazone plus longue que la prozone, son bord postérieur allongé, anguleux, à apex obtus. Espace mésosternal plus large que long. Élytres et ailes entiers; nervure intercalaire de l'aire médiane des élytres fortement et finement serrulée; aires médiane et cubitale un peu élargies; membrane transparente sur le 1/3 apical; réticulation lâche: partie apicale de l'aire subcostale des ailes sclérifiée. Fémurs postérieurs grêles; lobes inférieurs des genoux postérieurs arrondis; éperons internes des tibias postérieurs à peu près 2 fois plus longs que les éperons externes. Arolium petit. Plaque sus-anale ♂ anguleuse. Cerques étroits, coniques, à apex obtus et un peu courbé en dedans. Plaque sous-génitale courte, subconique à apex obtus. Oviscapte moyennement court, robuste, à valves fortement courbées.

Espèce type : *Acridium compressicornis* Latreille, 1804.

1. Calephorus ornatus (Walker, 1870) (loc. typ. : Madagascar; type ♂, British Museum, N.H.).

Stenobothrus ornatus Walker, 1870 : 764.
Calephorus ornatus (Walker, 1870); I. Bolivar, 1914 : 99; Dirsh, 1963 *a* : 281; Descamps et Wintrebert, 1966 *b* : 230.

Fig. 126. — Long. ♂ 11,8 à 14,9 mm, ♀ 18,6 à 21 mm; pronotum ♂ 2,6 à 3,2 mm, ♀ 4 à 4,2 mm; élytre ♂ 10,3 à 12,7 mm, ♀ 14 à 15,5 mm; fémur postérieur ♂ 8 à 9,3 mm, ♀ 10,6 à 11,7 mm.

♂. Antennes de 21 articles. Fastigium du vertex en angle aigu; fovéoles temporales basses, triangulaires, très superficielles. Pronotum légèrement tectiforme, tendant à être ensellé; carènes latérales anguleusement concaves; droites dans la prozone; excurvées et divergentes dans la métazone, parfois presque effacées; lobes latéraux plus longs que hauts, à callosité longitudinale dans la partie supéro-antérieure et la partie inféro-postérieure, le bord inférieur sinué; bord postérieur de la métazone en angle aigu. Élytres étroits, dépassant largement l'extrémité de l'abdomen, l'apex arrondi; bord antérieur saillant à la partie basale; nervures principales fortement convexes, nettes; aires médiane et cubitale élargies, à nervules transverses rares, parallèles; nervure intercalaire de l'aire médiane courte, commençant à peu près au milieu de l'aire, rectiligne, oblique, s'approchant vers l'apex de la nervure médiane, puis courbée vers l'arrière, épaissie au milieu et dans la partie courbée.

Complexe phallique : zygoma court et moyennement étroit; apodèmes moyennement longs, légèrement incurvés; valves du cingulum grandes, robustes, à apex aigu. Valves basales du pénis fortement excurvées et un peu dilatées; valves apicales courtes, robustes, à apex obtus; flexure épaisse. Épiphalle à petites ancorae articulées; lophi grands, bilobés, les lobes de forme irrégulière.

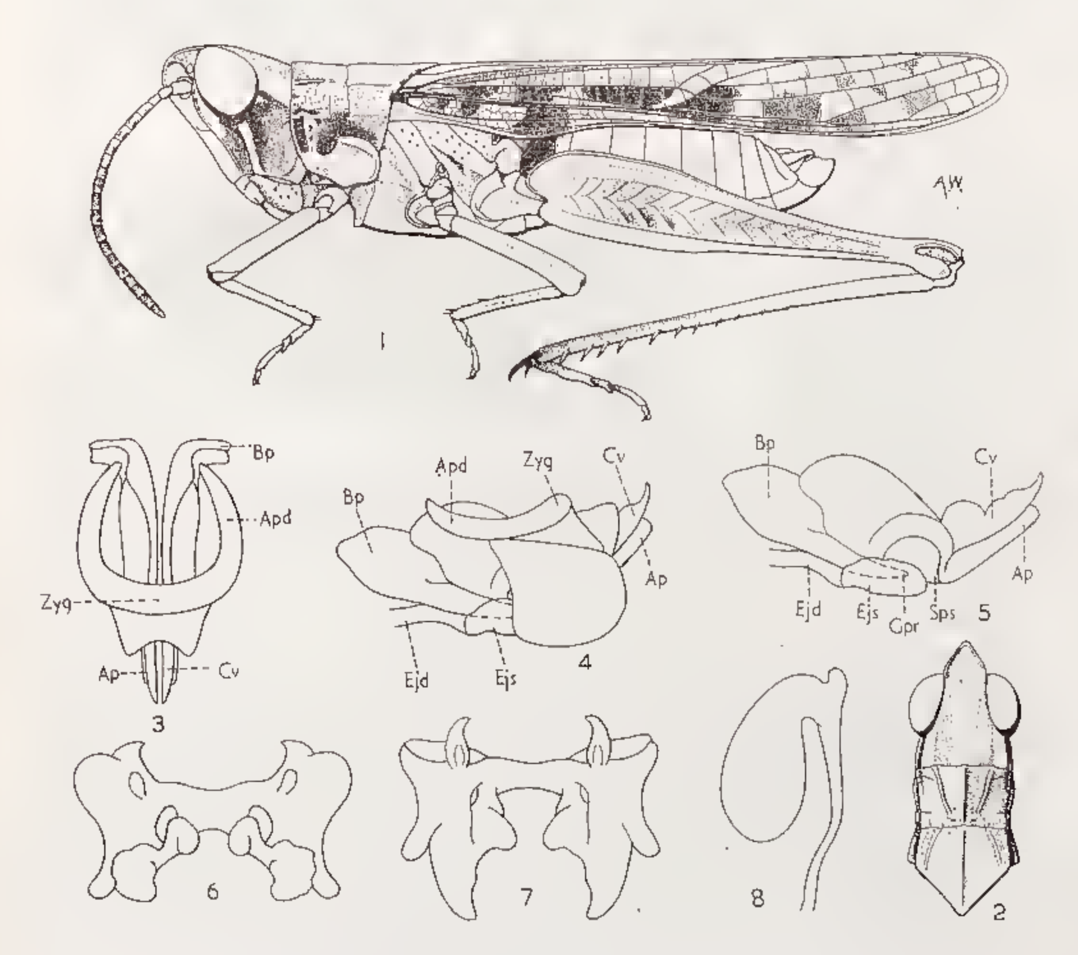


Fig. 126. — *Calephorus ornatus* (Walker, 1870). — 1, ♂. — 2, Tête et pronotum dorsalement — 3, Complexe phallique dorsalement, membrane ectophallique et épiphalle enlevés. — 4, *id.*, latéralement. — 5, *id.*, cingulum enlevé, sauf les valves. — 6, Épiphalle, lophi en position verticale. — 7, *id.*, lophi en position horizontale. — 8, Spermathèque.

Coloration générale verte ou brune; carènes latérales du pronotum blanchâtres; élytres à points bruns dans l'aire médiane et au-delà de celle-ci vers l'apex; épaississement de la nervure intercalaire blanchâtre; ailes rosâtres à la base et enfumées dans la partie externe, parfois incolores et à faible trace d'obscurcissement vers les bords; partie sclérifiée noirâtre; face supérieure des fémurs postérieurs à faible fascie brunâtre en position médiane; tibias postérieurs brunâtres.

♀. Comme le ♂ mais plus grande. Antennes de 19 à 20 articles. Fastigium du vertex plus large. Bord postérieur de la métazone du pronotum en angle moins aigu. Élytres relativement plus courts, dépassant cependant l'abdomen. Bord postérieur de la plaque sous-génitale presque droit. Spermathèque à petit diverticule apical et grand diverticule préapical.

Calephorus ornatus est très proche de *Calephorus compressicornis* (Latreille, 1804). Elle en diffère par les antennes moins élargies, les fovéoles temporales plus courtes, le bord postérieur de la métazone du pronotum plus aigu. Elle appartient peut-être à la même espèce dont elle ne serait qu'une race géographique.

Madagascar Sambirano : Nosy Be (*J. de Coudenhove*).

Madagascar Est : Perinet, forêt d'Analamazoatra (*E. Razafimandimby*). — Tamatave, Ambodihatafana, X-1958 (*E. Razafimandimby*). — Brickaville, station agricole. — Ifanadiana, Ranomafana (*R. Paulian*). — Fort-Dauphin, III-1960 (*Randriamasy*); Sakavondro, VI-1957 (*A. Robinson*); forêt d'Isaka, II-1958 (*P. Griveaud*). — Est de Vondrozo, X-1964 (*D. Wintrebert*).

Madagascar Centre : Tananarive (*Waterlot*); I-1962 (*D. Wintrebert*); parc de Tsimbazaza (*R. Paulian*). — Manjakandriana, Ankadimanga, XII-1957 (*J. Elie*).

Madagascar Ouest : Morondava (*G. Grandidier*). — Marovoay, V-1962 (*J. Brenière*).

Madagascar Sud : Tuléar, Manombo, V-1956 (*P. Griveaud*). — Betioky, lac Tsimanampetsotsa, Andranomby, IV-1948 (*R. Paulian*). — Antanimora (*R. Decary*). — Sud-Ouest et Sud-Sud-Ouest, 1962-64 (*D. Wintrebert*).

Sous-famille *TRUXALINAE*

Taille petite à grande. Tête de forme variable. Carènes médiane et latérales du pronotum généralement présentes. Pas de saillie prosternale, sauf rares exceptions. Élytres et ailes entièrement développés ou réduits; nervure radiale ou nervures radiale et cubitale généralement saillantes (spécialisation stridulatoire); généralement pas de nervure intercalaire dans l'aire médiane des élytres. Un organe tympanal. Lobe basal inférieur des fémurs postérieurs plus court que le lobe supérieur; un peigne stridulatoire, composé de dents articulées ou non, à la face interne des fémurs postérieurs. Valves basales et apicales du pénis réunies par une flexure. Épiphalle en forme de pont, les ancorae articulées au disque; lophi développés.

Genre type : *Truxalis* Fabricius, 1775.

Clé des genres malgaches

1 (4) Quart basal du flagelle antennaire aplati, légèrement mais nettement élargi chez le ♂, ensiforme chez la ♀; fovéoles temporales bien délimitées; pronotum à carènes latérales bien nettes et bord postérieur en angle obtus légèrement saillant; champ médian de l'élytre du ♂ normal. . . . 2

2 (3) Insectes brachyptères; élytres se chevauchant dorsalement chez les 2 sexes; lobes métasternaux largement contigus chez le ♂, subcontigus chez la ♀ (fig. 127). . . . . **Malagasippus** (p. 285)

3 (2) Insectes microptères; élytres brièvement subcontigus chez le ♂, latéraux chez la ♀; lobes métasternaux subcontigus chez le ♂, largement distants chez la ♀ (fig. 131) . . . . **Tanalanacris** (p. 297)

4 (1) Antennes des 2 sexes aplaties mais jamais élargies à la base; fovéoles temporales imparfaites; pronotum sans carènes latérales bien nettes, le bord postérieur non anguleux; champ médian de l'élytre du ♂ élargi; ♂ brachyptère, ♀ microptère (fig. 132) . . . . **Salariacris** (p. 299)

Genre **Malagasippus** Descamps et Wintrebert

Malagasippus Descamps et Wintrebert, 1966 *a* : 32; 1966 *b* : 232.

♂. Taille petite à moyenne. Longue pilosité blonde, clairsemée, sur la plus grande partie du corps, notamment sur les pattes et à la face inférieure. Capsule céphalique subconique. Face fortement déclive, rectiligne de profil sur les 2/3 inférieurs; une convexité plus ou moins marquée au niveau des antennes. Côte frontale largement sillonnée depuis le clypéus (ou un peu au-dessus) jusqu'à mi-distance entre la base des antennes et l'angle fastigio-facial, bordée de carinules bien nettes. Carènes latérales de la face régulièrement convexes. Fastigium horizontal ou légèrement proclive, de longueur subégale à la largeur de la base, subtriangulaire, déprimé, bordé de carinules fines et bien saillantes, ne se prologeant pas entre les yeux; un sillon basal arqué bien net; extrémité subaiguë ou légèrement obtuse. Angle fastigio-facial droit, arrondi. Fovéoles temporales verticales, absolument invisibles du dessus, quadrangulaires ou subquadrangulaires, environ 1 fois 1/2 aussi longues que larges. Espace interoculaire étroit, environ 1 fois 1/2 à 2 fois plus large que la côte frontale entre les antennes; vertex non carinulé ou parcouru par une très faible carinule. Yeux grands; distance infra-oculaire nettement plus petite que la largeur de l'œil. Antennes plus longues que la tête et le pronotum réunis, subensiformes, les articles du 1/4 basal toujours aplatis, nettement mais faiblement élargis; reste de l'antenne constitué d'articles de section elliptique, creusés de fortes cupules. Pronotum très légèrement comprimé au milieu, un peu élargi vers l'arrière; carène médiane bien saillante, carènes latérales plus ou moins fortes, toujours visibles sur toute la longueur, faiblement incurvées dans la prozone, subparallèles ou légèrement divergentes dans la métazone; 3 sillons transversaux, les carènes latérales coupées par le 2ᵉ et le 3ᵉ; sillon typique bien en arrière du milieu; bord postérieur du disque formant un angle très largement obtus à côtés droits; lobes latéraux un peu plus longs que hauts, finement rebordés, le bord inférieur sinué. Prosternum pourvu d'un mamelon transverse peu élevé. Plaque sternale rugueuse; espace mésosternal subcarré ou légèrement transverse; lobes métasternaux largement contigus. Brachyptère; élytres se chevauchant dorsalement, l'extrémité atteignant un point situé entre le 5ᵉ et le 8ᵉ tergite abdominal; champ costal dilaté, généralement pourvu de nervures transverses régulières; champ précostal à petite dilatation subbasale. Ailes plus courtes que les élytres, l'extrémité atteignant, en position de repos, un point situé entre la 1/2 et les 4/5 de l'élytre. Fémurs postérieurs moyennement épais; rapport longueur/largeur maximale variant entre 4 et 4,5; carène supérieure terminée par une petite épine; tibias un peu plus courts que les fémurs, les épines du bord interne plus longues que celles du bord opposé; éperons internes

de taille subégale et de forme identique. Griffes des tarses inégales, l'unité interne plus petite que l'unité externe à la 1re paire; disposition inverse à la 2e et à la 3e paire. Arolium grand, élargi à l'extrémité, atteignant au moins les 2/3 des griffes. Peigne stridulatoire constitué de dents très fines et très serrées. Tympan auditif grand, ovale, sa largeur maximale égalant environ les 2/3 de sa longueur; pas de lobe tympanal. Bord postérieur du dernier tergite abdominal concave, légèrement sinueux. Plaque sus-anale triangulaire, parcourue par 2 côtes longitudinales. Cerques comprimés latéralement, triangulaires de profil, l'extrémité étroitement arrondie. Plaque sous-génitale conique.

Teinte générale brun plus ou moins foncé, parfois jaunâtre. Plusieurs types de coloration. Fémurs postérieurs toujours dépourvus de taches noires transverses, la face interne toujours monochrome.

Épiphalle à ancorae fines, aiguës, articulées et lophi pourvus de plages finement échinulées. Apodèmes du cingulum subspiniformes, fortement écartés; zygoma épais; rami peu sclérifiés. Partie apicale du pénis toujours pourvue d'une dilatation ventro-subapicale.

♀. Côte frontale moins déprimée que chez le ♂, le 1/3 supérieur et le 1/3 inférieur subplans ou légèrement convexes. Carinule vertico-occipitale parfois bien marquée. Distance infra-oculaire un peu plus petite que la largeur de l'œil. Antennes plus courtes que la tête et le pronotum réunis, toujours nettement élargies à la base. Carènes latérales du pronotum généralement plus fortes que chez le ♂, subparallèles ou légèrement concaves dans la prozone. Lobes métasternaux subcontigus à l'arrière. Brachyptérisme un peu plus accentué que chez le ♂ mais élytres se chevauchant toujours dorsalement, fortement rétrécis vers l'arrière, l'extrémité étroite. Face interne des fémurs postérieurs à peigne stridulatoire beaucoup plus faible que chez le ♂ mais cependant décelable sur la moitié basale. Plaque sus-anale lisse; cerques courts et coniques. Bord postérieur de la plaque sous-génitale ondulé. Valves supérieures de l'oviscapte épaisses en vision latérale, l'extrémité bien recourbée; valves inférieures plus courtes, le bord externe pourvu d'un très large épaulement basal convexe.

Canal de la spermathèque très long, l'ampoule terminale plus ou moins allongée, pourvue d'un diverticule latéro-basal.

Espèce type : *Malagasippus notabilis* Descamps et Wintrebert, 1966.

Clé des espèces (♂, ♀)

1 (6) Brachyptérisme relativement peu accentué, rapport longueur de l'élytre/longueur du fémur postérieur (E/F) = 0,7-0,9 chez le ♂, 0,6-0,9 chez la ♀; élytres du ♂ atteignant ou presque l'extrémité de l'abdomen, dépassant toujours le milieu du fémur postérieur; champ costal de l'élytre du ♂ à nervation transverse régulière. 2

2 (5) Champ costal de l'élytre du ♂ plus large ou de largeur égale à celle du champ médian et du champ cubital réunis, pourvu d'au moins 10 nervules transverses; fastigium du ♂ pas plus long que large à la base. 3

3 (4) Ailes au repos n'atteignant pas l'extrémité des élytres, cette dernière largement arrondie; champ cubital de l'élytre du ♂ de largeur égale à



FIG. 127. — *Malagasippus notabilis* Descamps et Wintrebert, 1966. — 1, Élytre ♂. — 2, Fastigium ♂ dorsalement. — 3, Tête et pronotum ♂ latéralement. — 4, Antenne ♂. — 5, *id.*, ♀. — 6, Plaque sous-génitale ♀, face dorsale. — 7, Mésosternum ♂. — 8, Complexe phallique latéralement. — 9, Épiphalle — 10, Endophalle latéralement. — 11, Spermathèque.

celle du champ médian; espace mésosternal légèrement transverse; bords latéraux de la base du fastigium parallèles (fig. 127) . . . . 1. **M. notabilis**

4 (3) Ailes au repos atteignant l'extrémité des élytres, cette dernière étroitement arrondie; champ cubital de l'élytre du ♂ plus de 2 fois plus large, à l'extrémité, que le champ médian; espace mésosternal subcarré; bords latéraux de la base du fastigium convergents vers l'arrière. 2. **M. andranomitae**

5 (2) Champ costal de l'élytre du ♂ nettement plus étroit que le champ médian et le champ cubital réunis, pourvu de moins de 10 nervules transverses; fastigium du ♂ un peu plus long que large à la base (fig. 128). 3. **M. mikeus**

6 (1) Brachyptérisme plus accentué, rapport E/F plus petit ou égal à 0,6 chez le ♂ et 0,5 chez la ♀; champ costal de l'élytre du ♂ à nervation transverse imparfaite, irrégulière 7

7 (8) Espace mésosternal carré ou un peu plus long que large (fig. 129). . . . . 4. **M. quadratus**

a (*b*) Insectes plus trapus; brachyptérisme moins accentué; ailes au repos dépassant le milieu des élytres chez le ♂ et le bord postérieur du 2e tergite abdominal dans les 2 sexes. . . . . forme *quadratus*

b (*a*) Insectes moins trapus; brachyptérisme plus accentué; ailes au repos n'atteignant pas le milieu des élytres chez le ♂ et le bord postérieur du 2e tergite abdominal dans les 2 sexes. . . forme *reductus*

8 (7) Espace mésosternal toujours très nettement transverse. Ailes au repos n'atteignant pas le milieu des élytres (fig. 130) . . . . 5. **M. pullus**

1. Malagasippus notabilis Descamps et Wintrebert (loc. typ. : Ambatolahy; holotype ♂, allotype ♀, Muséum de Paris).

Malagasippus notabilis Descamps et Wintrebert, 1966 *a* : 33; 1966 *b* : 235.

Fig. 127. — Pronotum ♂ 3 à 3,1 mm, ♀ 4,4 mm; élytre ♂ 7,5 à 8,2 mm, ♀ 8,1 mm; fémur postérieur ♂ 9 à 9,4 mm, ♀ 12,9 mm.

♂. Profil de la face à convexité large, peu saillante mais bien nette, au niveau des antennes. Côte frontale n'atteignant pas tout à fait la suture clypéale, creusée, ainsi que la face, de grosses cupules irrégulièrement confluentes, marquées de brun sombre et donnant à l'ensemble un aspect rugueux. Fastigium nettement moins long que large à la base, l'extrémité formant un angle d'environ 90°; carinules latérales bien saillantes; sillon transverse fin et profond. Vertex et occiput rugueux; une faible carinule à la partie antérieure seulement. Fovéoles temporales fortement rétrécies vers l'avant, environ 2 fois moins larges à l'avant qu'à l'arrière, le fond grossièrement ponctué, les angles antérieurs arrondis. Antennes, repliées vers l'arrière, dépassant un peu le bord du tympan auditif, légèrement ensiformes; articles 3 à 8 aplatis, lisses. Joues lisses sauf à la partie inférieure. Carène médiane du pronotum épaisse, coupée par le sillon typique vers les 3/5; carènes latérales très fines, très légèrement incurvées dans la prozone, faiblement divergentes dans la métazone. Disque légèrement tectiforme, densément et grossièrement ponctué, en particulier dans la métazone. Lobes latéraux irrégulièrement ponctués; bord inférieur sinueux; angle antérieur obtus; angle postérieur droit. Espace mésosternal un tout petit peu plus large que long. Élytres atteignant la

base de la plaque sous-génitale; champ costal large, à nervules transverses très régulières (12-18 unités); champ médian et champ cubital de largeur subégale, à 1 seul rang de cellules; un léger étranglement subapical. Ailes, au repos, atteignant environ les 3/4 de l'élytre (5e tergite abdominal). Arolium égalant à peu près les 2/3 des griffes. Cerques triangulaires de profil, plus de 2 fois plus longs que larges à la base, l'extrémité étroitement arrondie.

Teinte générale brune, la face inférieure, les pattes et les joues plus claires que l'ensemble. Rugosités de la tête et du thorax marquées de brun noir. Fémurs postérieurs monochromes; face interne de même coloration que l'abdomen; face externe (aire supéro-externe en particulier) mouchetée de brunâtre. Tibias postérieurs brun clair, la face inférieure plus sombre, presque noire; moitié apicale des épines noire.

Deux autres types de coloration dans la série étudiée, comme chez d'autres genres de *Truxalinae* :

— 1 exemplaire avec large bande brun foncé partant du bord postérieur des yeux, recouvrant la moitié supérieure des lobes latéraux du pronotum et se prolongeant sur les pleures et le 1/4 antérieur des élytres; carène supéro-externe des fémurs postérieurs soulignée d'un trait noir.

— 1 exemplaire avec une étroite bande crème partant de l'extrémité du fastigium et se prolongeant jusqu'au milieu de l'abdomen.

♀. Côte frontale s'élargissant régulièrement du haut vers le bas; moitié inférieure convexe; portion médiane déprimée et bordée d'épaisses carinules. Rugosité du tégument plus fine que chez le ♂. Antennes, rabattues vers l'arrière, atteignant le bord postérieur des lobes latéraux du pronotum, plus nettement ensiformes que chez le ♂. Angle apical du fastigium obtus. Élytres atteignant à peu près le milieu des fémurs postérieurs; ailes au repos seulement un peu plus courtes que les élytres. Épaulement du bord externe des valves inférieures de l'oviscapte large et peu saillant (en vision ventrale).

Madagascar Centre : Massif de l'Isalo, Ambatolahy, 1 212 m, VIII et IX-1963 (*D. Wintrebert*).

2. Malagasippus andranomitae Descamps et Wintrebert (loc. typ. : Andranomita; holotype ♂, allotype ♀, Muséum Paris).

Malagasippus andranomitae Descamps et Wintrebert, 1967 : 103.

Pronotum ♂ 2,4 à 2,7 mm, ♀ 3,3 à 3,8 mm; élytre ♂ 7,1 à 8,5 mm, ♀ 9,9 à 11,2 mm; fémur postérieur ♂ 8 à 9,2 mm, ♀ 11 à 12,3 mm.

♂. Face faiblement ponctuée, rectiligne de profil. Fastigium moins long que large à la base, l'extrémité en angle obtus, les carinules latérales convergentes vers l'arrière, à la base; sillon transverse peu profond. Vertex et occiput rugueux, parcourus par une fine carinule médiane; à la partie antérieure, 2 faibles carinules latérales, irrégulières. Fovéoles temporales près de 2 fois plus larges à l'arrière qu'à l'avant. Antennes, rabattues vers l'arrière, atteignant le bord postérieur du tympan auditif, les articles de la base aplatis mais très nettement moins élargis que chez *M. notabilis*. Carène médiane du pronotum fine; métazone à peu près égale au 2/3 de la prozone; carènes latérales

très légèrement incurvées dans la prozone, subparallèles dans la métazone; ensemble du disque faiblement ponctué. Espace mésosternal subcarré, très légèrement élargi vers l'arrière. Élytres plus étroits que chez *M. notabilis*; champ costal traversé par 10 nervules (10-14 sur l'ensemble de la série étudiée), de largeur égale à la largeur des champs médian et cubital réunis; champ cubital près de 3 fois plus large que le champ médian. Ailes au repos atteignant l'extrémité des élytres. Arolium des tarses postérieurs un peu plus grand que les griffes.

Teinte générale brune, la face inférieure de l'abdomen et des fémurs postérieurs jaune. Deux bandes latérales brun plus foncé plus ou moins marquées selon les exemplaires mais toujours présentes, partant du bord postérieur de l'œil et atteignant le tympan auditif. Fémurs postérieurs brunâtres, la face inférieure plus foncée. Parfois une bande médio-dorsale jaune.

♀. Moitié inférieure de la côte frontale plane. Antennes, rabattues vers l'arrière, atteignant le bord postérieur des lobes latéraux du pronotum, pas beaucoup plus larges à la base que celles du ♂. Extrémité des élytres atteignant les 3/4 des fémurs postérieurs. Champ cubital un peu moins de 2 fois plus large à l'extrémité que le champ médian.

Madagascar Ouest : Antsoha, Beroroha, VII-1966 (*D. Wintrebert*). — Andranomita, IX-1966 (*D. Wintrebert*).

3. Malagasippus mikeus Descamps et Wintrebert (loc. typ. : Salary; holotype ♂, allotype ♀, Muséum Paris).

Malagasippus mikeus Descamps et Wintrebert, 1966 *a* : 33; 1966 *b* : 239.

Fig. 128. — Pronotum ♂ 2,3 à 2,5 mm, ♀ 3,2 à 3,6 mm; élytre ♂ 5,2 à 6,2 mm, ♀ 6,2 à 7,4 mm; fémur postérieur ♂ 7,2 à 8,1 mm, ♀ 10,3 à 11,1 mm.

♂. Taille moyenne pour le genre. Profil de la face à très forte convexité au niveau des antennes. Côte frontale atteignant la suture clypéale mais moins saillante à la partie inférieure, légèrement élargie entre les antennes, un peu pincée au-dessus de l'ocelle médian; carinules latérales épaisses entre les antennes puis s'amincissant fortement en avant de l'ocelle médian. Face presque lisse, quelques ponctuations à la partie inférieure seulement. Fastigium triangulaire un peu plus long que large à la base, l'extrémité formant un angle arrondi à l'apex; sillon transverse peu profond. Vertex et occiput très légèrement convexes de profil (parfois droits), absolument lisses (quelquefois une très faible carinule à la partie antérieure). Fovéoles temporales légèrement rétrécies vers l'avant, très finement ponctuées. Antennes, rabattues vers l'arrière, atteignant le bord postérieur du tympan auditif, le 1/4 basal aplati et très légèrement élargi (élargissement variable selon les exemplaires). Joues lisses. Carène médiane du pronotum coupée par le sillon typique vers les 3/5. Carènes latérales fines, un peu moins nettes entre les sillons 2 et 3, nettement incurvées dans la prozone. Disque très légèrement tectiforme, la partie médiane lisse, la métazone ainsi qu'une bande le long du bord antérieur finement ponctuées. Lobes latéraux chagrinés sur le pourtour, le bord antérieur droit, fortement oblique. Espace mésosternal un tout petit peu plus large que long. Élytres atteignant le 8e tergite abdominal; champ costal moins large que le champ médian et le champ cubital réunis, les nervules transverses régulières, peu nombreuses (7-8 unités); largeur du champ cubital, à l'extrémité, subégale à celle du champ médian

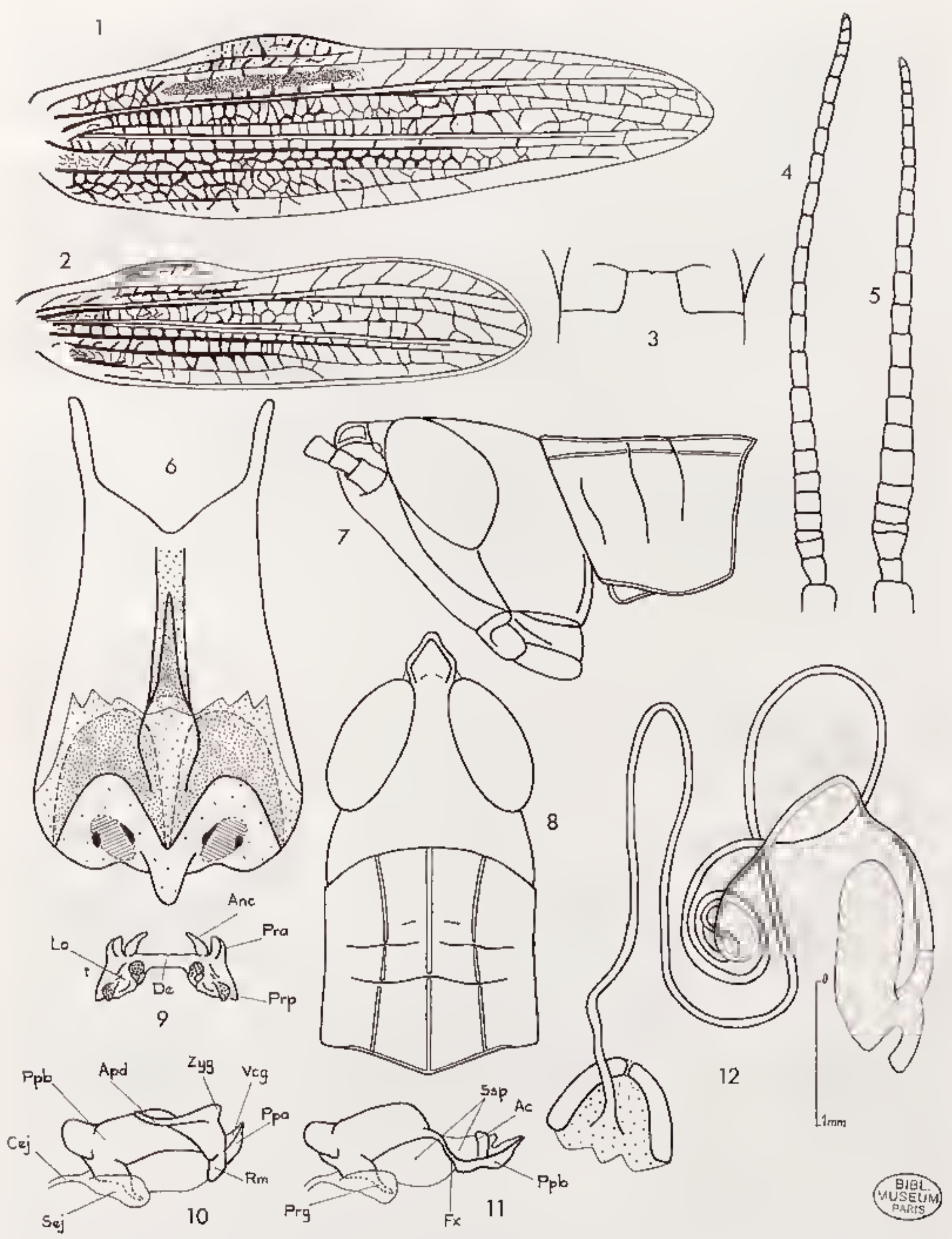


FIG. 128. — *Malagasippus mikeus* Descamps et Wintrebert, 1966. — 1, Élytre ♀. — 2, *id.*, ♂. — 3, Mésosternum ♂. — 4, Antenne ♂. — 5, *id.*, ♀. — 6, Plaque sous-génitale ♀, face dorsale. — 7 Tête et pronotum ♂ latéralement. — 8, *id.*, dorsalement. — 9, Épiphalle. — 10, Complexe phallique latéralement. — 11, Endophalle latéralement. — 12, Spermathèque.

à la partie médiane, ce dernier à 2 rangées de cellules peu nettes; pas d'étranglement subapical. Ailes, au repos, atteignant environ les 4/5 de l'élytre (bord postérieur du 4e tergite abdominal). Arolium des tarses postérieurs égalant à peu près les 2/3 de la griffe interne. Cerques dépassant un peu l'extrémité de la plaque sus-anale, l'apex subaigu.

Teinte générale plus claire que chez les autres espèces, jaunâtre pâle avec quelques rares points brun foncé sur la tête et le thorax; une ligne de ces points sur la carène supéro-externe des fémurs postérieurs; l'aire supéro-interne monochrome. Tibias postérieurs jaunâtres, la face inférieure brune ainsi que l'extrémité des faces latérales.

Chez certains exemplaires : large bande sombre partant du bord postérieur de l'œil, recouvrant la moitié supérieure des lobes latéraux du pronotum, puis se prolongeant sur les pleures et dans les champs précostal et costal de l'élytre; la carène supéro-externe des fémurs postérieurs soulignée de brun sombre.

♀. Côte frontale légèrement dilatée entre les antennes, s'élargissant ensuite progressivement vers le bas, déprimée sur les 2/3 médians. Antennes, rabattues vers l'arrière, atteignant le bord postérieur des lobes latéraux du pronotum, nettement ensiformes. Angle apical du fastigium droit. Carènes latérales du pronotum très légèrement incurvées dans la prozone (parfois subparallèles). Élytres étroits, dépassant un peu le milieu des fémurs postérieurs (variation de la longueur plus forte que chez les autres espèces). Ailes, au repos, atteignant environ les 5/6 des élytres. Épaulement des valves inférieures de l'oviscapte occupant environ la moitié du bord externe.

Madagascar Sud : Salary, sur *Panicum voeltzkowi*, V-1963 (*D. Wintrebert*).

4. **Malagasippus quadratus** Descamps et Wintrebert (loc. typ. : Col des Tapias septentrional; holotype ♂, allotype ♀, Muséum Paris).

Malagasippus quadratus Descamps et Wintrebert, 1966 *a* : 33; 1966 *b* : 241.

Fig. 129. — Pronotum ♂ 2,5 mm, ♀ 3,4 à 3,8 mm; élytre ♂ 5 mm, ♀ 5,9 à 6,1 mm; fémur postérieur ♂ 7,8 mm, ♀ 10,8 à 12,5 mm.

♂. Taille moyenne pour le genre. Profil de la face peu convexe entre les antennes. Côte frontale atteignant la suture clypéale, un peu élargie entre les antennes, légèrement pincée au-dessus de l'ocelle médian. Face ponctuée, rugueuse. Distance infra-oculaire nettement plus petite que chez les autres espèces, à peu près égale au 1/3 du diamètre transversal de l'œil. Fastigium moins long que large à la base, l'angle apical droit, arrondi, le sillon transverse fortement marqué. Une carinule vertico-occipitale faible mais bien nette, bordée antérieurement de 2 carinules latérales; des rides transverses irrégulières et peu saillantes donnant à l'ensemble un aspect rugueux. Fovéoles temporales subrectangulaires, relativement peu rétrécies vers l'avant, peu profondes, rugueuses. Antennes, rabattues vers l'arrière, dépassant le bord postérieur du tympan auditif, les articles 3 à 7 nettement aplatis et légèrement élargis. Joues lisses. Carènes latérales du pronotum relativement épaisses, légèrement incurvées dans la prozone, très légèrement divergentes dans la métazone. Disque grossièrement ponctué dans la métazone et le long du bord antérieur. Lobes latéraux rugueux en arrière du 3e sillon. Métasternum et lobes du mésosternum presque lisses. Espace mésosternal un tout petit peu plus

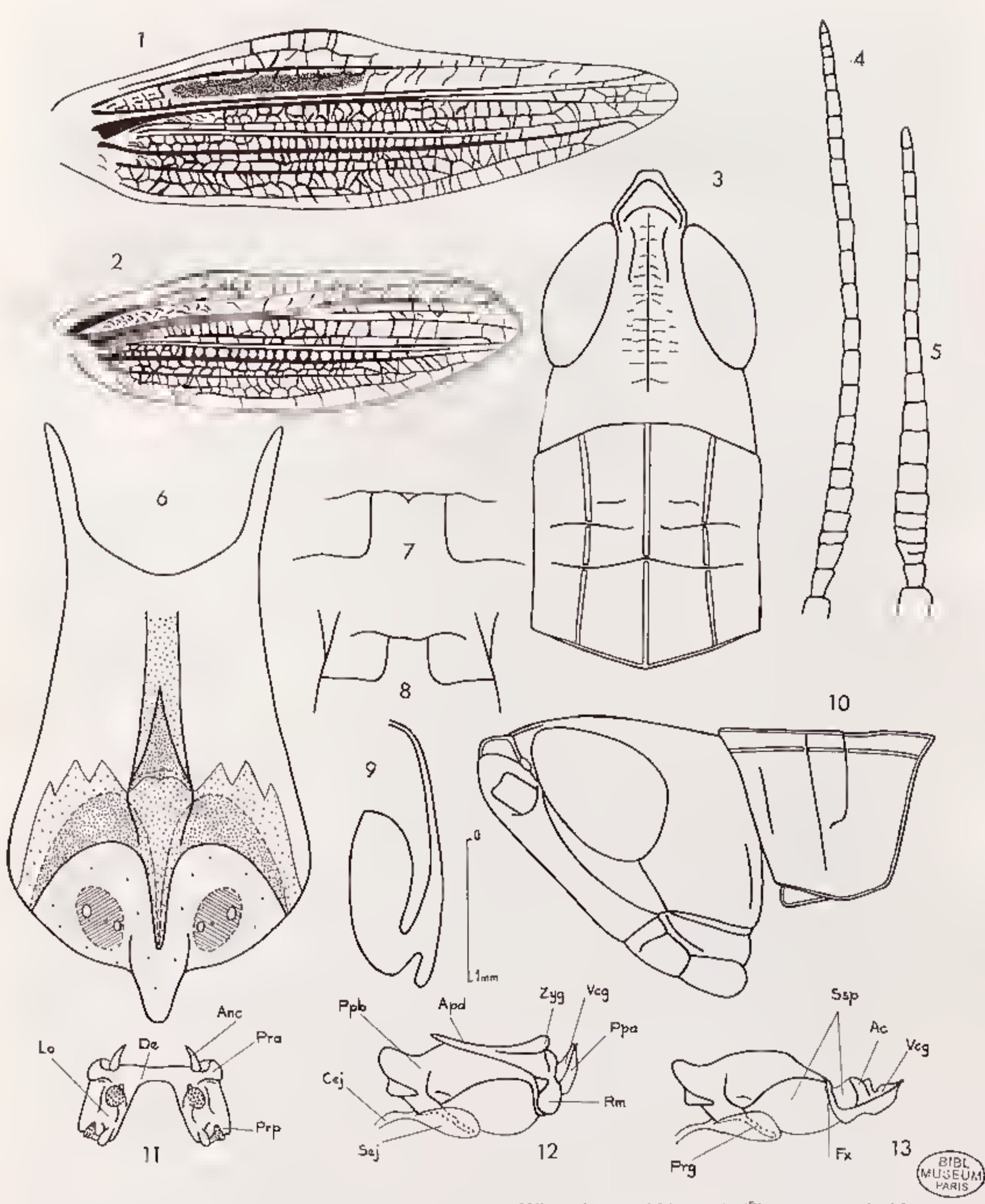


Fig. 129. — *Malagasippus quadratus* Descamps et Wintrebert, 1966. — 1, Élytre ♀. — 2, *id.*, ♂. — 3, Tête et pronotum ♂ dorsalement. — 4, Antenne ♂. — 5, *id.*, ♀. — 6, Plaque sous-génitale ♀, face dorsale. — 7, Mésosternum ♀. — 8, *id.*, ♂. — 9, Ampoule terminale de la spermathèque. — 10, Tête et pronotum ♂ latéralement. — 11 Épiphalle. — 12, Complexe phallique latéralement. — 13, Endophalle latéralement.

long que large. Lobes métasternaux contigus sur environ les 2/3 de leur longueur. Brachyptérisme très accentué; élytres atteignant à peu près le milieu des fémurs postérieurs (5e tergite abdominal); champ précostal de largeur à peu près égale à celle du champ costal, ce dernier à nervation transverse peu régulière: champ médian plus large que le champ cubital; nervure sous-costale très épaisse. Ailes au repos atteignant à peu près les 3/4 de l'élytre (bord postérieur du 3e tergite abdominal). Arolium égal ou un peu plus grand que la griffe la plus courte. Cerques atteignant l'extrémité de la plaque sus-anale.

Teinte générale brun assez foncé avec ponctuation et traînées plus sombres sur la tête et le thorax. Abdomen et face interne des fémurs postérieurs plus clairs. Aire médiane externe des fémurs postérieurs à moitié supérieure plus foncée que la moitié inférieure. Tibias postérieurs brunâtres, la face inférieure noire.

♀. Côte frontale non marquée jusqu'à la suture clypéale, déprimée avec bords épais et saillants au-dessus de l'ocelle médian, pratiquement plane au-dessous. Antennes courtes et épaisses, très nettement ensiformes, atteignant, rabattues vers l'arrière, le sillon postérieur des lobes latéraux du pronotum. Angle apical du fastigium nettement obtus. Carènes latérales du pronotum très légèrement incurvées, presque subparallèles. Espace mésosternal carré. Élytres n'atteignant pas tout à fait le milieu des fémurs postérieurs. Ailes, au repos, atteignant à peu près les 5/6 des élytres. Épaulement du bord externe des valves inférieures de l'oviscapte formant un très large arc de cercle.

Coloration comme chez le ♂. Parfois bande dorsale pâle bordée de 2 bandes noires s'étendant de l'extrémité du fastigium au bord postérieur du pronotum; carènes latérales du pronotum jaunes; joues traversées de bandes brunes horizontales plus ou moins nettes.

Madagascar Centre : Arivonimamo, 1889 (*R.P. de Villèle*). — Col des Tapias septentrional, VI-1963 et VIII-1966 (*D. Wintrebert*).

M. q. forme **réductus** nov. (loc. typ. : N.O.Ivato; type ♂, Muséum Paris).

Pronotum ♂ 2 à 2,2 mm, ♀ 2,7 à 3,2 mm; élytre ♂ 4 à 4,4 mm, ♀ 4,3 à 5,2 mm; fémur postérieur 7,1 à 8, mm ♀ 9,4 à 11,3 mm.

Diffère de la forme type par la réduction des ailes qui, comme chez *M. pullus*. n'atteignent pas le milieu des élytres et ne dépassent jamais le bord postérieur du 2e tergite abdominal. Les élytres sont un peu plus courts que chez la forme type mais leur réduction est très nettement moins grande que celle des ailes. La convexité du bord antérieur des élytres de la ♀ se trouve au milieu du bord antérieur.

Madagascar Centre : N. O. d'Ivato, route de Morondava, VIII-1966 (*D. Wintrebert*). — 7 km O. d'Ambatofinandrahana, VIII-1966 (*D. Wintrebert*).

5. **Malagasippus pullus** Descamps et Wintrebert (loc. typ. : Ranohira; holotype ♂, allotype ♀, Muséum Paris).

Malagasippus pullus Descamps et Wintrebert, 1966 *a* : 33; 1966 *b* : 244.

Fig. 130. — Pronotum ♂ 2,1 à 2,2 mm, ♀ 2,7 à 3,1 mm; élytre ♂ 4,1 à 4,5 mm, ♀ 4,4 à 5,1 mm; fémur postérieur ♂ 7,1 à 7,3 mm, ♀ 9,6 à 10,5 mm.

♂. Très proche de *M. quadratus* par l'allure générale mais en différant par de nombreux caractères. Profil de la face à légère convexité au niveau des antennes. Côte frontale

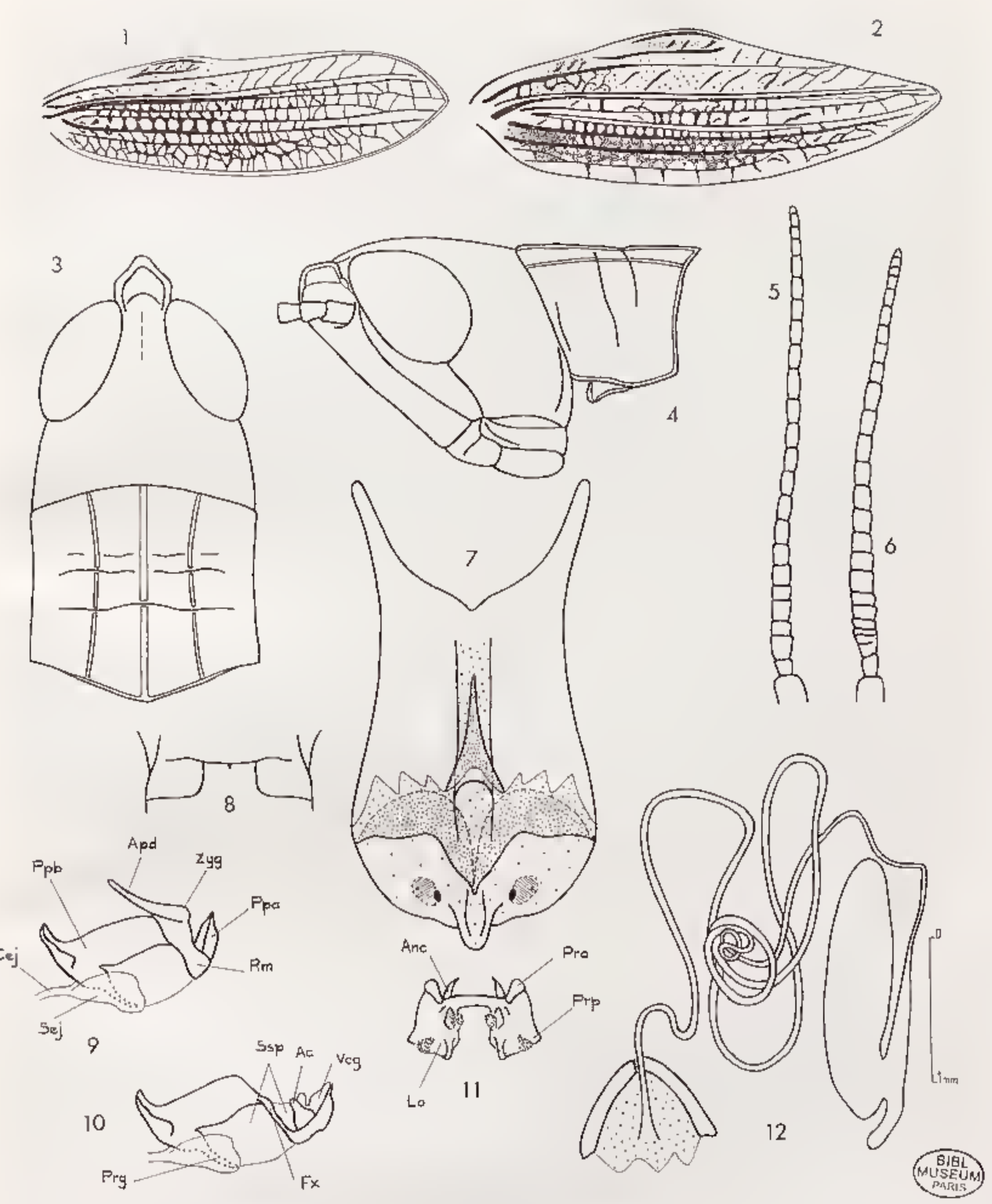


FIG. 130. — *Malagasippus pullus* Descamps et Wintrebert, 1966. — 1. Élytre ♂. — 2, *id.*, ♀. — 3, Tête et pronotum ♂ dorsalement .— 4, *id.*, latéralement. — 5, Antenne ♂. — 6. *id.*, ♀. — 7, Plaque sous-génitale ♀, face dorsale. — 8, Mésosternum ♂. — 9, Complexe phallique latéralement. — 10, Endophalle latéralement. — 11, Épiphalle. — 12, Spermathèque.

évanescente vers le bas, légèrement rugueuse, ainsi que la face, mais sans ponctuation bien nette, sauf vers la partie inférieure. Fastigium un peu moins long que large à la base, l'extrémité subaiguë. Vertex légèrement rugueux, à faible carinule à la partie antérieure. Fovéoles temporales nettement quadrangulaires, l'angle supéro-antérieur arrondi. Antennes, rabattues vers l'arrière, atteignant le bord antérieur du tympan auditif, légèrement ensiformes. Joues lisses. Carènes latérales du pronotum un peu moins épaisses que l'unité médiane, nettement moins saillantes, légèrement incurvées dans la prozone, très légèrement divergentes dans la métazone. Disque finement ponctué dans la métazone et le long du bord antérieur. Lobes latéraux très légèrement rugueux, l'angle antérieur fortement obtus, l'angle opposé droit et arrondi. Espace mésosternal nettement transverse. Brachyptérisme très accentué; élytres atteignant à peu près le milieu des fémurs postérieurs (bord postérieur du 5e tergite abdominal); champ costal de largeur subégale à celle des champs médian et cubital réunis, traversé par quelques nervules transverses peu épaisses; champ médian et cubital de largeur subégale, à 1 seul rang de cellules. Ailes vestigiales n'atteignant pas le bord postérieur du 2e tergite. Arolium des tarses postérieurs égal à la griffe externe.

Teinte générale brun jaunâtre, plus foncé sur les parties latérales de la tête et du thorax; abdomen jaunâtre. Aire supéro-externe des fémurs postérieurs mouchetée de brun noir; quelques petites taches brunes sur les carènes limitant l'aire médiane externe; face interne comme l'abdomen. Tibias postérieurs brunâtres, la face inférieure plus sombre.

♀. Côte frontale légèrement déprimée au milieu et bordée, à ce niveau, de carènes plus épaisses que chez le ♂. Angle de l'extrémité du fastigium d'environ 90°. Antennes, rabattues vers l'arrière, atteignant le bord postérieur des lobes latéraux du pronotum, nettement ensiformes. Élytres rétrécis à l'extrémité, atteignant le 1/3 des fémurs postérieurs (bord postérieur du 3e tergite abdominal); convexité du champ précostal située à peu près au milieu du bord antérieur. Ailes n'atteignant pas tout à fait le milieu du 2e tergite abdominal. Épaulement des valves inférieures de l'oviscapte occupant à peu près la moitié du bord externe.

Plusieurs types de coloration :

1 — de même couleur que les ♂;

2 — bande dorsale jaune s'arrêtant au sillon typique, se poursuivant jusqu'à l'apex des élytres;

3 — bande jaunâtre sur le vertex et l'occiput; carènes latérales du pronotum jaunes ainsi qu'une bande partant des carènes latérales de la face et longeant le bord inférieur des lobes latéraux du pronotum; 1 bande brun foncé en position médiane sur l'élytre (aspect bariolé);

4 — brun foncé avec un fin trait jaune sur les carènes latérales du pronotum et dans le champ costal de l'élytre; moitié inférieure des lobes latéraux du pronotum jaune.

Madagascar Centre : Massif de l'Isalo, Ranohira Ouest, VI et IX-1963, X-1964 (*D. Wintrebert*). — 20 km O. de Ranohira (*D. Wintrebert*). — N.O. d'Ilakaka, VII-1966 (*D. Wintrebert*). — Nord d'Ilemby, VII-1966 (*D. Wintrebert*).

Genre **Tanalanacris** Descamps et Wintrebert

Tanalanacris Descamps et Wintrebert, 1966 *a* : 33; 1966 *b* : 247.

♂. Proche de *Malagasippus*. Taille très petite. Pilosité blonde clairsemée. Capsule céphalique subconique. Face fortement déclive. Côte frontale fortement sillonnée, limitée par de fines carinules bien saillantes, rétrécie au niveau de l'angle fastigio-facial; ce dernier droit, arrondi. Fastigium horizontal, triangulaire, à sillon transverse peu marqué. Fovéoles temporales quadrangulaires, légèrement rétrécies vers l'avant, absolument invisibles du dessus. Espace interoculaire étroit, un peu plus large que la côte frontale entre les antennes; vertex parcouru par une très faible carinule. Distance infra-oculaire très nettement plus petite que la largeur de l'œil. Antennes subensiformes, la partie basale aplatie et légèrement élargie. Pronotum un peu comprimé au milieu, nettement élargi à l'arrière. Carène médiane coupée par le sillon typique nettement en arrière du milieu. Carènes latérales complètes, incurvées, coupées par les sillons 2 et 3. Bord postérieur du disque formant un angle très largement obtus, à côtés rectilignes, très peu saillant vers l'arrière. Lobes latéraux un peu plus longs que hauts. Prosternum pourvu d'un très fort mamelon transverse de section triangulaire. Espace mésosternal très fortement transverse. Lobes métasternaux subcontigus à l'arrière. Microptère; élytres n'atteignant pas le milieu des fémurs postérieurs, brièvement contigus sur la ligne médiane, le champ costal sans nervules transverses. Ailes vestigiales, n'atteignant pas le bord postérieur du 1er tergite abdominal. Fémurs postérieurs relativement épais : rapport longueur/ largeur maximale variant entre 3,5 et 4,0; carène supérieure terminée par une petite épine; tibias un peu plus courts que les fémurs, les épines du bord interne subégales à celles du bord opposé. Griffe interne plus petite que l'externe à la 1re paire de tarses; disposition inverse à la 2e et à la 3e paire. Arolium atteignant environ les 2/3 de la griffe la plus longue. Peigne stridulatoire bien net. Tympan auditif grand, ovale. Bord postérieur du dernier tergite abdominal concave. Plaque sus-anale parcourue par 2 côtes longitudinales. Cerques triangulaires de profil, l'extrémité étroitement arrondie.

Teinte générale brune à jaunâtre. Plusieurs types de coloration. Taches noires transverses parfois faiblement marquées à la face supérieure des fémurs postérieurs.

Complexe phallique comme chez *Malagasippus*, les ancorae moins aiguës.

♀. Côte frontale nettement moins déprimée et à bords moins saillants que chez le ♂. Antennes courtes, nettement ensiformes. Distance infra-oculaire un peu plus petite que la largeur de l'œil. Élytres latéraux, subelliptiques. Ailes comme chez le ♂. Peigne stridulatoire vestigial mais cependant décelable à la base de la face interne des fémurs postérieurs. Bord postérieur de la plaque sous-génitale fortement sinué. Valves inférieures de l'oviscapte plus courtes que les supérieures, le bord externe pourvu d'un épaulement basal. Spermathèque du même type que chez *Malagasippus*.

Espèce type : *Tanalanacris dechappei* Descamps et Wintrebert, 1966.

1. **Tanalanacris dechappei** Descamps et Wintrebert (loc. typ. : Beheloka; holotype ♂, allotype ♀, Muséum Paris).

Tanalanacris dechappei Descamps et Wintrebert, 1966 *a* : 33; 1966 *b* : 249.

Fig. 131. — Pronotum ♂ 1,6 à 2 mm, ♀ 2,3 à 2,6 mm; élytre ♂ 2,5 à 2,9 mm, ♀ 2,4 à 3 mm; fémur postérieur ♂ 5,4 à 6,5 mm, ♀ 7,7 à 8,3 mm.

♂. Côte frontale à bords subparallèles au-dessus de l'ocelle médian, divergents au-dessous, légèrement sinués au milieu. Face très finement ponctuée et marquée de quelques ponctuations plus fortes à la partie inférieure. Fastigium fortement concave, un peu plus long que large à la base, l'extrémité en angle aigu arrondi à l'apex, les

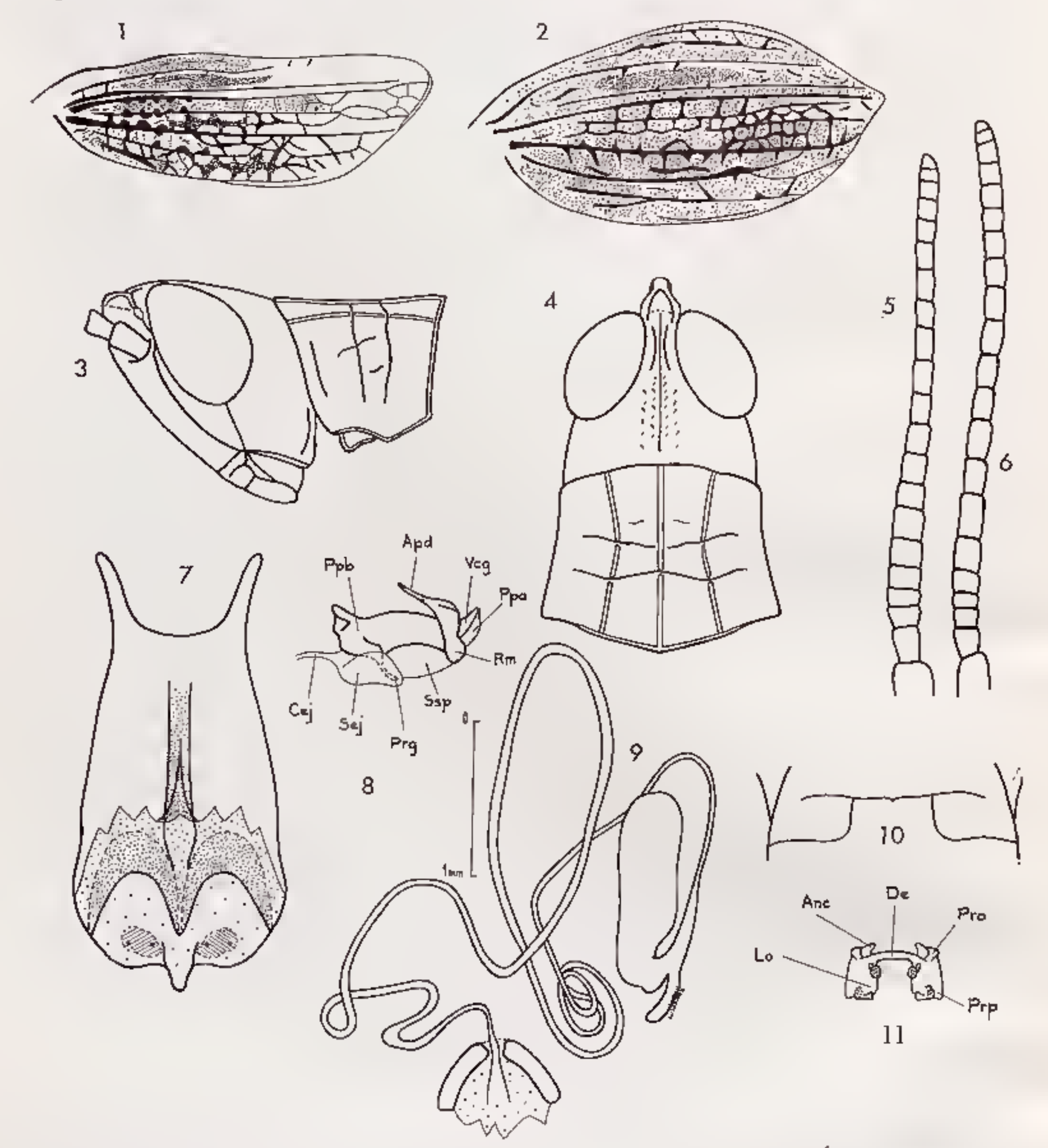


Fig. 131. — *Tanalanacris dechappei* Descamps et Wintrebert, 1966. — 1, Élytre ♂. — 2, *id.*, ♀. — 3, Tête et pronotum latéralement. — 4, *id.*, dorsalement. — 5, Antenne ♀. — 6, *id.*, ♂. — 7, Plaque sous-génitale ♀, face dorsale. — 8, Complexe phallique latéralement. — 9, Spermathèque. — 10, Mésosternum ♂. — 11, Épiphalle.

angles latéraux très fortement obtus. Fovéoles temporales très peu profondes, ponctuées, ouvertes vers le bas (ou limitées par une carinule très faible ou incomplète). Vertex très légèrement rugueux de part et d'autre de la carinule médiane; 2 petites carinules latérales entre les yeux. Joues grossièrement rugueuses à la partie inférieure. Antennes, rabattues vers l'arrière, atteignant le bord antérieur du tympan auditif. Carènes latérales du pronotum régulièrement incurvées du bord antérieur au bord postérieur, plus saillantes aux extrémités. Disque très finement ponctué dans la prozone, plus grossièrement dans la métazone. Lobes latéraux ponctués comme le disque, le bord inférieur fortement concave à l'avant, rectiligne à l'arrière. Espace mésosternal à peu près 2 fois aussi large que long. Mésosternum rugueux à la partie antérieure. Élytres atteignant le 4e tergite abdominal. Ailes atteignant les 2/3 du 1er tergite. Épines médianes du bord interne des tibias postérieurs plus longues que les unités extrêmes; épines du bord externe de taille croissante de la base à l'apex.

Teinte générale brunâtre, quelques petites taches et traînées plus foncées, notamment sur la tête et le pronotum. Une bande jaunâtre partant des carènes latérales de la face et longeant le bord inférieur du pronotum. Abdomen jaunâtre. Face interne des fémurs postérieurs de même couleur que l'abdomen; face externe un peu plus foncée; face supérieure mouchetée de brun sombre, une bande transverse en position médiane. Tibias postérieurs brunâtres, la face inférieure plus foncée.

Deux autres types de coloration :

1 — croix blanche incomplète sur le disque du pronotum;

2 — bande dorsale pâle, bordée de brun, sur la tête et le pronotum.

♀. Extrémité du fastigium formant un angle subaigu en vision dorsale. Antennes, rabattues vers l'arrière, atteignant le 2e sillon des lobes latéraux du pronotum. Vertex moins rugueux que chez le ♂. Élytres atteignant le bord postérieur du 2e tergite abdominal; ailes atteignant le milieu du 1er tergite. Valves inférieures de l'oviscapte à dent apicale courte et peu recourbée.

MADAGASCAR SUD : Beheloka, III-1962 (*D. Wintrebert*); IV, VI, VIII et XI-1963 (*D. Wintrebert*); IX-1964 (*D. Wintrebert*). — Cap Sainte-Marie, III-1964 (*D. Wintrebert*). — Ankilimivony, XI-1963 (*D. Wintrebert*). — Tsiarindrano, V-1963 (*D. Wintrebert*). — Saodono, V-1963 (*D. Wintrebert*). — Kilibory, VIII-1963 (*D. Wintrebert*). — Evanga, VIII-1963 (*D. Wintrebert*).

Genre **Salariacris** Descamps et Wintrebert

Salariacris Descamps et Wintrebert, 1966 *a* : 33; 1966 *b* : 252.

♂. Taille petite; pilosité clairsemée; tégument finement rugueux. Face moyennement déclive, rectiligne de profil. Côte frontale étroite, rétrécie à la partie supérieure, sillonnée ou déprimée sur presque toute la longueur, grossièrement ponctuée ainsi que la face. Fastigium horizontal, triangulaire, déprimé, pourvu d'une carinule médiane; carinules latérales se prolongeant entre les yeux. Espace interoculaire étroit. Vertex et occiput rugueux, parcourus par une faible carinule. Angle fastigio-facial droit. Yeux grands, distance infra-oculaire plus petite que la largeur de l'œil. Fovéoles temporales imparfaites, représentées par une aire non nettement délimitée, légèrement déprimée,

ponctuée, invisible du dessus. Antennes filiformes, les articles basaux aplatis mais non élargis. Pronotum nettement élargi vers l'arrière. Disque traversé par 3 sillons transversaux. Carène médiane coupée par le sillon typique bien en arrière du milieu. Carènes latérales indiquées seulement par une faible callosité longitudinale un peu plus marquée près du bord antérieur et dans la métazone. Bord postérieur du disque presque rectiligne, légèrement incisé au milieu. Prosternum pourvu d'un fort mamelon transverse. Espace mésosternal nettement transverse; lobes métasternaux brièvement contigus à

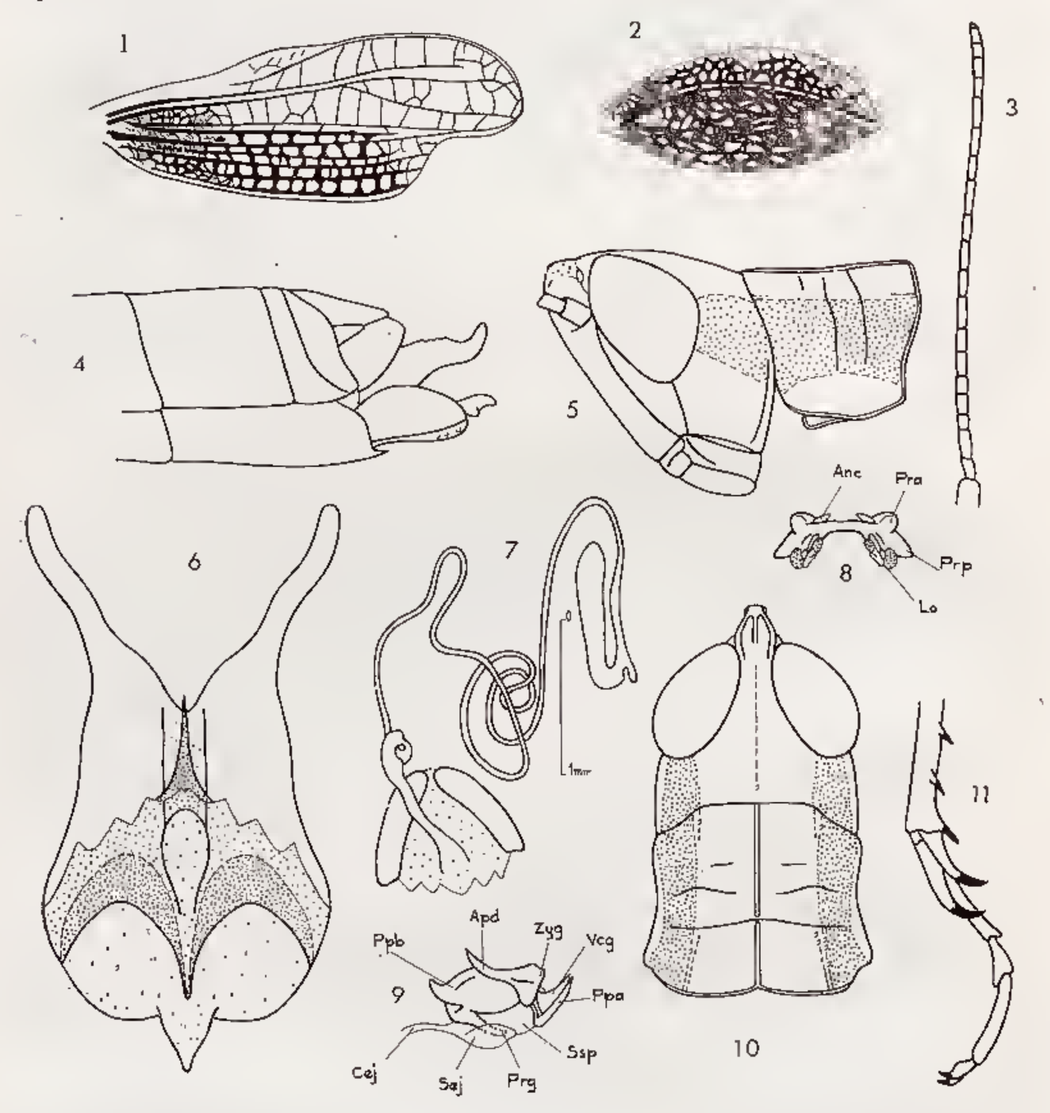


Fig. 132. — *Salariacris panici* Descamps et Wintrebert, 1966. — 1, Élytre ♂. — 2, *id.*, ♀. — 3, Antenne ♂. — 4, Extrémité abdominale ♀ latéralement. — 5, Tête et pronotum latéralement. — 6, Plaque sous-génitale ♀, face dorsale. — 7, Spermathèque. — 8, Épiphalle. — 9, Complexe phallique latéralement. — 10, Tête et pronotum dorsalement. — 11, Extrémité d'une patte postérieure.

l'arrière. Brachyptère. Élytres se chevauchant légèrement sur la ligne médiane; partie postéro-apicale à découpure concave très caractéristique; champs costal et médian élargis. Ailes vestigiales ne dépassant pas le 1er tergite abdominal. Fémurs postérieurs moyennement épais; tibias subégaux aux fémurs, les épines du bord interne de longueur subégale à celles du bord externe; éperons internes grands. Griffes des tarses égales. Arolium atteignant les 2/3 de la longueur des griffes. Peigne stridulatoire très net, constitué de dents relativement longues. Abdomen fortement caréné. 1er tergite abdominal fortement dilaté latéralement au-dessus du tympan auditif. Plaque sous-génitale courte, l'extrémité largement arrondie.

Apparemment un seul type de coloration : bandes noires latérales; fémurs postérieurs marqués de noir.

Complexe phallique différant de celui des genres précédents par des rami courts et l'absence de dilatation ventro-subapicale à la partie apicale des valves du pénis.

♀. Côte frontale subplane, s'effaçant vers le bas. Callosités latérales du pronotum moins fortes que chez le ♂. Lobes métasternaux étroitement distants à l'arrière. Microptère. Élytres elliptiques, opaques, pliés longitudinalement à angle droit le long des nervures radiale et médiane fortement épaissies; ailes vestigiales. 1er tergite abdominal légèrement dilaté latéralement au-dessus du tympan. Bord postérieur de la plaque sous-génitale droit de part et d'autre d'une saillie médiane triangulaire. Valves supérieures de l'oviscapte à saillies en forme de dents émoussées sur les bords de la face dorsale. Valves inférieures courtes à épaulement basal sur le bord externe et le bord interne.

Spermathèque à ampoule terminale du même type que chez les genres précédents; un renflement contourné avant l'ouverture entre les sclérites basivalvulaires.

Espèce type : *Salariacris panici* Descamps et Wintrebert, 1966.

1. **Salariacris panici** Descamps et Wintrebert (loc. typ. : Salary; holotype ♂, allotype ♀, Muséum Paris).

Salariacris panici Descamps et Wintrebert, 1966 *a* : 33; 1966 *b* : 253.

Fig. 132. — Pronotum ♂ 1,7 à 2 mm, ♀ 2,8 à 3 mm; élytre ♂ 3,9 à 4,2 mm, ♀ 2,6 à 2,7 mm; fémur postérieur ♂ 6,3 à 7 mm, ♀ 9,7 à 10,3 mm.

♂. Profil de la face légèrement convexe au niveau des antennes. Côte frontale légèrement rétrécie au-dessus de l'ocelle médian, devenant subplane vers le bas. Distance infra-oculaire subégale à la moitié de la largeur de l'œil. Fastigium à peu près aussi long que large à la base, légèrement déprimé, les carinules latérales peu saillantes sauf à la base, la carinule médiane bien marquée, l'extrémité en angle aigu arrondi à l'apex. Espace interoculaire un peu plus large que la côte frontale entre les antennes. Vertex uniformément rugueux, la carinule très faible. Antennes, rabattues vers l'arrière, atteignant le milieu du tympan auditif. Carène médiane du pronotum coupée par le sillon typique vers les 3/8 postérieurs. Disque légèrement convexe, entièrement ponctué, plus finement et plus densément dans la métazone. Callosités latérales dessinant 2 lignes légèrement incurvées. Lobes latéraux rugueux en arrière du 3e sillon; un bombement longitudinal, lui-même ponctué, à la partie inférieure; angle postérieur droit. Élytres

atteignant le 7e tergite, le 1/4 antéro-apical transparent, le reste opaque; champ costal traversé par 8-9 nervules transverses. Ailes atteignant le milieu du tympan auditif. Fémurs antérieurs un peu épaissis, dépourvus de carènes. Rapport longueur/largeur maximale des fémurs postérieurs voisin de 4. Cerques atteignant l'extrémité de la plaque sus-anale, moins de 2 fois aussi longs que larges à la base, l'extrémité aiguë.

Teinte générale brun clair. Une bande latérale brun foncé partant du bord postérieur des yeux, recouvrant les 2/3 supérieurs des lobes latéraux du pronotum et se prolongeant sur les pleures et la partie antérieure des élytres. Fémurs postérieurs avec 3 bandes brunes incomplètes à la face supérieure, se prolongeant sur l'aire médiane interne (de façon plus ou moins nette) selon la disposition suivante : 1 bande incomplète au niveau du 1/3 basal; 1 large bande complète aux 2/3 de la longueur, séparée d'une bande terminale par un anneau clair; face externe tachée de brun; lobes géniculaires et articulation tibio-fémorale bruns. Tibias postérieurs brunâtres, la face inférieure plus sombre, les épines presque complètement noires.

♀. Côte frontale très légèrement déprimée au-dessus de l'ocelle médian. Extrémité du fastigium, vue du dessus, en angle droit. Antennes, rabattues vers l'arrière, atteignant le bord postérieur des lobes latéraux du pronotum. Callosités latérales du pronotum très fines, à peine décelables, formant 2 lignes divergentes d'avant en arrière. Élytres dépassant légèrement le bord postérieur du 1er tergite abdominal. Ailes atteignant le 1/3 du 1er tergite. Bord externe des valves supérieures de l'oviscapte pourvu de 3-4 mamelons odontiformes; bord interne saillant, la partie basale fragmentée et formant plusieurs mamelons moins forts que ceux du bord opposé; face dorsale pourvue d'un alignement irrégulier de 3-5 saillies tubéreuses. Épaulement basal du bord externe des valves inférieures infléchi ventralement, peu saillant vers l'arrière; base des valves inférieures rugueuse.

Seule la tache noire basale des fémurs postérieurs faiblement indiquée; moitié supérieure de l'aire médiane externe brune; lobes géniculaires supérieurs bruns; articulation tibio-fémorale mouchetée de brun.

Madagascar Sud : Salary, sur *Panicum voeltzkowi*, V-1963 (*D. Wintrebert*). — Lac Ihotry, V-1963 (*D. Wintrebert*). — Befandefa, sur *Mimosa* sp. (*D. Wintrebert*).

Liste des abréviations utilisées dans les figures

Ac. — arche du cingulum
Adl. — appendices dorso-latéraux de l'épiphalle des *Pyrgomorphidae*
Anc. — ancorae de l'épiphalle
Ap. — valves apicales du pénis
Apd. — apodème
Bp. — valves basales du pénis
Cej. — canal éjaculateur
Cng. — cingulum
Cv. — valves du cingulum
Da. — appendice dorsal
De. — disque de l'épiphalle
Ectm. — membrane ectophallique
Ejd. — canal éjaculateur
Ejs. — sac éjaculateur
Epv. — expansion postéro-ventrale des rami
Fx. — flexure du pénis
Ga. — gaine pénienne
Gpr. — processus du gonopore
Lo. — lophi de l'épiphalle
M. — membrane
Mcg. — membrane centrale du cingulum des *Pyrgomorphidae*
Pacg. — pseudoarche du cingulum chez les *Pyrgomorphidae*
Ppa. — valves apicales du pénis
Ppb. — valves basales du pénis
Pra. — projections antérieures de l'épiphalle
Prg. — processus du gonopore
Prp. — projections postérieures de l'épiphalle
Prv. — processus ventral de l'ectophalle
Ps. — processus réunissant les valves du cingulum (Vcg) aux expansions postéro-ventrales des rami (Epv) chez certains *Pseudogeloius*
Rm. — rami
Rv. — repli ventral
Scl. — sclérite
Scla. — sclérification latéro-apicale de la membrane ectophallique
Sdm. — sclérification dorso-médiane de la membrane ectophallique chez les *Pamphagella*
Sej. — sac éjaculateur
Sh. — gaine pénienne
So. — sclérites ovales de l'épiphalle
Sps. — sac spermatophore
Ssp. — sac spermatophore
Sst. — suture subterminale du pénis chez certains *Pyrgomorphidae*
Str. — sclérification transverse limitant, à l'avant, la membrane centrale du cingulum (Mcg) chez certains *Pyrgomorphidae*
Vcg. — valves du cingulum
Vpc. — processus ventral de l'ectophalle
Zyg. — zygoma

BIBLIOGRAPHIE

BANERJEE (S. K.) et KEVAN (D. K. Mc E.), 1960. — A preliminary revision of the genus *Atractomorpha* Saussure, 1862. (*Treubia*, 25 (2) : 165-189, fig. 1-44).

BLANDFORD (W. T.), 1890. — Anniversary Address. (*Quart. Journ. geol. Soc.*, XLVI : 43-110).

BOLIVAR (I.), 1884. — Monografia de los Pirgomorfinos. (*An. Soc. esp. Hist. nat.*, 13 : 1-73, 420-500, pl. 1-4).

ID., 1895. — Mission scientifique de M. Ch. ALLUAUD aux îles Séchelles (mars, avril, mai 1892). Orthoptères. (*Ann. Soc. ent. France*, 64 : 369-85. 386).

ID., 1903. — El genero *Phymateus* Thunb. (*Bol. Soc. esp. Hist. nat.*, 3 : 188-93).

ID., 1904-1905. — Notas sobre los Pirgomorfidos. (*Bol. Soc. esp. Hist. nat.*, 1904, 4 : 89-111, 306-26, 393-418, 432-59. 1905, 5 : 105-15, 196-217, 278-89, 298-307).

ID., 1909. — *Pyrgomorphinae*. (*Genera Insectorum.*, fasc. 90 : 1-58, pl. 1).

ID., 1912. — The Percy Sladen Trust Expedition to the Indian Ocean in 1905. Vol. 4, Sect. 16. *Orthoptera*. (*Trans. Linn. Soc. Lond., (Zool.)*, 15 : 263-92, pl. 13, 14).

ID., 1913. — Rectificación sinonimica. (*Bol. Soc. esp. Hist. nat.*, 13 : 312).

BOLIVAR (C.), 1932. — Estudio de un nuevo Acridido de Madagascar del grupo Cranaë. (*Eos*, 8 : 391-396, 3 fig.).

BRANCSIK (K.), 1897. — Series Orthopterorum novorum. (*Jh. Naturw. Ver. (Mus. Ver.) Trencsin. Comit.*, 19-20 : 52-85, pl. 1-3).

BRUNER (L.), 1910. — *Acridoidea* from Madagascar, Comoro Islands and eastern Africa. *In* VOELTZKOW, A. (*Reise in Ostafrika in den Jahren* 1903-1905, 2 : 623-644, pl. 27. Stuttgart).

BURR (M.), 1902. — A monograph of the genus *Acrida* (Stål), *Truxalis* Fabr., with notes of some allied genera and descriptions of new species. (*Trans. ent. Soc. Lond.*, 1902 : 149-187).

BUTLER (A. G.), 1876. — Preliminary notice of new species of Orthoptera and Hemiptera collected in the island of Rodriguez by the naturalists accompanying the transit of Venus Expedition. (*Ann. Mag. nat. Hist.*, (4) 17 : 409-412).

CARL (J.), 1916. — Acridides nouveaux ou peu connus du Muséum de Genève. (*Revue suisse Zool.*, 24 (6) : 461-518, pl. 2).

CHOPARD (L.), 1919. — Diagnoses d'espèces nouvelles d'Orthoptères. (*Bull. Soc. ent. France*, 1919 : 153-154).

ID., 1949. — *in* P.P. GRASSÉ, Traité de Zoologie, IX. Masson éd., Paris.

ID., 1952. — Notes sur les Orthoptéroïdes de Madagascar. IV. Faune de la forêt de mousses du Tsaratanana. (*Mém. Inst. Sci. Madag.*, (E) I : 463-516, 34 fig.).

COQUEREL (C.), 1861. — Orthoptères de Bourbon et de Madagascar. (*Ann. Soc. ent. France*, (4) 1 : 495-500, pl. 9, 10).

DARLINGTON (Ph. J.), 1957. — Zoogeography. John Wiley et Sons Publ., U.S.A.

DESCAMPS (M.) et WINTREBERT (D.), 1966 *a*. — Revue et diagnose préliminaire de quelques *Pyrgomorphidae* et *Acrididae* de Madagascar (*Bull. Soc. ent. France*, 71 : 24-34).

ID., 1966 *b*. — *Pyrgomorphidae* et *Acrididae* de Madagascar, Observations biologiques et diagnoses (*Eos*, 42 : 43-263, 51 pl.).

ID., 1967. — Diagnoses de quelques *Acrididae* nouveaux de Madagascar (*Bull. Soc. ent. France*, 72 : 89-104, 6 pl.).

DIRSH (V. M.), 1956. — The phallic complex in *Acridoidea* (Orthoptera) in relation to taxonomy. (*Trans. R. ent. Soc. Lond.*, 108 : 223-356, 66 pl.).

ID., 1962 *a*. — The *Acridoidea* (Orthoptera) of Madagascar. I. *Acrididae* (except. *Acridinae*). (*Bull. Brit. Mus. (Nat. Hist.)*, Entom., 12 : 273-350, 40 fig.).

ID., 1962 *b*. — Acridoidea (Orthoptera) collected by Dr. F. KEISER in Madagascar. (*Verhandl. Naturf. Ges. Basel*, 73 (2) : 270-275).

ID., 1962 *c*. — Synonymic notes on African Acridoidea (*Rev. Zool. Bot. afr.*, 65 (1-2) : 81-89).

ID., 1963 *a*. — The *Acridoidea* (Orthoptera) of Madagascar. II. *Acrididae Acridinae*. (*Bull. Brit. Mus. (Nat. Hist.)*, Entom. 13, 243-286, 21 fig.).

ID., 1963 *b*. — The *Acridoidea* (Orthoptera) of Madagascar. III. *Pyrgomorphidae*. (*Bull. Brit. Mus. (Nat. Hist.)*, Entom., 14 : 49-103, 29 fig.).

ID., 1965. — The african genera of *Acridoidea*. Cambridge University Press : 579 p.

ID., 1966. — New genera and species of *Acridoidea* from Madagascar (*Eos*. 41 (4) : 537-549).

DIRSH (V. M.) et UVAROV (B. P.), 1953. — Preliminary diagnoses of new genera and new synonymy in *Acrididae*. (*Tijdschr. Ent.*, 96 (3) : 231-237).

DU TOIT (A. L.), 1937. — Our wandering continents. Oliver et Boyd, London.

FINOT (A.), 1903. — Sur le genre *Euthymia*, de la tribu des Acrididoidea, ordre des Insectes Orthoptères. (*Ann. Soc. ent. France*, 71 : 620-636).

ID., 1907. — Sur le genre *Acridium*. (*Ann. Soc. ent. France*, 76 : 247-354, 27 fig.).

ID., 1908. — Acridien nouveau de Madagascar (*Ann. Soc. ent. France*, 77 : 1-6, pl. 1).

FURON (R.), 1941. — La paléogéographie. Paris.

JOHNSTON (H. B.), 1956. — Annotated catalogue of African Grasshoppers. Cambridge Univ. Press : 833 p.

KARNY (H.), 1907. — Ergebnisse der mit Subvention aus der Erbschaft Treitl unternommenen zoologischen Forschungreise Dr. Franz WERNER's nach dem aegyptischen Sudan und Nord-Uganda, IX. Die Orthopterenfauna des Aegyptischen Sudans und von Nord-Uganda (Saltatoria, Gressoria, Dermaptera) mit besonderen Berücksichtigung der Acridoideengattung *Catantops*. (*S.B. Akad. Wiss. Wien*, 116 : 267-378, 3 pl.).

KEVAN (D. K. Mc E.), 1963. — Pyrgomorphidae (Orthoptera, Acridoidea) described by Lawrence BRUNER from Madagascar and the Comoro Islands. (*Proc. R. ent. Soc. Lond.*, (B) 32 : 145-152, 13 fig., 1 pl.).

ID., 1965. — A new species of *Pseudogetoius* Dirsh, 1963 from Madagascar. (*Eos*, 40 : 515-520).

KEVAN (D. K. Mc E.) et AKBAR (S.S.), 1964. — The Pyrgomorphidae (Orthoptera : Acridoidea) : Their Systematics, Tribal Divisions and Distribution. (*The Canadian Entomologist*, 96 : 1505-1536).

KEVAN (D. K. Mc E.), AKBAR (S. S.) et SINGH (A.), 1964. — A new genus and two species of Pyrgomorphidae (Orthoptera; Acridoidea) from Madagascar, with notes on the genus *Geloius* Saussure. (*Trans. Amer. ent. Soc.*, 90 : 111-129).

KEY (K. H. L.), 1936. — A revision of the genus *Paracinema* Fisch. (Orthoptera) (*Trans. R. ent. Soc. Lond.*, 85 : 379-400, 3 fig., 1 carte).

KIRBY (W. F.), 1910. — A synonymic Catalogue of the Orthoptera. Vol. 3 *Orthoptera Saltatoria*. Part II. Locustidae vel Acridiidae. London.

KOMAROV (V. L.), 1943. — Origin of Plants. Moscow.

MARTYNOV (A. V.), 1938. — Études sur l'histoire géologique et de phylogénie des ordres des Insectes (Pterygota). *Trav. de l'Inst. Paléont.*, VII, nº 4, Acad. Sci. U. R. S. S.

MILLOT (J.), 1952. — La faune malgache et le mythe gondwanien. (*Mém. Inst. Sci. Madag.*, (A). VII : 1-36).

PAULIAN (R.), 1952. — Esquisse du peuplement entomologique de Madagascar. (*Mém. Inst. Sci. Madag.*, (E) I : 1-22).

RAND (A. L.), 1936. — The distribution and habits of Madagascar birds. (*Bull. Amer. Mus. nat. Hist.*, 72 : 143-499).

REHN (J. A. G.), 1944. — A review of Old World *Euthymiae* (Orthoptera, Acrididae Cyrtacanthacridinae). (*Proc. Acad. nat. Sci. Philad.*, 96 : 1-135, 8 pl., 91, fig.)

SAUSSURE (H. de), 1899. — Orthoptera. In Wissenschaftliche Ergebnisse der Reisen in Madagascar und Ostafrika in den Jahren 1889-95 von Dr. A. VOELTZKOW. (*Abh. Senckenb. Naturf. Ges.*, 21 : 567-664, pl. 37, 38).

SCHUSTER (Ch.), 1932. — Gondwana Land Bridges. (*Bull. Geol. Soc. Amer.* 43 : 875-916).

SCLATER (P. L.), 1875. — The geographical distribution of Mammals. (Manch. Sc. Lectures).

SJÖSTEDT (Y.), 1918. — Neue Orthopteren aus Afrika und Madagascar (*Ark. Zool.*, 12 (1), 18 pp., 5 fig.).

ID., 1928. — Monographiae der Gattung *Gastrimargus* Saussure (Orthoptera, Oedipodidae). (*K. svenska Vetensk Akad. Handl.*, (3) 6 (1) : 51 p., 12 pl.).

SNELLEN VAN VOLLENHOVEN (S. C.) et SELYS-LONGCHAMPS (E.), 1869. — *In* POLLEN (F. P. L.) et VAN DAM (D. C.) (Recherches sur la faune de Madagascar et de ses dépendances. 5 (1) : 3, 11, pl. 2, f. 2).

STÅL (C.), 1878. — Systema Acridiodeorum. (*K. svenska Vetensk Akad Handl.*, 5 (4) : 1-100).

TÊTEFORT (J. P.) et WINTREBERT (D.), 1967. — Écologie et comportement du criquet nomade dans le Sud-Ouest malgache. (*Ann. Soc. ent. France*, (n.s.) 3 (1) : 3-30).

UVAROV (B. P.), 1923. — A revision of the Old World *Cyrtacanthacrini*. (I) *Ann. Mag. nat. Hist.* (9) 11 : 130-144, fig. 1-7. (II) *ibid.*, (9) 11 : 473-490. (III) *ibid.*, (9) 12 : 345-366, fig. 8).

Id., 1924. — A revision of the Old World *Cyrtacanthacrini*. (IV) *Ann. Mag. nat. Hist.* (9) 13 : 1-19, fig. 9, 10. (V) *ibid.*, (9) 14 : 96-113, fig. 11, 12).

Id., 1929. — Three new grasshoppers of the genus *Caprorhinus* Saussure, from Madagascar. (*Ann. Mag. nat. Hist.*, (10) 4 : 284-7).

Id., 1943. — Notes on the Old World genera of the group *Euthyminae*. (*Ann. Mag. nat. Hist.* (11) 10 : 384-389).

Uvarov (B. P.) et Johnston (H. B.), 1957. — A census of the African Acridoid fauna (*Bull. I.F.A.N.*, 19, sér. A, n° 2, pp. 511-519).

Wallace (A. R.), 1876. — The geographical distribution of animals. 1, 2.

Id., 1880. — Islands life. Macmillan, London.

Waloff (Z.), 1960. — Some notes on the Desert Locust and its occurrence at Sea. (*The Marine Observer*, janv. 1960 : 40-45).

Wegener (A.), 1915. — Die Enstehung der Kontinents und Ozeane.

Willis (B.), 1932. — Isthmian Links. (*Bull. Geol. Soc. Amer.*, 43 : 917-952).

Wulf (E. V.), 1944. — Historical Geography of Plants. Moscow.

Zeuner (F. E.), 1941-44. — The Fossil *Acrididae*. (*Ann. Mag. nat. Hist.*, VIII, IX, XI).

Zolotarevsky (B. N.), 1929. — Le Criquet migrateur à Madagascar (*Locusta migratoria capito* Sauss.). (*Ann. Epiphyt.*, 15 (4) : 185-235, 3 pl., 8 fig.).

INDEX ALPHABÉTIQUE

DES FAMILLES, SOUS-FAMILLES, GROUPES
GENRES, ESPÈCES ET SYNONYMES

Les noms des taxa nouveaux sont précédés d'un astérique.



Imprimerie Lahure,
9, rue de Fleurus, Paris-6e.